

INSTITUT TEKNOLOGI SEPULUH NOPEMBER
FAKULTAS TEKNOLOGI INDUSTRI DAN REKAYASA
SISTEM
DEPARTEMEN TEKNIK KIMIA



PRA DESAIN PABRIK
“ETILENA DARI SALES GAS MENGGUNAKAN
TEKNOLOGI *OXIDATIVE COUPLING METHANE DAN AIR*
SEPARATION UNIT PLANT”

Disusun Oleh :

Kartiko Agung Pramudito
NRP. 02211540000100

Akas Tambunan
NRP. 02211540000126

Pembimbing:
Juwari, S.T., M.Eng., Ph.D
NIP : 1973 06 15 1999 03 1003

Dr. Rendra Panca Anugraha, S.T.
NIP : 1994 2019 11103

LABORATORIUM PERANCANGAN
DAN PENGENDALIAN PROSES
SURABAYA
2020

LEMBAR PENGESAHAN

Pra Desain Pabrik dengan judul:

PRA DESAIN PABRIK ETILENA DARI SALES GAS MENGGUNAKAN TEKNOLOGI OXIDATIVE COUPLING METHANE DAN AIR SEPARATION UNIT PLANT

Diajukan untuk Memenuhi Salah Satu Syarat Memperoleh Gelar Sarjana Teknik pada Program Studi S-1 Departemen Teknik Kimia Institut Teknologi Sepuluh Nopember Surabaya

oleh :

Kartiko Agung Pramudito

02211540000100

Akas Steven Tambunan

02211540000126

Telah diujikan dan diperbaiki sesuai dengan saran-saran dari dosen pengaji :

1. Prof. Ir. Renanto, M.Sc., Ph.D
2. Prof. Dr. Ir. Gede Wibawa, M.Eng

Surabaya, Februari 2020

Dosen Pembimbing I

Dosen Pembimbing II

Juwari, S.T., M.Eng., Ph.D.
NIP. 1973 06 15 1999 03 1003

Dr. Rendra Panca Anugraha, S.T.
NIP. 1994 2019 111 03

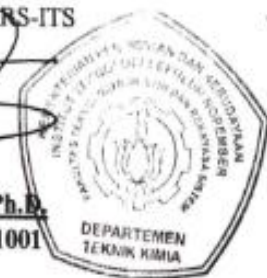
Mengetahui,

Kepala Laboratorium Perancangan dan Pengendalian Proses

Departemen Teknik Kimia FTITS-ITS

Prof. Ir. Renanto, M.Sc., Ph.D.

NIP. 1953 07 19 1978 03 1001



RINGKASAN

Ethylene (C_2H_4), salah satu produk *intermediate* dari gas alam, merupakan salah satu senyawa penting dalam mata rantai industri petrokimia dan bahan kimia organik terbesar di dunia. Penggunaan *ethylene* banyak digunakan dalam industri kimia dengan produk hasil akhir yang sangat beragam. Berdasarkan Pusat Data dan Informasi Kementerian Perindustrian Indonesia, 2000 KTPA *ethylene* dibutuhkan untuk memenuhi permintaan industri pada 2020.

Ethylene dapat diproduksi dari metana (CH_4) yang merupakan komponen utama penyusun gas alam. Untuk memanfaatkan potensi sumber daya alam yang melimpah di Indonesia, saat ini pemerintah mendukung penuh berbagai pengembangan industri, salah satunya industri kimia dasar berbasis minyak dan gas (migas). Pengembangan industri kimia dasar berbasis migas ini akan meningkatkan nilai jual migas secara keseluruhan. Karena selama ini migas di Indonesia hanya digunakan untuk pembangkit tenaga listrik (*end user*) dan ekspor dengan nilai jual yang kecil.

Ethylene umumnya diproduksi menggunakan Teknologi *Thermal Cracking* Lummus dengan bahan baku yang mahal, nafta atau etana. Di Indonesia, produksi gas alam masih memiliki potensi yang besar untuk diolah. Hal ini memotivasi kami untuk mendesain pabrik mengolah komponen utama gas alam, metana dan etana, sebagai bahan baku alternatif untuk memproduksi *ethylene* menggunakan Oxidative Coupling of Methane (OCM) oleh Siluria Technology.

Untuk mencapai 600 produksi ethylene KTA, pabrik ini direncanakan berlokasi di Blok Masela, mendekati pusat sumber daya alamnya yang akan dieksplorasi dan dikembangkan. Proses pertama adalah mereaksikan metana dengan oksigen di dalam *OCM Reactor*. Dengan reaksi yang sangat eksotermis, dilakukan integrasi panas untuk reaktor *Dehidrogenation* yang sangat endotermis. Dalam *Dehidrogenation*, etana dikonversikan menjadi *ethylene*. Gas Produk

kemudian dihilangkan kandungan CO₂ dan H₂O sebelum didinginkan untuk distilasi *cryogenic*. Gas dengan suhu yang sangat rendah kemudian dialirkan menuju *Separation Unit* yang terdiri dari *demethanizer* untuk memisahkan metana, *deethanizer* untuk memisahkan kondensat, dan *Hidrogenation reactor* untuk mengonversi *acetylene* menjadi *ethylene* agar didapat *ethylene* yang lebih murni.

Pabrik direncanakan beroperasi secara kontinyu 24 jam selama 330 hari per tahun operasi dengan perencanaan sebagai berikut:

- a. Kapasitas Produksi : 600 KTA (Kilo Ton/Tahun)
- b. Jumlah Tenaga Kerja : 179 orang
- c. Kebutuhan Bahan Baku : 2.942,28 KTPA (Kilo Ton/Tahun)
- d. Produk Utama : 75,75 ton/jam *ethylene* (99,94% wt)
- e. Spesifikasi Produk : Kadar 99,4% massa

Pabrik *ethylene* ini direncanakan mulai dibangun pada tahun 2024 di Bontang, Maluku, Indonesia, dan direncanakan selesai pada tahun 2027. Daerah Masela dipilih karena lokasi yang dekat dengan ketersediaan bahan baku. Sumber dana investasi berasal dari modal sendiri sebesar 60% biaya investasi dan pinjaman jangka pendek sebesar 40% biaya investasi dengan bunga sebesar 12% per tahun. Dari analisa perhitungan ekonomi didapat hasil sebagai berikut:

- a. Investasi : USD 1.338.637.961,16
- b. Internal Rate of Return : 19,47%
- c. POT : 5,8 Tahun
- d. BEP : 31,194 %

Dari ketiga parameter sensitifas yaitu fluktuasi biaya investasi, harga bahan baku, dan harga jual dari produk, terlihat bahwa ketiganya tidak memberikan pengaruh yang cukup signifikan terhadap kenaikan atau penurunan nilai IRR pabrik. Sehingga pabrik *ethylene* ini layak untuk didirikan.

KATA PENGANTAR

Puji syukur kehadirat Allah SWT atas segala rahmat dan karunia-Nya yang dicurahkan kepada kami sehingga kami dapat menyelesaikan Tugas Desain Pabrik dengan judul:

“ ETILENA DARI SALES GAS MENGGUNAKAN TEKNOLOGI OXIDATIVE COUPLING METHANE DAN AIR SEPARATION UNIT PLANT ”

Penulisan proposal ini disusun untuk memenuhi salah satu syarat seminar proposal pada jenjang S-1 untuk memperoleh gelar kesarjanaan di Departemen Teknik Kimia FTI-ITS Surabaya.

Penulis menyadari dalam penyusunan laporan tugas akhir ini tidak akan selesai tanpa bantuan dari berbagai pihak. Oleh karena itu, pada kesempatan ini kami ingin mengucapkan terima kasih kepada :

1. Dr.Eng. Widiyastuti, S.T., M.T. selaku ketua Departemen Teknik Kimia FTIRS-ITS.
2. Prof. Ir. Renanto, M.S., Ph.D. selaku kepala Laboratorium Perancangan dan Pengendalian Proses Departemen Teknik Kimia FTI-ITS.
3. Dr. Tantular Nurtono, S.T., M.Eng. selaku kepala Laboratorium Rekayasa Sistem Proses Departemen Teknik Kimia FTIRS-ITS.
4. Juwari, S.T., M.Eng., Ph.D selaku dosen pembimbing I kami.
5. Dr. Rendra Panca Anugraha selaku Dosen pembimbing II, dan Senior yang memberikan saran dan pendapat yang membantu penyelesaian Penelitian ini.
6. Bapak/Ibu dosen pengaji.
7. Orang tua dan keluarga atas segala kasih sayang, kesabaran, doa dan pengorbanan dalam mendidik dan membesarkan kami.
8. Teman-teman K-56,& K-55 FTI-ITS dan semua rekan-rekan Lab. Perdalpro yang terus saling mendukung dan memberi semangat.

9. Seluruh civitas akademika Departemen Teknik Kimia FTI-ITS yang telah memberikan dukungan moril kepada penulis. Penulis menyadari bahwa laporan ini tidak luput dari berbagai kekurangan, sehingga saran dan kritik yang membangun dari pembaca sangat kami pelukan. Semoga laporan ini dapat bermanfaat bagi semuanya.

Penulis menyadari bahwa laporan ini tidak luput dari berbagai kekurangan, sehingga saran dan kritik yang membangun dari pembaca sangat kami pelukan. Semoga laporan ini dapat bermanfaat bagi semuanya.

Surabaya, 2019

Penulis

DAFTAR ISI

| | | |
|--|--|--------|
| Halaman | | |
| Judul..... | i | |
| Intisari..... | iii | |
| Kata Pengantar..... | v | |
| Daftar Isi..... | vi | |
| Daftar Gambar..... | viii | |
| Daftar Tabel..... | xi | |
| BAB I PENDAHULUAN | | |
| I.1 | Latar Belakang..... | I-1 |
| I.2 | Bahan Baku Pembuatan Etilena..... | I-3 |
| I.3 | Potensi Bahan Baku Gas Alam..... | I-7 |
| I.4 | Kebutuhan <i>Ethylene</i> di Dunia..... | I-11 |
| I.5 | Kebutuhan <i>Ethylene</i> di Indonesia..... | I-13 |
| I.6 | Aspek Pasar <i>Ethylene</i> | I-14 |
| BAB II BASIS DESAIN DATA | | |
| II.1 | Kapasitas..... | II-1 |
| II.2 | Lokasi..... | II-1 |
| II.3 | Spesifikasi Bahan Baku dan Produk..... | II-9 |
| BAB III SELEKSI DAN URAIAN PROSES | | |
| III.1 | Teknologi Pembuatan <i>Ethylene</i> | III-1 |
| III.2 | Seleksi Teknologi, <i>Licensor</i> , dan Proses..... | III-7 |
| III.3 | <i>Block Diagram</i> | III-16 |
| III.4 | Uraian Proses..... | III-16 |
| BAB IV NERACA MASSA DAN NERACA ENERGI | | |
| IV.1 | Neraca Massa Unit Produksi <i>Ethylene</i> | IV-1 |
| IV.2 | Neraca Energi Unit Produksi <i>Ethylene</i> | IV-102 |
| BAB V DAFTAR DAN HARGA PERALATAN | | |
| V.1 | Spesifikasi Alat pada Sistem Reaksi..... | V-1 |
| V.2 | Sistem CO ₂ dan H ₂ O Removal..... | V-17 |
| V.3 | Sistem Pemisahan..... | V-29 |
| V.4 | Daftar Harga Peralatan..... | V-48 |

BAB VI ANALISIS EKONOMI

| | |
|---|-------|
| VI.1 Pengelolaan Sumber Daya Manusia..... | VI-1 |
| VI.2 Utilitas..... | VI-11 |
| VI.3 Analisa Ekonomi..... | VI-13 |

BAB VII KESIMPULAN

DAFTAR PUSTAKA

DAFTAR GAMBAR

| | | |
|---------------------|--|--------|
| Gambar I.1 | Produk Turunan <i>Ethylene</i> | I-1 |
| Gambar I.2 | Kebutuhan Gas Alam di Indonesia..... | I-6 |
| Gambar I.3 | Grafik Produksi Minyak dan Gas tanpa Dalam Negeri | I-7 |
| Gambar I.4 | Struktur Kebijakan P3DN..... | I-7 |
| Gambar I.5 | Skenario Profil Minyak..... | I-8 |
| Gambar I.6 | Target Pasar (PT Chandra Asri Petrochemical)..... | I-10 |
| Gambar II.1 | Peta Geografis Cadangan Minyak dan Gas Alam di Indonesia..... | II-3 |
| Gambar II.2 | Realisasi Penyerapan Gas Bumi 2017 vs Kontrak PJBG per Region..... | II-4 |
| Gambar II.3 | Peta Lokasi Kegiatan PT.CAP..... | II-7 |
| Gambar III.1 | <i>Block Diagram</i> Unit Operasi Produksi <i>Ethylene</i> dari Gas Alam dengan OCM..... | III-10 |
| Gambar IV.1 | Gambar OCM Reaktor (R-100)..... | IV-2 |
| Gambar IV.2 | Gambar Dehidrogenasi Reaktor (R-101).... | IV-4 |
| Gambar IV.3 | Gambar Heat Exchanger (E-100)..... | IV-5 |
| Gambar IV.4 | Gambar Valve | IV-5 |
| Gambar IV.5 | Gambar Ekspander (G-100)..... | IV-5 |
| Gambar IV.6 | Gambar Heat Exchanger (E-101 & -E-102).IV-5 | IV-5 |
| Gambar IV.7 | Gambar Air Cooler (E-200)..... | IV-6 |
| Gambar IV.8 | Gambar Flash Separator (F-200)..... | IV-6 |
| Gambar IV.9 | Gambar Compressor (G-200)..... | IV-7 |
| Gambar IV.10 | Gambar Air Cooler (E-201)..... | IV-7 |
| Gambar IV.11 | Gambar Flash Separator(F-201)..... | IV-8 |
| Gambar IV.12 | Gambar Compressor (G-201)..... | IV-9 |
| Gambar IV.13 | Gambar Air Cooler (E-202)..... | IV-9 |
| Gambar IV.14 | Gambar Flash Separator (F-202)..... | IV-9 |

| | | | |
|---------------------|--|----------------|-------|
| Gambar IV.15 | Gambar Compressor (G-202)..... | IV-11 | |
| Gambar IV.16 | Gambar Air Cooler (E-203)..... | IV-11 | |
| Gambar IV.17 | Gambar Flash Separator (F-203)..... | IV-11 | |
| Gambar IV.18 | Gambar Absorber (D-300)..... | IV-13 | |
| Gambar IV.19 | Gambar Pre-CO ₂ Stripper Exchanger (E-300)..... | IV-14 | |
| Gambar IV.20 | Gambar CO ₂ Stripper Unit (D-301)..... | IV-14 | |
| Gambar IV.21 | Gambar Pump (L-300)..... | IV-14 | |
| Gambar IV.22 | Gambar Pre-Absorber Cooler (E-310)... | IV-18 | |
| Gambar IV.23 | Gambar Molecular Sieve Separator (D-210 a/b) | IV-18 | |
| Gambar IV.24 | Gambar Heat Exchanger Series (E-310).. | IV-19 | |
| Gambar IV.25 | Gambar Demethanizer Unit (D-400)..... | IV-20 | |
| Gambar IV.26 | Gambar Deethanizer Unit (D-400)..... | IV-22 | |
| Gambar IV.27 | Gambar Hydrogenation Reactor (R-102).. <td> <td>IV-24</td> </td> | <td>IV-24</td> | IV-24 |
| Gambar IV.28 | Gambar Reaktor Methanator (R-103)..... | IV-25 | |
| Gambar IV.29 | Gambar Mixing Point I..... | IV-31 | |
| Gambar IV.30 | Gambar OCM Reaktor(R-100)..... | IV-31 | |
| Gambar IV.31 | Gambar HE-100..... | IV-32 | |
| Gambar IV.32 | Gambar HE-101..... | IV-32 | |
| Gambar IV.33 | Gambar Dehydrogenation Reactor..... | IV-33 | |
| Gambar IV.34 | Gambar HE-200..... | IV-33 | |
| Gambar IV.35 | Gambar HE-201..... | IV-33 | |
| Gambar IV.36 | Gambar HE-202..... | IV-34 | |
| Gambar IV.37 | Gambar Air Cooler AC-200..... | IV-35 | |
| Gambar IV.38 | Gambar Flash Separator (F-200)..... | IV-35 | |
| Gambar IV.39 | Gambar Compressor (K-200)..... | IV-36 | |
| Gambar IV.40 | Gambar Air Cooler AC-201..... | IV-36 | |
| Gambar IV.41 | Gambar Flash Separator (F-201)..... | IV-37 | |
| Gambar IV.42 | Gambar Compressor (K-201)..... | IV-37 | |
| Gambar IV.43 | Gambar Air Cooler AC-202..... | IV-38 | |
| Gambar IV.44 | Gambar Flash Separator (F-202)..... | IV-38 | |

| | | |
|---------------------|--|-------|
| Gambar IV.45 | Gambar Compressor (K-202)..... | IV-38 |
| Gambar IV.46 | Gambar Air Cooler AC-203..... | IV-39 |
| Gambar IV.47 | Gambar Flash Separator (F-203)..... | IV-39 |
| Gambar IV.48 | Gambar Absorbsi Amine (D-110)..... | IV-40 |
| Gambar IV.49 | Gambar HE-300..... | IV-40 |
| Gambar IV.50 | Gambar CO ₂ Stripper Unit (D-301)..... | IV-41 |
| Gambar IV.51 | Gambar E-301..... | IV-42 |
| Gambar IV.52 | Gambar Pump (L-300)..... | IV-42 |
| Gambar IV.53 | Gambar Flash Separator (F-310)..... | IV-42 |
| Gambar IV.54 | Gambar Molecular Sieve Separator (D-311 a/b)..... | IV-43 |
| Gambar IV.55 | Gambar HE-310 | IV-43 |
| Gambar IV.56 | Gambar HE-311..... | IV-44 |
| Gambar IV.57 | Gambar Cooler (E-312)..... | IV-44 |
| Gambar IV.58 | Gambar Demethanizer(D-400)..... | IV-45 |
| Gambar IV.59 | Gambar Deethanizer (D-401)..... | IV-45 |
| Gambar IV.60 | Gambar Hidrogenation Reactor (R-102)..... | IV-46 |
| Gambar IV.61 | Gambar Methanation Reactor (R-103)..... | IV-46 |
| Gambar VI.1 | Struktur Organisasi Perusahaan..... | VI-2 |
| Gambar VI.2 | Grafik BEP | VI-12 |

DAFTAR TABEL

| | |
|--|--------|
| Tabel I.1 Perbandingan Bahan Baku dalam Pembuatan Etilena..... | I-5 |
| Tabel I.2 Data Produksi, Konsumsi, Ekspor dan Impor Etilena di Indonesia..... | I-11 |
| Tabel I.3 Industri Berbasis Etilena..... | I-13 |
| Tabel II.1 Data Pertumbuhan Produksi, Konsumsi, Ekspor, dan Impor..... | II-1 |
| Tabel II.2 Data Pertumbuhan Produksi, Konsumsi, Ekspor, dan Impor..... | II-2 |
| Tabel II.3 Perkiraan Pasokan Gas Alam Region II-1 1 Januari 2018 2027 (MMSCFD)..... | II-6 |
| Tabel II.4 Perkiraan Jarak Tempuh <i>Sales Gas</i> ke Pabrik..... | II-7 |
| Tabel II.5 Perkiraan Jarak Tempuh Pabrik Etilena ke PT Chandra Asri Petrochemical..... | II-7 |
| Tabel II.6 Kapasitas Terpasang Pembangkit Tenaga Listrik Pada Tahun 2016 | II-9 |
| Tabel II.7 Jumlah Angkatan Kerja per Agustus 2017..... | II-10 |
| Tabel II.8 Jumlah Angkatan Kerja per Agustus 2017 Berdasarkan Pendidikan Tertinggi yang Ditamatkan..... | II-10 |
| Tabel II.9 Aksesibilitas dan Transportasi per Provinsi..... | II-11 |
| Tabel II.10 Pembobotan Pemilihan Lokasi Pabrik | II-12 |
| Tabel Error! No text of specified style in document.. 11 Sifat fisik senyawa <i>ethylene</i> | II-14 |
| Tabel II.12 Spesifikasi Bahan Baku Gas Alam..... | II-15 |
| Tabel III.1 Perbandingan Teknologi Produksi Ethylene dari Gas Alam..... | III-6 |
| Tabel III.2 Pembobotan Teknologi Produksi Ethylene dari Gas Alam dengan Metode AHP..... | III-7 |
| Tabel III.3 Karakteristik Metode <i>Gas Sweetening</i> | III-8 |
| Tabel III.4 Karakteristik <i>Amine Solvent</i> untuk <i>Gas Sweetening</i> . III-9 | III-9 |
| Tabel III.5 Karakteristik metode <i>Gas Drying</i> | III-10 |
| Tabel III.6 Karakteristik <i>Solid Dessian</i> untuk proses Adsorpsi | III-11 |

| | |
|--|-------|
| Tabel IV-1.1 Komposisi dan Properti dari Feed Sales Gas | IV-2 |
| Tabel IV-1.2 Komposisi dan Properti dari Feed Udara..... | IV-3 |
| Tabel IV-1.3 Neraca massa komponen TEE (1) | IV-3 |
| Tabel IV-1.4 Neraca massa LNG Exchanger..... | IV-4 |
| Tabel IV-1.5 Neraca massa komponen TEE (2) | IV-4 |
| Tabel IV-1.6 Neraca massa LNG Exchanger-2..... | IV-6 |
| Tabel IV-1.7 Neraca massa HP-Column..... | IV-7 |
| Tabel IV-1.7 Neraca massa LNG Exhanger-3..... | IV-8 |
| Tabel IV-1.8 Neraca massa LP Column..... | IV-9 |
| Tabel IV-1.9 Neraca massa komponen TEE (1) | IV-10 |
| Tabel IV-1.10 Neraca massa Komponen Mixer | IV-11 |
| Tabel IV-1.11 Neraca massa Crude AR Column..... | IV-11 |
| Tabel IV-1.11 Neraca massa Crude AR Column..... | IV-12 |
| Tabel IV-1.12 Neraca massa Sales Gas H.E..... | IV-12 |
| Tabel IV-1.13 Neraca massa O2 HE..... | IV-14 |
| Tabel IV-1.14 Neraca massa Mixing Point 100..... | IV-15 |
| Tabel IV-1.15 Neraca massa OCM Reactor..... | IV-17 |
| Tabel IV-1.16 Neraca massa HE-200..... | IV-18 |
| Tabel IV-1.17 Neraca massa HE-201..... | IV-19 |
| Tabel IV-1.18 Neraca massa HE-202..... | IV-21 |
| Tabel IV-1.19 Neraca Massa Flash Separator F-200..... | IV-23 |
| Tabel IV-1.20 Neraca Massa Flash Separator F-202..... | IV-25 |
| Tabel IV-1.21 Neraca Massa Flash Separator F-203..... | IV-27 |
| Tabel IV-1.22 Neraca Massa Flash Separator F-203..... | IV-29 |
| Tabel IV-1.23 Neraca Massa Absorber..... | IV-31 |
| Tabel IV-1.24 Neraca massa HE-300..... | IV-32 |
| Tabel IV-1.25 Neraca massa D-301..... | IV-34 |
| Tabel IV-1.26 Neraca massa molecular sieve D-310 (A/B) | IV-36 |
| Tabel IV-1.27 Neraca massa Demethanizer D-400..... | IV-38 |
| Tabel IV-1.28 Neraca massa Deethanizer D-401..... | IV-38 |
| Tabel IV-1.29 Neraca massa C2 Splitter D-401..... | IV-40 |
| Tabel IV-1.30 Neraca massa Dehidrogenation Reactor (R-101)IV | 42 |
| Tabel IV-1.31 Neraca massa Hidrogenation Reactor (R-102) .. | IV-43 |
| Tabel IV-1.32 Neraca massa Methanation Reactor (R-103) | IV-44 |
| Tabel A.49 Neraca massa C3 & C4 Splitter D-403..... | IV-46 |

| | |
|--|-------|
| Tabel IV-2.1 | IV-48 |
| Tabel IV-2.4 | IV-50 |
| Tabel IV-2.5 | IV-50 |
| Tabel IV-2.6 Neraca Energi LNG Exchanger-1..... | IV-51 |
| Tabel IV-2.7 | IV-51 |
| Tabel IV-2.8 | IV-52 |
| Tabel IV-2.9 | IV-52 |
| Tabel IV-2.10 | IV-53 |
| Tabel IV-2.12 | IV-53 |
| Tabel IV-2.13 | IV-57 |
| Tabel IV-2.14 | IV-58 |
| Tabel IV-2.15 | IV-59 |
| Tabel IV-2.16 | IV-60 |
| Tabel IV-2.17 | IV-60 |
| Tabel IV-2.18 | IV-61 |
| Tabel IV-2.19 | IV-61 |
| Tabel IV-2.20 | IV-62 |
| Tabel IV-2.21 | IV-63 |
| Tabel IV-2.22 | IV-63 |
| Tabel IV-2.23 | IV-64 |
| Tabel IV-2.24 | IV-64 |
| Tabel IV-2.25 | IV-65 |
| Tabel IV-2.26 | IV-65 |
| Tabel IV-2.27 | IV-66 |
| Tabel IV-2.28 | IV-66 |
| Tabel IV-2.29 | IV-67 |
| Tabel IV-2.30 | IV-68 |
| Tabel IV-2.31 | IV-68 |
| Tabel IV-2.32 | IV-69 |
| Tabel IV-2.33 | IV-69 |
| Tabel IV-2.34 | IV-70 |
| Tabel IV-2.35 | IV-70 |
| Tabel IV-2.36 | IV-71 |
| Tabel IV-2.37 | IV-71 |
| Tabel IV-2.38 | IV-73 |

| | |
|-----------------------------|-------|
| Tablel IV-2.39 | IV-73 |
| Tablel IV-2.40 | IV-74 |
| Tablel IV-2.41 | IV-74 |
| Tablel IV-2.42 | IV-75 |
| Tablel IV-2.43 | IV-75 |
| Tablel IV-2.44 | IV-76 |
| Tablel IV-2.45 | IV-76 |
| Tablel IV-2.46 | IV-77 |
| Tablel IV-2.47 | IV-77 |
| Tablel IV-2.48 | IV-78 |
| Tablel IV-2.49 | IV-78 |
| Tablel IV-2.50 | IV-79 |
| Tablel IV-2.51 | IV-79 |
| Tablel IV-2.52 | IV-80 |
| Tablel IV-2.53 | IV-81 |
| Tablel IV-2.54 | IV-81 |
| Tablel IV-2.55 | IV-81 |
| Tablel IV-2.56 | IV-82 |
| Tablel IV-2.57 | IV-83 |
| Tablel IV-2.58 | IV-83 |
| Tablel IV-2.59 | IV-84 |
| Tablel IV-2.60 | IV-84 |
| Tablel IV-2.61 | IV-85 |
| Tablel IV-2.62 | IV-85 |
| Tablel IV-2.63 | IV-86 |
| Tablel IV-2.64 | IV-87 |
| Tablel IV-2.65 | IV-87 |
| Tablel IV-2.66 | IV-89 |
| Tablel IV-2.67 | IV-89 |
| Tablel IV-2.68 | IV-90 |
| Tablel IV-2.69 | IV-90 |
| Tablel IV-2.70 | IV-91 |
| Tablel IV-2.71 | IV-91 |
| Tablel IV-2.72 | IV-92 |
| Tablel IV-2.73 | IV-92 |

| | |
|---|-------|
| Tablel IV-2.74 | IV-93 |
| Tablel IV-2.75 | IV-94 |
| Tablel IV-2.76 | IV-94 |
| Tablel IV-2.77 | IV-95 |
| Tablel IV-2.78 | IV-95 |
| Tablel IV-2.79 | IV-95 |
| Tablel IV-2.80 | IV-95 |
| Tabel V.1 Sales Gas Pre-Heater (E-100) | V-1 |
| Tabel V.2 Oxygen Preheater (E-101) | V-2 |
| Tabel V.3 Sales Gas-Ethane Heat Exchahnger (E-200) | V-3 |
| Tabel V.4 Sales gas-Methane Heat Exchanger (E-201) | V-4 |
| Tabel V.5 Sales Gas-CO ₂ Heat Exchanger (E-202) | V-6 |
| Tabel V.6 CO ₂ -MEA Heat Exchanger (E-300) | V-7 |
| Tabel V.7 Sales Gas-Propane Heat Exchanger (LNG-400) | V-8 |
| Tabel V.8 Process gas-ethylene Heat Exchanger (LNG-401) | V-10 |
| Tabel V.9 Process gas-methane Heat Exchanger (LNG 402) | V-11 |
| Tabel V.10 Pre Air-Cooler (E-201) | V-12 |
| Tabel V.11 1st Stage Compressor Air Cooler (E-211) | V-13 |
| Tabel V.12 3rd Stage Compressor Air Cooler (E-212) | V-14 |
| Tabel V.13 1st to 3rd Stage Compressor (G-210 – G-212) | V-15 |
| Tabel V.14 OCM Reactor (R-100) | V-16 |
| Tabel V.15 Dehydrogenation Reactor (R-101) | V-16 |
| Tabel V.16 Methanation Reactor (R-102) | V-17 |
| Tabel V.17 Hidrogenation Reactor (R-103) | V-18 |
| Tabel V.18 Pre Compressor Flash Separator (F-210) | V-18 |
| Tabel V.19 1st Stage Flash Separator (F-211) | V-20 |
| Tabel V.20 2nd Stage Flash Separator (F-212) | V-21 |
| Tabel V.21 3rd Stage Flash Separator (F-213) | V-22 |
| Tabel V.22 Molecular Sieve Column (D-302 A/B) | V-23 |
| Tabel V.23 Pump (L-300) | V-24 |
| Tabel V.24 Absorber Column (D-300) | V-24 |
| Tabel V.25 Amine Regeneration Column (D-301) | V-25 |
| Tabel V.26 Demethanizer Column (D-400) | V-25 |
| Tabel V.27 Deethanizer Column (D-401) | V-26 |
| Tabel V.28 Ethylene Splitter (D-402) | V-27 |

| | |
|--|-------|
| Tabel V.29 C3/C4 Storage Tank (F-400)..... | V-27 |
| Tabel V.30 Ethylene Storage Tank (F-401)..... | V-28 |
| Tabel V.31 Condensate Storage Tank (F-402)..... | V-29 |
| Tabel V.42 Daftar Harga Peralatan Pabrik Etilena dari Sales Gas V30 | |
| Tabel VI.1 Jumlah Karyawan | VI-9 |
| Tabel VI.2 Sistem <i>Shift</i> Kerja | VI-10 |
| Tabel VI.3 Ringkasan Analisa Ekonomi | VI-14 |

BAB I

LATAR BELAKANG

I.1 Latar Belakang

Sektor industri menjadi penggerak utama pembangunan ekonomi nasional karena telah mampu memberikan nilai signifikan dalam peningkatan lapangan kerja, devisa negara, serta mampu memberikan kontribusi dalam peningkatan nilai tambah produk dan pembentukan daya saing nasional.

Berdasarkan RIPIN 2015 – 2035 tersebut, salah satu komoditas yang diprioritaskan dari awal tahun 2015 sampai akhir tahun 2035 adalah etilena. Etilena banyak digunakan dalam industri kimia dengan produk akhir yang beragam. Sebelum membuat produk akhir tersebut, *ethylene* akan diolah menjadi polietilena, etile diklorida, etilen oksida, etilbenzen dan vinil asetat yang dapat dibuat menjadi produk akhir berupa kemasan makanan, mainan, film, wadah makanan, botol, pipa, *anti freeze*, karpet, guci, botol, peralatan rumah

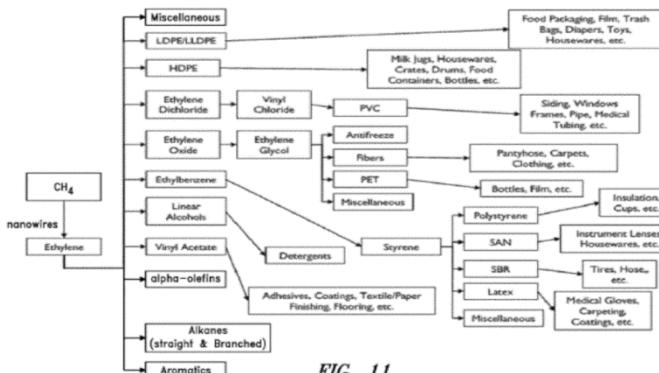


FIG. 11

tangga dan *coating*. (Scher, 2019).

Gambar I.1 Produk turunan *ethylene*

Ethylene paling banyak digunakan sebagai bahan baku *polyethylene* yang digunakan sebagai bahan dasar plastik. Akan

tetapi, produksi *ethylene* dalam negeri cenderung konstan, sehingga produksi *Polyethylene* sendiri tidak mengalami perubahan signifikan sejak 10 tahun terakhir. Menurut *British Plastic Federation* (BPF), Indonesia masih mengimpor 40% kebutuhan polietilena dalam negri. Hal ini disebabkan karena jumlah bahan baku yaitu *ethylene* yang kurang. Kementerian Perindustrian mengatakan bahwa produksi *ethylene* dalam negri tidak mengalami kenaikan signifikan, sedangkan permintaan *ethylene* cenderung meningkat sehingga harus dilakukan impor untuk memenuhi permintaan dari pasar.

Sampai tahun 2018, pabrik yang memproduksi *ethylene* hanya PT. Chandra Asri Petrochemical Indonesia. Produk *ethylene* dari PT. Chandra Asri hampir semuanya dikonsumsi sebagai bahan baku *Low Linear Density Poliethylene* (LLPDE) dan *High Density Polyethylene* (HDPE). Saat ini, *ethylene* yang diproduksi oleh PT Chandra Asri Petrochemical adalah 860 KTPA. (Chandra Asri Petrochemical Company Profile, 2019).

Berdasarkan RIPIN 2015 – 2035 dan Laporan Ditjen Industri Kimia, Tekstil, dan Aneka salah satu industri yang menjadi industri prioritas di Indonesia adalah Industri Kimia Dasar Berbasis Migas dan Batubara, yang merupakan bagian dari Industri Hulu. Pengembangan industri berbasis migas dan batubara akan meningkatkan nilai jual migas karena sebelumnya, mayoritas migas hanya dijual di dalam negri sebagai pembangkit tenaga listrik ataupun di ekspor sebagai komoditas barang mentah.

Berdasarkan data dari Direktorat Jendral Minyak dan Gas Alam Kementerian Energi dan Sumber Daya Mineral (ESDM), cadangan gas alam mencapai 135,5 TSCF per tanggal 1 Januari 2018. Komposisi gas alam berbeda – beda tergantung dari kondisi sumur dan spesifikasi gas jual yang diinginkan. Akan tetapi, secara umum komponen utama penyusun gas alam adalah metana (CH_4) dan etana (C_2H_6) dengan impurities seperti CO_2 , H_2O dan H_2S . Gas alam biasanya digunakan untuk memenuhi kebutuhan industri, memenuhi *power plant* dan konsumsi rumah tangga. Di Indonesia sendiri, mayoritas digunakan untuk memenuhi kebutuhan industri maupun suplai untuk *power plant*. Dalam memenuhi kebutuhan

industri, terutama industri petrokimia, gas alam banyak digunakan sebagai *feedstock*. Kandungan metana pada gas alam dapat digunakan sebagai bahan baku alternatif pengganti nafta dalam memproduksi etilena. Produksi etilena sendiri di Indonesia umumnya menggunakan nafta sebagai *feedstock*, akan tetapi bahan baku berupa nafta sendiri masih harus diimpor. Oleh sebab itu gas alam dengan cadangannya yang melimpah, dapat digunakan sebagai bahan baku alternatif.

Dengan pertimbangan – pertimbangan di atas, berupa melimpahnya cadangan gas alam di Indonesia, kurangnya produksi etilena dan peningkatan kebutuhan etilena, maka hal tersebut menjadikan landasan untuk membangun pabrik etilena dengan bahan baku gas alam. Selain itu, pertimbangan juga diperkuat oleh Permenperin no 49 dan no 102 tahun 2009 yang bertujuan membatasi impor, berisi tentang kewajiban instansi untuk membentuk tim Peningkatan Produk Dalam Negeri (P3DN). Kebijakan dalam P3DN bertujuan untuk meningkatkan penggunaan produk – produk dalam negeri, dalam hal ini berupa penggunaan gas alam sebagai bahan baku utama produksi etilena.

I.2 Etilena Bahan Baku Pembuatan Etilena

Etilena adalah senyawa organik sederhana dalam gugus alkena, yang mengandung ikatan rangkap pada karbonnya (senyawa olefin) sehingga termasuk hidrokarbon tidak jenuh. Etilena memiliki rumus kimia C_2H_4 atau $H_2C=CH_2$ yang memiliki sifat tidak berwarna, mudah terbakar dan memiliki bau yang khas. Titik leleh etilena adalah $-169.4\text{ }^{\circ}\text{C}$ dan titik didihnya $-103.9\text{ }^{\circ}\text{C}$. Etilena dapat diturunkan menjadi beberapa bahan kimia utama dan polimer. Produk turunan dari etilena antara lain dapat dilihat pada daftar di bawah ini. (Simoe, 2013).

1. Low Density Polyethylene (LDPE)
2. Low Linear Density Polyethylene (LLDPE)
3. High Density Polyethylene (HDPE)
4. Ethylene Dichloride (EDC)
5. Vinyl Dichloride (VDC)

6. Polyvinyl Chloride (PVC) serta kopolimernya
7. Alfa-Olefine (AO)
8. Ethylene Oxide (EO)
9. Mono Ethylene Glycol (MEG) digunakan dalam produksi poliester dan antibeku
10. Vinyl Acetate (MVA)
11. Etanol
12. Ethylene Propylene Diene Monomer (EPDM)
13. Co-Monomer untuk Polypropylene
14. Ethyl Benzene (EB)
15. Stirena Monomer (SM)
16. Polystyrene (PS) beserta kopolimernya

Feedstock dalam pembuatan etilena secara umum terbagi menjadi 3, yaitu :

1. Naphtha

Naphtha adalah suatu kelompok unsur karbon C5 hingga C12 yang terdiri dari beberapa jenis hidrokarbon cair produk antara kilang minyak yang digunakan terutama sebagai bahan baku produksi komponen bensin oktan tinggi melalui proses reformasi katalitik. Naphtha banyak diperoleh dari pemurnian minyak entah atau gas alam dengan titik didih kira-kira berada pada 27°C – 221°C. Naphtha dibagi menjadi dua kategori, yaitu *light naphtha* dan *heavy naphtha*. Bahan baku untuk pembuatan ethylene adalah *light naphtha* yang berasal dari Saudi Arabia (*Arabian Light Naphtha*).

Penggunaan *Arabian Light Naphtha* dilakukan pertimbangan, seperti bahan baku untuk ethylene minimal mengandung 75% parafin, kandungan parafin dalam *light naphtha* lebih besar daripada *heavy naphtha* dan memenuhi minimal 75% parafin, dan dapat menghasilkan produk lebih banyak. *Light naphtha* diimport dari Saudi Arabia karena memiliki karakteristik yang sesuai untuk diolah menjadi ethylene. *Light naphtha* Indonesia saat ini hanya mampu memenuhi karakteristik untuk pembuatan pupuk, sehingga jika digunakan *light naphtha* domestik maka akan membutuhkan biaya

operasi yang sangat tinggi untuk mendapatkan spesifikasi produk ethylene yang diinginkan.

2. Etanol

Produksi etilena dari etanol di Indonesia belum dilakukan, hal itu dikarenakan pembuatan etanol di Indonesia sebagian besar dilakukan dengan proses fermentasi dari bahan pangan seperti singkong. Jika etilena dibuat dari etanol, maka ketahanan pangan nasional dapat terganggu dan tidak sesuai dengan prinsip holistik, dimana bahan makanan seharusnya digunakan untuk pangan, setelah itu baru digunakan untuk diolah menjadi bahan lain.

Akan tetapi, produksi etilena dari etanol dapat bernilai ekonomis jika produksi etanol dari fermentasi suatu negara tersebut melimpah dan tidak memiliki sumber gas alam maupun minyak bumi.

3. Gas Alam

Indonesia termasuk dalam negara dengan cadangan gas alam terbesar nomor 9 di dunia menurut OPEC di akhir tahun 2017. Kandungan gas alam yang dapat dimanfaatkan untuk menjadi etilena adalah metana dan etana. Metana akan melewati proses OCM dan Etana akan melewati proses *thermal cracking*. Secara umum, proses *thermal cracking* sendiri menghasilkan yield paling besar dibandingkan oleh OCM. Akan tetapi, kandungan gas alam di Indonesia mayoritas mengandung metana. Oleh sebab itu, *feedstock* antara etana dan metana masih kompetitif. Di beberapa studi literatur, proses OCM dan *thermal cracking* dapat dikombinasi untuk menghasilkan yield yang lebih besar. Perbandingan bahan baku dalam pembuatan etilena dapat dilihat pada tabel di bawah ini (Inaplas, 2009).

Tabel I.1 Perbandingan Bahan Baku dalam Pembuatan Etilena

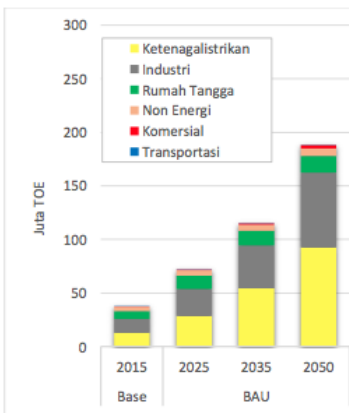
| Bahan Baku | Proses | Suhu Operasi (°C) | Kelebihan | Kekurangan |
|------------|----------------|-------------------|------------------|--------------|
| Naphtha | <i>Thermal</i> | 647 - 900 | Harga bahan baku | Suhu operasi |

| | | | | |
|----------|--|-----------|--|---|
| | <i>Cracking</i> | | murah dan mudah didapat, yield besar. | tinggi, harga bahan baku import dan fluktuatif. |
| Etanol | Dehidrasi Etanol | 300 - 400 | Suhu operasi rendah, bahan baku selalu tersedia. | Menganggu kestabilan pangan nasional. |
| Gas Alam | <i>Oxidation Coupling of Methane (OCM)</i> | 700 - 900 | Harga bahan baku murah dan mudah didapat. | Yield rendah, suhu operasi tinggi. |

Dari pertimbangan – pertimbangan di atas, dapat diketahui bahwa penggunaan gas alam sebagai bahan baku lebih menguntungkan. Oleh sebab itu digunakan gas alam sebagai bahan baku pembuatan etilena.

I.3 Potensi Bahan Baku Gas Alam

Indonesia masuk dalam negara dengan cadangan gas alam terbesar nomor 9 menurut OPEC pada akhir tahun 2017. Berdasarkan data dari Direktorat Jendral Minyak dan Gas Alam Kementerian Energi dan Sumber Daya Mineral (ESDM), cadangan gas alam mencapai 135,5 TSCF per tanggal 1 Januari 2018. Gas alam biasanya digunakan untuk memenuhi kebutuhan industri, memenuhi *power plant*, komersial, transportasi dan konsumsi rumah tangga. Di Indonesia sendiri, mayoritas digunakan untuk memenuhi kebutuhan industri maupun suplai untuk *power plant*. Dalam memenuhi kebutuhan industri, terutama industri petrokimia, gas alam banyak digunakan sebagai *feedstock* (Kementerian ESDM, 2016)



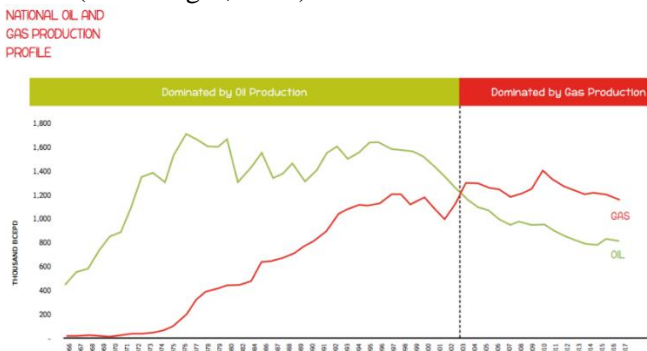
Gambar I.2 Kebutuhan Gas Alam di Indonesia

Akan tetapi mayoritas produksi gas alam di Indonesia akan di eksport ke luar negeri. Hal ini menjadikan nilai jual gas alam sebagai penyumbang devisa tidak optimal karena tidak diolah lebih lanjut untuk meningkatkan nilai jual produk akhir. Indonesia melalui RIPIN 2015 – 2035 berkomitmen untuk meningkatkan nilai tambah dari gas alam dengan cara diolah menjadi bahan kimia utama, salah satunya adalah etilena.

Produksi etilena sendiri di Indonesia umumnya menggunakan nafta sebagai *feedstock*. Nafta telah terbukti dapat memenuhi spesifikasi produk etilena yang diinginkan. Akan tetapi, terdapat permasalahan dari nafta yaitu nafta yang digunakan masih harus import dari Timur Tengah (*Light Arabian Naphta*) dan harga nafta yang fluktuatif terhadap harga minyak dunia.

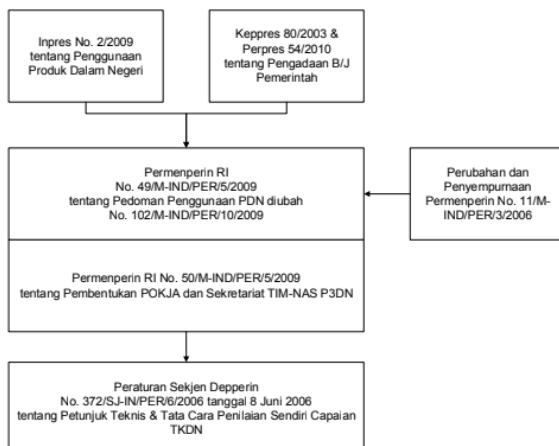
Naphta masih harus import karena spesifikasi alat pembuatan etilena di Indonesia berdasarkan dari *light* naphta dari Timur Tengah. Hal ini karena jika menggunakan naphta dari Indonesia, maka biaya yang dibutuhkan akan meningkat untuk memenuhi spesifikasi produk etilena yang diinginkan. Selain itu juga terdapat permasalahan lain dimana menurut SKK Migas, produksi minyak dalam bumi terus menurun, dan pada tahun 2003, produksi gas di Indonesia menyamai produksi minyak dalam negeri. Pada grafik juga menunjukkan tren bahwa produksi minyak akan terus

menurun. Sehingga import menjadi sesuatu yang tidak dapat dihindarkan. (SKK Migas, 2017)



Gambar I.3 Grafik Produksi Minyak dan Gas di dalam Negeri

Padahal pemerintah memiliki kewajiban untuk meningkatkan penggunaan produksi dalam negeri, dalam hal ini adalah penggunaan nafta dalam negeri. Hal ini tertuang dalam Inpres No 2/2009 tentang Penggunaan Produk dalam Negeri yang menjelaskan tentang beberapa tujuan pengadaan barang/jasa pemerintah, misal memaksimalkan penggunaan barang/jasa hasil produksi dalam negeri termasuk rancang bangun dan perekayasaan nasional, dan penggunaan penyesdian barang/jasa nasional. Keppres no 80 Tahun 2003 menjelaskan bahwa instansi pemerintah wajib memaksimalkan penggunaan barang/jasa hasil produksi dalam negeri. Permenperin no 49 dan no 102 tahun 2009 berisi tentang kewajiban instansi untuk membentuk tim Peningkatan Produk Dalam Negeri (P3DN). Struktur kebijakan P3DN dapat dilihat pada gambar di bawah. (Kemenperin,2017)



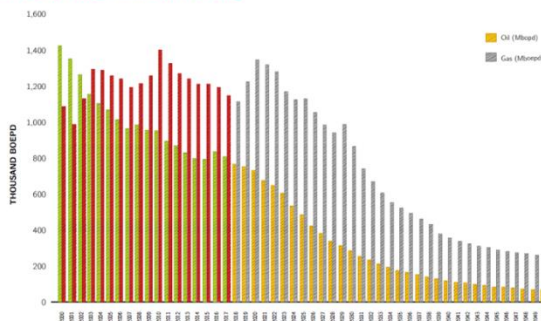
Gambar I.4 Struktur Kebijakan P3DN

Oleh sebab itu, alternatif gas alam sebagai pengganti naphta akan mendukung kebijakan pemerintah dalam memaksimalkan penggunaan gas alam produksi dalam negeri.

Permasalahan yang kedua adalah harga naphta yang fluktuatif. Harga minyak dunia saat ini memang dapat dikategorikan moderat , sampai pada 26 Desember 2019, harga minyak mentah Brent mencapai USD 69,26 per barel. Sedangkan, harga gas alam henry hub, menurut DeGolyer dan MacNaughton, hingga 1 Desember 2019 adalah USD 2,46 per mmBTU. Gas alam dengan cadangannya yang melimpah di Indonesia, dapat digunakan sebagai bahan baku alternatif dalam pembuatan etilena.

Menurut laporan SKK Migas, produksi gas alam di Indonesia memang akan mengalami penurunan selama belum ditemukannya cadangan baru, akan tetapi jumlah dari gas alam ini masih bisa dioptimalkan untuk pembuatan pabrik – pabrik berbahan dasar migas. Oleh sebab itu, *continuity* dari gas alam di Indonesia dapat dikatakan masih dalam batas sangat aman. Di bawah adalah grafik *forecasting* produksi gas alam di Indonesia. Gas alam diindikasikan dengan bar berwarna abu – abu (SKK Migas, 2017).

NATIONAL OIL AND GAS PRODUCTION PROFILE
SCENARIO WITHOUT EOR PROJECTS IN THE FUTURE



Gambar I.5 Skenario Profil Produksi Minyak

Dari pertimbangan – pertimbangan di atas, dapat disimpulkan bahwa gas alam yang ada di Indonesia menunjukkan suatu hal yang positif dan berpotensi tinggi. Hal tersebut dikarenakan Indonesia merupakan negara dengan cadangan gas alam yang besar dan tren produksi yang masih mencukupi sampai tahun 2050. Pembangunan industri petrokimia akan meningkatkan nilai tambah gas alam dan merupakan langkah strategis dalam upaya mendorong hilirisasi gas alam.

I.4 Kebutuhan Ethylene di Indonesia

Peran industri dalam pertumbuhan ekonomi di Indonesia sangatlah besar karena telah mampu memberikan nilai signifikan dalam peningkatan lapangan kerja, devisa negara, serta mampu memberikan kontribusi dalam peningkatan nilai tambah produk dan pembentukan daya saing nasional. Secara umum, industri petrokimia merupakan industri strategis yang menghasilkan bahan baku industri manufaktur.

Perkembangan industri di Indonesia khususnya industri kimia, mengalami peningkatan secara signifikan dari tahun ke tahun. Dari segi kualitas maupun kuantitas, serta dari proses menghasilkan bahan jadi maupun setengah jadi sudah mengalami peningkatan yang baik, namun masih belum mampu memenuhi kebutuhan pasar.

Kebutuhan ethylene di Indonesia semakin hari semakin meningkat seiring dengan pertumbuhan populasi penduduk serta

perkembangan dunia industri yang sangat cepat. Diprediksikan pada tahun 2025, akan dibutuhkan sekitar 2000 KTPA ethylene untuk memenuhi kebutuhan industri petrokimia dalam negeri berdasarkan Pusat Data dan Informasi Kementerian Perindustrian. Namun sayangnya, melihat keadaan saat ini, industri dalam negeri belum mampu memenuhi kebutuhan tersebut, padahal terdapat bahan baku yang begitu melimpah. Hal inilah yang menjadi dasaran RIPIN 2015 – 2035 memprioritaskan produksi etilena menjadi salah satu tumpuan industri nasional.

Menurut British Plastic Federation (BPF), 40% kebutuhan polietilena dan polipropilena di Indonesia masih dipenuhi dengan impor. Hal ini disebabkan karena kapasitas produksi polietilena di Indonesia tidak mengalami perubahan signifikan sejak 10 tahun terakhir, tetapi berada di angka 750.000 ton/tahun menurut www.datacon.co.id. Kekurangan polietilena ini disebabkan oleh jumlah feedstock, yaitu etilena yang kurang.

Potensi pasar yang terus berkembang di Indonesia tidak diimbangi dengan kapasitas produksi ethylene. Oleh karena itu, diperlukan adanya pembangunan industri kimia Indonesia untuk mengurangi ketergantungan Indonesia terhadap industri luar negeri. Hal ini akan berpengaruh positif pada pengeluaran devisa untuk mengimpor bahan-bahan kimia tersebut. Sehingga penambahan pabrik ethylene merupakan solusi yang tepat untuk menyelesaikan permasalahan tersebut.

I.6 Aspek Pasar Ethylene

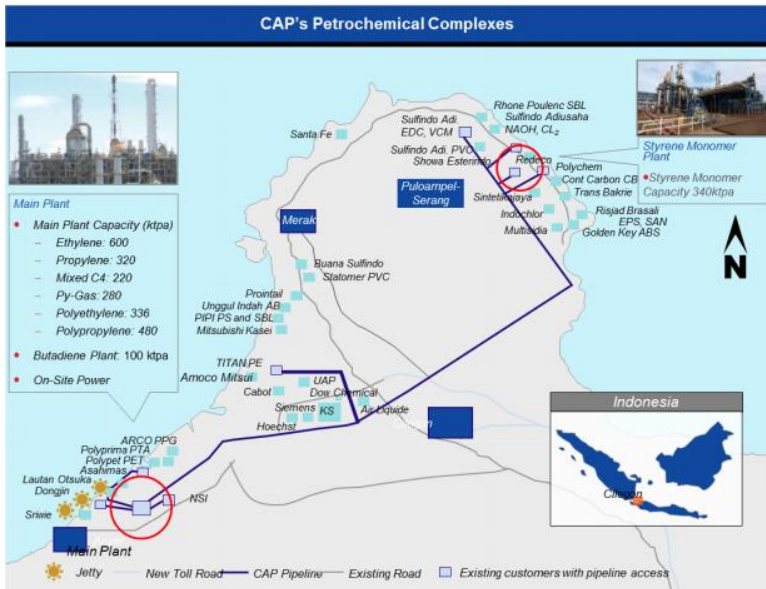
Kebutuhan ethylene dalam negeri akan terus mengalami peningkatan seiring dengan meningkatnya perkembangan, pertumbuhan dan pembangunan ekonomi nasional. Di Indonesia sendiri, proyeksi pertumbuhan permintaan dari tahun 2017 – 2023 adalah sekitar 3.1%. Hal ini membuktikan bahwa pasar etilena di Indonesia sangat menjanjikan.

Tabel I.2 Data Produksi, Konsumsi, Ekspor dan Impor Etilena di Indonesia

| Tahun | Produksi (kg) | Konsumsi (kg) | Ekspor (kg) | Impor (kg) |
|-------|--------------------|---------------|-------------|---------------|
| 2014 | 600.000.000 | 1.236.191.626 | 700.480 | 636.892.106 |
| 2015 | 600.000.000 | 1.286.523.740 | 19.109.638 | 705.633.378 |
| 2016 | 860.000.000 | 1.389.941.259 | 114.404.278 | 644.345.537 |
| 2017 | 860.000.000 | 1.360.634.688 | 120.077.035 | 620.711.723 |
| 2018 | 860.000.000 | 1.240.770.987 | 252.678.512 | 633.449.499 |
| Total | 3.780.000.000 0 | 6.514.062.300 | 506.969.943 | 3.241.032.243 |

Dari data di atas dapat dilihat bahwa impor etilena untuk memenuhi kebutuhan pasar masih sangat tinggi, berada pada kisaran angka 600 KTA. Bahkan, data dari Dit. Industri Kimia Hulu, Kemenperin menyebutkan bahwa proyeksi kebutuhan etilena pada tahun 2025 mencapai 2.100 KTA. Ditambah dengan produksi gas alam yang melimpah dan dukungan pemerintah terhadap industri petrokimia hulu, menjadikan prospek produksi etilena dari gas alam di Indonesia sangat menjanjikan.

Pengguna etilena terbesar di Indonesia adalah PT. Chandra Asri Petrochemical yang berlokasi di Banten. Oleh karena itu, kita menjadikan PT. Chandra Asri Petrochemical sebagai pasar produk etilena kami.



Gambar I.6 Target Pasar (PT Chandra Asri Petrochemical)

Selain Chandra Asri, beberapa konsumen potensial etilena dirangkum dalam tabel di bawah ini.

Tabel I.3 Industri Berbasis Etilena

| No | Nama Perusahaan | Produk | Keterangan |
|----|-------------------------------|-----------------------------------|---|
| 1. | PT Prima Ethycolindo | Etilen Oksida | 120.000 ton/tahun |
| 2. | PT Chandra Asri Petrochemical | LLDPE HDPE | 336.000 ton/tahun |
| 3. | PT Satomo Indovyl Monomer | Vinil Klorida Etilen diklorida | Kapasitas: Vinil Klorida 100.000 ton/tahun Etilen diklorida 275.000 |

| | | | |
|----|-----------------------------------|--------------------------------------|----------------------|
| | | | ton/tahun |
| 4. | PT Asahimas Chemical | Vinil Klorida Etilen diklorida | |
| 5. | PT Lotte Chemical Titan Nusantara | LLDPE HDPE | 450.000 ton/tahun |
| 6. | PT Polychem Indonesia Tbk | Etilen Glikol | 216.000 ton/tahun |

BAB II

BASIS DESAIN DATA

II.1 Kapasitas

Kapasitas merupakan elemen yang penting dalam mendirikan suatu pabrik. Dalam penentuan kapasitas, banyak faktor-faktor yang harus dipertimbangkan seperti kebutuhan/permintaan akan produk yang dihasilkan, peraturan pemerintah, ataupun melakukan penyesuaian kapasitas produksi dengan pabrik sejenis yang sudah ada.

Kebutuhan *ethylene* di Indonesia pada tahun 2018 adalah sebesar 1,4 juta ton per tahun. Dengan kebutuhan konsumsi *ethylene* tersebut, hanya mampu dipasok oleh PT. Chandra Asri sebagai produsen tunggal di Indonesia dengan kapasitas produksi sebesar 860 KTPA, sedangkan sisanya diimpor dari Singapura, Korea Selatan, dan Timur Tengah. Hingga saat ini, produsen dalam negeri masih mengalami kesulitan dalam memenuhi kebutuhan *ethylene* domestik, maka dari permasalahan tersebut Indonesia membutuhkan pabrik *ethylene* baru yang kapasitasnya 1,5 hingga 2 kali pabrik Chandra Asri.

Berdasarkan tabel *Supply Demand Ethylene* di Indonesia, maka dilakukan perhitungan untuk menentukan kapasitas yang akan ditetapkan untuk pembangunan pabrik *Ehylene*.

Tabel II.1 Data Pertumbuhan Produksi, Konsumsi, Ekspor, dan Impor

| pertumbuhan | produksi | konsumsi | impor | ekspor |
|--------------------|-----------------|-----------------|--------------|---------------|
| 2013-2014 | 0.016 | 0.015 | 0.014 | -0.994 |
| 2014-2015 | -0.022 | 0.041 | 0.108 | 26.281 |
| 2015-2016 | 0.022 | 0.080 | -0.087 | 4.987 |
| 2016-2017 | 0.017 | -0.021 | -0.037 | 0.050 |
| 2017-2018 | 0.044 | -0.088 | 0.021 | 1.104 |
| 2018-2019 | 0.015 | 0.003 | 0.004 | 0.053 |
| Rata-Rata | 0.015 | 0.005 | 0.004 | 5.247 |

Dari tabel diatas, dapat diprediksi kebutuhan *ethylene* pada tahun 2023 sesuai persamaan *discounted* dibawah ini:

$$P_{2023} = P_{2018} \times (1 + i)^n$$

dimana, n = 2023-2018 = 5

P = kapasitas produksi

(*Peters & Timmerhaus, 1991*)

Untuk kapasitas konsumsi, ekspor, impor digunakan persamaan yang sama dengan perhitungan diatas. **Tabel II.2** merupakan hasil dari perhitungan yang telah dilakukan.

Tabel II.2 Data Pertumbuhan Produksi, Konsumsi, Ekspor, dan Impor

| | Pertumbuhan Produksi | Pertumbuhan Konsumsi | Pertumbuhan Impor | Pertumbuhan Ekspor |
|------|----------------------|----------------------|-------------------|--------------------|
| 2027 | 860000000 | 1274453577 | 655010653.3 | 403198793.7 |

Dengan demikian, kapasitas produksi pada tahun 2023 dapat dihitung dengan persamaan dibawah ini:

Kapasitas produksi

$$\begin{aligned} &= (Ekspor + Konsumsi) - (Impor + Produksi) \\ &= (403198793,7 + 1274453577) - (655010653,3 \\ &\quad + 860000000) \\ &= 162641717,7 \text{ ton/tahun} \end{aligned}$$

Kapasitas ini merupakan kapasitas produksi nasional, untuk menentukan kapasitas produksi pabrik *ethylene* yang akan didirikan, perlu diperhatikan aspek kompetitor yakni industri *ethylene* lain yang beroperasi seperti PT. Chandra Asri yang memproduksi *ethylene* sebesar 860 KTPA. Saat ini, kapasitas tersebut hanya mampu memenuhi kebutuhan domestik sebesar 30% dari kebutuhan seluruhnya, sehingga 70% masih dipasok dari luar negeri. Berdasarkan pertimbangan tersebut, maka ditetapkan kapasitas produksi pabrik *ethylene* dari kebutuhan *ethylene* di Indonesia

sebesar 700 KTPA. Sehingga diharapkan, dapat memenuhi kebutuhan *ethylene* sebesar 35,4% dari konsumsi dan impor.

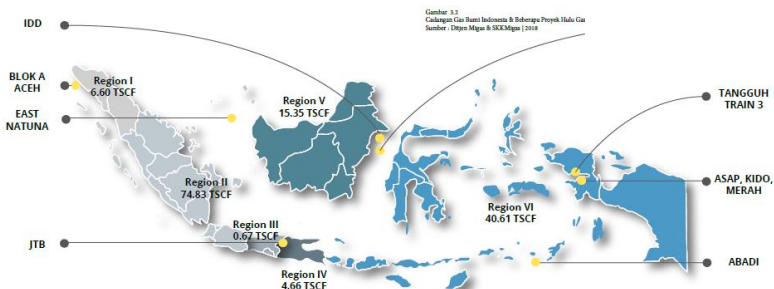
II.2 Lokasi

Letak geografis suatu pabrik mempunyai pengaruh besar terhadap kelangsungan atau keberhasilan pabrik tersebut. Karena itu penentuan lokasi pabrik yang akan didirikan sangat penting dalam perencanaannya. Lokasi pabrik yang tepat, ekonomis dan menguntungkan, harga produk yang semurah mungkin. Idealnya lokasi yang akan dipilih harus dapat memberikan keuntungan jangka panjang baik untuk perusahaan maupun warga sekitar, serta dapat memberikan kemungkinan untuk memperluas atau menambah kapasitas pabrik tersebut.

Pada pemilihan lokasi pendirian pabrik *ethylene*, telah dilakukan yang diantaranya sebagai berikut:

- a. ketersediaan bahan baku
- b. lokasi pemasaran
- c. sumber energi listrik dan air
- d. sumber tenaga kerja
- e. aksesibilitas dan fasilitas transportasi
- f. iklim dan topografi

a. Ketersediaan Bahan Baku Cadangan dan Pemanfaatan Gas Alam



Gambar II.1 Peta Geografis Cadangan Gas Alam di Indonesia
Sumber: Ditjen Migas & SKKMigas, 2018

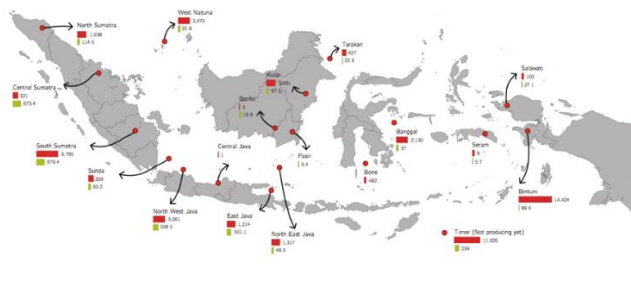
Cadangan gas alam Indonesia per Januari 2017 mencapai 142.72 TSCF, sebesar 100.36 TSCF merupakan cadangan terbukti dan 42.36 TSCF merupakan cadangan potensial. Cadangan terbesar berada di Region II sebesar 74.83 TSFC yang sudah termasuk East Natuna sebesar 46 TSCF, kemudian Region VI sebesar 40.61 TSCF dan Region V sebesar 15.35 TSCF.

Untuk menjamin pasokan gas domestik dan kehandalan dari gas alam Indonesia, terdapat beberapa proyek hulu gas bumi Indonesia yaitu :

1. Blok A Aceh dengan cadangan gas alam sebesar 0.56 TSCF yang rencananya dimanfaatkan untuk Sektor Pupuk dan Sektor Industri. Diperkirakan akan *first gas in* dipertengahan 2018.
2. East Natuna dengan cadangan gas bumi sebesar 46.00 TSCF tidak termasuk CO₂ sebesar 72% yang sampai saat ini belum ada rencana pemanfaatan.
3. Jambaran Tiung Biru (JTB) dengan cadangan gas bumi sebesar 1.20 TSCF tidak termasuk CO₂ 34% yang rencananya dimanfaatkan untuk Sektor Kelistrikan dan Sektor Industri. Diperkirakan akan *first gas in* pada tahun 2020 dengan kemampuan 330 MMSCFD.
4. IDD dengan cadangan gas bumi sebesar 2.32 TSCF dengan kemampuan produksi IDD Bangka 85 MMSCFD yang dialokasikan ke PT Pertamina (Persero) yang sudah terkomersialisasi dan IDD Rapak Ganal 800 MMCFD yang belum ada rencana pemanfaatannya.
5. Merakes dengan cadangan gas bumi sebesar 0.81 TSCF (sertifikasi LAPI ITB), dengan perkiraan produksi sebesar 391 MMSCFD. Diperkirakan akan *first gas in* pada tahun 2021.
6. Tangguh Train 3 dengan cadangan gas bumi 5.7 TSCF dengan kemampuan produksi 709 MMSCFD. Diperkirakan *first gas in* pada kuartal II-2020 yang akan dimanfaatkan untuk Sektor Petrokimia dan Sektor Kelistrikan.

7. Asap-Kido-Merah dengan cadangan gas bumi sebesar 1.49 TSCF (rekomendasi pengajuan POD) dengan kemampuan produksi 170 MMSCFD. Diperkirakan first gas in pada kuartal I-2021 yang akan dimanfaatkan untuk Sektor Petrokimia dan Sektor Industri.
8. Abadi dengan cadangan gas bumi sebesar 10.73 TSCF (0.9 P1, sertifikasi Lemigas) perkiraan kemampuan produksi 1,200 MMSCFD. Diperkirakan first gas in pada tahun 2027 yang saat ini belum ada rencana pemanfaatannya.

OIL AND GAS RESERVES MAP
1 JANUARY 2017



mbar II.2 Realisasi Penyerapan Gas Bumi 2017 vs Kontrak PJBG per Region

Sumber: Ditjen Migas & SKKMigas, 2018

Berdasarkan data realisasi dan kontrak, Region III memenuhi kontrak dengan pemanfaatan gas sebesar 98.4% dimana paling besar digunakan untuk sektor kelistrikan (penyerapan 100%), disusul oleh Region V dengan pemanfaatan gas sebesar sebesar 93.2% dimana sektor pupuk, own-used Bontang dan sektor industri menyerap sesuai kontrak, selanjutnya Region II dengan pemanfaatan gas sebesar sebesar 85.1% untuk penyerapan sesuai kontrak sektor lifting migas dan sektor industri di Jawa Barat serta Region VI sebesar 84.3% untuk sektor lifting migas dan sektor industri (DS-LNG). Untuk

Region IV total pemanfaatan gas sebesar 82.7% untuk sektor kelistrikan dan industri.

berdasarkan ketersediaan bahan baku dapat dikatakan bahwa Bintuni, Sumatra Selatan dan Jawa Barat Utara adalah tiga daerah dengan cadangan gas alam terbesar di Indonesia. Hal ini menjadi penting mengingat ketersediaan gas alam sebagai bahan baku harus aman selama pabrik terus berjalan. Selain itu, terdapat blok Masela di daerah Maluku Tenggara dengan cadangan 10,73 TCF menurut Badan Geologi pada 16 Februari 2017 yang patut dipertimbangkan. Dengan beberapa pertimbangan provinsi gas alam tersebut, dipilihlah empat provinsi yang memungkinkan untuk dibangun pabrik. Lokasi tersebut adalah Papua Barat, Sumatra Selatan, Banten dan Maluku Tenggara.

Proyeksi Pasokan Gas Bumi

Pasokan gas bumi (supply) ke Region VI pada tahun 2018 diperkirakan mencapai 1,613.49 MMSCFD dengan rincian Existing Supply sebesar 1,545.59 MMSCFD dan Project Supply sebesar 67.90 MMSCFD.

Tabel II.3 Perkiraan Pasokan Gas Alam Region II-1 1 Januari 2018-2027 (MMSCFD)

| Existing Supply | | Tahun | | |
|-----------------|----------------------|----------|--------|--------|
| Uraian | | 2018 | 2022 | 2027 |
| Sulawesi | Kampung Baru | 54.69 | 54.69 | - |
| | JOBP-ME&PTS -Tiaka | - | 3.4 | - |
| | JOBP-ME&PTS -Senoro | 310 | 325.79 | 313.1 |
| | Matindok | 103.99 | 103.99 | 104.2 |
| Papua | BP BERAU Ltd. | 1,069.76 | 894.41 | 477.23 |
| | PETROGAS (BASIN) LTD | 4.9 | 5.25 | 0.23 |
| | JOB PTM-Petrochina | 2.25 | | |

| | | | |
|------------------------------|---------|---------|--------|
| Salawati | | | |
| Total Existing Supply | 1545.59 | 1387.53 | 894.76 |

Dari tabel tersebut dapat diketahui bahwa untuk *existing supply* wilayah Sulawesi dan Papua dari tahun 2018-2027 didominasi pasokan dari British Petroleum BERAU yang memasok sebesar 500 MMSCFD, JOBP-ME&PTS - Senoro sebesar 310 MMSCFD, Matindok sebesar 104 MMSCFD, Kampung Baru sebesar 55 MMSCFD dan PETROGAS (BASIN) LTD sebesar 3.5 MMSCFD. Sehingga BP BERAU Ltd. memiliki potensi yang besar untuk memenuhi kebutuhan *raw material* produksi *ethylene*.

b. Jarak Pabrik dengan Bahan Baku dan Pasar

Jarak akan menjadi faktor yang paling utama dalam penentuan suatu pabrik karena berhubungan langsung dengan biaya yang akan dikeluarkan dalam transportasi. Dari empat daerah tersebut, jika pabrik didirikan di Sumatra Selatan maka akan diambil gas alam dari *sales gas* ConocoPhillips Indonesia, di Papua Barat dari *sales gas* BP BERAU Ltd., Banten dari *sales gas* Pertamina dan apabila pabrik didirikan di Maluku Tenggara maka akan diambil dari *sales gas* PT Inpex. Penentuan lokasi pabrik sudah ditentukan sebelumnya sehingga dapat diukur berapa perkiraan jarak yang harus ditempuh, begitu juga ketika mentransportasikan etilena ke PT Chandra Asri Petrochemical.

Tabel II.4 Perkiraan Jarak Tempuh *Sales Gas* ke Pabrik

| | Papua Barat | Sumatra Selatan | Banten | Maluku |
|--------------------------|-------------|-----------------|--------|--------|
| Jarak Tempuh (KM) | 70 | 399,06 | 65,71 | 20,46 |

Tabel II.5 Perkiraan Jarak Tempuh Pabrik Etilena ke PT Chandra Asri Petrochemical

| | | | | |
|--|-------|---------|--------|--------|
| | Papua | Sumatra | Banten | Maluku |
|--|-------|---------|--------|--------|

| | Barat | Selatan | | |
|-------------------|----------|---------|-------|----------|
| Jarak Tempuh (KM) | 3.029,87 | 105,48 | 38,86 | 2.813,81 |

Dari tabel di atas dapat dilihat bahwa berdasarkan jarak dari pabrik etilena ke pasar (PT Chandra Asri Petrochemical), maka pemilihan lokasi di Banten adalah pilihan terbaik, diikuti oleh Sumatra Selatan, Maluku dan lalu Papua Barat. Sementara jika dilihat jarak tempuh sales gas ke pabrik, maka yang paling baik adalah Maluku, Banten, Papua Barat and Sumatera Selatan. Selain itu, di Banten juga terdapat banyak pabrik petrochemical yang dapat mendukung arah pemasaran *ethylene*.



Gambar II.3 Peta Lokasi Kegiatan PT. CAP

c. Sumber Energi Listrik dan Air

Sumber energi listrik menjadi faktor primer dalam menjalankan suatu pabrik, supply energi harus selalu ada dalam menjamin pabrik terus beroperasi. Direktorat Jendral Ketenagalistrikan, Kementerian ESDM, mengeluarkan data mengenai kapasitas terpasang

pembangkit tenaga listrik (MW) PLN per jenis pembangkit per wilayah pada tahun 2016. Diambil data untuk daerah Papua Barat, Sumatera Selatan, Banten dan Maluku.

Tabel II.6 Kapasitas Terpasang Pembangkit Tenaga Listrik Pada Tahun 2016

| | Papua Barat | Sumatera Selatan | Banten | Maluku |
|-----------------|-------------|------------------|---------|--------|
| PLTA | 4,13 MW | - | - | |
| PLTU | - | - | - | 1,38 |
| PLTG | - | - | - | |
| PLTGU-G | - | - | - | |
| PLTP | - | - | - | |
| PLTD | 49,86 MW | 4,75 MW | 0,15 MW | 85,02 |
| PLTS | 0,39 MW | - | - | 1,11 |
| PLT Bayu | - | - | - | 0,02 |
| Jumlah | 54,38 MW | 4,75 MW | 0,15 MW | 87,52 |

Dari data tersebut dapat dilihat bahwa pembangkit listrik dengan daya paling besar berada di Maluku, diikuti oleh Papua Barat, Sumatera Selatan dan selanjutnya Banten.

Selain itu provinsi Papua Barat, Sumatera Selatan, Banten dan Maluku memiliki lokasi yang berdekatan dengan air laut sehingga kedua lokasi tersebut sama-sama memiliki sumber air yang tidak terbatas.

d. Sumber Tenaga Kerja

Ketersediaan sumber daya manusia menjadi hal penting yang harus dipertimbangkan dalam merancang suatu pabrik. Lingkungan yang memiliki lebih banyak sumber tenaga kerja yang memadai tentunya akan lebih ideal untuk dijadikan target pembangunan suatu pabrik, karena akan lebih mudah mempekerjakan masyarakat sekitar dibandingkan masyarakat dari daerah lain.Tabel di bawah menyajikan jumlah angkatan kerja per Agustus 2017 menurut data dari BPS.

Tabel II.7 Jumlah Angkatan Kerja per Agustus 2017

| Angkatan Kerja (Laki – Laki + Perempuan per Agustus 2017) | | | |
|--|-----------|--------------|---------|
| | Bekerja | Pengangguran | TPT (%) |
| Papua Barat | 402.526 | 27.952 | 6,49 |
| Sumatera Selatan | 3.942.534 | 181.135 | 4,39 |
| Banten | 5.077.400 | 519.563 | 9,28 |
| Maluku | 642.061 | 65.735 | 9,29 |

Dari data di atas dapat kita lihat bahwa Jumlah angkatan kerja terbesar secara kuantitas berada di provinsi Banten, diikuti oleh Sumatra Selatan dan Papua Barat. Akan tetapi, dalam mencari sumber daya manusia yang kompeten, perlu juga dilihat dari tingkat pendidikannya. Pekerja minimal adalah lulusan diploma. Tabel di bawah menyajikan hal tersebut.

Tabel II.8 Jumlah Angkatan Kerja per Agustus 2017 Berdasarkan Pendidikan Tertinggi yang Ditamatkan

| | Pendidikan Tertinggi yang Ditamatkan | | |
|-------------------------|---|-------------|---------|
| | Diploma | Universitas | Jumlah |
| Papua Barat | 15.600 | 61.635 | 77.235 |
| Sumatera Selatan | 113.855 | 358.192 | 472.047 |
| Banten | 167.459 | 618.653 | 786.112 |
| Maluku | 24.537 | 95.169 | 119.706 |

Dari data di atas, dapat dilihat bahwa Banten menempati peringkat pertama, diikuti oleh Sumatera Selatan, Maluku dan Papua Barat.

e. Aksesibilitas dan Fasilitas Transportasi

Aksesibilitas dan fasilitas transportasi adalah faktor yang menentukan apakan penyediaan bahan baku dan pemasaran nantinya akan berjalan dengan baik atau tidak. Aksesibilitas dan fasilitas transportasi ini melingkupi jalan, bandara, dan pelabuhan

Tabel II.9 Aksesibilitas dan Transportasi per Provinsi

| Provinsi | Panjang Jalan (KM) | Jumlah Bandara | Jumlah Pelabuhan |
|-------------------------|---------------------------|-----------------------|-------------------------|
| Papua Barat | 4.325 | 15 | 7 |
| Sumatera Selatan | 1.462 | 3 | 1 |
| Banten | 6.222 | 2 | 1 |
| Maluku | 1.771 | 10 | 13 |

(bps.go.id)

f. Iklim

Berikut Menurut Badan Meteorologi dan geofisika, data Iklim dari masing – masing wilayah pada tahun 2018 yang akan dijadikan basis data pabrik etilena yang direncanakan mulai beroperasi pada tahun 2020 adalah sebagai berikut.

1. Papua Barat
 - Kelembaban udara : 70 % – 95%
 - Suhu udara : 24 °C – 31 °C
 - Gempa : Tidak ada data
 - Kecepatan angin : 0 mph – 6 mph

2. Sumatera Selatan
 - Kelembaban udara : 50% - 95%
 - Suhu udara : 18 °C – 35 °C
 - Gempa : Tidak ada data
 - Kecepatan angin : 3 mph – 6 mph

3. Banten
 - Kelembaban udara : 50% - 95%
 - Suhu udara : 22 °C – 33 °C
 - Gempa : 14 Oktober 2018 ; 5,2 SR
 - Kecepatan angin : 3 mph – 6 mph

4. Maluku
 - Kelembaban udara : 40% - 95%

- Suhu udara : 22 °C – 33 °C
 - Gempa : 11 Oktober 2018 ; 5,6 SR
 - Kecepatan angin : 1 mph – 9 mph
- (bmkg.go.id pada tanggal 24 Oktober 2018)

Berdasarkan data tersebut, secara kualitatif dapat dilihat bahwa lokasi yang paling aman untuk mendirikan pabrik adalah di Papua Barat dan Sumatra Selatan, sedangkan Banten dan Maluku menjadi rawan karena sering terjadi gempa.

Pembobotan Pemilihan Lokasi Pabrik

Berdasarkan lima pertimbangan yang telah dibuat sebelumnya, dilakukan pembobotan untuk menentukan lokasi pabrik yang ada. Poin persentase yang tersedia merupakan nilai yang diberikan untuk setiap parameter.

Tabel II.10 Pembobotan Pemilihan Lokasi Pabrik

| Para-meter | Scori ng (%) | Papua Barat | | Sumatera Selatan | | Banten | | Maluku | |
|----------------------------|--------------|--------------|-------------|------------------|-------------|--------------|-------------|--------------|-------------|
| | | Nilai (1-10) | Ko-n-ver-si | Nilai (1-10) | Ko-n-ver-si | Nilai (1-10) | Ko-n-ver-si | Nilai (1-10) | Ko-n-ver-si |
| Jarak Bahan Baku ke Pabrik | 30 | 9 | 2.7 | 3 | 0.9 | 9 | 2.7 | 10 | 3 |
| Jarak Pabrik ke Pasar | 20 | 4 | 0.8 | 10 | 2 | 10 | 2 | 6 | 1.2 |
| Energi Listrik | 15 | 4 | 0.6 | 1 | 0.15 | 1 | 0.15 | 9 | 1.35 |
| Aksesabilitas dan | 25 | 6 | 1.5 | 3 | 0.75 | 6 | 1.5 | 7 | 1.75 |

| | | | | | | | | | |
|---------------|----|---|-----|---|-----|---|-----|---|-----|
| Tranpor-tasi | | | | | | | | | |
| Keterse-diaan | 10 | 3 | 0.3 | 7 | 0.7 | 8 | 0.8 | 6 | 0.6 |
| Tenaga Kerja | | | | | | | | | |
| Iklim | 10 | 8 | 0.8 | 8 | 0.8 | 3 | 0.3 | 3 | 0.3 |

| | | | | | | | | | |
|-------------|--|-----|--|-----|--|------|--|-----|--|
| Total Nilai | | 6.7 | | 5.3 | | 7.45 | | 8.2 | |
|-------------|--|-----|--|-----|--|------|--|-----|--|

Berdasarkan penilaian di **tabel II.10**, dapat ditarik kesimpulan bahwa pabrik akan didirikan di Provinsi Maluku, di Pulau Yamdena, dimana bahan baku berupa gas alam yang berada di Blok Masela yang sebelumnya sudah diolah menjadi *sales gas* akan menjadi feedstock dalam pembuatan etilena. Selain itu, dengan pembuatan pabrik ini akan membantu pemerintah dalam mensukseskan pengembangan industri petrokimia di Maluku Utara, karena pengolahan kilang Blok Masela yang dibangun di *onshore*, maka pemerintah menargetkan untuk adanya pertumbuhan industri petrokimia di daerah tersebut.

II.3 Kualitas Bahan Baku dan Produk Karakteristik Bahan Baku

Bahan baku dari pabrik ethylene ini adalah gas alam. Dalam membangun pabrik ini, dibutuhkan data spesifikasi *sales gas* yang diambil dari data PT BP BERAU Ltd. dan spesifikasi etilena *polimer grade* yang berasal dari PT Chandra Asri Petrochemical. Spesifikasi umpan gas alam harus sesuai pada tabel II.11.

Tabel II.11 Spesifikasi Produk *Sales Gas* BP BERAU Ltd.

| Deskripsi | Unit | Spesifikasi |
|---------------------------------|---------|---------------------|
| Kandungan CO₂ | % mol | Maksimum 5% |
| Low Heting Value | Btu/SCF | Minimum 900 Btu/SCF |
| Kandungan C6⁺ | % mol | Maksimum 0,3% |

| | | |
|---------------------------------|----------|----------------------|
| Kandungan H₂O | lb/MMSCF | Maksimum 10 lb/MMSCF |
| Tekanan Sales Gas | KPa | Minimum 7409 |
| Temperatur Sales Gas | °C | 40-45 °C |

Sumber: LTRO 1 A Project Design Basis, 2012

Karakteristik produk

Produk Utama

Produk utama dari *ethylene* plant adalah:

- *Ethylene*: merupakan salah satu hidrokarbon yang termasuk ke dalam golongan olefin (alkena). Hidrokarbon ini mempunyai rantai rangkap dua. Kemurnian *ethylene* mencapai 99,5%, sebagian besar dipakai sebagai bahan baku untuk *polyethylene* (PE).

1. Sifat fisik *ethylene*

Tabel Error! No text of specified style in document..11 Sifat fisik senyawa *ethylene*

| | |
|--------------------------|--|
| Rumus molekul | $\text{CH}_2=\text{CH}_2$ |
| Berat molekul | 28,05 g/gmol |
| Fasa | Gas |
| Warna | Tidak berwarna |
| Titik leleh | -169 °C |
| Titik didih | -103,7 °C (pada 1 atm) |
| Temperatur kritis | 9,15 °C |
| Flash point | -136 °C |
| Tekanan kritis | 50,4 bar |
| Vapor density | 0,978 |
| Volume kritis | 131 cm ³ /mol |
| Densitas | 0,610 g/cm ³ (pada 0 °C, 1 atm) |

2. Sifat kimia

- Mempunyai bau yang khas
- Mudah terbakar

- Bila terhirup pada konsentrasi moderat merupakan zat asphyxant (menyebabkan sakit kepala, rasa kantuk, pening, muntah, dan pingsan)

komposisi dari gas alam dari BP BERAU Ltd.yang akan digunakan sebagai *feedstock* pabrik *ethylene* kami:

Tabel II.12 Spesifikasi Bahan Baku Gas Alam

| Komponen | Komposisi (% mol) |
|-----------------------------------|-------------------|
| CO₂ | 4,794 |
| N₂ | 0,062 |
| C₁ | 84,96 |
| C₂ | 4,4432 |
| C₃ | 3,158 |
| i-C₄ | 0,642 |
| n-C₄ | 0,798 |
| i-C₅ | 0,299 |
| n-C₅ | 0,197 |
| n-C₆₊ | 0,647 |
| Properties | |
| HHV (Higher Heating Value) | 1119 Btu/scf |
| Z | 0,996 |
| SG | 0,702 |

(Sumber: BP BERAU Ltd.)

1. Metana (CH₄)

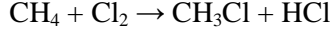
Berdasarkan Perry (1973), sifat fisik dari metana adalah:

- Berat molekul : 16,04 g/mol
- Titik didih : -161,4°C
- Titik lebur : -182,6°C
- Densitas : 0,717 kg/m³

Sifat kimia dari metana adalah:

- Larut dalam air, alkohol, dan eter
- Dalam oksigen berlebih, alkana dapat terbakar enghasilkan kalor, karbon dioksida dan uap air

- Mudah terbakar
- Dalam reaksi substitusi, reaksi penggantian satu atau beberapa atom hidrogen dengan atom atau gugus atom lain. Reaksi yang terjadi misalnya:



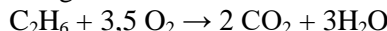
2. Etana (C_2H_6)

Berdasarkan Perry (1973), sifat fisik dari etana adalah sebagai berikut:

- Berat molekul : 30,07 g/mol
- Titik didih : -88,6°C
- Titik lebur : -172°C
- Densitas : 1,212 kg/m³

Sifat kimia dari etana adalah:

- Mudah terbakar
- Merupakan senyawa kovalen non-polar
- Reaksi pembakaran etana dengan oksigen yang menghasilkan CO_2 dan H_2O . Reaksi yang terjadi:



3. Propana (C_3H_8)

Berdasarkan Perry (1973), sifat fisik dari propana adalah:

- Berat molekul : 44,09 g/mol
- Titik didih : -42,2°C
- Titik lebur : -187,1°C
- Densitas : 1,83 kg/m³

Sifat kimia dari propana adalah:

- Merupakan senyawa kovalen non-polar
- Mudah terbakar
- Memiliki ikatan tunggal

4. Butana (C_4H_{10})

Berdasarkan Perry (1973), sifat fisik dari butana adalah sebagai berikut:

- Berat molekul : 58,12 g/mol
- Titik didih : -10°C
- Titik lebur : -145°C

- Densitas : 2,48 kg/m³ (gas)

Sifat kimia butana adalah:

- Memiliki ikatan tunggal
- Mudah terbakar

5. Karbon Dioksida (CO₂)

Berdasarkan Perry (1973), sifat fisik dari karbon dioksida adalah:

- Berat molekul : 44,01 g/mol
- Titik didih : -78,5°C (menyublim)
- Titik lebur : -56,6°C (dibawah tekanan)
- Densitas : 1,98 kg/m³
- Penampilan : Gas tidak berwarna

Sifat kimia dari karbon dioksida:

- Tidak berbau
- Tidak begitu reaktif dan tidak mudah terbakar
- Kadar CO₂ yang berlebih di udara dapat mengakibatkan peningkatan suhu permukaan bumi

6. Air (H₂O)

Berdasarkan Perry (1973), sifat fisik dari air adalah:

- Berat molekul : 18,016 g/mol
- Titik didih : 100°C
- Titik lebur : 0°C
- Densitas : 0,998 kg/m³ (pada suhu 20°C)
0,92 kg/m³ (padatan)

Sifat kimia dari air adalah:

- Tidak berwarna
- Tidak berbau
- Sifat pelarut suatu zat bergantung pada pereaksinya
- Air akan bersifat asam jika bereaksi dengan basa lemah. Reaksi yang terjadi:

$$\text{NH}_3 + \text{H}_2\text{O} \rightarrow \text{NH}_4^+ + \text{H}_2\text{O}$$
- Air bersifat basa bila bereaksi dengan asam lemah. Reaksi yang terjadi:

$$\text{CH}_3\text{COOH} + \text{H}_2\text{O} \rightarrow \text{CH}_3\text{COO}^- + \text{H}_3\text{O}^+$$

7. Hidrogen Sulfida (H_2S)

Berdasarkan Perry (1973), sifat fisik dari hidrogen sulfida adalah:

- Berat molekul : 34,08 g/mol
- Titik didih : -59,6°C
- Titik lebur : -82,9°C
- Bentuk zat : Gas

Sifat kimia dari hidrogen sulfida adalah:

- Tidak berwarna
- Berbau merangsang
- Dalam konsentrasi tinggi dapat menyebabkan orang pingsan secara cepat bila terhirup
- Sangat beracun
- Bersifat korosif, sehingga dapat menyebabkan karat pada peralatan logam
- Bersifat iritasi terhadap mata, dan saluran pernafasan
- Mudah terbakar

8. Produk samping

- Hidrogen dan C_3^+ : Dapat digunakan sebagai Fuel untuk reaktor
- CO_2 : Dapat digunakan untuk pembangkit listrik

BAB III

SELEKSI DAN URAIAN PROSES

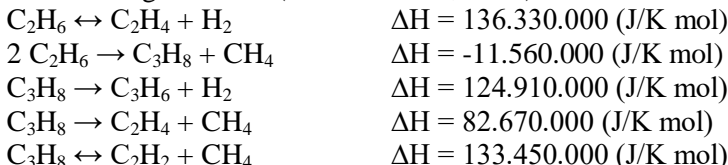
III.1 Teknologi Pembuatan *Ethylene*

Ethylene adalah unsur penting untuk industri petrokimia, dan merupakan salah satu senyawa organik yang paling banyak diproduksi. Pada perancangan ini, bahan baku pembuatan *ethylene* adalah gas alam. Secara garis besar, industri *ethylene* dari bahan baku berupa gas alam dapat dilakukan melalui dua teknologi proses, yaitu :

III.1.1 Steam Cracking

Teknologi yang paling umum digunakan dalam memproduksi *ethylene* adalah *thermal* atau *steam cracking*. Pada *thermal cracking*, dua bahan baku utama untuk produksi *ethylene* adalah nafta dan gas alam (etana, propana, butana, dll.). Langkah pertama dalam produksi *ethylene* adalah mengalirkan bahan baku ke dalam tungku (*furnace*) dimana akan terjadi proses perengkahan (*cracking*) yang menghasilkan *ethylene* dan produk lainnya. Proses yang terjadi di dalam *furnace* disebut pirolisis. Pirolisis adalah proses *cracking* hidrokarbon dengan panas (*thermal*) dari uap, disebut juga *steam cracking*. Bahan baku berupa hidrokarbon akan dipanaskan dalam *heat exchanger* dan dicampur dengan uap, lalu akan kembali dipanaskan untuk mencapai suhu retak yang baru (500-700°C). Selanjutnya campuran dimasukkan ke dalam reaktor pada suhu 750-875°C dan tekanan atmosfer untuk menghasilkan *ethylene* dan produk sampingan (Emerson, 2010).

Reaksi *cracking* sangat endotermik, maka membutuhkan energi yang cukup besar. Adapun reaksi *cracking* etana dan propana adalah sebagai berikut (Yancheshmeh, 2013):





Gas yang meninggalkan furnace akan segera didinginkan sampai suhu 30°C untuk mempertahankan komposisi gas dan mencegah adanya reaksi samping yang tidak diinginkan. Pendinginan dilakukan di dalam *quench tower* menggunakan *quench oil* atau *quench water*. Pada umumnya, *quench water* digunakan untuk sistem yang menggunakan gas alam. Kemudian gas akan dialirkan ke dalam *compressor* sampai dengan tekanan sekitar 15 bar. Pada umumnya terdapat empat sampai lima stage dengan intermediate cooling. Jumlah *stage* yang dibutuhkan berdasarkan pada komposisi gas keluaran *furnace* dan *level* suhu media pendingin. Setelah *stage* ketiga atau keempat kompresor, karbon dioksida dan sulfur dihilangkan dari produk gas dengan *caustic soda* (NaOH) dan *caustic scrubber* (air) atau menggunakan *amine scrubbing*. Gas yang sudah dikomprese kemudian didinginkan di *after cooler* dan dikeringkan menggunakan molecular sieves. Kandungan *moisture* harus dihilangkan dari produk gas sebelum masuk ke dalam kolom fraksinasi untuk mencegah pembentukan hidrat (*hydrates*) dan es.

Kemudian gas yang telah dikeringkan dialirkan ke unit separasi yang terdiri dari beberapa kolom. Pada kolom pertama (*demethanizer*), metana diperoleh sebagai produk atas dan fraksi yang lebih berat seperti etana dan *ethylene* diperoleh sebagai produk bawah yang kemudian dialirkan ke kolom kedua (*deethanizer*). Kandungan utama produk atas *deethanizer* adalah *ethylene* dan etana yang akan dialirkan ke dalam *acetylene converter*, dimana *acetylene* direaksikan menjadi *ethylene* dengan bantuan katalis dalam reaktor. Reaksi pada *acetylene converter* adalah sebagai berikut :



Gas produk dari *acetylene converter* kemudian dialirkan ke *C₂-splitter* atau kolom fraksinasi *ethylene*. Pada kolom ini terjadi pemisahan, yaitu molekul ringan sebagai produk atas, *ethylene*

sebagai produk samping, dan ethane sebagai produk bawah. Molekul ringan akan dialirkan kembali ke unit kompresi, *ethylene* akan dialirkan ke dalam tanki penyimpanan, dan etana akan dialirkan kembali ke dalam reaktor *thermal cracking*.

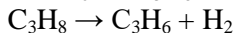
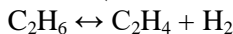
Produk bawah dari kolom deethanizer akan dialirkan ke dalam kolom *depropanizer*, yang akan menghasilkan molekul C₃ sebagai produk atas dan aliran C₄₊ sebagai produk bawah. Produk atas dialirkan ke dalam reaktor *hydrotreated* dengan katalis untuk menghasilkan *methyl acetylene* dan menghilangkan *propadiene*, kemudian dialirkan ke C₃-splitter atau kolom fraksinasi *propylene*. Pada kolom ini, molekul ringan yang merupakan produk atas akan dialirkan kembali ke unit kompresi. *Propylene* akan diperoleh sebagai produk samping. Kemudian propana yang merupakan produk bawah akan dialirkan kembali ke dalam reaktor *thermal cracking* (www.chemengonline.com, 2017)

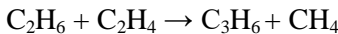
III.1.2 Catalytic Cracking

Catalytic Cracking pada dasarnya memiliki konsep yang sama dengan *Steam Cracking*. Namun, pada proses ini ditambahkan katalis pada reactor sehingga dapat mengurangi energi aktivasi dari reaksi.

Sebelum memasuki bagian reactor bahan baku dipanaskan terlebih dahulu dengan *heat exchanger* hingga suhu sekitar 300-400°C atau lebih tinggi dengan tekanan atmosferik. Setelah itu masuk ke dalam reactor untuk dikontakkan dengan katalis bersuhu tinggi sehingga dapat memecah molekul rantai panjang menjadi rantai yang lebih pendek.

Adapun reaksi *catalytic cracking* etana dan propana adalah sebagai berikut (Yancheshmeh, 2013):





Reaktor harus disandingkan dengan regenerator katalis karena pembentukan *coke* yang cukup tinggi pada reaksi yang terjadi. Regenerator beroperasi pada suhu diatas 700°C dengan tekanan 3 bar. Pembakaran pada regenerator bersifat eksotermis sehingga dapat digunakan sebagai energi untuk reactor yang bersifat endotermis.

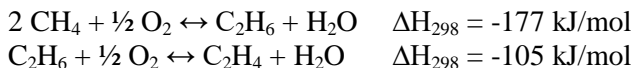
Produk reaksi yang berupa uap akan dilanjutkan ke dalam kolom distilasi utama untuk memisahkan produk reaksi menjadi *offgas*, *cracked petroleum naphta*, dan *fuel oil*. Setelah di proses lebih lanjut untuk menghilangkan sulfur *cracked petroleum naphta* menjadi komponen campuran bahan bakar dengan nilai oktan tinggi. Sedangkan, *offgas* akan di proses lebih lanjut untuk memisahkan butana, butilen, propana, propilen serta gas dengan berat molekul yang lebih ringan (hydrogen, metana, etilen, dan etana).

III.1.3 Oxidative Coupling of Methane (OCM)

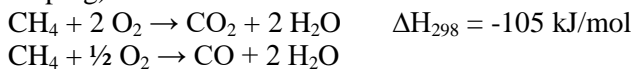
Oxidative Coupling of Methane (OCM) dengan katalis adalah reaksi yang memiliki kesulitan selektivitas yang tinggi. Sejak tahun 1980, reaksi OCM yang mengubah metana menjadi molekul C₂ telah dipelajari untuk mendapatkan katalis dan kondisi operasi terbaik. Beberapa penelitian telah menunjukkan bahwa OCM merupakan alternatif yang menjanjikan untuk *thermal cracking*, namun teknologi ini belum diaplikasikan oleh pasar industri karena beberapa hal. Pertama, konsentrasi *ethylene* pada produk relatif rendah dibandingkan dengan jumlah reaktan. Kedua, teknologi OCM akan lebih efektif pada suhu yang sangat tinggi sementara pemisahan hidrokarbon pada sistem pemisahan terjadi pada suhu yang sangat rendah, hal ini menjadikan integrasi panas dan operasi yang efisien sangat krusial untuk mendapatkan profit yang tinggi (Fini, 2014).

Proses OCM melibatkan oksidasi parsial berurutan metana menjadi etana dan kemudian *ethylene*, reaksi di dalam reaktor OCM adalah sebagai berikut :

(reaksi utama)



(reaksi samping)



Awalnya, metana bereaksi dengan oksigen menghasilkan etana dan air. Melalui konversi *in situ*, etana yang terbentuk kemudian diubah menjadi *ethylene*, dengan kemungkinan menghasilkan hidrokarbon yang lebih tinggi dalam jumlah kecil. Sedikit peningkatan konsentrasi oksigen dalam reaktor dapat menggeser reaksi eksotermis menuju pembentukan CO dan CO₂. Keberadaan CO₂ dalam reaktor dapat mempengaruhi aktivitas katalis, dimana akan menurunkan tingkat produksi etana dan *ethylene* dengan efek yang dapat diabaikan terhadap selektivitas mereka. CO₂ akan mengalami adsorpsi kompetitif dengan CH₄ dan O₂ pada permukaan katalis. Interaksi antara CH₄ dan CO₂ yang teradsorpsi akan merubah jalur reaksi ke pembentukan CO dan H₂O.

Kesulitan utama dalam menggunakan teknologi OMC ada pengembangan katalis yang stabil untuk proses industri dan kemungkinan untuk pelaksanaan reaksi pada suhu rendah. Katalis utama yang digunakan dalam reaksi OCM adalah katalis oksida, baik oksida logam transisi murni atau modifikasi; atau grup IA dan IIA campuran atau *promoted*. Sistem penggunaan katalis dikembangkan dalam kondisi sintesis yang berbeda seperti *sol-gel*, impregnasi, *precipitation*, dan *flame spray pyrolysis* untuk menghasilkan komposisi katalis yang bervariasi dengan properti dasar yang bervariasi. Modifikasi dengan oksida lain, logam atau garam klorida dalam berbagai kondisi reaksi seperti suhu dan *space velocity* biasanya digunakan untuk menggeser reaksi OMC ke arah peningkatan selektivitas *ethylene* dan konversi metana, serta untuk membatasi deaktivasi katalis dengan waktu (Galadima, 2016).

Untuk sintesis proses, teknologi OCM terbagi menjadi tiga unit operasi, yaitu unit reaksi, unit pemurnian, dan unit pemisahan. Pada unit reaksi, penggunaan reaktor yang umum dalam industri adalah *fixed bed*, *fluidized bed*, dan *membrane*. Setelah unit reaksi,

hasil dari reaktor berupa etana, *ethylene*, karbon dioksida, dan air dialirkan menuju unit pemurnian. Pada unit ini, terdapat proses penyerapan karbon dioksida menggunakan amina. Kemudian produk bawah kolom absorpsi dialirkan menuju unit pemisahan yang terdiri dari distilasi *cryogenic*, *demethanizer*, dan *deethanizer* untuk pemisahan produk (Wozny, 2010).

III.2 Seleksi Teknologi, Licensor, dan Proses

III.2.1 Seleksi Teknologi

Dari uraian teknologi pembuatan *ethylene* di atas, dapat dilihat tabulasi keuntungan dan kerugian dari masing-masing teknologi, yaitu (Ramdhani, 2015):

Tabel III.1 Perbandingan Teknologi Produksi Ethylene dari Gas Alam

| Parameter | Proses | | |
|----------------|----------------------------|--|------------------------------------|
| | Catalytic Cracking | Thermal Cracking | Oxidative Coupling of Methane(OCM) |
| Bahan Baku | Naphtha | Naphtha | Gas Alam dan Oksigen |
| Katalis Reaksi | Zeolit | Tidak menggunakan katalis | <i>Metal Oxide</i> |
| Temperatur | 400 - 650°C | 700-1000°C | 500-900°C |
| Tekanan | Atmosfer | Atmosfer | Atmosfer |
| Reaksi | <i>Endothermic</i> | <i>Endothermic</i> | <i>Exothermic</i> |
| Sumber Energi | Panas dari pembakaran coke | Metana, LNG (fuel gas dari hasil samping proses) | Panas dari OCM reaktor |

| | | | |
|---------------------------------|-------------|-------------|-----------------------------|
| Segi Ekonomi (Harga Bahan Baku) | 520 USD/Ton | 520 USD/Ton | 2.5 USD/mmBtu = 110 USD/Ton |
|---------------------------------|-------------|-------------|-----------------------------|

Tabel III.2 Pembobotan Teknologi Produksi Ethylene dari Gas Alam dengan Metode AHP

| Parameter | AHP | Nilai | | | Nilai x AHP | | |
|-------------------------|-------|----------------------|------------------|-----|----------------------|------------------|------------|
| | | Catalytical Cracking | Thermal Cracking | OCM | Catalytical Cracking | Thermal Cracking | OCM |
| Ketersediaan Bahan baku | 0.223 | 75 | 75 | 85 | 16.725 | 16.725 | 18.95 5 |
| Kebutuhan akan katalis | 0.063 | 75 | 80 | 75 | 4.725 | 5.04 | 4.725 |
| Temperatur | 0.083 | 90 | 70 | 80 | 7.47 | 5.81 | 6.64 |
| Tekanan | 0.083 | 80 | 80 | 80 | 6.64 | 6.64 | 6.64 |
| Reaksi | 0.137 | 80 | 80 | 85 | 10.96 | 10.96 | 11.64 5 |
| Sumber energi | 0.137 | 85 | 80 | 85 | 11.645 | 10.96 | 11.64 5 |
| Segi ekonomi | 0.273 | 60 | 60 | 90 | 16.38 | 16.38 | 24.57 |
| | | | | | 74.545 | 72.515 | 84.82 |

Berdasarkan Tabel III.1 dan Tabel III.2 dapat dipilih teknologi OCM yang akan digunakan untuk produksi *ethylene* dari gas alam, hal ini dikarenakan oleh beberapa alasan. Pertama, kondisi bahan baku gas alam yang digunakan mengandung lebih banyak metana, yaitu sebanyak 95%, dibandingkan etana dan propana, yaitu sebanyak 0,5%. Kedua, untuk kondisi operasi reaktor, suhu operasi pada reaktor OCM lebih rendah daripada reaktor Steam Cracking, sehingga kebutuhan panas juga lebih rendah. Ketiga, keseluruhan proses OCM tidak serumit proses *steam cracking*, terutama pada unit pemisahan dan purifikasi, sehingga kebutuhan alatnya juga lebih sedikit. Dengan kebutuhan panas dan jumlah alat yang lebih sedikit, teknologi OCM akan lebih ekonomis dibandingkan dengan teknologi *steam cracking*.

III.2.2 Seleksi Proses

A. Gas Sweetening

Acid gas yang terkandung di dalam gas harus dihilangkan karena dapat menyebabkan korosi pada pipa transportasi, tanki penampung, dan alat-alat utilisasi gas tersebut. Gas yang keluar dari reaktor mengandung CO₂ akibat reaksi samping proses OCM. Gas CO₂ dapat dihilangkan melalui beberapa metode, yaitu (Rufford, 2012):

Tabel III.3 Karakteristik Metode Gas Sweetening

| Metode | Absorpsi <i>Amine</i> | Membran | Cryogenic |
|---|----------------------------------|--------------------------------|-----------------------------|
| Suhu(°C) | 30-60 | <60 | (-161) – (-110) |
| Tekanan(kPa) | 5000-7000 | 2000-10000 | 1300-2800 |
| Konsentrasi awal CO₂ | <70% | <90% | 3,5% - 65% |
| Konsentrasi akhir CO₂ | <2% sampai 50 ppm | 1% - 2% | 2% - 3% |
| Energi | Tinggi (regenerasi solvent) | Rendah – sedang (feed gas dan) | Sedang (sistem refrigerasi) |

| | | | |
|--------------|------------------------------|---|------------------------------|
| | | kompresor antar stage) | |
| Biaya | <i>Capital</i> – rendah | <i>Capital</i> – sedang | <i>Capital</i> – sedang |
| | <i>Operating</i> – sedang | <i>Operating</i> – 1 stage rendah, >1 stage sedang | <i>Operating</i> – tinggi |

Kandungan awal CO₂ dalam gas rendah, sehingga proses penghilangan CO₂ dari gas akan dilakukan dengan metode absorpsi *amine* yang memiliki biaya yang relatif rendah. Selain itu karakteristik gas produk memiliki suhu dan tekanan yang relatif rendah.

Absorpsi *amine* merupakan teknologi yang paling umum digunakan untuk *gas sweetening* dalam skala industri. *Solvent* yang digunakan dalam metode ini adalah *amine* yang diklasifikasikan berdasarkan jumlah CO₂ yang tersubstitusi, yaitu *primary amine* – *monoethanolamine* (MEA), *secondary amine* – *diethanolamine* (DEA), dan *tertiary amine* – *methyl diethanolamine* (MDEA). Properti dan kondisi operasi untuk masing-masing larutan *amine* yaitu (*GPSA Engineering Data Book*, 2004):

Tabel III.4 Karakteristik *Amine Solvent* untuk *Gas Sweetening*

| Parameter | Proses | | |
|---|-----------|-----------|-----------|
| | MEA | DEA | MDEA |
| Absorption rate (gCO ₂ /L.solution/min) | 5.47 | 4.04 | 1.56 |
| Reaction heat (kJ/mol CO ₂) | 86.9 | 68.9 | 58.5 |
| Solution concentration (normal wt%) | 15 – 25 | 30 – 40 | 40 – 50 |
| Stripper reboiler normal range (°C) | 107 – 127 | 110 – 127 | 110 – 132 |

| | | | |
|-------|-----------|-----------|------------|
| Biaya | \$32,5/kg | \$32,5/kg | \$34,75/kg |
|-------|-----------|-----------|------------|

Secara teoritis, *tertiary amine* memiliki kapasitas *loading* CO₂ yang lebih besar dibandingkan *primary* dan *secondary amine*, selain itu *heat regeneration* yang dibutuhkan juga lebih rendah. Namun *tertiary amine* memiliki kinetika absorpsi yang lebih rendah dibandingan *primary* dan *secondary amine*. Untuk meningkatkan laju reaksi *tertiary amine* dengan CO₂ dapat menggunakan *primary* atau *secondary amine* sebagai aktivatornya (GPSA Engineering Data Book 2004).

C. Gas Drying

Kandungan air dalam produk harus dihilangkan karena akan didinginkan secara cryogenic sampai suhu yang sangat rendah. Kandungan H₂O dapat dihilangkan dengan beberapa metode berikut(Netusil,2012):

Tabel III.5 Karakteristik metode *Gas Drying*

| Parameter | Proses | | |
|---|--|---|--|
| | Absorbsi | Adsorpsi | Kondensasi |
| Metode | Pemisahan H ₂ O dengan menggunakan liquid solvent (TEG) | Pemisahan H ₂ O dengan menggunakan solid desiccant (mol. sieve, silica, alumina) | Pemisahan H ₂ O dengan cara pendinginan gas hingga H ₂ O fase liquid |
| Dry Gas Water Dew Point | -52 s.d. -6 °C | -6 s.d. 32 °C | 30 s.d. 60 °C |
| Konsentrasi Awal H₂O | 16-1600 kg/10 ⁶ m ³ | 16-1600 kg/10 ⁶ m ³ | 3000-16000 kg/10 ⁶ m ³ |
| Konsentrasi Akhir H₂O | 10 ppm | < 1 ppm | 20 ppm |
| Energi | Sedang (regenerasi TEG) | Sedang (regenerasi desiccant) | Tinggi |

| | | | |
|--------------|--|--|--|
| Biaya | Capital – tinggi Operating - sedang | Capital – tinggi Operating – tinggi | Capital – sedang Operating – sedang |
|--------------|--|--|--|

Dengan pertimbangan bahwa dalam proses berikutnya perlu melewati proses pemisahan yang bersifat *cryogenic* maka kandungan H₂O se bisa mungkin dihilangkan hingga dibawah 1 ppm sehingga dapat menghindari H₂O yang membeku yang dapat mengganggu proses pemisahan. Oleh karena itu, meskipun biaya yang digunakan baik capital maupun operasi dari adsorpsi tinggi tetap dipilih sebagai metode yang digunakan pada proses ini.

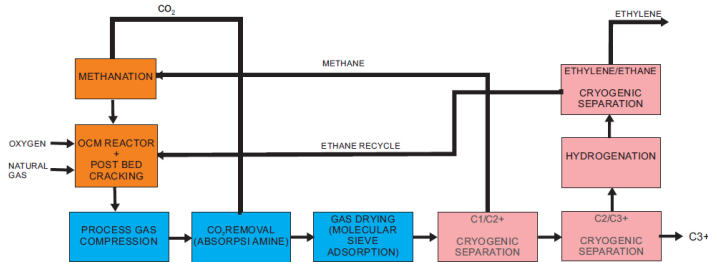
Dalam proses adsorpsi dibutuhkan desikan yang digunakan untuk menghilangkan kandungan H₂O pada *feed*. Ada beberapa desikan yang diperhitungkan pada proses ini, yaitu

Tabel III.6 Karakteristik *Solid Dessicant* untuk proses adsorpsi

| Parameter | Proses | | |
|--|-----------------|---------|------------|
| | Molecular Sieve | Alumina | Silica Gel |
| Specific area (m ² /g) | 650 – 800 | 210 | 750 – 830 |
| Pore volume (cm ³ /g) | 0,27 | 0,21 | 0,4 – 0,45 |
| Pore diameter (Å) | 4 – 5 | 26 | 22 |
| Design Capacity (kg H ₂ O/100 kg desiccant) | 9 – 12 | 4 – 7 | 7 – 9 |
| Heat Capacity (J.kg ⁻¹ .K ⁻¹) | 200 | 240 | 920 |
| Regeneration Temperature (°C) | 290 | 240 | 230 |

Dengan mempertimbangkan daya serap desikan dan energy yang dibutuhkan maka dipilih molecular sieve sebagai desikan.

III.3 Block Diagram



Gambar III.3 Block Diagram Unit Operasi Produksi *Ethylene* dari Gas Alam dengan OCM

III.4 Uraian Proses

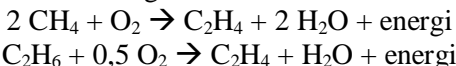
Produksi *ethylene* dalam pabrik ini terdiri dari beberapa proses, yaitu :

1. Unit 100 : *Reaction*
2. Unit 200 : *Purification*
3. Unit 300 : *Separation*
4. Unit 400 : *Utilities*

III.4.1 Unit 100 : *Reaction*

1. Reaktor OCM

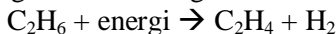
Feed gas berupa *sales gas* dan gas O₂ dialirkan masuk ke dalam OCM Reaktor milik licensor Siluria yang merupakan reaktor *fixed-bed*. Reaktor ini terdiri dari dua *chamber*, yang pertama adalah “*OCM Reactor Section*” dan yang kedua adalah “*Ethane Conversion Section*”. Gas metana, etana, dan oksigen dialirkan ke bagian pertama dengan reaksi sebagai berikut:



Reaksi ini terjadi pada suhu 800°C dan tekanan 5-10 atm dengan katalis *nanowires-based biocatalysts*. Katalis ini dapat memberikan konversi metana sebesar 40% dan lebih selektif terhadap reaksi pembentukan *ethylene*. CO dan CO₂ yang terbentuk sebagai hasil reaksi samping nantinya akan dikirim ke methanator

untuk direaksikan dengan hydrogen menjadi metana kembali. Reaksi OCM yang eksotermis menghasilkan panas yang akan digunakan dalam reaksi konversi etana yang bersifat endotermis.

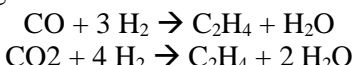
Etana yang tidak bereaksi pada chamber OCM kemudian dialirkan kembali ke dalam reaktor *chamber* kedua, yaitu “*Ethane Conversion Section*”. Reaksi yang terjadi dalam *chamber* kedua adalah konversi etana menjadi *ethylene* melalui *non-oxidative dehydrogenation* dengan reaksi sebagai berikut:



Reaksi ini terjadi pada suhu 900°C dan sangat endotermis. Hasil reaktor berupa CH₄ yang tidak bereaksi, H₂, *ethylene*, etana, CO₂, CO, H₂O, dan komponen C₃₊ kemudian dialirkan menuju unit purifikasi.

2. *Methanator*

CO₂ hasil dari reaktor kemudian dipisahkan dalam unit *CO₂ removal* yang terdiri dari MEA Wash dan Caustic Wash, kemudian dikirim ke *methanator*. Begitu juga dengan metana yang tidak bereaksi dan *hydrogen* dipisahkan dalam unit *Cryogenic Separation*, kemudian dikirim ke *methanator*. Di dalam *methanator*, CO₂ dan CO bereaksi dengan H₂ yang terkandung dalam aliran *recycle* metana dengan reaksi sebagai berikut:



Reaksi terjadi pada suhu 300°C dan bersifat eksotermis. Unit ini bermaksud untuk meningkatkan efisiensi karbon terhadap keseluruhan proses. Metana yang terbentuk kemudian dialirkan ke dalam Reaktor OCM untuk direaksikan menjadi *ethylene*.

3. *Dehydrogenator*

Aliran *ethane recycle* dari unit *C₂ Fractioner* kemudian dipanaskan dengan aliran produk *ethylene* dari reaktor OCM hingga suhu 900°C dengan tekanan atmosferik. Reaksi sangat endotermik, maka membutuhkan energi yang cukup besar. Dalam reaktor terjadi reaksi sebagai berikut, dengan konversi ethane sebesar 80% :



Unit ini bermaksud untuk meningkatkan jumlah produksi *ethylene* terhadap keseluruhan proses.

III.4.2 Unit 200 : Purification

1. Compressor

Efluen reaktor OCM kemudian dialirkan menuju gas/gas exchanger. Aliran produk diturunkan suhunya menjadi 45°C dan melakukan *preheat* untuk aliran *recycle C₁* dan *recycle CO₂*. Kemudian aliran efluen didinginkan lebih lanjut sampai suhu 45°C sehingga H₂O berupa *liquid* dapat dipisahkan dari gas di dalam separator. Gas yang sudah bebas dari H₂O kemudian dialirkan ke *three stages compressor* untuk dingkatkan tekanannya menjadi 35 bar. Tekanan yang tinggi ini dibutuhkan untuk proses pemisahan pada bagian *downstream* dan menjaga agar proses dapat dilakukan dengan 1 train.

2. Amine Absorber

Gas dari kompresor kemudian dialirkan menuju *CO₂ removal* yang terdiri dari proses absorpsi CO₂ dalam gas dengan menggunakan pelarut monoetanolamina (MEA). Tujuan dari proses ini adalah untuk menghilangkan kandungan CO₂ karena gas CO₂ yang bercampur dengan air dapat mengakibatkan korosi dalam sistem perpipaan, selain itu CO₂ harus dihilangkan karena dapat membeku pada suhu rendah seperti pada proses *cryogenic*. Gas dari kompresor yang masih mengandung CO₂ dialirkan menuju bagian bawah kolom absorber pada suhu 32°C dan tekanan 34 bar. Larutan MEA (*Lean Amine*) dialirkan menuju bagian atas kolom absorber pada suhu 38°C dan tekanan 33 bar. Proses absorpsi menghilangkan CO₂ dari gas sampai kandungan CO₂ dalam gas mencapai 1 ppm. Gas yang keluar dari bagian atas kolom absorber kemudian dialirkan menuju unit *drying*. Larutan MEA yang meninggalkan kolom absorber sudah jenuh dengan CO₂ (*Rich Amine*) kemudian dialirkan menuju unit *Amine Regeneration*.

3. Molecular Sieve Adsorption

Pada unit ini, gas proses yang mengandung produk *ethylene* kemudian dihilangkan kandungan CO₂ yang masih tersisa sebelum nantinya masuk ke refrigeration unit. Penghilangan kandungan CO₂ menggunakan *molecular sieve* dengan zeolite 4A. Pada top product merupakan gas yang mengandung 1 ppm air dan CO₂ sementara pada bottom product merupakan CO₂ yang dialirkan menuju methanator. Pada unit ini terdapat dua *molecular sieve*, dimana satu alat untuk proses operasi dan satu alat lagi untuk proses regenerasi. Proses regenerasi *molecular sieve* menggunakan 5% volume dari *sweet gas* yang kemudian akan di-recycle.

4. Cryogenic Refrigeration

Pada unit ini, gas proses yang mengandung *ethylene* akan didinginkan hingga suhu -120°C dengan menggunakan *cascade refrigeration*. Gas proses pertama-tama akan didinginkan dari suhu 55°C hingga suhu -40°C dengan menggunakan *refrigerant propane*. Kemudian gas didinginkan dari suhu -40°C hingga suhu -90°C dengan menggunakan *refrigerant ethylene*. Terakhir, gas didinginkan dari suhu -90°C hingga suhu -120°C dengan menggunakan *refrigerant methane*. Gas kemudian dialirkan menuju Separation Unit untuk dipisahkan antara komponen metana, etana, *ethylene*, dan kondensat.

III.4.3 Unit 300 : Separation

1. Demethanizer

Gas metana akan dipisahkan dari gas yang lebih berat dan dialirkan kembali menuju *Reactor OCM* untuk direaksikan kembali. *Demethanizer* berfungsi untuk memisahkan *methane* dari fraksi hidrokarbon yang lebih berat. *Feed* dari *Demethanizer* adalah *chilled gas* dari *Cryogenic Refrigeration*. Produk atas hasil *Demethanizer* adalah metana dan sedikit karbon monoksida yang akan dialirkan ke *methanator*. Produk bawah dari *Demethanizer* yang berupa hidrokarbon yang lebih berat yang akan dialirkan ke *Deethanizer*.

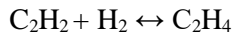
2. Deethanizer

Produk bawah dari *Demethanizer* merupakan kandungan C₂₊ yang dialirkan ke menara *Deethanizer*. *Deethanizer* berfungsi untuk

memisahkan *ethane* dari fraksi hidrokarbon yang lebih berat. Produk atas hasil *Deethanizer* adalah etana dan *ethylene* yang akan dialirkan ke *Dehydrogenation reactor*. Produk bawah dari *Deethanizer* adalah C₃⁺ yang akan dijual sebagai kondensat.

3. *Hydrogenator*

Produk atas utama dari *Deethanizer* yang berupa *ethane* dan *ethylene* masih mengandung *acetylene*. Untuk memaksimalkan produk berupa *ethylene* maka unit ini diperlukan untuk dengan mereaksikan *hydrogen* dengan *acetylene* menjadi *ethylene* dengan reaksi seperti berikut:



Reaktor beroperasi pada suhu 140°C dengan konversi 90-100%.

III.4.4 Unit 400 : Utilities

Sistem utilitas pada pabrik ini digunakan untuk menyediakan kebutuhan steam, air pendingin, serta refrigerasi yang diperlukan pada keseluruhan proses.

BAB IV **NERACA MASSA**

Data Data Operasi

| | | | | | | |
|----------------|---|--------|---------|------------------|---|--------------|
| 1 Tahun | = | 330 | Hari | Konversi | = | 70% |
| 1 Hari | = | 24 | Jam | Selectivity C2 | = | 42% |
| Basis | | | | Ethylene/ Ethane | = | 6 : 1 |
| Ethylene | = | 650 | KTA | Feed Sales Gas | = | 600 MMSCFD |
| | = | 82.071 | Ton/Hr | | = | 614300 Kg/hr |
| | = | 82071 | Kg/Hr | | | |
| | = | 2931.1 | Kmol/Hr | | | |
| Yield Ethylene | | 25% | | | | |

Tabel IV-1.1 Komposisi dan Properti dari Feed Sales Gas

| Komponen | BM Kg/ KmoL | Fraksi Massa | Flow Rate | Flow Rate |
|----------------------------|----------------|--------------|-----------|------------|
| | | | Kg/Hr | Kmol/ Hr |
| CO2 | 44 | 0.1113 | 68371.59 | 3008349.96 |
| N2 | 28 | 0 | 0 | 0 |
| CH4 | 16 | 0.6635 | 407588.05 | 6521408.8 |
| C2H2 | 26 | 0 | 0 | 0 |
| C2H6 | 30 | 0.0731 | 44905.33 | 1347159.9 |
| C3H6 | 42 | 0 | 0 | 0 |
| C3 | 44 | 0.0172 | 10565.96 | 464902.24 |
| i-C4 | 58 | 0.0226 | 13883.18 | 805224.44 |
| n-C4 | 58 | 0.0226 | 13883.18 | 805224.44 |
| i-C5 | 72 | 0.0281 | 17261.83 | 1242851.76 |
| n-C5 | 72 | 0.0281 | 17261.83 | 1242851.76 |
| n-C6+ | 86 | 0.0335 | 20579.05 | 1769798.3 |
| H2O | 18.015 | 0 | 0 | 0 |
| CO | 28 | 0 | 0 | 0 |
| H2 | 2 | 0 | 0 | 0 |
| O2 | 32 | 0 | 0 | 0 |
| Ethylene | 28 | 0 | 0 | 0 |
| Asethylene | 29 | 0 | 0 | 0 |
| 1,2-Butadiene | 54 | 0 | 0 | 0 |
| 1-Butene | 56 | 0 | 0 | 0 |
| MEA | 61.083 | 0 | 0 | 0 |
| Total | | 1 | 614300 | 17207771.6 |
| Properties | | | | |
| Tekanan | | 20 | Bar | |
| Suhu | | 30 | Celcius | |
| HHV (Higher Heating Value) | | 4.78E+04 | Kj/Kg | |
| Z (Compressibility) | | 0.9401 | | |

Kandungan Metana Pada gas alam adalah 85% Mol
 Sehingga Methane Pada Sales Gas Sebanyak $85\% \times 12598064,4$
 $8,354 \text{ E}6 \text{ Kmol/Hr}$
 31943.6 Kg/Hr

Air Separation Unit

Pada Plant ini udara yang masuk sebanyak : 9077 MMSCFD
13090000 Kg/Hr

| Tabel IV-1.2 Komposisi dan Properti dari Feed Udara | | | | |
|---|-----------------|---------------|-----------|-------------|
| Komponen | BM Kg/ Kmole | Komposisi Mol | Flow Rate | Flow Rate |
| | | | Kg/Hr | Kmol/ Hr |
| N2 | 28 | 0.7812 | 9892113 | 276979164 |
| O2 | 32 | 0.2095 | 3030335 | 96970720 |
| Ar | 39.948 | 0.0093 | 167552 | 6693367.296 |
| Total | | 1 | 13090000 | 380643251.3 |

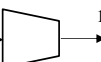
| Properties | | |
|----------------------------|----------|---------|
| Tekanan | 1.013 | Bar |
| Suhu | 29 | Celcius |
| HHV (Higher Heating Value) | 0.00E+00 | KJ/Kg |
| Z(Compressibility) | 0.9995 | |

1. Main Air Compressor

Fungsi : Menaikkan Tekanan Udara

$$\begin{array}{ll} P_1 = 1.013 \text{ Bar} & T_1 = 29 \\ P_2 = 5.55 \text{ Bar} & T_2 = 273.7 \text{ AIR} \end{array}$$

Pada Main Air compressor tidak terjadi perubahan komposisi dan flowrate
Sehingga Komposisi dan flowrate pada arus (1) = (2)



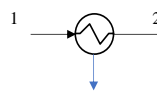
2. PreCooler

Fungsi : Mendinginkan temperatur udara

$$T_{\text{Arus } 2} = 273.7 \text{ Celcius}$$

$$T_{\text{Arus } 3} = 17.09 \text{ Celcius}$$

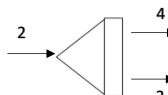
Pada precooler tidak terjadi perubahan komposisi dan flowrate
sehingga komposisi dan flowrate pada arus (2) = (3)



3. Komponen TEE (1)

Fungsi : Membagi komponen untuk pertukaran panas pada LNG Exchanger

Pada Komponen TEE dengan kondisi operasi yang sama, terjadi pembagian arus dari arus (3) menjadi arus (4) & (5)



Tabel IV-1.3 Neraca massa komponen TEE (1)

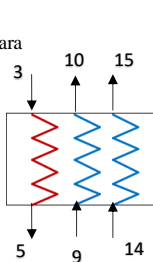
| Komponen | Masuk (2) | | Keluar (4) | |
|----------|--------------|------------------|--------------|------------------|
| | Fraksi Massa | FlowRate (Kg/Hr) | Fraksi Massa | FlowRate (Kg/Hr) |
| N2 | 0.7557 | 9892113 | 0.7557 | 5.42E+06 |
| O2 | 0.2315 | 3030335 | 0.2315 | 1.66E+06 |
| Ar | 0.0128 | 167552 | 0.0128 | 9.18E+04 |
| Total | 1 | 13090000 | 1 | 7.17E+06 |

| Komponen | | | Keluar (3) | |
|----------|--|--|--------------|------------------|
| | | | Fraksi Massa | FlowRate (Kg/Hr) |
| N2 | | | 0.7557 | 4.47E+06 |
| | | | 0.2315 | 0.00E+00 |
| | | | 0.0128 | 0.00E+00 |
| | | | 1 | 5.92E+06 |

4. LNG Exchanger-1 (Booster-HE)

Fungsi : Tempat Terjadinya perpindahan panas saat komponen udara Dipisahkan

| | |
|-----------------------|-------------------|
| T(3) = 17.09 Celcius | P(3) = 5.5 Bar |
| T(9) = 30.57 Celcius | P(9) = 63.95 Bar |
| T(14) = 30 Celcius | P(14) = 7.377 Bar |
| T(5) = 24 Celcius | P(5) = 5.43 Bar |
| T(10) = 23.87 Celcius | P(10) = 63.9 Bar |
| T(15) = 23.87 Celcius | P(15) = 7.3 Bar |



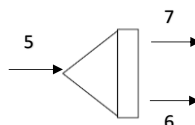
Tabel IV-1.4 Neraca massa LNG Exchanger

| Komp | Masuk (3) | | Masuk (9) | | Masuk (14) | |
|-------|-------------|----------|--------------|-----------|--------------|----------|
| | Fraksi Mass | FlowRate | Fraksi Massa | FlowRate | Fraksi Massa | FlowRate |
| N2 | 0.7557 | 4E+06 | 0.7557 | 2870904.3 | 0.7557 | 1619465 |
| O2 | 0.2315 | 1E+06 | 0.2315 | 879468.5 | 0.2315 | 496105 |
| Ar | 0.0128 | 75802 | 0.0128 | 48627.2 | 0.0128 | 27430.4 |
| Total | 1 | 6E+06 | 1 | 3799000 | 1 | 2143000 |
| Komp | Keluar (5) | | Keluar (10) | | Keluar (15) | |
| | Fraksi Mass | FlowRate | Fraksi Massa | FlowRate | Fraksi Massa | FlowRate |
| N2 | 0.7557 | 4E+06 | 0.7557 | 2870904.3 | 0.7557 | 1619465 |
| O2 | 0.2315 | 1E+06 | 0.2315 | 879468.5 | 0.2315 | 496105 |
| Ar | 0.0128 | 75802 | 0.0128 | 48627.2 | 0.0128 | 27430.4 |
| Total | 1 | 6E+06 | 1 | 3799000 | 1 | 2143000 |

5. Komponen TEE-2

Fungsi : Membagi komponen untuk pertukaran panas pada LNG Exchanger

Pada Komponen TEE dengan kondisi operasi yang sama, terjadi pembagian arus dari arus (5) menjadi arus (6) & (7)



Tabel IV-1.5 Neraca massa komponen TEE (2)

| Komponen | Masuk (5) | | Keluar (6) | |
|----------|--------------|------------------|--------------|------------------|
| | Fraksi Massa | FlowRate (Kg/Hr) | Fraksi Massa | FlowRate (Kg/Hr) |
| N2 | 0.7557 | 4475255.4 | 0.7557 | 1.62E+06 |
| O2 | 0.2315 | 1370943 | 0.2315 | 4.96E+05 |
| Ar | 0.0128 | 75801.6 | 0.0128 | 2.74E+04 |
| Total | 1 | 5922000 | 1 | 2.14E+06 |
| Komponen | | | Keluar (3) | |
| | Fraksi Massa | FlowRate (Kg/Hr) | Fraksi Massa | FlowRate (Kg/Hr) |
| N2 | | | 0.7557 | 2.86E+06 |
| O2 | | | 0.2315 | 8.75E+05 |
| Ar | | | 0.0128 | 4.84E+04 |
| Total | | | 1 | 3.78E+06 |

6. Booster Compressor

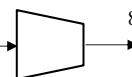
Fungsi : Menaikkan Tekanan Udara pada Arus (7)

$$P_7 = 5.43 \text{ Bar} \quad T_7 = 29$$

$$P_8 = 24 \text{ Bar} \quad T_8 = 412.8 \quad 7$$

Pada Booster compressor tidak terjadi perubahan komposisi dan flowrate

Sehingga Komposisi dan flowrate pada arus (7) = (8)



7. Booster Compressor

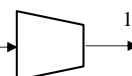
Fungsi : Menaikkan Tekanan Udara pada Arus (6)

$$P_6 = 5.43 \text{ Bar} \quad T_6 = 24$$

$$P_{13} = 7.377 \text{ Bar} \quad T_{13} = 60.17 \quad 6$$

Pada Booster compressor tidak terjadi perubahan komposisi dan flowrate

Sehingga Komposisi dan flowrate pada arus (6) = (13)



8. First Cooler

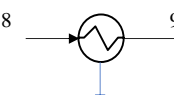
Fungsi : Mendinginkan temperatur udara pada arus (8)

$$T(8) = 412.8 \text{ Celcius} \quad P(8) = 64$$

$$T(9) = 30.57 \text{ Celcius} \quad P(9) = 63.95$$

Pada First cooler tidak terjadi [erubahan komposisi dan flowrate

sehingga komposisi dan flowrate pada arus (8) = (9)



9. Secondary Cooler

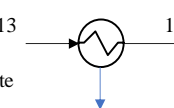
Fungsi : Mendinginkan temperatur udara pada arus (13)

$$T(13) = 60.17 \text{ Celcius} \quad P(13) = 7.377 \quad 13$$

$$T(14) = 30 \text{ Celcius} \quad P(14) = 7.377$$

Pada Secondary cooler tidak terjadi [erubahan komposisi dan flowrate

sehingga komposisi dan flowrate pada arus (13) = (14)



10. LNG Exchanger-2 (Main-HE)

Fungsi : Tempat Terjadinya perpindahan panas saat komponen udara dipisahkan

| | | | | | | | | | |
|----------------|---------|--------------|-----|---|----|----|----|----|----|
| T(4) = 17.9 | Celcius | P(4) = 5.5 | Bar | 4 | 10 | 15 | 20 | 41 | 48 |
| T(10) = 23.87 | Celcius | P(10) = 63.9 | Bar | | | | | | |
| T(15) = 23.87 | Celcius | P(15) = 7.3 | Bar | | | | | | |
| T(47) = -175 | Celcius | P(47) = 1.3 | Bar | | | | | | |
| T(19) = -178.2 | Celcius | P(19) = 5.35 | Bar | | | | | | |
| T(40) = -180 | Celcius | P(40) = 3 | Bar | | | | | | |
| T(18) = -136.1 | Celcius | P(18) = 5.39 | Bar | | | | | | |
| T(11) = -173.1 | Celcius | P(11) = 63.7 | Bar | | | | | | |
| T(16) = -170.8 | Celcius | P(16) = 7.27 | Bar | | | | | | |
| T(48) = 13.25 | Celcius | P(48) = 1.22 | Bar | | | | | | |
| T(20) = 16.55 | Celcius | P(20) = 5.27 | Bar | | | | | | |
| T(21) = 17.22 | Celcius | P(21) = 2.5 | Bar | | | | | | |

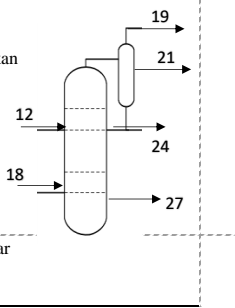
Tabel IV-1.6 Neraca massa LNG Exchanger-2

| Komponen | Masuk (4) | | Keluar (18) | |
|----------|---------------|------------------|----------------|------------------|
| | Fraksi Massa | FlowRate (Kg/Hr) | Fraksi Massa | FlowRate (Kg/Hr) |
| N2 | 0.7557 | 5418369 | 0.7557 | 5418369 |
| O2 | 0.2315 | 1659855 | 0.2315 | 1659855 |
| Ar | 0.0128 | 91776 | 0.0128 | 91776 |
| Total | 1 | 7170000 | 1 | 7170000 |
| Komponen | Masuk (10) | | Keluar (11) | |
| | Fraksi Massa | FlowRate (Kg/Hr) | Fraksi Massa | FlowRate (Kg/Hr) |
| N2 | 0.7557 | 2855790.3 | 0.7557 | 2855790.3 |
| O2 | 0.2315 | 874838.5 | 0.2315 | 874838.5 |
| Ar | 0.0128 | 48371.2 | 0.0128 | 48371.2 |
| Total | 1 | 3779000 | 1 | 3779000 |
| Komponen | Masuk (15) | | Keluar (16) | |
| | Fraksi Massa | FlowRate (Kg/Hr) | Fraksi Massa | FlowRate (Kg/Hr) |
| N2 | 0.7557 | 1619465.1 | 0.7557 | 1619465.1 |
| O2 | 0.2315 | 496104.5 | 0.2315 | 496104.5 |
| Ar | 0.0128 | 27430.4 | 0.0128 | 27430.4 |
| Total | 1 | 2143000 | 1 | 2143000 |
| Komponen | Masuk (47) | | Keluar (48) | |
| | Fraksi Massa | FlowRate (Kg/Hr) | Fraksi Massa | FlowRate (Kg/Hr) |
| N2 | 0.989 | 9869231 | 0.7557 | 9869231 |
| O2 | 0.0041 | 40913.9 | 0.2315 | 40913.9 |
| Ar | 0.0069 | 68855.1 | 0.0128 | 68855.1 |
| Total | 1 | 9979000 | 1 | 9979000 |
| Komponen | Masuk (19) | | Keluar (20) | |
| | Fraksi Massa | FlowRate (Kg/Hr) | Fraksi Massa | FlowRate (Kg/Hr) |
| N2 | 0.9982 | 24945.018 | 0.9982 | 24945.018 |
| O2 | 0.0008 | 19.992 | 0.0008 | 19.992 |
| Ar | 0.001 | 24.99 | 0.001 | 24.99 |
| Total | 1 | 24990 | 1 | 24990 |
| Komponen | Masuk (40) | | Keluar (3) | |
| | Fraksi Massa | FlowRate (Kg/Hr) | Fraksi Massa | FlowRate (Kg/Hr) |
| N2 | 0 | 0 | 0 | 0 |
| O2 | 0.98 | 2969400 | 0.98 | 2969400 |
| Ar | 0.02 | 60600 | 0.02 | 60600 |
| Total | 1 | 3030000 | 1 | 3030000 |
| Total | Masuk (Kg/Hr) | 26125990 | Keluar (Kg/Hr) | 26125990 |

11. Refluxed absorber (HP-Column)

Fungsi : Tempat pemisahan awal komponen udara berdasarkan titik didih masing masing komponen

$$\begin{aligned}
 T(12) &= -176 \text{ C} & P(12) &= 5.387 \\
 T(18) &= -170.8 \text{ C} & P(18) &= 5.39 \\
 T(19) &= -178.2 \text{ C} & P(19) &= 5.35 \\
 T(21) &= -178.2 \text{ C} & P(21) &= 5.35 \\
 T(24) &= -176.1 \text{ C} & P(24) &= 5.419 \\
 T(27) &= -173.7 \text{ C} & P(27) &= 5.49 \text{ Bar} \\
 \text{Tray Column} &= 62
 \end{aligned}$$



| Tabel IV-1.7 Neraca massa HP-Column | | | | |
|-------------------------------------|---------------|------------------|----------------|------------------|
| Komponen | Masuk (12) | | Keluar (19) | |
| | Fraksi Massa | FlowRate (Kg/Hr) | Fraksi Massa | FlowRate (Kg/Hr) |
| N2 | 0.7557 | 2855790.3 | 0.9982 | 24945.018 |
| O2 | 0.2315 | 874838.5 | 0.0008 | 19.992 |
| Ar | 0.0128 | 48371.2 | 0.001 | 24.99 |
| Total | 1 | 3779000 | 1 | 24990 |
| Komponen | Masuk (18) | | Keluar (21) | |
| | Fraksi Massa | FlowRate (Kg/Hr) | Fraksi Massa | FlowRate (Kg/Hr) |
| N2 | 0.7557 | 5418369 | 0.9963 | 3609594.9 |
| O2 | 0.2315 | 1659855 | 0.0018 | 6521.4 |
| Ar | 0.0128 | 91776 | 0.0019 | 6883.7 |
| Total | 1 | 7170000 | 1 | 3623000 |
| Keluar (24) | | | | |
| | Fraksi Massa | FlowRate (Kg/Hr) | | |
| | 0.7719 | 2104199.4 | | |
| | 0.2128 | 580092.8 | | |
| | 0.0152 | 41435.2 | | |
| Total | 1 | 2726000 | | |
| Keluar (27) | | | | |
| | Fraksi Massa | FlowRate (Kg/Hr) | | |
| | 0.5542 | 2536019.2 | | |
| | 0.4257 | 1948003.2 | | |
| | 0.0201 | 91977.6 | | |
| | 1 | 4576000 | | |
| Total | Masuk (Kg/Hr) | 10949000 | Keluar (Kg/Hr) | 10949000 |

12. Control Valve

Fungsi : Mengendalikan laju aliran dari arus sebelumnya sehingga mengalami penurunan tekanan

$$P(11) = 63.7 \text{ Bar}$$

$$P(12) = 5.387 \text{ Bar}$$

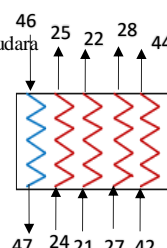
Pada alat Control Valve, tidak terjadi perubahan komposisi dan flowrate, sehingga komposisi dan flowrate arus (11) = arus (12)



13. LNG Exchanger-3 (sub Cool)

Fungsi : Tempat Terjadinya perpindahan panas saat komponen udara Dipisahkan

| | |
|------------------|-------------------|
| T(46) = -193.3 C | P(46) = 1.33 Bar |
| T(24) = -176.1 C | P(24) = 5.419 Bar |
| T(21) = -178.2 C | P(21) = 5.35 Bar |
| T(27) = -173.7 C | P(27) = 5.49 Bar |
| T(42) = -180 C | P(42) = 1.4 Bar |
| T(47) = -175 C | P(47) = 1.3 Bar |
| T(25) = -180.8 C | P(25) = 5.34 Bar |



Tabel IV-1.7 Neraca massa LNG Exhanger-3

| Komponen | Masuk (46) | | Keluar (47) | |
|----------|---------------|------------------|----------------|------------------|
| | Fraksi Massa | FlowRate (Kg/Hr) | Fraksi Massa | FlowRate (Kg/Hr) |
| N2 | 0.989 | 9869231 | 0.989 | 9869231 |
| O2 | 0.0041 | 40913.9 | 0.0041 | 40913.9 |
| Ar | 0.0069 | 68855.1 | 0.0069 | 68855.1 |
| Total | 1 | 9979000 | 1 | 9979000 |
| Komponen | Masuk (24) | | Keluar (25) | |
| | Fraksi Massa | FlowRate (Kg/Hr) | Fraksi Massa | FlowRate (Kg/Hr) |
| N2 | 0.772 | 2104472 | 0.772 | 2104472 |
| O2 | 0.2128 | 580092.8 | 0.2128 | 580092.8 |
| Ar | 0.0152 | 41435.2 | 0.0152 | 41435.2 |
| Total | 1 | 2726000 | 1 | 2726000 |
| Komponen | Masuk (21) | | Keluar (22) | |
| | Fraksi Massa | FlowRate (Kg/Hr) | Fraksi Massa | FlowRate (Kg/Hr) |
| N2 | 0.9963 | 3609594.9 | 0.9963 | 3609594.9 |
| O2 | 0.0018 | 6521.4 | 0.0018 | 6521.4 |
| Ar | 0.0019 | 6883.7 | 0.0019 | 6883.7 |
| Total | 1 | 3623000 | 1 | 3623000 |
| Komponen | Masuk (27) | | Keluar (28) | |
| | Fraksi Massa | FlowRate (Kg/Hr) | Fraksi Massa | FlowRate (Kg/Hr) |
| N2 | 0.5542 | 2536019.2 | 0.5542 | 2536019.2 |
| O2 | 0.4257 | 1948003.2 | 0.4257 | 1948003.2 |
| Ar | 0.0201 | 91977.6 | 0.0201 | 91977.6 |
| Total | 1 | 4576000 | 1 | 4576000 |
| Komponen | Masuk (42) | | Keluar (44) | |
| | Fraksi Massa | FlowRate (Kg/Hr) | Fraksi Massa | FlowRate (Kg/Hr) |
| N2 | 0 | 0 | 0 | 0 |
| O2 | 0.98 | 20737780 | 0.98 | 20737780 |
| Ar | 0.02 | 423220 | 0.02 | 423220 |
| Total | 1 | 257000 | 1 | 257000 |
| Total | Masuk (Kg/Hr) | 21161000 | Keluar (Kg/Hr) | 21161000 |

14. Control Valve

Fungsi : Mengendalikan laju aliran dari arus sebelumnya sehingga mengalami penurunan tekanan

$$P(22) = 5.3 \text{ Bar}$$

$$P(23) = 1.33 \text{ Bar}$$



Pada alat Control Valve, tidak terjadi perubahan komposisi dan flowrate, sehingga komposisi dan flowrate arus (22) = arus (23)

15. Control Valve

Fungsi : Mengendalikan laju aliran dari arus sebelumnya sehingga mengalami penurunan tekanan

$$P(25) = 5.34 \text{ Bar}$$

$$P(26) = 1.349 \text{ Bar}$$

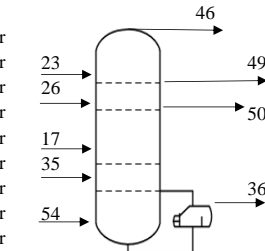


Pada alat Control Valve, tidak terjadi perubahan komposisi dan flowrate, sehingga komposisi dan flowrate arus (25) = arus (26)

16. Reboiled Absorber (LP-column)

Fungsi : Memisahkan komponen sehingga menjadi lebih murni berdasarkan perbedaan tekanan dan titik didih

| | |
|-------------------|------------------|
| T (23) = -193.4 C | P (23) 1.33 Bar |
| T (26) = -191.7 C | P (26) 1.349 Bar |
| T (17) = -179.3 C | P (17) 1.358 Bar |
| T (35) = -188.2 C | P (35) 1.357 Bar |
| T (54) = -180.4 C | P (54) 1.391 Bar |
| T (46) = -193.3 C | P (46) 1.33 Bar |
| T (49) = -180.6 C | P (49) 1.365 Bar |
| T (50) = -180.3 C | P (50) 1.388 Bar |
| T (36) = -180 C | P (36) 1.4 Bar |



Jumlah Tray Column = 80

Tabel IV-1.8 Neraca massa LP Column

| Komponen | Masuk (23) | | Keluar (46) | |
|----------|---------------|------------------|----------------|------------------|
| | Fraksi Massa | FlowRate (Kg/Hr) | Fraksi Massa | FlowRate (Kg/Hr) |
| N2 | 0.9963 | 3609594.9 | 0.989 | 9869231 |
| O2 | 0.0018 | 6521.4 | 0.0041 | 40913.9 |
| Ar | 0.0019 | 6883.7 | 0.0069 | 68855.1 |
| Total | 1 | 3623000 | 1 | 9979000 |
| Komponen | Masuk (26) | | Keluar (49) | |
| | Fraksi Massa | FlowRate (Kg/Hr) | Fraksi Massa | FlowRate (Kg/Hr) |
| N2 | 0.772 | 2104472 | 0.002 | 2.086E-07 |
| O2 | 0.2128 | 580092.8 | 0.9292 | 9.69156E-05 |
| Ar | 0.0152 | 41435.2 | 0.0688 | 7.17584E-06 |
| Total | 1 | 2726000 | 1 | 0.0001043 |
| Komponen | Masuk (35) | | Keluar (50) | |
| | Fraksi Massa | FlowRate (Kg/Hr) | Fraksi Massa | FlowRate (Kg/Hr) |
| N2 | 0.772 | 1654396 | 0 | 0 |
| O2 | 0.2128 | 456030.4 | 0.9189 | 1598886 |
| Ar | 0.0152 | 32573.6 | 0.0811 | 141114 |
| Total | 1 | 2143000 | 1 | 1740000 |
| Komponen | Masuk (17) | | Keluar (36) | |
| | Fraksi Massa | FlowRate (Kg/Hr) | Fraksi Massa | FlowRate (Kg/Hr) |
| N2 | 0.7557 | 1619465.1 | 0 | 0 |
| O2 | 0.2315 | 496104.5 | 0.9839 | 3516458.6 |
| Ar | 0.0128 | 27430.4 | 0.0161 | 57541.4 |
| Total | 1 | 2143000 | 1 | 3574000 |
| Komponen | Masuk (54) | | | |
| | Fraksi Massa | FlowRate (Kg/Hr) | | |
| N2 | 0 | 0 | | |
| O2 | 0.9347 | 2080642.2 | | |
| Ar | 0.0653 | 145357.8 | | |
| Total | 1 | 2226000 | | |
| Total | Masuk (Kg/Hr) | 12861000 | Keluar (Kg/Hr) | 15293000 |

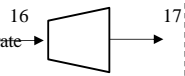
17. Expander

Fungsi : Menurunkan Tekanan Pada arus yang diinginkan

$$P_{16} = 7.27 \text{ Bar} \quad T_6 = -136.1$$

$$P_{17} = 1.358 \text{ Bar} \quad T_{13} = -179.3$$

Pada Booster compressor tidak terjadi perubahan komposisi dan flowrate
Sehingga Komposisi dan flowrate pada arus (16) = (17)

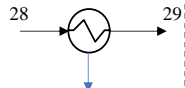


18. Third Cooler

Fungsi : Menurunkan temperature arus (28)

$$P(28) = 5.34 \text{ Bar} \quad T(28) = -180.8$$

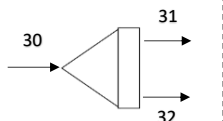
$$P(29) = 5.29 \text{ Bar} \quad T(29) = -184.6$$



19. Komponen TEE-3

Fungsi : Membagi Arus Pada Komponen 30 Menjadi Arus (31) dan (32)

Pada Komponen TEE dengan kondisi operasi yang sama, terjadi pembagian arus dari arus (30) menjadi arus (31) & (32)



Tabel IV-1.9 Neraca massa komponen TEE (1)

| Komponen | Masuk (30) | | Keluar (31) | |
|----------|---------------|------------------|----------------|------------------|
| | Fraksi Massa | FlowRate (Kg/Hr) | Fraksi Massa | FlowRate (Kg/Hr) |
| N2 | 0.5542 | 2536019.2 | 0.5542 | 195078.4 |
| O2 | 0.4257 | 1948003.2 | 0.4257 | 149846.4 |
| Ar | 0.0201 | 91977.6 | 0.0201 | 7075.2 |
| Total | 1 | 4576000 | 1 | 352000 |
| Komponen | | | Keluar (32) | |
| | | | Fraksi Massa | FlowRate (Kg/Hr) |
| N2 | | | 0.5542 | 2340940.8 |
| O2 | | | 0.4257 | 1798156.8 |
| Ar | | | 0.0201 | 84902.4 |
| Total | | | 1 | 4224000 |
| Total | Masuk (Kg/Hr) | 4576000 | Keluar (Kg/Hr) | 4576000 |

19. 4 Th Cooler & 5 Th Cooler

Fungsi : Menurunkan temperatur arus (31) dan (32)

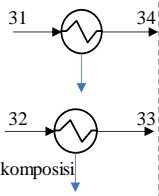
$$T(31) = -189.8 \text{ Celcius} \quad T(31) = 1.36 \text{ Bar}$$

$$T(34) = -188 \text{ Celcius} \quad T(34) = 1.357 \text{ Bar}$$

$$T(32) = -189.8 \text{ Celcius} \quad T(32) = 1.36 \text{ Bar}$$

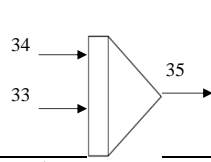
$$T(33) = -188.2 \text{ Celcius} \quad T(33) = 1.357 \text{ Bar}$$

Pada 4 Th Cooler dan 5 th Cooler Pendingin yang tidak terjadi perubahan komposisi sehingga arus (31) = (34) dan arus (32) = (33)



20. Mixing Point :

Tujuan : Menggabung Arus Dari Komponen Tertentu



Tabel IV-1.10 Neraca massa Komponen Mixer

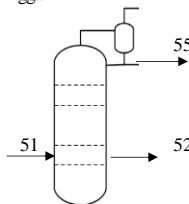
| Komponen | Keluar (35) | | Masuk (34) | |
|----------|---------------|------------------|------------------|------------------|
| | Fraksi Massa | FlowRate (Kg/Hr) | Fraksi Massa | FlowRate (Kg/Hr) |
| N2 | 0.5542 | 2536019.2 | 0.5542 | 195078.4 |
| O2 | 0.4257 | 1948003.2 | 0.4257 | 149846.4 |
| Ar | 0.0201 | 91977.6 | 0.0201 | 7075.2 |
| Total | 1 | 4576000 | 1 | 352000 |
| Komponen | Masuk (31) | | | |
| | | Fraksi Massa | FlowRate (Kg/Hr) | |
| | | 0.5542 | 2340940.8 | |
| | | 0.4257 | 1798156.8 | |
| | | 0.0201 | 84902.4 | |
| | | 1 | 4224000 | |
| Total | Masuk (Kg/Hr) | 4576000 | Keluar (Kg/Hr) | 4576000 |

21. Refluxed Absorber (Crude AR Column)

Fungsi : Memisahkan Komponen Berdasarkan titik didihnya sehingga
Menjadi lebih Murni

$$\begin{aligned} T(51) &= -180.3 \\ T(55) &= -184.2 \\ T(52) &= -180.4 \end{aligned}$$

$$\begin{aligned} P(51) &= 1.38 \\ P(55) &= 1.23 \\ P(52) &= 1.38 \end{aligned}$$



Tabel IV-1.11 Neraca massa Crude AR Column

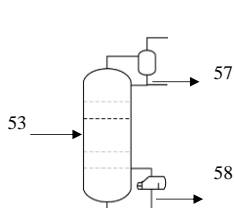
| Komponen | Masuk (51) | | Keluar (55) | |
|----------|---------------|------------------|------------------|------------------|
| | Fraksi Massa | FlowRate (Kg/Hr) | Fraksi Massa | FlowRate (Kg/Hr) |
| N2 | 0 | 0 | 0 | 0 |
| O2 | 0.9008 | 1567392 | 0 | 0 |
| Ar | 0.0992 | 172608 | 1 | 44000 |
| Total | 1 | 1740000 | 1 | 44000 |
| Komponen | Keluar (52) | | | |
| | | Fraksi Massa | FlowRate (Kg/Hr) | |
| | | 0 | 0 | |
| | | 0.924 | 1607760 | |
| | | 0.076 | 132240 | |
| | | 1 | 1696000 | |
| Total | Masuk (Kg/Hr) | 1740000 | Keluar (Kg/Hr) | 1740000 |

21. Distillation Culum-1 (Pure AR Column)

Fungsi : Memisahkan Komponen Ar dan O2 Menjadi Lebih Murni

$$\begin{aligned} T(53) &= -180.3 \\ T(57) &= -184.2 \\ T(58) &= -180.4 \end{aligned}$$

$$\begin{aligned} P(51) &= 1.38 \\ P(55) &= 1.23 \\ P(52) &= 1.38 \end{aligned}$$



Tabel IV-1.11 Neraca massa Crude AR Column

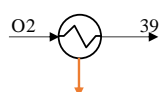
| Komponen | Masuk (51) | | Keluar (55) | |
|----------|---------------|------------------|------------------|------------------|
| | Fraksi Massa | FlowRate (Kg/Hr) | Fraksi Massa | FlowRate (Kg/Hr) |
| N2 | 0 | 0 | 0 | 0 |
| O2 | 0.9008 | 1567392 | 0 | 0 |
| Ar | 0.0992 | 172608 | 1 | 44000 |
| Total | 1 | 1740000 | 1 | 44000 |
| Komponen | Keluar (52) | | | |
| | Fraksi Massa | | FlowRate (Kg/Hr) | |
| | 0 | | 0 | |
| | 0.924 | | 1607760 | |
| | 0.076 | | 132240 | |
| Total | Masuk (Kg/Hr) | 1740000 | Keluar (Kg/Hr) | 1740000 |

22. O2 Preheating

Fungsi : Menaikkan Temperatur O2 untuk dapat digunakan pada proses Sales Gas Selanjutnya

$$\begin{aligned} T_{O2} &= -183.2 \text{ Celcius} & P_{O2} &= 1.013 \text{ Bar} \\ T(39) &= 315.6 \text{ Celcius} & P(39) &= 7.2 \text{ Bar} \end{aligned}$$

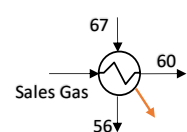
Pada O2 Preheating tidak terjadi perubahan komponen, sehingga arus pada (O2) = (39)



23. Sales Gas Heat Exchanger

Fungsi Menukar Panas antara Sales Gas dengan gas keluaran OCM Reactor

$$\begin{aligned} T(\text{Gas}) &= 30 \text{ Celcius} & P(\text{Gas}) &= 20 \text{ Bar} \\ T(60) &= 400 \text{ Celcius} & P(60) &= 20.4 \text{ Bar} \\ T(67) &= 1403 \text{ Celcius} & P(67) &= 7 \text{ Bar} \\ T(56) &= 1286 \text{ Celcius} & P(56) &= 6.8 \text{ Bar} \end{aligned}$$



Tabel IV-1.12 Neraca massa Sales Gas H.E

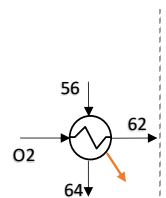
| Komponen | Masuk (Sales Gas) | | Keluar (60) | |
|----------|-------------------|------------------|--------------|------------------|
| | Fraksi Massa | FlowRate (Kg/Hr) | Fraksi Massa | FlowRate (Kg/Hr) |
| CO2 | 0.1113 | 68371.59 | 0.1113 | 68371.59 |
| N2 | 0 | 0 | 0 | 0 |
| CH4 | 0.6635 | 407588.05 | 0.6635 | 407588.05 |
| C2H2 | 0 | 0 | 0 | 0 |
| C2H6 | 0.0731 | 44905.33 | 0.0731 | 44905.33 |

| | | | | |
|---------------|--------------|------------------|--------------|------------------|
| C3H6 | 0 | 0 | 0 | 0 |
| C3 | 0.0172 | 10565.96 | 0.0172 | 10565.96 |
| i-C4 | 0.0226 | 13883.18 | 0.0226 | 13883.18 |
| n-C4 | 0.0226 | 13883.18 | 0.0226 | 13883.18 |
| i-C5 | 0.0281 | 17261.83 | 0.0281 | 17261.83 |
| n-C5 | 0.0281 | 17261.83 | 0.0281 | 17261.83 |
| n-C6+ | 0.0335 | 20579.05 | 0.0335 | 20579.05 |
| H2O | 0 | 0 | 0 | 0 |
| CO | 0 | 0 | 0 | 0 |
| H2 | 0 | 0 | 0 | 0 |
| O2 | 0 | 0 | 0 | 0 |
| Ethylene | 0 | 0 | 0 | 0 |
| Asethylene | 0 | 0 | 0 | 0 |
| 1,2-Butadiene | 0 | 0 | 0 | 0 |
| 1-Butene | 0 | 0 | 0 | 0 |
| MEA | 0 | 0 | 0 | 0 |
| Total | 1 | 614300 | 1 | 614300 |
| Komponen | Masuk (67) | | Keluar (56) | |
| | Fraksi Massa | FlowRate (Kg/Hr) | Fraksi Massa | FlowRate (Kg/Hr) |
| CO2 | 0.058 | 78184 | 0.058 | 78184 |
| N2 | 0 | 0 | 0 | 0 |
| CH4 | 0.1299 | 175105.2 | 0.1299 | 175105.2 |
| C2H2 | 0 | 0 | 0 | 0 |
| C2H6 | 0.0267 | 35991.6 | 0.0267 | 35991.6 |
| C3H6 | 0 | 0 | 0 | 0 |
| C3 | 0.0078 | 10514.4 | 0.0078 | 10514.4 |
| i-C4 | 0.0103 | 13884.4 | 0.0103 | 13884.4 |
| n-C4 | 0.0103 | 13884.4 | 0.0103 | 13884.4 |
| i-C5 | 0.0128 | 17254.4 | 0.0128 | 17254.4 |
| n-C5 | 0.0128 | 17254.4 | 0.0128 | 17254.4 |
| n-C6+ | 0.0153 | 20624.4 | 0.0153 | 20624.4 |
| H2O | 0.4066 | 548096.8 | 0.4066 | 548096.8 |
| CO | 0 | 0 | 0 | 0 |
| H2 | 0 | 0 | 0 | 0 |
| O2 | 0 | 0 | 0 | 0 |
| Ethylene | 0.3001 | 404534.8 | 0.3001 | 404534.8 |
| Asethylene | 0.0094 | 12671.2 | 0.0094 | 12671.2 |
| 1,2-Butadiene | 0 | 0 | 0 | 0 |
| 1-Butene | 0 | 0 | 0 | 0 |
| MEA | 0 | 0 | 0 | 0 |
| Total | 1 | 1348000 | 1 | 1348000 |

24. O2 Heat Exchanger

Fungsi Menukar Panas antara O2 dengan gas keluaran OCM Reactor

| | |
|-----------------------|-----------------|
| T(O2) = 315.6 Celcius | P(O2) = 7.2 Bar |
| T(62) = 400 Celcius | P(62) = 7.6 Bar |
| T(64) = 1277 Celcius | P(64) = 6.4 Bar |
| T(56) = 1286 Celcius | P(56) = 6.8 Bar |



Tabel IV-1.13 Neraca massa O2 H.E

| Komponen | Masuk (O2) | | Keluar (62) | |
|---------------|--------------|------------------|--------------|------------------|
| | Fraksi Massa | FlowRate (Kg/Hr) | Fraksi Massa | FlowRate (Kg/Hr) |
| CO2 | 0 | 0 | 0 | 0 |
| N2 | 0 | 0 | 0 | 0 |
| CH4 | 0 | 0 | 0 | 0 |
| C2H2 | 0 | 0 | 0 | 0 |
| C2H6 | 0 | 0 | 0 | 0 |
| C3H6 | 0 | 0 | 0 | 0 |
| C3 | 0 | 0 | 0 | 0 |
| i-C4 | 0 | 0 | 0 | 0 |
| n-C4 | 0 | 0 | 0 | 0 |
| i-C5 | 0 | 0 | 0 | 0 |
| n-C5 | 0 | 0 | 0 | 0 |
| n-C6+ | 0 | 0 | 0 | 0 |
| H2O | 0 | 0 | 0 | 0 |
| CO | 0 | 0 | 0 | 0 |
| H2 | 0 | 0 | 0 | 0 |
| O2 | 1 | 494200 | 1 | 494200 |
| Ethylene | 0 | 0 | 0 | 0 |
| Asethylene | 0 | 0 | 0 | 0 |
| 1,2-Butadiene | 0 | 0 | 0 | 0 |
| 1-Butene | 0 | 0 | 0 | 0 |
| MEA | 0 | 0 | 0 | 0 |
| Total | 1 | 494200 | 1 | 494200 |
| Komponen | Masuk (56) | | Keluar (64) | |
| | Fraksi Massa | FlowRate (Kg/Hr) | Fraksi Massa | FlowRate (Kg/Hr) |
| CO2 | 0.058 | 78184 | 0.058 | 78184 |
| N2 | 0 | 0 | 0 | 0 |
| CH4 | 0.1299 | 175105.2 | 0.1299 | 175105.2 |
| C2H2 | 0 | 0 | 0 | 0 |
| C2H6 | 0.0267 | 35991.6 | 0.0267 | 35991.6 |
| C3H6 | 0 | 0 | 0 | 0 |
| C3 | 0.0078 | 10514.4 | 0.0078 | 10514.4 |
| i-C4 | 0.0103 | 13884.4 | 0.0103 | 13884.4 |
| n-C4 | 0.0103 | 13884.4 | 0.0103 | 13884.4 |
| i-C5 | 0.0128 | 17254.4 | 0.0128 | 17254.4 |
| n-C5 | 0.0128 | 17254.4 | 0.0128 | 17254.4 |
| n-C6+ | 0.0153 | 20624.4 | 0.0153 | 20624.4 |
| H2O | 0.4066 | 548096.8 | 0.4066 | 548096.8 |

| | | | | |
|---------------|--------|----------|--------|----------|
| CO | 0 | 0 | 0 | 0 |
| H2 | 0 | 0 | 0 | 0 |
| O2 | 0 | 0 | 0 | 0 |
| Ethylene | 0.3001 | 404534.8 | 0.3001 | 404534.8 |
| Asethylene | 0.0094 | 12671.2 | 0.0094 | 12671.2 |
| 1,2-Butadiene | 0 | 0 | 0 | 0 |
| 1-Butene | 0 | 0 | 0 | 0 |
| MEA | 0 | 0 | 0 | 0 |
| Total | 1 | 1348000 | 1 | 1348000 |

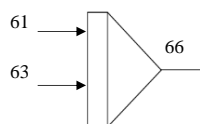
25. Methane Recycle

Methane yang tidak bereaksi selama Proses akan dimasukkan kembali ke OCM reactor untuk Direaksikan kembali

$$\begin{aligned} \text{Methane Recycle Mengandung} &= 300 \quad \text{MMSCFD Methane} \\ &= 239700 \quad \text{Kg/Hr} \quad \text{Methane} \end{aligned}$$

26.. Mixing Point (M-100)

Fungsi : Tempat terjadinya pencampuran sales gas dan O2
Sebelum memasuki OCM Reactor



Tabel IV-1.14 Neraca massa Mixing Point 100

| Komponen | Masuk (61) | | Keluar (66) | |
|---------------|--------------|------------------|--------------|------------------|
| | Fraksi Massa | FlowRate (Kg/Hr) | Fraksi Massa | FlowRate (Kg/Hr) |
| CO2 | 0.1113 | 68371.59 | 0.061679378 | 68371.59 |
| N2 | 0 | 0 | 0 | 0 |
| CH4 | 0.6635 | 407588.05 | 0.367693324 | 407588.05 |
| C2H2 | 0 | 0 | 0 | 0 |
| C2H6 | 0.0731 | 44905.33 | 0.040509995 | 44905.33 |
| C3H6 | 0 | 0 | 0 | 0 |
| C3 | 0.0172 | 10565.96 | 0.009531764 | 10565.96 |
| i-C4 | 0.0226 | 13883.18 | 0.012524294 | 13883.18 |
| n-C4 | 0.0226 | 13883.18 | 0.012524294 | 13883.18 |
| i-C5 | 0.0281 | 17261.83 | 0.015572242 | 17261.83 |
| n-C5 | 0.0281 | 17261.83 | 0.015572242 | 17261.83 |
| n-C6+ | 0.0335 | 20579.05 | 0.018564772 | 20579.05 |
| H2O | 0 | 0 | 0 | 0 |
| CO | 0 | 0 | 0 | 0 |
| H2 | 0 | 0 | 0 | 0 |
| O2 | 0 | 0 | 0.445827695 | 494200 |
| Ethylene | 0 | 0 | 0 | 0 |
| Asethylene | 0 | 0 | 0 | 0 |
| 1,2-Butadiene | 0 | 0 | 0 | 0 |
| 1-Butene | 0 | 0 | 0 | 0 |
| MEA | 0 | 0 | 0 | 0 |

| | | | | |
|---------------|--------------|------------------|----------------|---------|
| Total | 1 | 614300 | 1 | 1108500 |
| Masuk (63) | | | | |
| Komponen | Fraksi Massa | FlowRate (Kg/Hr) | | |
| CO2 | 0 | 0 | | |
| N2 | 0 | 0 | | |
| CH4 | 0 | 0 | | |
| C2H2 | 0 | 0 | | |
| C2H6 | 0 | 0 | | |
| C3H6 | 0 | 0 | | |
| C3 | 0 | 0 | | |
| i-C4 | 0 | 0 | | |
| n-C4 | 0 | 0 | | |
| i-C5 | 0 | 0 | | |
| n-C5 | 0 | 0 | | |
| n-C6+ | 0 | 0 | | |
| H2O | 0 | 0 | | |
| CO | 0 | 0 | | |
| H2 | 0 | 0 | | |
| O2 | 1 | 494200 | | |
| Ethylene | 0 | 0 | | |
| Asethylene | 0 | 0 | | |
| 1,2-Butadiene | 0 | 0 | | |
| 1-Butene | 0 | 0 | | |
| MEA | 0 | 0 | | |
| Total | 1 | 494200 | | |
| Total | Masuk Kg/Hr | 1108500 | Keluar (Kg/Hr) | 1108500 |

27. OCM Reactor

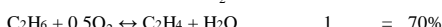
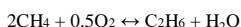
Fungsi : Mereaksikan gas metana dan etana menjadi gas ethylene

Arus 65 = Methane Recycle Produk Dari Methanator

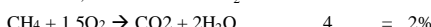
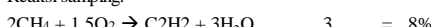
Arus 66 = Mixed Sales Gas & O2

Arus 67 = Sales Gas Output

Reaksi utama:



Reaksi samping:



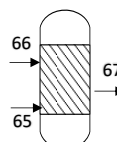
Ketentuan dan Kondisi Operasi

1. Tekanan = 7 Bar

2. Suhu operasi = 400 °C

3. pH operasi = 6

4. T tinggal = 0.033 Jam



Tabel IV-1.15 Neraca massa OCM Reactor

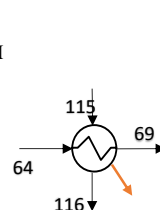
| Komponen | Masuk (66) | | Keluar (67) | |
|---------------|--------------|------------------|----------------|------------------|
| | Fraksi Massa | FlowRate (Kg/Hr) | Fraksi Massa | FlowRate (Kg/Hr) |
| CO2 | 0.061679378 | 2.713892612 | 0.058 | 78184 |
| N2 | 0 | 0 | 0 | 0 |
| CH4 | 0.367693324 | 5.883093189 | 0.1299 | 175105.2 |
| C2H2 | 0 | 0 | 0 | 0 |
| C2H6 | 0.040509995 | 1.215299865 | 0.0267 | 35991.6 |
| C3H6 | 0 | 0 | 0 | 0 |
| C3 | 0.009531764 | 0.4193976 | 0.0078 | 10514.4 |
| i-C4 | 0.012524294 | 0.726409057 | 0.0103 | 13884.4 |
| n-C4 | 0.012524294 | 0.726409057 | 0.0103 | 13884.4 |
| i-C5 | 0.015572242 | 1.121201407 | 0.0128 | 17254.4 |
| n-C5 | 0.015572242 | 1.121201407 | 0.0128 | 17254.4 |
| n-C6+ | 0.018564772 | 1.59657041 | 0.0153 | 20624.4 |
| H2O | 0 | 0 | 0.4066 | 548096.8 |
| CO | 0 | 0 | 0 | 0 |
| H2 | 0 | 0 | 0 | 0 |
| O2 | 0.445827695 | 14.26648624 | 0 | 0 |
| Ethylene | 0 | 0 | 0.3001 | 404534.8 |
| Asethylene | 0 | 0 | 0.0094 | 12671.2 |
| 1,2-Butadiene | 0 | 0 | 0 | 0 |
| 1-Butene | 0 | 0 | 0 | 0 |
| MEA | 0 | 0 | 0 | 0 |
| Total | 1 | 29.78996085 | 1 | 1348200 |
| Komponen | Masuk (65) | | | |
| | Fraksi Massa | FlowRate (Kg/Hr) | | |
| CO2 | 0 | 0 | | |
| N2 | 0 | 0 | | |
| CH4 | 1 | 239700 | | |
| C2H2 | 0 | 0 | | |
| C2H6 | 0 | 0 | | |
| C3H6 | 0 | 0 | | |
| C3 | 0 | 0 | | |
| i-C4 | 0 | 0 | | |
| n-C4 | 0 | 0 | | |
| i-C5 | 0 | 0 | | |
| n-C5 | 0 | 0 | | |
| n-C6+ | 0 | 0 | | |
| H2O | 0 | 0 | | |
| CO | 0 | 0 | | |
| H2 | 0 | 0 | | |
| O2 | 0 | 0 | | |
| Ethylene | 0 | 0 | | |
| Asethylene | 0 | 0 | | |
| 1,2-Butadiene | 0 | 0 | | |
| 1-Butene | 0 | 0 | | |
| MEA | 0 | 0 | | |
| Total | 1 | 239700 | | |
| Total | Masuk Kg/Hr | 1348200 | Keluar (Kg/Hr) | 1348200 |

28. HE-200

Fungsi : Tempat Pertukaran panas antara Ethane Recycle Dan OCM

Output

| | |
|--------------------------|------------------|
| T (64) = 1277 Celcius | P (64) = 6.4 Bar |
| T (69) = 1264 Celcius | P (69) = 5 Bar |
| T (115) = -29.66 Celcius | P (115) = 11 Bar |
| T (116) = 500 Celcius | P (116) = 10 Bar |



Tabel IV-1.16 Neraca massa HE-200

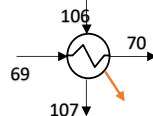
| Komponen | Masuk (64) | | Keluar (69) | |
|---------------|--------------|------------------|--------------|------------------|
| | Fraksi Massa | FlowRate (Kg/Hr) | Fraksi Massa | FlowRate (Kg/Hr) |
| CO2 | 0.058 | 78184 | 0.058 | 78184 |
| N2 | 0 | 0 | 0 | 0 |
| CH4 | 0.1299 | 175105.2 | 0.1299 | 175105.2 |
| C2H2 | 0 | 0 | 0 | 0 |
| C2H6 | 0.0267 | 35991.6 | 0.0267 | 35991.6 |
| C3H6 | 0 | 0 | 0 | 0 |
| C3 | 0.0078 | 10514.4 | 0.0078 | 10514.4 |
| i-C4 | 0.0103 | 13884.4 | 0.0103 | 13884.4 |
| n-C4 | 0.0103 | 13884.4 | 0.0103 | 13884.4 |
| i-C5 | 0.0128 | 17254.4 | 0.0128 | 17254.4 |
| n-C5 | 0.0128 | 17254.4 | 0.0128 | 17254.4 |
| n-C6+ | 0.0153 | 20624.4 | 0.0153 | 20624.4 |
| H2O | 0.4066 | 548096.8 | 0.4066 | 548096.8 |
| CO | 0 | 0 | 0 | 0 |
| H2 | 0 | 0 | 0 | 0 |
| O2 | 0 | 0 | 0 | 0 |
| Ethylene | 0.3001 | 404534.8 | 0.3001 | 404534.8 |
| Acetylene | 0.0094 | 12671.2 | 0.0094 | 12671.2 |
| 1,2-Butadiene | 0 | 0 | 0 | 0 |
| 1-Butene | 0 | 0 | 0 | 0 |
| MEA | 0 | 0 | 0 | 0 |
| Total | 1 | 1348000 | 1 | 1348000 |
| Komponen | Masuk (115) | | Masuk (116) | |
| | Fraksi Massa | FlowRate (Kg/Hr) | Fraksi Massa | FlowRate (Kg/Hr) |
| CO2 | 0 | 0 | 0 | 0 |
| N2 | 0 | 0 | 0 | 0 |
| CH4 | 0 | 0 | 0 | 0 |
| C2H2 | 0 | 0 | 0 | 0 |
| C2H6 | 0.9233 | 33017.208 | 0.9233 | 33017.208 |
| C3H6 | 0 | 0 | 0 | 0 |
| C3 | 0.0043 | 153.768 | 0.0043 | 153.768 |
| i-C4 | 0 | 0 | 0 | 0 |
| n-C4 | 0 | 0 | 0 | 0 |
| i-C5 | 0 | 0 | 0 | 0 |

| | | | | |
|---------------|-------------|---------|----------------|---------|
| n-C5 | 0 | 0 | 0 | 0 |
| n-C6+ | 0 | 0 | 0 | 0 |
| H2O | 0 | 0 | 0 | 0 |
| CO | 0 | 0 | 0 | 0 |
| H2 | 0 | 0 | 0 | 0 |
| O2 | 0 | 0 | 0 | 0 |
| Ethylene | 0.0174 | 622,224 | 0.0174 | 622,224 |
| Asethylene | 0.055 | 1966.8 | 0.055 | 1966.8 |
| 1,2-Butadiene | 0 | 0 | 0 | 0 |
| 1-Butene | 0 | 0 | 0 | 0 |
| MEA | 0 | 0 | 0 | 0 |
| Total | 1 | 35760 | 1 | 35760 |
| Total | Masuk Kg/Hr | 1383760 | Keluar (Kg/Hr) | 1383760 |

29. HE-201

Fungsi : Tempat Pertukaran panas antara Methane Separator Dan OCM
Output

| | |
|-------------------------|-----------------|
| T(69) = 1264 Celcius | P (69) = 5 Bar |
| T(70) = 1202 Celcius | P (70) = 4 Bar |
| T(106) = -101.5 Celcius | P (106)= 25 Bar |
| T(107) = 400 Celcius | P (107)= 24 Bar |



Tabel IV-1.17 Neraca massa HE-201

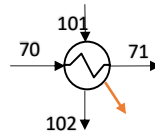
| Komponen | Masuk (69) | | Keluar (70) | |
|---------------|--------------|------------------|--------------|------------------|
| | Fraksi Massa | FlowRate (Kg/Hr) | Fraksi Massa | FlowRate (Kg/Hr) |
| CO2 | 0.058 | 78184 | 0.058 | 78184 |
| N2 | 0 | 0 | 0 | 0 |
| CH4 | 0.1299 | 175105.2 | 0.1299 | 175105.2 |
| C2H2 | 0 | 0 | 0 | 0 |
| C2H6 | 0.0267 | 35991.6 | 0.0267 | 35991.6 |
| C3H6 | 0 | 0 | 0 | 0 |
| C3 | 0.0078 | 10514.4 | 0.0078 | 10514.4 |
| i-C4 | 0.0103 | 13884.4 | 0.0103 | 13884.4 |
| n-C4 | 0.0103 | 13884.4 | 0.0103 | 13884.4 |
| i-C5 | 0.0128 | 17254.4 | 0.0128 | 17254.4 |
| n-C5 | 0.0128 | 17254.4 | 0.0128 | 17254.4 |
| n-C6+ | 0.0153 | 20624.4 | 0.0153 | 20624.4 |
| H2O | 0.4066 | 548096.8 | 0.4066 | 548096.8 |
| CO | 0 | 0 | 0 | 0 |
| H2 | 0 | 0 | 0 | 0 |
| O2 | 0 | 0 | 0 | 0 |
| Ethylene | 0.3001 | 404534.8 | 0.3001 | 404534.8 |
| Asethylene | 0.0094 | 12671.2 | 0.0094 | 12671.2 |
| 1,2-Butadiene | 0 | 0 | 0 | 0 |
| 1-Butene | 0 | 0 | 0 | 0 |
| MEA | 0 | 0 | 0 | 0 |
| Total | 1 | 1348000 | 1 | 1348000 |

| Komponen | Masuk (106) | | Masuk (107) | |
|---------------|--------------|------------------|----------------|------------------|
| | Fraksi Massa | FlowRate (Kg/Hr) | Fraksi Massa | FlowRate (Kg/Hr) |
| CO2 | 0 | 0 | 0 | 0 |
| N2 | 0 | 0 | 0 | 0 |
| CH4 | 0.9992 | 172362 | 0.9992 | 172362 |
| C2H2 | 0 | 0 | 0 | 0 |
| C2H6 | 0 | 0 | 0 | 0 |
| C3H6 | 0 | 0 | 0 | 0 |
| C3 | 0 | 0 | 0 | 0 |
| i-C4 | 0 | 0 | 0 | 0 |
| n-C4 | 0 | 0 | 0 | 0 |
| i-C5 | 0 | 0 | 0 | 0 |
| n-C5 | 0 | 0 | 0 | 0 |
| n-C6+ | 0 | 0 | 0 | 0 |
| H2O | 0 | 0 | 0 | 0 |
| CO | 0 | 0 | 0 | 0 |
| H2 | 0 | 0 | 0 | 0 |
| O2 | 0.0002 | 34.5 | 0.0002 | 34.5 |
| Ethylene | 0.0006 | 103.5 | 0.0006 | 103.5 |
| Asethylene | 0 | 0 | 0 | 0 |
| 1,2-Butadiene | 0 | 0 | 0 | 0 |
| 1-Butene | 0 | 0 | 0 | 0 |
| MEA | 0 | 0 | 0 | 0 |
| Total | 1 | 172500 | 1 | 172500 |
| Total | Masuk Kg/Hr | 1520500 | Keluar (Kg/Hr) | 1520500 |

30. HE-202

Fungsi : Tempat Pertukaran panas antara Methane Separator Dan OCM
Output

| | |
|------------------------|-----------------|
| T (70) = 1202 Celcius | P (70) = 4 Bar |
| T (71) = 1186 Celcius | P (71) = 3 Bar |
| T (106) = -129 Celcius | P (101)= 30 Bar |
| T (107) = 400 Celcius | P (102)= 29 Bar |



Tabel IV-1.18 Neraca massa HE-202

| Komponen | Masuk (70) | | Keluar (71) | |
|---------------|--------------|------------------|----------------|------------------|
| | Fraksi Massa | FlowRate (Kg/Hr) | Fraksi Massa | FlowRate (Kg/Hr) |
| CO2 | 0.058 | 78184 | 0.058 | 78184 |
| N2 | 0 | 0 | 0 | 0 |
| CH4 | 0.1299 | 175105.2 | 0.1299 | 175105.2 |
| C2H2 | 0.0094 | 12671.2 | 0.0094 | 12671.2 |
| C2H6 | 0.0267 | 35991.6 | 0.0267 | 35991.6 |
| C3H6 | 0 | 0 | 0 | 0 |
| C3 | 0.0078 | 10514.4 | 0.0078 | 10514.4 |
| i-C4 | 0.0103 | 13884.4 | 0.0103 | 13884.4 |
| n-C4 | 0.0103 | 13884.4 | 0.0103 | 13884.4 |
| i-C5 | 0.0128 | 17254.4 | 0.0128 | 17254.4 |
| n-C5 | 0.0128 | 17254.4 | 0.0128 | 17254.4 |
| n-C6+ | 0.0153 | 20624.4 | 0.0153 | 20624.4 |
| H2O | 0.4066 | 548096.8 | 0.4066 | 548096.8 |
| CO | 0 | 0 | 0 | 0 |
| H2 | 0 | 0 | 0 | 0 |
| O2 | 0 | 0 | 0 | 0 |
| Ethylene | 0.3001 | 404534.8 | 0.3001 | 404534.8 |
| Asethylene | 0 | 0 | 0 | 0 |
| 1,2-Butadiene | 0 | 0 | 0 | 0 |
| 1-Butene | 0 | 0 | 0 | 0 |
| MEA | 0 | 0 | 0 | 0 |
| Total | 1 | 1348000 | 1 | 1348000 |
| Komponen | Masuk (106) | | Masuk (107) | |
| | Fraksi Massa | FlowRate (Kg/Hr) | Fraksi Massa | FlowRate (Kg/Hr) |
| CO2 | 0.9657 | 78009.246 | 0.9657 | 78009.246 |
| N2 | 0 | 0 | 0 | 0 |
| CH4 | 0.0343 | 2770.754 | 0.0343 | 2770.754 |
| C2H2 | 0 | 0 | 0 | 0 |
| C2H6 | 0 | 0 | 0 | 0 |
| C3H6 | 0 | 0 | 0 | 0 |
| C3 | 0 | 0 | 0 | 0 |
| i-C4 | 0 | 0 | 0 | 0 |
| n-C4 | 0 | 0 | 0 | 0 |
| i-C5 | 0 | 0 | 0 | 0 |
| n-C5 | 0 | 0 | 0 | 0 |
| n-C6+ | 0 | 0 | 0 | 0 |
| H2O | 0 | 0 | 0 | 0 |
| CO | 0 | 0 | 0 | 0 |
| H2 | 0 | 0 | 0 | 0 |
| O2 | 0 | 0 | 0 | 0 |
| Ethylene | 0 | 0 | 0 | 0 |
| Asethylene | 0 | 0 | 0 | 0 |
| 1,2-Butadiene | 0 | 0 | 0 | 0 |
| 1-Butene | 0 | 0 | 0 | 0 |
| MEA | 0 | 0 | 0 | 0 |
| Total | 1 | 80780 | 1 | 80780 |
| Total | Masuk Kg/Hr | 1428780 | Keluar (Kg/Hr) | 1428780 |

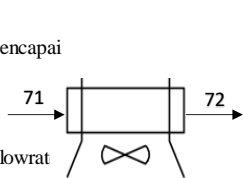
31. Air Cooler-1

Fungsi : Menurunkan Temperatur Output OCM hingga Mencapai
Suhu yang lebih dingin

$$T(71) = 1100 \text{ Celcius} \quad P(71) = 3$$

$$T(72) = 45 \text{ Celcius} \quad P(72) = 2$$

Pada Air Cooler Tidak Terjadi perubahan komposisi sehingga Flowrat
pada arus (71) = (72)



32 Flash Separator 1

Fungsi : Memisahkan Komponen sales gas dari CO₂ dan H₂O

$$\text{Arus } 72 = \text{ Aliran dari Cooler (E-202)}$$

$$\text{Arus } 73 = \text{ Fase gas dari arus } 72$$

$$\text{Arus } 74 = \text{ Fase gas dari arus } 5$$

Kondisi Operasi

$$\text{Suhu} = 45 \text{ Celcius}$$

$$\text{Tekanan} = 2 \text{ Bar} \quad 200 \text{ Kpa}$$

Tabel IV-1.19 Neraca Massa Flash Separator F-200

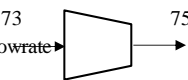
| Komponen | Masuk (72) | | Keluar (73) | |
|---------------|---------------|------------------|----------------|------------------|
| | Fraksi Massa | FlowRate (Kg/Hr) | Fraksi Massa | FlowRate (Kg/Hr) |
| CO2 | 0.058 | 78184 | 0.100987591 | 78145.9703 |
| N2 | 0 | 0 | 0 | 0 |
| CH4 | 0.1298 | 174970.4 | 0.225179889 | 174248.1497 |
| C2H2 | 0.0094 | 12671.2 | 0.015881899 | 12289.69204 |
| C2H6 | 0.0267 | 35991.6 | 0.04503349 | 34847.70456 |
| C3H6 | 0 | 0 | 0 | 0 |
| C3 | 0.0078 | 10514.4 | 0.012152065 | 9403.481424 |
| i-C4 | 0.0103 | 13884.4 | 0.013725598 | 10621.10874 |
| n-C4 | 0.0103 | 13884.4 | 0.012610919 | 9758.55014 |
| i-C5 | 0.0128 | 17254.4 | 0.010996009 | 8508.905119 |
| n-C5 | 0.0128 | 17254.4 | 0.009484392 | 7339.189322 |
| n-C6+ | 0.0153 | 20624.4 | 0.005153418 | 3987.805256 |
| H2O | 0.4067 | 548231.6 | 0.035461617 | 27440.82146 |
| CO | 0 | 0 | 0 | 0 |
| H2 | 0 | 0 | 0 | 0 |
| O2 | 0 | 0 | 5.68224E-05 | 43.97015335 |
| Ethylene | 0.3001 | 404534.8 | 0.51327629 | 397182.201 |
| 1,2-Butadiene | 0 | 0 | 0 | 0 |
| 1-Butene | 0 | 0 | 0 | 0 |
| MEA | 0 | 0 | 0 | 0 |
| | 1 | 1348000 | 1 | 773817.5492 |
| Keluar (74) | | | | |
| | Fraksi Massa | FlowRate (Kg/Hr) | | |
| | 6.62277E-05 | 38.0297 | | |
| | 0 | 0 | | |
| | 0.00125778 | 722.2503247 | | |
| | 0.000664386 | 381.5079574 | | |
| | 0.001992063 | 1143.895442 | | |
| | 0 | 0 | | |
| | 0.001934635 | 1110.918576 | | |
| | 0.005682935 | 3263.291262 | | |
| | 0.007185058 | 4125.84986 | | |
| | 0.015230046 | 8745.494881 | | |
| | 0.017267075 | 9915.210678 | | |
| | 0.028972186 | 16636.59474 | | |
| | 0.906943254 | 520790.7785 | | |
| | 0 | 0 | | |
| | 0 | 0 | | |
| | 0 | 0 | | |
| | 0.012804355 | 7352.599021 | | |
| | 0 | 0 | | |
| | 0 | 0 | | |
| | 1 | 574226.421 | | |
| Total | Masuk (Kg/Hr) | 1348000 | Keluar (kg/Hr) | 1348000 |

33. First Compressor

Fungsi : Menaikkan Tekanan Udara

$$P_{73} = 2 \text{ Bar} \quad T_{73} = 45$$

$$P_{75} = 4.5 \text{ Bar} \quad T_{75} = 110.2$$



Pada Main Air compressor tidak terjadi perubahan komposisi dan flowrate

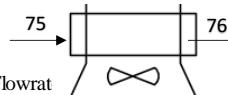
Sehingga Komposisi dan flowrate pada arus (73) = (75)

34. Air Cooler-2

Fungsi : Menurunkan Temperatur Output OCM hingga Mencapai
Suhu yang lebih dingin

$$T(71) = 110.2 \text{ Celcius} \quad P(71) = 4.5$$

$$T(72) = 45 \text{ Celcius} \quad P(72) = 4$$



Pada Air Cooler Tidak Terjadi perubahan komposisi sehingga Flowrat

pada arus (75) = (76)

35 Flash Separator 2

Fungsi : Memisahkan Komponen sales gas dari CO₂ dan H₂O

Arus 76 = Aliran dari Cooler (E-202)

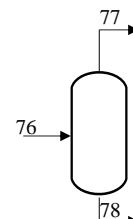
Arus 77 = Fase gas dari arus 72

Arus 78 = Fase gas dari arus 5

Kondisi Operasi

Suhu = 45 Celcius

Tekanan = 4.5 Bar 450 Kpa



Tabel IV-1.20 Neraca Massa Flash Separator F-202

| Komponen | Masuk (76) | | Keluar (77) | |
|---------------|---------------|------------------|----------------|------------------|
| | Fraksi Massa | FlowRate (Kg/Hr) | Fraksi Massa | FlowRate (Kg/Hr) |
| CO2 | 0.094478183 | 4.157040072 | 0.096091921 | 78143.5239 |
| N2 | 0 | 0 | 0 | 0 |
| CH4 | 0.211650398 | 3.386406367 | 0.215272237 | 175062.9095 |
| C2H2 | 0.015240174 | 0.396244521 | 0.015500969 | 12605.6422 |
| C2H6 | 0.043456954 | 1.303708611 | 0.044200605 | 35944.6561 |
| C3H6 | 0 | 0 | 0 | 0 |
| C3 | 0.012745777 | 0.560814209 | 0.012963888 | 10542.446 |
| i-C4 | 0.016800135 | 0.974407856 | 0.017087626 | 13895.937 |
| n-C4 | 0.016800135 | 0.974407856 | 0.017087626 | 13895.937 |
| i-C5 | 0.020854493 | 1.501523526 | 0.021211363 | 17249.428 |
| n-C5 | 0.020854493 | 1.501523526 | 0.021211363 | 17249.428 |
| n-C6+ | 0.024908823 | 2.142158756 | 0.025335072 | 20602.8953 |
| H2O | 0.033103809 | 0.596368432 | 0.016560935 | 13467.6239 |
| CO | 0 | 0 | 0 | 0 |
| H2 | 0 | 0 | 0 | 0 |
| O2 | 5.31828E-05 | 0.001701849 | 5.40929E-05 | 43.9892 |
| Ethylene | 0.489053441 | 13.69349635 | 0.497422303 | 404511.9654 |
| 1,2-Butadiene | 0 | 0 | 0 | 0 |
| 1-Butene | 0 | 0 | 0 | 0 |
| MEA | 0 | 0 | 0 | 0 |
| | 1 | 31.18980193 | 1 | 813216.3815 |
| Keluar (78) | | | | |
| | Fraksi Massa | FlowRate (Kg/Hr) | | |
| | 0.000175797 | 2.4464 | | |
| | 0 | 0 | | |
| | 2.15578E-08 | 0.0003 | | |
| | 0 | 0 | | |
| | 0 | 0 | | |
| | 0 | 0 | | |
| | 0 | 0 | | |
| | 0 | 0 | | |
| | 0 | 0 | | |
| | 0 | 0 | | |
| | 0.999824174 | 13913.6105 | | |
| | 0 | 0 | | |
| | 0 | 0 | | |
| | 0 | 0 | | |
| | 7.18594E-09 | 0.0001 | | |
| | 0 | 0 | | |
| | 0 | 0 | | |
| | 0 | 0 | | |
| Total | Masuk (Kg/Hr) | 31.18980193 | Keluar (kg/Hr) | 827132.4388 |

36. Second Compressor

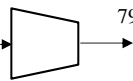
Fungsi : Menaikkan Tekanan Udara

$$P_{77} = 4.5 \text{ Bar} \quad T_{77} = 45$$

$$P_{79} = 12.4 \text{ Bar} \quad T_{79} = 136.7$$

77

Pada Main Air compressor tidak terjadi perubahan komposisi dan flowrate
Sehingga Komposisi dan flowrate pada arus (77) = (79)



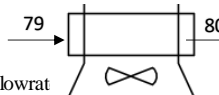
37. Air Cooler-3

Fungsi : Menurunkan Temperatur Output OCM hingga Mencapai
Suhu yang lebih dingin

$$T(79) = 136.7 \text{ Celcius} \quad P(79) = 12.4$$

$$T(80) = 32 \text{ Celcius} \quad P(80) = 12$$

Pada Air Cooler Tidak Terjadi perubahan komposisi sehingga Flowrate
pada arus (79) = (80)



38 Flash Separator 3

Fungsi : Memisahkan Komponen sales gas dari CO₂ dan H₂O

Arus 80 = Aliran dari Cooler (E-203)

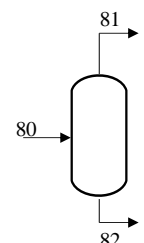
Arus 81 = Fase gas dari arus 72

Arus 82 = Fase gas dari arus 5

Kondisi Operasi

Suhu = 32 Celcius 305.15

Tekanan = 4.5 Bar 450 Kpa



Tabel IV-1.21 Neraca Massa Flash Separator F-203

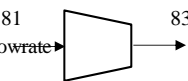
| Komponen | Masuk (80) | | Keluar (81) | |
|---------------|---------------|------------------|----------------|------------------|
| | Fraksi Massa | FlowRate (Kg/Hr) | Fraksi Massa | FlowRate (Kg/Hr) |
| CO2 | 0.096091921 | 78143.5239 | 0.097427017 | 78136.1116 |
| N2 | 0 | 0 | 0 | 0 |
| CH4 | 0.215272237 | 175062.9095 | 0.218283924 | 175062.9092 |
| C2H2 | 0.015500969 | 12605.6422 | 0.01571783 | 12605.6422 |
| C2H6 | 0.044200605 | 35944.6561 | 0.044818977 | 35944.6561 |
| C3H6 | 0 | 0 | 0 | 0 |
| C3 | 0.012963888 | 10542.446 | 0.013145254 | 10542.446 |
| i-C4 | 0.017087626 | 13895.937 | 0.017326684 | 13895.937 |
| n-C4 | 0.017087626 | 13895.937 | 0.017326684 | 13895.937 |
| i-C5 | 0.021211363 | 17249.428 | 0.021508113 | 17249.428 |
| n-C5 | 0.021211363 | 17249.428 | 0.021508113 | 17249.428 |
| n-C6+ | 0.025335072 | 20602.8953 | 0.025689513 | 20602.8953 |
| H2O | 0.016560935 | 13467.6239 | 0.002811734 | 2255 |
| CO | 0 | 0 | 0 | 0 |
| H2 | 0 | 0 | 0 | 0 |
| O2 | 5.40929E-05 | 43.9892 | 5.48495E-05 | 43.9891 |
| Ethylene | 0.497422303 | 404511.9654 | 0.504381308 | 404511.9654 |
| 1,2-Butadiene | 0 | 0 | 0 | 0 |
| 1-Butene | 0 | 0 | 0 | 0 |
| MEA | 0 | 0 | 0 | 0 |
| | 1 | 813216.3815 | 1 | 801996.3449 |
| | | | Keluar (82) | |
| | | | Fraksi Massa | FlowRate (Kg/Hr) |
| | | | 0.000660631 | 7.4123 |
| | | | 0 | 0 |
| | | | 2.67379E-08 | 0.0003 |
| | | | 0 | 0 |
| | | | 0 | 0 |
| | | | 0 | 0 |
| | | | 0 | 0 |
| | | | 0 | 0 |
| | | | 0 | 0 |
| | | | 0 | 0 |
| | | | 0.999339343 | 11212.6239 |
| | | | 0 | 0 |
| | | | 0 | 0 |
| | | | 0 | 0 |
| | | | 0 | 0 |
| | | | 0 | 0 |
| | | | 1 | 11220.0365 |
| Total | Masuk (Kg/Hr) | 813216.3815 | Keluar (kg/Hr) | 813216.3815 |

39. Third Compressor

Fungsi : Menaikkan Tekanan Udara

$$P_{81} = 12 \text{ Bar} \quad T_{81} = 32$$

$$P_{82} = 35 \text{ Bar} \quad T_{82} = 118.7$$



Pada Main Air compressor tidak terjadi perubahan komposisi dan flowrate

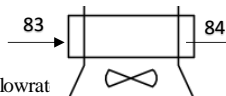
Sehingga Komposisi dan flowrate pada arus (81) = (82)

40. Air Cooler-4

Fungsi : Menurunkan Temperatur Output OCM hingga Mencapai Suhu yang lebih dingin

$$T(82) = 118.7 \text{ Celcius} \quad P(82) = 35$$

$$T(83) = 32 \text{ Celcius} \quad P(83) = 34$$



Pada Air Cooler Tidak Terjadi perubahan komposisi sehingga Flowrat

pada arus (82) = (83)

41 Flash Separator 4

Fungsi : Memisahkan Komponen sales gas dari CO₂ dan H₂O
= Aliran dari Cooler (E-203)

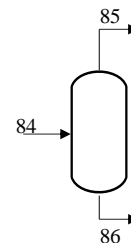
Arus 81 = Fase gas dari arus 72

Arus 82 = Fase gas dari arus 5

Kondisi Operasi

$$\text{Suhu} = 32 \text{ Celcius} \quad 305.15$$

$$\text{Tekanan} = 4.5 \text{ Bar} \quad 450 \text{ Kpa}$$



Tabel IV-1.22 Neraca Massa Flash Separator F-203

| Komponen | Masuk (84) | | Keluar (85) | |
|---------------|---------------|------------------|----------------|------------------|
| | Fraksi Massa | FlowRate (Kg/Hr) | Fraksi Massa | FlowRate (Kg/Hr) |
| CO2 | 0.097427017 | 78136.1116 | 0.097591645 | 78133.8229 |
| N2 | 0 | 0 | 0 | 0 |
| CH4 | 0.218283924 | 175062.9092 | 0.218659175 | 175062.9091 |
| C2H2 | 0.01571783 | 12605.6422 | 0.01574485 | 12605.6422 |
| C2H6 | 0.044818977 | 35944.6561 | 0.044896026 | 35944.6561 |
| C3H6 | 0 | 0 | 0 | 0 |
| C3 | 0.013145254 | 10542.446 | 0.013167852 | 10542.446 |
| i-C4 | 0.017326684 | 13895.937 | 0.01735647 | 13895.937 |
| n-C4 | 0.017326684 | 13895.937 | 0.01735647 | 13895.937 |
| i-C5 | 0.021508113 | 17249.428 | 0.021545088 | 17249.428 |
| n-C5 | 0.021508113 | 17249.428 | 0.021545088 | 17249.428 |
| n-C6+ | 0.025689513 | 20602.8953 | 0.025733675 | 20602.8953 |
| H2O | 0.002811734 | 2255 | 0.001100329 | 880.9451 |
| CO | 0 | 0 | 0 | 0 |
| H2 | 0 | 0 | 0 | 0 |
| O2 | 5.48495E-05 | 43.9891 | 5.49438E-05 | 43.9891 |
| Ethylene | 0.504381308 | 404511.9654 | 0.505248388 | 404511.9653 |
| 1,2-Butadiene | 0 | 0 | 0 | 0 |
| 1-Butene | 0 | 0 | 0 | 0 |
| MEA | 0 | 0 | 0 | 0 |
| | 1 | 801996.3449 | 1 | 800620.0011 |
| | | | Keluar (86) | |
| | | | Fraksi Massa | FlowRate (Kg/Hr) |
| | | | 0.001662884 | 2.2887 |
| | | | 0 | 0 |
| | | | 7.26563E-08 | 0.0001 |
| | | | 0 | 0 |
| | | | 0 | 0 |
| | | | 0 | 0 |
| | | | 0 | 0 |
| | | | 0 | 0 |
| | | | 0 | 0 |
| | | | 0.998336971 | 1374.0549 |
| | | | 0 | 0 |
| | | | 0 | 0 |
| | | | 0 | 0 |
| | | | 7.26563E-08 | 0.0001 |
| | | | 0 | 0 |
| | | | 0 | 0 |
| | | | 0 | 0 |
| | | | 1 | 1376.3438 |
| Total | Masuk (Kg/Hr) | 801996.3449 | Keluar (kg/Hr) | 801996.3449 |

42. Absorber (D-300)

Fungsi: Membersihkan gas dari CO₂ dengan MEA

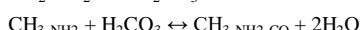
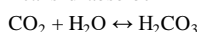
Arus 85: Arus gabungan dari Flash Separator

Arus 87: Lean MEA

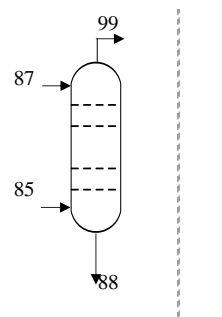
Arus 99: Gas dengan kadar CO₂ 1 ppm

Arus 88: Rich MDEA setelah mengabsorbsi CO₂

Reaksi di absorber



Asumsi recovery 99,9%



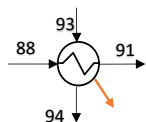
Tabel IV-1.23 Neraca Massa Absorber

| Komponen | Masuk (85) | | Keluar (99) | |
|---------------|---------------|------------------|----------------|------------------|
| | Fraksi Massa | FlowRate (Kg/Hr) | Fraksi Massa | FlowRate (Kg/Hr) |
| CO2 | 0.097591645 | 78133.8229 | 0.0979 | 70577.30072 |
| N2 | 0 | 0 | 0 | 0 |
| CH4 | 0.218659175 | 175062.9091 | 0.2385 | 171937.5508 |
| C2H2 | 0.01574485 | 12605.6422 | 0.0156 | 11246.22974 |
| C2H6 | 0.044896026 | 35944.6561 | 0.0453 | 32657.32097 |
| C3H6 | 0 | 0 | 0 | 0 |
| C3 | 0.013167852 | 10542.446 | 0.0112 | 8074.216222 |
| i-C4 | 0.01735647 | 13895.937 | 0.0126 | 9083.493249 |
| n-C4 | 0.01735647 | 13895.937 | 0.0103 | 7425.395275 |
| i-C5 | 0.021545088 | 17249.428 | 0.0124 | 8939.310817 |
| n-C5 | 0.021545088 | 17249.428 | 0.0121 | 8723.037168 |
| n-C6+ | 0.025733675 | 20602.8953 | 0.0193 | 13913.60474 |
| H2O | 0.001100329 | 880.9451 | 0.0002 | 144.1824325 |
| CO | 0 | 0 | 0 | 0 |
| H2 | 0 | 0 | 0 | 0 |
| O2 | 5.49438E-05 | 43.9891 | 0.0001 | 72.09121627 |
| Ethylene | 0.505248388 | 404511.9653 | 0.5243 | 377974.2469 |
| 1,2-Butadiene | 0 | 0 | 0 | 0 |
| 1-Butene | 0 | 0 | 0 | 0 |
| MEA | 0 | 0 | 0.0002 | 144.1824325 |
| Total | 1 | 800620.0011 | 1 | 720912.1627 |
| Komponen | Masuk (87) | | Keluar (88) | |
| | Fraksi Massa | FlowRate (Kg/Hr) | Fraksi Massa | FlowRate (Kg/Hr) |
| CO2 | 0.0003 | 99.3052 | 0.0165 | 7661.448702 |
| N2 | 0 | 0 | 0 | 0 |
| CH4 | 0 | 0 | 0.0068 | 3157.445526 |
| C2H2 | 0.0001 | 26.3452 | 0.003 | 1392.990673 |
| C2H6 | 0.0002 | 83.0161 | 0.0072 | 3343.177615 |
| C3H6 | 0 | 0 | 0 | 0 |
| C3 | 0.0006 | 232.1332 | 0.0058 | 2693.115301 |
| i-C4 | 0.0028 | 1094.7486 | 0.0128 | 5943.426872 |
| n-C4 | 0.0059 | 2268.4048 | 0.0189 | 8775.84124 |
| i-C5 | 0.0201 | 7729.388 | 0.0345 | 16019.39274 |
| n-C5 | 0.0279 | 10738.6361 | 0.0415 | 19269.70431 |
| n-C6+ | 0.0919 | 35341.4592 | 0.0906 | 42068.31833 |
| H2O | 0.0013 | 480.645 | 0.0027 | 1253.691606 |
| CO | 0 | 0 | 0 | 0 |
| H2 | 0 | 0 | 0 | 0 |
| O2 | 0 | 0 | 0 | 0 |
| Ethylene | 0.0011 | 422.6333 | 0.0581 | 26977.58603 |
| 1,2-Butadiene | 0 | 0 | 0 | 0 |
| 1-Butene | 0 | 0 | 0 | 0 |
| MEA | 0.8478 | 326094.8176 | 0.7016 | 325774.0854 |
| Total | 1 | 384622.3859 | 1 | 464330.2244 |
| Total | Masuk (Kg/Hr) | 1185242.387 | Keluar (kg/Hr) | 1185242.387 |

41. HE-300

Fungsi : Tempat Pertukaran panas antara Bottom produk kolom Absorbsi dan Produk atas D-301

| | | | | |
|-------|---|---------------|----------|--------|
| T(88) | = | 35.36 Celcius | P (88) = | 32 Bar |
| T(91) | = | 145 Celcius | P (91) = | 29 Bar |
| T(93) | = | 272.5 Celcius | P (93) = | 22 Bar |
| T(94) | = | 165.3 Celcius | P (94) = | 18 Bar |



Tabel IV-1.24 Neraca massa HE-300

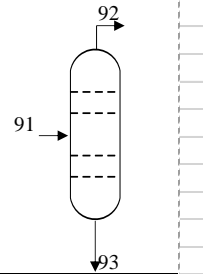
| Komponen | Masuk (88) | | Keluar (91) | |
|---------------|--------------|------------------|--------------|------------------|
| | Fraksi Massa | FlowRate (Kg/Hr) | Fraksi Massa | FlowRate (Kg/Hr) |
| CO2 | Fraksi Massa | FlowRate (Kg/Hr) | Fraksi Massa | FlowRate (Kg/Hr) |
| N2 | 0.0165 | 7661.448702 | 0.0165 | 7661.448702 |
| CH4 | 0 | 0 | 0 | 0 |
| C2H2 | 0.0068 | 3157.445526 | 0.0068 | 3157.445526 |
| C2H6 | 0.003 | 1392.990673 | 0.003 | 1392.990673 |
| C3H6 | 0.0072 | 3343.177615 | 0.0072 | 3343.177615 |
| C3 | 0 | 0 | 0 | 0 |
| i-C4 | 0.0058 | 2693.115301 | 0.0058 | 2693.115301 |
| n-C4 | 0.0128 | 5943.426872 | 0.0128 | 5943.426872 |
| i-C5 | 0.0189 | 8775.84124 | 0.0189 | 8775.84124 |
| n-C5 | 0.0345 | 16019.39274 | 0.0345 | 16019.39274 |
| n-C6+ | 0.0415 | 19269.70431 | 0.0415 | 19269.70431 |
| H2O | 0.0906 | 42068.31833 | 0.0906 | 42068.31833 |
| CO | 0.0027 | 1253.691606 | 0.0027 | 1253.691606 |
| H2 | 0 | 0 | 0 | 0 |
| O2 | 0 | 0 | 0 | 0 |
| Ethylene | 0 | 0 | 0 | 0 |
| 1,2-Butadiene | 0.0581 | 26977.58603 | 0.0581 | 26977.58603 |
| 1-Butene | 0 | 0 | 0 | 0 |
| MEA | 0 | 0 | 0 | 0 |
| Total | 0.2984 | 138556.1389 | 0.2984 | 138556.1389 |
| Komponen | Masuk (93) | | Keluar (94) | |
| | Fraksi Massa | FlowRate (Kg/Hr) | Fraksi Massa | FlowRate (Kg/Hr) |
| CO2 | 0.0003 | 0.0018 | 0.0003 | 0.0018 |
| N2 | 0 | 0 | 0 | 0 |
| CH4 | 0 | 0 | 0 | 0 |
| C2H2 | 0.0001 | 0.0006 | 0.0001 | 0.0006 |
| C2H6 | 0.0002 | 0.0012 | 0.0002 | 0.0012 |
| C3H6 | 0 | 0 | 0 | 0 |
| C3 | 0.0006 | 0.0036 | 0.0006 | 0.0036 |
| i-C4 | 0.0028 | 0.0168 | 0.0028 | 0.0168 |
| n-C4 | 0.0059 | 0.0354 | 0.0059 | 0.0354 |
| i-C5 | 0.0202 | 0.1212 | 0.0202 | 0.1212 |
| n-C5 | 0.0281 | 0.1686 | 0.0281 | 0.1686 |
| n-C6+ | 0.0928 | 0.5568 | 0.0928 | 0.5568 |
| H2O | 0.0013 | 0.0078 | 0.0013 | 0.0078 |
| CO | 0 | 0 | 0 | 0 |

| | | | | |
|---------------|---------------|-------------|----------------|-------------|
| H2 | 0 | 0 | 0 | 0 |
| O2 | 0 | 0 | 0 | 0 |
| Ethylene | 0.0011 | 0.0066 | 0.0011 | 0.0066 |
| 1,2-Butadiene | 0 | 0 | 0 | 0 |
| 1-Butene | 0 | 0 | 0 | 0 |
| MEA | 0.8466 | 5.0796 | 0.8466 | 5.0796 |
| Total | 1 | 384718.3859 | 1 | 384718.3859 |
| Total | Masuk (Kg/Hr) | 523274.5248 | Keluar (kg/Hr) | 523274.5248 |

42. Distilasi D-301

Fungsi : Memisahkan CO2 yang akan di Recycle dan MEA
sehingga menjadi rich MEA yang akan di Backup

| | |
|----------------------|---------------|
| T 91 = 145 Celcius | P 91 = 29 Bar |
| T 92 = 81.43 Celcius | P 92 = 20 Bar |
| T 93 = 272.5 Celcius | P 93 = 22 Bar |



Tabel IV-1.25 Neraca massa D-301

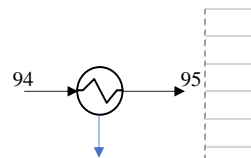
| Komponen | Masuk (91) | | Keluar (92) | |
|---------------|---------------|------------------|------------------|------------------|
| | Fraksi Massa | FlowRate (Kg/Hr) | Fraksi Massa | FlowRate (Kg/Hr) |
| CO2 | 0.0165 | 7661.448702 | 0.0948 | 7547.202285 |
| N2 | 0 | 0 | 0 | 0 |
| CH4 | 0.0068 | 3157.445526 | 0.0394 | 3136.706435 |
| C2H2 | 0.003 | 1392.990673 | 0.0172 | 1369.323621 |
| C2H6 | 0.0072 | 3343.177615 | 0.0417 | 3319.813663 |
| C3H6 | 0 | 0 | 0 | 0 |
| C3 | 0.0058 | 2693.115301 | 0.031 | 2467.966992 |
| i-C4 | 0.0128 | 5943.426872 | 0.0606 | 4824.47741 |
| n-C4 | 0.0189 | 8775.84124 | 0.0814 | 6480.40365 |
| i-C5 | 0.0345 | 16019.39274 | 0.1035 | 8239.82528 |
| n-C5 | 0.0415 | 19269.70431 | 0.1064 | 8470.699611 |
| n-C6+ | 0.0906 | 42068.31833 | 0.08 | 6368.947076 |
| H2O | 0.0027 | 1253.691606 | 0.0096 | 764.2736491 |
| CO | 0 | 0 | 0 | 0 |
| H2 | 0 | 0 | 0 | 0 |
| O2 | 0 | 0 | 0 | 0 |
| Ethylene | 0.0581 | 26977.58603 | 0.3337 | 26566.47049 |
| 1,2-Butadiene | 0 | 0 | 0 | 0 |
| 1-Butene | 0 | 0 | 0 | 0 |
| MEA | 0.7016 | 325774.0854 | 0.0007 | 55.72828691 |
| Total | 1 | 464330.2244 | 1 | 79611.83845 |
| | | Keluar (94) | | |
| | | Fraksi Massa | FlowRate (Kg/Hr) | |
| | | 0.0003 | 115.4155158 | |
| | | 0 | 0 | |
| | | 0 | 0 | |
| | | 0.0001 | 38.47183859 | |
| | | 0.0002 | 76.94367718 | |
| | | 0 | 0 | |
| | | 0.0006 | 230.8310315 | |
| | | 0.0028 | 1077.211481 | |
| | | 0.0059 | 2269.838477 | |
| | | 0.0202 | 7771.311395 | |
| | | 0.0281 | 10810.58664 | |
| | | 0.0928 | 35701.86621 | |
| | | 0.0013 | 500.1339017 | |
| | | 0 | 0 | |
| | | 0 | 0 | |
| | | 0 | 0 | |
| | | 0.0011 | 423.1902245 | |
| | | 0 | 0 | |
| | | 0 | 0 | |
| | | 0.8466 | 325702.5855 | |
| | | 1 | 384718.3859 | |
| Total | Masuk (Kg/Hr) | 464330.2244 | Keluar (kg/Hr) | 464330.2244 |

43. Cooler E-301

Fungsi : Menurunkan temperature arus (94)

$$P(94) = 18 \text{ Bar} \quad T(94) = 165.3$$

$$P(95) = 25 \text{ Bar} \quad T(95) = 38$$

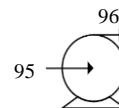


44. Pompa P-300

Fungsi : Menaikkan Tekanan pada arus 95

$$P(96) = 33 \text{ Bar} \quad T(96) = 38.05$$

$$P(95) = 25 \text{ Bar} \quad T(95) = 38$$



45. Molecular Sieve Separator (D-310 a/b)

Fungsi: Memisahkan CO₂ & H₂O dari gas dengan Molecular Sieve 4A

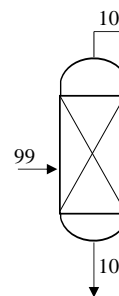
Arus 99: Fase gas dari keluar Kolom absorpsi D-300

Arus 104: Sweet gas dengan kadar CO₂ & H₂O < 1 Ppm

Arus 100: Gas dengan kadar N₂ dan H₂

Metode pemisahan nitrogen ini disebut dual-reflux pressure swing adsorption (DR PSA) menggunakan molecular sieve MSC-3K 172

Asumsi CO₂ dan H₂O terpisah 100% dari gas



Data Ukuran partikel yang disaring

| Komponen | Diameter (A) |
|----------|--------------|
| H2 | 1.2 |
| CO2 | 2.8 |
| N2 | 3 |
| CH4 | 4 |
| C2H6 | 4.4 |
| H2O | 4.9 |
| C3 | 4.9 |

Sumber: PT Badak NGL

Tabel IV-1.26 Neraca massa molecular sieve D-310 (A/B)

| Komponen | Masuk (99) | | Keluar (104) | |
|---------------|--------------|------------------|--------------|------------------|
| | Fraksi Massa | FlowRate (Kg/Hr) | Fraksi Massa | FlowRate (Kg/Hr) |
| CO2 | 0.0979 | 70577.30072 | 0 | 0 |
| N2 | 0 | 0 | 0 | 0 |
| CH4 | 0.2385 | 171937.5508 | 0.2644 | 171946.7612 |
| C2H2 | 0.0156 | 11246.22974 | 0.0173 | 11250.67689 |
| C2H6 | 0.0453 | 32657.32097 | 0.0502 | 32646.47282 |
| C3H6 | 0 | 0 | 0 | 0 |
| C3 | 0.0112 | 8074.216222 | 0.0124 | 8064.068984 |
| i-C4 | 0.0126 | 9083.493249 | 0.0139 | 9039.5612 |
| n-C4 | 0.0103 | 7425.395275 | 0.0114 | 7413.74084 |
| i-C5 | 0.0124 | 8939.310817 | 0.0138 | 8974.528386 |
| n-C5 | 0.0121 | 8723.037168 | 0.0134 | 8714.397128 |
| n-C6+ | 0.0193 | 13913.60474 | 0.0214 | 13917.02228 |
| H2O | 0.0002 | 144.1824325 | 0.0002 | 130.0656288 |
| CO | 0 | 0 | 0 | 0 |
| H2 | 0 | 0 | 0 | 0 |
| O2 | 0.0001 | 72.09121627 | 0.0001 | 65.03281439 |
| Ethylene | 0.5243 | 377974.2469 | 0.5812 | 377970.7172 |
| 1,2-Butadiene | 0 | 0 | 0 | 0 |
| 1-Butene | 0 | 0 | 0 | 0 |
| MEA | 0.0002 | 144.1824325 | 0.0005 | 325.164072 |
| Total | 1 | 720912.1627 | 1 | 650328.1439 |

| | | Keluar (100) | |
|-------|---------------|------------------|----------------|
| | Fraksi Massa | FlowRate (Kg/Hr) | |
| | 0.998444885 | 70577.30072 | |
| | 0 | 0 | |
| | 0 | 0 | |
| | 0 | 0 | |
| | 0.000153467 | 10.84814427 | |
| | 0 | 0 | |
| | 0.000143551 | 10.14723732 | |
| | 0.000621499 | 43.93204918 | |
| | 0.000164873 | 11.65443483 | |
| | 0 | 0 | |
| | 0.000122229 | 8.640039805 | |
| | 0 | 0 | |
| | 0.000199708 | 14.11680375 | |
| | 0 | 0 | |
| | 0 | 0 | |
| | 9.9854E-05 | 7.058401875 | |
| | 4.99332E-05 | 3.529642715 | |
| | 0 | 0 | |
| | 0 | 0 | |
| | 0 | 0 | |
| | 1 | 70687.22748 | |
| Total | Masuk (Kg/Hr) | 720912.1627 | Keluar (kg/Hr) |
| | | | 720912.1627 |

47. Deethanizer

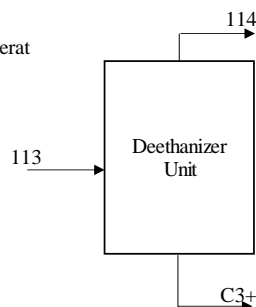
Fungsi : Memisahkan Ethane dengan produk yang lebih berat

Kondisi feed masuk :

$$T = -14.61 \text{ Celcius} \quad 258.54 \text{ K}$$

$$P = 26 \text{ Bar} \quad 2600 \text{ Kpa}$$

Komposisi Feed Masuk Kolom Deethanizer D-401



Tabel IV-1.28 Neraca massa Deethanizer D-401

| Komponen | Masuk (113) | | Keluar (114) | |
|---------------|--------------|------------------|--------------|------------------|
| | Fraksi Massa | FlowRate (Kg/Hr) | Fraksi Massa | FlowRate (Kg/Hr) |
| CO2 | 0 | 0 | 0 | 0 |
| N2 | 0 | 0 | 0 | 0 |
| CH4 | 0.000359252 | 171.7987991 | 0.000407467 | 171.7987991 |
| C2H2 | 0.023526483 | 11250.66466 | 0.026668394 | 11244.10265 |
| C2H6 | 0.06826606 | 32645.70225 | 0.077350568 | 32613.05217 |
| C3H6 | 0 | 0 | 0 | 0 |
| C3 | 0.016862931 | 8064.068984 | 1.91246E-05 | 8.063428829 |
| i-C4 | 0.018902801 | 9039.5612 | 1.43455E-09 | 0.000604842 |
| n-C4 | 0.015503017 | 7413.74084 | 3.35157E-11 | 1.41311E-05 |
| i-C5 | 0.01876681 | 8974.528386 | 3.31208E-15 | 1.39646E-09 |
| n-C5 | 0.018222844 | 8714.397128 | 1.39005E-16 | 5.86082E-11 |
| n-C6+ | 0.029102155 | 13917.02228 | 6.7608E-22 | 2.85053E-16 |
| H2O | 0.000271983 | 130.0656288 | 9.63381E-33 | 4.06187E-27 |
| CO | 0 | 0 | 0 | 0 |
| H2 | 0 | 0 | 0 | 0 |
| O2 | 1.21821E-09 | 0.000582566 | 1.38171E-09 | 0.000582566 |
| Ethylene | 0.789592289 | 377593.1241 | 0.895554444 | 377589.5221 |
| 1,2-Butadiene | 0 | 0 | 0 | 0 |
| 1-Butene | 0 | 0 | 0 | 0 |
| MEA | 0.000623375 | 298.10566 | 7.5372E-77 | 3.17788E-71 |
| Total | 1 | 478212.7805 | 1 | 421626.5404 |

| | | Keluar (C3 +) | |
|--------------|---------------|------------------|----------------|
| Fraksi Massa | | FlowRate (Kg/Hr) | |
| 0 | | 0 | |
| 0 | | 0 | |
| 9.05369E-16 | | 5.12314E-11 | |
| 0.000115965 | | 6.562012075 | |
| 0.000576997 | | 32.65007635 | |
| 0 | | 0 | |
| 0.142366864 | | 8056.005555 | |
| 0.159748387 | | 9039.560595 | |
| 0.131016671 | | 7413.740826 | |
| 0.158599129 | | 8974.528386 | |
| 0.154002053 | | 8714.397128 | |
| 0.245943576 | | 13917.02228 | |
| 0.002298538 | | 130.0656288 | |
| 0 | | 0 | |
| 0 | | 0 | |
| 0 | | 0 | |
| 6.36552E-05 | | 3.602010659 | |
| 0 | | 0 | |
| 0 | | 0 | |
| 0.005268165 | | 298.10566 | |
| 1 | | 56586.24016 | |
| Total | Masuk (Kg/Hr) | 478212.7805 | Keluar (kg/Hr) |
| | | | 478212.7805 |

48. C2 Splitter

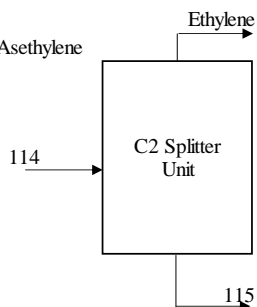
Fungsi : Memisahkan Ethane dengan produk Ethane dan Asethylene

Kondisi feed masuk :

T = -27.85 Celcius 245.3 K

P = 20 Bar 2000 Kpa

Komposisi Feed Masuk Kolom Deethanizer D-401



Tabel IV-1.29 Neraca massa C2 Splitter D-401

| Komponen | Masuk (114) | | Keluar (Ethylene) | |
|---------------|--------------|------------------|-------------------|------------------|
| | Fraksi Massa | FlowRate (Kg/Hr) | Fraksi Massa | FlowRate (Kg/Hr) |
| CO2 | 0 | 0 | 0 | 0 |
| N2 | 0 | 0 | 0 | 0 |
| CH4 | 0.000407467 | 171.7987991 | 0.000455205 | 171.7987991 |
| C2H2 | 0.026668394 | 11244.10265 | 2.97905E-05 | 11.24321005 |
| C2H6 | 0.077350568 | 32613.05217 | 3.96024E-05 | 14.94633405 |
| C3H6 | 0 | 0 | 0 | 0 |
| C3 | 1.91246E-05 | 8.063428829 | 7.99758E-28 | 3.01836E-22 |
| i-C4 | 1.43455E-09 | 0.000604842 | 2.75633E-45 | 1.04027E-39 |
| n-C4 | 3.35157E-11 | 1.41311E-05 | 5.82869E-52 | 2.1998E-46 |
| i-C5 | 3.31208E-15 | 1.39646E-09 | 4.10539E-69 | 1.54941E-63 |
| n-C5 | 1.39005E-16 | 5.86082E-11 | 6.29303E-75 | 2.37505E-69 |
| n-C6+ | 6.7608E-22 | 2.85053E-16 | 3.28689E-98 | 1.24051E-92 |
| H2O | 9.63381E-33 | 4.06187E-27 | 1.8667E-138 | 7.0451E-133 |
| CO | 0 | 0 | 0 | 0 |
| H2 | 0 | 0 | 0 | 0 |
| O2 | 1.38171E-09 | 0.000582566 | 1.54359E-09 | 0.000582566 |
| Ethylene | 0.895554444 | 377589.5221 | 0.999475401 | 377211.8538 |
| 1,2-Butadiene | 0 | 0 | 0 | 0 |
| 1-Butene | 0 | 0 | 0 | 0 |
| MEA | 7.5372E-77 | 3.17788E-71 | 0 | 0 |
| Total | 1 | 421626.5404 | 1 | 377409.8427 |

| Komponen | Keluar (115) | |
|---------------|----------------|------------------|
| | Fraksi Massa | FlowRate (Kg/Hr) |
| CO2 | 0 | 0 |
| N2 | 0 | 0 |
| CH4 | 0 | 0 |
| C2H2 | 0.254041121 | 11232.85944 |
| C2H6 | 0.737235198 | 32598.10584 |
| C3H6 | 0 | 0 |
| C3 | 0.000182362 | 8.063428829 |
| i-C4 | 1.3679E-08 | 0.000604842 |
| n-C4 | 3.19588E-10 | 1.41311E-05 |
| i-C5 | 3.15822E-14 | 1.39646E-09 |
| n-C5 | 1.32548E-15 | 5.86082E-11 |
| n-C6+ | 6.44674E-21 | 2.85053E-16 |
| H2O | 9.18628E-32 | 4.06187E-27 |
| CO | 0 | 0 |
| H2 | 0 | 0 |
| O2 | 0 | 0 |
| Ethylene | 0.008541305 | 377.6682839 |
| 1,2-Butadiene | 0 | 0 |
| 1-Butene | 0 | 0 |
| MEA | 7.18707E-76 | 3.17788E-71 |
| Total | 1 | 44216.69761 |
| Total | Masuk (Kg/Hr) | 421626.5404 |
| | Keluar (kg/Hr) | 421626.5404 |

49. Dehidrogenation Reactor

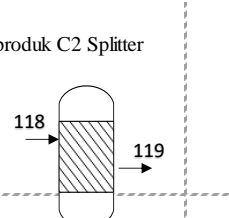
Fungsi : Mereaksikan Mendehidrogenasikan Ethane pada bottom produk C2 Splitter

Arus 118 = Methane Recycle dari C2 Splitter

Arus 119 = campuran Ethylene, hidrogen, dan asethylene dari
Dehidrogenation reactor (R-101)

Reaksi utama:

| | | | |
|---------------------------------------|-------------|--------|--|
| $C_2H_6 \leftrightarrow C_2H_4 + H_2$ | 1 | = 100% | |
| T (118) = 479.6 | P (118) = 7 | Bar | |
| T (119) = 352.4 | P (119) = 7 | Bar | |



Tabel IV-1.30 Neraca massa Dehidrogenation Reactor (R-101)

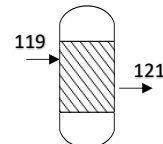
| Komponen | Masuk (118) | | Keluar (119) | |
|---------------|--------------|------------------|--------------|------------------|
| | Fraksi Massa | FlowRate (Kg/Hr) | Fraksi Massa | FlowRate (Kg/Hr) |
| CO2 | 0 | 0 | 0 | 0 |
| N2 | 0 | 0 | 0 | 0 |
| CH4 | 0 | 0 | 0 | 0 |
| C2H2 | 0.254041121 | 11232.85944 | 0.256229657 | 11232.85944 |
| C2H6 | 0.737235198 | 32598.10584 | 0 | 0 |
| C3H6 | 0 | 0 | 0 | 0 |
| C3 | 0.000182362 | 8.063428829 | 0.000183933 | 8.063428829 |
| i-C4 | 1.3679E-08 | 0.000604842 | 1.37969E-08 | 0.000604842 |
| n-C4 | 3.19588E-10 | 1.41311E-05 | 3.22341E-10 | 1.41311E-05 |
| i-C5 | 3.15822E-14 | 1.39646E-09 | 3.18543E-14 | 1.39646E-09 |
| n-C5 | 1.32548E-15 | 5.86082E-11 | 1.3369E-15 | 5.86082E-11 |
| n-C6+ | 6.44674E-21 | 2.85053E-16 | 6.50227E-21 | 2.85053E-16 |
| H2O | 9.18628E-32 | 4.06187E-27 | 9.26541E-32 | 4.06187E-27 |
| CO | 0 | 0 | 0 | 0 |
| H2 | 0 | 0 | 0.049572426 | 2173.207056 |
| O2 | 0 | 0 | 0 | 0 |
| Ethylene | 0.008541305 | 377.6682839 | 0.69401397 | 30424.89878 |
| 1,2-Butadiene | 0 | 0 | 0 | 0 |
| 1-Butene | 0 | 0 | 0 | 0 |
| MEA | 7.18707E-76 | 3.17788E-71 | 7.24898E-76 | 3.17788E-71 |
| Total | 1 | 44216.69761 | 1 | 43839.02933 |

50. Dehydrogenation Reactor

Fungsi : Mereaksikan Mendehidrogenasikan Ethane pada bottom produk C2 Splitter

Arus 119 = campuran Ethylene,Asetylen,& H2 dari dehidrogenator

Arus 121 = Ethylene dari Hidrogenator



Reaksi utama:

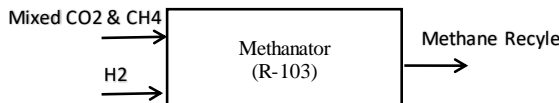


Tabel IV-1.31 Neraca massa Hidrogenation Reactor (R-102)

| Komponen | Masuk (119) | | Keluar (121) | |
|---------------|--------------|------------------|--------------|------------------|
| | Fraksi Massa | FlowRate (Kg/Hr) | Fraksi Massa | FlowRate (Kg/Hr) |
| CO2 | 0 | 0 | 0 | 0 |
| N2 | 0 | 0 | 0 | 0 |
| CH4 | 0 | 0 | 0 | 0 |
| C2H2 | 0.256229657 | 11232.85944 | 0 | 0 |
| C2H6 | 0 | 0 | 0 | 0 |
| C3H6 | 0 | 0 | 0 | 0 |
| C3 | 0.000183933 | 8.063428829 | 0.000183933 | 8.063428829 |
| i-C4 | 1.37969E-08 | 0.000604842 | 1.37969E-08 | 0.000604842 |
| n-C4 | 3.22341E-10 | 1.41311E-05 | 3.22341E-10 | 1.41311E-05 |
| i-C5 | 3.18543E-14 | 1.39646E-09 | 3.18543E-14 | 1.39646E-09 |
| n-C5 | 1.3369E-15 | 5.86082E-11 | 1.3369E-15 | 5.86082E-11 |
| n-C6+ | 6.50227E-21 | 2.85053E-16 | 6.50227E-21 | 2.85053E-16 |
| H2O | 9.26541E-32 | 4.06187E-27 | 9.26541E-32 | 4.06187E-27 |
| CO | 0 | 0 | 0 | 0 |
| H2 | 0.049572426 | 2173.207056 | 0.029862453 | 1309.140945 |
| O2 | 0 | 0 | 0 | 0 |
| Ethylene | 0.69401397 | 30424.89878 | 0.9699536 | 42521.82433 |
| 1,2-Butadiene | 0 | 0 | 0 | 0 |
| 1-Butene | 0 | 0 | 0 | 0 |
| MEA | 7.24898E-76 | 3.17788E-71 | 7.24898E-76 | 3.17788E-71 |
| Total | 1 | 43839.02933 | 1 | 43839.02933 |

51. REAKTOR METHANATOR (R-103)

Fungsi : Mengkonversikan karbon (karbon dioksida dan karbon monoksida) dan hidrogen menjadi metana dan air



Ketentuan dan kondisi operasi:

1. Tekanan = 7 Bar
2. Suhu operasi = 400 Celcius
3. pH operasi = 6
4. Waktu tinggal = 0.33333 Jam

Tabel IV-1.32 Neraca massa Methanation Reactor (R-103)

| Komponen | Masuk (In) | | Keluar (Methane) | |
|---------------|--------------|------------------|------------------|------------------|
| | Fraksi Massa | FlowRate (Kg/Hr) | Fraksi Massa | FlowRate (Kg/Hr) |
| CO2 | 0.3078 | 78119.64 | 0 | 0 |
| N2 | 0 | 0 | 0 | 0 |
| CH4 | 0.6912 | 175426.56 | 0.7813 | 209466.53 |
| C2H2 | 0 | 0 | 0 | 0 |
| C2H6 | 0 | 0 | 0 | 0 |
| C3H6 | 0 | 0 | 0 | 0 |
| C3 | 0 | 0 | 0 | 0 |
| i-C4 | 0 | 0 | 0 | 0 |
| n-C4 | 0 | 0 | 0 | 0 |
| i-C5 | 0 | 0 | 0 | 0 |
| n-C5 | 0 | 0 | 0 | 0 |
| n-C6+ | 0 | 0 | 0 | 0 |
| H2O | 0 | 0 | 0.218 | 58445.8 |
| CO | 0 | 0 | 0 | 0 |
| H2 | 0 | 0 | 0 | 0 |
| O2 | 0.0002 | 50.76 | 0.0001 | 26.81 |
| Ethylene | 0.0008 | 203.04 | 0.0004 | 107.24 |
| 1,2-Butadiene | 0 | 0 | 0 | 0 |
| 1-Butene | 0 | 0 | 0 | 0 |
| MEA | 0 | 0 | 0 | 0 |
| Total | 1 | 253800 | 1 | 268100 |

| Komponen | Masuk (Hidrogen) | | Keluar (kg/Hr) | 268100 |
|---------------|------------------|------------------|----------------|--------|
| | Fraksi Massa | FlowRate (Kg/Hr) | | |
| CO2 | 0 | | | |
| N2 | 0 | | | |
| CH4 | 0 | | | |
| C2H2 | 0 | | | |
| C2H6 | 0 | | | |
| C3H6 | 0 | | | |
| C3 | 0 | | | |
| i-C4 | 0 | | | |
| n-C4 | 0 | | | |
| i-C5 | 0 | | | |
| n-C5 | 0 | | | |
| n-C6+ | 0 | | | |
| H2O | 0 | | | |
| CO | 0 | | | |
| H2 | 1 | 14300 | | |
| O2 | 0 | | | |
| Ethylene | 0 | | | |
| 1,2-Butadiene | 0 | | | |
| 1-Butene | 0 | | | |
| MEA | 0 | | | |
| Total | 1 | | | |
| Total | Masuk (Kg/Hr) | 268100 | Keluar (kg/Hr) | 268100 |

52. C3 & C4 Splitter

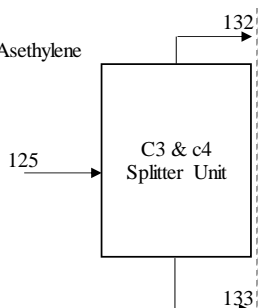
Fungsi : Memisahkan Ethane dengan produk Ethane dan Asethylene

Kondisi feed masuk :

T = 125.2 Celcius 398.35 K

P = 21 Bar 2100 Kpa

Komposisi Feed Masuk Kolom Deethanizer D-401



Tabel A.49 Neraca massa C3 & C4 Splitter D-403

| Komponen | Masuk (125) | | Keluar (132) | |
|---------------|--------------|------------------|--------------|------------------|
| | Fraksi Massa | FlowRate (Kg/Hr) | Fraksi Massa | FlowRate (Kg/Hr) |
| CO2 | 0 | 0 | 0 | 0 |
| N2 | 0 | 0 | 0 | 0 |
| CH4 | 0 | 0 | 0 | 0 |
| C2H2 | 0 | 0 | 0 | 0 |
| C2H6 | 0 | 0 | 0 | 0 |
| C3H6 | 0.029087092 | 10526.0008 | 0.032501303 | 10526.0008 |
| C3 | 0.038398742 | 13895.6891 | 0.042905944 | 13895.6891 |
| i-C4 | 0.038398154 | 13895.4761 | 0.042905287 | 13895.4761 |
| n-C4 | 0.048163553 | 17429.3666 | 0.053816938 | 17429.3666 |
| i-C5 | 0.048163487 | 17429.343 | 5.38126E-05 | 17.42795939 |
| n-C5 | 0.056933107 | 20602.8822 | 2.32563E-09 | 0.000753188 |
| n-C6+ | 0 | 0 | 0 | 0 |
| H2O | 0 | 0 | 0 | 0 |
| CO | 0 | 0 | 0 | 0 |
| H2 | 0 | 0 | 0 | 0 |
| O2 | 0 | 0 | 0 | 0 |
| Ethylene | 0.740855865 | 268100 | 0.827816713 | 268100 |
| 1,2-Butadiene | 0 | 0 | 0 | 0 |
| 1-Butene | 0 | 0 | 0 | 0 |
| MEA | 0 | 0 | 0 | 0 |
| Total | 1 | 361878.7578 | 1 | 323863.9613 |

| Komponen | Keluar (133) | |
|---------------|----------------|------------------|
| | Fraksi Massa | FlowRate (Kg/Hr) |
| CO2 | 0 | 0 |
| N2 | 0 | 0 |
| CH4 | 0 | 0 |
| C2H2 | 0 | 0 |
| C2H6 | 0 | 0 |
| C3H6 | 0 | 0 |
| C3 | 0 | 0 |
| i-C4 | 2.43491E-16 | 9.25625E-12 |
| n-C4 | 3.26483E-11 | 1.24112E-06 |
| i-C5 | 0.458029942 | 17411.91504 |
| n-C5 | 0.541970058 | 20602.88145 |
| n-C6+ | 0 | 0 |
| H2O | 0 | 0 |
| CO | 0 | 0 |
| H2 | 0 | 0 |
| O2 | 0 | 0 |
| Ethylene | 0 | 0 |
| 1,2-Butadiene | 0 | 0 |
| 1-Butene | 0 | 0 |
| MEA | 0 | 0 |
| Total | 1 | 38014.79649 |
| Total | Masuk (Kg/Hr) | 361878.7578 |
| | Keluar (kg/Hr) | 361878.7578 |

BAB IV

NERACA ENERGI

Data Data Operasi

| | | | | | | |
|----------|---|--------|---------|------------------|---|--------------|
| 1 Tahun | = | 330 | Hari | Konversi | = | 70% |
| 1 Hari | = | 24 | Jam | Selectivity C2 | = | 42% |
| Basis | | | | Ethylene/ Ethane | = | 6 : 1 |
| Ethylene | = | 650 | KTA | Feed Sales Gas | = | 600 MMSCFD |
| | = | 82.071 | Ton/Hr | | = | 614300 Kg/hr |
| | = | 82071 | Kg/Hr | | | |
| | = | 2931.1 | Kmol/Hr | | | |

Yield Ethylene 25%

Tabel IV-2.1

| Komposisi dan Properti dari Feed Sales Gas | | | | |
|--|---------------|--------------|-----------|------------|
| Komponen | BM Kg/ Kmo | Fraksi Massa | Flow Rate | Flow Rate |
| | | | Kg/Hr | Kmol/ Hr |
| CO2 | 44 | 0.1113 | 68371.59 | 3008349.96 |
| N2 | 28 | 0 | 0 | 0 |
| CH4 | 16 | 0.6635 | 407588.05 | 6521408.8 |
| C2H2 | 26 | 0 | 0 | 0 |
| C2H6 | 30 | 0.0731 | 44905.33 | 1347159.9 |
| C3H6 | 42 | 0 | 0 | 0 |
| C3 | 44 | 0.0172 | 10565.96 | 464902.24 |
| i-C4 | 58 | 0.0226 | 13883.18 | 805224.44 |
| n-C4 | 58 | 0.0226 | 13883.18 | 805224.44 |
| i-C5 | 72 | 0.0281 | 17261.83 | 1242851.76 |
| n-C5 | 72 | 0.0281 | 17261.83 | 1242851.76 |
| n-C6+ | 86 | 0.0335 | 20579.05 | 1769798.3 |
| H2O | 18.015 | 0 | 0 | 0 |
| CO | 28 | 0 | 0 | 0 |
| H2 | 2 | 0 | 0 | 0 |
| O2 | 32 | 0 | 0 | 0 |
| Ethylene | 28 | 0 | 0 | 0 |
| 1,2-Butadiene | 54 | 0 | 0 | 0 |
| 1-Butene | 56 | 0 | 0 | 0 |
| MEA | 61.083 | 0 | 0 | 0 |
| Total | | 1 | 614300 | 17207771.6 |

| Properties | | |
|----------------------------|----------|---------|
| Tekanan | 20 | Bar |
| Suhu | 30 | Celcius |
| HHV (Higher Heating Value) | 4.78E+04 | Kj/Kg |
| Z (Compressibility) | 0.9401 | |

1. Main Air Compressor

Fungsi : Menaikkan Tekanan Udara

$$P_1 = 1.013 \text{ Bar} \quad T_1 = 29$$

$$P_2 = 5.55 \text{ Bar} \quad T_2 = 273.7$$

Pada Main Air compressor tidak terjadi perubahan komposisi dan flowrate → AIR → 1
Sehingga Komposisi dan flowrate pada arus (1) = (2)

| Inlet | Air | Outlet | 1 |
|-----------|-------------|-----------|-------------|
| Arus | Air | Arus | 1 |
| m (Kg) | 13092487.05 | m (Kg) | 13092487.05 |
| Hm (Kj/h) | 3.529739831 | Hm (Kj/h) | 256.0166241 |
| H (Kj/h) | 46213073.04 | H (Kj/h) | 3351894335 |
| Arus | Q-11 | | |
| Q (Kj/h) | 3305681262 | | |
| Total | 3351894335 | Total | 3351894335 |

2. PreCooler

Fungsi : Mendinginkan temperatur udara

T Arus (2) = 273.7 Celcius

T Arus (3) = 17.09 Celcius

Pada precooler tidak terjadi [erubahan komposisi dan flowrate sehingga komposisi dan flowrate pada arus (2) = (3)]

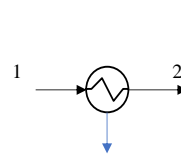


Table IV-2.3

| Inlet | | Outlet | |
|-----------|--------------|-----------|--------------|
| Arus | 1 | Arus | 2 |
| m (Kg) | 13092487.05 | m (Kg) | 13092487.05 |
| Hm (Kj/h) | 256.0166241 | Hm (Kj/h) | -9.543554408 |
| H (Kj/h) | 3351894335 | H (Kj/h) | -124948862.5 |
| Arus | Q-11 | | |
| Q (Kj/h) | -3476843198 | | |
| Total | -124948862.5 | Total | -124948862.5 |

3. Komponen TEE (1)

Fungsi : Membagi komponen untuk penukaran panas pada

LNG Exchanger

Pada Komponen TEE dengan kondisi operasi yang sama, terjadi pembagian arus dari arus (3) menjadi arus (4) & (5)

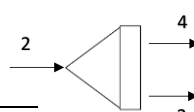


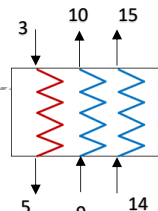
Table IV-2.4

| Inlet | | Outlet | |
|-----------|--------------|-----------|--------------|
| Arus | 2 | Arus | 3 |
| m (Kg) | 13092487.05 | m (Kg) | 5922171.206 |
| Hm (Kj/h) | -9.543554408 | Hm (Kj/h) | -9.543554408 |
| H (Kj/h) | -124948862.5 | H (Kj/h) | -56518563.11 |
| Arus | | Arus | 4 |
| m (Kg) | | m (Kg) | 7170315.846 |
| Hm (Kj/h) | | Hm (Kj/h) | -9.543554408 |
| H (Kj/h) | | H (Kj/h) | -68430299.4 |
| Total | -124948862.5 | Total | -124948862.5 |

4. LNG Exchanger-1 (Booster-HE)

Fungsi : Tempat Terjadinya perpindahan panas saat komponen udara Dipisahkan

| | |
|-----------------------|-------------------|
| T(3) = 17.09 Celcius | P(3) = 5.5 Bar |
| T(9) = 30.57 Celcius | P(9) = 63.95 Bar |
| T(14) = 30 Celcius | P(14) = 7.377 Bar |
| | |
| T(5) = 24 Celcius | P(5) = 5.43 Bar |
| T(10) = 23.87 Celcius | P(10) = 63.9 Bar |
| T(15) = 23.87 Celcius | P(15) = 7.3 Bar |



Tabel IV-2.5

| Inlet | | Outlet | |
|--------------|--------------|--------------|--------------|
| Arus | 3 | Arus | 5 |
| m (Kg) | 5922171.206 | m (Kg) | 5922171.206 |
| Hm (Kj/h) | -9.543554408 | Hm (Kj/h) | -2.521434206 |
| H (Kj/h) | -56518563.11 | H (Kj/h) | -14932365.05 |
| Arus | 9 | Arus | 10 |
| m (Kg) | 3779474.641 | m (Kg) | 3779474.641 |
| Hm (Kj/h) | -10.00887896 | Hm (Kj/h) | -17.48467986 |
| H (Kj/h) | -37828304.23 | H (Kj/h) | -66082904.13 |
| Arus | 14 | Arus | 15 |
| m (Kg) | 2142696.565 | m (Kg) | 2142696.565 |
| Hm (Kj/h) | 3.046377667 | Hm (Kj/h) | -3.175501051 |
| H (Kj/h) | 6527462.962 | H (Kj/h) | -6804135.192 |
| Total | -87819404.38 | Total | -72887039.32 |

Tabel IV-2.6

Neraca Energi LNG Exchanger-1

| Masuk (kJ) | | Keluar (kJ) | |
|--------------|---------------------|--------------|---------------------|
| Hin | -87819404.38 | Hout | -72887039.32 |
| TOTAL | -87819404.38 | TOTAL | -72887039.32 |

$$\begin{aligned} Q_{loss} &= 14,932,365.06 \text{ kJ} \\ &= -0.170034916 \% \end{aligned}$$

5. Komponen TEE-2

Fungsi : Membagi komponen untuk penukaran panas pada LNG Exchanger

Pada Komponen TEE dengan kondisi operasi yang sama, terjadi pembagian arus dari arus (5) menjadi arus (6) & (7)

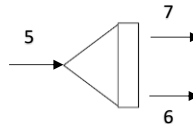


Table IV-2.7

| Inlet | | Outlet | |
|--------------|---------------------|--------------|---------------------|
| Arus | 5 | Arus | 7 |
| m (Kg) | 5922171.206 | m (Kg) | 3779474.641 |
| Hm (KJ/h) | -2.521434206 | Hm (KJ/h) | -2.521434206 |
| H (KJ/h) | -14932365.05 | H (KJ/h) | -9529696.64 |
| Arus | | Arus | 6 |
| m (Kg) | | m (Kg) | 2142696.565 |
| Hm (KJ/h) | | Hm (KJ/h) | -2.521434206 |
| H (KJ/h) | | H (KJ/h) | -5402668.412 |
| Total | -14932365.05 | Total | -14932365.05 |

6. Booster Compressor

Fungsi : Menaikkan Tekanan Udara pada Arus (7)

$$P7 = 5.43 \text{ Bar} \quad T7 = 29$$

$$P8 = 24 \text{ Bar} \quad T8 = 412.8 \quad 7$$

Pada Booster compressor tidak terjadi perubahan komposisi dan flowrate
Sehingga Komposisi dan flowrate pada arus (7) = (8)

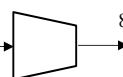


Table IV-2.8

| Inlet | | Outlet | |
|--------------|-------------------|--------------|-------------------|
| Arus | 7 | Arus | 8 |
| m (Kg) | 3779474.641 | m (Kg) | 3779474.641 |
| Hm (KJ/h) | -2.521434206 | Hm (KJ/h) | 405.4843286 |
| H (KJ/h) | -9529696.64 | H (KJ/h) | 1532517737 |
| Arus | Q-108 | | |
| Q (KJ/h) | 1542047434 | | |
| Total | 1532517737 | Total | 1532517737 |

7. Booster Compressor

Fungsi : Menaikkan Tekanan Udara pada Arus (6)

| | |
|-----------------|-------------|
| P6 = 5.43 Bar | T6 = 24 |
| P13 = 7.377 Bar | T13 = 60.17 |
| 6 | |
| 13 | |

Pada Booster compressor tidak terjadi perubahan komposisi dan flowrate

Sehingga Komposisi dan flowrate pada arus (6) = (13)

Tablel IV-2.9

| Inlet | | Outlet | |
|-----------|--------------|-----------|-------------|
| Arus | 6 | Arus | 13 |
| m (Kg) | 2142696.565 | m (Kg) | 2142696.565 |
| Hm (Kj/h) | -2.521434206 | Hm (Kj/h) | 33.81852092 |
| H (Kj/h) | -5402668.412 | H (Kj/h) | 72462828.61 |
| Arus | Q-4 | | |
| Q (Kj/h) | 77865497.02 | | |
| Total | 72462828.61 | Total | 72462828.61 |

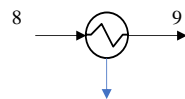
8. First Cooler

Fungsi : Mendinginkan temperatur udara pada arus (8)

| | |
|-----------------------|--------------|
| T (8) = 412.8 Celcius | P(8) = 64 |
| T (9) = 30.57 Celcius | P(9) = 63.95 |

Pada First cooler tidak terjadi perubahan komposisi dan flowrate

sehingga komposisi dan flowrate pada arus (8) = (9)

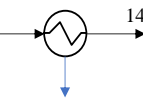


Tablel IV-2.10

| Inlet | | Outlet | |
|-----------|--------------|-----------|--------------|
| Arus | 8 | Arus | 9 |
| m (Kg) | 3779474.641 | m (Kg) | 3779474.641 |
| Hm (Kj/h) | 405.4843286 | Hm (Kj/h) | -10.00887896 |
| H (Kj/h) | 1532517737 | H (Kj/h) | -37828304.23 |
| Arus | Q-3 | | |
| Q (Kj/h) | -1570346041 | | |
| Total | -37828304.23 | Total | -37828304.23 |

9. Secondary Cooler

Fungsi : Mendinginkan temperatur udara pada arus (13)

| | | | |
|-----------------------|---------------|----|---|
| T(13) = 60.17 Celcius | P(13) = 7.377 | 13 |  |
| T(14) = 30 Celcius | P(14) = 7.377 | | |

Pada Secondary cooler tidak terjadi perubahan komposisi dan flowrate sehingga komposisi dan flowrate pada arus (13) = (14)

| Inlet | | Outlet | |
|-----------|--------------|-----------|-------------|
| Arus | 13 | Arus | 14 |
| m (Kg) | 2142696.565 | m (Kg) | 2142696.565 |
| Hm (KJ/h) | 33.81852092 | Hm (KJ/h) | 3.046377667 |
| H (KJ/h) | 72462828.61 | H (KJ/h) | 6527462.962 |
| Arus | Q-2 | | |
| Q (KJ/h) | -65935365.65 | | |
| Total | 6527462.962 | Total | 6527462.962 |

10. LNG Exchanger-2 (Main-HE)

Fungsi : Tempat Terjadinya perpindahan panas saat komponen udara dipisahkan

| | | | |
|------------------------|------------------|----|----|
| T(4) = 17.9 Celcius | P(4) = 5.5 Bar | 4 | 48 |
| T(10) = 23.87 Celcius | P(10) = 63.9 Bar | 10 | 15 |
| T(15) = 23.87 Celcius | P(15) = 7.3 Bar | 15 | 20 |
| T(47) = -175 Celcius | P(47) = 1.3 Bar | 20 | 41 |
| T(19) = -178.2 Celcius | P(19) = 5.35 Bar | 19 | |
| T(40) = -180 Celcius | P(40) = 3 Bar | 18 | |
| T(18) = -136.1 Celcius | P(18) = 5.39 Bar | 11 | |
| T(11) = -173.1 Celcius | P(11) = 63.7 Bar | 47 | |
| T(16) = -170.8 Celcius | P(16) = 7.27 Bar | 16 | |
| T(48) = 13.25 Celcius | P(48) = 1.22 Bar | 19 | |
| T(20) = 16.55 Celcius | P(20) = 5.27 Bar | 19 | |
| T(21) = 17.22 Celcius | P(21) = 2.5 Bar | 16 | |

Table IV-2.12

| Inlet | | Outlet | |
|-----------|--------------|-----------|--------------|
| Arus | 4 | Arus | 18 |
| m (Kg) | 7170315.846 | m (Kg) | 7170315.846 |
| Hm (KJ/h) | -9.543554408 | Hm (KJ/h) | -201.2050216 |
| H (KJ/h) | -68430299.4 | H (KJ/h) | -1442703554 |
| Arus | 10 | Arus | 11 |
| m (Kg) | 3779474.641 | m (Kg) | 3779474.641 |
| Hm (KJ/h) | -17.48467986 | Hm (KJ/h) | -376.9562571 |
| H (KJ/h) | -66082904.13 | H (KJ/h) | -1424696615 |
| Arus | 15 | Arus | 16 |
| m (Kg) | 2142696.565 | m (Kg) | 2142696.565 |
| Hm (KJ/h) | -3.175501051 | Hm (KJ/h) | -166.4847103 |
| H (KJ/h) | -6804135.192 | H (KJ/h) | -356726216.8 |

| Arus | 47 | Arus | 48 |
|--------------|--------------|--------------|--------------|
| m (Kg) | 9978813.579 | m (Kg) | 9978813.579 |
| Hm (Kj/h) | -205.5362147 | Hm (Kj/h) | -12.5229907 |
| H (Kj/h) | -2051007571 | H (Kj/h) | -124964589.7 |
| Arus | 19 | Arus | 20 |
| m (Kg) | 24993.6292 | m (Kg) | 24993.6292 |
| Hm (Kj/h) | -217.491092 | Hm (Kj/h) | -10.2988692 |
| H (Kj/h) | -5435891.709 | H (Kj/h) | -257406.1179 |
| Arus | 40 | Arus | 41 |
| m (Kg) | 3029954.939 | m (Kg) | 3029954.939 |
| Hm (Kj/h) | -1.783085399 | Hm (Kj/h) | -7.782737613 |
| H (Kj/h) | -5402668.412 | H (Kj/h) | -23581344.27 |
| Total | -2203163469 | Total | -3372929726 |

| Neraca Energi LNG Exchanger-1 | | | |
|--------------------------------------|-----------------------|--------------|-----------------------|
| Masuk (kJ) | | Keluar (kJ) | |
| Hin | -2203163469.39 | Hout | -3372929725.64 |
| TOTAL | -2203163469.39 | TOTAL | -3372929725.64 |

$$\begin{aligned} Q_{loss} &= -1,169,766,256.25 \text{ kJ} \\ &= 0.530948462 \% \end{aligned}$$

11. Refluxed absorber (HP-Column)

Fungsi : Tempat pemisahan awal komponen udara berdasarkan titik didih masing komponen

$$T(12) = -176 \text{ C}$$

$$P(12) = 5.387$$

$$T(18) = -170.8 \text{ C}$$

$$P(18) = 5.39$$

$$T(19) = -178.2 \text{ C}$$

$$P(19) = 5.35$$

$$T(21) = -178.2 \text{ C}$$

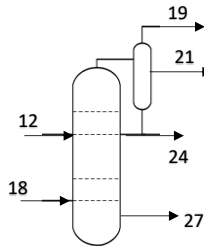
$$P(21) = 5.35$$

$$T(24) = -176.1 \text{ C}$$

$$P(24) = 5.419$$

$$T(27) = -173.7 \text{ C}$$

$$P(27) = 5.49 \text{ Bar}$$



| Inlet | | Outlet | |
|-----------|--------------|-----------|--------------|
| Arus | 12 | Arus | 19 |
| m (Kg) | 3779474.641 | m (Kg) | 24993.6292 |
| Hm (KJ/h) | -376.9562571 | Hm (KJ/h) | -217.491092 |
| H (Kj/h) | -1424696615 | H (Kj/h) | -5435891.709 |
| Arus | 18 | Arus | 21 |
| m (Kg) | 7170315.846 | m (Kg) | 3623279.661 |
| Hm (KJ/h) | -201.2050216 | Hm (KJ/h) | -389.5187341 |
| H (Kj/h) | -1442703554 | H (Kj/h) | -1411335307 |
| Arus | | Arus | 24 |
| m (Kg) | | m (Kg) | 2725706.649 |
| Hm (KJ/h) | | Hm (KJ/h) | -382.8809805 |
| H (Kj/h) | | H (Kj/h) | -1043621235 |
| Arus | | Arus | 27 |
| m (Kg) | | m (Kg) | 4575810.547 |
| Hm (KJ/h) | | Hm (KJ/h) | -377.1268477 |
| H (Kj/h) | | H (Kj/h) | -1725661007 |
| Total | -2867400169 | Total | -4186053440 |

| Neraca Energi HP Column | | | |
|-------------------------|----------------|-------------|----------------|
| Masuk (kJ) | | Keluar (kJ) | |
| Hin | -2867400168.84 | Hout | -4186053440.20 |
| TOTAL | -2867400168.84 | TOTAL | -4186053440.20 |

$$Q_{loss} = -1,318,653,271.36 \text{ kJ}$$

$$= 0.459877657 \text{ %}$$

13. LNG Exchanger-3 (sub Cool)

Fungsi : Tempat Terjadinya perpindahan panas saat komponen udara Dipisahkan

| | |
|-------------------|--------------------|
| T (46) = -193.3 C | P (46) = 1.33 Bar |
| T (24) = -176.1 C | P (24) = 5.419 Bar |
| T (21) = -178.2 C | P (21) = 5.35 Bar |
| T (27) = -173.7 C | P (27) = 5.49 Bar |
| T (42) = -180 C | P (42) = 1.4 Bar |
| T (47) = -175 C | P (47) = 1.3 Bar |
| T (25) = -180.8 C | P (25) = 5.34 Bar |

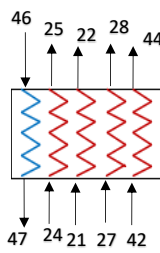


Table IV-2.13

| Inlet | | Outlet | |
|--------------|--------------|--------------|--------------|
| Arus | 46 | Arus | 47 |
| m (Kg) | 9978813.579 | m (Kg) | 9978813.579 |
| Hm (Kj/h) | -224.4993017 | Hm (Kj/h) | -205.5362147 |
| H (Kj/h) | -2240236680 | H (Kj/h) | -2051007571 |
| Arus | 24 | Arus | 25 |
| m (Kg) | 2725706.649 | m (Kg) | 2725706.649 |
| Hm (Kj/h) | -382.8809805 | Hm (Kj/h) | -392.3425146 |
| H (Kj/h) | -1043621235 | H (Kj/h) | -1069410601 |
| Arus | 21 | Arus | 22 |
| m (Kg) | 3623279.661 | m (Kg) | 3623279.661 |
| Hm (Kj/h) | -389.5187341 | Hm (Kj/h) | -418.0430476 |
| H (Kj/h) | -1411335307 | H (Kj/h) | -1514686872 |
| Arus | 27 | Arus | 28 |
| m (Kg) | 4575810.547 | m (Kg) | 4575810.547 |
| Hm (Kj/h) | -377.1268477 | Hm (Kj/h) | -390.7126905 |
| H (Kj/h) | -1725661007 | H (Kj/h) | -1787827250 |
| Arus | 42 | Arus | 44 |
| m (Kg) | 257020.8834 | m (Kg) | 257020.8834 |
| Hm (Kj/h) | -388.0383299 | Hm (Kj/h) | -1.001498845 |
| H (Kj/h) | -99733954.36 | H (Kj/h) | -257406.1179 |
| Total | -4280351503 | Total | -4372182129 |

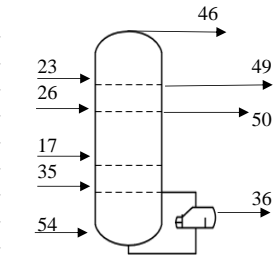
| Neraca Energi LNG Exchanger-3 | | | |
|-------------------------------|-----------------------|--------------|-----------------------|
| Masuk (kJ) | | Keluar (kJ) | |
| Hin | -4280351502.85 | Hout | -4372182128.92 |
| TOTAL | -4280351502.85 | TOTAL | -4372182128.92 |

$$\begin{aligned} Q_{loss} &= -91,830,626.07 \text{ kJ} \\ &= 0.021453992 \% \end{aligned}$$

16. Reboiled Absorber (LP-column)

Fungsi : Memisahkan komponen sehingga menjadi lebih murni berdasarkan perbedaan tekanan dan titik didih

| | | | | | | | | | |
|--------|---|--------|---|--------|-------|-----|----|----|--|
| T (23) | = | -193.4 | C | P (23) | 1.33 | Bar | | | |
| T (26) | = | -191.7 | C | P (26) | 1.349 | Bar | 23 | 46 | |
| T (17) | = | -179.3 | C | P (17) | 1.358 | Bar | 26 | 49 | |
| T (35) | = | -188.2 | C | P (35) | 1.357 | Bar | | 50 | |
| T (54) | = | -180.4 | C | P (54) | 1.391 | Bar | 17 | | |
| T (46) | = | -193.3 | C | P (46) | 1.33 | Bar | 35 | | |
| T (49) | = | -180.6 | C | P (49) | 1.365 | Bar | | 36 | |
| T (50) | = | -180.3 | C | P (50) | 1.388 | Bar | 54 | | |
| T (36) | = | -180 | C | P (36) | 1.4 | Bar | | | |



Jumlah Tray Column = 80

Table IV-2.14

| Inlet | | Outlet | |
|--------------|--------------|--------------|--------------|
| Arus | 23 | Arus | 46 |
| m (Kg) | 3623279.661 | m (Kg) | 9978813.579 |
| Hm (KJ/h) | -418.0430476 | Hm (KJ/h) | -224.4993017 |
| H (KJ/h) | -1514686872 | H (KJ/h) | -2240236680 |
| Arus | 26 | Arus | 49 |
| m (Kg) | 2725706.649 | m (Kg) | 0.169152948 |
| Hm (KJ/h) | -392.3425146 | Hm (KJ/h) | -380.5468898 |
| H (KJ/h) | -1069410601 | H (KJ/h) | -64.37062835 |
| Arus | 17 | Arus | 50 |
| m (Kg) | 2142696.565 | m (Kg) | 1740169.675 |
| Hm (KJ/h) | -202.8246654 | Hm (KJ/h) | -175.1828151 |
| H (KJ/h) | -434591713.8 | H (KJ/h) | -304847822.3 |
| Arus | 35 | Arus | 36 |
| m (Kg) | 4575810.547 | m (Kg) | 3574228.406 |
| Hm (KJ/h) | -301.5109043 | Hm (KJ/h) | -388.0383299 |
| H (KJ/h) | -1379656776 | H (KJ/h) | -1386937622 |
| Arus | 54 | Arus | |
| m (Kg) | 2225718.407 | m (Kg) | |
| Hm (KJ/h) | -382.7015492 | Hm (KJ/h) | |
| H (KJ/h) | -851785882.7 | H (KJ/h) | |
| Total | -5250131845 | Total | -3932022188 |

| Neraca Energi LP Column | | | |
|-------------------------|----------------|-------------|----------------|
| Masuk (kJ) | | Keluar (kJ) | |
| Hin | -5250131845.07 | Hout | -3932022188.49 |
| TOTAL | -5250131845.07 | TOTAL | -3932022188.49 |

$$\begin{aligned} Q_{loss} &= 1,318,109,656.58 \text{ kJ} \\ &= -0.251062201 \% \end{aligned}$$

17. Expander

Fungsi : Menurunkan Tekanan Pada arus yang diinginkan

$$P_{16} = 7.27 \text{ Bar}$$

$$T_6 = -136.1$$

$$P_{17} = 1.358 \text{ Bar}$$

$$T_{13} = -179.3$$

16

17

Pada Booster compressor tidak terjadi perubahan komposisi dan flowrate

Sehingga Komposisi dan flowrate pada arus (16) = (17)

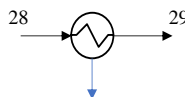
Table IV-2.15

| Inlet | | Outlet | |
|--------------|--------------|---------------|--------------|
| Arus | 16 | Arus | 17 |
| m (Kg) | 2142696.565 | m (Kg) | 2142696.565 |
| Hm (KJ/h) | -166.4847103 | Hm (KJ/h) | -202.8246654 |
| H (KJ/h) | -356726216.8 | H (KJ/h) | -434591713.8 |
| Arus | Q-4 | | |
| Q (KJ/h) | -77865497.02 | | |
| Total | -434591713.8 | Total | -434591713.8 |

18. Third Cooler

Fungsi : Menurunkan temperature arus (28)

$$\begin{array}{ll} P(28) = 5.34 \text{ Bar} & T(28) = -180.8 \\ P(29) = 5.29 \text{ Bar} & T(29) = -184.6 \end{array}$$



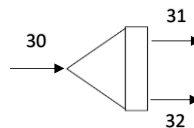
Tablel IV-2.16

| Inlet | | Outlet | |
|-----------|--------------|-----------|-------------|
| Arus | 28 | Arus | 29 |
| m (Kg) | 4575810.547 | m (Kg) | 4575810.547 |
| Hm (Kj/h) | -390.7126905 | Hm (Kj/h) | -233.709545 |
| H (Kj/h) | -1787827250 | H (Kj/h) | -1069410601 |
| Arus | Q-6 | | |
| Q (Kj/h) | 718416648.9 | | |
| Total | -1069410601 | Total | -1069410601 |

19. Komponen TEE-3

Fungsi : Membagi Arus Pada Komponen 30 Menjadi Arus (31) dan (32)

Pada Komponen TEE dengan kondisi operasi yang sama, terjadi pembagian arus dari arus (30) menjadi arus (31) & (32)



Tablel IV-2.17

| Inlet | | Outlet | |
|-----------|--------------|-----------|--------------|
| Arus | 30 | Arus | 31 |
| m (Kg) | 4575810.547 | m (Kg) | 351893.4528 |
| Hm (Kj/h) | -397.6322264 | Hm (Kj/h) | -397.6322264 |
| H (Kj/h) | -1819489735 | H (Kj/h) | -139924177.1 |
| Arus | 30 | Arus | 32 |
| m (Kg) | 30 | m (Kg) | 4223917.094 |
| Hm (Kj/h) | 30 | Hm (Kj/h) | -397.6322264 |
| H (Kj/h) | 30 | H (Kj/h) | -1679565558 |
| Total | 4223917.094 | Total | 4223917.094 |

19. 4 Th Cooler & 5 Th Cooler

Fungsi : Menurunkan temperatur arus (31) dan (32)

$$T(31) = -189.8 \text{ Celcius}$$

$$T(34) = -188 \text{ Celcius}$$

$$T(32) = -189.8 \text{ Celcius}$$

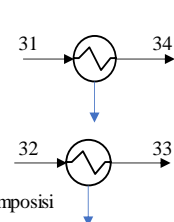
$$T(33) = -188.2 \text{ Celcius}$$

$$T(31) = 1.36 \text{ Bar}$$

$$T(34) = 1.357 \text{ Bar}$$

$$T(32) = 1.36 \text{ Bar}$$

$$T(33) = 1.357 \text{ Bar}$$



Pada 4 Th Cooler dan 5 th Cooler Pendingin yang tidak terjadi perubahan komposisi sehingga arus (31) = (34) dan arus (32) = (33)

Table IV-2.18

| Inlet | | Outlet | |
|-----------|--------------|-----------|--------------|
| Arus | 31 | Arus | 34 |
| m (Kg) | 351893.4528 | m (Kg) | 351893.4528 |
| Hm (Kj/h) | -397.6322264 | Hm (Kj/h) | -292.4310406 |
| H (Kj/h) | -139924177.1 | H (Kj/h) | -102904568.6 |
| Arus | Q-7 | | |
| Q (Kj/h) | 37019608.5 | | |
| Total | -102904568.6 | Total | -102904568.6 |

Table IV-2.19

| Inlet | | Outlet | |
|-----------|--------------|-----------|--------------|
| Arus | 32 | Arus | 33 |
| m (Kg) | 4223917.094 | m (Kg) | 4223917.094 |
| Hm (Kj/h) | -397.6322264 | Hm (Kj/h) | -302.2673454 |
| H (Kj/h) | -1679565558 | H (Kj/h) | -1276752207 |
| Arus | Q-8 | | |
| Q (Kj/h) | 402813351.1 | | |
| Total | -1276752207 | Total | -1276752207 |

20. Mixing Point :

Tujuan : Menggabung Arus Dari Komponen Tertentu

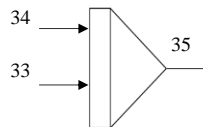


Table IV-2.20

| Inlet | | Outlet | |
|-----------|--------------|-----------|--------------|
| Arus | 33 | Arus | 35 |
| m (Kg) | 4223917.094 | m (Kg) | 4575810.547 |
| Hm (KJ/h) | -302.2673454 | Hm (KJ/h) | -301.5109043 |
| H (KJ/h) | -1276752207 | H (KJ/h) | -1379656776 |
| Arus | 34 | Arus | |
| m (Kg) | 351893.4528 | m (Kg) | |
| Hm (KJ/h) | -292.4310406 | Hm (KJ/h) | |
| H (KJ/h) | -102904568.6 | H (KJ/h) | |
| Total | -1379656776 | Total | -1379656776 |

21. Refluxed Absorber (Crude AR Column)

Fungsi : Memisahkan Komponen Berdasarkan titik didihnya sehingga
Menjadi lebih Murni

$$T(51) = -180.3$$

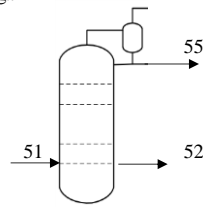
$$P(51) = 1.38$$

$$T(55) = -184.2$$

$$P(55) = 1.23$$

$$T(52) = -180.4$$

$$P(52) = 1.38$$



| Tabel IV-2.21 | | | |
|---------------|--------------|-----------|--------------|
| Inlet | | Outlet | |
| Arus | 51 | Arus | 55 |
| m (Kg) | 1740169.675 | m (Kg) | 43738.86726 |
| Hm (Kj/h) | -175.1828151 | Hm (Kj/h) | -268.7806784 |
| H (Kj/h) | -304847822.3 | H (Kj/h) | -11756162.42 |
| Inlet | | Outlet | |
| Arus | Q-9 | Arus | 52 |
| Q(Kj/h) | -353194989.1 | m (Kg) | 1696430.803 |
| | | Hm (Kj/h) | -381.3278916 |
| | | H (Kj/h) | -646896381.2 |
| Total | -658042811.4 | Total | -658652543.6 |

| Tabel IV-2.22 | | | |
|-------------------------|---------------|-------------|---------------|
| Neraca Energi LP Column | | | |
| Masuk (kJ) | | Keluar (kJ) | |
| Hin | -658042811.43 | Hout | -658652543.58 |
| TOTAL | -658042811.43 | TOTAL | -658652543.58 |

$$\begin{aligned} Q_{loss} &= -609,732.15 \text{ kJ} \\ &= 0.000926584 \% \end{aligned}$$

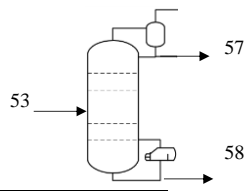
21. Distillation Column-1 (Pure AR Column)

Fungsi : Memisahkan Komponen Agon dan O2 Menjadi Lebih Murni

$$T(53) = -180.3 \quad P(51) = 1.38$$

$$T(57) = -184.2 \quad P(55) = 1.23$$

$$T(58) = -180.4 \quad P(52) = 1.38$$



| Tabel IV-2.23 | | | |
|---------------|--------------|-----------|--------------|
| Inlet | | Outlet | |
| Arus | 53 | Arus | 57 |
| m (Kg) | 1696430.803 | m (Kg) | 1562984.047 |
| Hm (KJ/h) | -381.3278916 | Hm (KJ/h) | -392.9878903 |
| H (KJ/h) | -646896381.2 | H (KJ/h) | -614233803.3 |
| Arus | Q-AR Column | Arus | 58 |
| Q-AR (KJ/h) | 1049025202 | m (Kg) | 133446.7422 |
| Q-O2 (KJ/h) | 1046292022 | Hm (KJ/h) | -273.6744407 |
| | | H (KJ/h) | -36520962.54 |
| Total | 1448420842 | Total | -36521355.53 |

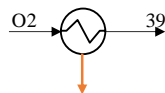
22. O2 Preheating

Fungsi : Menaikkan Temperatur O2 untuk dapat digunakan pada proses Sales Gas Selanjutnya

$$T_{O2} = -183.2 \text{ Celcius} \quad P_{O2} = 1.013 \text{ Bar}$$

$$T(39) = 315.6 \text{ Celcius} \quad P(39) = 7.2 \text{ Bar}$$

Pada O2 Preheating tidak terjadi perubahan komponen, sehingga arus pada (O2) = (39)



| Tabel IV-2.24 | | | |
|---------------|--------------|-----------|-------------|
| Inlet | | Outlet | |
| Arus | O2 | Arus | 39 |
| m (Kg) | 1562984.047 | m (Kg) | 1562984.047 |
| Hm (KJ/h) | -392.9878903 | Hm (KJ/h) | 278.1803175 |
| H (KJ/h) | -614233803.3 | H (KJ/h) | 434791398.4 |
| Arus | Q-Ar | | |
| Q (KJ/h) | 1049025202 | | |
| Total | 434791398.4 | Total | 434791398.4 |

23. Sales Gas Heat Exchanger

Fungsi Menukar Panas antara Sales Gas dengan gas keharuan OCM Reactor

| | |
|-----------------------|-------------------|
| T (Gas) = 30 Celcius | P (Gas) = 20 Bar |
| T (60) = 400 Celcius | P (60) = 20.4 Bar |
| T (67) = 1403 Celcius | P (67) = 7 Bar |
| T (56) = 1286 Celcius | P (56) = 6.8 Bar |

Tabel IV-2.25

| Inlet | | Outlet | |
|------------|--------------|-----------|--------------|
| Arus | Sales Gas | Arus | 60 |
| m (Kg) | 614272.6512 | m (Kg) | 614272.6512 |
| Hm (Kj/h) | -4638.071547 | Hm (Kj/h) | -3669.963877 |
| H (Kj/h) | -2849040506 | H (Kj/h) | -2254358440 |
| Inlet | | Outlet | |
| Arus | 67 | Arus | 56 |
| m (Kg) | 1348126.038 | m (Kg) | 1348126.038 |
| Hm (Kj/h) | -2179.639208 | Hm (Kj/h) | -2620.756765 |
| H (Kj/h) | -2938428370 | H (Kj/h) | -3533110435 |
| Total (in) | -2847692380 | Total Out | -5787468875 |

Tabel IV-2.26

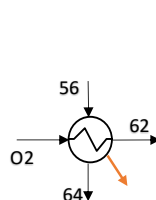
| Neraca Energi LP Column | | | |
|-------------------------|----------------|-------------|----------------|
| Masuk (kJ) | | Keluar (kJ) | |
| Hin | -2847692379.57 | Hout | -5787468875.12 |
| TOTAL | -2847692379.57 | TOTAL | -5787468875.12 |

$$\begin{aligned} Q_{loss} &= -2,939,776,495.54 \text{ kJ} \\ &= 1.032336399 \% \end{aligned}$$

24. O2 Heat Exchanger

Fungsi Menukar Panas antara O₂ dengan gas keluaran OCM Reactor

| | | |
|--------|-----------------|------------------|
| T (O2) | = 315.6 Celcius | P (O2) = 7.2 Bar |
| T (62) | = 400 Celcius | P (62) = 7.6 Bar |
| T (64) | = 1277 Celcius | P (64) = 6.4 Bar |
| T (56) | = 1286 Celcius | P (56) = 6.8 Bar |



Tabel IV-2.27

| Inlet | | Outlet | |
|-------------------|----------------|------------------|-------------|
| Arus | O ₂ | Arus | 62 |
| m (Kg) | 494165.9471 | m (Kg) | 494165.9471 |
| Hm (KJ/h) | 278.1803175 | Hm (KJ/h) | 362.8177889 |
| H (Kj/h) | 137467240 | H (Kj/h) | 179292196.3 |
| Inlet | | Outlet | |
| Arus | 56 | Arus | 64 |
| m (Kg) | 1348126.038 | m (Kg) | 1348126.038 |
| Hm (KJ/h) | -2620.756765 | Hm (KJ/h) | -2651.78128 |
| H (Kj/h) | -3533110435 | H (Kj/h) | -3574935391 |
| Total (in) | 138815366.1 | Total Out | -3395643195 |

Tabel IV-2.28

| Neraca Energi LP Column | | | |
|-------------------------|--------------|--------------|----------------|
| Masuk (kJ) | | Keluar (kJ) | |
| Hin | 138815366.06 | Hout | -3395643194.60 |
| TOTAL | 138815366.06 | TOTAL | -3395643194.60 |

$$\begin{aligned} Q_{loss} &= -3,534,458,560.66 \text{ kJ} \\ &= -0.254615801 \% \end{aligned}$$

26.. Mixing Point (M-100)

Fungsi : Tempat terjadinya pencampuran sales gas dan O₂
Sebelum memasuki OCM Reactor

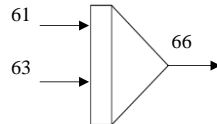


Table IV-2.29

| Inlet | | Outlet | |
|-------------------|--------------------|------------------|--------------------|
| Arus | 61 | Arus | 66 |
| m (Kg) | 614272.6512 | m (Kg) | 1108438.598 |
| Hm (Kj/h) | -3669.963877 | Hm (Kj/h) | -1872.06242 |
| H (Kj/h) | -2254358440 | H (Kj/h) | -2075066244 |
| Inlet | | Outlet | |
| Arus | 63 | Arus | |
| m (Kg) | 494165.9471 | m (Kg) | |
| Hm (Kj/h) | 362.8177889 | Hm (Kj/h) | |
| H (Kj/h) | 179292196.3 | H (Kj/h) | |
| Total (in) | -2075066244 | Total Out | -2075066244 |

27. OCM Reactor

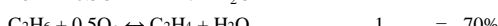
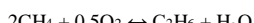
Fungsi : Mereaksikan gas metana dan etana menjadi gas ethylene

Arus 65 = Methane Recycle Produk Dari Methanator

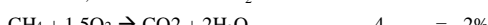
Arus 66 = Mixed Sales Gas & O2

Arus 67 = Sales Gas Output

Reaksi utama:



Reaksi samping:



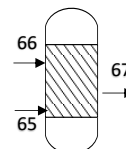
Ketentuan dan Kondisi Operasi

1. Tekanan = 7 Bar

2. Suhu opera: = 400 °C

3. pH operasi = 6

4. T tinggal = 0.033 Jam



| Tabel IV-2.29 | | | |
|-------------------|--------------------|------------------|--------------------|
| Inlet | | Outlet | |
| Arus | 66 | Arus | 67 |
| m (Kg) | 1108438.598 | m (Kg) | 1348126.038 |
| Hm (KJ/h) | -1872.06242 | Hm (KJ/h) | -2179.639208 |
| H (KJ/h) | -2075066244 | H (KJ/h) | -2938428370 |
| Inlet | | Outlet | |
| Arus | 65 | Arus | |
| m (Kg) | 239715.0131 | m (Kg) | |
| Hm (KJ/h) | -3601.618848 | Hm (KJ/h) | |
| H (KJ/h) | -863362109.4 | H (KJ/h) | |
| Total (in) | -2938428354 | Total Out | -2938428370 |

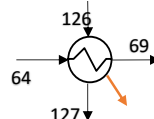
| Tabel IV-2.30 | | | |
|---------------------------|-----------------------|--------------|-----------------------|
| Neraca Energi OCM Reactor | | | |
| Masuk (kJ) | | Keluar (kJ) | |
| Hin | -2938428353.59 | Hout | -2938428369.50 |
| TOTAL | -2938428353.59 | TOTAL | -2938428369.50 |

$$\begin{aligned} Q_{loss} &= -15.91 \text{ kJ} \\ &= 0.00000005 \% \end{aligned}$$

28. HE-200

Fungsi : Tempat Pertukaran panas antara Ethane Recycle Dan OCM
Output

| | | | |
|------------------|---------|--------------|-----|
| T (64) = 1277 | Celcius | P (64) = 6.4 | Bar |
| T (69) = 1264 | Celcius | P (69) = 5 | Bar |
| T (115) = -29.66 | Celcius | P (115)= 11 | Bar |
| T (116) = 500 | Celcius | P (116)= 10 | Bar |



Tabel IV-2.31

| Inlet | | Outlet | |
|------------|--------------|-----------|--------------|
| Arus | 64 | Arus | 69 |
| m (Kg) | 1348126.038 | m (Kg) | 1348126.038 |
| Hm (Kj/h) | -1872.06242 | Hm (Kj/h) | -2684.511341 |
| H (Kj/h) | -3574935391 | H (Kj/h) | -3619059638 |
| Inlet | | Outlet | |
| Arus | 126 | Arus | 127 |
| m (Kg) | 30566.39399 | m (Kg) | 30566.39399 |
| Hm (Kj/h) | -2594.082883 | Hm (Kj/h) | -1150.528662 |
| H (Kj/h) | -79291759.45 | H (Kj/h) | -35167512.39 |
| Total (in) | -3654227150 | Total Out | -3654227150 |

Tabel IV-2.32

Neraca Energi HE-200

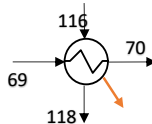
| Masuk (kJ) | | Keluar (kJ) | |
|------------|----------------|--------------|----------------|
| Hin | -3654227150.32 | Hout | -3654227150.32 |
| TOTAL | -3654227150.32 | TOTAL | -3654227150.32 |

$$\begin{aligned} Q_{loss} &= 0.00 \text{ kJ} \\ &= 0.000000000 \% \end{aligned}$$

29. HE-201

Fungsi : Tempat Pertukaran panas antara Methane Separator Dan OCM
Output

| | |
|--------------------------|------------------|
| T (69) = 1264 Celcius | P (69) = 5 Bar |
| T (70) = 1202 Celcius | P (70) = 4 Bar |
| T (106) = -101.5 Celcius | P (106) = 25 Bar |
| T (107) = 400 Celcius | P (107) = 24 Bar |



Tabel IV-2.33

| Inlet | | Outlet | |
|-------------------|--------------|------------------|--------------|
| Arus | 69 | Arus | 70 |
| m (Kg) | 1348126.038 | m (Kg) | 1348126.038 |
| Hm (KJ/h) | -2684.511341 | Hm (KJ/h) | -2900.524767 |
| H (Kj/h) | -3619059638 | H (Kj/h) | -3910272963 |
| Inlet | | Outlet | |
| Arus | 116 | Arus | 118 |
| m (Kg) | 169447.2162 | m (Kg) | 169447.2162 |
| Hm (KJ/h) | -5244.258541 | Hm (KJ/h) | -3525.650636 |
| H (Kj/h) | -888625010.6 | H (Kj/h) | -597411685.4 |
| Total (in) | -4507684649 | Total Out | -4507684649 |

Tabel IV-2.34

Neraca Energi HE-201

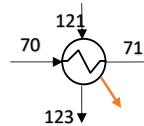
| Masuk (kJ) | | Keluar (kJ) | |
|--------------|----------------|--------------|----------------|
| Hin | -4507684648.54 | Hout | -4507684648.54 |
| TOTAL | -4507684648.54 | TOTAL | -4507684648.54 |

$$\begin{aligned} Q_{loss} &= 0.00 \text{ kJ} \\ &= 0.000000000 \% \end{aligned}$$

30. HE-202

Fungsi : Tempat Pertukaran panas antara Methane Separator Dan OCM
Output

| | |
|------------------------|-----------------|
| T (70) = 1202 Celcius | P (70) = 4 Bar |
| T (71) = 1186 Celcius | P (71) = 3 Bar |
| T (106) = -129 Celcius | P (101)= 30 Bar |
| T (107) = 400 Celcius | P (102)= 29 Bar |



Tabel IV-2.35

| Inlet | | Outlet | |
|------------|--------------|-----------|--------------|
| Arus | 70 | Arus | 71 |
| m (Kg) | 1348126.038 | m (Kg) | 1348126.038 |
| Hm (Kj/h) | -2900.524767 | Hm (Kj/h) | -2919.368403 |
| H (Kj/h) | -3910272963 | H (Kj/h) | -3935676559 |
| Inlet | | Outlet | |
| Arus | 121 | Arus | 123 |
| m (Kg) | 32655.07259 | m (Kg) | 32655.07259 |
| Hm (Kj/h) | -8175.026268 | Hm (Kj/h) | -7397.089069 |
| H (Kj/h) | -266956076.2 | H (Kj/h) | -241552480.5 |
| Total (in) | -4177229039 | Total Out | -4177229039 |

Tabel IV-2.36

Neraca Energi HE-202

| Masuk (kJ) | | Keluar (kJ) | |
|------------|----------------|-------------|----------------|
| Hin | -4177229039.34 | Hout | -4177229039.34 |
| TOTAL | -4177229039.34 | TOTAL | -4177229039.34 |

$$\begin{aligned} Q_{loss} &= 0.00 \text{ kJ} \\ &= 0.000000000 \% \end{aligned}$$

31. Air Cooler-1

Fungsi : Menurunkan Temperatur Output OCM hingga Mencapai Suhu yang lebih dingin

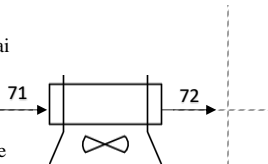
$$T(71) = 1100 \text{ Celcius}$$

$$P(71) = 3$$

$$T(72) = 45 \text{ Celcius}$$

$$P(72) = 2$$

Pada Air Cooler Tidak Terjadi perubahan komposisi sehingga Flowrate pada arus (71) = (72)



Tabel IV-2.37

| Inlet | | Outlet | |
|--------------|--------------------|---------------|--------------------|
| Arus | 71 | Arus | 72 |
| m (Kg) | 1348126.038 | m (Kg) | 1348126.038 |
| Hm (KJ/h) | -2900.524767 | Hm (KJ/h) | -7066.336845 |
| H (KJ/h) | -3935676559 | H (KJ/h) | -9526312695 |
| Arus | QAC-1 | | |
| Q (KJ/h) | -5590636136 | | |
| Total | -9526312695 | Total | -9526312695 |

32 Flash Separator 1

Fungsi : Memisahkan Komponen sales gas dari CO2 dan H2O

Arus 72 = Aliran dari Cooler (E-202)

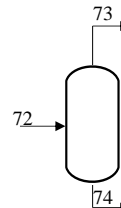
Arus 73 = Fase gas dari arus 72

Arus 74 = Fase gas dari arus 5

Kondisi Operasi

Suhu = 45 Celcius

Tekanan = 2 Bar 200 Kpa



Tabel IV-2.38

| Inlet | | Outlet | |
|--------------|--------------------|---------------|--------------------|
| Arus | 72 | Arus | 73 |
| m (Kg) | 1348126.038 | m (Kg) | 827132.439 |
| Hm (Kj/h) | -7066.336845 | Hm (Kj/h) | -1564.651233 |
| H (Kj/h) | -9526312695 | H (Kj/h) | -1294173791 |
| Arus | | Arus | 74 |
| m (Kg) | | m (Kg) | 520993.5991 |
| Hm (Kj/h) | | Hm (Kj/h) | -15800.84461 |
| H (Kj/h) | | H (Kj/h) | -8232138904 |
| Total | -9526312695 | Total | -9526312695 |

33. First Compressor

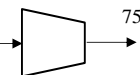
Fungsi : Menaikkan Tekanan Udara

$$P_{73} = 2 \text{ Bar} \quad T_{73} = 45$$

$$P_{75} = 4.5 \text{ Bar} \quad T_{75} = 110.2 \quad 73$$

Pada Main Air compressor tidak terjadi perubahan komposisi dan flowrate

Sehingga Komposisi dan flowrate pada arus (73) = (75)



Tabel IV-2.39

| Inlet | | Outlet | |
|--------------|--------------------|---------------|--------------------|
| Arus | 73 | Arus | 75 |
| m (Kg) | 827132.439 | m (Kg) | 827132.439 |
| Hm (Kj/h) | -1564.651233 | Hm (Kj/h) | -1447.601983 |
| H (Kj/h) | -1294173791 | H (Kj/h) | -1197358559 |
| Arus | QK-1 | | |
| Q (Kj/h) | 96815231.43 | | |
| Total | -1197358559 | Total | -1197358559 |

34. Air Cooler-2

Fungsi : Menurunkan Temperatur Output OCM hingga Mencapai

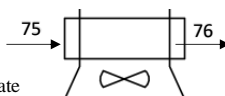
Suhu yang lebih dingin

$$T(75) = 110.2 \text{ Celcius} \quad P(75) = 4.5$$

$$T(76) = 45 \text{ Celcius} \quad P(76) = 4$$

Pada Air Cooler Tidak Terjadi perubahan komposisi sehingga Flowrate

pada arus (71) = (72)



Tabel IV-2.40

| Inlet | | Outlet | |
|-----------|--------------|-----------|--------------|
| Arus | 75 | Arus | 76 |
| m (Kg) | 827132.439 | m (Kg) | 827132.439 |
| Hm (KJ/h) | -1447.601983 | Hm (KJ/h) | -1607.856569 |
| H (KJ/h) | -1197358559 | H (KJ/h) | -1329910325 |
| Arus | QAC-2 | | |
| Q (KJ/h) | -132551766.2 | | |
| Total | -1329910325 | Total | -1329910325 |

35 Flash Separator 2

Fungsi : Memisahkan Komponen sales gas dari CO₂ dan H₂O

Arus 76 = Aliran dari Cooler (E-202)

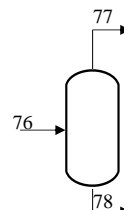
Arus 77 = Fase gas dari arus 72

Arus 78 = Fase gas dari arus 5

Kondisi Operasi

Suhu = 45 Cekcius

Tekanan = 4.5 Bar 450 Kpa



Tabel IV-2.41

| Inlet | | Outlet | |
|-----------|--------------|-----------|--------------|
| Arus | 76 | Arus | 77 |
| m (Kg) | 827132.439 | m (Kg) | 813216.3817 |
| Hm (KJ/h) | -1607.856569 | Hm (KJ/h) | -1364.994501 |
| H (KJ/h) | -1329910325 | H (KJ/h) | -1110035889 |
| Arus | | Arus | 78 |
| m (Kg) | | m (Kg) | 13916.05734 |
| Hm (KJ/h) | | Hm (KJ/h) | -15800.05251 |
| H (KJ/h) | | H (KJ/h) | -219874436.6 |
| Total | -1329910325 | Total | -1329910325 |

36. Secondary Compressor

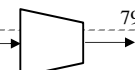
Fungsi : Menaikkan Tekanan Udara

P77 = 4.5 Bar T77 = 45

P79 = 12.4 Bar T79 = 136.7 77

Pada Main Air compressor tidak terjadi perubahan komposisi dan flowrate →

Sehingga Komposisi dan flowrate pada arus (73) = (75)



Tabel IV-2.42

| Inlet | | Outlet | |
|-----------|--------------|-----------|--------------|
| Arus | 77 | Arus | 79 |
| m (Kg) | 813216.3817 | m (Kg) | 813216.3817 |
| Hm (Kj/h) | -1364.994501 | Hm (Kj/h) | -1200.064296 |
| H (Kj/h) | -1110035889 | H (Kj/h) | -975911945 |
| Arus | QK-2 | | |
| Q (Kj/h) | 134123943.8 | | |
| Total | -975911945 | Total | -975911945 |

37. Air Cooler-3

Fungsi : Menurunkan Temperatur Output OCM hingga Mencapai Suhu yang lebih dingin

$$\begin{array}{ll} T(79) = 136.7 \text{ Celcius} & P(79) = 12.4 \\ T(80) = 32 \text{ Celcius} & P(80) = 12 \end{array}$$

Pada Air Cooler Tidak Terjadi perubahan komposisi sehingga Flowrate pada arus (79) = (80)

Tabel IV-2.43

| Inlet | | Outlet | |
|-----------|--------------|-----------|--------------|
| Arus | 79 | Arus | 80 |
| m (Kg) | 813216.3817 | m (Kg) | 813216.3817 |
| Hm (Kj/h) | -1200.064296 | Hm (Kj/h) | -1432.785063 |
| H (Kj/h) | -975911945 | H (Kj/h) | -1165164285 |
| Arus | QAC-1 | | |
| Q (Kj/h) | -189252340.1 | | |
| Total | -1165164285 | Total | -1165164285 |

38 Flash Separator 3

Fungsi : Memisahkan Komponen sales gas dari CO₂ dan H₂O

Arus 80 = Aliran dari Cooler (E-203)

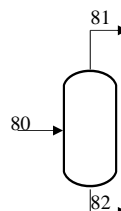
Arus 81 = Fase gas dari arus 72

Arus 82 = Fase gas dari arus 5

Kondisi Operasi

Suhu = 32 Celcius 305.15

Tekanan = 4.5 Bar 450 Kpa



Tabel IV-2.44

| Inlet | | Outlet | |
|-----------|--------------|-----------|--------------|
| Arus | 80 | Arus | 81 |
| m (Kg) | 813216.3817 | m (Kg) | 801996.4814 |
| Hm (KJ/h) | -1432.785063 | Hm (KJ/h) | -1231.059605 |
| H (KJ/h) | -1165164285 | H (KJ/h) | -987305471.4 |
| Arus | | Arus | 82 |
| m (Kg) | | m (Kg) | 11219.90025 |
| Hm (KJ/h) | | Hm (KJ/h) | -15852.08511 |
| H (KJ/h) | | H (KJ/h) | -177858813.6 |
| Total | -1165164285 | Total | -1165164285 |

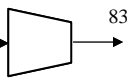
39. Third Compressor

Fungsi : Menaikkan Tekanan Udara

P81 = 12 Bar T81 = 32

P82 = 35 Bar T82 = 118.7 81

Pada Main Air compressor tidak terjadi perubahan komposisi dan flowrate
Sehingga Komposisi dan flowrate pada arus (81) = (83)

**Tabel IV-2.45**

| Inlet | | Outlet | |
|-----------|--------------|-----------|--------------|
| Arus | 81 | Arus | 83 |
| m (Kg) | 801996.4814 | m (Kg) | 801996.4814 |
| Hm (KJ/h) | -1231.059605 | Hm (KJ/h) | -1089.846899 |
| H (KJ/h) | -987305471.4 | H (KJ/h) | -874053378 |
| Arus | QK-1 | | |
| Q (KJ/h) | 113252093.4 | | |
| Total | -874053378 | Total | -874053378 |

40. Air Cooler-4

Fungsi : Menurunkan Temperatur Output OCM hingga Mencapai Suhu yang lebih dingin

$$T(83) = 118.7 \text{ Celcius}$$

$$P(83) = 35$$

$$T(84) = 32 \text{ Celcius}$$

$$P(84) = 34$$

Pada Air Cooler Tidak Terjadi perubahan komposisi sehingga Flowrate pada arus (82) = (83)

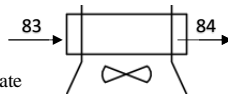


Table IV-2.46

| Inlet | | Outlet | |
|-----------|--------------|-----------|--------------|
| Arus | 83 | Arus | 84 |
| m (Kg) | 801996.4814 | m (Kg) | 801996.4814 |
| Hm (Kj/h) | -1089.846899 | Hm (Kj/h) | -1270.652419 |
| H (Kj/h) | -874053378 | H (Kj/h) | -1019058769 |
| Arus | QAC-1 | | |
| Q (Kj/h) | -145005391.3 | | |
| Total | -1019058769 | Total | -1019058769 |

41 Flash Separator 4

Fungsi : Memisahkan Komponen sales gas dari CO₂ dan H₂O
= Aliran dari Cooler (E-203)

$$\text{Arus 85} = \text{Fase gas dari arus 84}$$

$$\text{Arus 86} = \text{Fase Liq dari arus 84}$$

Kondisi Operasi

$$\text{Suhu} = 32 \text{ Celcius} \quad 305.15$$

$$\text{Tekanan} = 32 \text{ Bar} \quad 3200 \text{ Kpa}$$

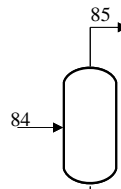


Table IV-2.47

| Inlet | | Outlet | |
|-----------|--------------|-----------|--------------|
| Arus | 84 | Arus | 85 |
| m (Kg) | 801996.4814 | m (Kg) | 800620.0012 |
| Hm (Kj/h) | -1270.652419 | Hm (Kj/h) | -1245.598347 |
| H (Kj/h) | -1019058769 | H (Kj/h) | -997250950.4 |
| Arus | | Arus | 86 |
| m (Kg) | | m (Kg) | 1376.480198 |
| Hm (Kj/h) | | Hm (Kj/h) | -15843.17659 |
| H (Kj/h) | | H (Kj/h) | -21807818.84 |
| Total | -1019058769 | Total | -1019058769 |

42. Absorber (D-300)

Fungsi: Membersihkan gas dari CO₂ dengan MEA

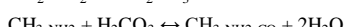
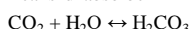
Arus 85: Arus gabungan dari Flash Separator

Arus 87: Lean MEA

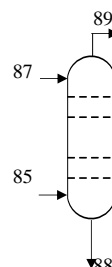
Arus 99: Gas dengan kadar CO₂ 1 ppm

Arus 88: Rich MDEA setelah mengabsorbsi CO₂

Reaksi di absorber



Asumsi recovery 99,9%



Tabel IV-2.48

| Inlet | | Outlet | |
|-----------|--------------|-----------|--------------|
| Arus | 87 | Arus | 89 |
| m (Kg) | 1413948.863 | m (Kg) | 610735.1601 |
| Hm (KJ/h) | -1270.652419 | Hm (KJ/h) | -1090.998026 |
| H (KJ/h) | -6587787606 | H (KJ/h) | -666310854.4 |
| Arus | 85 | Arus | 88 |
| m (Kg) | 800620.0012 | m (Kg) | 1603833.704 |
| Hm (KJ/h) | -1245.598347 | Hm (KJ/h) | -4313.871024 |
| H (KJ/h) | -997250950.4 | H (KJ/h) | -6918731745 |
| Total | -6587787606 | Total | -7585042600 |

Tabel IV-2.49
Neraca Energi D-300

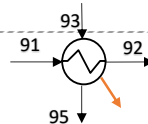
| Masuk (kJ) | | Keluar (kJ) | |
|------------|----------------|-------------|----------------|
| Hin | | Hout | |
| | -6587787605.57 | | -7585042599.65 |
| TOTAL | -6587787605.57 | TOTAL | -7585042599.65 |

$$\begin{aligned} Q_{loss} &= -997,254,994.08 \text{ kJ} \\ &= 0.151379348 \% \end{aligned}$$

41. HE-300

Fungsi : Tempat Pertukaran panas antara Bottom produk kolom
Absorbsi dan Produk atas D-301

| | | | |
|----------------|---------|-------------|-----|
| T (91) = 35,36 | Celcius | P (91) = 32 | Bar |
| T (92) = 145 | Celcius | P (92) = 29 | Bar |
| T (93) = 272,5 | Celcius | P (93) = 22 | Bar |
| T (94) = 165,3 | Celcius | P (94) = 18 | Bar |



Tabel IV-2.50

| Inlet | | Outlet | |
|-----------|--------------|-----------|--------------|
| Arus | 91 | Arus | 92 |
| m (Kg) | 1603833.704 | m (Kg) | 1603833.704 |
| Hm (Kj/h) | -1270.652419 | Hm (Kj/h) | -3984.619965 |
| H (Kj/h) | -6918731745 | H (Kj/h) | -6390667799 |
| Arus | 93 | Arus | 95 |
| m (Kg) | 1284864.476 | m (Kg) | 1284864.476 |
| Hm (Kj/h) | -1245.598347 | Hm (Kj/h) | -3805.430039 |
| H (Kj/h) | -4361397926 | H (Kj/h) | -4889461872 |
| Total | -6918731745 | Total | -11280129672 |

Tabel IV-2.51

Neraca Energi D-300

| Masuk (kJ) | | Keluar (kJ) | |
|------------|----------------|-------------|-----------------|
| Hin | | Hout | |
| Hin | -6918731745.29 | Hout | -11280129671.57 |
| TOTAL | -6918731745.29 | TOTAL | -11280129671.57 |

$$\begin{aligned} Q_{loss} &= -4,361,397,926.28 \text{ kJ} \\ &= 0.630375347 \% \end{aligned}$$

Absorber Cooler

Fungsi : Menurunkan temperature arus (95)

$$\begin{array}{ll} P(95) = 24 \text{ Bar} & T(95) = 203.16 \\ P(96) = 25 \text{ Bar} & T(96) = 38.09 \end{array}$$

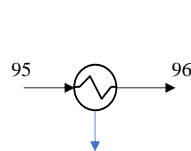


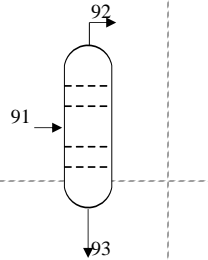
Table IV-2.52

| Inlet | | Outlet | |
|-----------|--------------|-----------|--------------|
| Arus | 95 | Arus | 96 |
| m (Kg) | 1284864.476 | m (Kg) | 1284864.476 |
| Hm (KJ/h) | -3805.430039 | Hm (KJ/h) | -4340.146737 |
| H (KJ/h) | -4889461872 | H (KJ/h) | -5576500362 |
| Arus | QE-301 | | |
| Q (KJ/h) | -687038489.2 | | |
| Total | -5576500362 | Total | -5576500362 |

42. Distilasi D-301

Fungsi : Memisahkan CO2 yang akan di Recycle dan MEA
sehingga menjadi rich MEA yang akan di Backup

$$\begin{array}{lll} T 91 = 145 \text{ Celcius} & P 91 = 29 \text{ Bar} & \\ T 92 = 81.43 \text{ Celcius} & P 92 = 20 \text{ Bar} & \\ T 93 = 272.5 \text{ Celcius} & P 93 = 22 \text{ Bar} & \end{array}$$



Tabel IV-2.53

| Inlet | | Outlet | |
|-----------|--------------|-----------|--------------|
| Arus | 92 | Arus | 93 |
| m (Kg) | 1603833.704 | m (Kg) | 1284864.476 |
| Hm (Kj/h) | -3984.619965 | Hm (Kj/h) | -3394.441989 |
| H (Kj/h) | -6390667799 | H (Kj/h) | -4361397926 |
| Arus | | Arus | 94 |
| m (Kg) | | m (Kg) | 318969.2227 |
| Hm (Kj/h) | | Hm (Kj/h) | -4552.991268 |
| H (Kj/h) | | H (Kj/h) | -1452264086 |
| Total | -6390667799 | Total | -5813662012 |

Tabel IV-2.54

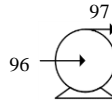
| Neraca Energi D-301 | | | | | |
|---------------------|----------------|-------------|----------------|--------|----------|
| Masuk (kJ) | | Keluar (kJ) | | Q-Cond | Q-Reb |
| Hin | -6390667799.08 | Hout | -5813662012.14 | Kj/hr | 8.83E+08 |
| TOTAL | -6390667799.08 | TOTAL | -5813662012.14 | | 1.46E+09 |

$$\begin{aligned} Q_{loss} &= 577,005,786.93 \text{ kJ} \\ &= -0.090288809 \% \end{aligned}$$

44. Pompa P-300

Fungsi : Menaikkan Tekanan pada arus 95

$$\begin{array}{lll} P(96) = 33 \text{ Bar} & T(96) = 38.05 \\ P(95) = 25 \text{ Bar} & T(95) = 38 \end{array}$$



Tabel IV-2.55

| Inlet | | Outlet | |
|-----------|--------------|-----------|--------------|
| Arus | 96 | Arus | 97 |
| m (Kg) | 1284864.476 | m (Kg) | 1284864.476 |
| Hm (Kj/h) | -4340.146737 | Hm (Kj/h) | -4339.064902 |
| H (Kj/h) | -5576500362 | H (Kj/h) | -5575110351 |
| Arus | QP-300 | | |
| Q (Kj/h) | 1390010.887 | | |
| Total | -5575110351 | Total | -5575110351 |

45. Molecular Sieve Separator (D-310 a/b)

Fungsi: Memisahkan CO₂ & H₂O dari gas dengan Molecular Sieve 4A

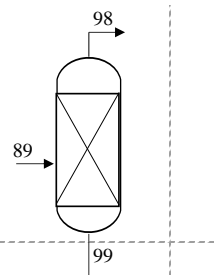
Arus 89: Fase gas dari keluar Kolom absorpsi D-300

Arus 98: Sweet gas dengan kadar CO₂ & H₂O < 1 Ppm

Arus 99: Gas dengan CO₂ & H₂O

Metode pemisahan nitrogen ini disebut dual-reflux pressure swing adsorption (DR PSA) menggunakan molecular sieve MSC-3K 172

Asumsi CO₂ dan H₂O terpisah 100% dari gas



Data Ukuran partikel yang disaring

| Komponen | Diameter (Å) |
|-------------------------------|--------------|
| H ₂ | 1.2 |
| CO ₂ | 2.8 |
| N ₂ | 3 |
| CH ₄ | 4 |
| C ₂ H ₆ | 4.4 |
| H ₂ O | 4.9 |
| C ₃ | 4.9 |

Sumber: PT Badak NGL

Table IV-2.56

| Inlet | | Outlet | |
|-----------|--------------|-----------|--------------|
| Arus | 89 | Arus | 98 |
| m (Kg) | 610735.1601 | m (Kg) | 556522.9241 |
| Hm (Kj/h) | -3984.619965 | Hm (Kj/h) | -288.6966969 |
| H (Kj/h) | -666310854.4 | H (Kj/h) | -160666330 |
| Arus | | Arus | 99 |
| m (Kg) | | m (Kg) | 54212.23596 |
| Hm (Kj/h) | | Hm (Kj/h) | -9327.129115 |
| H (Kj/h) | | H (Kj/h) | -505644524.4 |
| Total | -666310854.4 | Total | -666310854.4 |

46. Demethanizer

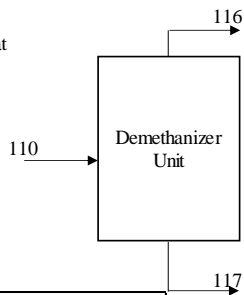
Fungsi : Memisahkan Methane dengan produk yang lebih berat

Kondisi feed masuk :

T = -150 Celcius 123.15 K

P = 29 Bar 2900 Kpa

Komposisi Feed Masuk Kolom Demethanizer D-400



Tablel IV-2.57

| Inlet | | Outlet | |
|--------------|--------------|--------------|--------------|
| Arus | 110 | Arus | 116 |
| m (Kg) | 556522.9241 | m (Kg) | 169447.2162 |
| Hm (Kj/h) | -3984.619965 | Hm (Kj/h) | -5244.25854 |
| H (Kj/h) | -566530272.8 | H (Kj/h) | -888625010.6 |
| Arus | | Arus | 117 |
| m (Kg) | | m (Kg) | 387075.7038 |
| Hm (Kj/h) | | Hm (Kj/h) | 1144.479482 |
| H (Kj/h) | | H (Kj/h) | 443000200.8 |
| Total | -566530272.8 | Total | -445624809.8 |

Tabel IV-2.58
Neraca Energi D-400

| Masuk (kJ) | | Keluar (kJ) | | Q-Cond | Q-Reb |
|--------------|----------------------|--------------|----------------------|--------|-------------------|
| Hin | | Hout | | | |
| Hin | -566530272.83 | Hout | -445624809.76 | | |
| TOTAL | -566530272.83 | TOTAL | -445624809.76 | Kj/hr | 1.15E+08 2.36E+08 |

$$\begin{aligned} Q_{loss} &= 120,905,463.07 \text{ kJ} \\ &= -0.213413950 \% \end{aligned}$$

47. Deethanizer

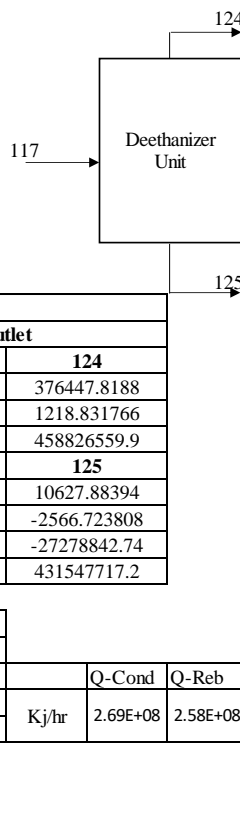
Fungsi : Memisahkan Ethane dengan produk yang lebih berat

Kondisi feed masuk :

$$T = -14.61 \text{ Celcius} \quad 258.54 \text{ K}$$

$$P = 26 \text{ Bar} \quad 2600 \text{ Kpa}$$

Komposisi Feed Masuk Kolom Deethanizer D-401



Tabel IV-2.59

| Inlet | | Outlet | |
|-----------|-------------|-----------|--------------|
| Arus | 117 | Arus | 124 |
| m (Kg) | 387075.7038 | m (Kg) | 376447.8188 |
| Hm (KJ/h) | 1144.479482 | Hm (KJ/h) | 1218.831766 |
| H (KJ/h) | 443000200.8 | H (KJ/h) | 458826559.9 |
| Arus | | Arus | 125 |
| m (Kg) | | m (Kg) | 10627.88394 |
| Hm (KJ/h) | | Hm (KJ/h) | -2566.723808 |
| H (KJ/h) | | H (KJ/h) | -27278842.74 |
| Total | 443000200.8 | Total | 431547717.2 |

Tabel IV-2.60
Neraca Energi D-401

| Masuk (kJ) | | Keluar (kJ) | | Q-Cond Kj/hr | Q-Reb 2.69E+08 |
|------------|--------------|--------------|--------------|-----------------|-------------------|
| Hin | | Hout | | | |
| Hin | 443000200.83 | Hout | 431547717.19 | | |
| TOTAL | 443000200.83 | TOTAL | 431547717.19 | | |

$$\begin{aligned} Q_{loss} &= -11,452,483.64 \text{ kJ} \\ &= -0.025852096 \% \end{aligned}$$

48. C2 Splitter

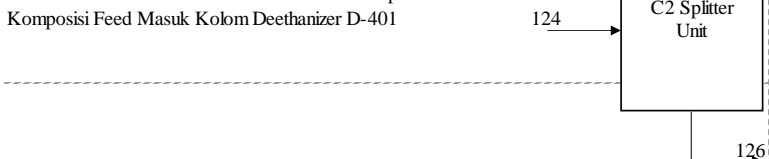
Fungsi : Memisahkan Ethane dengan produk Ethane dan Asethylene

Kondisi feed masuk :

T = -27.85 Celcius 245.3 K

P = 20 Bar 2000 Kpa

Komposisi Feed Masuk Kolom Deethanizer D-401



Tabel IV-2.61

| Inlet | | Outlet | |
|--------------|-------------|---------------|-----------------|
| Arus | 124 | Arus | Ethylene |
| m (Kg) | 376447.8188 | m (Kg) | 345880.2297 |
| Hm (Kj/h) | 1218.831766 | Hm (Kj/h) | 1479.329751 |
| H (Kj/h) | 458826559.9 | H (Kj/h) | 511670914.1 |
| Arus | | Arus | 126 |
| m (Kg) | | m (Kg) | 30567.58578 |
| Hm (Kj/h) | | Hm (Kj/h) | -2594.263659 |
| H (Kj/h) | | H (Kj/h) | -79300376.94 |
| Total | 458826559.9 | Total | 432370537.1 |

Tabel IV-2.62

Neraca Energi D-402

| Masuk (kJ) | Keluar (kJ) | | Q-Cond | Q-Reb |
|--------------|---------------------|--------------|---------------------|-------------------------|
| Hin | 458826559.94 | Hout | 432370537.12 | |
| TOTAL | 458826559.94 | TOTAL | 432370537.12 | Kj/hr 7.42E+08 7.16E+08 |

$$\begin{aligned} Q_{loss} &= -26,456,022.82 \text{ kJ} \\ &= -0.057660182 \% \end{aligned}$$

49. Dehydrogenation Reactor

Fungsi : Mereaksikan Mendehidrogenasikan Ethane pada bottom produk C2 Splitter

Arus 118 = Methane Recycle dari C2 Splitter

Arus 119 = campuran Ethylene,hidrogen,dan asetylene dari

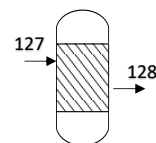
Dehydrogenation reactor (R-101)

Reaksi utama:



$$T(127) = 479.6 \quad P(127) = 7 \text{ Bar}$$

$$T(128) = 352.4 \quad P(128) = 7 \text{ Bar}$$



Tabel IV-2.63

| Inlet | | Outlet | |
|-----------|--------------|-----------|--------------|
| Arus | 127 | Arus | 128 |
| m (Kg) | 30566.39399 | m (Kg) | 30566.39399 |
| Hm (KJ/h) | 1218.831766 | Hm (KJ/h) | -1150.528662 |
| H (KJ/h) | -35167512.39 | H (KJ/h) | -35167512.39 |
| Total | -35167512.39 | Total | -35167512.39 |

50. Dehydrogenation Reactor

Fungsi : Mereaksikan Mendehidrogenasikan Ethane pada bottom produk C2 Splitter

Arus 119 = campuran Ethylene,Asetylen,& H2 dari dehidrogenator

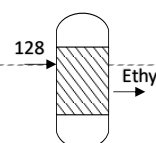
Arus 121 = Ethylene dari Hidrogenator

Reaksi utama:



$$T(119) = 352.4 \quad P(119) = 7 \text{ Bar}$$

$$T(121) = 422.5 \quad P(121) = 7 \text{ Bar}$$



Tabel IV-2.64

| Inlet | | Outlet | |
|--------------|--------------|--------------|--------------|
| Arus | 128 | Arus | Ethyl |
| m (Kg) | 30566.39399 | m (Kg) | 30703.54195 |
| Hm (Kj/h) | -1150.528662 | Hm (Kj/h) | -1145.075373 |
| H (Kj/h) | -35167512.39 | H (Kj/h) | -35157869.76 |
| Inlet | | Outlet | |
| Arus | H2 | Arus | |
| m (Kg) | 137.1615344 | m (Kg) | |
| Hm (Kj/h) | -1150.528662 | Hm (Kj/h) | |
| H (Kj/h) | 9642.660408 | H (Kj/h) | |
| Total | -35157869.73 | Total | -35157869.76 |

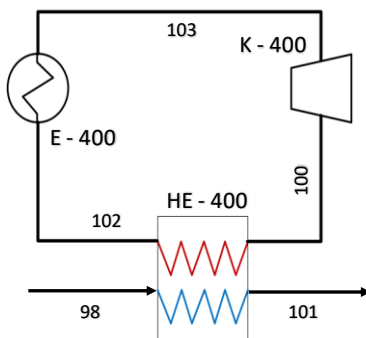
Tabel IV-2.65

| Neraca Energi D-402 | | | |
|---------------------|---------------------|--------------|---------------------|
| Masuk (kJ) | | Keluar (kJ) | |
| Hin | -35157869.73 | Hout | -35157869.76 |
| TOTAL | -35157869.73 | TOTAL | -35157869.76 |

$$\begin{aligned} Q_{loss} &= -0.03 \text{ kJ} \\ &= 0.000000001 \% \end{aligned}$$

Refrigeration Unit

51. First Refrigeration

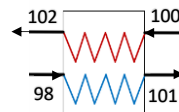


Fungsi : Menurunkan suhu Sales Gas hingga mencapai sekitar -40 Celcius

51-1 LNG-400

Fungsi : Menukar Panas sales gas dengan menggunakan Propane
Sebagai Refrigerant Hingga mencapai -40 Celcius

$$\begin{array}{ll}
 T(98) = 55 \text{ Celcius} & P(98) = 30 \\
 T(101) = -40 \text{ Celcius} & P(101) = 29.93 \\
 T(100) = -50 \text{ Celcius} & P(100) = 0.7105 \\
 T(102) = -31.218 \text{ Celcius} & P(102) = 1.6
 \end{array}$$



Tabel IV-2.66

| Inlet | | Outlet | |
|-----------------|--------------|------------------|--------------|
| Arus | 98 | Arus | 101 |
| m (Kg) | 556522.9241 | m (Kg) | 556522.9241 |
| Hm (Kj/h) | 1218.831766 | Hm (Kj/h) | -63.19148927 |
| H (Kj/h) | -35167512.39 | H (Kj/h) | -35167512.39 |
| Total | -160666330 | Total | -324707796.1 |
| Inlet | | Outlet | |
| Arus | 100 | Arus | 102 |
| m (Kg) | 439268.5822 | m (Kg) | 30566.39399 |
| Hm (Kj/h) | 1218.831766 | Hm (Kj/h) | -1150.528662 |
| H (Kj/h) | -35167512.39 | H (Kj/h) | -35167512.39 |
| Total | -1276066362 | Total | -1112024896 |
| Total In | -1436732692 | Total Out | -1436732692 |

Tabel IV-2.67

| Neraca Energi D-402 | | | |
|---------------------|-----------------------|--------------|-----------------------|
| Masuk (kJ) | | Keluar (kJ) | |
| Hin | -1436732691.77 | Hout | -1436732691.64 |
| TOTAL | -1436732691.77 | TOTAL | -1436732691.64 |

$$\begin{aligned} Q_{loss} &= 0.14 \text{ kJ} \\ &= 0.000000000 \% \end{aligned}$$

51-2. Cooler

Fungsi : Menurunkan temperatur arus (95)

$$\begin{array}{lll} P(102) = 1.6 \text{ Bar} & T(102) = -31.218 \\ P(103) = 1.6 \text{ Bar} & T(103) = -50.038 \end{array}$$

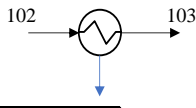


Table IV-2.68

| Inlet | | Outlet | |
|-----------|--------------|-----------|--------------|
| Arus | 102 | Arus | 103 |
| m (Kg) | 439268.5822 | m (Kg) | 439268.5822 |
| Hm (KJ/h) | -2531.537516 | Hm (KJ/h) | -2904.979808 |
| H (KJ/h) | -1112024896 | H (KJ/h) | -1276066362 |
| Arus | QE-400 | | |
| Q (KJ/h) | -164041466.3 | | |
| Total | -1276066362 | Total | -1276066362 |

51-3. Expander

Fungsi : Menurunkan Tekanan Pada arus yang diinginkan

$$P_{103} = 1.6 \text{ Bar} \quad T_{103} = -50.038$$

$$P_{100} = 0.7105 \text{ Bar} \quad T_{100} = -50 \quad 103 \rightarrow 100$$

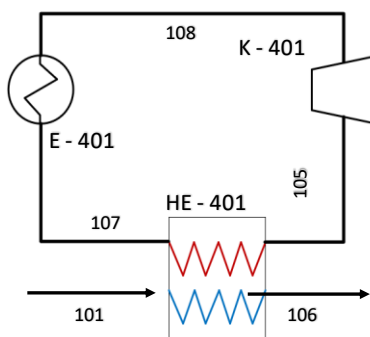
Pada Booster compressor tidak terjadi perubahan komposisi dan flowrate

Sehingga Komposisi dan flowrate pada arus (16) = (17)

Table IV-2.69

| Inlet | | Outlet | |
|-----------|-------------|-----------|-------------|
| Arus | 103 | Arus | 100 |
| m (Kg) | 9961.416446 | m (Kg) | 9961.416446 |
| Hm (KJ/h) | -128100.895 | Hm (KJ/h) | -128100.895 |
| H (KJ/h) | -1276066362 | H (KJ/h) | -1276066362 |
| Arus | QK-400 | | |
| Q (KJ/h) | 0 | | |
| Total | -1276066362 | Total | -1276066362 |

52. Secondary Refrigeration



Fungsi : Menurunkan suhu Sales Gas hingga mencapai sekitar -90 Celcius

52-1 LNG-401

Fungsi : Menukar Panas sales gas dengan menggunakan Ethylene
Sebagai Refrigerant Hingga mencapai -40 Celcius

| | | | |
|-----------|-----------------|----------|-------|
| T (101) = | -40 Celcius | P (101)= | 29.93 |
| T (106) = | -90 Celcius | P (106)= | 29.86 |
| T (105) = | -100 Celcius | P (105)= | 1.278 |
| T (107) = | -91.453 Celcius | P (107)= | 2 |

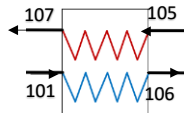


Table IV-2.70

| Inlet | | Outlet | |
|-----------|--------------|-----------|--------------|
| Arus | 101 | Arus | 106 |
| m (Kg) | 556522.9241 | m (Kg) | 556522.9241 |
| Hm (Kj/h) | 1218.831766 | Hm (Kj/h) | -63.19148927 |
| H (Kj/h) | -35167512.39 | H (Kj/h) | -35167512.39 |
| Total | -324707796.1 | Total | -520479987.7 |
| Inlet | | Outlet | |
| Arus | 105 | Arus | 107 |
| m (Kg) | 419183.3857 | m (Kg) | 30566.39399 |
| Hm (Kj/h) | 1218.831766 | Hm (Kj/h) | -1150.528662 |
| H (Kj/h) | -35167512.39 | H (Kj/h) | -35167512.39 |
| Total | 508593396.6 | Total | 704365588.1 |
| Total In | 183885600.5 | Total Out | 183885600.4 |

Table IV-2.71

Neraca Energi D-402

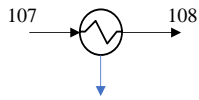
| Masuk (kJ) | | Keluar (kJ) | |
|------------|--------------|-------------|--------------|
| Hin | 183885600.53 | Hout | 183885600.44 |
| TOTAL | 183885600.53 | TOTAL | 183885600.44 |

$$\begin{aligned} Q_{loss} &= -0.09 \text{ kJ} \\ &= 0.000000000 \% \end{aligned}$$

52-2. Cooler

Fungsi : Menurunkan temperatur arus (95)

| | | | |
|-----------|---------|----------|---------|
| P (107) = | 2 Bar | T (107)= | -91.453 |
| P (108) = | 1.5 Bar | T (108)= | -100.01 |



Tabel IV-2.72

| Inlet | | Outlet | |
|-----------|--------------|-----------|-------------|
| Arus | 107 | Arus | 108 |
| m (Kg) | 419183.3857 | m (Kg) | 419183.3857 |
| Hm (KJ/h) | 1680.328019 | Hm (KJ/h) | 1213.295693 |
| H (KJ/h) | 704365588.1 | H (KJ/h) | 508593396.6 |
| Arus | QE-401 | | |
| Q (KJ/h) | -195772191.5 | | |
| Total | 508593396.6 | Total | 508593396.6 |

52-3. Expander

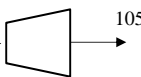
Fungsi : Menurunkan Tekanan Pada arus yang diinginkan

$$P108 = 1.5 \text{ Bar} \quad T108 = -100.01$$

$$P105 = 1.278 \text{ Bar} \quad T105 = -100$$

Pada Booster compressor tidak terjadi perubahan komposisi dan flowrate

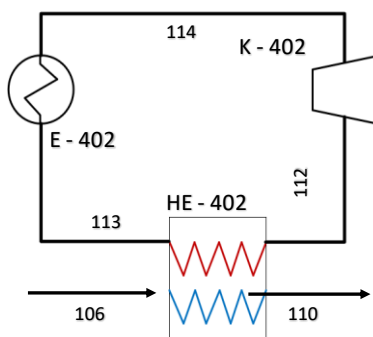
Sehingga Komposisi dan flowrate pada arus (16) = (17)



Tabel IV-2.73

| Inlet | | Outlet | |
|-----------|--------------|-----------|--------------|
| Arus | 108 | Arus | 105 |
| m (Kg) | 419183.3857 | m (Kg) | 419183.3857 |
| Hm (KJ/h) | 1213.295693 | Hm (KJ/h) | 1218.831766 |
| H (KJ/h) | 508593396.6 | H (KJ/h) | -35167512.39 |
| Arus | QK-400 | | |
| Q (KJ/h) | -543760909 | | |
| Total | -35167512.39 | Total | -35167512.39 |

53. Third Refrigeration



Fungsi : Menurunkan suhu Sales Gas hingga mencapai sekitar -120 Celcius

53-1 LNG-402

Fungsi : Menukar Panas sales gas dengan menggunakan Ethylene Sebagai Refrigerant Hingga mencapai -40 Celcius

| | | | | |
|-----------|---------|---------|----------|-------|
| T (106) = | -90 | Celcius | P (106)= | 29.86 |
| T (110) = | -120 | Celcius | P (110)= | 29.72 |
| T (112) = | -150 | Celcius | P (112)= | 2.402 |
| T (113) = | -108.86 | Celcius | P (113)= | 3 |

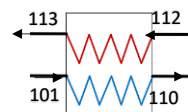


Table IV-2.74

| Inlet | | Outlet | |
|-----------|--------------|-----------|--------------|
| Arus | 106 | Arus | 110 |
| m (Kg) | 556522.9241 | m (Kg) | 556522.9241 |
| Hm (Kj/h) | -63.19148927 | Hm (Kj/h) | -1017.981916 |
| H (Kj/h) | -35167512.39 | H (Kj/h) | -566530272.8 |
| Total | -35167512.39 | Total | -566530272.8 |
| Inlet | | Outlet | |
| Arus | 112 | Arus | 113 |
| m (Kg) | 79905.00437 | m (Kg) | 79905.00437 |
| Hm (Kj/h) | 1218.831766 | Hm (Kj/h) | -4961.569641 |
| H (Kj/h) | -442504529.1 | H (Kj/h) | -396454243.9 |
| Total | -442504529.1 | Total | -396454243.9 |
| Total In | -477672041.4 | Total Out | -962984516.7 |

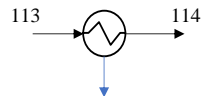
| Tabel IV-2.75 | | | |
|-----------------------|---------------|-------|---------------|
| Neraca Energi LNG-402 | | | |
| | Masuk (kJ) | | Keluar (kJ) |
| Hin | -477672041.45 | Hout | -962984516.73 |
| TOTAL | -477672041.45 | TOTAL | -962984516.73 |

$$\begin{aligned} Q_{loss} &= -485,312,475.28 \text{ kJ} \\ &= 1.015995146 \% \end{aligned}$$

53-2. Cooler

Fungsi : Menurunkan temperatur arus (95)

$$\begin{array}{lll} P(113) = 3 \text{ Bar} & T(113) = -91.453 \\ P(114) = 2.6 \text{ Bar} & T(114) = -100.01 \end{array}$$



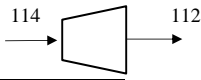
| Tabel IV-2.76 | | | |
|---------------|--------------|-----------|--------------|
| Inlet | | Outlet | |
| Arus | 113 | Arus | 114 |
| m (Kg) | 79905.00437 | m (Kg) | 79905.00437 |
| Hm (Kj/h) | -4961.569641 | Hm (Kj/h) | -5537.882546 |
| H (Kj/h) | -396454243.9 | H (Kj/h) | -442504529.1 |
| Arus | QE-402 | | |
| Q (Kj/h) | -46050285.16 | | |
| Total | -442504529.1 | Total | -442504529.1 |

53-3. Expander

Fungsi : Menurunkan Tekanan Pada arus yang diinginkan

$$\begin{array}{lll} P114 = 2.6 \text{ Bar} & T114 = -100.01 \\ P112 = 2.402 \text{ Bar} & T112 = -150 \end{array}$$

Pada Booster compressor tidak terjadi perubahan komposisi dan flowrate
Sehingga Komposisi dan flowrate pada arus (114) = (112)



Tabel IV-2.77

| Inlet | | Outlet | |
|-----------|---------------|-----------|--------------|
| Arus | 114 | Arus | 112 |
| m (Kg) | 79905.00437 | m (Kg) | 79905.00437 |
| Hm (Kj/h) | -5537.882546 | Hm (Kj/h) | 1218.831766 |
| H (Kj/h) | -442504529.1 | H (Kj/h) | -442504529.1 |
| Arus | QK-400 | | |
| Q (Kj/h) | 0 | | |
| Total | -442504529.1 | Total | -442504529.1 |

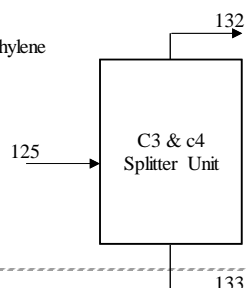
52. C3 & C4 Splitter

Fungsi : Memisahkan Ethane dengan produk Ethane dan Asethylene

Kondisi feed masuk :

T = 125.2 Celcius 398.35 K
P = 21 Bar 2100 Kpa

Komposisi Feed Masuk Kolom Deethanizer D-401



Tabel IV-2.61

| Inlet | | Outlet | |
|-----------|------------|-----------|--------------|
| Arus | 125 | Arus | 132 |
| m (Kg) | 93460 | m (Kg) | 30030 |
| Hm (Kj/h) | -2218 | Hm (Kj/h) | -2623 |
| H (Kj/h) | -207300000 | H (Kj/h) | -78780000 |
| Arus | | Arus | 133 |
| m (Kg) | | m (Kg) | 63430 |
| Hm (Kj/h) | | Hm (Kj/h) | -2382.153555 |
| H (Kj/h) | | H (Kj/h) | -151100000 |
| Total | -207300000 | Total | -229880000 |

Tabel IV-2.62

Neraca Energi D-402

| Masuk (kJ) | | Keluar (kJ) | | Q-Cond | Q-Reb |
|------------|---------------|--------------|---------------|--------|------------------|
| Hin | -207300000.00 | Hout | -229880000.00 | | |
| TOTAL | -207300000.00 | TOTAL | -229880000.00 | Kj/hr | 23960000 1425000 |

$$\begin{aligned} Q_{loss} &= -22,580,000.00 \text{ kJ} \\ &= 0.108924264 \% \end{aligned}$$

BAB V

DAFTAR DAN HARGA PERALATAN

Pada bab ini disajikan daftar dan harga alat yang akan digunakan di *plant* yang berupa sistem reaksi, sistem purifikasi, dan sistem pemisahan.

V.1 Spesifikasi Alat pada Sistem Reaksi

Tabel V.1 Sales Gas Pre-Heater (E-100)

| Spesifikasi | Keterangan | | | |
|--------------------|---|---|-----------|----------------------------------|
| No. kode | E-100 | | | |
| Fungsi | Memanaskan feed gas alam yang akan memasuki Reaktor OCM | | | |
| Ketentuan | Shell and Tube 2-6 Exchanger | | | |
| Bahan | Carbon steel | | | |
| Suhu masuk | Arus 67 | = | 1403 | °C |
| | Arus Sales Gas | = | 30.0 | °C |
| Suhu keluar | Arus 67 | = | 1286 | °C |
| | Arus Sales Gas | = | 400 | °C |
| Ketentuan | Rd | > | 0.003 | (hr)(ft ²)(°F)/(btu) |
| | ΔP Liquid | < | 10 | psi |
| | ΔP Gas | < | 2 | psi |
| Shell | ID | = | 12 | in |
| | Baffle | = | 4 4/5 | in |
| | Passes | = | 2 | |
| | ΔP | = | 88035.269 | psi |

| | | | | |
|-----------|------------|---|--------|----------------------------------|
| Tube | OD | = | 1.5 | in |
| | ID | = | 1.4 | in |
| | BWG | = | 18 | |
| | Pitch | = | 1.8750 | in square |
| | Panjang | = | 25 | ft |
| | Jumlah | = | 115 | |
| | Passes | = | 1 | |
| | ΔP | = | 1.747 | psi |
| Rd | 0.08929 | | | (hr)(ft ²)(°F)/(btu) |
| Luas area | 564.4 | | | ft ² |
| Jumlah | 7 | | | bah |

Tabel V.2 Oxygen Preheater (E-101)

| Spesifikasi | Keterangan | | | |
|-------------|---|---|---------|----------------------------------|
| No. kode | E-101 | | | |
| Fungsi | Memanaskan feed O ₂ yang akan memasuki Reaktor OCM | | | |
| Ketentuan | Shell and Tube 2-6 Exchanger | | | |
| Bahan | Carbon steel | | | |
| Suhu masuk | Arus 56 | = | 1286 | °C |
| | O ₂ | = | 316.4 | °C |
| Suhu keluar | Arus 56 | = | 1277.43 | °C |
| | O ₂ | = | 400 | °C |
| Ketentuan | Rd | > | 0.003 | (hr)(ft ²)(°F)/(btu) |
| | ΔP | < | 10 | psi |

| | | | | |
|-----------|----------------|---------|----------------------------------|-----------|
| | Liquid | | | |
| | ΔP Gas | < | 2 | psi |
| Shell | ID | = | 39 | in |
| | Baffle | = | 15 3/5 | in |
| | Passes | = | | 2 |
| | ΔP | = | 55199.271 | psi |
| Tube | OD | = | 1.5 | in |
| | ID | = | 1.4 | in |
| | BWG | = | | 18 |
| | Pitch | = | 1.8750 | in square |
| | Panjang | = | 39 | ft |
| | Jumlah | = | | 307 |
| | Passes | = | | 1 |
| | ΔP | = | 2.136 | psi |
| Rd | | 3.12372 | (hr)(ft ²)(°F)/(btu) | |
| Luas area | | 4699.4 | ft ² | |
| Jumlah | | 4 | bahan | |

Tabel V.3 Sales Gas-Ethane Heat Exchanger (E-200)

| Spesifikasi | Keterangan |
|-------------|---|
| No. kode | E-200 |
| Fungsi | Menukar Panas Sales Gas & Produk Ethane Recycle |
| Ketentuan | Shell and Tube 2-6 Exchanger |
| Bahan | Carbon steel |

| | | | | |
|-------------|-----------|---|-----------|----------------------------------|
| Suhu masuk | Arus 64 | = | 1277.43 | °C |
| | Arus 126 | = | -29.7 | °C |
| Suhu keluar | Arus 64 | = | 1268.433 | °C |
| | Arus 126 | = | 400 | °C |
| Ketentuan | Rd | > | 0.003 | (hr)(ft ²)(°F)/(btu) |
| | ΔP Liquid | < | 10 | psi |
| | ΔP Gas | < | 2 | psi |
| Shell | ID | = | 12 | in |
| | Baffle | = | 4 4/5 | in |
| | Passes | = | 2 | |
| | ΔP | = | 6499177.2 | psi |
| Tube | OD | = | 1.5 | in |
| | ID | = | 1.4 | in |
| | BWG | = | 18 | |
| | Pitch | = | 1.8750 | in square |
| | Panjang | = | 39 | ft |
| | Jumlah | = | 307 | |
| | Passes | = | 1 | |
| | ΔP | = | 0.015 | psi |
| Rd | 3.47939 | | | (hr)(ft ²)(°F)/(btu) |
| Luas area | 4699.4 | | | ft ² |
| Jumlah | 4 | | | bubah |

Tabel V.4 Sales gas-Methane Heat Exchanger (E-201)

| Spesifikasi | Keterangan | | | |
|--------------------|--|---|------------|----------------------------------|
| No. kode | E-201 | | | |
| Fungsi | Menukar Panas Sales Gas & Produk Methane Recycle | | | |
| Ketentuan | Shell and Tube 2-6 Exchanger | | | |
| Bahan | Carbon steel | | | |
| Suhu masuk | Arus 69 | = | 1268.43267 | °C |
| | Arus 116 | = | -101.2 | °C |
| Suhu keluar | Arus 69 | = | 1207.76869 | °C |
| | Arus 116 | = | 400 | °C |
| Ketentuan | Rd | > | 0.003 | (hr)(ft ²)(°F)/(btu) |
| | ΔP Liquid | < | 10 | psi |
| | ΔP Gas | < | 2 | psi |
| Shell | ID | = | 12 | in |
| | Baffle | = | 4 4/5 | in |
| | Passes | = | 2 | |
| | ΔP | = | 8267451.5 | psi |
| Tube | OD | = | 1.5 | in |
| | ID | = | 1.4 | in |
| | BWG | = | 18 | |
| | Pitch | = | 1.8750 | in square |
| | Panjang | = | 39 | ft |
| | Jumlah | = | 307 | |
| | Passes | = | 1 | |

| | | | | |
|-----------|------------|---|---------|----------------------------------|
| | ΔP | = | 0.021 | psi |
| Rd | | | 0.51482 | (hr)(ft ²)(°F)/(btu) |
| Luas area | | | 4699.4 | ft ² |
| Jumlah | | | 4 | bah |

Tabel V.5 Sales Gas-CO2 Heat Exchanger (E-202)

| Spesifikasi | Keterangan | | | |
|-------------|--|---|------------|----------------------------------|
| No. kode | E-202 | | | |
| Fungsi | Menukar Panas Sales Gas & Produk CO2 Recycle | | | |
| Ketentuan | Shell and Tube 2-6 Exchanger | | | |
| Bahan | Carbon steel | | | |
| Suhu masuk | Arus 70 | = | 1207.76869 | °C |
| | Arus 121 | = | -50.0 | °C |
| Suhu keluar | Arus 70 | = | 1202.39092 | °C |
| | Arus 121 | = | 400 | °C |
| Ketentuan | Rd | > | 0.003 | (hr)(ft ²)(°F)/(btu) |
| | ΔP Liquid | < | 10 | psi |
| | ΔP Gas | < | 2 | psi |
| Shell | ID | = | 12 | in |
| | Baffle | = | 4 4/5 | in |
| | Passes | = | 2 | |
| | ΔP | = | 25390.045 | psi |

| | | | | |
|-----------|------------|---|---------|----------------------------------|
| Tube | OD | = | 1.5 | in |
| | ID | = | 1.4 | in |
| | BWG | = | 18 | |
| | Pitch | = | 1.8750 | in square |
| | Panjang | = | 39 | ft |
| | Jumlah | = | 307 | |
| | Passes | = | 1 | |
| | ΔP | = | 0.326 | psi |
| Rd | | | 0.34041 | (hr)(ft ²)(°F)/(btu) |
| Luas area | | | 4699.4 | ft ² |
| Jumlah | | | 1 | buaht |

Tabel V.6 CO2-MEA Heat Exchanger (E-300)

| Spesifikasi | Keterangan | | | |
|-------------|---|---|------------|----------------------------------|
| No. kode | E-300 | | | |
| Fungsi | Menumkar Panas produk bawah kolom absorpsi dan produk bawah D-301 | | | |
| Ketentuan | Shell and Tube 2-6 Exchanger | | | |
| Bahan | Carbon steel | | | |
| Suhu masuk | Arus 93 | = | 299.399993 | °C |
| | Arus 91 | = | 41.1 | °C |
| Suhu keluar | Arus 93 | = | 203.155391 | °C |
| | Arus 91 | = | 145 | °C |
| Ketentuan | Rd | > | 0.003 | (hr)(ft ²)(°F)/(btu) |
| | ΔP | < | 10 | psi |

| | | | | |
|-----------|----------------|---------|----------------------------------|-----------|
| | Liquid | | | |
| | ΔP Gas | < | 2 | psi |
| Shell | ID | = | 12 | in |
| | Baffle | = | 4 4/5 | in |
| | Passes | = | | 2 |
| | ΔP | = | 2.182 | psi |
| Tube | OD | = | 1.5 | in |
| | ID | = | 1.4 | in |
| | BWG | = | | 18 |
| | Pitch | = | 1.8750 | in square |
| | Panjang | = | 39 | ft |
| | Jumlah | = | | 307 |
| | Passes | = | | 1 |
| | ΔP | = | 0.084 | psi |
| Rd | | 0.01077 | (hr)(ft ²)(°F)/(btu) | |
| Luas area | | 4699.4 | ft ² | |
| Jumlah | | 2 | bahan | |

Tabel V.7 Sales Gas-Propane Heat Exchanger (LNG-400)

| Spesifikasi | Keterangan |
|-------------|--|
| No. kode | LNG-400 |
| Fungsi | Menukar Panas produk atas Molecular Sieve dengan refrigerant Propane |
| Ketentuan | Shell and Tube 2-6 Exchanger |
| Bahan | Carbon steel |

| | | | | |
|-------------|----------------------|---|---|---|
| Suhu masuk | Arus 98 | = | 55 | $^{\circ}\text{C}$ |
| | Arus 100 | = | -50.0 | $^{\circ}\text{C}$ |
| Suhu keluar | Arus 98 | = | -40 | $^{\circ}\text{C}$ |
| | Arus 100 | = | -31 | $^{\circ}\text{C}$ |
| Ketentuan | Rd | > | 0.003 | $(\text{hr})(\text{ft}^2)(^{\circ}\text{F})/(\text{btu})$ |
| | ΔP Liquid | < | 3 | psi |
| | ΔP Gas | < | 2 | psi |
| Shell | ID | = | 12 | in |
| | Baffle | = | 4 4/5 | in |
| | Passes | = | 2 | |
| | ΔP | = | 2.052 | psi |
| Tube | OD | = | 1.5 | in |
| | ID | = | 1.4 | in |
| | BWG | = | 18 | |
| | Pitch | = | 1.8750 | in square |
| | Panjang | = | 39 | ft |
| | Jumlah | = | 307 | |
| | Passes | = | 1 | |
| | ΔP | = | 0.018 | psi |
| Rd | 0.00601 | | $(\text{hr})(\text{ft}^2)(^{\circ}\text{F})/(\text{btu})$ | |
| Luas area | 4699.4 | | ft^2 | |
| Jumlah | 4 | | buah | |

Tabel V.8 Process gas-ethylene Heat Exchanger (LNG-401)

| Spesifikasi | Keterangan | | | |
|--------------------|---|---|--------|----------------------------------|
| No. kode | LNG-401 | | | |
| Fungsi | Menukar Panas Process Gas dengan refrigerant Ethylene | | | |
| Ketentuan | Shell and Tube 2-6 Exchanger | | | |
| Bahan | Carbon steel | | | |
| Suhu masuk | Arus 101 | = | -40 | °C |
| | Arus 105 | = | -100.0 | °C |
| Suhu keluar | Arus 101 | = | -90 | °C |
| | Arus 105 | = | -91 | °C |
| Ketentuan | Rd | > | 0.003 | (hr)(ft ²)(°F)/(btu) |
| | ΔP Liquid | < | 3 | psi |
| | ΔP Gas | < | 2 | psi |
| Shell | ID | = | 39 | in |
| | Baffle | = | 15 3/5 | in |
| | Passes | = | 2 | |
| | ΔP | = | 0.024 | psi |
| Tube | OD | = | 1.5 | in |
| | ID | = | 1.4 | in |
| | BWG | = | 18 | |
| | Pitch | = | 1.8750 | in square |
| | Panjang | = | 39 | ft |
| | Jumlah | = | 307 | |

| | | | | |
|-----------|------------|---|-------------------------------|--|
| | Passes | = | 1 | |
| | ΔP | = | 0.019 psi | |
| Rd | 0.00282 | | $(hr)(ft^2)(^{\circ}F)/(btu)$ | |
| Luas area | 4699.4 | | ft ² | |
| Jumlah | 2 | | buah | |

Tabel V.9 Process gas-methane Heat Exchanger (LNG 402)

| Spesifikasi | Keterangan | | | |
|-------------|---|---|--------|-------------------------------|
| No. kode | LNG-402 | | | |
| Fungsi | Menukar Panas Process Gas dengan refrigerant Ethylene | | | |
| Ketentuan | Shell and Tube 2-6 Exchanger | | | |
| Bahan | Carbon steel | | | |
| Suhu masuk | Arus 106 | = | -90 | °C |
| | Arus 112 | = | -150.0 | °C |
| Suhu keluar | Arus 106 | = | -120 | °C |
| | Arus 112 | = | -109 | °C |
| Ketentuan | Rd | > | 0.003 | $(hr)(ft^2)(^{\circ}F)/(btu)$ |
| | ΔP Liquid | < | 3 | psi |
| | ΔP Gas | < | 2 | psi |
| Shell | ID | = | 39 | in |
| | Baffle | = | 15 3/5 | in |

| | | | | |
|-----------|------------|---|---------|----------------------------------|
| | Passes | = | 2 | |
| | ΔP | = | 0.003 | psi |
| Tube | OD | = | 1.5 | in |
| | ID | = | 1.4 | in |
| | BWG | = | 18 | |
| | Pitch | = | 1.8750 | in square |
| | Panjang | = | 39 | ft |
| | Jumlah | = | 307 | |
| | Passes | = | 1 | |
| | ΔP | = | 0.016 | psi |
| Rd | | | 0.01081 | (hr)(ft ²)(°F)/(btu) |
| Luas area | | | 4699.4 | ft ² |
| Jumlah | | | 2 | bah |

Tabel V.10 Pre Air-Cooler (E-201)

| Spesifikasi | Keterangan | |
|------------------------|------------------------------------|----|
| No. Kode | Pre Compressor Air Cooler (E-210) | |
| Fungsi | Mendinginkan udara keluaran HE-202 | |
| Tipe | Induced draft | |
| N (number of row) | 6 | |
| Nt (Number of Tube) | 313.367074 | |
| L (Length of Tube) | 40 | ft |
| Diameter Fan | 1.888154217 | ft |

| | | | | |
|----------------------|--------------|-------|-------------|-------|
| Power | 1300.190865 | HP | | |
| Jumlah fan | 30 | | | |
| Kapasitas | 2972000 | lb/hr | 1348075.424 | Kg/hr |
| Rate Udara | 93446061.45 | lb/hr | 42386385.91 | Kg/hr |
| Bahan Tube | Carbon Steel | | | |
| Bahan Header | Carbon Steel | | | |
| Fintube OD (inch) | 1 | | | |
| Tube Pitch (inch) | 2 | | | |

Tabel V.11 1st Stage Compressor Air Cooler (E-211)

| Spesifikasi | Keterangan | | |
|------------------------|--|-------|------------------|
| No. Kode | 1st Stage Compressor Air Cooler (E-211) | | |
| Fungsi | Mendinginkan udara keluaran 1st Stage Compressor | | |
| Tipe | Induced draft | | |
| N (number of row) | 6 | | |
| Nt (Number of Tube) | 46.09430542 | | |
| L (Length of Tube) | 40 | ft | |
| Diameter Fan | 1.402329445 | ft | |
| Power | 13.59999499 | HP | |
| Jumlah fan | 8 | | |
| Kapasitas | 1823000 | lb/hr | 826898.216 Kg/hr |

| | | | | |
|-------------------|--------------|-------|-------------|-------|
| Rate Udara | 3665419.167 | lb/hr | 1662604.811 | Kg/hr |
| Bahan Tube | Carbon Steel | | | |
| Bahan Header | Carbon Steel | | | |
| Fintube OD (inch) | 1 | | | |
| Tube Pitch (inch) | 2 | | | |

Tabel V.12 3rd Stage Compressor Air Cooler (E-212)

| Spesifikasi | Keterangan | | | |
|---------------------|--|-------|-------------|-------|
| No. Kode | 3nd Stage Compressor Air Cooler (E-212) | | | |
| Fungsi | Mendinginkan udara keluaran 2st Stage Compressor | | | |
| Tipe | Induced draft | | | |
| N (number of row) | 6 | | | |
| Nt (Number of Tube) | 2.632366968 | | | |
| L (Length of Tube) | 40 | | ft | |
| Diameter Fan | 0.423896297 | | ft | |
| Power | 0.303387985 | | HP | |
| Jumlah fan | 5 | | | |
| Kapasitas | 68280 | lb/hr | 30971.26176 | Kg/hr |
| Rate Udara | 130828.6383 | lb/hr | 59342.82371 | Kg/hr |
| Bahan Tube | Carbon Steel | | | |

| | |
|-------------------|--------------|
| Bahan Header | Carbon Steel |
| Fintube OD (inch) | 1 |
| Tube Pitch (inch) | 2 |

Tabel V.13 1st to 3rd Stage Compressor (G-210 – G-212)

| Spesifikasi | Keterangan | | | | | |
|--------------------|--|------|-----|------------|-------|----|
| Kode | G-210 - G-212 | | | | | |
| Type | Centrifugal Compressor | | | | | |
| Fungsi | Menaikkan tekanan gas produk dari reaktor menuju proses pengolahan | | | | | |
| Jumlah stage | 3 | | | | | |
| Bahan | Cast Iron | | | | | |
| Kondisi operasi : | Psuction | 200 | kPa | Tsuction | 45 | °C |
| | Pdischarge | 3500 | kPa | Tdischarge | 118.7 | °C |
| Kapasitas (Kg/jam) | 827132.43903 | | | | | |
| r | 15.263 | | | | | |
| Efisiensi | 0.798 | | | | | |
| Power (Hp) | 4322950.044 | | | | | |

Tabel V.14 OCM Reactor (R-100)

| Spesifikasi | Keterangan | | | |
|---------------------------|---|------|-------------|---|
| No. kode | R-100 | | | |
| Fungsi | Mereaksikan gas metana menjadi gas ethylene | | | |
| Tipe | SA 182 (21Cr–11Ni–N) | | | |
| Tekanan desain | 114.9 | | psia | |
| Outside Diameter standart | 204 | inch | 5.1816 | m |
| Tebal silinder | 1.125 | inch | 0.028575 | m |
| Tinggi tutup atas/bawah | 176.3237 | inch | 4.478621267 | m |
| Tebal tutup atas/bawah | 0.3750 | inch | 0.009525 | m |
| Tinggi bejana | 783.5 | inch | 19.9 | m |
| Bahan Konstruksi | SA 182 (21Cr–11Ni–N) | | | |
| Kapasitas(kg/hr) | 710,925 | | | |
| Jumlah | 1 | | | |

Tabel V.15 Dehidrogenation Reactor (R-101)

| Spesifikasi | Keterangan | | | |
|--------------------|---|------|-------|---|
| No. kode | R-101 | | | |
| Fungsi | Mendehidrogenasi gas etana menjadi gas ethylene | | | |
| Tipe | Fix bed reactor berbentuk silinder tegak | | | |
| Tekanan desain | 159.5 | | psia | |
| Outside Diameter | 180 | inch | 4.572 | m |

| | | | | |
|-------------------------|----------------------|------|-------------|---|
| standart | | | | |
| Tebal silinder | 1.000 | inch | 0.0254 | m |
| Tinggi tutup atas/bawah | 176.4 | inch | 4.480584064 | m |
| Tebal tutup atas/bawah | 0.4375 | inch | 0.0111125 | m |
| Tinggi bejana | 672.5 | inch | 17.082 | m |
| Bahan Konstruksi | SA 182 (21Cr-11Ni-N) | | | |
| Kapasitas(kg/hr) | 6,462,364 | | | |
| Jumlah | 1 | | | |

Tabel V.16 Methanation Reactor (R-102)

| Spesifikasi | Keterangan | | | |
|---------------------------|---|------|-------------|---|
| No. kode | R-102 | | | |
| Fungsi | Mengkonversikan CO dan CO2 menjadi metana | | | |
| Tipe | Fix bed reactor berbentuk silinder tegak | | | |
| Tekanan desain | 111.7 psia | | | |
| Outside Diameter standart | 192 | inch | 4.8768 | m |
| Tebal silinder | 1 | inch | 0.0254 | m |
| Tinggi tutup atas/bawah | 176.3182 | inch | 4.478481075 | m |
| Tebal tutup atas/bawah | 0.3750 | inch | 0.009525 | m |
| Tinggi bejana | 752 | inch | 19.1 | m |
| Bahan Konstruksi | SA 182 (21Cr-11Ni-N) | | | |

| | |
|------------------|----------|
| Kapasitas(kg/hr) | 243777.5 |
| Jumlah | 1 |

Tabel V.17 Hidrogenation Reactor (R-103)

| Spesifikasi | Keterangan | | | |
|---------------------------|--|------|-------------|---|
| No. kode | R-103 | | | |
| Fungsi | Mereaksikan acetylene dengan hidrogen menjadi ethylene | | | |
| Tipe | Fix bed reactor berbentuk silinder tegak | | | |
| Tekanan desain | 159.5 psia | | | |
| Outside Diameter standart | 90 | inch | 2.286 | m |
| Tebal silinder | 0.375 | inch | 0.009525 | m |
| Tinggi tutup atas/bawah | 96.3 | inch | 2.445285681 | m |
| Tebal tutup atas/bawah | 0.3125 | inch | 0.0079375 | m |
| Tinggi bejana | 156.6 | inch | 3.977 | m |
| Bahan Konstruksi | SA 182 (21Cr–11Ni–N) | | | |
| Kapasitas(kg/hr) | 1,119,661 | | | |
| Jumlah | 1 | | | |

Tabel V.18 Pre Compressor Flash Separator (F-210)

| Spesifikasi | Keterangan |
|-------------|------------|
| No. kode | F-210 |
| Fungsi | Untuk |

| | | |
|---------------------------|---|-------|
| | memisahkan fase gas dan liquid dari Process gas | |
| Tipe | Vertikal Separator | |
| Tekanan desain | 19.059 | psia |
| Outside Diameter standart | 192 | in |
| Tebal silinder | 0.63 | in |
| Tebal tutup atas/bawah | 0.63 | in |
| Panjang bejana | 2 | in |
| Panjang Tutup Atas | 37 | in |
| Panjang Tutup Bawah | 37 | in |
| Bahan Konstruksi | ASME SA-167 Grade 3 Tipe 304 | |
| Jumlah | 1 | |
| Kapasitas | 294,800 | kg/hr |

Tabel V.19 1st Stage Flash Separator (F-211)

| Spesifikasi | Keterangan |
|-------------|------------|
| No. kode | F-211 |

| | | |
|---------------------------|--|-------|
| Fungsi | Untuk memisahkan fase gas dan liquid dari 1st Stage Compressor | |
| Tipe | Vertikal Separator | |
| Tekanan desain | 48.086 | psia |
| Outside Diameter standart | 204 | in |
| Tebal silinder | 0.38 | in |
| Tebal tutup atas/bawah | 0.38 | in |
| Panjang bejana | 385 | in |
| Panjang Tutup Atas | 75 | in |
| Panjang Tutup Bawah | 75 | in |
| Bahan Konstruksi | ASME SA-167 Grade 3 Tipe 304 | |
| Jumlah | 1 | |
| Kapasitas | 231,500 | kg/hr |

Tabel V.20 2nd Stage Flash Separator (F-212)

| Spesifikasi | Keterangan |
|-------------|------------|
|-------------|------------|

| | | |
|---------------------------|--|-------|
| No. kode | F-212 | |
| Fungsi | Untuk memisahkan fase gas dan liquid dari 2nd Stage Compressor | |
| Tipe | Vertikal Separator | |
| Tekanan desain | 176.998 | psia |
| Outside Diameter standart | 90 | in |
| Tebal silinder | 0.50 | in |
| Tebal tutup atas/bawah | 1.38 | in |
| Panjang bejana | 168 | in |
| Panjang Tutup Atas | 16 | in |
| Panjang Tutup Bawah | 16 | in |
| Bahan Konstruksi | ASME SA-167 Grade 3 Tipe 304 | |
| Jumlah | 1 | |
| Kapasitas | 229,000 | kg/hr |

Tabel V.21 3rd Stage Flash Separator (F-213)

| Spesifikasi | Keterangan | |
|---------------------------|--|-------|
| No. kode | F-213 | |
| Fungsi | Untuk memisahkan fase gas dan liquid dari 2nd Stage Compressor | |
| Tipe | Vertikal Separator | |
| Tekanan desain | 527.988 | psia |
| Outside Diameter standart | 90 | in |
| Tebal silinder | 1.38 | in |
| Tebal tutup atas/bawah | 2.25 | in |
| Panjang bejana | 168 | in |
| Panjang Tutup Atas | 18 | in |
| Panjang Tutup Bawah | 18 | in |
| Bahan Konstruksi | ASME SA-167 Grade 3 Tipe 304 | |
| Jumlah | 1 | |
| Kapasitas | 227,200 | kg/hr |

Tabel V.22 Molecular Sieve Column (D-302 A/B)

| Spesifikasi | Keterangan |
|---------------------------|--|
| No. kode | D-302-A/B |
| Fungsi | Mengadsorp moisture (uap air) pada sweet gas |
| Tipe | Molsieve 4A, fixed bed, tutup atas bawah dished head |
| Tekanan desain | 494.6 psia |
| Outside Diameter standart | 84 inch = 2.1336 m |
| Tebal silinder | 1.5 inch (0,0381 m) |
| Tinggi tutup atas / bawah | 0.338 m |
| Tebal tutup atas/ bawah | 0.125 inch = 0.028575 m |
| Tinggi bejana | 3.9 m |
| Bahan Konstruksi | ASME SA-167 |
| Kapasitas(kg/hr) | 190500.00 |
| Jumlah | 2 |

Tabel V.23 Pump (L-300)

| Spesifikasi | Keterangan |
|--------------------|-------------------|
|--------------------|-------------------|

| | | |
|----------------------|--------------------------------------|------------------|
| Kode | (L-300) | |
| Fungsi | Memompa aliran menuju Absorber D-300 | |
| Tipe | <i>Centrifugal Pump</i> | |
| Bahan : | <i>Commercial Steel</i> | |
| Kapasitas | 74450.0000 | kg/jam |
| Perbedaan Ketinggian | 12.80 | m |
| Panjang Pipa | 13.72 | m |
| Diameter Pipa | 0.2032 | m, sch 30 |
| Power | 45 | hp (standard) |
| Jumlah | 1 | unit |

Tabel V.24 Absorber Column (D-300)

| Spesifikasi D-300 | | |
|----------------------|-------------|----|
| Keterangan | Ukuran | |
| Bahan | SA 299 | |
| Diameter <i>Tray</i> | 15 | ft |
| | 180 | in |
| <i>Layout</i> | Double Pass | |
| <i>Tray Spacing</i> | 1.3333 | ft |
| | 16 | in |
| Tinggi Kolom | 41.837 | ft |
| | 42 | ft |
| | 504 | in |

| | |
|-------------|------|
| L/D | 0.7 |
| n | 2.5 |
| Tebal Shell | 2 in |

Tabel V.25 Amine Regeneration Column (D-301)

| Spesifikasi D-301 | | |
|----------------------|-------------|----|
| Keterangan | Ukuran | |
| Bahan | SA 299 | |
| Diameter <i>Tray</i> | 20 | ft |
| | 240 | in |
| <i>Layout</i> | Double Pass | |
| <i>Tray Spacing</i> | 1.3333 | ft |
| | 16 | in |
| Tinggi Kolom | 34.99 | ft |
| | 35 | ft |
| | 420 | in |
| L/D | 0.55 | |
| n | 2.5 | |
| Tebal Shell | 3 in | |

Tabel V.26 Demethanizer Column (D-400)

| Spesifikasi D-400 | | |
|----------------------|--------|----|
| Keterangan | Ukuran | |
| Bahan | SA 299 | |
| Diameter <i>Tray</i> | 15 | ft |
| | 180 | in |

| | |
|---------------------|-------------|
| <i>Layout</i> | Double Pass |
| <i>Tray Spacing</i> | 1.3333 ft |
| | 16 in |
| | 37.806 ft |
| Tinggi Kolom | 48 ft |
| | 576 in |
| L/D | 0.5 |
| n | 2.5 |
| Tebal Shell | 2 in |

Tabel V.27 Deethanizer Column (D-401)

| Spesifikasi D-401 | | |
|----------------------|-------------|----|
| Keterangan | Ukuran | |
| Bahan | SA 299 | |
| Diameter <i>Tray</i> | 12 | ft |
| | 144 | in |
| <i>Layout</i> | Double Pass | |
| <i>Tray Spacing</i> | 1.3333 | ft |
| | 16 | in |
| Tinggi Kolom | 39.658 | ft |
| | 37 | ft |
| | 444 | in |
| L/D | 0.5 | |
| n | 2.5 | |
| Tebal Shell | 2 in | |

Tabel V.28 Ethylene Splitter (D-402)

| Spesifikasi D-402 | | |
|----------------------|-------------|----|
| Keterangan | Ukuran | |
| Bahan | SA 299 | |
| Diameter <i>Tray</i> | 22 | ft |
| | 264 | in |
| <i>Layout</i> | Double Pass | |
| <i>Tray Spacing</i> | 1.3333 | ft |
| | 16 | in |
| Tinggi Kolom | 36.827 | ft |
| | 55 | ft |
| | 660 | in |
| L/D | 0.7 | |
| n | 2.5 | |
| Tebal Shell | 3 | in |

Tabel V.29 C3/C4 Storage Tank (F-400)

| Spesifikasi | Keterangan | |
|------------------|--|----------------|
| No. kode | F-400 | |
| Fungsi | Menyimpan condensate yang sudah dipisahkan | |
| Kapasitas | 21324.339 | m ³ |
| Bahan konstruksi | ASTM A 516 | |
| Tipe sambungan | Double Butt-welded | |
| Bentuk Tangki | Silinder | |
| Jenis tutup | Elliptical Dished | |

| | | |
|---------------------|---------|------|
| atas | head | |
| ID shell | 12.19 | m |
| Tinggi storage | 4.572 | m |
| Tebal tutup atas | 0.00635 | m |
| Tinggi Course | 2.438 | m |
| Jumlah Course | 7 | |
| Tebal Course 1 | 0.0127 | m |
| Tebal Course 2 | 0.0079 | m |
| Tebal dasar storage | 0.0079 | m |
| Jumlah | 1 | buan |

Tabel V.30 Ethylene Storage Tank (F-401)

| Spesifikasi | Keterangan |
|------------------|---------------------------------|
| No. kode | F-401 |
| Fungsi | Menyimpan Ethylene untuk dijual |
| Kapasitas | 682371.128 m3 |
| Bahan konstruksi | ASTM A 516 |
| Tipe sambungan | Double Butt-welded |
| Bentuk Tangki | Silinder |

| | | |
|---------------------|------------------------|-----|
| Jenis tutup atas | Elliptical Dished head | |
| ID shell | 12.19 | m |
| Tinggi storage | 4.572 | m |
| Tebal tutup atas | 0.00635 | m |
| Tinggi Course | 2.438 | m |
| Jumlah Course | 21 | |
| Tebal Course 1 | 0.0127 | m |
| Tebal Course 2 | 0.0079 | m |
| Tebal dasar storage | 0.0079 | m |
| Jumlah | 1 | bah |

Tabel V.31 Condensate Storage Tank (F-402)

| Spesifikasi | Keterangan |
|------------------|--|
| No. kode | F-402 |
| Fungsi | Menyimpan condensate yang sudah dipisahkan |
| Kapasitas | 42167.193 m ³ |
| Bahan konstruksi | ASTM A 516 |
| Tipe sambungan | Double Butt-welded |
| Bentuk | Silinder |

| | | |
|---------------------|------------------------|------|
| Tangki | | |
| Jenis tutup atas | Elliptical Dished head | |
| ID shell | 12.19 | m |
| Tinggi storage | 4.572 | m |
| Tebal tutup atas | 0.00635 | m |
| Tinggi Course | 2.438 | m |
| Jumlah Course | 9 | |
| Tebal Course 1 | 0.0127 | m |
| Tebal Course 2 | 0.0079 | m |
| Tebal dasar storage | 0.0079 | m |
| Jumlah | 1 | buaH |

V.4 Daftar Harga Peralatan

Pada sub-bab ini, terlampir daftar harga peralatan yang digunakan pada pabrik Etilena ini.

Tabel V.47 Daftar Harga Peralatan Pabrik Etilena dari *Sales Gas*

| No | Kode | Nama Alat | Jumlah | Harga (U\$/unit) | Harga total |
|----|-------|-------------------|--------|------------------|----------------|
| | | | | 2014 | (U\$,thn 2022) |
| 1 | E-100 | Oxygen Pre-Heater | 4 | 810,800 | 3,563,262.56 |

| | | | | | |
|----|-------|---------------------------------|---|-----------|--------------|
| 2 | E-101 | Natural gas Pre-Heater | 7 | 600,300 | 4,616,793.78 |
| 3 | R-100 | OCM Reactor | 1 | 2,933,200 | 3,222,669.51 |
| 4 | R-101 | Dehydrogenation Reactor | 1 | 2,130,200 | 2,340,423.63 |
| 5 | R-102 | Methanation Reactor | 1 | 2,695,900 | 2,961,951.0 |
| 6 | E-200 | Dehydrogenation & Condensate HE | 4 | 810,300 | 3,561,065.18 |
| 7 | E-201 | Dehydrogenation & Methane HE | 4 | 720,300 | 3,165,537.77 |
| 8 | E-202 | Dehydrogenation & CO2 HE | 1 | 600,300 | 659,541.97 |
| 9 | E-210 | Pre Compressor Air Cooler | 1 | 230,500 | 253,247.42 |
| 10 | F-210 | Pre Compressor Air Separator | 1 | 161,700 | 177,658 |
| 11 | E-211 | 1st Stage Air Cooler | 1 | 230,500 | 253,247 |
| 12 | F-211 | 1 st Stage Air Separator | 1 | 172,300 | 189,304 |
| 13 | G-210 | 1 st Stage compressor | 1 | 699,833 | 768,898 |
| 14 | E-212 | 2nd Stage Air Cooler | 1 | 240,400 | 264,124 |
| 15 | F-212 | 2 nd Stage Air Separator | 1 | 186,150 | 204,521 |
| 16 | G-211 | 2 nd Stage compressor | 1 | 699,833 | 768,898 |
| 17 | E-213 | 3 rd Stage Air Cooler | 1 | 230,100 | 252,808 |
| 18 | F-213 | 3 rd Stage Air Separator | 1 | 192,400 | 211,387 |

| | | | | | |
|----|-----------|--------------------------------|---|-----------|-----------|
| 19 | G-212 | 3 rd Stage compressor | 1 | 699,833 | 768,898 |
| 20 | D-300 | Absorber | 1 | 3,545,000 | 3,894,846 |
| 21 | E-300 | Lean/Rich Amine Exchanger | 2 | 500,800 | 1,100,445 |
| 22 | L-300 | Amine Regeneration Pump | 1 | 20,834 | 22,890 |
| 23 | D-301 | Regenerator Column | 1 | 1,837,600 | 2,018,948 |
| 24 | E-301 | Amine Regeneration Reboiler | 1 | 600,800 | 660,091 |
| 25 | E-302 | Amine Regeneration Condenser | 1 | 400,700 | 440,244 |
| 26 | F-301 | Amine Regeneration Reflux Drum | 1 | 870,300 | 956,188 |
| 27 | L-301 | Amine Regeneration Reflux Pump | 1 | 20,730 | 22,776 |
| 28 | F-300 | Flash Separator | 1 | 161,700 | 177,658 |
| 29 | D-302 A/B | Molecular Sieve | 2 | 1,019,800 | 2,240,883 |
| 30 | E-302 | Regeneration Air Furnace | 1 | 800,500 | 879,499 |
| 31 | E-310 | 1 st Spent Gas Heat Exchanger | 1 | 600,300 | 659,542 |
| 32 | E-311 | 2nd Spent Gas Heat Exchanger | 1 | 500,800 | 550,223 |
| 33 | E-312 | Pre Separation Heat Exchanger | 1 | 2,301,500 | 2,528,629 |

| | | | | | |
|----|-------|----------------------------|---|------------|------------|
| 34 | D-400 | Demethanizer Column | 1 | 5,539,600 | 6,086,288 |
| 35 | E-400 | Demethanizer Reboiler | 1 | 200,400 | 220,177 |
| 36 | L-400 | Demethanizer Reboiler Pump | 1 | 20,814 | 22,868 |
| 37 | L-410 | Demethanizer Reflux Pump | 1 | 20,730 | 22,776 |
| 38 | F-400 | Demethanizer Separator | 1 | 539,500 | 592,742 |
| 39 | E-400 | Demethanizer Condenser | 1 | 600,100 | 659,322 |
| 40 | D-401 | Deethanizer Column | 1 | 6,839,600 | 7,514,581 |
| 41 | E-401 | Deethanizer Reboiler | 1 | 300,600 | 330,265 |
| 42 | L-401 | Deethanizer Reboiler Pump | 1 | 20,860 | 22,919 |
| 43 | I-420 | Deethanizer Reflux Pump | 1 | 20,860 | 22,919 |
| 44 | F-401 | Deethanizer Separator | 1 | 519,000 | 570,219 |
| 45 | E-401 | Deethanizer Condenser | 1 | 700,600 | 769,740 |
| 46 | R-103 | Hydrogenation Reactor | 1 | 2,130,200 | 2,340,424 |
| 47 | D-402 | Condensate splitter | 1 | 4,723,900 | 5,190,089 |
| 48 | T-402 | Condensate Storage | 1 | 2,167,300 | 2,381,185 |
| 49 | T-401 | C3/C4 Storage | 1 | 1,924,500 | 2,114,424 |
| 50 | T-400 | Ethylene Storage Tank | 1 | 2,301,500 | 2,528,629 |
| 51 | ASU | Air Separation | 1 | 61,200,000 | 67,239,661 |

| | | | | |
|--------------|-----------|------------|--------------------|--|
| | Unit | | | |
| Total | 68 | 56,796,278 | 142,986,324 | |

(Halaman ini sengaja dikosongkan)

BAB VI

ANALISIS EKONOMI

Analisis ekonomi merupakan salah satu parameter apakah suatu pabrik tersebut layak didirikan atau tidak. Untuk menentukan kelayakan suatu pabrik secara ekonomi, diperlukan perhitungan parameter analisis ekonomi. Parameter kelayakan tersebut antara lain POT (*Pay Out Time*), IRR (*Internal Rate Return*), BEP (*Break Even Point*) dan Analisis kepekaan (sensitivitas).

V1.1 PENGELOLAAN SUMBER DAYA MANUSIA

VI.1.1 Bentuk Badan Perusahaan

Bentuk badan perusahaan dalam Pabrik Ethylene dari Gas Alam ini dipilih Perseroan Terbatas (PT). Perseroan Terbatas merupakan suatu persekutuan yang menjalankan perusahaan dengan modal usaha yang terbagi beberapa saham, dimana tiap sekutu (disebut juga persero) turut mengambil bagian sebanyak satu atau lebih saham. Hal ini dipilih karena beberapa pertimbangan sebagai berikut :

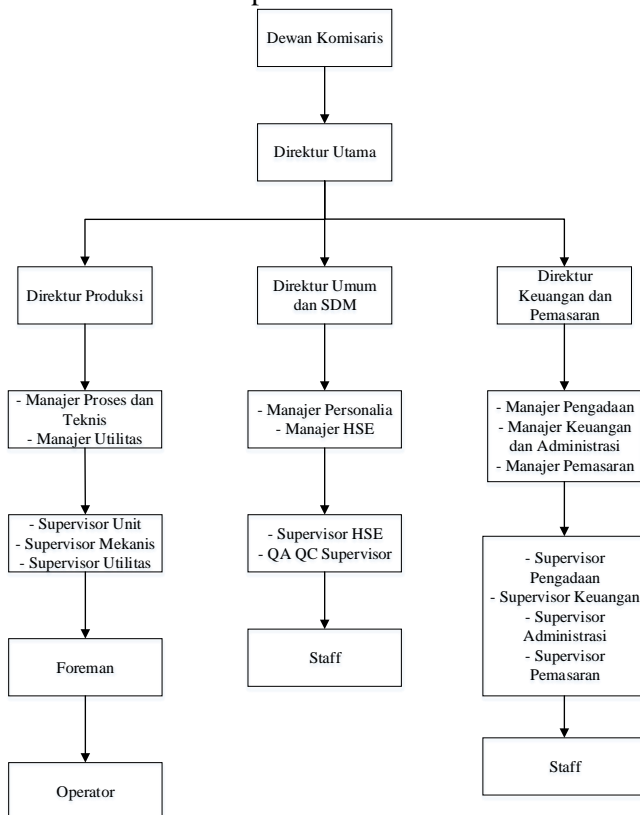
1. Modal perusahaan dapat lebih mudah diperoleh yaitu dari penjualan saham maupun dari pinjaman
2. Tanggung jawab pemegang saham terbatas, karena segala sesuatu yang menyangkut kelancaran produksi ditangani oleh pemimpin perusahaan.
3. Kekayaan pemegang saham terpisah dari kekayaan perusahaan, sehingga kekayaan pemegang saham tidak menentukan modal perusahaan.

VI.1.2 Sistem organisasi perusahaan

Struktur organisasi yang direncanakan dalam pra desain pabrik ini adalah garis dan staf, yang merupakan kombinasi dari pengawasan secara langsung dan spesialisasi pengaturan dalam perusahaan. Alasan pemakaian sistem ini adalah :

- Biasa digunakan untuk organisasi yang cukup besar dengan produksi yang terus menerus

- Terdapat kesatuan pimpinan dan perintah, sehingga disiplin kerja yang lebih baik
- Masing-masing manajer secara langsung bertanggung jawab atas aktivitas yang dilakukan untuk mencapai tujuan
- Pimpinan tertinggi dipegang oleh seorang direktur yang bertanggung jawab kepada dewan komisaris. Anggota dewan komisaris merupakan wakil-wakil dari pemegang saham dan dilengkapi dengan staf ahli yang bertugas memberikan nasihat dan saran kepada direktur.



Gambar VI.1 Struktur Organisasi Perusahaan

Pembagian kerja dalam organisasi ini adalah :

1. Dewan Komisaris

Dewan Komisaris bertindak sebagai wakil dari pemegang saham. Komisaris diangkat menurut ketentuan yang ada dalam perjanjian dan dapat diberhentikan setiap waktu dalam RUPS apabila bertindak tidak sesuai dengan anggaran dasar atau kepentingan dari kalangan pemegang saham yang memiliki saham terbanyak dari perseroan tersebut.

➤ Tugas dewan komisaris :

- Mengawasi direktur dan berusaha agar tindakan direktur tidak merugikan perseroan
- Menetapkan kebijaksanaan perusahaan
- Mengadakan evaluasi/pengawasan tentang hasil yang diperoleh perusahaan
- Memberikan nasihat kepada direktur bila direktur ingin mengadakan perubahan dalam perusahaan

2. Direktur Utama

Direktur Utama adalah pemegang kepengurusan dalam perusahaan dan merupakan pimpinan tertinggi dan penanggung jawab utama dalam perusahaan secara keseluruhan.

➤ Tugas Direktur Utama :

- Menetapkan strategi perusahaan, merumuskan rencana-rencana dan cara melaksanakannya
- Menetapkan sistem organisasi yang dianut dan menetapkan pembagian kerja, tugas dan tanggung jawab dalam perusahaan untuk mencapai tujuan yang telah ditetapkan
- Mengadakan koordinasi yang tepat dari semua bagian
- Memberikan instruksi kepada bawahannya untuk mengadakan tugas masing-masing

- Mempertanggungjawabkan kepada komisaris, segala pelaksanaan dari anggaran belanja dan pendapatan perusahaan
- Menentukan kebijakan keuangan

3. Direktur Keuangan dan Pemasaran

Direktur Keuangan dan Pemasaran yang bertugas membantu direktur dalam pelaksanaan tugasnya yang berhubungan dengan hal keuangan, pembukuan perusahaan, dan pemasaran. Dalam hal ini Direktur Keuangan dan Pemasaran dibantu oleh Manajer Pengadaan, Manajer Keuangan dan Administrasi, dan Manajer Pemasaran yang masing-masing membawahi supervisor dan staf di bagian masing-masing.

- Tugas Direktur Keuangan dan Pemasaran :
 - Membantu direktur dalam perencanaan maupun dalam penelaah kebijaksanaan pokok bidang keuangan, pembukuan perusahaan, dan pemasaran.
 - Menentukan kebijakan keuangan pabrik agar dapat memperoleh keuntungan maksimal
 - Menentukan kebijakan pemasaran agar dapat memperoleh hasil maksimal
 - Mengadakan koordinasi yang tepat dari bagian keuangan dan pemasaran
 - Memberikan instruksi kepada bawahannya untuk mengadakan tugas masing-masing
 - Bertanggung jawab langsung kepada Direktur Utama
- Tugas Manajer Pengadaan :
 - Memberikan saran ahli pada semua pembelian
 - Negosiasi pembelian dalam jumlah besar
 - Bertanggung jawab langsung kepada Direktur Keuangan dan Pemasaran
- Tugas Manajer Keuangan dan Administrasi :

- Bagian keuangan bertugas atas keuangan dan transaksi perusahaan
 - Bagian pembukuan bertugas atas pemeliharaan administrasi keuangan, penghitungan pajak dan pembukuan perusahaan
 - Bertanggung jawab langsung kepada Direktur Keuangan dan Pemasaran
- Tugas Manajer Pemasaran :
- Bagian ini bertugas mengusahakan agar hasil-hasil produksi dapat disalurkan dan didistribusikan secara tepat agar harga jual terjangkau dan mendapat keuntungan optimum
 - Mengumpulkan fakta-fakta kemudian menggolongkannya dan mengevaluasinya
 - Mengkoordinasikan dengan staf bagian pemasaran
 - Bagian ini meliputi pemasaran dan iklan
 - Bertanggung jawab langsung kepada Direktur Keuangan dan Pemasaran

4. Direktur SDM dan Umum

Direktur SDM dan Umum yang bertugas membantu Direktur Utama dalam pelaksanaan tugasnya yang berhubungan dengan SDM dan umum. Dalam hal ini Direktur SDM dan Umum dibantu oleh Manajer Personalia dan HSE yang membawahi supervisor dan staf di bagian masing-masing.

- Tugas Direktur SDM dan Umum :
- Membantu direktur dalam perencanaan maupun dalam penelaahan kebijaksanaan pokok dalam bidang kepegawaian, fasilitas bagi karyawan, peningkatan mutu karyawan, pelayanan terhadap masyarakat maupun karyawan serta keamanan pabrik

- Mengadakan koordinasi yang tepat dari bagian personalia dan umum
 - Memberikan instruksi kepada bawahannya untuk mengadakan tugas masing-masing
 - Bertanggung jawab langsung kepada Direktur Utama
- Tugas Manajer Personalia :
- Bagian ini bertugas bidang kepegawaian, fasilitas bagi karyawan, peningkatan mutu karyawan, pelayanan terhadap masyarakat maupun karyawan serta keamanan pabrik
 - Bertugas untuk memberikan bantuan kepada direktur dalam masalah-masalah kepegawaian, antara lain : penerimaan, pemilihan, pemberhentian tenaga kerja dan masalah upah.
 - Bertanggung jawab langsung kepada Direktur SDM dan Umum
- Tugas Manajer HSE :
- Bertugas untuk memberikan bantuan kepada direktur dalam masalah-masalah keselamatan kerja, antara lain : menerapkan dan mempromosikan program HSE, melakukan inspeksi situs keamanan rutin dan tindak lanjut, melakukan dan menyajikan temuan keselamatan bulanan.
 - Bertanggung jawab langsung kepada Direktur SDM dan Umum

5. Direktur Produksi dan Teknis

Direktur Produk dan Teknis yang bertugas membantu direktur dalam pelaksanaan tugasnya, baik yang berhubungan dengan operasi pabrik dalam hal produks, konstruksi pabrik, kualitas dari bahan baku dan produk yang dihasilkan, operasi peralatan, maintenance peralatan, plant technical, maupun pengadaan logistik untuk operasi pabrik. Dalam hal ini Direktur Produksi dan Teknis dibantu oleh Manajer

Proses dan Teknis, serta Manajer Utilitas yang masing-masing membawahi supervisor dan staf di bagian masing-masing.

➤ Tugas Direktur Produksi dan Teknis :

- Membantu direktur dalam perencanaan maupun dalam penelaahan kebijaksanaan pokok bidang operasi pabrik dalam hal produksi, konstruksi pabrik, kualitas dari bahan baku dan produk yang dihasilkan, operasi peralatan, maintenance peralatan, plant technical, maupun pengadaan logistik untuk operasi pabrik.
- Menentukan kebijakan operasi pabrik agar dapat memperoleh hasil maksimal.
- Mengadakan koordinasi yang tepat dari bagian produksi
- Menentukan kebijakan engineering pabrik agar dapat beroperasi secara maksimal
- Mengadakan koordinasi yang tepat dari bagian engineering
- Memberikan instruksi kepada bawahannya untuk mengadakan tugas masing-masing
- Bertanggung jawab langsung kepada Direktur Utama

➤ Tugas Manajer Produksi dan Teknis :

- Bagian produksi dan teknis bertugas mengusahakan agar barang-barang produksi dengan teknik yang memudahkan karyawan sehingga diperoleh produk dengan biaya rendah, kualitas tinggi dan harga yang bersaing yang diinginkan dalam waktu yang sesingkat mungkin, serta mengendalikan jalannya proses produksi pabrik dapat beroperasi dengan maksimal.
- Mengumpulkan fakta-fakta kemudian menggolongkannya dan mengevaluasinya

- Mengkoordinasikan dengan staf bagian produksi dan teknis yang terdiri dari supervisor, foreman, dan operator yang bekerja langsung di lapangan
 - Bertanggung jawab langsung kepada Direktur Produksi dan Teknis
- Tugas Manajer Utilitas :
- Bagian utilitas bertugas memonitor/memeriksa peralatan utilitas dan menghitung pemakaian utilitas
 - Bertanggung jawab langsung kepada Direktur Produksi dan Teknis

6. Supervisor

- Tugas Supervisor :
- Memastikan semua pekerjaan dilaksanakan dengan baik sehingga semua proses produksi berjalan lancar seperti monitoring produksi, pengawasan anak buah, melakukan instruksi kerja.
 - Mengontrol dan mengevaluasi kinerja bawahan
 - Membuat rencana jangka pendek untuk tugas yang telah ditetapkan oleh atasannya
 - Bertanggung jawab langsung kepada manajer

7. Foreman

- Tugas Foreman :
- Melakukan briefing terhadap operator tiap awal shift
 - Mencari solusi setiap permasalahan yang terjadi di lapangan setiap shiftnya dan melaporkan kepada Supervisor
 - Foreman bertanggung jawab terhadap Supervisor

VI.1.3 Perincian Jumlah Tenaga Kerja

Jumlah karyawan yang dibutuhkan untuk produksi ethylene diuraikan sebagai berikut :

Tabel VI.1 Jumlah Karyawan

| No | Jabatan | Jumlah Karyawan |
|--------------|--------------------|-----------------|
| 1 | Dewan Komisaris | 3 |
| 2 | Direktur Utama | 1 |
| 3 | Direksi | 6 |
| 4 | Sekretaris Direksi | 6 |
| 5 | Manager | 7 |
| 6 | Supervisor | 7 |
| 7 | Foreman (S-1) | 18 |
| 8 | Operator : | |
| | a. Lulusan D-3 | 34 |
| | b. Lulusan SMK | 43 |
| 10 | Dokter | 5 |
| 11 | Perawat | 8 |
| 12 | Security | 18 |
| 13 | Office Boy | 23 |
| Total | | 179 |

Pabrik Ethylene dari Sales Gas ini menggunakan basis 330 hari kerja per tahun dengan waktu 24 jam kerja per hari. Dengan pekerjaan yang membutuhkan pengawasan terus menerus selama 24 jam, maka dilakukan sistem shift karyawan. Shift direncanakan dilakukan tiga kali per hari setiap 8 jam. Distribusi kerja karyawan diatur sebagai berikut.

Shift I : 07.00 – 15.00

Shift II : 15.00 – 23.00

Shift III : 23.00 – 07.00

Penggantuan shift dilakukan sesuai aturan Internation Labour Organization yaitu sistem metropolitan rota atau biasa disebut 2-2-2 (dalam 1 minggu dilakukan 2 hari shift malam, 2 hari shift pagi, 2 hari shift siang, 1 hari libur), sehingga untuk 3 shift dibutuhkan 4 regu dengan 1 regu libur. Sistem ini dapat ditabelkan sebagai berikut :

Tabel VI.2 Sistem Shift Kerja

| Hari | 1 | 2 | 3 | 4 | 5 | 6 | 7 |
|-------|---|---|---|---|---|---|---|
| Shift | | | | | | | |
| I | A | D | C | B | A | D | C |
| II | B | A | D | C | B | A | D |
| III | C | B | A | D | C | B | A |
| Libur | D | C | B | A | D | C | B |

Untuk pekerja non-shift pembagian jam kerja dilakukan sebagai berikut :

Senin – Kamis : 08.00 – 16.00

Istirahat : 12.00 – 13.00

Jumat : 08.00 – 16.30

Istirahat : 11.30 – 13.00

VI.2 UTILITAS

Utilitas merupakan sarana penunjang suatu industri, karena utilitas merupakan penunjang proses utama dan memegang peranan penting dalam pelaksanaan operasi dan proses. Sarana utilitas pada Pabrik Ethylene dari Gas Alam ini meliputi :

1. Air

Berfungsi sebagai sanitasi, air pendingin, dan air untuk feed boiler

2. Steam

Digunakan untuk keperluan proses dan penukar panas

3. Listrik

Berfungsi sebagai tenaga penggerak dari peralatan proses maupun penerangan

4. Bahan bakar

Berfungsi untuk bahan bakar untuk boiler, generator dan furnace

Maka untuk memenuhi kebutuhan utilitas pabrik di atas, diperlukan unit-unit sebagai penghasil sarana utilitas, yaitu :

V1.2.1 Unit Pengolahan Air

Kebutuhan air untuk pabrik diambil dari air laut, dimana sebelum digunakan air laut perlu diolah terlebih dahulu, agar tidak mengandung zat-zat pengotor, dan zat-zat lainnya yang tidak layak

untuk kelancaran operasi. Air pada Pabrik Ethylene dari Gas Alam ini digunakan untuk kepentingan :

1. Air sanitasi, meliputi air untuk laboratorium dan karyawan
Air sanitasi digunakan untuk keperluan para karyawan di lingkungan pabrik. Penggunaannya antara lain untuk konsumsi, mencuci, mandi, memasak, laboratorium, perkantoran, dan lain-lain. Adapun syarat air sanitasi, meliputi :

a. Syarat fisik :

- Suhu di bawah suhu udara
- Warna jernih
- Tidak berasa
- Tidak berbau
- Kekeruhan SiO_2 tidak lebih dari 1 mg/L

b. Syarat kimia :

- $\text{pH} = 6,5 - 8,5$
- Tidak mengandung zat terlarut yang berupa zat organik dan anorganik seperti PO_4 , Hg, Cu, dan sebagainya

c. Syarat bakteriologi

- Tidak mengandung kuman atau bakteri, terutama bakteri patogen
- Bakteri E.Coli kurang dari 1/100 ml

2. Air Proses, meliputi : air pendingin dan air umpan boiler

Pada unit pengolahan air ini, peralatan yang digunakan meliputi : pompa air boiler, bak pendingin, kation-anion exchanger.

VI.2.2 Unit Penyediaan Steam

Steam yang dibutuhkan untuk proses dihasilkan dari boiler. Kebutuhan steam digunakan sebagai penukar panas dan untuk keperluan proses. Peralatan yang dibutuhkan untuk pembangkit steam yaitu boiler.

VI.2.3 Unit Pembangkit Tenaga Listrik

Kebutuhan listrik yang diperlukan untuk Pabrik Ethylene dari Gas Alam ini diambil dari generator sebagai penghasil tenaga listrik, dengan distribusi sebagai berikut :

1. Untuk proses produksi
2. Untuk penerangan pabrik dan kantor

VI.2.4 Unit Pendingin

Unit pendingin bertugas untuk memenuhi kebutuhan air ditinjau dari segi panas. Penggunaan air pendingin pada alat perpindahan panas dikarenakan faktor berikut :

1. Air dapat menyerap jumlah panas yang tinggi per satuan volume
2. Air merupakan materi yang mudah didapat dan relatif murah
3. Tidak mudah mengembang atau menyusut dengan adanya perubahan suhu
4. Mudah dikendalikan dan dikerjakan
5. Tidak mudah terdekomposisi

Syarat air pendingin adalah tidak boleh mengandung :

1. Hardness : yang memberian efek pada pembentukan kerak
2. Zat-zat organik : penyebab slime
3. Silika : penyebab kerak

Pada air pendingin, ditambahka zat kimia yang bersifat menghilangkan dan mencegah kerak, zat organik, dan korosi.

VI.3 ANALISA EKONOMI

VI.3.1 Asumsi Perhitungan

Dalam melakukan analisia keuangan pabrik Ethylene dari Gas Alam, digunakan beberapa asumsi, antara lain sebagai berikut:

- Modal kerja sebesar 6 bulan biaya pengeluaran, yaitu biaya bahan baku ditambah dengan biaya operasi;
- Eskalasi harga bahan baku sebesar nilai inflasi 4% setiap tahun;

- Eskalasi biaya operasi yang meliputi biaya bahan tambahan, biaya utilitas dan biaya tetap sebesar nilai inflasi 4% setiap tahun;
- Sumber dana investasi berasal dari modal sendiri sebesar 40% biaya investasi dan pinjaman jangka pendek sebesar 60% biaya investasi dengan bunga sebesar 12% per tahun yang akan dibayar dalam jangka waktu 120 bulan (10 tahun);
- Penyusutan investasi alat & bangunan terjadi dalam waktu 10 tahun secara *straight line*.

VI.3.2 Analisa Keuangan

Analisa keuangan yang digunakan pada pabrik Ethylene dari Gas Alam ini adalah dengan menggunakan metode *discounted cash flow*. Analisa keuangan untuk pabrik Ethylene dari Gas Alam terdiri dari perhitungan biaya produksi dan aliran kas / kinerja keuangan. Detail perhitungan dapat dilihat pada appendiks D.

VI.3.3 Analisa Laju Pengembalian Modal (*Internal Rate of Return / IRR*)

Dari hasil perhitungan pada Appendiks D, didapatkan harga $i = 19,47\%$. Harga i yang diperoleh lebih besar dari harga i untuk bunga pinjaman yaitu 12% per tahun. Dengan harga $i = 19,47\%$ yang didapatkan dari perhitungan menunjukkan bahwa pabrik ini layak didirikan dengan kondisi tingkat bunga pinjaman 12% per tahun.

VI.3.4 Analisa Waktu Pengembalian Modal (*Payout Time / POT*)

Dari perhitungan yang dilakukan pada Appendiks D didapatkan bahwa waktu pengembalian modal minimum adalah 5 tahun dengan perkiraan usia pabrik 10 tahun. Hal ini menunjukkan bahwa pabrik ini layak untuk didirikan karena POT yang didapatkan lebih kecil dari perkiraan usia pabrik.

VI.3.5 Analisa Titik Impas (*Break Even Point / BEP*)

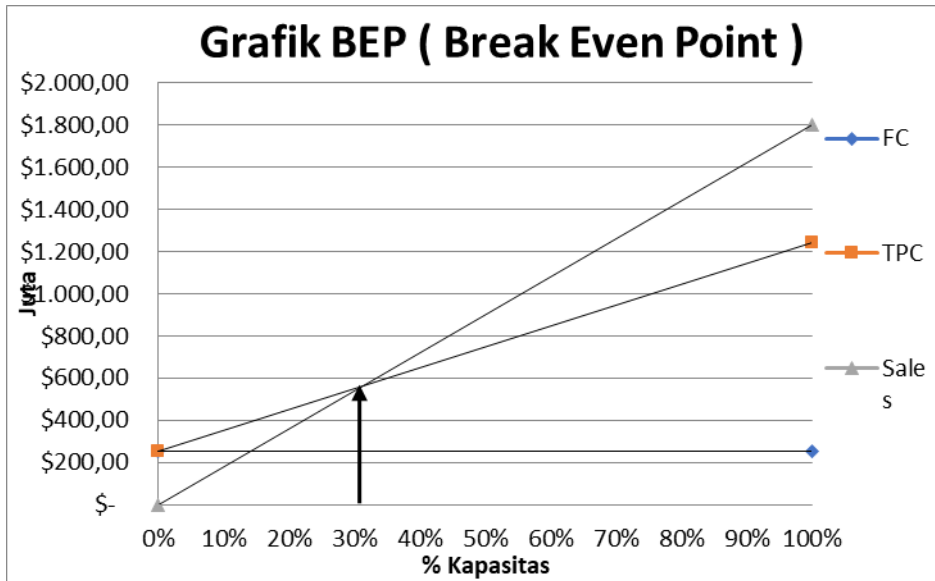
Analisa titik impas digunakan untuk mengetahui besarnya kapasitas produksi dimana biaya produksi total sama dengan hasil penjualan. Biaya tetap (FC), Biaya variabel (VC) dan Biaya semi variabel (SVC) , untuk biaya tetap tidak dipengaruhi oleh kapasitas produksi. Dari perhitungan yang dilakukan pada Appendiks D didapatkan bahwa Titik Impas (BEP) = 31,194 %

Ringkasan analisa ekonomi dari pabrik *Ethylene* dari *Sales Gas* dapat dilihat pada tabel :

Tabel VI.3 Ringkasan Analisa Ekonomi

| No | Keterangan | Unit | Jumlah |
|----|------------------------------|------------|------------------|
| 1 | <i>Total Investment Cost</i> | USD | 1.338.637.961,16 |
| 2 | Suku Bunga | Per thn | 12 % |
| 3 | IRR | % | 19,47 |
| 4 | POT | Tahun | 5,8 |
| 5 | BEP | % | 31,194 |
| 6 | Harga Sales Gas | USD/mmbtu | 7 |
| 7 | Harga Hydrogen | USD/kg | 0,01 |
| 8 | Harga Jual Ethylene | USD/kg | 3 |
| 9 | Harga Jual Condensate | USD/bbl | 35 |
| 10 | Umur Pabrik | Tahun | 10 |
| 11 | Periode Konstruksi | Tahun | 3 |
| 12 | Waktu Operasi | Hari/tahun | 330 |

Grafik BEP



Gambar VI.2 Grafik BEP

BAB VII

KESIMPULAN

Pabrik direncanakan beroperasi secara kontinyu 24 jam selama 330 hari per tahun operasi dengan perencanaan sebagai berikut:

- a. Kapasitas Produksi : 600 KTPA (Kilo Ton / Tahun)
- b. Jumlah tenaga kerja : 179 orang
- c. Kebutuhan Bahan baku : 2.942,28 KTPA (Kilo Ton / Tahun)
- d. Produk Utama : 75,75 ton/jam *ethylene* (99,94% wt)

Pabrik *ethylene* ini direncanakan mulai dibangun pada tahun 2024 di Blok Masela, dan direncanakan selesai pada tahun 2027. Daerah Blok Masela dipilih karena lokasi yang dekat dengan ketersediaan bahan baku. Sumber dana investasi berasal dari modal sendiri sebesar 60 % biaya investasi dan pinjaman jangka pendek sebesar 40 % biaya investasi dengan bunga sebesar 12 % per tahun. Dari analisa perhitungan ekonomi didapat hasil sebagai berikut:

- a. Investasi : USD 664,731,865.76
- b. Internal Rate of Return : 87,87%
- c. POT : 3.0 Tahun
- d. BEP : 20 %

Dari ketiga parameter sensitifas yaitu fluktuasi biaya investasi, harga bahan baku, dan harga jual dari produk, terlihat bahwa ketiganya tidak memberikan pengaruh yang cukup signifikan terhadap kenaikan atau penurunan nilai IRR pabrik. Sehingga pabrik *ethylene* ini layak untuk didirikan.

Halaman ini sengaja dikosongkan

DAFTAR PUSTAKA

- The American Society of Mechanical Engineers. 2015. "ASME Boiler and Pressure Vessel Code", Two Park Avenue, New York.
- Brownell, Young. 1959. "Process Equipment Design", John Wiley dan Son, New York.
- Eramo, Mark. 2014. "Global Ethylene Market 2014".
- Direktorat Jenderal Ketenagalistrikan. 2018. "Statistik Ketenagalistrikan 2017", Edisi No. 13.
- Direktorat Jenderal Minyak dan Gas Bumi. 2019. "Neraca Gas Bumi Indonesia 2018-2027"
- Geankoplis, C.J, 2003 "Transport Process and Unit Operation", 4th Edition, Prentice Hal of India, New Delhi.
- Godini, H. R., Xiao, S., Jašo, S., Stünkel, S., Salerno, D., Son, N. X. 2013. "Techno-economic analysis of integrating the methane oxidative coupling and methane reforming processes". Fuel Processing Technology 106 pp. 684-694.
- Shankui Song, Günter Wozny
- Harriot, McCabe Smith, 1982 "Unit Operations of Chemical Engineering", 6th Edition, McGraw Hill International Edition, Singapore.
- Himmelblau, David M. 1989. "Basic Principles and Calculation in Chemical Engineering", 5th Edition, Prentice Hall International, Inc, Singapore.
- Kern. 1965. "Process Heat Transfer", McGraw Hhil Book Comp. London.
- Levenspeal, O. 1972. "Chemical Reaction Engineering", 3rd Edition, John Wiley and Sons, Singapore.
- Ludwig, "Applied Process Design for Chemical Engineering and Petrochemical Plants", Vol. 3, Gulf Publishing Company, Houston, Teas.
- Liu, K., Zhao, J., Zhu, D., Meng, F., Kong, F., Tang, Y. 2017. Oxidative coupling of methane in solid oxide fuel cell tubular membrane reactor with high ethylene yield. Catalysis Communication 96 pp. 23-27

- Othmer, Kirk. 1967. "Encyclopedia of Chemical Technology:", Vol.13, John Wiley and Sons, Inc. USA.
- Perry, R. H., "Chemical Engineer's Handbook", International edition, McGraw Hill Book Co, Singapore.
- Peters, MS., Timmerhaus, KD. 1991. "Plant Design and Economics for Chemical Engineering", 5th Edition, McGraw Hill Book Co, Singapore.
- Simoe, 2014. "Pra Perancangan Pabrik Kimia".
- Smith, J. M., and Van Ness, H. C., 2001, "Introduction to Chemical Engineering Thermodynamics", 4th Edition, International Edition McGraw Hill Book Co., Singapore, 1987.
- Salkuyeh, Y. K. dan Adams II, T. A. 2015. "A novel polygeneration process to co-produce ethylene and electricity". Energy Conversion and Management 92 pp. 406-420
from shale gas with zero CO₂ emissions via methane oxidative coupling
- Xiao, G., Thomas L. Saleman, Yuan Zou, Gang Li, Eric F. May. 2019. "Nitrogen rejection from methane using dual-reflux pressure swing adsorption with a kinetically-selective adsorbent". Chemical Engineering Journal 372 pp. 1038-1046
- Ulrich, G. D. "A Guide to Chemical Engineering Process Design and Economics", John Wiley and Sons, New York, 1984.
- Emerson. "Emerson Process Management", Fisher Controls International LLC, Dubai, United Arab Emirates, 2010.
- www.matche.com
- www.esdm.go.id

APPENDIKS A

PERHITUNGAN NERACA MASSA

Data-data operasi:

$$\begin{array}{lll} 1 \text{ Tahun} & = 330 & \text{hari} \\ 1 \text{ Hari} & = 24 & \text{jam} \end{array}$$

Basis:

$$\begin{array}{llll} \text{Ethylene} & = 600 & \text{KTPA} & \text{Konversi} \\ & = 75,76 & \text{ton/h} & = 60,70\% \\ & = 75757,58 & \text{kg/h} & = 2988310,6 \text{ kmol/h} \\ & = 2705,63 & \text{kmol/h} & = 47812970 \text{ kg/h} \\ \text{Yield Ethylene} & = 20,40\% & & \text{Selectivity C}_2+ \\ \text{Metana ke reaktor OCM} & = 4923082 & \text{kmol/h} & \text{Ethylene/Ethane Ratio} = 5,8 \\ & = 307692,6 & \text{kg/h} & \end{array}$$

Kandungan metana pada gas alam adalah 82,84% mol / 65,30% massa, sehingga:

$$\begin{array}{ll} \text{Input NG} & = 18305,05 \text{ kmol/h} \\ & = 371,43 \text{ ton/h} \end{array}$$

Sehingga, *feed* gas alam yang masuk pada plant ini sebesar 371,43 ton/h

Tabel A.1. Komposisi dan properti dari *feed* gas alam (1):

| Komponen | BM (kg/kmol) | Komposisi mol | Flowrate (kmol/h) | Flowrate (kg/h) |
|-------------------------------|--------------|---------------|-------------------|-----------------|
| CO ₂ | 44 | 0,0558 | 0,000 | 0,000 |
| N ₂ | 28 | 0,0125 | 0,000 | 0,000 |
| CH ₄ | 16 | 0,8284 | 0,000 | 0,000 |
| C ₂ H ₂ | 26 | 0,0000 | 0,000 | 0,000 |
| C ₂ H ₆ | 30 | 0,0485 | 0,000 | 0,000 |
| C ₃ H ₆ | 42 | 0,0000 | 0,000 | 0,000 |
| C ₃ | 44 | 0,0354 | 0,000 | 0,000 |
| i-C ₄ | 58 | 0,0057 | 0,000 | 0,000 |
| n-C ₄ | 58 | 0,0077 | 0,000 | 0,000 |
| i-C ₅ | 72 | 0,0022 | 0,000 | 0,000 |
| n-C ₅ | 72 | 0,0017 | 0,000 | 0,000 |
| n-C ₆₊ | 86 | 0,0019 | 0,000 | 0,000 |
| H ₂ O | 18 | 0,0002 | 0,000 | 0,000 |
| CO | 28 | 0,0000 | 0,000 | 0,000 |
| H ₂ | 2 | 0,0000 | 0,000 | 0,000 |
| O ₂ | 32 | 0,0000 | 0,000 | 0,000 |
| Ethylene | 28 | 0,0000 | 0,000 | 0,000 |
| Asethylene | 29 | 0,0000 | 0,000 | 0,000 |
| 1,2-Butadiene | 54 | 0,0000 | 0,000 | 0,000 |
| 1-Butene | 56 | 0,0000 | 0,000 | 0,000 |
| MEA | 30 | 0,0000 | 0,000 | 0,000 |
| Total | | 1,0000 | 0,000 | 0,000 |
| Properties | | | | |
| Tekanan | | 56,86 | bar | |
| Suhu | | 40,00 | Celcius | |
| HHV (Higher Heating Value) | | 46518 | kJ/kg | |
| Z (Compressibility) | | 0,864 | | |

1. Input O2

Optimal O2 masuk OCM Reactor = 1/6 Feed Sales Gas
 O2 masuk OCM Reactor = 275113 kg/hr

2. Input Produk Recycle

Produk Recycle Mengandung 5 - 8 % Methane yang masuk pada feed gas alam sehingga methane recycle mengandung sekitar $5\% \times 361028 \text{ kg/h} = 18051,4$
 Produk Methane untuk di recycle masuk ke feed reaktor OCM

Tabel A.2 Komposisi Methane Recycle

| Komponen | Fraksi Massa | Flowrate (kg/h) |
|-------------------------------|--------------|-----------------|
| CO ₂ | 0,000 | 0,000 |
| N ₂ | 0,000 | 0,000 |
| CH ₄ | 0,96 | 0 |
| C ₂ H ₂ | 0,0001 | 0 |
| C ₂ H ₆ | 0,0399 | 0 |
| C ₃ H ₆ | 0,000 | 0,000 |
| C ₃ | 0,000 | 0,000 |
| i-C ₄ | 0,000 | 0,000 |
| n-C ₄ | 0,000 | 0,000 |
| i-C ₅ | 0,000 | 0,000 |
| n-C ₅ | 0,000 | 0,000 |
| n-C ₆₊ | 0,000 | 0,000 |
| H ₂ O | 0,000 | 0,000 |
| CO | 0,000 | 0,000 |
| H ₂ | 0,000 | 0,000 |
| O ₂ | 0,000 | 0,000 |
| Ethylene | 0,000 | 0,000 |
| Asethylene | 0,000 | 0,000 |
| 1,2-Butadiene | 0,000 | 0,000 |
| 1-Butene | 0,000 | 0,000 |
| MEA | 0,000 | 0,000 |

3. OCM Reactor (R-100)

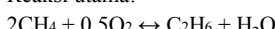
Fungsi: Mereaksikan gas metana dan etana menjadi gas *ethylene*

Arus 1: Preheated Feed metana dan etana menuju OCM Reactor

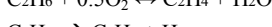
Arus 2: Preheated Feed udara

Arus 3: Produk *ethylene*

Reaksi utama:

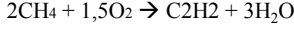


$$1 = 60\%$$

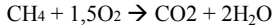


$$2 = 20\%$$

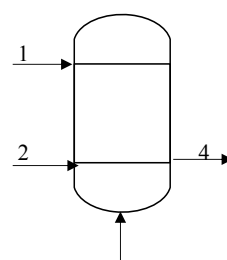
Reaksi samping:



$$3 = 12\%$$



$$4 = 5\%$$



| | | | |
|---|---|------------|----------|
| Yield | = | 22,00% | (mol) |
| Konversi | = | 62,00% | (mol) |
| Ethylene : Ethane Ratio | = | 5,8 | (mol) |
| Selectivity C ₂₊ | = | 42,00% | (mol) |
| Feed CH ₄ : O ₂ Ratio | = | 1,49 : 1 | (mol) |
| CO : CO ₂ Ratio | = | 0,0500 : 1 | (asumsi) |

3 |

Tabel A.4. Neraca Massa OCM Reactor (R-100)

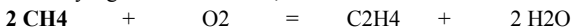
| Komponen | Feed Sales Gas (1) | | Keluar (4) | |
|-------------------------------|--------------------|---------------------|---------------|--------------------|
| | Fraksi Massa | Flowrate (kg/h) | Fraksi Massa | Flowrate (kg/h) |
| CO ₂ | 0,1210 | 52716,925 | 0,0105 | 67816,368 |
| N ₂ | 0,0172 | 7515,039 | 0,0012 | 7515,039 |
| CH ₄ | 0,6530 | 284592,378 | 0,7171 | 4634210,348 |
| C ₂ H ₂ | 0,0000 | 0,000 | 0,0056 | 36232,481 |
| C ₂ H ₆ | 0,0717 | 31241,091 | 0,1472 | 951464,309 |
| C ₃ H ₆ | 0,0000 | 0,000 | 0,0000 | 0,000 |
| C ₃ | 0,0767 | 33444,071 | 0,0052 | 33444,071 |
| i-C ₄ | 0,0163 | 7098,491 | 0,0011 | 7098,491 |
| n-C ₄ | 0,0220 | 9589,190 | 0,0015 | 9589,190 |
| i-C ₅ | 0,0078 | 3401,092 | 0,0005 | 3401,092 |
| n-C ₅ | 0,0060 | 2628,116 | 0,0004 | 2628,116 |
| n-C ₆₊ | 0,0081 | 3508,450 | 0,0005 | 3508,450 |
| H ₂ O | 0,0002 | 77,362 | 0,0776 | 501445,444 |
| CO | 0,0000 | 0,000 | 0,0000 | 0,000 |
| H ₂ | 0,0000 | 0,000 | 0,0000 | 0,000 |
| O ₂ | 0,0000 | 0,000 | 0,0000 | 0,000 |
| Ethylene | 0,0000 | 0,000 | 0,0260 | 167780,148 |
| Asethylene | 0,0000 | 0,000 | 0,0056 | 36230,676 |
| 1,2-Butadiene | 0,0000 | 0,000 | 0,0000 | 0,000 |
| 1-Butene | 0,0000 | 0,000 | 0,0000 | 0,000 |
| MEA | 0,0000 | 0,000 | 0,0000 | 0,000 |
| Total | 1,0000 | 435812,204 | 1,0000 | 6462364,223 |
| Preheated O ₂ (2) | | Methane Recycle (3) | | |
| Komponen | Fraksi Massa | Flowrate (kg/h) | Fraksi Massa | Flowrate (kg/h) |
| | 0,0000 | 0,000 | 0,0000 | 0,000 |
| N ₂ | 0,0000 | 0,000 | 0,0000 | 0,000 |
| CH ₄ | 0,0000 | 0,000 | 0,9600 | 17329,920 |
| C ₂ H ₂ | 0,0000 | 0,000 | 0,0001 | 1,805 |
| C ₂ H ₆ | 0,0000 | 0,000 | 0,0399 | 720,275 |
| C ₃ H ₆ | 0,0000 | 0,000 | 0,0000 | 0,000 |
| C ₃ | 0,0000 | 0,000 | 0,0000 | 0,000 |
| i-C ₄ | 0,0000 | 0,000 | 0,0000 | 0,000 |
| n-C ₄ | 0,0000 | 0,000 | 0,0000 | 0,000 |
| i-C ₅ | 0,0000 | 0,000 | 0,0000 | 0,000 |
| n-C ₅ | 0,0000 | 0,000 | 0,0000 | 0,000 |
| n-C ₆₊ | 0,0000 | 0,000 | 0,0000 | 0,000 |
| H ₂ O | 0,0000 | 0,000 | 0,0000 | 0,000 |
| CO | 0,0000 | 0,000 | 0,0000 | 0,000 |

| | | | | |
|----------------|---------------|-------------------|---------------|------------------|
| H ₂ | 0,0000 | 0,000 | 0,0000 | 0,000 |
| O ₂ | 1,0000 | 275112,584 | 0,0000 | 0,000 |
| Ethylene | 0,0000 | 0,000 | 0,0000 | 0,000 |
| Asethylene | 0,0000 | 0,000 | 0,0000 | 0,000 |
| 1,2-Butadiene | 0,0000 | 0,000 | 0,0000 | 0,000 |
| 1-Butene | 0,0000 | 0,000 | 0,0000 | 0,000 |
| MEA | 0,0000 | 0,000 | 0,0000 | 0,000 |
| Total | 1,0000 | 275112,584 | 1,0000 | 18052,000 |

Reaksi utama tangki OCM Reactor :

Reaksi 1 Konversi CH4 = 0,60

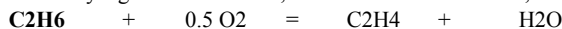
$$\text{CH}_4 \text{ yang bereaksi} = 0,60 \times 301922 = 11322 \text{ kgmole/h}$$



| | | | | |
|---|-------------|-------------|-----------|------------|
| m | 11322,08619 | excess | | |
| r | 11322,08619 | 5661,043095 | 5661,0431 | 22644,1724 |
| s | 0 | 5661,043095 | 5661,0431 | 22644,1724 |

Reaksi 2 Konversi C2H6 = 0,3

$$\text{C}_2\text{H}_6 \text{ yang bereaksi} = 0,3 \times 31961 = 319,61 \text{ kgmole/h}$$

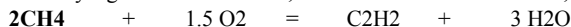


| | | | | |
|---|-------------|-------------|------------|------------|
| m | 319,6136535 | excess | | |
| r | 319,6136535 | 159,8068267 | 319,613653 | 319,613653 |
| s | 0 | 159,8068267 | 319,613653 | 319,613653 |

Reaksi samping tangki OCM Reactor :

Reaksi 3: Konversi C2H2 = 0,120

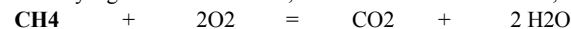
$$\text{CH}_4 \text{ yang bereaksi} = 0,120 \times 301922 = 1393,49 \text{ kgmole/h}$$



| | | | | |
|---|-------------|-------------|------------|------------|
| m | 1393,487531 | excess | | |
| r | 1393,487531 | 2090,231297 | 1393,48753 | 4180,46259 |
| s | 0 | 2090,231297 | 1393,48753 | 4180,46259 |

Reaksi 4: Konversi CH4 = 0,050

$$\text{CH}_4 \text{ yang bereaksi} = 0,050 \times 301922 = 343,094 \text{ kgmole/h}$$



| | | | | |
|---|-------------|-------------|------------|------------|
| m | 343,0935209 | excess | | |
| r | 343,0935209 | 686,1870418 | 343,093521 | 686,187042 |
| s | 0 | 686,1870418 | 343,093521 | 686,187042 |

CH4 tidak bereaksi = 301922 - 11322 - 1393,5 - 343,094

$$= 288864 \text{ kgmole/h}$$

$$= 288864 \times 16$$

$$= 4634210,35 \text{ kg/h}$$

C2H6 tidak bereaksi = 31961 - 319,61

$$= 31642 \text{ kgmole/h}$$

$$= 31642 \times 30,1$$

$$= 951464 \text{ kg/h}$$

C2H4 yang terbentuk = 5980,7 x 28,054

| | | |
|---------------------|---|-----------------------------------|
| | = | 167780 kg/h |
| H2O yang terbentuk | = | 27830 x 18,015 |
| | = | 501368 kg/h |
| CO2 yang terbentuk | = | 343,09 x 44,010 |
| | = | 15099 kg/h |
| CO yang terbentuk | = | 0 x 28,011 |
| | = | 0 kg/h |
| O2 yang dibutuhkan | = | 5661,0 + 159,81 + 2090,2 + 686,19 |
| | = | 8597,26826 kgmole/h |
| | = | 8597,3 x 32 |
| | = | 275113 Kg/hr |
| C2H2 yang terbentuk | = | 1393,5 x 26 |
| | | 36231 kg/hr |

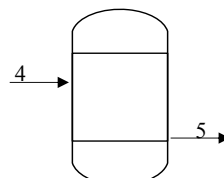
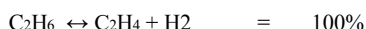
4. Dehidrogenation Reactor (R-101)

Fungsi: Mendehidrogenasi etana menjadi gas *ethylene dan hidrogen*

Arus 4: Arus Keluar OCM Reactor

Arus 5 : Keluar Reactor Dehidrogenasi

Reaksi utama:



Tabel A.5 Neraca Massa Dehidrogenation Reactor (R-101)

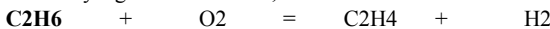
| Komponen | Feed Dehidrogenation (4) | | Keluar (5) | |
|-------------------------------|--------------------------|-----------------|--------------|-----------------|
| | Fraksi Massa | Flowrate (kg/h) | Fraksi Massa | Flowrate (kg/h) |
| CO ₂ | 0,0105 | 67816,368 | 0,0091 | 67816,368 |
| N ₂ | 0,0012 | 7515,039 | 0,0010 | 7515,039 |
| CH ₄ | 0,7171 | 4634210,348 | 0,6251 | 4634210,348 |
| C ₂ H ₂ | 0,0056 | 36232,481 | 0,0049 | 36232,481 |
| C ₂ H ₆ | 0,1472 | 951464,309 | 0,0000 | 0,000 |
| C ₃ H ₆ | 0,0000 | 0,000 | 0,0000 | 0,000 |
| C ₃ | 0,0052 | 33444,071 | 0,0045 | 33444,071 |
| i-C ₄ | 0,0011 | 7098,491 | 0,0010 | 7098,491 |
| n-C ₄ | 0,0015 | 9589,190 | 0,0013 | 9589,190 |
| i-C ₅ | 0,0005 | 3401,092 | 0,0005 | 3401,092 |
| n-C ₅ | 0,0004 | 2628,116 | 0,0004 | 2628,116 |
| n-C ₆₊ | 0,0005 | 3508,450 | 0,0005 | 3508,450 |
| H ₂ O | 0,0776 | 501445,444 | 0,0676 | 501445,444 |
| CO | 0,0000 | 0,000 | 0,0000 | 0,000 |
| H ₂ | 0,0000 | 0,000 | 0,1283 | 951464,309 |
| O ₂ | 0,0000 | 0,000 | 0,0000 | 0,000 |
| Ethylene | 0,0260 | 167780,148 | 0,1510 | 1119244,458 |
| Asethylene | 0,0056 | 36230,676 | 0,0049 | 36230,676 |
| 1,2-Butadiene | 0,0000 | 0,000 | 0,0000 | 0,000 |

| | | | | |
|--------------|---------------|-------------|--------|--------------------|
| 1-Butene | 0,0000 | 0,000 | 0,0000 | 0,000 |
| MEA | 0,0000 | 0,000 | 0,0000 | 0,000 |
| Total | 1,0000 | 6462364,223 | 1,0000 | 7413828,532 |

Reaksi utama tangki Dehydrogenation Reactor :

Reaksi : Konversi C2H6 = 1,00

$$\text{C2H}_6 \text{ yang bereaksi} = 1,00 \times 951464 = 951464 \text{ kgmole/h}$$



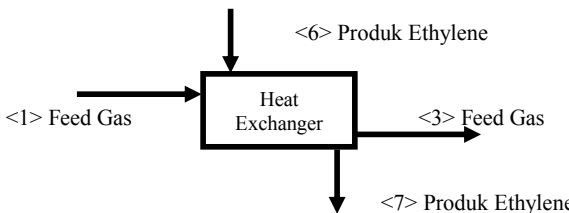
m 951464 excess

r 951464,3093 951464,3093 951464,309 951464,309

s 0 951464,3093 951464,309 951464,309

5. HEAT EXCHANGER (E-100)

Fungsi : Menukar panas antara aliran feed gas dengan produk reaktor OCM



Pada alat Heat Exchanger tidak terjadi perubahan komposisi dan flowrate, sehingga komposisi dan flowrate $<1> = <3>$ dan $<6> = <7>$

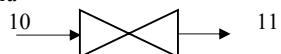
6. Valve

Fungsi: Untuk mengontrol bukaan preheated feed gas alam dan udara

Keterangan aliran:

Arus 10: Gas alam bertekanan 20 bar

Arus 11: Gas alam bertekanan 19,6 bar

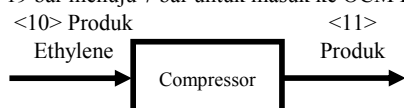


Pada alat Compressor, tidak terjadi perubahan komposisi dan flowrate, sehingga komposisi dan flowrate arus (10) = arus (11)

7. Ekspander (G-100)

Fungsi : Menurunkan tekanan pada aliran Preheated Feed Gas Alam dan O2 dari

19 bar menuju 7 bar untuk masuk ke OCM Reactor

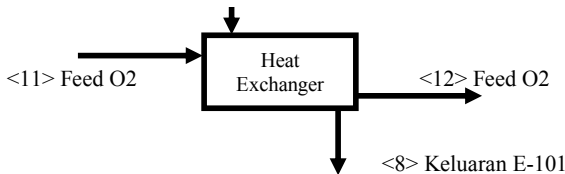


Pada alat Compressor tidak terjadi perubahan komposisi dan flowrate, sehingga komposisi dan flowrate $<11> = <12>$

8. HEAT EXCHANGER (E-101) & (E-102)

Fungsi : Menukar panas antara aliran feed O2 dengan produk keluaran E-100

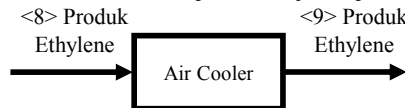




Pada alat Heat Exchanger tidak terjadi perubahan komposisi dan flowrate, sehingga komposisi dan flowrate $<1> = <3>$ dan $<6> = <7>$

9. AIR COOLER (E-200)

Fungsi : Mendinginkan aliran produk ethylene sebelum memasuki Scrubber Sistem Kompresi Menuju temperatur sekitar 32 - 45



Pada alat Air Cooler tidak terjadi perubahan komposisi dan flowrate, sehingga komposisi dan flowrate $<8> = <9>$

10. Flash Separator (F-200)

Fungsi: Untuk memisahkan fase gas dan liquid dari Cooler (E-200)

Keterangan aliran:

Arus 9: Aliran dari Cooler (E-210)

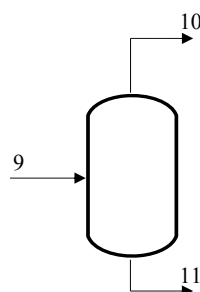
Arus 10: Fase gas dari arus 5

Arus 11: Fase liquid dari arus 5

Kondisi Operasi:

Suhu: 45 Celcius = 318,15 Kelvin

Tekanan: 2 bar = 200 KPa



Tabel A.6. Konstanta Antoine dari berbagai komponen :

| Komponen | Konstanta Antoine | | | | | |
|-------------------------------|-------------------|--------|---|--------|----------|---|
| | a | b | c | d | e | f |
| CO ₂ | 133,60 | -4735 | 0 | -21,27 | 4,09E-02 | 1 |
| N ₂ | 35,41 | -966,2 | 0 | -4,32 | 7,93E-05 | 2 |
| CH ₄ | 31,35 | -1308 | 0 | -3,26 | 2,94E-05 | 2 |
| C ₂ H ₂ | 61,56 | -3244 | 0 | -7,72 | 2,04E-05 | 2 |
| C ₂ H ₆ | 44,01 | -2569 | 0 | -4,98 | 1,46E-05 | 2 |
| C ₃ H ₆ | 58,35 | -3591 | 0 | -7,11 | 1,40E-05 | 2 |
| C ₃ | 52,38 | -3491 | 0 | -6,11 | 1,12E-05 | 2 |

| | | | | | | |
|-------------------|--------|----------|--------|--------|----------|---|
| i-C ₄ | 58,78 | -4137 | 0 | -7,02 | 1,04E-05 | 2 |
| n-C ₄ | 66,94 | -4604 | 0 | -8,26 | 1,16E-05 | 2 |
| i-C ₅ | 66,76 | -5059 | 0 | -8,09 | 9,25E-06 | 2 |
| n-C ₅ | 63,33 | -5118 | 0 | -7,48 | 7,77E-06 | 2 |
| n-C ₆₊ | 70,43 | -6056 | 0 | -8,38 | 6,62E-06 | 2 |
| H ₂ O | 65,93 | -7228 | 0 | -7,18 | 4,03E-06 | 2 |
| CO | 41,66 | -1110 | 0 | -5,46 | 8,64E-05 | 2 |
| H ₂ | 9,18 | -107,9 | 0 | 0,16 | 6,02E-04 | 2 |
| O ₂ | 31,23 | -1090 | 0 | -3,30 | 4,06E-05 | 2 |
| Ethylene | 29,84 | -2116 | 0 | -2,48 | 4,08E-16 | 6 |
| 1,2-Butadiene | 14,09 | -2397 | -30,88 | 0,00 | 0,00E+00 | 2 |
| 1-Butene | 65,42 | -4488 | 0 | -8,02 | 1,13E-05 | 2 |
| MEA | 136,00 | -15003,2 | 0 | -16,71 | 7,11E-06 | 2 |

(Sumber: Aspen HYSYS v.10)

a. Perhitungan tekanan jenuh tiap zat adalah sebagai berikut:

$$\ln P_i^{sat} = a + \frac{b}{(T + c)} + d \ln T + e T^f \quad (\text{A.1})$$

Dengan:

P_{sat} = Tekanan jenuh (KPa)

a s/d f = Konstanta Antoine

T = Suhu (Kelvin)

T = 45 Celcius

= 318,15 Kelvin

$$z_i = \frac{n_i}{n_{total}} \quad (\text{A.2})$$

Dengan:

z_i = fraksi mol zat i

n_i = mol zat i

n_{total} = total mol

$$K_i = \frac{P_i^{sat}}{P} \quad (\text{A.3})$$

Dengan:

K_i = Perbandingan tekanan jenuh zat terhadap tekanan total

P_{i sat} = Tekanan jenuh zat (KPa)

P = Tekanan total

Tabel A.7. Perhitungan Psat setiap zat pada Flash Separator (F-200)

| Komponen | Ln P _{sat} | P _{sat} (KPa) | Flowrate (kmol/h) | z _i | K _i |
|-------------------------------|---------------------|------------------------|-------------------|----------------|----------------|
| CO ₂ | 9,1637 | 9544,65 | 1541,281 | 0,0018 | 47,7233 |
| N ₂ | 15,5192 | 5494280,20 | 268,394 | 0,0003 | 27471,40099 |
| CH ₄ | 11,4250 | 91584,72 | 289638,147 | 0,3458 | 457,9236 |
| C ₂ H ₂ | 8,9260 | 7524,91 | 1393,557 | 0,0017 | 37,6246 |
| C ₂ H ₆ | 8,7427 | 6264,98 | 0,000 | 0,0000 | 31,3249 |
| C ₃ H ₆ | 7,5150 | 1835,29 | 0,000 | 0,0000 | 9,1764 |
| C ₃ | 7,3366 | 1535,45 | 760,093 | 0,0009 | 7,6773 |
| i-C ₄ | 6,3907 | 596,29 | 122,388 | 0,0001 | 2,9814 |
| n-C ₄ | 6,0703 | 432,82 | 165,331 | 0,0002 | 2,1641 |
| i-C ₅ | 5,1823 | 178,10 | 47,237 | 0,0001 | 0,8905 |
| n-C ₅ | 4,9084 | 135,42 | 36,502 | 0,0000 | 0,6771 |

| | | | | | |
|-------------------|---------|------------|------------|--------|-------------|
| n-C ₆₊ | 3,7805 | 43,84 | 40,796 | 0,0000 | 0,2192 |
| H ₂ O | 2,2615 | 9,60 | 27834,730 | 0,0332 | 0,0480 |
| CO | 15,4799 | 5282186,05 | 0,000 | 0,0000 | 26410,93027 |
| H ₂ | 70,7438 | 5,29E+30 | 475732,155 | 0,5680 | 2,64618E+28 |
| O ₂ | 12,8883 | 395666,42 | 0,000 | 0,0000 | 1978,3321 |
| Ethylene | 9,3094 | 11040,97 | 39973,016 | 0,0477 | 55,2049 |
| 1,2-Butadiene | 5,7459 | 312,92 | 0,000 | 0,0000 | 1,5646 |
| 1-Butene | 6,2546 | 520,40 | 0,000 | 0,0000 | 2,6020 |
| MEA | -6,7297 | 0,00 | 0,000 | 0,0000 | 0,0000 |
| Total | | | 837553,626 | 1,0000 | |

b. Trial V

Nilai y_i dan x_i dapat diperoleh dari persamaan berikut:

$$\sum_i y_i = \sum_i \frac{z_i K_i}{1 + V(K_i - 1)} = 1 \quad (\text{A.4})$$

$$x_i = \frac{y_i}{K_i} \quad (\text{A.5})$$

Tabel A.8. Perhitungan yi dan xi pada Flash Separator (F-200)

| Komponen | y _i | x _i | z _i |
|-------------------------------|----------------|----------------|----------------|
| CO ₂ | 0,0018 | 0,0000 | 0,0018 |
| N ₂ | 0,0003 | 0,0000 | 0,0003 |
| CH ₄ | 0,3461 | 0,0008 | 0,3458 |
| C ₂ H ₂ | 0,0017 | 0,0000 | 0,0017 |
| C ₂ H ₆ | 0,0000 | 0,0000 | 0,0000 |
| C ₃ H ₆ | 0,0000 | 0,0000 | 0,0000 |
| C ₃ | 0,0009 | 0,0001 | 0,0009 |
| i-C ₄ | 0,0001 | 0,0000 | 0,0001 |
| n-C ₄ | 0,0002 | 0,0001 | 0,0002 |
| i-C ₅ | 0,0001 | 0,0001 | 0,0001 |
| n-C ₅ | 0,0000 | 0,0001 | 0,0000 |
| n-C ₆₊ | 0,0000 | 0,0002 | 0,0000 |
| H ₂ O | 0,0328 | 0,6827 | 0,0332 |
| CO | 0,0000 | 0,0000 | 0,0000 |
| H ₂ | 0,5684 | 0,0000 | 0,5680 |
| O ₂ | 0,0000 | 0,0000 | 0,0000 |
| Ethylene | 0,0478 | 0,0009 | 0,0477 |
| 1,2-Butadiene | 0,0000 | 0,0000 | 0,0000 |
| 1-Butene | 0,0000 | 0,0000 | 0,0000 |
| MDEA | 0,0000 | 0,0000 | 0,0000 |
| Total | 1,000227302 | 0,6851 | 1,0000 |
| V | 0,9993 | | |
| L | 0,0007 | | |

Tabel A.9. Neraca Massa Flash Separator F-200)

| Komponen | Masuk (5) | | Keluar (6) | | |
|----------|--------------|-----------------|--------------|-----------------|---------|
| | Fraksi Massa | Flowrate (kg/h) | Fraksi Massa | Flowrate (kg/h) | Kmol/Hr |

| | | | | | |
|-------------------------------|---------------|--------------------|---------------|--------------------|-------------|
| CO ₂ | 0,0092 | 67816,368 | 0,0096 | 67738,233 | 1539,5053 |
| N ₂ | 0,0010 | 7515,039 | 0,0011 | 7515,018 | 268,3935129 |
| CH ₄ | 0,6281 | 4634210,348 | 0,6568 | 4633653,892 | 289603,3683 |
| C ₂ H ₂ | 0,0049 | 36232,481 | 0,0051 | 36179,617 | 1391,523716 |
| C ₂ H ₆ | 0,0000 | 0,000 | 0,0000 | 0,000 | 0 |
| C ₃ H ₆ | 0,0000 | 0,000 | 0,0000 | 0,000 | 0 |
| C ₃ | 0,0045 | 33444,071 | 0,0047 | 33200,048 | 754,5465496 |
| i-C ₄ | 0,0010 | 7098,491 | 0,0010 | 6961,093 | 120,0188465 |
| n-C ₄ | 0,0013 | 9589,190 | 0,0013 | 9330,194 | 160,8654169 |
| i-C ₅ | 0,0005 | 3401,092 | 0,0005 | 3176,054 | 44,11186084 |
| n-C ₅ | 0,0004 | 2628,116 | 0,0003 | 2399,721 | 33,32945466 |
| n-C ₆₊ | 0,0005 | 3508,450 | 0,0004 | 2661,690 | 30,94987801 |
| H ₂ O | 0,0680 | 501445,444 | 0,0258 | 182319,091 | 10120,34856 |
| CO | 0,0000 | 0,000 | 0,0000 | 0,000 | 0 |
| H ₂ | 0,1290 | 951464,309 | 0,1349 | 951464,309 | 475732,1547 |
| O ₂ | 0,0000 | 0,000 | 0,0000 | 0,000 | 0 |
| Ethylene | 0,1517 | 1119244,458 | 0,1585 | 1118135,125 | 39933,39732 |
| 1,2-Butadiene | 0,0000 | 0,000 | 0,0000 | 0,000 | 0 |
| 1-Butene | 0,0000 | 0,000 | 0,0000 | 0,000 | 0 |
| MEA | 0,0000 | 0,000 | 0,0000 | 0,000 | 0 |
| Total | 1,0000 | 7377597,856 | 1,0000 | 7054734,086 | 819732,5133 |
| | | | | Keluar (7) | |
| Komponen | | | Fraksi Massa | Flowrate (kg/h) | Kmol/Hr |
| CO ₂ | | | 0,0002 | 78,134 | 1,77578378 |
| N ₂ | | | 0,0000 | 0,021 | 0,000735806 |
| CH ₄ | | | 0,0017 | 556,456 | 34,77850803 |
| C ₂ H ₂ | | | 0,0002 | 52,864 | 2,033246138 |
| C ₂ H ₆ | | | 0,0000 | 0,000 | 0 |
| C ₃ H ₆ | | | 0,0000 | 0,000 | 0 |
| C ₃ | | | 0,0008 | 244,022 | 5,545962731 |
| i-C ₄ | | | 0,0004 | 137,398 | 2,368930937 |
| n-C ₄ | | | 0,0008 | 258,996 | 4,465440322 |
| i-C ₅ | | | 0,0007 | 225,038 | 3,125526933 |
| n-C ₅ | | | 0,0007 | 228,396 | 3,172163165 |
| n-C ₆₊ | | | 0,0026 | 846,760 | 9,846047794 |
| H ₂ O | | | 0,9884 | 319126,353 | 17714,38141 |
| CO | | | 0,0000 | 0,000 | 0 |
| H ₂ | | | 0,0000 | 0,000 | 0 |
| O ₂ | | | 0,0000 | 0,000 | 0 |
| Ethylene | | | 0,0034 | 1109,333 | 39,61902106 |
| 1,2-Butadiene | | | 0,0000 | 0,000 | 0 |
| 1-Butene | | | 0,0000 | 0,000 | 0 |
| MEA | | | 0,0000 | 0,000 | 0 |
| Total | | | 1,0000 | 322863,770 | 17821,11278 |

11. Compressor (G-200)

Fungsi: Untuk meningkatkan tekanan aliran

Keterangan aliran:



Arus 10: Gas alam bertekanan 2 bar

Arus 12: Gas alam bertekanan 8 bar

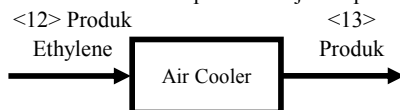
Pada alat Compressor, tidak terjadi perubahan komposisi dan flowrate, sehingga komposisi dan flowrate arus (10) = arus (12)



12. AIR COOLER (E-201)

Fungsi : Mendinginkan aliran produk ethylene sebelum memasuki

Scrubber Sistem Kompresi Menuju temperatur sekitar 32 - 45



Pada alat Air Cooler tidak terjadi perubahan komposisi dan flowrate, sehingga komposisi dan flowrate <12> = <13>

13. Flash Separator (F-201)

Fungsi: Untuk memisahkan fase gas dan liquid dari Cooler (E-210)

Keterangan aliran:

Arus 13: Aliran dari Cooler (E-210)

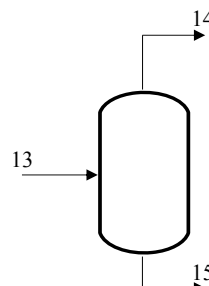
Arus 14: Fase gas dari arus 12

Arus 15: Fase liquid dari arus 12

Kondisi Operasi:

Suhu: 45 Celcius = 318,15 Kelvin

Tekanan: 8 bar = 800 KPa



b. Trial V

Nilai y_i dan x_i dapat diperoleh dari persamaan berikut:

$$\sum_i y_i = \sum_i \frac{z_i K_i}{1 + V(K_i - 1)} = 1 \quad (\text{A.4})$$

$$x_i = \frac{y_i}{K_i} \quad (\text{A.5})$$

Tabel A.10. Perhitungan y_i dan x_i pada Flash Separator (F-201)

| Komponen | y_i | x_i | z_i |
|-------------------------------|-------------|--------|--------|
| CO ₂ | 0,001931136 | 0,0002 | 0,0019 |
| N ₂ | 0,000337541 | 0,0000 | 0,0003 |
| CH ₄ | 0,364118212 | 0,0032 | 0,3533 |
| C ₂ H ₂ | 0,0017443 | 0,0002 | 0,0017 |
| C ₂ H ₆ | 0 | 0,0000 | 0,0000 |

| | | | |
|-------------------------------|-------------|--------|--------|
| C ₃ H ₆ | 0 | 0,0000 | 0,0000 |
| C ₃ | 0,000933899 | 0,0005 | 0,0009 |
| i-C ₄ | 0,000144927 | 0,0002 | 0,0001 |
| n-C ₄ | 0,000191371 | 0,0004 | 0,0002 |
| i-C ₅ | 4,87098E-05 | 0,0002 | 0,0001 |
| n-C ₅ | 3,5441E-05 | 0,0002 | 0,0000 |
| n-C ₆₊ | 2,48813E-05 | 0,0005 | 0,0000 |
| H ₂ O | 0,003557341 | 0,2965 | 0,0123 |
| CO | 0 | 0,0000 | 0,0000 |
| H ₂ | 0,59829946 | 0,0000 | 0,5804 |
| O ₂ | 0 | 0,0000 | 0,0000 |
| Ethylene | 0,050109517 | 0,0036 | 0,0487 |
| 1,2-Butadiene | 0 | 0,0000 | 0,0000 |
| 1-Butene | 0 | 0,0000 | 0,0000 |
| MDEA | 0 | 0,0000 | 0,0000 |
| Total | 1,0215 | 0,3056 | 1,0000 |
| V | 0,9700 | | |
| L | 0,0300 | | |

Tabel A.11. Neraca Massa Flash Separator F-201)

| Komponen | Masuk (13) | | Keluar (14) | | |
|-------------------------------|---------------|--------------------|---------------|--------------------|-------------|
| | Fraksi Massa | Flowrate (kg/h) | Fraksi Massa | Flowrate (kg/h) | Kmol/Hr |
| CO ₂ | 0,0098 | 67685,820 | 0,0098 | 67563,092 | 1535,524812 |
| N ₂ | 0,0011 | 7514,986 | 0,0011 | 7514,985 | 268,3923043 |
| CH ₄ | 0,6682 | 4633320,260 | 0,6698 | 4632402,416 | 289525,151 |
| C ₂ H ₂ | 0,0052 | 36144,386 | 0,0052 | 36061,046 | 1386,963315 |
| C ₂ H ₆ | 0,0000 | 0,000 | 0,0000 | 0,000 | 0 |
| C ₃ H ₆ | 0,0000 | 0,000 | 0,0000 | 0,000 | 0 |
| C ₃ | 0,0048 | 33012,179 | 0,0047 | 32673,547 | 742,5806186 |
| i-C ₄ | 0,0010 | 6836,745 | 0,0010 | 6683,758 | 115,2372032 |
| n-C ₄ | 0,0013 | 9079,454 | 0,0013 | 8825,671 | 152,1667499 |
| i-C ₅ | 0,0004 | 2936,777 | 0,0004 | 2788,641 | 38,73112678 |
| n-C ₅ | 0,0003 | 2151,925 | 0,0003 | 2028,999 | 28,18054157 |
| n-C ₆₊ | 0,0003 | 1880,879 | 0,0002 | 1701,435 | 19,78413238 |
| H ₂ O | 0,0093 | 64375,300 | 0,0074 | 50957,265 | 2828,586291 |
| CO | 0,0000 | 0,000 | 0,0000 | 0,000 | 0 |
| H ₂ | 0,1372 | 951464,309 | 0,1376 | 951464,309 | 475732,1547 |
| O ₂ | 0,0000 | 0,000 | 0,0000 | 0,000 | 0 |
| Ethylene | 0,1612 | 1117466,776 | 0,1613 | 1115635,042 | 39844,10865 |
| 1,2-Butadiene | 0,0000 | 0,000 | 0,0000 | 0,000 | 0 |
| 1-Butene | 0,0000 | 0,000 | 0,0000 | 0,000 | 0 |
| MDEA | 0,0000 | 0,000 | 0,0000 | 0,000 | 0 |
| Total | 1,0000 | 6933869,795 | 1,0000 | 6916300,206 | 812217,5614 |
| Komponen | | | Keluar (15) | | |
| | | | Fraksi Massa | Flowrate (kg/h) | Kmol/Hr |
| CO ₂ | | | 0,0070 | 122,728 | 2,789273064 |
| N ₂ | | | 0,0000 | 0,001 | 4,27923E-05 |
| CH ₄ | | | 0,0522 | 917,844 | 57,36526349 |

| | | | | |
|-------------------------------|--|---------------|------------------|-------------|
| C ₂ H ₂ | | 0,0047 | 83,340 | 3,20537212 |
| C ₂ H ₆ | | 0,0000 | 0,000 | 0 |
| C ₃ H ₆ | | 0,0000 | 0,000 | 0 |
| C ₃ | | 0,0193 | 338,631 | 7,696166581 |
| i-C ₄ | | 0,0087 | 152,987 | 2,637703538 |
| n-C ₄ | | 0,0144 | 253,783 | 4,375564449 |
| i-C ₅ | | 0,0084 | 148,136 | 2,05744083 |
| n-C ₅ | | 0,0070 | 122,926 | 1,70730371 |
| n-C ₆₊ | | 0,0102 | 179,444 | 2,086554833 |
| H ₂ O | | 0,7637 | 13418,035 | 744,8215924 |
| CO | | 0,0000 | 0,000 | 0 |
| H ₂ | | 0,0000 | 0,000 | 0 |
| O ₂ | | 0,0000 | 0,000 | 0 |
| Ethylene | | 0,1043 | 1831,734 | 65,41906623 |
| 1,2-Butadiene | | 0,0000 | 0,000 | 0 |
| 1-Butene | | 0,0000 | 0,000 | 0 |
| MDEA | | 0,0000 | 0,000 | 0 |
| Total | | 1,0000 | 17569,589 | 894,1613441 |

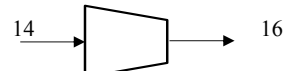
14. Compressor (G-201)

Fungsi: Untuk meningkatkan tekanan aliran

Keterangan aliran:

Arus 14: Gas alam bertekanan 8 bar

Arus 15: Gas alam bertekanan 12 bar

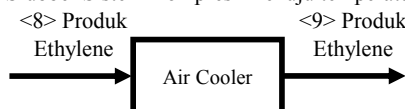


Pada alat Compressor, tidak terjadi perubahan komposisi dan flowrate, sehingga komposisi dan flowrate arus (20) = arus (21)

15. AIR COOLER (E-202)

Fungsi : Mendinginkan aliran produk ethylene sebelum memasuki

Scrubber Sistem Kompresi Menuju temperatur sekitar 32 - 45



Pada alat Air Cooler tidak terjadi perubahan komposisi dan flowrate, sehingga komposisi dan flowrate <8> = <9>

16. Flash Separator (F-202)

Fungsi: Untuk memisahkan fase gas dan liquid dari Cooler (E-202)

Keterangan aliran:

Arus 5: Aliran dari Cooler (E-202)

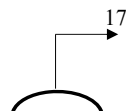
Arus 6: Fase gas dari arus 16

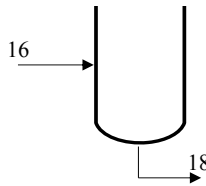
Arus 7: Fase liquid dari arus 16

Kondisi Operasi:

Suhu: 0 Celcius = 273,15 Kelvin

Tekanan: 12 bar = 1200 KPa





b. Trial V

Nilai y_i dan x_i dapat diperoleh dari persamaan berikut:

$$\sum_i y_i = \sum_i \frac{z_i K_i}{1 + V(K_i - 1)} = 1 \quad (\text{A.4})$$

$$x_i = \frac{y_i}{K_i} \quad (\text{A.5})$$

Tabel A.12. Perhitungan y_i dan x_i pada Flash Separator (F-202)

| Komponen | y_i | x_i | z_i |
|-------------------------------|--------|--------|--------|
| CO ₂ | 0,0020 | 0,0003 | 0,0019 |
| N ₂ | 0,0004 | 0,0000 | 0,0003 |
| CH ₄ | 0,3870 | 0,0051 | 0,3565 |
| C ₂ H ₂ | 0,0018 | 0,0003 | 0,0017 |
| C ₂ H ₆ | 0,0000 | 0,0000 | 0,0000 |
| C ₃ H ₆ | 0,0000 | 0,0000 | 0,0000 |
| C ₃ | 0,0009 | 0,0007 | 0,0009 |
| i-C ₄ | 0,0001 | 0,0003 | 0,0001 |
| n-C ₄ | 0,0002 | 0,0005 | 0,0002 |
| i-C ₅ | 0,0000 | 0,0002 | 0,0000 |
| n-C ₅ | 0,0000 | 0,0002 | 0,0000 |
| n-C ₆₊ | 0,0000 | 0,0002 | 0,0000 |
| H ₂ O | 0,0003 | 0,0399 | 0,0035 |
| CO | 0,0000 | 0,0000 | 0,0000 |
| H ₂ | 0,6367 | 0,0000 | 0,5857 |
| O ₂ | 0,0000 | 0,0000 | 0,0000 |
| Ethylene | 0,0528 | 0,0057 | 0,0491 |
| 1,2-Butadiene | 0,0000 | 0,0000 | 0,0000 |
| 1-Butene | 0,0000 | 0,0000 | 0,0000 |
| MDEA | 0,0000 | 0,0000 | 0,0000 |
| Total | 1,0823 | 0,0533 | 1,0000 |
| V | 0,9200 | | |
| L | 0,0800 | | |

Tabel A.13. Neraca Massa Flash Separator F-202)

| Komponen | Masuk (16) | | Keluar (17) | | |
|-------------------------------|--------------|-----------------|--------------|-----------------|-------------|
| | Fraksi Massa | Flowrate (kg/h) | Fraksi Massa | Flowrate (kg/h) | Kmol/h |
| CO ₂ | 0,0098 | 67431,015 | 0,0098 | 66832,439 | 1518,919079 |
| N ₂ | 0,0011 | 7514,881 | 0,0011 | 7514,842 | 268,387207 |
| CH ₄ | 0,6748 | 4631577,069 | 0,6760 | 4627130,455 | 289195,6535 |
| C ₂ H ₂ | 0,0052 | 35972,612 | 0,0052 | 35567,828 | 1367,993374 |

| | | | | | |
|-------------------------------|---------------|--------------------|---------------|--------------------|-------------|
| C ₂ H ₆ | 0,0000 | 0,000 | 0,0000 | 0,000 | 0 |
| C ₃ H ₆ | 0,0000 | 0,000 | 0,0000 | 0,000 | 0 |
| C ₃ | 0,0047 | 32187,169 | 0,0045 | 30594,384 | 695,3269179 |
| i-C ₄ | 0,0009 | 6359,716 | 0,0008 | 5688,323 | 98,07454116 |
| n-C ₄ | 0,0012 | 8179,749 | 0,0010 | 7111,234 | 122,6074744 |
| i-C ₅ | 0,0003 | 2242,235 | 0,0003 | 1758,394 | 24,42213735 |
| n-C ₅ | 0,0002 | 1501,126 | 0,0002 | 1145,960 | 15,91611587 |
| n-C ₆₊ | 0,0001 | 697,829 | 0,0001 | 503,353 | 5,852936195 |
| H ₂ O | 0,0007 | 4501,235 | 0,0006 | 4292,245 | 238,2581757 |
| CO | 0,0000 | 0,000 | 0,0000 | 0,000 | 0 |
| H ₂ | 0,1386 | 951464,309 | 0,1390 | 951464,309 | 475732,1547 |
| O ₂ | 0,0000 | 0,000 | 0,0000 | 0,000 | 0 |
| Ethylene | 0,1623 | 1113994,793 | 0,1615 | 1105189,931 | 39471,06897 |
| 1,2-Butadiene | 0,0000 | 0,000 | 0,0000 | 0,000 | 0 |
| 1-Butene | 0,0000 | 0,000 | 0,0000 | 0,000 | 0 |
| MDEA | 0,0000 | 0,000 | 0,0000 | 0,000 | 0 |
| Total | 1,0000 | 6863623,739 | 1,0000 | 6844793,698 | 808754,635 |
| | | | | | Keluar (18) |
| Komponen | | | Fraksi Massa | Flowrate (kg/h) | Kmol/h |
| CO ₂ | | | 0,0318 | 598,576 | 13,60399241 |
| N ₂ | | | 0,0000 | 0,040 | 0,001414377 |
| CH ₄ | | | 0,2361 | 4446,613 | 277,9133418 |
| C ₂ H ₂ | | | 0,0215 | 404,784 | 15,56860703 |
| C ₂ H ₆ | | | 0,0000 | 0,000 | 0 |
| C ₃ H ₆ | | | 0,0000 | 0,000 | 0 |
| C ₃ | | | 0,0846 | 1592,785 | 36,19965325 |
| i-C ₄ | | | 0,0357 | 671,393 | 11,57573477 |
| n-C ₄ | | | 0,0567 | 1068,515 | 18,42268047 |
| i-C ₅ | | | 0,0257 | 483,842 | 6,720021183 |
| n-C ₅ | | | 0,0189 | 355,165 | 4,932853956 |
| n-C ₆₊ | | | 0,0103 | 194,477 | 2,261354931 |
| H ₂ O | | | 0,0111 | 208,990 | 11,60085 |
| CO | | | 0,0000 | 0,000 | 0 |
| H ₂ | | | 0,0000 | 0,000 | 0 |
| O ₂ | | | 0,0000 | 0,000 | 0 |
| Ethylene | | | 0,4676 | 8804,861 | 314,4593363 |
| 1,2-Butadiene | | | 0,0000 | 0,000 | 0 |
| 1-Butene | | | 0,0000 | 0,000 | 0 |
| MDEA | | | 0,0000 | 0,000 | 0 |
| Total | | | 1,0000 | 18830,041 | 713,2598405 |

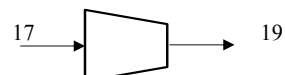
17. Compressor (G-202)

Fungsi: Untuk meningkatkan tekanan aliran

Keterangan aliran:

Arus 17: Gas alam bertekanan 12 bar

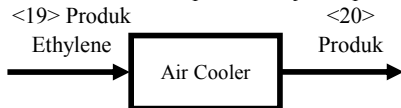
Arus 19: Gas alam bertekanan 33 bar



Pada alat Compressor, tidak terjadi perubahan komposisi dan flowrate, sehingga komposisi dan flowrate arus (17) = arus (18)

18. AIR COOLER (E-203)

Fungsi : Mendinginkan aliran produk ethylene sebelum memasuki Scrubber Sistem Kompresi Menuju temperatur sekitar 32 - 45



Pada alat Air Cooler tidak terjadi perubahan komposisi dan flowrate, sehingga komposisi dan flowrate $<8> = <9>$

19. Flash Separator (F-203)

Fungsi: Untuk memisahkan fase gas dan liquid dari Cooler (E-210)

Keterangan aliran:

Arus 20: Aliran dari Cooler (E-203)

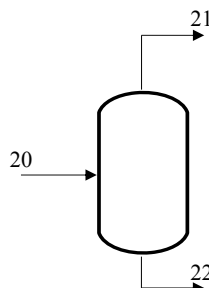
Arus 21: Fase gas dari arus 5

Arus 22: Fase liquid dari arus 5

Kondisi Operasi:

Suhu: 32 Celcius = 305,15 Kelvin

Tekanan: 33 bar = 3300 KPa



b. Trial V

Nilai y_i dan x_i dapat diperoleh dari persamaan berikut:

$$\sum_i y_i = \sum_i \frac{z_i K_i}{1 + V(K_i - 1)} = 1 \quad (\text{A.4})$$

$$x_i = \frac{y_i}{K_i} \quad (\text{A.5})$$

Tabel A.14. Perhitungan y_i dan x_i pada Flash Separator (F-203)

| Komponen | y_i | x_i | z_i |
|-------------------------------|--------|--------|--------|
| CO ₂ | 0,0020 | 0,0007 | 0,0019 |
| N ₂ | 0,0004 | 0,0000 | 0,0003 |
| CH ₄ | 0,3875 | 0,0140 | 0,3576 |
| C ₂ H ₂ | 0,0018 | 0,0008 | 0,0017 |
| C ₂ H ₆ | 0,0000 | 0,0000 | 0,0000 |
| C ₃ H ₆ | 0,0000 | 0,0000 | 0,0000 |
| C ₃ | 0,0008 | 0,0017 | 0,0009 |
| i-C ₄ | 0,0001 | 0,0005 | 0,0001 |
| n-C ₄ | 0,0001 | 0,0008 | 0,0002 |

| | | | |
|-------------------|--------|--------|--------|
| i-C ₅ | 0,0000 | 0,0002 | 0,0000 |
| n-C ₅ | 0,0000 | 0,0002 | 0,0000 |
| n-C ₆₊ | 0,0000 | 0,0001 | 0,0000 |
| H ₂ O | 0,0000 | 0,0036 | 0,0003 |
| CO | 0,0000 | 0,0000 | 0,0000 |
| H ₂ | 0,6394 | 0,0000 | 0,5882 |
| O ₂ | 0,0000 | 0,0000 | 0,0000 |
| Ethylene | 0,0517 | 0,0155 | 0,0488 |
| 1,2-Butadiene | 0,0000 | 0,0000 | 0,0000 |
| 1-Butene | 0,0000 | 0,0000 | 0,0000 |
| MDEA | 0,0000 | 0,0000 | 0,0000 |
| Total | 1,0837 | 0,0379 | 1,0000 |
| V | 0,9200 | | |
| L | 0,0800 | | |

Tabel A.15. Neraca Massa Flash Separator F-203)

| Komponen | Masuk (20) | | Keluar (21) | | |
|-------------------------------|---------------|--------------------|---------------|--------------------|-------------|
| | Fraksi Massa | Flowrate (kg/h) | Fraksi Massa | Flowrate (kg/h) | (kmol/h) |
| CO ₂ | 0,0098 | 66856,727 | 0,0096 | 64881,791 | 1474,586169 |
| N ₂ | 0,0011 | 7514,644 | 0,0011 | 7514,449 | 268,3731904 |
| CH ₄ | 0,6766 | 4627617,842 | 0,6800 | 4612677,848 | 288292,3655 |
| C ₂ H ₂ | 0,0052 | 35586,328 | 0,0051 | 34261,300 | 1317,742322 |
| C ₂ H ₆ | 0,0000 | 0,000 | 0,0000 | 0,000 | 0 |
| C ₃ H ₆ | 0,0000 | 0,000 | 0,0000 | 0,000 | 0 |
| C ₃ | 0,0044 | 30415,017 | 0,0038 | 25776,995 | 585,8407927 |
| i-C ₄ | 0,0008 | 5433,298 | 0,0006 | 3840,246 | 66,21114035 |
| n-C ₄ | 0,0010 | 6543,627 | 0,0006 | 4276,163 | 73,72695379 |
| i-C ₅ | 0,0002 | 1315,764 | 0,0001 | 673,396 | 9,352727182 |
| n-C ₅ | 0,0001 | 756,036 | 0,0001 | 367,406 | 5,102860065 |
| n-C ₆₊ | 0,0000 | 143,769 | 0,0000 | 66,708 | 0,775678717 |
| H ₂ O | 0,0000 | 144,098 | 0,0000 | 138,917 | 7,711162222 |
| CO | 0,0000 | 0,000 | 0,0000 | 0,000 | 0 |
| H ₂ | 0,1391 | 951464,309 | 0,1403 | 951464,309 | 475732,1547 |
| O ₂ | 0,0000 | 0,000 | 0,0000 | 0,000 | 0 |
| Ethylene | 0,1617 | 1106157,818 | 0,1588 | 1077193,507 | 38471,19668 |
| 1,2-Butadiene | 0,0000 | 0,000 | 0,0000 | 0,000 | 0 |
| 1-Butene | 0,0000 | 0,000 | 0,0000 | 0,000 | 0 |
| MDEA | 0,0000 | 0,000 | 0,0000 | 0,000 | 0 |
| Total | 1,0000 | 6839949,277 | 1,0000 | 6783133,038 | 806305,1398 |
| Komponen | | | Keluar (22) | | |
| | | | Fraksi Massa | Flowrate (kg/h) | Kmol/hr |
| CO ₂ | | | 0,0348 | 1974,936 | 44,88491058 |
| N ₂ | | | 0,0000 | 0,195 | 0,006962175 |
| CH ₄ | | | 0,2630 | 14939,993 | 933,7495934 |
| C ₂ H ₂ | | | 0,0233 | 1325,027 | 50,96259462 |
| C ₂ H ₆ | | | 0,0000 | 0,000 | 0 |
| C ₃ H ₆ | | | 0,0000 | 0,000 | 0 |
| C ₃ | | | 0,0816 | 4638,022 | 105,4095897 |

| | | | | |
|-------------------|--|---------------|------------------|-------------|
| i-C ₄ | | 0,0280 | 1593,052 | 27,46640885 |
| n-C ₄ | | 0,0399 | 2267,464 | 39,09420172 |
| i-C ₅ | | 0,0113 | 642,368 | 8,9217763 |
| n-C ₅ | | 0,0068 | 388,630 | 5,397633903 |
| n-C ₆₊ | | 0,0014 | 77,061 | 0,896055761 |
| H ₂ O | | 0,0001 | 5,180 | 0,287561669 |
| CO | | 0,0000 | 0,000 | 0 |
| H ₂ | | 0,0000 | 0,000 | 0 |
| O ₂ | | 0,0000 | 0,000 | 0 |
| Ethylene | | 0,5098 | 28964,311 | 1034,439672 |
| 1,2-Butadiene | | 0,0000 | 0,000 | 0 |
| 1-Butene | | 0,0000 | 0,000 | 0 |
| MDEA | | 0,0000 | 0,000 | 0 |
| Total | | 1,0000 | 56816,239 | 2251,51696 |

20. Absorber (D-300)

Fungsi: Membersihkan gas dari CO₂ dengan MEA

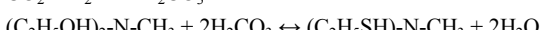
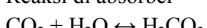
Arus 21: Arus gabungan dari Arus 1 dan Arus 22

Arus 23: Lean MEA 70% b/b

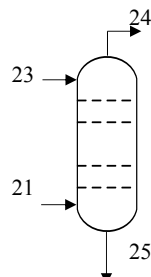
Arus 24: Gas dengan kadar CO₂ 1 ppm

Arus 25: Rich MEA setelah mengabsorbsi CO₂

Reaksi di absorber



Asumsi recovery 99,9%



Tabel A.16. Gas Stream Absorber dan Stripper

| Stream | Variabel | Flowrate mol (kmol/min) | CO ₂ | T[K] | P (atm) |
|--------|-------------------|-------------------------|-----------------|------|---------|
| 2 | n _{feed} | 13447,4587 | 0,0018 | 273 | 0,000 |
| 3 | n _{TG} | 13422,7186 | 0,0000 | 273 | 0,000 |
| 4 | n _{cc} | 24,7154 | 1,0000 | 273 | 0,000 |

Tabel A.17. Konversi Flowrate Massa ke Flowrate Molar

| Komponen | Masuk (21) | | Masuk (21) | |
|-------------------------------|--------------|-----------------|------------|-------------------|
| | Fraksi Massa | Flowrate (kg/h) | Fraksi Mol | Flowrate (kmol/h) |
| CO ₂ | 0,0096 | 65313,882 | 0,0018 | 1484,406 |
| N ₂ | 0,0011 | 7513,992 | 0,0003 | 268,357 |
| CH ₄ | 0,6794 | 4616755,524 | 0,3576 | 288547,220 |
| C ₂ H ₂ | 0,0051 | 34554,838 | 0,0016 | 1329,032 |
| C ₂ H ₆ | 0,0000 | 0,000 | 0,0000 | 0,000 |
| C ₃ H ₆ | 0,0000 | 0,000 | 0,0000 | 0,000 |
| C ₃ | 0,0039 | 26214,629 | 0,0007 | 595,787 |
| i-C ₄ | 0,0005 | 3698,900 | 0,0001 | 63,774 |
| n-C ₄ | 0,0006 | 3877,497 | 0,0001 | 66,853 |
| i-C ₅ | 0,0001 | 448,093 | 0,0000 | 6,224 |
| n-C ₅ | 0,0000 | 203,773 | 0,0000 | 2,830 |

| | | | | |
|------------------|---------------|--------------------|---------------|-------------------|
| n-C6+ | 0,0000 | 12,396 | 0,0000 | 0,144 |
| H ₂ O | 0,0000 | 1,712 | 0,0000 | 0,095 |
| CO | 0,0000 | 0,000 | 0,0000 | 0,000 |
| H ₂ | 0,1400 | 951464,309 | 0,5896 | 475732,155 |
| O ₂ | 0,0000 | 0,000 | 0,0000 | 0,000 |
| Ethylene | 0,1597 | 1085018,012 | 0,0480 | 38750,643 |
| 1,2-Butadiene | 0,0000 | 0,000 | 0,0000 | 0,000 |
| 1-Butene | 0,0000 | 0,000 | 0,0000 | 0,000 |
| MEA | 0,0000 | 0,000 | 0,0000 | 0,000 |
| Total | 1,0000 | 6795077,558 | 1,0000 | 806847,521 |

| | | | | | |
|-----------|-----------------|---|------------------|----------------------|--------------------------------|
| Mula-mula | CO ₂ | + | H ₂ O | \rightleftharpoons | H ₂ CO ₃ |
| | 24,740 | | 141,132463 | | |
| Reaksi | 24,715 | | 24,715 | | 24,715 |
| Sisa | 0,025 | | 116,417 | | 24,715 |

| | | | | | | | |
|-----------|--|---|---------------------------------|----------------------|--|---|-------------------|
| Mula-mula | (C ₂ H ₅ OH) ₂ -N-CH ₃ | + | 2H ₂ CO ₃ | \rightleftharpoons | (C ₂ H ₅ SH)-N-CH ₃ | + | 2H ₂ O |
| | 82,27177778 | | 24,715 | | | | |
| Reaksi | 12,35768327 | | 24,715 | | 12,3576833 | | 12,35768327 |
| Sisa | 69,91409451 | | 0,000 | | 12,3576833 | | 12,35768327 |

Tabel A.18. Liquid Stream Absorber dan Stripper

| Liquid Amine | Density (kg/m ³) | Flow rate (m ³ /min) | M _{MDEA} (kg/kmol) | [MDEA] |
|--------------|------------------------------|---------------------------------|-----------------------------|--------|
| MEA | 8,4622 | 1000 | 72,0 | 70% |

Hitung flowrate mol dari n_{TG} dan n_{cc}

Perhitungan gas selain CO₂

$$n_{\text{feed}}^{\text{O.G.}} = n_{\text{feed}} - n_{\text{feed}}^{\text{CO}_2}$$

$$= 13422,71858 \text{ kmol/min}$$

Perhitungan MEA

$$\text{Flowrate L. MEA} = 8462,2 \text{ kg/min}$$

$$m_{\text{MDEA}} = 5923,568 \text{ kg/min}$$

$$n_{\text{MDEA}} = 82,27178 \text{ kmol/min}$$

Perhitungan Absorber Loading

$$\text{Absorber Loading} = 0,300411 \text{ kmol CO}_2/\text{kmol MEA}$$

Perhitungan CO₂ recovery

$$\% \text{CO}_2 \text{ recovered} = 99,9\%$$

Tabel A.19. Neraca Massa Absorber

| Komponen | Masuk (23) | | Keluar (24) | |
|-----------------|--------------|-----------------|--------------|-----------------|
| | Fraksi Massa | Flowrate (kg/h) | Fraksi Massa | Flowrate (kg/h) |
| CO ₂ | 0,0096 | 65313,882 | 0,0000 | 1,484 |
| N ₂ | 0,0011 | 7513,992 | 0,0011 | 7513,992 |

| | | | | |
|-------------------------------|---------------|--------------------|---------------|--------------------|
| CH ₄ | 0,6794 | 4616755,524 | 0,6860 | 4616755,524 |
| C ₂ H ₂ | 0,0051 | 34554,838 | 0,0051 | 34554,838 |
| C ₂ H ₆ | 0,0000 | 0,000 | 0,0000 | 0,000 |
| C ₃ H ₆ | 0,0000 | 0,000 | 0,0000 | 0,000 |
| C ₃ | 0,0039 | 26214,629 | 0,0039 | 26214,629 |
| i-C ₄ | 0,0005 | 3698,900 | 0,0005 | 3698,900 |
| n-C ₄ | 0,0006 | 3877,497 | 0,0006 | 3877,497 |
| i-C ₅ | 0,0001 | 448,093 | 0,0001 | 448,093 |
| n-C ₅ | 0,0000 | 203,773 | 0,0000 | 203,773 |
| n-C ₆₊ | 0,0000 | 12,396 | 0,0000 | 12,396 |
| H ₂ O | 0,0000 | 1,712 | 0,0000 | 0,000 |
| CO | 0,0000 | 0,000 | 0,0000 | 0,000 |
| H ₂ | 0,1400 | 951464,309 | 0,1414 | 951464,309 |
| O ₂ | 0,0000 | 0,000 | 0,0000 | 0,000 |
| Ethylene | 0,1597 | 1085018,012 | 0,1612 | 1085018,012 |
| 1,2-Butadiene | 0,0000 | 0,000 | 0,0000 | 0,000 |
| 1-Butene | 0,0000 | 0,000 | 0,0000 | 0,000 |
| MDEA | 0,0000 | 0,000 | 0,0000 | 0,000 |
| Total | 1,0000 | 6795077,558 | 1,0000 | 6729763,449 |
| | Masuk (21) | | Keluar (25) | |
| Komponen | Fraksi Massa | Flowrate (kg/h) | Fraksi Massa | Flowrate (kg/h) |
| CO ₂ | 0,0000 | 0,000 | 0,1140 | 65312,3971 |
| N ₂ | 0,0000 | 0,000 | 0,0000 | 0,0000 |
| CH ₄ | 0,0000 | 0,000 | 0,0000 | 0,0000 |
| C ₂ H ₂ | 0,0000 | 0,000 | 0,0000 | 0,0000 |
| C ₂ H ₆ | 0,0000 | 0,000 | 0,0000 | 0,0000 |
| C ₃ H ₆ | 0,0000 | 0,000 | 0,0000 | 0,0000 |
| C ₃ | 0,0000 | 0,000 | 0,0000 | 0,0000 |
| i-C ₄ | 0,0000 | 0,000 | 0,0000 | 0,0000 |
| n-C ₄ | 0,0000 | 0,000 | 0,0000 | 0,0000 |
| i-C ₅ | 0,0000 | 0,000 | 0,0000 | 0,0000 |
| n-C ₅ | 0,0000 | 0,000 | 0,0000 | 0,0000 |
| n-C ₆₊ | 0,0000 | 0,000 | 0,0000 | 0,0000 |
| H ₂ O | 0,3000 | 152320,320 | 0,2658 | 152322,032 |
| CO | 0,0000 | 0,000 | 0,0000 | 0,0000 |
| H ₂ | 0,0000 | 0,000 | 0,0000 | 0,0000 |
| O ₂ | 0,0000 | 0,000 | 0,0000 | 0,0000 |
| Ethylene | 0,0000 | 0,000 | 0,0000 | 0,0000 |
| 1,2-Butadiene | 0,0000 | 0,000 | 0,0000 | 0,0000 |
| 1-Butene | 0,0000 | 0,000 | 0,0000 | 0,0000 |
| MDEA | 0,7000 | 355414,080 | 0,6202 | 355414,0800 |
| Total | 1,0000 | 507734,400 | 1,0000 | 573048,509 |

21. Pre-CO₂ Stripper Exchanger (E-300)

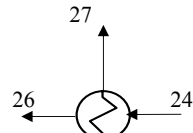
Fungsi: Untuk memberi panas kepada arus (34) dengan arus (36)

Keterangan Arus:

Arus 24 : Feed CO₂ Stripper yang akan menerima panas

Arus 26: Product CO₂ Stripper yang akan melepas panas

27



Arus 25: Arus menuju CO₂ Stripper

Arus 27: Arus recycle MEA

Pada alat transfer line exchanger, tidak terjadi perubahan komposisi dan flowrate, sehingga komposisi dan flowrate arus (24) = arus (26), dan arus (25) = arus (27)

25
↑

22. CO₂ Stripper Unit (D-301)

Fungsi: Untuk memisahkan CO₂ dari H₂O dan MDEA

Keterangan aliran:

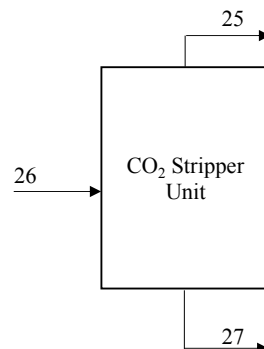
Arus 26: Feed CO₂ Stripper

Arus 25: Produk atas dari CO₂ Stripper

Arus 27: Produk bawah dari CO₂ Stripper

LK: CO₂

HK: H₂O & MEA



Asumsi:

99,0% recovery dari LK pada produk atas

99,0% recovery dari HK pada produk bawah

Tekanan input = 32 bar

Pressure drop = 0,122 bar

Tekanan atas = 29 bar

Tekanan bawah = 30 bar

Suhu top: 237,2 Celcius = 510,35 Kelvin

Suhu bot: 294,4 Celcius = 567,55 Kelvin

Suhu rata-rata: 265,8 Celcius = 538,95 Kelvin

Tekanan: 29,500 bar = 2950 kPa

Perhitungan tekanan jenuh tiap zat adalah sebagai berikut:

$$\ln P_{sat}^{sat} = a + \frac{b}{(T_{avg} + c)} + d \ln T_{avg} + e T_{avg}^f \quad (A.6)$$

Dengan:

P_{sat} = Tekanan jenuh (kPa)

a s/d f = Konstanta Antoine

$$z_i = \frac{n_i}{n_{total}} \quad (A.2)$$

Dengan:

z_i = fraksi mol zat i

n_i = mol zat i

n_{total} = total mol

$$\alpha_{ij} = \frac{y_i/x_i}{y_j/x_j} \quad (A.7)$$

Dengan:

α_{ij} = Relative Volatility terhadap zat terberat

y_j = Fraksi gas zat terberat

x_j = Fraksi liquid zat terberat

Tabel A.20. Perhitungan Psat setiap zat pada CO₂ Stripper (D-301)

| Komponen | Ln P _{sat} | P _{sat} (kPa) | Flowrate (kmol/h) | z _i | K _i |
|-------------------------------|---------------------|------------------------|-------------------|----------------|----------------|
| CO ₂ | 1,31E+01 | 480492,0028 | 0,034 | 0,0000 | 162,878645 |
| N ₂ | 2,95E+01 | 6,47205E+12 | 268,357 | 0,0003 | 2193915554 |
| CH ₄ | 1,70E+01 | 23164718,45 | 288547,220 | 0,3583 | 7852,446933 |
| C ₂ H ₂ | 1,29E+01 | 394648,494 | 1329,032 | 0,0017 | 133,7791505 |
| C ₂ H ₆ | 1,22E+01 | 198510,9165 | 0,000 | 0,0000 | 67,29183611 |
| C ₃ H ₆ | 1,10E+01 | 62499,93715 | 0,000 | 0,0000 | 21,18641937 |
| C ₃ | 1,07E+01 | 45688,93385 | 595,787 | 0,0007 | 15,48777419 |
| i-C ₄ | 9,98E+00 | 21629,7273 | 63,774 | 0,0001 | 7,332110951 |
| n-C ₄ | 9,84E+00 | 18719,70011 | 66,853 | 0,0001 | 6,345661054 |
| i-C ₅ | 9,18E+00 | 9744,449764 | 6,224 | 0,0000 | 3,30320331 |
| n-C ₅ | 9,02E+00 | 8302,213084 | 2,830 | 0,0000 | 2,81430952 |
| n-C ₆₊ | 8,41E+00 | 4512,503932 | 0,144 | 0,0000 | 1,52966235 |
| H ₂ O | 8,55E+00 | 5161,525211 | 0,000 | 0,0000 | 1,749669563 |
| CO | 3,04E+01 | 1,56438E+13 | 0,000 | 0,0000 | 5302982433 |
| H ₂ | 1,85E+02 | 2,0697E+80 | 475732,155 | 0,5907 | 7,01594E+76 |
| O ₂ | 2,02E+01 | 610478977,5 | 0,000 | 0,0000 | 206942,0263 |
| Ethylene | 2,03E+01 | 652926004,8 | 38750,643 | 0,0481 | 221330,8491 |
| 1,2-Butadiene | 9,37E+00 | 11756,31898 | 0,000 | 0,0000 | 3,985192876 |
| 1-Butene | 9,95E+00 | 20919,55039 | 0,000 | 0,0000 | 7,091373014 |
| MDEA | 5,13E+00 | 168,6750773 | 0,000 | 0,0000 | 0,057177992 |
| Total | | | 805363,053 | 1,0000 | |

Trial V

Nilai y_i dan x_i dapat diperoleh dari persamaan berikut:

$$\sum_i y_i = \sum_i \frac{z_i K_i}{1 + V(K_i - 1)} = 1 \quad (\text{A.4})$$

$$x_i = \frac{y_i}{K_i} \quad (\text{A.5})$$

Tabel A.21. Perhitungan Relative Volatility pada CO₂ Stripper Unit (D-301)

| Komponen | y _i | x _i | α _{ij} | α _{iH} | (LK) |
|-------------------------------|----------------|----------------|-----------------|-----------------|------|
| CO ₂ | 0,8123 | 0,0082 | 610401,34 | 377,1014 | |
| N ₂ | 0,0000 | 0,0000 | | | |
| CH ₄ | 0,0000 | 0,0000 | | | |
| C ₂ H ₂ | 0,0000 | 0,0000 | | | |
| C ₂ H ₆ | 0,0000 | 0,0000 | | | |
| C ₃ H ₆ | 0,0000 | 0,0000 | | | |
| C ₃ | 0,0000 | 0,0000 | | | |
| i-C ₄ | 0,0000 | 0,0000 | | | |
| n-C ₄ | 0,0000 | 0,0000 | | | |
| i-C ₅ | 0,0000 | 0,0000 | | | |
| n-C ₅ | 0,0000 | 0,0000 | | | |
| n-C ₆₊ | 0,0000 | 0,0000 | | | |
| H ₂ O | 0,1912 | 0,7248 | 1618,67 | 1,0000 | |
| CO | 0,0001 | 0,0000 | 1,E+09 | 705855,0105 | (HK) |

| | | | | |
|----------------|--------|--------|------|--------|
| H ₂ | 0,0000 | 0,0000 | | |
| O ₂ | 0,0000 | 0,0000 | | |
| Ethylene | 0,0000 | 0,0000 | | |
| 1,2-Butadiene | 0,0000 | 0,0000 | | |
| 1-Butene | 0,0000 | 0,0000 | | |
| MDEA | 0,0000 | 0,2664 | 1,00 | 0,0006 |
| Total | 1,0037 | 0,9994 | | |
| V | 0,1339 | | | |
| L | 0,8661 | | | |

$$\alpha_{LH} = 377,1014$$

$$N_{min} = \frac{\log \left[\frac{r_{L,D}}{1 - r_{L,D}} \times \frac{r_{H,B}}{1 - r_{H,B}} \right]}{\log \alpha_{LH}} \quad (A.8)$$

Dengan:

N_{min} = Jumlah stage minimum

r_{L,D} = Recovery Light Key pada distilat

r_{H,B} = Recovery Heavy Key pada bottom

α_{LH} = Relative volatility dari Light Key terhadap Heavy Key

N_{min} = 1,5491

$$\frac{d_H}{b_H} = \frac{1 - r_{H,B}}{r_{H,B}} \quad (A.9)$$

Dengan:

d_H = Heavy Key pada distilat

b_H = Heavy Key pada bottom

r_{H,B} = Recovery Heavy Key pada bottom

d_H/b_H = 0,0101

$$d_i = \frac{\alpha_{iH}^{N_{min}} f_i \left(d_H / b_H \right)}{1 + \alpha_{iH}^{N_{min}} \left(d_H / b_H \right)} \quad (A.10)$$

$$b_i = f_i - d_i \quad (A.11)$$

Tabel A.22. Perhitungan Top dan Bottom Product pada CO₂ Stripper (D-301)

| Komponen | d _i (kmol/h) | b _i (kmol/h) | x _{ID} | x _{IB} |
|-------------------------------|-------------------------|-------------------------|-----------------|-----------------|
| CO ₂ | 0,033 | 0,000 | 0,0000 | 0,0000 |
| N ₂ | 0,000 | 268,357 | 0,0000 | 0,0236 |
| CH ₄ | 0,000 | 288547,220 | 0,0000 | 25,4139 |
| C ₂ H ₂ | 0,000 | 1329,032 | 0,0000 | 0,1171 |
| C ₂ H ₆ | 0,000 | 0,000 | 0,0000 | 0,0000 |
| C ₃ H ₆ | 0,000 | 0,000 | 0,0000 | 0,0000 |
| C ₃ | 0,000 | 595,787 | 0,0000 | 0,0525 |
| i-C ₄ | 0,000 | 63,774 | 0,0000 | 0,0056 |
| n-C ₄ | 0,000 | 66,853 | 0,0000 | 0,0059 |
| i-C ₅ | 0,000 | 6,224 | 0,0000 | 0,0005 |
| n-C ₅ | 0,000 | 2,830 | 0,0000 | 0,0002 |
| n-C ₆₊ | 0,000 | 0,144 | 0,0000 | 0,0000 |
| H ₂ O | 0,000 | 0,000 | 0,0000 | 0,0000 |
| CO | 0,000 | 0,000 | 0,0000 | 0,0000 |

| | | | | |
|----------------|--------------|-------------------|---------------|----------------|
| H ₂ | 0,000 | 475732,155 | 0,0000 | 41,9003 |
| O ₂ | 0,000 | 0,000 | 0,0000 | 0,0000 |
| Ethylene | 0,000 | 38750,643 | 0,0000 | 3,4130 |
| 1,2-Butadiene | 0,000 | 0,000 | 0,0000 | 0,0000 |
| 1-Butene | 0,000 | 0,000 | 0,0000 | 0,0000 |
| MDEA | 0,000 | 0,000 | 0,0000 | 0,0000 |
| Total | 0,033 | 805363,020 | 0,0000 | 70,9327 |

$$\sum_{i=1}^{NC} \frac{\alpha_{ij} x_{i,F}}{\alpha_{ij} - \theta} = 1 - q \quad (A.12)$$

Dengan:

x_{i,F} = Fraksi mol dari komponen i

θ = Root Equation (trial)

q = Kondisi feed

q bernilai 1 saat feed merupakan liquid jenuh dan bernilai 0 saat feed merupakan gas jenuh. Pada unit demethanizer, feed yang masuk merupakan liquid jenuh, sehingga:

$$q = 0,8661$$

Maka persamaan (A.12) menjadi:

$$\sum_{i=1}^{NC} \frac{\alpha_{ij} x_{i,F}}{\alpha_{ij} - \theta} = 0,1339$$

Tabel A.23. Perhitungan Root Equation pada CO₂ Stripper (D-301)

| Komponen | f _i (kmol/h) | X _{i,F} | α _{ij} | (α _{ij} X _{i,F}) / (α _{ij} - θ) |
|-------------------------------|-------------------------|------------------|-----------------|---|
| CO ₂ | 0,034 | 0,0000 | 610401,34 | 0,000 |
| N ₂ | 268,357 | 0,0235 | 0,00 | 0,000 |
| CH ₄ | 288547,220 | 25,2592 | 0,00 | 0,000 |
| C ₂ H ₂ | 1329,032 | 0,1163 | 0,00 | 0,000 |
| C ₂ H ₆ | 0,000 | 0,0000 | 0,00 | 0,000 |
| C ₃ H ₆ | 0,000 | 0,0000 | 0,00 | 0,000 |
| C ₃ | 595,787 | 0,0522 | 0,00 | 0,000 |
| i-C ₄ | 63,774 | 0,0056 | 0,00 | 0,000 |
| n-C ₄ | 66,853 | 0,0059 | 0,00 | 0,000 |
| i-C ₅ | 6,224 | 0,0005 | 0,00 | 0,000 |
| n-C ₅ | 2,830 | 0,0002 | 0,00 | 0,000 |
| n-C ₆₊ | 0,144 | 0,0000 | 0,00 | 0,000 |
| H ₂ O | 0,000 | 0,0000 | 1618,67 | 0,000 |
| CO | 0,000 | 0,0000 | 1,E+09 | 0,000 |
| H ₂ | 475732,155 | 41,6452 | 0,00 | 0,000 |
| O ₂ | 0,000 | 0,0000 | 0,00 | 0,000 |
| Ethylene | 38750,643 | 3,3922 | 0,00 | 0,000 |
| 1,2-Butadiene | 0,000 | 0,0000 | 0,00 | 0,000 |
| 1-Butene | 0,000 | 0,0000 | 0,00 | 0,000 |
| MDEA | 0,000 | 0,0000 | 1,00 | 0,000 |
| Total | 515218,410 | 45,102 | | 0,000 |
| θ | | | | |

$$\sum_{i=1}^{NC} \frac{\alpha_{ij} x_{i,D}}{\alpha_{ij} - \theta} = R_{min} + 1 \quad (A.13)$$

Dengan:

$x_{i,D}$ = Fraksi mol zat i pada distilat

R_{min} = Minimal reflux ratio

Tabel A.24. Perhitungan R_{min+1} pada CO₂ Stripper (D-301)

| Komponen | d _i (kmol/h) | x _{i,D} | α_{ij} | $(\alpha_{ij} x_{i,D}) / (\alpha_{ij} - \theta)$ |
|-------------------------------|-------------------------|------------------|---------------|--|
| CO ₂ | 0,033 | 0,0000 | 610401,34 | 0,0000 |
| N ₂ | 0,000 | 0,0000 | 0,00 | 0,0000 |
| CH ₄ | 0,000 | 0,0000 | 0,00 | 0,0000 |
| C ₂ H ₂ | 0,000 | 0,0000 | 0,00 | 0,0000 |
| C ₂ H ₆ | 0,000 | 0,0000 | 0,00 | 0,0000 |
| C ₃ H ₆ | 0,000 | 0,0000 | 0,00 | 0,0000 |
| C ₃ | 0,000 | 0,0000 | 0,00 | 0,0000 |
| i-C ₄ | 0,000 | 0,0000 | 0,00 | 0,0000 |
| n-C ₄ | 0,000 | 0,0000 | 0,00 | 0,0000 |
| i-C ₅ | 0,000 | 0,0000 | 0,00 | 0,0000 |
| n-C ₅ | 0,000 | 0,0000 | 0,00 | 0,0000 |
| n-C ₆₊ | 0,000 | 0,0000 | 0,00 | 0,0000 |
| H ₂ O | 0,000 | 0,0000 | 1618,67 | 0,0000 |
| CO | 0,000 | 0,0000 | 1,E+09 | 0,0000 |
| H ₂ | 0,000 | 0,0000 | 0,00 | 0,0000 |
| O ₂ | 0,000 | 0,0000 | 0,00 | 0,0000 |
| Ethylene | 0,000 | 0,0000 | 0,00 | 0,0000 |
| 1,2-Butadiene | 0,000 | 0,0000 | 0,00 | 0,0000 |
| 1-Butene | 0,000 | 0,0000 | 0,00 | 0,0000 |
| MEA | 0,000 | 0,0000 | 1,00 | 0,0000 |
| Total | 0,033 | 0,000 | | 0,0000 |

$$R_{min} = -0,999979$$

$$R_{min}/(R_{min}+1) = -46834,69$$

Bila Reflux ratio sebesar

1,5 dari R_{min} :

$$R = -1,499968$$

$$R/(R+1) = 3,0001281$$

$$Nm/N = 0,090000$$

Geankoplis Gambar 11.7-3

$$N = 17,21256343$$

Tabel A.25. Neraca Massa CO₂ Stripper Unit (D-110)

| Komponen | Masuk (24) | | Keluar (26) | |
|-------------------------------|--------------|-----------------|--------------|-----------------|
| | Fraksi Massa | Flowrate (kg/h) | Fraksi Massa | Flowrate (kg/h) |
| CO ₂ | 0,0000 | 1,484 | 1,0000 | 1,470 |
| N ₂ | 0,0011 | 7513,992 | 0,0000 | 0,000 |
| CH ₄ | 0,6860 | 4616755,524 | 0,0000 | 0,000 |
| C ₂ H ₂ | 0,0051 | 34554,838 | 0,0000 | 0,000 |
| C ₂ H ₆ | 0,0000 | 0,000 | 0,0000 | 0,000 |
| C ₃ H ₆ | 0,0000 | 0,000 | 0,0000 | 0,000 |
| C ₃ | 0,0039 | 26214,629 | 0,0000 | 0,000 |
| i-C ₄ | 0,0005 | 3698,900 | 0,0000 | 0,000 |

| | | | | |
|-------------------------------|---------------|--------------------|---------------|--------------------|
| n-C ₄ | 0,0006 | 3877,497 | 0,0000 | 0,000 |
| i-C ₅ | 0,0001 | 448,093 | 0,0000 | 0,000 |
| n-C ₅ | 0,0000 | 203,773 | 0,0000 | 0,000 |
| n-C ₆₊ | 0,0000 | 12,396 | 0,0000 | 0,000 |
| H ₂ O | 0,0000 | 0,000 | 0,0000 | 0,000 |
| CO | 0,0000 | 0,000 | 0,0000 | 0,000 |
| H ₂ | 0,1414 | 951464,309 | 0,0000 | 0,000 |
| O ₂ | 0,0000 | 0,000 | 0,0000 | 0,000 |
| Ethylene | 0,1612 | 1085018,012 | 0,0000 | 0,000 |
| 1,2-Butadiene | 0,0000 | 0,000 | 0,0000 | 0,000 |
| 1-Butene | 0,0000 | 0,000 | 0,0000 | 0,000 |
| MEA | 0,0000 | 0,000 | 0,0000 | 0,000 |
| Total | 1,0000 | 6729763,449 | 1,0000 | 1,470 |
| | | | Keluar (25) | |
| Komponen | | | Fraksi Massa | Flowrate (kg/h) |
| CO ₂ | | | 0,0000 | 0,015 |
| N ₂ | | | 0,0011 | 7513,992 |
| CH ₄ | | | 0,6860 | 4616755,524 |
| C ₂ H ₂ | | | 0,0051 | 34554,838 |
| C ₂ H ₆ | | | 0,0000 | 0,000 |
| C ₃ H ₆ | | | 0,0000 | 0,000 |
| C ₃ | | | 0,0039 | 26214,629 |
| i-C ₄ | | | 0,0005 | 3698,900 |
| n-C ₄ | | | 0,0006 | 3877,497 |
| i-C ₅ | | | 0,0001 | 448,093 |
| n-C ₅ | | | 0,0000 | 203,773 |
| n-C ₆₊ | | | 0,0000 | 12,396 |
| H ₂ O | | | 0,0000 | 0,000 |
| CO | | | 0,0000 | 0,000 |
| H ₂ | | | 0,1414 | 951464,309 |
| O ₂ | | | 0,0000 | 0,000 |
| Ethylene | | | 0,1612 | 1085018,012 |
| 1,2-Butadiene | | | 0,0000 | 0,000 |
| 1-Butene | | | 0,0000 | 0,000 |
| MDEA | | | 0,0000 | 0,000 |
| Total | | | 1,0000 | 6729761,979 |

$$L = -0,050 \text{ kmol/h}$$

$$V = -0,017 \text{ kmol/h}$$

$$\bar{L} = L + q F \quad (\text{A.14})$$

$$\bar{V} = V - (1 - q) F \quad (\text{A.15})$$

$$\bar{L} x_{iL} = L x_{iL} + q F x_{iF} \quad (\text{A.16})$$

$$\bar{V} x_{iV} = V x_{iV} - (1 - q) F x_{iF} \quad (\text{A.17})$$

$$\underline{L} = 697524,890 \text{ kmol/h}$$

$$\underline{V} = -107838,130 \text{ kmol/h}$$

Tabel A.63. Neraca Mol Total Reboiler (E-122)

| Komponen | Lbar (25a) | | B (25) | |
|-------------------------------|---------------|-------------------|---------------|-------------------|
| | Fraksi Mol | kmol/h | Fraksi Mol | kmol/h |
| CO ₂ | 0,0000 | 0,000 | 0,0000 | 0,000 |
| N ₂ | 0,0003 | 269,408 | 0,0003 | 268,357 |
| CH ₄ | 0,3583 | 289677,596 | 0,3583 | 288547,220 |
| C ₂ H ₂ | 0,0017 | 1334,239 | 0,0017 | 1329,032 |
| C ₂ H ₆ | 0,0000 | 0,000 | 0,0000 | 0,000 |
| C ₃ H ₆ | 0,0000 | 0,000 | 0,0000 | 0,000 |
| C ₃ | 0,0007 | 598,121 | 0,0007 | 595,787 |
| i-C ₄ | 0,0001 | 64,024 | 0,0001 | 63,774 |
| n-C ₄ | 0,0001 | 67,115 | 0,0001 | 66,853 |
| i-C ₅ | 0,0000 | 6,248 | 0,0000 | 6,224 |
| n-C ₅ | 0,0000 | 2,841 | 0,0000 | 2,830 |
| n-C ₆₊ | 0,0000 | 0,145 | 0,0000 | 0,144 |
| H ₂ O | 0,0000 | 0,000 | 0,0000 | 0,000 |
| CO | 0,0000 | 0,000 | 0,0000 | 0,000 |
| H ₂ | 0,5907 | 477595,821 | 0,5907 | 475732,155 |
| O ₂ | 0,0000 | 0,000 | 0,0000 | 0,000 |
| Ethylene | 0,0481 | 38902,448 | 0,0481 | 38750,643 |
| 1,2-Butadiene | 0,0000 | 0,000 | 0,0000 | 0,000 |
| 1-Butene | 0,0000 | 0,000 | 0,0000 | 0,000 |
| MDEA | 0,0000 | 0,000 | 0,0000 | 0,000 |
| Total | 1,0000 | 808518,006 | 1,0000 | 805363,020 |
| | | | Vbar (36c) | |
| Komponen | | | Fraksi Mol | kmol/h |
| CO ₂ | | | 0,0000 | 0,000 |
| N ₂ | | | 0,0003 | 1,051 |
| CH ₄ | | | 0,3583 | 1130,375 |
| C ₂ H ₂ | | | 0,0017 | 5,206 |
| C ₂ H ₆ | | | 0,0000 | 0,000 |
| C ₃ H ₆ | | | 0,0000 | 0,000 |
| C ₃ | | | 0,0007 | 2,334 |
| i-C ₄ | | | 0,0001 | 0,250 |
| n-C ₄ | | | 0,0001 | 0,262 |
| i-C ₅ | | | 0,0000 | 0,024 |
| n-C ₅ | | | 0,0000 | 0,011 |
| n-C ₆₊ | | | 0,0000 | 0,001 |
| H ₂ O | | | 0,0000 | 0,000 |
| CO | | | 0,0000 | 0,000 |
| H ₂ | | | 0,5907 | 1863,667 |
| O ₂ | | | 0,0000 | 0,000 |
| Ethylene | | | 0,0481 | 151,805 |
| 1,2-Butadiene | | | 0,0000 | 0,000 |
| 1-Butene | | | 0,0000 | 0,000 |
| MDEA | | | 0,0000 | 0,000 |
| Total | | | 1,0000 | 3154,986 |

Tabel A.64. Neraca Massa Total Reboiler (E-122)

| Komponen | Lbar (25a) | | B (25) | |
|-------------------------------|---------------|--------------------|---------------|--------------------|
| | Fraksi Massa | Flowrate (kg/h) | Fraksi Massa | Flowrate (kg/h) |
| CO ₂ | 0,0000 | 0,015 | 0,0000 | 0,015 |
| N ₂ | 0,0011 | 7543,428 | 0,0011 | 7513,992 |
| CH ₄ | 0,6860 | 4634841,529 | 0,6860 | 4616755,524 |
| C ₂ H ₂ | 0,0051 | 34690,206 | 0,0051 | 34554,838 |
| C ₂ H ₆ | 0,0000 | 0,000 | 0,0000 | 0,000 |
| C ₃ H ₆ | 0,0000 | 0,000 | 0,0000 | 0,000 |
| C ₃ | 0,0039 | 26317,324 | 0,0039 | 26214,629 |
| i-C ₄ | 0,0005 | 3713,390 | 0,0005 | 3698,900 |
| n-C ₄ | 0,0006 | 3892,687 | 0,0006 | 3877,497 |
| i-C ₅ | 0,0001 | 449,849 | 0,0001 | 448,093 |
| n-C ₅ | 0,0000 | 204,571 | 0,0000 | 203,773 |
| n-C ₆₊ | 0,0000 | 12,445 | 0,0000 | 12,396 |
| H ₂ O | 0,0000 | 0,000 | 0,0000 | 0,000 |
| CO | 0,0000 | 0,000 | 0,0000 | 0,000 |
| H ₂ | 0,1414 | 955191,643 | 0,1414 | 951464,309 |
| O ₂ | 0,0000 | 0,000 | 0,0000 | 0,000 |
| Ethylene | 0,1612 | 1089268,538 | 0,1612 | 1085018,012 |
| 1,2-Butadiene | 0,0000 | 0,000 | 0,0000 | 0,000 |
| 1-Butene | 0,0000 | 0,000 | 0,0000 | 0,000 |
| MDEA | 0,0000 | 0,000 | 0,0000 | 0,000 |
| Total | 1,0000 | 6756125,625 | 1,0000 | 6729761,979 |
| | | | Vbar (36c) | |
| Komponen | | | Fraksi Massa | Flowrate (kg/h) |
| CO ₂ | | | 0,0000 | 0,000 |
| N ₂ | | | 0,0011 | 29,436 |
| CH ₄ | | | 0,6860 | 18086,005 |
| C ₂ H ₂ | | | 0,0051 | 135,368 |
| C ₂ H ₆ | | | 0,0000 | 0,000 |
| C ₃ H ₆ | | | 0,0000 | 0,000 |
| C ₃ | | | 0,0039 | 102,695 |
| i-C ₄ | | | 0,0005 | 14,490 |
| n-C ₄ | | | 0,0006 | 15,190 |
| i-C ₅ | | | 0,0001 | 1,755 |
| n-C ₅ | | | 0,0000 | 0,798 |
| n-C ₆₊ | | | 0,0000 | 0,049 |
| H ₂ O | | | 0,0000 | 0,000 |
| CO | | | 0,0000 | 0,000 |
| H ₂ | | | 0,1414 | 3727,334 |
| O ₂ | | | 0,0000 | 0,000 |
| Ethylene | | | 0,1612 | 4250,526 |
| 1,2-Butadiene | | | 0,0000 | 0,000 |
| 1-Butene | | | 0,0000 | 0,000 |
| MDEA | | | 0,0000 | 0,000 |
| Total | | | 1,0000 | 26363,646 |

23. Pump (L-310)

Fungsi: Untuk mengalirkan MEA ke absorber

Keterangan aliran:

Arus 25: Liquid dari HE (E-110)

Arus 28: Liquid menuju HE (E-130)

Pada alat pump, tidak terjadi perubahan komposisi dan flowrate, sehingga komposisi dan flowrate arus (25) = arus (28)

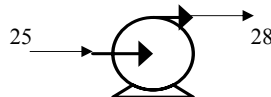
24. Pre-Absorber Cooler (E-310)

Fungsi: Untuk mendinginkan arus (40) sebelum dimasukkan pada absorber unit

Arus 26: Arus dari MDEA Pump (L-310)

Arus 27: Arus menuju Absorber unit

Pada alat heater, tidak terjadi perubahan komposisi dan flowrate, sehingga komposisi dan flowrate arus (40) = arus (41)



25. Molecular Sieve Separator (D-210 a/b)

Fungsi: Memisahkan CO₂ dari gas dengan Molecular Sieve 3A

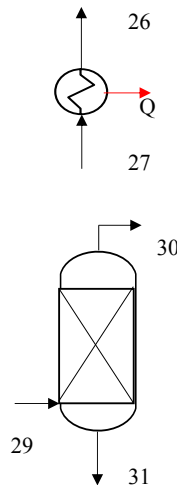
Arus 29: Fase gas dari CO₂ splitter (D-301)

Arus 30: Sweet Gas

Arus 31: CO₂, N₂, dan MEA residu

Metode pemisahan nitrogen ini disebut dual-reflux pressure swing adsorption (DR PSA) menggunakan molecular sieve MSC-3K 172

Asumsi N₂ dan H₂ terpisah 100% dari gas



Data ukuran partikel yang disaring

| Komponen | Diameter (A) |
|-------------------------------|--------------|
| H ₂ | 1,2 |
| CO ₂ | 2,8 |
| N ₂ | 3 |
| CH ₄ | 4 |
| C ₂ H ₆ | 4,4 |
| H ₂ O | 4,9 |
| C ₃ | 4,9 |

Sumber: PT Badak NGL

Tabel A.65. Neraca Massa Adsorbent Tank (D-210 a/b)

| Komponen | Masuk (29) | | Keluar (30) | |
|-------------------------------|--------------|-----------------|--------------|-----------------|
| | Fraksi Massa | Flowrate (kg/h) | Fraksi Massa | Flowrate (kg/h) |
| CO ₂ | 0,0000 | 1,484 | 0,0000 | 0,000 |
| N ₂ | 0,0011 | 7513,992 | 0,0000 | 0,000 |
| CH ₄ | 0,6860 | 4616755,524 | 0,6868 | 4616755,524 |
| C ₂ H ₂ | 0,0051 | 34554,838 | 0,0051 | 34554,838 |
| C ₂ H ₆ | 0,0000 | 0,000 | 0,0000 | 0,000 |
| C ₃ H ₆ | 0,0000 | 0,000 | 0,0000 | 0,000 |
| C ₃ | 0,0039 | 26214,629 | 0,0039 | 26214,629 |
| i-C ₄ | 0,0005 | 3698,900 | 0,0006 | 3698,900 |
| n-C ₄ | 0,0006 | 3877,497 | 0,0006 | 3877,497 |

| i-C ₅ | 0,0001 | 448,093 | 0,0001 | 448,093 |
|-------------------------------|---------------|--------------------|---------------|--------------------|
| n-C ₅ | 0,0000 | 203,773 | 0,0000 | 203,773 |
| n-C ₆₊ | 0,0000 | 12,396 | 0,0000 | 12,396 |
| H ₂ O | 0,0000 | 0,000 | 0,0000 | 0,000 |
| CO | 0,0000 | 0,000 | 0,0000 | 0,000 |
| H ₂ | 0,1414 | 951464,309 | 0,1415 | 951464,309 |
| O ₂ | 0,0000 | 0,000 | 0,0000 | 0,000 |
| Ethylene | 0,1612 | 1085018,012 | 0,1614 | 1085018,012 |
| 1,2-Butadiene | 0,0000 | 0,000 | 0,0000 | 0,000 |
| 1-Butene | 0,0000 | 0,000 | 0,0000 | 0,000 |
| MDEA | 0,0000 | 0,000 | 0,0000 | 0,000 |
| Total | 1,0000 | 6729763,449 | 1,0000 | 6722247,972 |
| Keluar (31) | | | | |
| Komponen | | | Fraksi Massa | Flowrate (kg/h) |
| CO ₂ | | | 0,0002 | 1,484 |
| N ₂ | | | 0,9998 | 7513,992 |
| CH ₄ | | | 0,0000 | 0,000 |
| C ₂ H ₂ | | | 0,0000 | 0,000 |
| C ₂ H ₆ | | | 0,0000 | 0,000 |
| C ₃ H ₆ | | | 0,0000 | 0,000 |
| C ₃ | | | 0,0000 | 0,000 |
| i-C ₄ | | | 0,0000 | 0,000 |
| n-C ₄ | | | 0,0000 | 0,000 |
| i-C ₅ | | | 0,0000 | 0,000 |
| n-C ₅ | | | 0,0000 | 0,000 |
| n-C ₆₊ | | | 0,0000 | 0,000 |
| H ₂ O | | | 0,0000 | 0,000 |
| CO | | | 0,0000 | 0,000 |
| H ₂ | | | 0,0000 | 0,000 |
| O ₂ | | | 0,0000 | 0,000 |
| Ethylene | | | 0,0000 | 0,000 |
| 1,2-Butadiene | | | 0,0000 | 0,000 |
| 1-Butene | | | 0,0000 | 0,000 |
| MDEA | | | 0,0000 | 0,000 |
| Total | | | 1,0000 | 7515,477 |

Gas yang digunakan untuk regenerasi adalah gas yang keluar dari molecular sieve itu sendiri, yaitu gas kering yang bebas dari H₂. Jumlah gas regenerasi adalah 1/100 bagian dari gas yang keluar dari molecular sieve

26. Heat Exchanger Series (E-310)

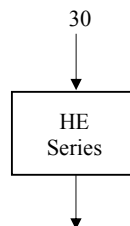
Fungsi: Mendinginkan arus 8 hingga bersuhu cryogenic

Keterangan aliran:

Arus 30: Gas menuju Heat Exchanger Series A

Arus 31: Chilled gas menuju demethanizer

Pada alat HE Series, tidak terjadi perubahan komposisi dan flowrate, sehingga komposisi dan flowrate arus (30) = arus (31)



27. Demethanizer Unit (D-400)

Fungsi: Untuk memisahkan metana (dan fraksi lebih ringannya) dengan fraksi lebih beratnya

Keterangan aliran:

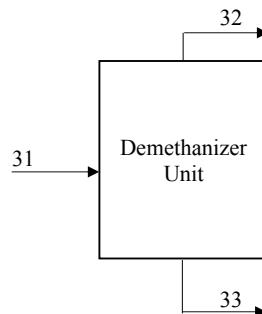
Arus 31: *Feed demethanizer*

Arus 32: Produk atas dari *demethanizer unit*

Arus 33: Produk bawah dari *demethanizer unit*

LK: CH₄

HK: Ethylene



Asumsi:

100,0% recovery dari LK pada produk atas

100,0% recovery dari HK pada produk bawah

Tekanan input = 25 bar T Input = -120 Celcius

Pressure drop = 0,122 bar = 153,15 Kelvin

Tekanan atas = 22 bar

Tekanan bawah = 24 bar

Suhu top: -105,1 Celcius = 168,05 Kelvin

Suhu bot: -18,7 Celcius = 254,45 Kelvin

Suhu rata-rata: -61,9 Celcius = 211,25 Kelvin

Tekanan: 23,000 bar = 2300 kPa

Tabel A.66 Komposisi feed masuk kolom distilasi D-400

| Komponen | Masuk (31) | | Masuk (31) | |
|-------------------------------|---------------|--------------------|---------------|-------------------|
| | Fraksi Massa | Flowrate (kg/h) | Fraksi Mol | (kmol/h) |
| CO ₂ | 0,0000 | 0,000 | 0,0000 | 0,000 |
| N ₂ | 0,0000 | 0,000 | 0,0000 | 0,000 |
| CH ₄ | 0,6860 | 4616755,524 | 0,3584 | 288547,220 |
| C ₂ H ₂ | 0,0051 | 34554,838 | 0,0017 | 1329,032 |
| C ₂ H ₆ | 0,0000 | 0,000 | 0,0000 | 0,000 |
| C ₃ H ₆ | 0,0000 | 0,000 | 0,0000 | 0,000 |
| C ₃ | 0,0039 | 26214,629 | 0,0007 | 595,787 |
| i-C ₄ | 0,0005 | 3698,900 | 0,0001 | 63,774 |
| n-C ₄ | 0,0006 | 3877,497 | 0,0001 | 66,853 |
| i-C ₅ | 0,0001 | 448,093 | 0,0000 | 6,224 |
| n-C ₅ | 0,0000 | 203,773 | 0,0000 | 2,830 |
| n-C ₆₊ | 0,0000 | 12,396 | 0,0000 | 0,144 |
| H ₂ O | 0,0000 | 0,000 | 0,0000 | 0,000 |
| CO | 0,0000 | 0,000 | 0,0000 | 0,000 |
| H ₂ | 0,1414 | 951464,309 | 0,5909 | 475732,155 |
| O ₂ | 0,0000 | 0,000 | 0,0000 | 0,000 |
| Ethylene | 0,1612 | 1085018,012 | 0,0481 | 38750,643 |
| 1,2-Butadiene | 0,0000 | 0,000 | 0,0000 | 0,000 |
| 1-Butene | 0,0000 | 0,000 | 0,0000 | 0,000 |
| MDEA | 0,0000 | 0,000 | 0,0000 | 0,000 |
| Total | 1,0000 | 6729763,449 | 1,0000 | 805094,663 |

Tabel A.67. Konstanta Antoine dari berbagai komponen :

| Komponen | Konstanta Antoine | | | | | |
|-------------------------------|-------------------|----------|--------|--------|----------|---|
| | a | b | c | d | e | f |
| CO ₂ | 133,60 | -4735 | 0 | -21,27 | 4,09E-02 | 1 |
| N ₂ | 35,41 | -966,2 | 0 | -4,32 | 7,93E-05 | 2 |
| CH ₄ | 31,35 | -1308 | 0 | -3,26 | 2,94E-05 | 2 |
| C ₂ H ₂ | 61,56 | -3244 | 0 | -7,72 | 2,04E-05 | 2 |
| C ₂ H ₆ | 44,01 | -2569 | 0 | -4,98 | 1,46E-05 | 2 |
| C ₃ H ₆ | 58,35 | -3591 | 0 | -7,11 | 1,40E-05 | 2 |
| C ₃ | 52,38 | -3491 | 0 | -6,11 | 1,12E-05 | 2 |
| i-C ₄ | 58,78 | -4137 | 0 | -7,02 | 1,04E-05 | 2 |
| n-C ₄ | 66,94 | -4604 | 0 | -8,26 | 1,16E-05 | 2 |
| i-C ₅ | 66,76 | -5059 | 0 | -8,09 | 9,25E-06 | 2 |
| n-C ₅ | 63,33 | -5118 | 0 | -7,48 | 7,77E-06 | 2 |
| n-C ₆₊ | 70,43 | -6056 | 0 | -8,38 | 6,62E-06 | 2 |
| H ₂ O | 65,93 | -7228 | 0 | -7,18 | 4,03E-06 | 2 |
| CO | 41,66 | -1110 | 0 | -5,46 | 8,64E-05 | 2 |
| H ₂ | 9,18 | -107,9 | 0 | 0,16 | 6,02E-04 | 2 |
| O ₂ | 31,23 | -1090 | 0 | -3,30 | 4,06E-05 | 2 |
| Ethylene | 29,84 | -2116 | 0 | -2,48 | 4,08E-16 | 6 |
| 1,2-Butadiene | 14,09 | -2397 | -30,88 | 0,00 | 0,00E+00 | 2 |
| 1-Butene | 65,42 | -4488 | 0 | -8,02 | 1,13E-05 | 2 |
| MEA | 136,00 | -15003,2 | 0 | -16,71 | 7,11E-06 | 2 |

Sumber : Hysys

$$\ln P_{i\text{sat}} = a_i + \frac{b_i}{(T+c_i)} + d_i \ln T + e_i T^{f_i} \quad \alpha = \frac{K_i}{K_{\text{heavy key}}}$$

$$K_i = \frac{P_{i\text{sat}}}{P}$$

$$y_i = x_i K_i$$

Tabel A.68. Perhitungan Psat setiap zat pada Demethanizer (D-400)

| Komponen | Ln P _{sat} | P _{sat} (kPa) | Flowrate (kmol/h) | z _i | K _i |
|-------------------------------|---------------------|------------------------|-------------------|----------------|----------------|
| CO ₂ | 1,9297 | 6,89 | 0,000 | 0,0000 | 0,0028 |
| N ₂ | 9,2359 | 10259,25 | 0,000 | 0,0000 | 4,1037 |
| CH ₄ | 7,0919 | 1202,24 | 288547,220 | 0,3584 | 0,4809 |
| C ₂ H ₂ | 2,0030 | 7,41 | 1329,032 | 0,0017 | 0,0030 |
| C ₂ H ₆ | 2,5426 | 12,71 | 0,000 | 0,0000 | 0,0051 |
| C ₃ H ₆ | -0,5374 | 0,58 | 0,000 | 0,0000 | 0,0002 |
| C ₃ | -0,8891 | 0,41 | 595,787 | 0,0007 | 0,0002 |
| i-C ₄ | -3,2950 | 0,04 | 63,774 | 0,0001 | 0,0000 |
| n-C ₄ | -4,3850 | 0,01 | 66,853 | 0,0001 | 0,0000 |
| i-C ₅ | -6,7551 | 0,00 | 6,224 | 0,0000 | 0,0000 |
| n-C ₅ | -7,5562 | 0,00 | 2,830 | 0,0000 | 0,0000 |
| n-C ₆₊ | -11,1160 | 0,00 | 0,144 | 0,0000 | 0,0000 |
| H ₂ O | -17,2815 | 0,00 | 0,000 | 0,0000 | 0,0000 |
| CO | 8,9919 | 8037,36 | 0,000 | 0,0000 | 3,2149 |
| H ₂ | 23,4287 | 1,50E+10 | 475732,155 | 0,5909 | 5984156,4947 |
| O ₂ | 8,4557 | 4701,56 | 0,000 | 0,0000 | 1,8806 |
| Ethylene | 3,5408 | 34,49 | 38750,643 | 0,0481 | 0,0138 |
| 1,2-Butadiene | -5,5142 | 0,00 | 0,000 | 0,0000 | 0,0000 |

| | | | | | |
|----------|----------|------|------------|--------|--------|
| 1-Butene | -3,9612 | 0,02 | 0,000 | 0,0000 | 0,0000 |
| MEA | -45,8723 | 0,00 | 0,000 | 0,0000 | 0,0000 |
| Total | | | 805094,663 | 1,0000 | |

| Komponen | Ki | yi | ai | log ai |
|---------------|-------------|------------|--------------|------------|
| CO2 | 0,0028 | 0 | 0,1996768 | -0,6996724 |
| N2 | 4,1037 | 0 | 297,4278121 | 2,47338158 |
| CH4 | 0,4809 | 0,17235426 | 34,85444495 | 1,54225817 |
| C2H2 | 0,0030 | 4,8939E-06 | 0,21486954 | -0,6678251 |
| C2H6 | 0,0051 | 0 | 0,368570814 | -0,4334791 |
| C3H6 | 0,0002 | 0 | 0,016938586 | -1,7711228 |
| C3 | 0,0002 | 1,2166E-07 | 0,011915921 | -1,9238724 |
| i-C4 | 0,0000 | 1,1746E-09 | 0,0001074686 | -2,9687186 |
| n-C4 | 0,0000 | 4,1395E-10 | 0,00036131 | -3,4421202 |
| i-C5 | 0,0000 | 3,6022E-12 | 3,37738E-05 | -4,4714197 |
| n-C5 | 0,0000 | 7,3523E-13 | 1,51588E-05 | -4,8193352 |
| n-C6+ | 0,0000 | 1,0651E-15 | 4,31178E-07 | -6,3653429 |
| H2O | 0,0000 | 0 | 9,05746E-10 | -9,0429935 |
| CO | 3,2149 | 0 | 233,0125886 | 2,36737938 |
| H2 | 5984156,495 | 3536050,85 | 433719597,7 | 8,63720905 |
| O2 | 1,8806 | 0 | 136,3039635 | 2,13450848 |
| Ethylene | 0,0138 | 0,00066409 | 1 | 0 |
| 1,2-Butadiene | 0,0000 | 0 | 0,000116815 | -3,9325009 |
| 1-Butene | 0,0000 | 0 | 0,000552013 | -3,2580505 |
| MEA | 0,0000 | 0 | 3,4688E-22 | -21,459821 |

Menentukan komposisi produk atas dan bawah

Asumsi distribusi produk distilat dan bottom :

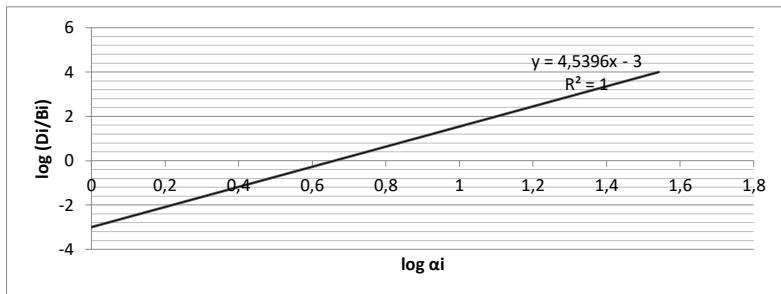
Produk atas diinginkan recovery Methane = 0,9999 ($x_{L,D}$)

Produk bawah diinginkan recovery Etylene = 0,999 ($x_{H,B}$)

Membuat grafik distribusi komponen dalam distilat

| Komponen | log ai | log (iD/iB) |
|----------|--------|-------------|
| CH4 | 1,542 | 4,000 |
| Ethylene | 0,000 | -3,000 |

Dari data di atas dibuat grafik distribusi komponen distilat dan bottom:



Untuk distribusi komponen dalam distilat (produk atas) dan bottom (produk bawah) dengan membuat persamaan garis antara *heavy key* dan *light key* dengan absis log α_i dan ordinat log(Di/Bi) diperoleh persamaan sebagai berikut :

$$\begin{aligned} \log(D_i/B_i) &= m \log(\alpha_i) + C \\ m &= 4,5396 \\ C &= -3 \\ P_{\text{operasi}} &= 25 \text{ Bar} = 2500 \text{ kPa} \end{aligned}$$

Distilat

| Komponen | log(D_i/B_i) | D_i/B_i | D (kmol) | x_D |
|-------------------------------|---|------------------------------------|-----------------|----------------------|
| CO ₂ | -6,176233 | 6,66449E-07 | 0 | 0 |
| N ₂ | 8,228163 | 169107552,6 | 0 | 0 |
| CH ₄ | 4,001235 | 10028,48186 | 288518,45 | 0,377499 |
| C ₂ H ₂ | -6,031659 | 9,29696E-07 | 0,00123559 | 1,6167E-09 |
| C ₂ H ₆ | -4,967822 | 1,07691E-05 | 0 | 0 |
| C ₃ H ₆ | -11,04019 | 9,11613E-12 | 0 | 0 |
| C ₃ | -11,73361 | 1,84667E-12 | 1,1002E-09 | 1,4395E-15 |
| i-C ₄ | -16,47679 | 3,33584E-17 | 2,1274E-15 | 2,7835E-21 |
| n-C ₄ | -18,62585 | 2,36674E-19 | 1,5822E-17 | 2,0702E-23 |
| i-C ₅ | -23,29846 | 5,02971E-24 | 3,1303E-23 | 4,0956E-29 |
| n-C ₅ | -24,87785 | 1,32479E-25 | 3,7494E-25 | 4,9057E-31 |
| n-C ₆ + | -31,89611 | 1,27025E-32 | 1,8309E-33 | 2,3956E-39 |
| H ₂ O | -44,05157 | 8,88028E-45 | 0 | 0 |
| CO | 7,746955 | 55841291,54 | 0 | 0 |
| H ₂ | 36,20947 | 1,61985E+36 | 475732,155 | 0,62245035 |
| O ₂ | 6,689815 | 4895699,095 | 0 | 0 |
| Ethylene | -3 | 0,001 | 38,7119314 | 5,0651E-05 |
| 1,2-Butadiene | -20,85198 | 1,40611E-21 | 0 | 0 |
| 1-Butene | -17,79025 | 1,62089E-18 | 0 | 0 |
| MEA | -100,419 | 3,8106E-101 | 0 | 0 |
| Total | | | 764289,318 | 1 |

Perhitungan bubble point :

$$P = 22,00 \text{ bar} = 2200 \text{ kPa}$$

$$T = -232^\circ\text{C} = 40,98 \text{ K}$$

| Komponen | Pisat | x _i | K _i | y _i |
|----------|-------|----------------|----------------|----------------|
| | | | | |

| | | | | |
|---------------|----------|-------|------|----------|
| CO2 | 0,00 | 0,000 | 0,00 | 0,E+00 |
| N2 | 0,02 | 0,000 | 0,00 | 0,E+00 |
| CH4 | 0,00 | 0,377 | 0,00 | 6,E-10 |
| C2H2 | 0,00 | 0,000 | 0,00 | 6,E-33 |
| C2H6 | 0,00 | 0,000 | 0,00 | 0,E+00 |
| C3H6 | 0,00 | 0,000 | 0,00 | 0,E+00 |
| C3 | 0,00 | 0,000 | 0,00 | 5,E-43 |
| i-C4 | 0,00 | 0,000 | 0,00 | 3,E-54 |
| n-C4 | 0,00 | 0,000 | 0,00 | 9,E-60 |
| i-C5 | 0,00 | 0,000 | 0,00 | 4,E-70 |
| n-C5 | 0,00 | 0,000 | 0,00 | 4,E-73 |
| n-C6+ | 0,00 | 0,000 | 0,00 | 9,E-90 |
| H2O | 0,00 | 0,000 | 0,00 | 0,E+00 |
| CO | 0,00 | 0,000 | 0,00 | 0,E+00 |
| H2 | 3.535,32 | 0,622 | 1,61 | 1,E+00 |
| O2 | 0,00 | 0,000 | 0,00 | 0,E+00 |
| Ethylene | 0,00 | 0,000 | 0,00 | 8,E-22 |
| 1,2-Butadiene | 0,00 | 0,000 | 0,00 | 0,E+00 |
| 1-Butene | 0,00 | 0,000 | 0,00 | 0,E+00 |
| MEA | 0,00 | 0,000 | 0,00 | 0,E+00 |
| Total | | 1,000 | | 1,000254 |

P = 22,00 bar = 2200 kPa

T = -128 °C = 145,19 K

| Komponen | Pisat | <i>yi</i> | <i>Ki</i> | <i>xi</i> |
|---------------|----------|------------|------------|-----------|
| CO2 | 2,842694 | 0 | 0,00129213 | 0 |
| N2 | 7572,698 | 0 | 3,44213525 | 0 |
| CH4 | 835,5371 | 0,377499 | 0,3797896 | 0,993969 |
| C2H2 | 3,339977 | 1,6167E-09 | 0,00151817 | 1,06E-06 |
| C2H6 | 6,386328 | 0 | 0,00290288 | 0 |
| C3H6 | 0,228491 | 0 | 0,00010386 | 0 |
| C3 | 0,158999 | 1,4395E-15 | 7,2272E-05 | 1,99E-11 |
| i-C4 | 0,011969 | 2,7835E-21 | 5,4403E-06 | 5,12E-16 |
| n-C4 | 0,003627 | 2,0702E-23 | 1,6485E-06 | 1,26E-17 |
| i-C5 | 0,000287 | 4,0956E-29 | 1,3051E-07 | 3,14E-22 |
| n-C5 | 0,000123 | 4,9057E-31 | 5,5725E-08 | 8,8E-24 |
| n-C6+ | 2,62E-06 | 2,3956E-39 | 1,1919E-09 | 2,01E-30 |
| H2O | 3,42E-09 | 0 | 1,5534E-12 | 0 |
| CO | 5888,007 | 0 | 2,67636673 | 0 |
| H2 | 3,42E+09 | 0,62245035 | 1552938,37 | 4,01E-07 |
| O2 | 3447,655 | 0 | 1,567116 | 0 |
| Ethylene | 18,44188 | 5,0651E-05 | 0,00838267 | 0,006042 |
| 1,2-Butadiene | 0,00103 | 0 | 4,6799E-07 | 0 |
| 1-Butene | 0,005707 | 0 | 2,594E-06 | 0 |
| MEA | 1,34E-22 | 0 | 6,0806E-26 | 0 |
| Total | | 1 | | 1,000013 |

BOTTOM (B)

| Komponen | $\log(D_i/B_i)$ | D_i/B_i | B (kmol) | x_B |
|---------------|-----------------|--------------|------------|-------|
| CO2 | -6,176 | 0,00 | 0 | 0,000 |
| N2 | 8,228 | 169107552,62 | 0 | 0,000 |
| CH4 | 4,001 | 10028,48 | 28,769903 | 0,001 |
| C2H2 | -6,032 | 0,00 | 1329,03101 | 0,033 |
| C2H6 | -4,968 | 0,00 | 0 | 0,000 |
| C3H6 | -11,040 | 0,00 | 0 | 0,000 |
| C3 | -11,734 | 0,00 | 595,787023 | 0,015 |
| i-C4 | -16,477 | 0,00 | 63,7741333 | 0,002 |
| n-C4 | -18,626 | 0,00 | 66,853398 | 0,002 |
| i-C5 | -23,298 | 0,00 | 6,2235189 | 0,000 |
| n-C5 | -24,878 | 0,00 | 2,83017871 | 0,000 |
| n-C6+ | -31,896 | 0,00 | 0,14413998 | 0,000 |
| H2O | -44,052 | 0,00 | 0 | 0,000 |
| CO | 7,747 | 55841291,54 | 0 | 0,000 |
| H2 | 36,209 | 1,61985E+36 | 0 | 0,000 |
| O2 | 6,690 | 4895699,09 | 0 | 0,000 |
| Ethylene | -3,000 | 0,00 | 38711,9314 | 0,949 |
| 1,2-Butadiene | -20,852 | 0,00 | 0 | 0,000 |
| 1-Butene | -17,790 | 0,00 | 0 | 0,000 |
| MEA | -100,419 | 0,00 | 0,000 | 0,000 |
| Total | | 1,00 | 40805,3447 | 1,000 |

Perhitungan bubble point :

$$P = 24,00 \text{ bar} = 2400 \text{ kPa}$$

$$T = -22^\circ\text{C} = 251,43 \text{ K}$$

| Komponen | Pisat | xi | Ki | yi |
|---------------|----------|-------|------------|------|
| CO2 | 1791,642 | 0,000 | 0,74651741 | 0,00 |
| N2 | 332770,4 | 0,000 | 138,65433 | 0,00 |
| CH4 | 21665,74 | 0,001 | 9,02739272 | 0,01 |
| C2H2 | 1427,908 | 0,033 | 0,59496166 | 0,02 |
| C2H6 | 1359,31 | 0,000 | 0,56637897 | 0,00 |
| C3H6 | 287,3108 | 0,000 | 0,11971282 | 0,00 |
| C3 | 229,8254 | 0,015 | 0,09576057 | 0,00 |
| i-C4 | 66,52011 | 0,002 | 0,02771671 | 0,00 |
| n-C4 | 41,81917 | 0,002 | 0,01742465 | 0,00 |
| i-C5 | 12,36408 | 0,000 | 0,0051517 | 0,00 |
| n-C5 | 8,211446 | 0,000 | 0,00342144 | 0,00 |
| n-C6+ | 1,568121 | 0,000 | 0,00065338 | 0,00 |
| H2O | 0,107387 | 0,000 | 4,4745E-05 | 0,00 |
| CO | 283567 | 0,000 | 118,152931 | 0,00 |
| H2 | 5,36E+20 | 0,000 | 2,2313E+17 | 0,00 |
| O2 | 74184,38 | 0,000 | 30,9101573 | 0,00 |
| Ethylene | 2461,945 | 0,949 | 1,02581058 | 0,97 |
| 1,2-Butadiene | 25,06942 | 0,000 | 0,01044559 | 0,00 |
| 1-Butene | 52,89894 | 0,000 | 0,02204122 | 0,00 |

| | | | | |
|-------|----------|-------|------------|------|
| MEA | 1,71E-07 | 0,000 | 7,1284E-11 | 0,00 |
| Total | | 1,000 | | 1,00 |

Perhitungan Dew Point

$$P = 24,00 \text{ bar} = 2.400 \text{ kPa}$$

$$T = -12^\circ\text{C} = 261,33 \text{ K}$$

| Komponen | Pisat | <i>y_i</i> | <i>K_i</i> | <i>x_i</i> |
|-------------------------------|----------|----------------------|----------------------|----------------------|
| CO ₂ | 2410,995 | 0 | 1,00458128 | 0 |
| N ₂ | 487257,8 | 0 | 203,024073 | 0 |
| CH ₄ | 27008,29 | 0,00070505 | 11,2534525 | 6,27E-05 |
| C ₂ H ₂ | 1915,576 | 0,03257002 | 0,79815648 | 0,040807 |
| C ₂ H ₆ | 1779,107 | 0 | 0,74129473 | 0 |
| C ₃ H ₆ | 402,6549 | 0 | 0,16777288 | 0 |
| C ₃ | 325,083 | 0,01460071 | 0,13545125 | 0,107793 |
| i-C ₄ | 99,71853 | 0,00156289 | 0,04154939 | 0,037615 |
| n-C ₄ | 64,51111 | 0,00163835 | 0,02687963 | 0,060951 |
| i-C ₅ | 20,3172 | 0,00015252 | 0,0084655 | 0,018016 |
| n-C ₅ | 13,83128 | 6,9358E-05 | 0,00576303 | 0,012035 |
| n-C ₆ + | 2,921636 | 3,5324E-06 | 0,00121735 | 0,002902 |
| H ₂ O | 0,246785 | 0 | 0,00010283 | 0 |
| CO | 420893,2 | 0 | 175,372169 | 0 |
| H ₂ | 1,16E+22 | 0 | 4,8475E+18 | 0 |
| O ₂ | 94553,51 | 0 | 39,3972977 | 0 |
| Ethylene | 3160,414 | 0,94869757 | 1,31683914 | 0,720435 |
| 1,2-Butadiene | 39,98073 | 0 | 0,01665864 | 0 |
| 1-Butene | 80,82103 | 0 | 0,03367543 | 0 |
| MEA | 8,92E-07 | 0 | 3,7147E-10 | 0 |
| Total | | 1 | | 1,000617 |

Distribusi komponen

| Komponen | <i>d_i</i> | <i>b_i</i> | <i>x_{i,D}</i> | <i>x_{i,B}</i> | | |
|-------------------------------|----------------------|----------------------|------------------------|------------------------|-----------|--------|
| CO ₂ | 0 | 0 | 0,0000 | 0,0000 | | |
| N ₂ | 0 | 0 | 0,0000 | 0,0000 | | |
| CH ₄ | 288518,5 | 28,769903 | 0,3775 | 0,0007 | | |
| C ₂ H ₂ | 0,001236 | 1329,031014 | 0,0000 | 0,0326 | | |
| C ₂ H ₆ | 0 | 0 | 0,0000 | 0,0000 | | |
| C ₃ H ₆ | 0 | 0 | 0,0000 | 0,0000 | | |
| C ₃ | 1,1E-09 | 595,7870226 | 0,0000 | 0,0146 | | |
| i-C ₄ | 2,13E-15 | 63,77413333 | 0,0000 | 0,0016 | | |
| n-C ₄ | 1,58E-17 | 66,853398 | 0,0000 | 0,0016 | | |
| i-C ₅ | 3,13E-23 | 6,223518903 | 0,0000 | 0,0002 | | |
| n-C ₅ | 3,75E-25 | 2,830178708 | 0,0000 | 0,0001 | | |
| n-C ₆ + | 1,83E-33 | 0,144139976 | 0,0000 | 0,0000 | | |
| H ₂ O | 0 | 0 | 0,0000 | 0,0000 | | |
| CO | 0 | 0 | 0,0000 | 0,0000 | | |
| H ₂ | 475732,2 | 0 | 0,6225 | 0,0000 | | |
| O ₂ | 0 | 0 | 0,0000 | 0,0000 | | |
| Ethylene | 38,71193 | 38711,93135 | 0,0001 | 0,9487 | 0,0007432 | 0,0007 |

| | | | | | |
|---------------|----------|-------------|--------|--------|-------------|
| 1,2-Butadiene | 0 | 0 | 0,0000 | 0,0000 | |
| 1-Butene | 0 | 0 | 0,0000 | 0,0000 | |
| MEA | 0 | 0 | 0,0000 | 0,0000 | |
| Total | 764289,3 | 40805,34466 | 1,0000 | 1,0000 | 6,280685094 |

Menentukan Jumlah Plate Minimum dengan Metode Fenske

$$N_m = \frac{\log[(x_{LK}/x_{HK})_D(x_{HK}/x_{LK})_B]}{\log[a_L]_{avg}}$$

$$\begin{aligned} \alpha_{top} &= 45 \\ \alpha_{bottom} &= 9 \\ \alpha_{avg} &= 20 \quad \text{Log } \alpha_{avg} = 1 \\ N_m &= 4,83 \\ N_m &= 5 \end{aligned}$$

Mengetahui kondisi Feed

$$P = 25,0 \text{ bar} = 2500 \text{ kPa}$$

$$T = -120^\circ\text{C} = 153 \text{ K}$$

| Komponen | zi | Ki | yi |
|---------------|---------|-------------|-------|
| CO2 | 0,00000 | 0,002754999 | 0,000 |
| N2 | 0,00000 | 4,103698756 | 0,000 |
| CH4 | 0,35840 | 0,480896999 | 0,271 |
| C2H2 | 0,00165 | 0,002964618 | 0,000 |
| C2H6 | 0,00000 | 0,00508528 | 0,000 |
| C3H6 | 0,00000 | 0,000233707 | 0,000 |
| C3 | 0,00074 | 0,000164407 | 0,000 |
| i-C4 | 0,00008 | 1,48278E-05 | 0,000 |
| n-C4 | 0,00008 | 4,9851E-06 | 0,000 |
| i-C5 | 0,00001 | 4,65987E-07 | 0,000 |
| n-C5 | 0,00000 | 2,0915E-07 | 0,000 |
| n-C6+ | 0,00000 | 5,9491E-09 | 0,000 |
| H2O | 0,00000 | 1,24968E-11 | 0,000 |
| CO | 0,00000 | 3,214943025 | 0,000 |
| H2 | 0,59090 | 5984156,495 | 0,844 |
| O2 | 0,00000 | 1,880625761 | 0,000 |
| Ethylene | 0,04813 | 0,013797293 | 0,002 |
| 1,2-Butadiene | 0,00000 | 1,61173E-06 | 0,000 |
| 1-Butene | 0,00000 | 7,61629E-06 | 0,000 |
| MEA | 0,00000 | 4,786E-24 | 0,000 |
| Total | 1 | | 1 |

yi diperoleh dengan perhitungan flash calculation

$$\sum_i y_i = \sum_i \frac{Z_i(K_i)}{1 + V(K_i - 1)} = 1$$

Fraksi V = 0,700 sehingga feed adalah campuran liquid dan vapor

Maka, didapatkan nilai q = 0,30

Perhitungan Refluks Minimum

T = -72 °C = 200,79 K
 P = 23,0 bar = 2.300 kPa

| Komponen | x _{fi} | x _{Di} | K _i | α_i | $\alpha_i \cdot x_{fi} / \alpha_i - \theta$ | $\alpha_i \cdot x_{Di} / \alpha_i - \theta$ |
|---------------|-----------------|-----------------|----------------|------------|---|---|
| CO2 | 0,0000 | 0,0000 | 1,02E-01 | 0 | 0,00 | 0,00 |
| N2 | 0,0000 | 0,0000 | 2,36E+01 | 114 | 0,00 | 0,00 |
| CH4 | 0,3584 | 0,3775 | 2,69E+00 | 13 | 0,44 | 0,47 |
| C2H2 | 0,0017 | 0,0000 | 8,54E-02 | 0 | 0,00 | 0,00 |
| C2H6 | 0,0000 | 0,0000 | 9,84E-02 | 0 | 0,00 | 0,00 |
| C3H6 | 0,0000 | 0,0000 | 1,22E-02 | 0 | 0,00 | 0,00 |
| C3 | 0,0007 | 0,0000 | 9,21E-03 | 0 | 0,00 | 0,00 |
| i-C4 | 0,0001 | 0,0000 | 1,74E-03 | 0 | 0,00 | 0,00 |
| n-C4 | 0,0001 | 0,0000 | 8,81E-04 | 0 | 0,00 | 0,00 |
| i-C5 | 0,0000 | 0,0000 | 1,68E-04 | 0 | 0,00 | 0,00 |
| n-C5 | 0,0000 | 0,0000 | 9,48E-05 | 0 | 0,00 | 0,00 |
| n-C6+ | 0,0000 | 0,0000 | 8,87E-06 | 0 | 0,00 | 0,00 |
| H2O | 0,0000 | 0,0000 | 1,52E-07 | 0 | 0,00 | 0,00 |
| CO | 0,0000 | 0,0000 | 1,91E+01 | 92 | 0,00 | 0,00 |
| H2 | 0,5909 | 0,6225 | 2,06E+11 | 9,94E+11 | 0,59 | 0,62 |
| O2 | 0,0000 | 0,0000 | 8,97E+00 | 43 | 0,00 | 0,00 |
| Ethylene | 0,0481 | 0,0001 | 2,07E-01 | 1 | -0,03 | 0,00 |
| 1,2-Butadiene | 0,0000 | 0,0000 | 4,27E-04 | 0 | 0,00 | 0,00 |
| 1-Butene | 0,0000 | 0,0000 | 1,19E-03 | 0 | 0,00 | 0,00 |
| MEA | 0,0000 | 0,0000 | 7,88E-16 | 0 | 0,00 | 0,00 |
| Total | 1,0000 | 1,0000 | | | 1,00 | 1,09 |

Menghitung refluks minimum menggunakan persamaan 11.7-19 dan 11.7-20
 (Geankoplis, fourth edition)

$$\theta \text{ (trial)} = 2,5$$

$$1 - q = \sum \frac{\alpha_i x_{if}}{\alpha_i - \theta}$$

$$R_m + 1 = \sum \frac{\alpha_i x_{iD}}{\alpha_i - \theta}$$

$$\begin{aligned}
 R_{min} &= 0,09 \\
 R &= 1,5 \times R_m \\
 &= 0,13 \\
 R/R+1 &= 0,117 \\
 R_{min}/R_{min}+1 &= 0,081
 \end{aligned}$$

Jumlah Plate Teoritis, dengan Metode Gillard (Van Winkel, pages 241-243)

dari Figure 11.7.3 Geankoplis, dengan harga

$$\begin{aligned}
 R/R+1 &= 0,117 \\
 R_{min}/R_{min}+1 &= 0,081 \\
 \text{diperoleh } N_{min}/N &= 0,15
 \end{aligned}$$

$$\text{Jumlah Plate Teoritis (N)} = 33$$

Penentuan Letak Feed Plate dengan Metode Kirkbride

$$\log \frac{N_e}{N_s} = 0,206 \log \left[\left(\frac{x_{hf}}{x_{lf}} \right) \frac{W}{D} \left(\frac{x_{LW}}{x_{HD}} \right)^2 \right] \quad \text{Persamaan 11.7-21}$$

Geankoplis 4th ed

dimana :

- Ne = jumlah plate teoritis bagian atas
 Ns = jumlah plate teoritis bagian bawah

$$\log(Ne/Ns) = 0,3887 = 77$$

$$(Ne/Ns) = 2,4471$$

$$Ne + Ns = N$$

sehingga,

$$Ns = 10$$

$$Ne = 24$$

Feed masuk pada tray ke -4 dari atas

| Komponen | Masuk (31) | | Keluar (32) | |
|-------------------------------|--------------|--------------------|---------------|--------------------|
| | Fraksi Massa | Flowrate (kg/h) | Fraksi Mol | (kmol/h) |
| CO ₂ | 0,0000 | 0,000 | 0,0000 | 0,000 |
| N ₂ | 0,0000 | 0,000 | 0,0000 | 0,000 |
| CH ₄ | 0,6868 | 4616755,524 | 0,8290 | 4616295,206 |
| C ₂ H ₂ | 0,0051 | 34554,838 | 0,0000 | 0,032 |
| C ₂ H ₆ | 0,0000 | 0,000 | 0,0000 | 0,000 |
| C ₃ H ₆ | 0,0000 | 0,000 | 0,0000 | 0,000 |
| C ₃ | 0,0039 | 26214,629 | 0,0000 | 0,000 |
| i-C ₄ | 0,0006 | 3698,900 | 0,0000 | 0,000 |
| n-C ₄ | 0,0006 | 3877,497 | 0,0000 | 0,000 |
| i-C ₅ | 0,0001 | 448,093 | 0,0000 | 0,000 |
| n-C ₅ | 0,0000 | 203,773 | 0,0000 | 0,000 |
| n-C ₆₊ | 0,0000 | 12,396 | 0,0000 | 0,000 |
| H ₂ O | 0,0000 | 0,000 | 0,0000 | 0,000 |
| CO | 0,0000 | 0,000 | 0,0000 | 0,000 |
| H ₂ | 0,1415 | 951464,309 | 0,1709 | 951464,309 |
| O ₂ | 0,0000 | 0,000 | 0,0000 | 0,000 |
| Ethylene | 0,1614 | 1085018,012 | 0,0002 | 1083,934 |
| 1,2-Butadiene | 0,0000 | 0,000 | 0,0000 | 0,000 |
| 1-Butene | 0,0000 | 0,000 | 0,0000 | 0,000 |
| MDEA | 0,0000 | 0,000 | 0,0000 | 0,000 |
| Total | 1,0000 | 6722247,972 | 1,0000 | 5568843,481 |
| Komponen | | | | Keluar (33) |
| | | | | Fraksi Mol |
| | | | | (kmol/h) |
| | | | | 0,0000 |
| | | | | 0,000 |
| | | | | 0,0000 |
| | | | | 0,0004 |
| | | | | 460,318 |
| | | | | 0,0300 |
| | | 34554,806 | | |
| | | 0,0000 | | |
| | | 0,000 | | |
| | | 0,0000 | | |

| | | |
|-------------------|---------------|--------------------|
| C ₃ | 0,0227 | 26214,629 |
| i-C ₄ | 0,0032 | 3698,900 |
| n-C ₄ | 0,0034 | 3877,497 |
| i-C ₅ | 0,0004 | 448,093 |
| n-C ₅ | 0,0002 | 203,773 |
| n-C ₆₊ | 0,0000 | 12,396 |
| H ₂ O | 0,0000 | 0,000 |
| CO | 0,0000 | 0,000 |
| H ₂ | 0,0000 | 0,000 |
| O ₂ | 0,0000 | 0,000 |
| Ethylene | 0,9398 | 1083934,078 |
| 1,2-Butadiene | 0,0000 | 0,000 |
| 1-Butene | 0,0000 | 0,000 |
| MDEA | 0,0000 | 0,000 |
| Total | 1,0000 | 1153404,491 |

27. Deethanizer Unit (D-400)

Fungsi: Untuk memisahkan metana (dan fraksi lebih ringannya) dengan fraksi lebih beratnya

Keterangan aliran:

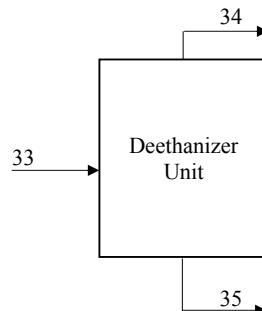
Arus 33: Feed deethanizer

Arus 34: Produk atas dari deethanizer unit

Arus 35: Produk bawah dari deethanizer unit

LK: Asethylene

HK: Propane



Asumsi:

100,0% recovery dari LK pada produk atas

100,0% recovery dari HK pada produk bawah

Tekanan input = 24 bar T Input = -18,07 Celcius

Pressure drop = 0,122 bar = 255,08 Kelvin

Tekanan atas = 20 bar

Tekanan bawah = 22 bar

Suhu top: -25,29 Celcius = 247,86 Kelvin

Suhu bot: 100,9 Celcius = 374,05 Kelvin

Suhu rata-rata: 37,805 Celcius = 310,955 Kelvin

Tekanan: 21,000 bar = 2100 kPa

Tabel A.66 Komposisi feed masuk kolom distilasi D-400

| Komponen | Masuk (33) | | Masuk (33) | |
|-------------------------------|--------------|-----------------|------------|----------|
| | Fraksi Massa | Flowrate (kg/h) | Fraksi Mol | (kmol/h) |
| CO ₂ | 0,0000 | 0,000 | 0,0000 | 0,000 |
| N ₂ | 0,0000 | 0,000 | 0,0000 | 0,000 |
| CH ₄ | 0,0004 | 460,318 | 0,0007 | 28,770 |
| C ₂ H ₂ | 0,0300 | 34554,806 | 0,0326 | 1329,031 |
| C ₂ H ₆ | 0,0000 | 0,000 | 0,0000 | 0,000 |
| C ₃ H ₆ | 0,0000 | 0,000 | 0,0000 | 0,000 |
| C ₃ | 0,0227 | 26214,629 | 0,0146 | 595,787 |

| | | | | |
|-------------------|---------------|--------------------|---------------|------------------|
| i-C ₄ | 0,0032 | 3698,900 | 0,0016 | 63,774 |
| n-C ₄ | 0,0034 | 3877,497 | 0,0016 | 66,853 |
| i-C ₅ | 0,0004 | 448,093 | 0,0002 | 6,224 |
| n-C ₅ | 0,0002 | 203,773 | 0,0001 | 2,830 |
| n-C ₆₊ | 0,0000 | 12,396 | 0,0000 | 0,144 |
| H ₂ O | 0,0000 | 0,000 | 0,0000 | 0,000 |
| CO | 0,0000 | 0,000 | 0,0000 | 0,000 |
| H ₂ | 0,0000 | 0,000 | 0,0000 | 0,000 |
| O ₂ | 0,0000 | 0,000 | 0,0000 | 0,000 |
| Ethylene | 0,9398 | 1083934,078 | 0,9487 | 38711,931 |
| 1,2-Butadiene | 0,0000 | 0,000 | 0,0000 | 0,000 |
| 1-Butene | 0,0000 | 0,000 | 0,0000 | 0,000 |
| MDEA | 0,0000 | 0,000 | 0,0000 | 0,000 |
| Total | 1,0000 | 1153404,491 | 1,0000 | 40805,345 |

Tabel A.67. Konstanta Antoine dari berbagai komponen :

| Komponen | Konstanta Antoine | | | | | |
|-------------------------------|-------------------|----------|--------|--------|----------|---|
| | a | b | c | d | e | f |
| CO ₂ | 133,60 | -4735 | 0 | -21,27 | 4,09E-02 | 1 |
| N ₂ | 35,41 | -966,2 | 0 | -4,32 | 7,93E-05 | 2 |
| CH ₄ | 31,35 | -1308 | 0 | -3,26 | 2,94E-05 | 2 |
| C ₂ H ₂ | 61,56 | -3244 | 0 | -7,72 | 2,04E-05 | 2 |
| C ₂ H ₆ | 44,01 | -2569 | 0 | -4,98 | 1,46E-05 | 2 |
| C ₃ H ₆ | 58,35 | -3591 | 0 | -7,11 | 1,40E-05 | 2 |
| C ₃ | 52,38 | -3491 | 0 | -6,11 | 1,12E-05 | 2 |
| i-C ₄ | 58,78 | -4137 | 0 | -7,02 | 1,04E-05 | 2 |
| n-C ₄ | 66,94 | -4604 | 0 | -8,26 | 1,16E-05 | 2 |
| i-C ₅ | 66,76 | -5059 | 0 | -8,09 | 9,25E-06 | 2 |
| n-C ₅ | 63,33 | -5118 | 0 | -7,48 | 7,77E-06 | 2 |
| n-C ₆₊ | 70,43 | -6056 | 0 | -8,38 | 6,62E-06 | 2 |
| H ₂ O | 65,93 | -7228 | 0 | -7,18 | 4,03E-06 | 2 |
| CO | 41,66 | -1110 | 0 | -5,46 | 8,64E-05 | 2 |
| H ₂ | 9,18 | -107,9 | 0 | 0,16 | 6,02E-04 | 2 |
| O ₂ | 31,23 | -1090 | 0 | -3,30 | 4,06E-05 | 2 |
| Ethylene | 29,84 | -2116 | 0 | -2,48 | 4,08E-16 | 6 |
| 1,2-Butadiene | 14,09 | -2397 | -30,88 | 0,00 | 0,00E+00 | 2 |
| 1-Butene | 65,42 | -4488 | 0 | -8,02 | 1,13E-05 | 2 |
| MEA | 136,00 | -15003,2 | 0 | -16,71 | 7,11E-06 | 2 |

Sumber : Hysys

$$\ln P_{isat} = a_i + \frac{b_i}{(T+c_i)} + d_i \ln T + e_i T^{f_i}$$

$$\alpha = \frac{K_i}{K_{heavy\ key}}$$

$$K_i = \frac{P_i^{sat}}{P}$$

$$\sum_i y_i = \sum_i \frac{Z_i(K_i)}{1 + V(K_i - 1)} = 1$$

$$y_i = x_i K_i$$

Tabel A.68. Perhitungan Psat setiap zat pada Demethanizer (D-401)

| Komponen | Ln P _{sat} | P _{sat} (kPa) | Flowrate (kmol/h) | z _i | K _i |
|-----------------|---------------------|------------------------|-------------------|----------------|----------------|
| CO ₂ | 7,6032 | 2004,54 | 0,000 | 0,0000 | 0,8352 |
| N ₂ | 12,8547 | 382566,61 | 0,000 | 0,0000 | 159,4028 |

| | | | | | |
|-------------------------------|----------|-----------|-----------|--------|----------|
| CH ₄ | 10,0653 | 23513,96 | 28,770 | 0,0007 | 9,7975 |
| C ₂ H ₂ | 7,3750 | 1595,55 | 1329,031 | 0,0326 | 0,6648 |
| C ₂ H ₆ | 7,3163 | 1504,66 | 0,000 | 0,0000 | 0,6269 |
| C ₃ H ₆ | 5,7884 | 326,50 | 0,000 | 0,0000 | 0,1360 |
| C ₃ | 5,5687 | 262,09 | 595,787 | 0,0146 | 0,1092 |
| i-C ₄ | 4,3510 | 77,56 | 63,774 | 0,0016 | 0,0323 |
| n-C ₄ | 3,8979 | 49,30 | 66,853 | 0,0016 | 0,0205 |
| i-C ₅ | 2,7033 | 14,93 | 6,224 | 0,0002 | 0,0062 |
| n-C ₅ | 2,3034 | 10,01 | 2,830 | 0,0001 | 0,0042 |
| n-C ₆₊ | 0,6861 | 1,99 | 0,144 | 0,0000 | 0,0008 |
| H ₂ O | -1,9158 | 0,15 | 0,000 | 0,0000 | 0,0001 |
| CO | 12,6995 | 327585,59 | 0,000 | 0,0000 | 136,4940 |
| H ₂ | 48,8520 | 1,64E+21 | 0,000 | 0,0000 | ##### |
| O ₂ | 11,3038 | 81129,68 | 0,000 | 0,0000 | 33,8040 |
| Ethylene | 7,9027 | 2704,58 | 38711,931 | 0,9487 | 1,1269 |
| 1,2-Butadiene | 3,3987 | 29,92 | 0,000 | 0,0000 | 0,0125 |
| 1-Butene | 4,1292 | 62,13 | 0,000 | 0,0000 | 0,0259 |
| MEA | -14,9547 | 0,00 | 0,000 | 0,0000 | 0,0000 |
| Total | | | 40805,345 | 1,0000 | |

| Komponen | Ki | yi | ai | log ai |
|-------------------------------|-------------|------------|-------------|------------|
| CO ₂ | 0,8352 | 0 | 6,139550136 | 0,78813655 |
| N ₂ | 159,4028 | 0 | 1171,731737 | 3,06882819 |
| CH ₄ | 9,7975 | 0,00690774 | 72,01897753 | 1,85744695 |
| C ₂ H ₂ | 0,6648 | 0,02165291 | 4,886867875 | 0,6890306 |
| C ₂ H ₆ | 0,6269 | 0 | 4,608511801 | 0,6635607 |
| C ₃ H ₆ | 0,1360 | 0 | 1 | 0 |
| C ₃ | 0,1092 | 0,00159446 | 0,802734435 | -0,0954281 |
| i-C ₄ | 0,0323 | 5,0507E-05 | 0,23755022 | -0,6242446 |
| n-C ₄ | 0,0205 | 3,3652E-05 | 0,150986018 | -0,8210633 |
| i-C ₅ | 0,0062 | 9,4872E-07 | 0,045724878 | -1,3398474 |
| n-C ₅ | 0,0042 | 2,8922E-07 | 0,03065269 | -1,5135314 |
| n-C ₆₊ | 0,0008 | 2,923E-09 | 0,00608258 | -2,2159122 |
| H ₂ O | 0,0001 | 0 | 0,000450908 | -3,3459123 |
| CO | 136,4940 | 0 | 1003,334905 | 3,00144592 |
| H ₂ | 6,85396E+17 | 0 | 5,03818E+18 | 18,7022738 |
| O ₂ | 33,8040 | 0 | 248,4854156 | 2,3953009 |
| Ethylene | 1,1269 | 1,06909441 | 8,283629126 | 0,91822065 |
| 1,2-Butadiene | 0,0125 | 0 | 0,091651035 | -1,0378626 |
| 1-Butene | 0,0259 | 0 | 0,190290603 | -0,7205827 |
| MEA | 0,0000 | 0 | 9,8032E-10 | -9,0086323 |

Menentukan komposisi produk atas dan bawah

Asumsi distribusi produk distilat dan bottom :

Produk atas diinginkan recovery Methane = 0,9999 ($x_{L,D}$)

Produk bawah diinginkan recovery Etylene = 0,999 ($x_{H,B}$)

Membuat grafik distribusi komponen dalam distilat

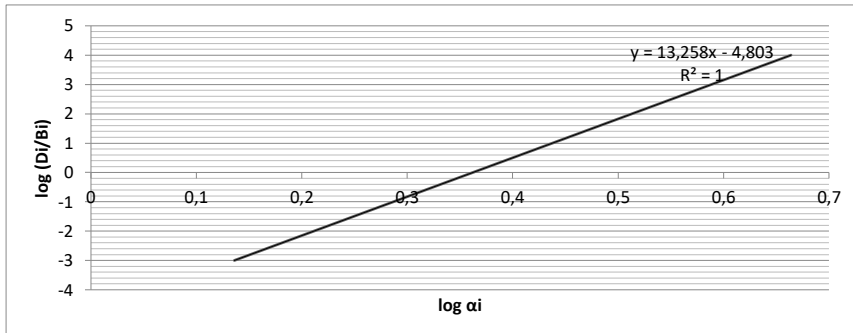
| Komponen | $\log \alpha_i$ | $\log(D_i/B_i)$ |
|----------|-----------------|-----------------|
| C2H2 | 0,664 | 4,000 |
| C3 | 0,136 | -3,000 |

Dari data di atas dibuat grafik distribusi komponen distilat dan bottom:

$$\log \frac{N_e}{N_s} = 0,206 \log \left[\left(\frac{x_{hf}}{x_{lf}} \right) \frac{W}{D} \left(\frac{x_{LW}}{x_{HD}} \right)^2 \right] \quad N_m = \frac{\log[(x_{LK}/x_{HK})_D (x_{HK}/x_{LK})_B]}{\log[a_L]_{av}}$$

$$1 - q = \sum \frac{\alpha_i x_{if}}{\alpha_i - \theta}$$

$$R_m + 1 = \sum \frac{\alpha_i x_{iD}}{\alpha_i - \theta}$$



Untuk distribusi komponen dalam distilat (produk atas) dan bottom (produk bawah) dengan membuat persamaan garis antara *heavy key* dan *light key* dengan absis $\log \alpha_i$ dan ordinat $\log(D_i/B_i)$ diperoleh persamaan sebagai berikut :

$$\begin{aligned} \log(D_i/B_i) &= m \log(\alpha_i) + C \\ m &= 13,258 \\ C &= -4,803 \\ P_{operasi} &= 24 \text{ Bar} = 2500 \text{ Kpa} \end{aligned}$$

Distilat

| Komponen | $\log(D_i/B_i)$ | D_i/B_i | D (kmol) | x_D |
|----------|-----------------|-------------|------------|------------|
| CO2 | 5,646114 | 442704,9542 | 0 | 0 |
| N2 | 35,88352 | 7,64758E+35 | 0 | 0 |
| CH4 | 19,82303 | 6,65322E+19 | 28,769903 | 0,000718 |
| C2H2 | 4,332168 | 21486,59802 | 1328,96916 | 0,03316646 |
| C2H6 | 3,994488 | 9873,879274 | 0 | 0 |
| C3H6 | -4,803 | 1,57398E-05 | 0 | 0 |
| C3 | -6,068186 | 8,54701E-07 | 0,00050922 | 1,2708E-08 |
| i-C4 | -13,07923 | 8,33231E-14 | 5,3139E-12 | 1,3262E-16 |
| n-C4 | -15,68866 | 2,04806E-16 | 1,3692E-14 | 3,417E-19 |
| i-C5 | -22,5667 | 2,71208E-23 | 1,6879E-22 | 4,2123E-27 |
| n-C5 | -24,8694 | 1,35083E-25 | 3,8231E-25 | 9,5411E-30 |

| | | | | |
|---------------|-----------|-------------|------------|------------|
| n-C6+ | -34,18156 | 6,58319E-35 | 9,489E-36 | 2,3681E-40 |
| H2O | -49,1631 | 6,86903E-50 | 0 | 0 |
| CO | 34,99017 | 9,7762E+34 | 0 | 0 |
| H2 | 243,1517 | 1,4182E+243 | 0 | 0 |
| O2 | 26,9539 | 8,99289E+26 | 0 | 0 |
| Ethylene | 7,370769 | 23483851,78 | 38711,9297 | 0,96611553 |
| 1,2-Butadiene | -18,56298 | 2,73538E-19 | 0 | 0 |
| 1-Butene | -14,35648 | 4,40063E-15 | 0 | 0 |
| MEA | -124,2394 | 5,7617E-125 | 0 | 0 |
| Total | | | 40069,6693 | 1 |

Perhitungan bubble point :

$$P = 20,00 \text{ bar} = 2000 \text{ kPa}$$

$$T = -29 \text{ } ^\circ\text{C} = 244,00 \text{ K}$$

| Komponen | Pisat | <i>xi</i> | <i>Ki</i> | <i>yi</i> |
|---------------|-----------|-----------|-----------|-----------|
| CO2 | 1.410,20 | 0,000 | 0,71 | 0,E+00 |
| N2 | ##### | 0,000 | 125,82 | 0,E+00 |
| CH4 | 18.298,86 | 0,001 | 9,15 | 7,E-03 |
| C2H2 | 1.127,51 | 0,033 | 0,56 | 2,E-02 |
| C2H6 | 1.095,50 | 0,000 | 0,55 | 0,E+00 |
| C3H6 | 218,62 | 0,000 | 0,11 | 0,E+00 |
| C3 | 173,57 | 0,000 | 0,09 | 1,E-09 |
| i-C4 | 47,88 | 0,000 | 0,02 | 3,E-18 |
| n-C4 | 29,39 | 0,000 | 0,01 | 5,E-21 |
| i-C5 | 8,25 | 0,000 | 0,00 | 2,E-29 |
| n-C5 | 5,37 | 0,000 | 0,00 | 3,E-32 |
| n-C6+ | 0,94 | 0,000 | 0,00 | 1,E-43 |
| H2O | 0,05 | 0,000 | 0,00 | 0,E+00 |
| CO | ##### | 0,000 | 106,22 | 0,E+00 |
| H2 | ##### | 0,000 | ##### | 0,E+00 |
| O2 | 61.819,48 | 0,000 | 30,91 | 0,E+00 |
| Ethylene | 2.018,10 | 0,966 | 1,01 | 1,E+00 |
| 1,2-Butadiene | 17,16 | 0,000 | 0,01 | 0,E+00 |
| 1-Butene | 37,48 | 0,000 | 0,02 | 0,E+00 |
| MEA | 0,00 | 0,000 | 0,00 | 0,E+00 |
| Total | | 1,000 | | 1,0000128 |

$$P = 20,00 \text{ bar} = 2000 \text{ kPa}$$

$$T = -29 \text{ } ^\circ\text{C} = 244,57 \text{ K}$$

| Komponen | Pisat | <i>yi</i> | <i>Ki</i> | <i>xi</i> |
|----------|----------|------------|------------|-----------|
| CO2 | 1437,371 | 0 | 0,71868533 | 0 |
| N2 | 257086 | 0 | 128,543006 | 0 |
| CH4 | 18541,91 | 0,000718 | 9,27095676 | 7,74E-05 |
| C2H2 | 1148,917 | 0,03316646 | 0,57445845 | 0,057735 |
| C2H6 | 1114,457 | 0 | 0,55722854 | 0 |
| C3H6 | 223,4388 | 0 | 0,11171942 | 0 |

| | | | | |
|---------------|----------|------------|------------|----------|
| C3 | 177,5014 | 1,2708E-08 | 0,08875072 | 1,43E-07 |
| i-C4 | 49,15788 | 1,3262E-16 | 0,02457894 | 5,4E-15 |
| n-C4 | 30,23409 | 3,417E-19 | 0,01511704 | 2,26E-17 |
| i-C5 | 8,524761 | 4,2123E-27 | 0,00426238 | 9,88E-25 |
| n-C5 | 5,559117 | 9,5411E-30 | 0,00277956 | 3,43E-27 |
| n-C6+ | 0,984027 | 2,3681E-40 | 0,00049201 | 4,81E-37 |
| H2O | 0,057707 | 0 | 2,8853E-05 | 0 |
| CO | 217196,3 | 0 | 108,59813 | 0 |
| H2 | 6,8E+19 | 0 | 3,3987E+16 | 0 |
| O2 | 62699,38 | 0 | 31,3496899 | 0 |
| Ethylene | 2050,189 | 0,96611553 | 1,02509472 | 0,942465 |
| 1,2-Butadiene | 17,69014 | 0 | 0,00884507 | 0 |
| 1-Butene | 38,52293 | 0 | 0,01926146 | 0 |
| MEA | 4,98E-08 | 0 | 2,4884E-11 | 0 |
| Total | | 1 | | 1,000277 |

BOTTOM (B)

| Komponen | $\log(D_i/B_i)$ | D_i/B_i | B (kmol) | x_B |
|---------------|-----------------|-------------|------------|-------|
| CO2 | 5,646 | 442704,95 | 0 | 0,000 |
| N2 | 35,884 | ##### | 0 | 0,000 |
| CH4 | 19,823 | ##### | 0 | 0,000 |
| C2H2 | 4,332 | 21486,60 | 0,06185107 | 0,000 |
| C2H6 | 3,994 | 9873,88 | 0 | 0,000 |
| C3H6 | -4,803 | 0,00 | 0 | 0,000 |
| C3 | -6,068 | 0,00 | 595,786513 | 0,810 |
| i-C4 | -13,079 | 0,00 | 63,7741333 | 0,087 |
| n-C4 | -15,689 | 0,00 | 66,853398 | 0,091 |
| i-C5 | -22,567 | 0,00 | 6,2235189 | 0,008 |
| n-C5 | -24,869 | 0,00 | 2,83017871 | 0,004 |
| n-C6+ | -34,182 | 0,00 | 0,14413998 | 0,000 |
| H2O | -49,163 | 0,00 | 0 | 0,000 |
| CO | 34,990 | ##### | 0 | 0,000 |
| H2 | 243,152 | 1,4182E+243 | 0 | 0,000 |
| O2 | 26,954 | ##### | 0 | 0,000 |
| Ethylene | 7,371 | 23483851,78 | 0,00164845 | 0,000 |
| 1,2-Butadiene | -18,563 | 0,00 | 0 | 0,000 |
| 1-Butene | -14,356 | 0,00 | 0 | 0,000 |
| MEA | -124,239 | 0,00 | 0,000 | 0,000 |
| Total | | 1,00 | 735,675382 | 1,000 |

Perhitungan bubble point :

$$P = 22,00 \text{ bar} = 2200 \text{ kPa}$$

$$T = 68^\circ\text{C} = 341,62 \text{ K}$$

| Komponen | Pisat | xi | Ki | yi |
|----------|----------|-------|------------|------|
| CO2 | 15251,51 | 0,000 | 6,93250433 | 0,00 |
| N2 | 16999474 | 0,000 | 7727,03346 | 0,00 |
| CH4 | 151887,1 | 0,000 | 69,0396085 | 0,00 |

| | | | | |
|---------------|----------|-------|------------|------|
| C2H2 | 11992,98 | 0,000 | 5,45135638 | 0,00 |
| C2H6 | 9604,454 | 0,000 | 4,36566109 | 0,00 |
| C3H6 | 2984,806 | 0,000 | 1,35673022 | 0,00 |
| C3 | 2512,071 | 0,810 | 1,14185035 | 0,92 |
| i-C4 | 1038,126 | 0,087 | 0,47187552 | 0,04 |
| n-C4 | 777,4974 | 0,091 | 0,3534079 | 0,03 |
| i-C5 | 344,5686 | 0,008 | 0,15662211 | 0,00 |
| n-C5 | 270,7377 | 0,004 | 0,12306258 | 0,00 |
| n-C6+ | 98,92026 | 0,000 | 0,04496376 | 0,00 |
| H2O | 29,19188 | 0,000 | 0,01326904 | 0,00 |
| CO | 17344201 | 0,000 | 7883,72787 | 0,00 |
| H2 | 6,14E+34 | 0,000 | 2,7918E+31 | 0,00 |
| O2 | 741865,7 | 0,000 | 337,211673 | 0,00 |
| Ethylene | 18304,48 | 0,000 | 8,32021913 | 0,00 |
| 1,2-Butadiene | 587,6393 | 0,000 | 0,26710875 | 0,00 |
| 1-Butene | 923,5146 | 0,000 | 0,41977938 | 0,00 |
| MEA | 0,010366 | 0,000 | 4,7118E-06 | 0,00 |
| Total | | 1,000 | | 1,00 |

Perhitungan Dew Point

$$P = 22,00 \text{ bar} = 2.200 \text{ kPa}$$

$$T = 79^\circ\text{C} = 352,03 \text{ K}$$

| Komponen | Pisat | y_i | K_i | x_i |
|---------------|----------|------------|------------|----------|
| CO2 | 18576,72 | 0 | 8,44396537 | 0 |
| N2 | 28784574 | 0 | 13083,8973 | 0 |
| CH4 | 190730,2 | 0 | 86,695557 | 0 |
| C2H2 | 14589,39 | 8,4074E-05 | 6,6315403 | 1,27E-05 |
| C2H6 | 11483,52 | 0 | 5,2197816 | 0 |
| C3H6 | 3640,393 | 0 | 1,65472398 | 0 |
| C3 | 3066,934 | 0,80984974 | 1,39406077 | 0,580929 |
| i-C4 | 1296,575 | 0,08668787 | 0,5893521 | 0,14709 |
| n-C4 | 982,7104 | 0,0908735 | 0,44668652 | 0,203439 |
| i-C5 | 447,7195 | 0,0084596 | 0,20350888 | 0,041569 |
| n-C5 | 356,2292 | 0,00384705 | 0,16192239 | 0,023759 |
| n-C6+ | 136,2827 | 0,00019593 | 0,0619467 | 0,003163 |
| H2O | 45,2925 | 0 | 0,0205875 | 0 |
| CO | 30241212 | 0 | 13746,0054 | 0 |
| H2 | 4,81E+36 | 0 | 2,1884E+33 | 0 |
| O2 | 989616,4 | 0 | 449,825615 | 0 |
| Ethylene | 23188,76 | 2,2407E-06 | 10,540344 | 2,13E-07 |
| 1,2-Butadiene | 754,5358 | 0 | 0,34297084 | 0 |
| 1-Butene | 1161,696 | 0 | 0,52804352 | 0 |
| MEA | 0,024211 | 0 | 1,1005E-05 | 0 |
| Total | | 1 | | 0,999961 |

Distribusi komponen

| Komponen | d_i | b_i | $x_{i,D}$ | $x_{i,B}$ | | |
|----------|-------|-------|-----------|-----------|--|--|
| CO2 | 0 | 0 | 0,0000 | 0,0000 | | |

| | | | | | | |
|---------------|----------|-------------|--------|--------|--|-------------|
| N2 | 0 | 0 | 0,0000 | 0,0000 | | |
| CH4 | 28,7699 | 0 | 0,0007 | 0,0000 | | |
| C2H2 | 1328,969 | 0,061851074 | 0,0332 | 0,0001 | | |
| C2H6 | 0 | 0 | 0,0000 | 0,0000 | | |
| C3H6 | 0 | 0 | 0,0000 | 0,0000 | | |
| C3 | 0,000509 | 595,7865134 | 0,0000 | 0,8098 | | |
| i-C4 | 5,31E-12 | 63,77413333 | 0,0000 | 0,0867 | | |
| n-C4 | 1,37E-14 | 66,853398 | 0,0000 | 0,0909 | | |
| i-C5 | 1,69E-22 | 6,223518903 | 0,0000 | 0,0085 | | |
| n-C5 | 3,82E-25 | 2,830178708 | 0,0000 | 0,0038 | | |
| n-C6+ | 9,49E-36 | 0,144139976 | 0,0000 | 0,0002 | | |
| H2O | 0 | 0 | 0,0000 | 0,0000 | | |
| CO | 0 | 0 | 0,0000 | 0,0000 | | |
| H2 | 0 | 0 | 0,0000 | 0,0000 | | |
| O2 | 0 | 0 | 0,0000 | 0,0000 | | |
| Ethylene | 38711,93 | 0,001648449 | 0,9661 | 0,0000 | | |
| 1,2-Butadiene | 0 | 0 | 0,0000 | 0,0000 | | |
| 1-Butene | 0 | 0 | 0,0000 | 0,0000 | | |
| MEA | 0 | 0 | 0,0000 | 0,0000 | | |
| Total | 40069,67 | 735,6753818 | 1,0000 | 1,0000 | | 7,967486846 |

Menentukan Jumlah Plate Minimum dengan Metode Fenske

$$N_m = \frac{\log[(x_{LK}/x_{HK})_D(x_{HK}/x_{LK})_B]}{\log[a_L]_{av}}$$

$$\alpha_{top} = 6$$

$$\alpha_{bottom} = 5$$

$$\alpha_{avg} = 6 \quad \text{Log } \alpha_{avg} = 1$$

$$Nm = 10,69$$

$$Nm = 11$$

Mengetahui kondisi Feed

$$P = 24,0 \text{ bar} = 2400 \text{ kPa}$$

$$T = -18^\circ\text{C} = 255 \text{ K}$$

| Komponen | zi | Ki | yi |
|----------|---------|-------------|-------|
| CO2 | 0,00000 | 0,8352 | 0,000 |
| N2 | 0,00000 | 159,4027529 | 0,000 |
| CH4 | 0,00071 | 9,79748428 | 0,001 |
| C2H2 | 0,03257 | 0,664811038 | 0,028 |
| C2H6 | 0,00000 | 0,62694339 | 0,000 |
| C3H6 | 0,00000 | 0,136040313 | 0,000 |
| C3 | 0,01460 | 0,109204244 | 0,004 |
| i-C4 | 0,00156 | 0,032316406 | 0,000 |
| n-C4 | 0,00164 | 0,020540185 | 0,000 |
| i-C5 | 0,00015 | 0,006220427 | 0,000 |
| n-C5 | 0,00007 | 0,004170002 | 0,000 |
| n-C6+ | 0,00000 | 0,000827476 | 0,000 |
| H2O | 0,00000 | 6,13416E-05 | 0,000 |

| | | | |
|---------------|---------|-------------|-------|
| CO | 0,00000 | 136,493995 | 0,000 |
| H2 | 0,00000 | 6,85396E+17 | 0,000 |
| O2 | 0,00000 | 33,80403383 | 0,000 |
| Ethylene | 0,94870 | 1,126907503 | 0,982 |
| 1,2-Butadiene | 0,00000 | 0,012468236 | 0,000 |
| 1-Butene | 0,00000 | 0,025887193 | 0,000 |
| MEA | 0,00000 | 1,33363E-10 | 0,000 |
| Total | 1 | | 1 |

yi diperoleh dengan perhitungan flash calculation

$$\sum_i y_i = \sum_i \frac{Z_i(K_i)}{1 + V(K_i - 1)} = 1$$

Fraksi V = 0,700 sehingga feed adalah campuran liquid dan vapor

Maka, didapatkan nilai q = 0,30

Perhitungan Refluks Minimum

T = 23 °C = 295,70 K

P = 21,0 bar = 2.100 kPa

| Komponen | x _{fi} | x _{Di} | K _i | a _i | a _i ·x _{fi} /a _i -θ | a _i ·x _{Di} /a _i -θ |
|---------------|-----------------|-----------------|----------------|----------------|--|--|
| CO2 | 0,0000 | 0,0000 | 2,78E+00 | 7 | 0,00 | 0,00 |
| N2 | 0,0000 | 0,0000 | 9,55E+02 | 2,242 | 0,00 | 0,00 |
| CH4 | 0,0007 | 0,0007 | 2,70E+01 | 63 | 0,00 | 0,00 |
| C2H2 | 0,0326 | 0,0332 | 2,20E+00 | 5 | 0,04 | 0,06 |
| C2H6 | 0,0000 | 0,0000 | 1,90E+00 | 4 | 0,00 | 0,00 |
| C3H6 | 0,0000 | 0,0000 | 5,15E-01 | 1 | 0,00 | 0,00 |
| C3 | 0,0146 | 0,0000 | 4,26E-01 | 1 | -0,15 | 0,00 |
| i-C4 | 0,0016 | 0,0000 | 1,53E-01 | 0 | 0,00 | 0,00 |
| n-C4 | 0,0016 | 0,0000 | 1,07E-01 | 0 | 0,00 | 0,00 |
| i-C5 | 0,0002 | 0,0000 | 4,03E-02 | 0 | 0,00 | 0,00 |
| n-C5 | 0,0001 | 0,0000 | 2,95E-02 | 0 | 0,00 | 0,00 |
| n-C6+ | 0,0000 | 0,0000 | 8,29E-03 | 0 | 0,00 | 0,00 |
| H2O | 0,0000 | 0,0000 | 1,30E-03 | 0 | 0,00 | 0,00 |
| CO | 0,0000 | 0,0000 | 8,75E+02 | 2,054 | 0,00 | 0,00 |
| H2 | 0,0000 | 0,0000 | 6,03E+23 | ##### | 0,00 | 0,00 |
| O2 | 0,0000 | 0,0000 | 1,06E+02 | 248 | 0,00 | 0,00 |
| Ethylene | 0,9487 | 0,9661 | 3,27E+00 | 8 | 1,11 | 1,42 |
| 1,2-Butadiene | 0,0000 | 0,0000 | 7,34E-02 | 0 | 0,00 | 0,00 |
| 1-Butene | 0,0000 | 0,0000 | 1,31E-01 | 0 | 0,00 | 0,00 |
| MEA | 0,0000 | 0,0000 | 4,88E-08 | 0 | 0,00 | 0,00 |
| Total | 1,0000 | 1,0000 | | | 1,00 | 1,49 |

Menghitung refluks minimum menggunakan persamaan 11.7-19 dan 11.7-20

(Geankoplis, fourth edition)

$$\theta(\text{trial}) = 1,1$$

$$1 - q = \sum \frac{\alpha_i x_{if}}{\alpha_i - \theta}$$

$$R_{\dots} + 1 = \sum \frac{\alpha_i x_{iD}}{\alpha_i - \theta}$$

$$\alpha_m + \alpha_i = \angle \alpha_i - \theta$$

| | | |
|-------------|---|----------|
| Rmin | = | 0,49 |
| R | = | 1,5 x Rm |
| | = | 0,73 |
| R/R+1 | = | 0,421 |
| Rmin/Rmin+1 | = | 0,327 |

Jumlah Plate Teoritis, dengan Metode Gillard (Van Winkel, pages 241-243)

dari Figure 11.7.3 Geankoplis, dengan harga

| | | |
|------------------|---|-------|
| R/R+1 | = | 0,421 |
| Rmin/Rmin+1 | = | 0,327 |
| diperoleh Nmin/N | = | 0,15 |

$$\text{Jumlah Plate Teoritis (N)} = 73$$

Penentuan Letak Feed Plate dengan Metode Kirkbride

$$\log \frac{Ne}{Ns} = 0,206 \log \left[\left(\frac{x_{hf}}{x_{lf}} \right) \frac{W}{D} \left(\frac{x_{LW}}{x_{HD}} \right)^2 \right] \quad \text{Persamaan 11.7-21}$$

Geankoplis 4th ed

dimana :

| | |
|------|------------------------------------|
| Ne = | jumlah plate teoritis bagian atas |
| Ns = | jumlah plate teoritis bagian bawah |

$$\log(Ne/Ns) = 1,2882 = 1792497$$

$$(Ne/Ns) = 19,4184$$

$$Ne + Ns = N$$

sehingga,

$$Ns = 4$$

$$Ne = 70$$

Feed masuk pada tray ke -70 dari atas

| Komponen | Masuk (33) | | Keluar (34) | |
|-------------------------------|--------------|-----------------|-------------|-----------|
| | Fraksi Massa | Flowrate (kg/h) | Fraksi Mol | (kmol/h) |
| CO ₂ | 0,0000 | 0,000 | 0,0000 | 0,000 |
| N ₂ | 0,0000 | 0,000 | 0,0000 | 0,000 |
| CH ₄ | 0,0001 | 460,318 | 0,0004 | 460,318 |
| C ₂ H ₂ | 0,0051 | 34554,806 | 0,0309 | 34553,198 |
| C ₂ H ₆ | 0,0000 | 0,000 | 0,0000 | 0,000 |
| C ₃ H ₆ | 0,0000 | 0,000 | 0,0000 | 0,000 |
| C ₃ | 0,0039 | 26214,629 | 0,0000 | 0,022 |
| i-C ₄ | 0,0006 | 3698,900 | 0,0000 | 0,000 |
| n-C ₄ | 0,0006 | 3877,497 | 0,0000 | 0,000 |
| i-C ₅ | 0,0001 | 448,093 | 0,0000 | 0,000 |
| n-C ₅ | 0,0000 | 203,773 | 0,0000 | 0,000 |
| n-C ₆ + | 0,0000 | 12,396 | 0,0000 | 0,000 |
| H ₂ O | 0,0000 | 0,000 | 0,0000 | 0,000 |

| | | | | |
|-------------------------------|---------------|--------------------|------------------|--------------------|
| CO | 0,0000 | 0,000 | 0,0000 | 0,000 |
| H ₂ | 0,0000 | 0,000 | 0,0000 | 0,000 |
| O ₂ | 0,0000 | 0,000 | 0,0000 | 0,000 |
| Ethylene | 0,1612 | 1083934,078 | 0,9687 | 1083934,032 |
| 1,2-Butadiene | 0,0000 | 0,000 | 0,0000 | 0,000 |
| 1-Butene | 0,0000 | 0,000 | 0,0000 | 0,000 |
| MDEA | 0,0000 | 0,000 | 0,0000 | 0,000 |
| Total | 0,1716 | 1153404,491 | 1,0000 | 1118947,571 |
| | | | Keluar (35) | |
| Komponen | | Fraksi Mol | (kmol/h) | |
| CO ₂ | | 0,0000 | 0,000 | |
| N ₂ | | 0,0000 | 0,000 | |
| CH ₄ | | 0,0000 | 0,000 | |
| C ₂ H ₂ | | 0,0000 | 1,608 | |
| C ₂ H ₆ | | 0,0000 | 0,000 | |
| C ₃ H ₆ | | 0,0000 | 0,000 | |
| C ₃ | | 0,7608 | 26214,607 | |
| i-C ₄ | | 0,1073 | 3698,900 | |
| n-C ₄ | | 0,1125 | 3877,497 | |
| i-C ₅ | | 0,0130 | 448,093 | |
| n-C ₅ | | 0,0059 | 203,773 | |
| n-C ₆₊ | | 0,0004 | 12,396 | |
| H ₂ O | | 0,0000 | 0,000 | |
| CO | | 0,0000 | 0,000 | |
| H ₂ | | 0,0000 | 0,000 | |
| O ₂ | | 0,0000 | 0,000 | |
| Ethylene | | 0,0000 | 0,046 | |
| 1,2-Butadiene | | 0,0000 | 0,000 | |
| 1-Butene | | 0,0000 | 0,000 | |
| MDEA | | 0,0000 | 0,000 | |
| Total | | 1,0000 | 34456,920 | |

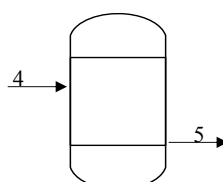
29. Hydrogenation Reactor (R-102)

Fungsi: Menghidrogenasi asetethylene menjadi gas *ethylene*

Arus 34: Arus Masuk Hidrogenation Reactor

Arus 36 : Keluar Reactor Hidrogenasi

Reaksi utama:



Tabel A.70 Neraca Massa Hidrogenation Reactor (R-102)

| Komponen | Feed Dehidrogenation (4) | | Keluar (5) | |
|-----------------|--------------------------|-----------------|--------------|-----------------|
| | Fraksi Massa | Flowrate (kg/h) | Fraksi Massa | Flowrate (kg/h) |
| CO ₂ | 0,0000 | 0,000 | 0,0000 | 0,000 |

| | | | | |
|-------------------------------|---------------|-----------------|--------|--------------------|
| N ₂ | 0,0000 | 0,000 | 0,0000 | 0,000 |
| CH ₄ | 0,0004 | 460,318 | 0,0004 | 460,318 |
| C ₂ H ₂ | 0,0309 | 34553,198 | 0,0000 | 0,000 |
| C ₂ H ₆ | 0,0000 | 0,000 | 0,0000 | 0,000 |
| C ₃ H ₆ | 0,0000 | 0,000 | 0,0000 | 0,000 |
| C ₃ | 0,0000 | 0,022 | 0,0000 | 0,022 |
| i-C ₄ | 0,0000 | 0,000 | 0,0000 | 0,003 |
| n-C ₄ | 0,0000 | 0,000 | 0,0000 | 0,000 |
| i-C ₅ | 0,0000 | 0,000 | 0,0000 | 0,000 |
| n-C ₅ | 0,0000 | 0,000 | 0,0000 | 0,000 |
| n-C ₆₊ | 0,0000 | 0,000 | 0,0000 | 0,000 |
| H ₂ O | 0,0000 | 0,000 | 0,0000 | 0,000 |
| CO | 0,0000 | 0,000 | 0,0000 | 0,000 |
| H ₂ | 0,0000 | 0,000 | 0,0000 | 0,000 |
| O ₂ | 0,0000 | 0,000 | 0,0000 | 0,000 |
| Ethylene | 0,9687 | 1083934,032 | 0,9996 | 1121145,168 |
| 1,2-Butadiene | 0,0000 | 0,000 | 0,0000 | 0,000 |
| 1-Butene | 0,0000 | 0,000 | 0,0000 | 0,000 |
| MEA | 1,0000 | 0,000 | 0,0000 | 0,000 |
| Total | 1,0000 | 1118947,571 | 1,0000 | 1121605,512 |
| Feed Hidrogen (4) | | | | |
| Komponen | Fraksi Massa | Flowrate (kg/h) | | |
| CO ₂ | 0,0000 | 0,000 | | |
| N ₂ | 0,0000 | 0,000 | | |
| CH ₄ | 0,0000 | 0,000 | | |
| C ₂ H ₂ | 0,0000 | 0,000 | | |
| C ₂ H ₆ | 0,0000 | 0,000 | | |
| C ₃ H ₆ | 0,0000 | 0,000 | | |
| C ₃ | 0,0000 | 0,000 | | |
| i-C ₄ | 0,0000 | 0,000 | | |
| n-C ₄ | 0,0000 | 0,000 | | |
| i-C ₅ | 0,0000 | 0,000 | | |
| n-C ₅ | 0,0000 | 0,000 | | |
| n-C ₆₊ | 0,0000 | 0,000 | | |
| H ₂ O | 0,0000 | 0,000 | | |
| CO | 0,0000 | 0,000 | | |
| H ₂ | 1,0000 | 2657,938 | | |
| O ₂ | 0,0000 | 0,000 | | |
| Ethylene | 0,0000 | 0,000 | | |
| 1,2-Butadiene | 0,0000 | 0,000 | | |
| 1-Butene | 0,0000 | 0,000 | | |
| MEA | 0,0000 | 0,000 | | |
| Total | 1,0000 | 2657,938 | | |

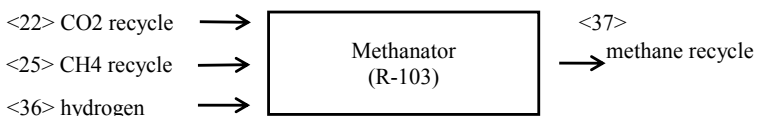
Reaksi utama tangki Dehidrogenation Reactor :

Reaksi : Konversi C₂H₆ = 1,00
C₂H₆ yang bereaksi = 1,00 x 1329 = 1329 kgmole/h

| | | | | | | | |
|---|-------------|---|--------|---|------|---|----|
| | C2H2 | + | H2 | = | C2H4 | + | H2 |
| m | 1329 | | excess | | | | |
| r | 1329 | | 1329 | | 1329 | | |
| s | 0 | | 1329 | | 1329 | | |

30. REAKTOR METHANATOR (R-103)

Fungs Mengkonversikan karbon (karbon dioksida dan karbon monoksida) dan hidrogen menjadi metana dan air



Ketentuan dan kondisi operasi:

1. Tekanan = 7 bar
2. Suhu operasi = 300 °C
3. pH operasi = 6
4. Waktu tinggal = 0,0330 jam

| Berat molekul komponen : | |
|--------------------------|-----------|
| Metana | = 16,0429 |
| Hydrogen | = 2,016 |
| CO | = 28,0109 |
| CO2 | = 44,0097 |
| H2O | = 18,0151 |

Kandungan CO2 Recycle <88>

| | | |
|-----------|-------------|--------------|
| Mass Flow | = 123302,41 | kg/h |
| CO2 | = CO2 | |
| | = 0,2871 | fraksi massa |
| | = 0,2871 | x 17173 |
| | = 4930 | kg/h |
| | = 4930 | : 44,0097 |
| | = 112,0 | kgmole/h |
| CO | = CO | |
| | = 0,0000 | fraksi massa |
| | = 0,0000 | x 123302 |
| | = 0 | kg/h |
| | = 0 | : 28,0109 |
| | = 0 | kgmole/h |
| CH4 | = CH4 | |
| | = 0,0075 | fraksi massa |
| | = 0,0075 | x 128 |
| | = 0,9540804 | kg/h |
| | = 0,9540804 | : 16,0429 |
| | = 0,0595 | kgmole/h |
| H2O | = H2O | |
| | = 0,0036 | fraksi massa |
| | = 0,0036 | x 62 |
| | = 0,2204933 | kg/h |
| | = 0,2204933 | : 18,0151 |
| | = 0,0122394 | kgmole/h |

Kandungan CH4 Recycle

| | | | | | |
|-----------|---------------------|--------------|-----------|----------|--------------|
| Mass Flow | = 0,00 | kg/h | Mass Flow | = | kg/h |
| CO2 | = CO2 di aliran | | H2 | = H2 | |
| | = 0,0000 | fraksi massa | | = 1,0000 | fraksi massa |
| | = 0,0000 | x 0 | | = 1,0000 | x 951464,3 |
| | = 0 | kg/h | | = 951464 | kg/h |
| | = 0 | : | 44,0097 | = 951464 | : |
| | = 0 | kgmole/h | | = 471957 | kgmole/h |
| CO | = CO di aliran <89> | | | | |
| | = 0,0000 | fraksi massa | | | |
| | = 0,0000 | x 0 | | | |
| | = 0 | kg/h | | | |
| | = 0 | : | 28,0109 | | |
| | = 0 | kgmole/h | | | |
| CH4 | = CH4 | | | | |
| | = 0,8290 | fraksi massa | | | |
| | = 0,8290 | x 4616295 | | | |
| | = 3826679,9 | kg/h | | | |
| | = 3826679,9 | : | 16,0429 | | |
| | = 238527,94 | kgmole/h | | | |
| H2O | = H2O | | | | |
| | = 0,0000 | fraksi massa | | | |
| | = 0,0000 | x 0 | | | |
| | = 0 | kg/h | | | |
| | = 0 | : | 18,0151 | | |
| | = 0 | kgmole/h | | | |

Reaksi utama tangki Methanator :

| | | | | |
|-----------------------|-------------|---------------|------------|----------|
| Reaksi 1 Konversi CO2 | = 1,00 | | | |
| CO2 yang bereaksi | = 1,00 | x 112,0 | = 112,02 | kgmole/h |
| CO2 | + 4 H2 | = CH4 + 2 H2O | | |
| m 112,0207591 | Excess | | | |
| r 112,0207591 | 448,0830362 | 112,020759 | 224,041518 | |
| s 0 | 448,0830362 | 112,020759 | 224,041518 | |

| | | | | |
|----------------------|--------|-------------|----------|--|
| Reaksi 2 Konversi CO | = 1 | | | |
| CO yang bereaksi | = 1 | x 0,0000 | = 0,0000 | |
| CO | + 3 H2 | = CH4 + H2O | | |
| m 0 | excess | | | |
| r 0 | 0 | 0 | 0 | |
| s 0 | 0 | 0 | 0 | |

| | | | | |
|--------------------|-------------|-----------|---|--|
| CH4 yang terbentuk | = 112,02076 | x 16,0429 | | |
| | = 1797,1 | kg/h | | |
| H2O yang terbentuk | = 224,0415 | x 18,0151 | | |
| | = 4036,130 | kg/h | | |
| H2 yang dibutuhkan | = 448,1 | + | 0 | |

$$\begin{aligned}
 &= 448,0830 \quad \text{kgmole/h} \\
 &= 448,1 \quad \times \quad 2,016 \\
 &= 903,3354 \quad \text{kg/h}
 \end{aligned}$$

Tabel A.70 Neraca Massa Methanation Reactor (R-102)

| Komponen | CO2 Recy (4) | | Keluar (5) | |
|-------------------------------|---------------------|------------------|---------------|--------------------|
| | Fraksi Massa | Flowrate (kg/h) | Fraksi Massa | Flowrate (kg/h) |
| CO ₂ | 0,2871 | 4930,000 | 0,0000 | 0,000 |
| N ₂ | 0,0000 | 0,000 | 0,0000 | 0,000 |
| CH ₄ | 0,0075 | 128,000 | 4,1175 | 4618220,344 |
| C ₂ H ₂ | 0,0000 | 0,000 | 0,0000 | 0,032 |
| C ₂ H ₆ | 0,0001 | 2,000 | 0,0000 | 2,000 |
| C ₃ H ₆ | 0,0000 | 0,000 | 0,0000 | 0,000 |
| C ₃ | 0,0000 | 0,022 | 0,0000 | 0,022 |
| i-C ₄ | 0,0000 | 0,000 | 0,0000 | 0,000 |
| n-C ₄ | 0,0000 | 0,000 | 0,0000 | 0,000 |
| i-C ₅ | 0,0027 | 46,000 | 0,0000 | 46,000 |
| n-C ₅ | 0,0000 | 0,000 | 0,0000 | 0,000 |
| n-C ₆₊ | 0,0000 | 0,000 | 0,0000 | 0,000 |
| H ₂ O | 0,0036 | 61,534 | 0,0037 | 4097,664 |
| CO | 0,0000 | 0,000 | 0,0000 | 0,000 |
| H ₂ | 0,0000 | 0,000 | 0,8475 | 950560,974 |
| O ₂ | 0,0000 | 0,000 | 0,0000 | 0,000 |
| Ethylene | 0,6991 | 12005,000 | 0,0117 | 13088,934 |
| 1,2-Butadiene | 0,0000 | 0,000 | 0,0000 | 0,000 |
| 1-Butene | 0,0000 | 0,000 | 0,0000 | 0,000 |
| MEA | 0,0000 | 0,000 | 0,0000 | 0,000 |
| Total | 1,0000 | 17172,556 | 1,0000 | 5586015,970 |
| Komponen | Methane Recycle (4) | | | |
| | Fraksi Massa | Flowrate (kg/h) | | |
| CO ₂ | 0,0000 | 0,000 | | |
| N ₂ | 0,0000 | 0,000 | | |
| CH ₄ | 0,8290 | 4616295,206 | | |
| C ₂ H ₂ | 0,0000 | 0,032 | | |
| C ₂ H ₆ | 0,0000 | 0,000 | | |
| C ₃ H ₆ | 0,0000 | 0,000 | | |
| C ₃ | 0,0000 | 0,000 | | |
| i-C ₄ | 0,0000 | 0,000 | | |
| n-C ₄ | 0,0000 | 0,000 | | |
| i-C ₅ | 0,0000 | 0,000 | | |
| n-C ₅ | 0,0000 | 0,000 | | |
| n-C ₆₊ | 0,0000 | 0,000 | | |
| H ₂ O | 0,0000 | 0,000 | | |
| CO | 0,0000 | 0,000 | | |
| H ₂ | 0,1709 | 951464,309 | | |
| O ₂ | 0,0000 | 0,000 | | |
| Ethylene | 0,0002 | 1083,934 | | |
| 1,2-Butadiene | 0,0000 | 0,000 | | |

| | | |
|--------------|---------------|-------------|
| 1-Butene | 0,0000 | 0,000 |
| MEA | 0,0000 | 0,000 |
| Total | 1,0000 | 5568843,481 |

| | |
|-------|----|
| 1,542 | 4 |
| 0 | -3 |

| | |
|-------|----|
| 0,664 | 4 |
| 0,136 | -3 |

APPENDIKS B

PERHITUNGAN NERACA ENERGI

Data-data operasi:

1 Tahun = 330 hari
1 Hari = 24 jam

Basis:

| | | | | | |
|------------------------------|-------------|--------|-----------------------------|------------------|--------------|
| Ethylene | = 600 | KTPA | Konversi | = | 60,70% |
| | = 75,757576 | ton/h | Metana bereaksi | = | #REF! kmol/h |
| | = 75757,576 | kg/h | | = | #REF! kg/h |
| | = #REF! | kmol/h | Selectivity C ₂₊ | = | 41,60% |
| Yield | = 20,40% | (mol) | Ethylene/Ethane Ratio | = | 5,8 |
| Metana masuk reaktor | = #REF! | | kmol/h | | |
| OCM | = #REF! | | kg/h | | |
| Metana pada gas alam sebesar | 82,84% | mol / | 65,3% | massa, sehingga: | |
| Input NG | = 18305,05 | kmol/h | | | |
| | = 371,43 | ton/h | | | |

Sehingga, *feed* gas alam yang masuk pada plant ini sebesar 435,81 ton/h

Tabel B.1. Komposisi dan properti dari *feed* gas alam (1):

| Komponen | BM (kg/kmol) | Komposisi mol | Flowrate (kmol/h) | Flowrate (kg/h) |
|-------------------------------|--------------|---------------|-------------------|-----------------|
| CO ₂ | 44 | 0,0558 | 1021,422 | 44942,559 |
| N ₂ | 28 | 0,0125 | 228,813 | 6406,768 |
| CH ₄ | 16 | 0,8284 | 15163,903 | 242622,455 |
| C ₂ H ₂ | 26 | 0,0000 | 0,000 | 0,000 |
| C ₂ H ₆ | 30 | 0,0485 | 887,795 | 26633,848 |
| C ₃ H ₆ | 42 | 0,0000 | 0,000 | 0,000 |
| C ₃ | 44 | 0,0354 | 647,999 | 28511,946 |
| i-C ₄ | 58 | 0,0057 | 104,339 | 6051,650 |
| n-C ₄ | 58 | 0,0077 | 140,949 | 8175,035 |
| i-C ₅ | 72 | 0,0022 | 40,271 | 2899,520 |
| n-C ₅ | 72 | 0,0017 | 31,119 | 2240,538 |
| n-C ₆₊ | 86 | 0,0019 | 34,780 | 2991,045 |
| H ₂ O | 18 | 0,0002 | 3,661 | 65,953 |
| CO | 28 | 0,0000 | 0,000 | 0,000 |
| H ₂ | 2 | 0,0000 | 0,000 | 0,000 |
| O ₂ | 32 | 0,0000 | 0,000 | 0,000 |
| Ethylene | 28 | 0,0000 | 0,000 | 0,000 |
| 1,2-Butadiene | 54 | 0,0000 | 0,000 | 0,000 |
| 1-Butene | 56 | 0,0000 | 0,000 | 0,000 |
| MDEA | 119 | 0,0000 | 0,000 | 0,000 |
| Total | | 1,0000 | 18305,050 | 371541,316 |
| Properties | | | | |
| Tekanan | | | 56,86 | bar |
| Suhu | | | 40,00 | Celcius |
| HHV (Higher Heating Value) | | | 46518 | Btu/scf |
| Z (Compressibility) | | | 0,864 | |

Asumsikan ΔE_p , ΔE_k , dan W_s diabaikan pada perhitungan neraca energi, sehingga:
neraca panas dapat dihitung dengan cara:

$$H = H_o^{ig} + Cp^{ig} (T - T_{ref}) + H^R \quad (B.2)$$

Karena $H_{o,0} = 0$, sehingga persamaan (B.2) menjadi:

$$H = Cp^{ig} (T - T_{ref}) + H^R \quad (B.3)$$

Perhitungan neraca energi ini menggunakan:

$$T_{ref} = 25 \text{ Celcius} = 298,15 \text{ Kelvin}$$

$$R = 8,314 \text{ kJ/kmol.K}$$

Perhitungan Compressibility Factor (Z):

Tabel B.2. Tabel Properti dari Zat Murni

| Komponen | BM (kg/kmol) | ω | T _c (K) | P _c (bar) | Z _c | V _c (cc/mol) | T _n (K) |
|-------------------------------|--------------|----------|--------------------|----------------------|----------------|-------------------------|--------------------|
| CO ₂ | 44 | 0,224 | 304,2 | 73,83 | 0,274 | 94 | |
| N ₂ | 28 | 0,038 | 126,2 | 34 | 0,289 | 89,2 | 77,3 |
| CH ₄ | 16 | 0,012 | 190,6 | 45,99 | 0,286 | 98,6 | 111,4 |
| C ₂ H ₂ | 26 | 0,187 | 308,2 | 61,39 | 0,271 | 113 | 189,4 |
| C ₂ H ₆ | 30 | 0,1 | 305,3 | 48,72 | 0,279 | 145,5 | 184,6 |
| C ₃ H ₆ | 42 | 0,14 | 364,9 | 46,2 | 0,289 | 188,4 | 225,5 |
| C ₃ | 44 | 0,152 | 369,8 | 42,48 | 0,276 | 200 | 231,1 |
| i-C ₄ | 58 | 0,181 | 408,1 | 36,48 | 0,282 | 262,7 | 261,4 |
| n-C ₄ | 58 | 0,2 | 425,1 | 37,96 | 0,274 | 255 | 272,7 |
| i-C ₅ | 72 | 0,233 | 461 | 33,8 | 0,278 | 306 | 297,9 |
| n-C ₅ | 72 | 0,252 | 469,7 | 33,7 | 0,27 | 313 | 309,2 |
| n-C ₆₊ | 86 | 0,301 | 507,6 | 30,25 | 0,266 | 371 | 341,9 |
| H ₂ O | 18 | 0,345 | 647,1 | 220,55 | 0,229 | 55,9 | 373,2 |
| CO | 28 | 0,048 | 132,9 | 3499 | 0,299 | 93,4 | 81,7 |
| H ₂ | 2 | -0,216 | 33,19 | 13,13 | 0,305 | 64,1 | 20,4 |
| O ₂ | 32 | 0,022 | 154,6 | 50,43 | 0,288 | 73,4 | 90,2 |
| Ethylene | 28 | 0,087 | 282,3 | 50,4 | 0,281 | 131 | 169,4 |
| 1,2-Butadiene | 54 | 0,1659 | 443,6 | 44,99 | 0,255 | 220 | 10,8 |
| 1-Butene | 56 | 0,1845 | 419,5 | 40,23 | 0,278 | 241 | -6,3 |
| MDEA | 119 | 0,996 | 676,9 | 37 | | 0,37 | 247,1 |

$$Tr = \frac{T}{T_c} \quad (B.4)$$

$$P_r = \frac{P}{P_c} \quad (B.5)$$

Equation of State yang digunakan adalah Peng-Robinson (1976)

Tabel B.3. Parameter Equation of State Peng-Robinson

| EoS | α | σ | ε | Ω | Ψ |
|-----------|---------------------------|-----------|---------------|----------|---------|
| PR (1976) | $\alpha_{PR}(Tr; \omega)$ | 2,4142136 | -0,4142136 | 0,07779 | 0,45724 |

$$\alpha_{PR}(Tr; \omega) = [1 + (0,37464 + 154226\omega - 0,26992\omega^2)(1 - Tr^{0,5})]^2 \quad (B.6)$$

$$q = \frac{\Psi \alpha_{PR}(Tr; \omega)}{\Omega Tr} \quad (B.7)$$

$$\alpha = \alpha \frac{P_r}{Tr} \quad (B.8)$$

$$p = \nu \frac{1}{T_r}$$

Untuk perhitungan trial compressibility factor (Z) bagian saturated vapour:

$$Z = 1 + \beta - q\beta \frac{(Z - \beta)}{(Z + \varepsilon\beta)(Z + \sigma\beta)} \quad (\text{B.9})$$

Untuk perhitungan trial compressibility factor (Z) bagian saturated liquid:

$$Z = \beta + (Z + \varepsilon\beta)(Z + \sigma\beta) \left(\frac{1 + \beta - Z}{q\beta} \right) \quad (\text{B.10})$$

(Sumber: Smith Van Ness, 6th Edition)

Untung menghitung entalpi residual:

$$B^0 = 0.083 - \frac{0.422}{T_r^{1.6}} \quad (\text{B.11})$$

$$\frac{dB^0}{dT_r} = \frac{0.675}{T_r^{2.6}} \quad (\text{B.12})$$

$$B^1 = 0.139 - \frac{0.172}{T_r^{4.2}} \quad (\text{B.13})$$

$$\frac{dB^1}{dT_r} = \frac{0.722}{T_r^{5.2}} \quad (\text{B.14})$$

$$H^R = P_r R T_c \left[B^0 - T_r \frac{dB^0}{dT_r} + \omega \left(B^1 - T_r \frac{dB^1}{dT_r} \right) \right] \quad (\text{B.15})$$

(Sumber: Smith Van Ness, 6th Edition)

Untuk menghitung nilai kapasitas panas gas:

$$\tau = \frac{T}{T_{Ref}} \quad (\text{B.16})$$

$$(Cp)_H = R \left[A + \frac{B}{2} T_0(\tau + 1) + \frac{C}{3} T_0^2(\tau^2 + \tau + 1) + \frac{D}{\tau T_0^2} \right] \quad (\text{B.17})$$

Tabel B.4. Konstanta Perhitungan Kapasitas Panas Gas Tiap Zat

| Komponen | A | B | C | D |
|-------------------------------|---------|---------|-----------|---------|
| CO ₂ | 5,45700 | 0,00105 | 0 | -115700 |
| N ₂ | 3,28000 | 0,00059 | 0 | 4000 |
| CH ₄ | 1,70200 | 0,00908 | -2,2E-06 | 0 |
| C ₂ H ₂ | 6,13200 | 0,00192 | 0,0E+00 | -129900 |
| C ₂ H ₆ | 1,13100 | 0,01923 | -5,6E-06 | 0 |
| C ₃ H ₆ | 1,63700 | 0,02271 | -6,9E-06 | 0 |
| C ₃ | 1,21300 | 0,02879 | -8,8E-06 | 0 |
| i-C ₄ | 1,67700 | 0,03785 | -1,2E-05 | 0 |
| n-C ₄ | 1,93500 | 0,03692 | -1,1E-05 | 0 |
| i-C ₅ | 2,46400 | 0,04535 | -1,4E-05 | 0 |
| n-C ₅ | 2,46400 | 0,04535 | -1,4E-05 | 0 |
| n-C ₆₊ | 3,02500 | 0,05372 | -1,7E-05 | 0 |
| H ₂ O | 3,47000 | 0,00145 | 0 | 12100 |
| CO | 3,37600 | 0,00056 | 0 | -3100 |
| H ₂ | 3,24900 | 0,00042 | 0 | 8300 |
| O ₂ | 3,63900 | 0,00051 | 0 | -22700 |
| Ethylene | 1,42400 | 0,01439 | -4,39E-06 | 0 |
| 1,2-Butadiene | | | | |
| 1-Butene | | | | |
| MDEA | | | | |

(Sumber: Smith Van Ness, 6th Edition)

Untuk menghitung nilai kapasitas panas liquid:

$$(Cp) = \left[A(T - T_0) + \frac{B}{2}(T^2 - T_0^2) + \frac{C}{3}(T^3 - T_0^3) + \frac{D}{4}(T^4 - T_0^4) + \frac{E}{5}(T^5 - T_0^5) \right]$$

(B.18)

Tabel B.5. Konstanta Perhitungan Kapasitas Panas Liquid Tiap Zat

| Komponen | A | B | C | D | E |
|-------------------------------|-------------|-----------|---------|-------------|------------|
| CO ₂ | -8304300 | 104370,00 | -433,33 | 0,60052 | 0 |
| N ₂ | 28197,000 | -12281,00 | 248,00 | -2,21820 | 0,0074902 |
| CH ₄ | 65,708 | 38883,00 | -257,95 | 614,07000 | 0 |
| C ₂ H ₂ | -122020,000 | 3082,70 | -15,90 | 0,02773 | 0 |
| C ₂ H ₆ | 44,009 | 89718,00 | 918,77 | -1886,00000 | 0 |
| C ₃ H ₆ | 114140,000 | -343,72 | 1,01 | 0,00000 | 0 |
| C ₃ | 62,983 | 113630,00 | 633,21 | -873,46000 | 0 |
| i-C ₄ | 172370,000 | -1783,90 | 14,759 | -0,047909 | 0,00005805 |
| n-C ₄ | 191030,000 | -1675,00 | 12,5 | -0,03874 | 0,00004612 |
| i-C ₅ | 108300,000 | 146,00 | -0,292 | 0,00151 | 0 |
| n-C ₅ | 15980,000 | -270,50 | 0,99537 | 0 | 0 |
| n-C ₆₊ | 172120,000 | -183,78 | 0,88734 | 0 | 0 |
| H ₂ O | 276370,000 | -2090,10 | 8,125 | -0,014116 | 0,00000937 |
| CO | | | | | |
| H ₂ | | | | | |
| O ₂ | | | | | |
| Ethylene | | | | | |
| 1,2-Butadiene | | | | | |
| 1-Butene | | | | | |
| MDEA | | | | | |

(Sumber: Perry's Chemical Engineers' Handbook, 8th Edition)

Cp = Kapasitas panas (kJ/kmol)

Untuk menghitung panas penguapan:

$$\Delta H_{lv} = C1x(1 - T_r)^{C2+C3 T_r+C4 T_r^2} \quad (B.19)$$

Dengan:

ΔH_{lv} = Enthalpi Penguapan (kJ/kmol)

Tabel B.6. Konstanta Perhitungan Entalpi Penguapan

| Komponen | C1 | C2 | C3 | C4 |
|-------------------------------|----------|---------|----------|---------|
| CO ₂ | 21730000 | 0,38200 | -0,43390 | 0,42213 |
| N ₂ | 7490500 | 0,40406 | -0,31700 | 0,27343 |
| CH ₄ | 10194000 | 0,26087 | -0,46940 | 0,22154 |
| C ₂ H ₂ | 23214000 | 0,35938 | 0,00000 | 0,00000 |
| C ₂ H ₆ | 21091000 | 0,60646 | -0,55492 | 0,32799 |
| C ₃ H ₆ | 25216000 | 0,33721 | -0,18399 | 0,22377 |
| C ₃ | 29209000 | 0,78237 | -0,77319 | 0,39246 |
| i-C ₄ | 31880000 | 0,39006 | 0 | 0 |
| n-C ₄ | 36238000 | 0,83370 | -0,82274 | 0,39613 |
| i-C ₅ | 39109000 | 0,38681 | 0 | 0 |
| n-C ₅ | 39109000 | 0,38681 | 0 | 0 |

| | | | | |
|--------------------|----------|---------|--------|---------|
| n-C ₆ + | 44544000 | 0,39002 | 0 | 0 |
| H ₂ O | 52053000 | 0,31990 | -0,212 | 0,25795 |
| CO | | | | |
| H ₂ | | | | |
| O ₂ | | | | |
| Ethylene | | | | |
| 1,2-Butadiene | | | | |
| 1-Butene | | | | |
| MDEA | | | | |

(Sumber: Perry's Chemical Engineers' Handbook, 8th Edition)

Pada kondisi T_{ref}:

Tabel B.7. Entalpi Penguapan Saat Kondisi T_{ref}

| Komponen | T _c | T _{ref} | ΔH _{lvref} |
|-------------------------------|----------------|------------------|---------------------|
| CO ₂ | 304,20 | 0,98 | 5257153,127 |
| N ₂ | 126,20 | 2,36 | 10794654,38 |
| CH ₄ | 190,60 | 1,56 | 9801048,865 |
| C ₂ H ₂ | 308,20 | 0,97 | 6783779,876 |
| C ₂ H ₆ | 305,30 | 0,98 | 5115276,667 |
| C ₃ H ₆ | 364,90 | 0,82 | 14243085,5 |
| C ₃ | 369,80 | 0,81 | 14803566,43 |
| i-C ₄ | 408,10 | 0,73 | 19113987,94 |
| n-C ₄ | 425,10 | 0,70 | 20998093,18 |
| i-C ₅ | 461,00 | 0,65 | 26150029,37 |
| n-C ₅ | 469,70 | 0,63 | 26489543,61 |
| n-C ₆ + | 507,60 | 0,59 | 31539110,29 |
| H ₂ O | 647,10 | 0,46 | 43868936,89 |
| CO | 132,90 | 2,24 | 0 |
| H ₂ | 33,19 | 8,98 | 0 |
| O ₂ | 154,60 | 1,93 | 0 |
| Ethylene | 282,30 | 1,06 | 0 |
| 1,2-Butadiene | 443,60 | 0,67 | 0 |
| 1-Butene | 419,50 | 0,71 | 0 |
| MDEA | 676,90 | 0,44 | 0 |

Untuk mendapatkan ΔH_{lvreal}:

$$\frac{\Delta H_{lvreal}}{\Delta H_{lvref}} = \left(\frac{1 - T_{rreal}}{1 - T_{rref}} \right)^{0,38} \quad (B.20)$$

Dengan bantuan software HYSYS, perhitungan kapasitas panas dapat dihitung dengan menggunakan cara diatas. Sehingga persamaan neraca panas menjadi:

$$H = m H_m$$

Dengan:

H = Laju alir panas (kJ/h)

m = Laju alir massa (kg/h)

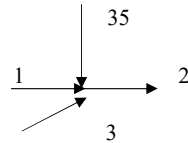
H_m = Enthalpi massa (kJ/kg)

1. Mixing Point I

Tempat bercampurnya feed O₂, Sales Gas dan Methane Recycle Sebelum masuk OCM Reactor

sebelum dipanaskan pada suhu sekitar 400 celcius untuk masuk ke reaktor C
suhu dan tekanan arus (2) tidak sama dengan arus (1) dan arus (3)

$$\begin{aligned} T_{in} &= 30,00 \text{ Celcius} = 303,15 \text{ Kelvin} \\ T_{out} &= 400,00 \text{ Celcius} = 673,15 \text{ Kelvin} \\ P_{in} &= 20,00 \text{ bar} \\ P_{out} &= 20,04 \text{ bar} \end{aligned}$$



Tabel B.8. Neraca Panas Mixing Point I

| Inlet | | Outlet | |
|------------------------|----------------|------------------------|----------------|
| Arus | 1 | Arus | 2 |
| m (kg/h) | 86050,000 | m (kg/h) | 270510,000 |
| H _m (kJ/kg) | -4018,594 | H _m (kJ/kg) | -1549,407 |
| H (kJ/h) | -345800000,000 | H (kJ/h) | -419130000,000 |
| Arus | 35 | Total | -419130000,000 |
| m (kg/h) | 34460,000 | | |
| H _m (kJ/kg) | -3705,746 | | |
| H (kJ/h) | -127700000,000 | | |
| Arus | 4 | | |
| m (kg/h) | 150000,000 | | |
| H _m (kJ/kg) | 362,467 | | |
| H (kJ/h) | 54370000,000 | | |
| Total | -419130000,000 | | |

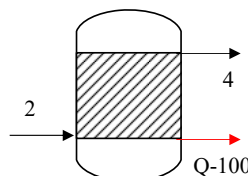
1. Output OCM Reactor

Setelah semua feed dicampur dan dipanaskan sebelum masuk OCM Reactor Output yang keluar dari reactor yang semula bersuhu 400 menjadi sekitar 1200 celcius

OCM Reactor (R-100)

$$\begin{aligned} T_2 &= 400,00 \text{ Celcius} = 673,15 \text{ Kelvin} \\ T_4 &= 1240,00 \text{ Celcius} = 1513,15 \text{ Kelvin} \end{aligned}$$

$$\begin{aligned} P_2 &= 7 \text{ bar} \\ P_4 &= 21 \text{ bar} \end{aligned}$$



Tabel B.9. Neraca Panas OCM Reactor

| Inlet | | Outlet | |
|------------------------|----------------|------------------------|-------------|
| Arus | 2 | Arus | 4 |
| m (kg/h) | 270510,000 | m (kg/h) | 270510,000 |
| H _m (kJ/kg) | -1549,407 | H _m (kJ/kg) | -4932,000 |
| H (kJ/h) | -419130000,000 | H (kJ/h) | -1334155320 |
| Total | -419130000,000 | Arus | Q-410 |

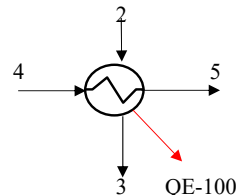
| | |
|--------------|----------------|
| Q | 915025320,000 |
| Total | -419130000,000 |

2. HE-100

Gas yang keluar dari OCM Reactor didinginkan pada HE dengan Panas pada Preheated Sales gas dan O2 diawal

| | |
|----------------------|------------------|
| T4 = 30,00 Celcius | = 303,15 Kelvin |
| T5 = 400,00 Celcius | = 673,15 Kelvin |
| T2 = 1140,00 Celcius | = 1413,15 Kelvin |
| T3 = 942,80 Celcius | = 1215,95 Kelvin |

| | |
|-----------------|----------------|
| P4 = 20,000 bar | P2 = 7,000 bar |
| P5 = 20,20 bar | P3 = 6,80 bar |



Tabel B.10. Neraca Panas HE-100

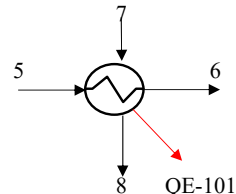
| Inlet | | Outlet | |
|------------------------|------------------------|------------------------|-------------------|
| Arus | 4 | Arus | 2 |
| m (kg/h) | 215100000,000 | m (kg/h) | 294800,000 |
| H _m (kJ/kg) | -5,030 | H _m (kJ/kg) | -3051,560 |
| H (kJ/h) | -1082000000,000 | H (kJ/h) | -899600000,000 |
| Arus | 5 | Arus | 3 |
| m (kg/h) | 215100,000 | m (kg/h) | 294800,000 |
| H _m (kJ/kg) | -4022,780 | H _m (kJ/kg) | -383310,719 |
| H (kJ/h) | -865300000,000 | H (kJ/h) | -1,13E+11 |
| Total | -1947300000,000 | Total | -1,139E+11 |

3. HE-101

Gas yang keluar dari OCM Reactor didinginkan pada HE dengan Panas pada Preheated Sales gas dan O2 diawal

| | |
|----------------------|------------------|
| T5 = 942,00 Celcius | = 1215,15 Kelvin |
| T6 = 915,70 Celcius | = 1188,85 Kelvin |
| T7 = 1140,00 Celcius | = 1413,15 Kelvin |
| T8 = 942,80 Celcius | = 1215,95 Kelvin |

| | |
|----------------|-----------------|
| P5 = 6,800 bar | P7 = 20,000 bar |
| P6 = 6,60 bar | P8 = 20,20 bar |



Tabel B.11. Neraca Panas HE-101

| Inlet | | Outlet | |
|------------------------|------------------------|------------------------|---------------------|
| Arus | 5 | Arus | 7 |
| m (kg/h) | 105700,000 | m (kg/h) | 10570,000 |
| H _m (kJ/kg) | -10804,163 | H _m (kJ/kg) | 27,540 |
| H (kJ/h) | -1142000000,000 | H (kJ/h) | 291100,000 |
| Arus | 6 | Arus | 8 |
| m (kg/h) | 105700,000 | m (kg/h) | 10570,000 |
| H _m (kJ/kg) | -10690,634 | H _m (kJ/kg) | 2732,261 |
| H (kJ/h) | -1130000000,000 | H (kJ/h) | 28880000,000 |
| Total | -2272000000,000 | Total | 29171100,000 |

3. Dehydrogenation Reactor

Setelah Melalui HE Series sales gas dialirkan pada



Dehidrogenation Reactor dengan tujuan mendehidrogenasi Etana menjadi ethylene dan hidrogen

$$\begin{array}{llll} T_5 & = & 915,70 & \text{Celcius} = 1188,85 \text{ Kelvin} \\ T_6 & = & 899,20 & \text{Celcius} = 1172,35 \text{ Kelvin} \end{array}$$

$$\begin{array}{ll} P_5 & = 6,600 \text{ bar} \\ P_6 & = 6,60 \text{ bar} \end{array}$$

Tabel B.12. Neraca Panas Dehidrogenation Reactor

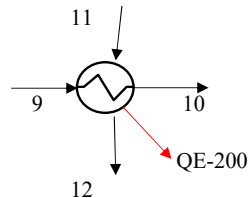
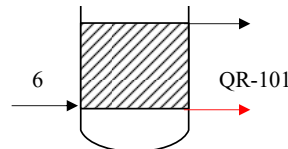
| Inlet | | Outlet | |
|------------------------|------------------------|------------------------|--------------------|
| Arus | 6 | Arus | 9 |
| m (kg/h) | 294800,000 | m (kg/h) | 294800,000 |
| H _m (kJ/kg) | -3873,813 | H _m (kJ/kg) | -3873,813 |
| H (kJ/h) | -1142000000,000 | H (kJ/h) | -1142000000 |
| Total | -1142000000,000 | Total | -1142000000 |

3. HE 200

Setelah Melalui dehidrogenation reaktor sales gas mengalami Penukaran panas dengan condensate yaitu komponen c3+. Untuk dipanaskan lebih lanjut supaya bisa digunakan pada pengolahan lanjut

$$\begin{array}{llll} T_9 & = & 899,20 & \text{Celcius} = 1172,35 \text{ Kelvin} \\ T_{10} & = & 898,30 & \text{Celcius} = 1171,45 \text{ Kelvin} \\ T_{11} & = & 109,00 & \text{Celcius} = 382,15 \text{ Kelvin} \\ T_{12} & = & 500,00 & \text{Celcius} = 773,15 \text{ Kelvin} \end{array}$$

$$\begin{array}{llll} P_9 & = & 6,600 \text{ bar} & P_{11} = 22,000 \text{ bar} \\ P_{10} & = & 6,20 \text{ bar} & P_{12} = 22,50 \text{ bar} \end{array}$$



Tabel B.13. Neraca Panas HE-200

| Inlet | | Outlet | |
|------------------------|------------------------|------------------------|---------------------|
| Arus | 9 | Arus | 11 |
| m (kg/h) | 294800,000 | m (kg/h) | 643,700 |
| H _m (kJ/kg) | -3873,813 | H _m (kJ/kg) | -2342,706 |
| H (kJ/h) | -1142000000,000 | H (kJ/h) | -1508000,000 |
| Arus | 10 | Arus | 12 |
| m (kg/h) | 294800,000 | m (kg/h) | 643,700 |
| H _m (kJ/kg) | -3877,205 | H _m (kJ/kg) | -957,900 |
| H (kJ/h) | -1143000000,000 | H (kJ/h) | -616600,000 |
| Total | -2285000000,000 | Total | -2124600,000 |
| | | Arus | QE-200 |
| | | H (kJ/h) | -2282875400,000 |

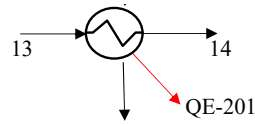
4. HE 201

Setelah Melalui HE-200 sales gas mengalami pendinginan

15



melalui Penukaran panas dengan Ethane Recycle untuk dipanaskan Masuk ke dehydrogenation reactor



| | | | | | | |
|-----|---|---------|---------|---|---------|--------|
| T13 | = | 898,30 | Celcius | = | 1171,45 | Kelvin |
| T14 | = | 690,90 | Celcius | = | 964,05 | Kelvin |
| T15 | = | -105,10 | Celcius | = | 168,05 | Kelvin |
| T16 | = | 300,00 | Celcius | = | 573,15 | Kelvin |

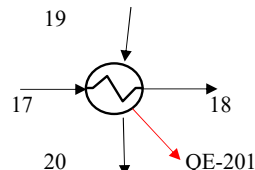
| | | | | | | | |
|-----|---|-------|-----|-----|---|--------|-----|
| P13 | = | 6,200 | bar | P15 | = | 22,000 | bar |
| P14 | = | 5,80 | bar | P16 | = | 21,00 | bar |

Tabel B.14. Neraca Panas HE-201

| Inlet | | Outlet | |
|------------------------|-----------------|------------------------|-----------------|
| Arus | 13 | Arus | 15 |
| m (kg/h) | 294800.000 | m (kg/h) | 148300.000 |
| H _m (kJ/kg) | -3877,205 | H _m (kJ/kg) | -5345,246 |
| H (kJ/h) | -1143000000,000 | H (kJ/h) | -7927000000,000 |
| Arus | 14 | Arus | 16 |
| m (kg/h) | 294800.000 | m (kg/h) | 148300.000 |
| H _m (kJ/kg) | -4582,768 | H _m (kJ/kg) | -4,158 |
| H (kJ/h) | -1351000000,000 | H (kJ/h) | -616600,000 |
| Total | -2494000000,000 | Total | -793316600,000 |
| Arus | QE-201 | Arus | QE-201 |
| | | H (kJ/h) | -1700683400,000 |

5. HE-202

Setelah Melalui HE-201 sales gas mengalami melalui Penukaran panas dengan Methane Recycle untuk dipanaskan Masuk ke OCM reactor dan Methanator



| | | | | | | |
|-----|---|--------|---------|---|--------|--------|
| T17 | = | 690,90 | Celcius | = | 964,05 | Kelvin |
| T18 | = | 594,20 | Celcius | = | 867,35 | Kelvin |
| T19 | = | 237,20 | Celcius | = | 510,35 | Kelvin |
| T20 | = | 300,00 | Celcius | = | 573,15 | Kelvin |

| | | | | | | | |
|-----|---|-------|-----|-----|---|--------|-----|
| P17 | = | 5,800 | bar | P19 | = | 29,000 | bar |
| P18 | = | 5,00 | bar | P20 | = | 29,80 | bar |

Tabel B.15. Neraca Panas HE-202

| Inlet | | Outlet | |
|------------------------|-----------------|------------------------|-------------|
| Arus | 17 | Arus | 19 |
| m (kg/h) | 294800,000 | m (kg/h) | 650100,000 |
| H _m (kJ/kg) | -4582,768 | H _m (kJ/kg) | -8703,276 |
| H (kJ/h) | -1351000000,000 | H (kJ/h) | -5658000000 |
| Arus | 18 | Arus | 20 |
| m (kg/h) | 294800,000 | m (kg/h) | 650100,000 |
| H _m (kJ/kg) | -4891,452 | H _m (kJ/kg) | -8563,298 |
| H (kJ/h) | -1442000000,000 | H (kJ/h) | -5567000000 |

| | | | |
|--------------|------------------------|-----------------|-----------------------|
| Total | -2793000000,000 | Total | -1122500000 |
| | | Arus | QE-201 |
| | | H (kJ/h) | 8432000000,000 |

6. Air Cooler AC-200

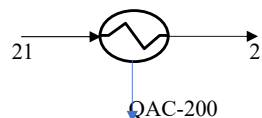
Mendinginkan sales gas pada temperatur antara 32 - 45

Derajat celcius

$$\begin{array}{lll} T_{21} = 594,20 \text{ Celcius} & = 867,35 \text{ Kelvin} \\ T_{22} = 45,00 \text{ Celcius} & = 318,15 \text{ Kelvin} \end{array}$$

$$P_{21} = 5,000 \text{ bar}$$

$$P_{22} = 4,00 \text{ bar}$$



Tabel B.16. Neraca Panas AC-200

| Arus | 21 | Arus | 22 |
|------------------------|------------------------|------------------------|--------------------|
| m (kg/h) | 294800.000 | m (kg/h) | 294800,000 |
| H _m (kJ/kg) | -4891,452 | H _m (kJ/kg) | -18883,989 |
| H (kJ/h) | -1442000000,000 | H (kJ/h) | -5567000000 |
| Total | -1442000000,000 | Total | -2004000000 |
| | | Arus | QAC-200 |
| | | H (kJ/h) | 562000000,000 |

7. Flash Separator (F-200)

$$T_{22} = 45,00 \text{ Celcius} = 318,15 \text{ Kelvin}$$

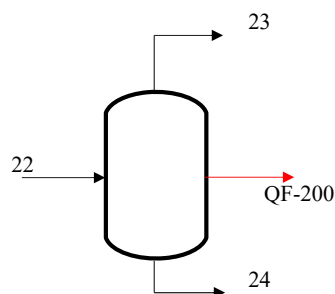
$$T_{23} = 45,00 \text{ Celcius} = 318,15 \text{ Kelvin}$$

$$T_{24} = 45,00 \text{ Celcius} = 318,15 \text{ Kelvin}$$

$$P_{22} = 4,00 \text{ bar}$$

$$P_{23} = 4 \text{ bar}$$

$$P_{24} = 4 \text{ bar}$$



Tabel B.17 Flash Separator (F-510)

| Inlet | | Outlet | |
|------------------------|------------------------|------------------------|--------------------|
| Arus | 22 | Arus | 23 |
| m (kg/h) | 294800,000 | m (kg/h) | 231490,000 |
| H _m (kJ/kg) | -6797,829 | H _m (kJ/kg) | -5013,000 |
| H (kJ/h) | -2004000000,000 | H (kJ/h) | -1004000000 |
| | | Arus | 24 |
| | | m (kg/h) | 63310,000 |
| | | H _m (kJ/kg) | -12030,000 |
| | | H (kJ/h) | -1000000000 |
| | | Arus | QF-200 |
| | | Q (kJ/h) | 0,000 |
| Total | -2004000000,000 | Total | -2004000000 |

8. Compressor (K-200)

$T_{in} = 45,00$ Celcius = 318,15 Kelvin
 $T_{out} = 112,50$ Celcius = 385,65 Kelvin
 $P_{in} = 4,000$ bar
 $P_{out} = 8$ bar
 $C_p = 2352,6328$ kJ/kmol.K
 $C_v = 1897,3773$ kJ/kmol.K

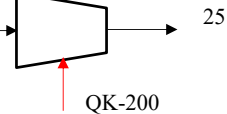
$$k = \frac{C_p}{C_v} \quad (B.26)$$

$$k = 1,240$$

Asumsikan efisiensi sebesar 80%, sehingga:

$$\eta_s = 0,8$$

$$T_2 = T_1 \left[1 + \left(\frac{1}{\eta_s} \right) \left[\left(\frac{P_2}{P_1} \right)^{(k-1)/k} - 1 \right] \right] \quad (B.22)$$



QK-200

(Sumber: Walas, Hal 161)

$$T_2 = 102,08 \text{ Celcius} = 375,23 \text{ Kelvin}$$

Tabel B.18. Neraca Panas Compressor (K-200)

| Inlet | | Outlet | |
|------------------------|-----------------|------------------------|----------------|
| Arus | 23 | Arus | 25 |
| m (kg/h) | 231500,000 | m (kg/h) | 231500,000 |
| H _m (kJ/kg) | -4336,933 | H _m (kJ/kg) | -4200,864 |
| H (kJ/h) | -1004000000,000 | H (kJ/h) | -972500000,000 |
| Arus | QK-200 | | |
| Q (kJ/h) | 3150000,000 | | |
| Total | -972500000,000 | Total | -972500000,000 |

9. Air Cooler AC-201

Mendinginkan sales gas pada temperatur antara 32 - 45

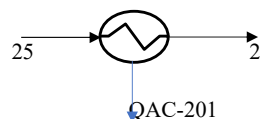
Derajat celcius setelah melalui compressor (K-200)

$$T_{25} = 112,50 \text{ Celcius} = 385,65 \text{ Kelvin}$$

$$T_{26} = 45,00 \text{ Celcius} = 318,15 \text{ Kelvin}$$

$$P_{25} = 8,000 \text{ bar}$$

$$P_{26} = 7,60 \text{ bar}$$



Tabel B.19. Neraca Panas AC-201

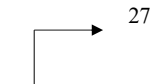
| Arus | 25 | Arus | 62 |
|------------------------|----------------|------------------------|-------------|
| m (kg/h) | 231500,000 | m (kg/h) | 231500,000 |
| H _m (kJ/kg) | -4200,864 | H _m (kJ/kg) | -4362,851 |
| H (kJ/h) | -972500000,000 | H (kJ/h) | -1010000000 |
| Total | -972500000,000 | Total | -1010000000 |
| Arus | QAC-200 | | |
| H (kJ/h) | 3750000,000 | | |

10. Flash Separator (F-201)

$$T_{26} = 45,00 \text{ Celcius} = 318,15 \text{ Kelvin}$$

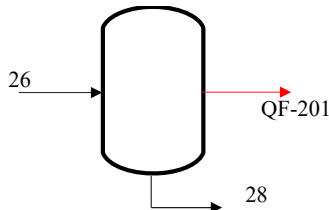
$$T_{27} = 45,00 \text{ Celcius} = 318,15 \text{ Kelvin}$$

$$T_{28} = 45,00 \text{ Celcius} = 318,15 \text{ Kelvin}$$



27

$$\begin{aligned}
 P_{26} &= 7,60 \text{ bar} \\
 P_{27} &= 7,6 \text{ bar} \\
 P_{28} &= 7,6 \text{ bar}
 \end{aligned}$$



Tabel B.20 Flash Separator (F-510)

| Inlet | | Outlet | |
|------------------------|-----------------|------------------------|----------------|
| Arus | 26 | Arus | 27 |
| m (kg/h) | 231500,000 | m (kg/h) | 229155,000 |
| H _m (kJ/kg) | -4362,851 | H _m (kJ/kg) | -5013,000 |
| H (kJ/h) | -1010000000,000 | H (kJ/h) | -971700000,000 |
| Arus | 28 | Arus | QF-200 |
| m (kg/h) | 2345,000 | Q (kJ/h) | 170000,000 |
| H _m (kJ/kg) | -12030,000 | | |
| H (kJ/h) | -38470000,000 | | |
| Total | -1010000000,000 | Total | -1010000000 |

11. Compressor (K-201)

$$\begin{aligned}
 T_{in} &= 45,00 \text{ Celcius} = 318,15 \text{ Kelvin} \\
 T_{out} &= 92,50 \text{ Celcius} = 365,65 \text{ Kelvin} \\
 P_{in} &= 7,600 \text{ bar} \\
 P_{out} &= 12,4 \text{ bar} \\
 C_p &= 2352,6328 \text{ kJ/kmol.K} \\
 C_v &= 1897,3773 \text{ kJ/kmol.K}
 \end{aligned}$$

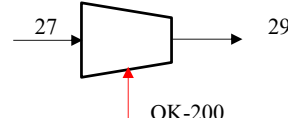
$$k = \frac{C_p}{C_v} \quad (B.26)$$

$$k = 1,240$$

Asumsikan efisiensi sebesar 80%, sehingga:

$$\eta_s = 0,8$$

$$T_2 = T_1 \left[1 + \left(\frac{1}{\eta_s} \right) \left[\left(\frac{P_2}{P_1} \right)^{(k-1)/k} - 1 \right] \right] \quad (B.22)$$



(Sumber: Walas, Hal 161)

$$T_2 = 84,52 \text{ Celcius} = 357,67 \text{ Kelvin}$$

Tabel B.21. Neraca Panas Compressor (K-201)

| Inlet | | Outlet | |
|------------------------|----------------|------------------------|----------------|
| Arus | 27 | Arus | 29 |
| m (kg/h) | 229000,000 | m (kg/h) | 229000,000 |
| H _m (kJ/kg) | -4243,231 | H _m (kJ/kg) | -4151,528 |
| H (kJ/h) | -971700000,000 | H (kJ/h) | -950700000,000 |
| Arus | QK-201 | Arus | QK-200 |
| Q (kJ/h) | 2100000,000 | Q (kJ/h) | 170000,000 |
| Total | -950700000,000 | Total | -950700000,000 |

12. Air Cooler AC-202

Mendinginkan sales gas pada temperatur antara 32 - 45

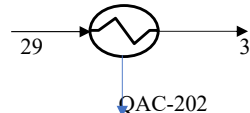
Derajat celcius setelah melalui compressor (K-201)

$$T_{29} = 92,50 \text{ Celcius} = 365,65 \text{ Kelvin}$$

$$T_{30} = 32,00 \text{ Celcius} = 305,15 \text{ Kelvin}$$

$$P_{29} = 12,400 \text{ bar}$$

$$P_{30} = 12,00 \text{ bar}$$



Tabel B.22. Neraca Panas AC-202

| Arus | 29 | Arus | 30 |
|------------------------|-----------------------|------------------------|-----------------------|
| m (kg/h) | 229000,000 | m (kg/h) | 229000,000 |
| H _m (kJ/kg) | -4151,528 | H _m (kJ/kg) | -4293,450 |
| H (kJ/h) | -950700000,000 | H (kJ/h) | -983200000,000 |
| Total | -950700000,000 | Total | -983200000,000 |
| | | Arus | QAC-200 |
| | | H (kJ/h) | 32500000,000 |

13. Flash Separator (F-202)

$$T_{30} = 32,00 \text{ Celcius} = 305,15 \text{ Kelvin}$$

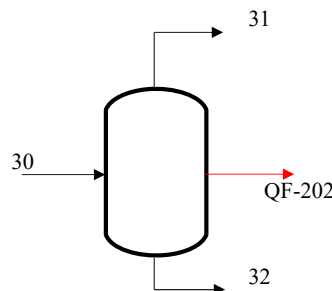
$$T_{31} = 32,00 \text{ Celcius} = 305,15 \text{ Kelvin}$$

$$T_{32} = 32,00 \text{ Celcius} = 305,15 \text{ Kelvin}$$

$$P_{30} = 12,00 \text{ bar}$$

$$P_{31} = 12 \text{ bar}$$

$$P_{32} = 12 \text{ bar}$$



Tabel B.23 Flash Separator (F-202)

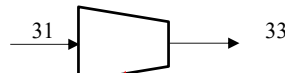
| Inlet | | Outlet | |
|------------------------|-----------------------|------------------------|-----------------------|
| Arus | 30 | Arus | 31 |
| m (kg/h) | 229000,000 | m (kg/h) | 227134,000 |
| H _m (kJ/kg) | -4293,450 | H _m (kJ/kg) | -5013,000 |
| H (kJ/h) | -983200000,000 | H (kJ/h) | -953600000,000 |
| | | Arus | 32 |
| | | m (kg/h) | 1866,000 |
| | | H _m (kJ/kg) | -12030,000 |
| | | H (kJ/h) | -29570000,000 |
| | | Arus | QF-200 |
| | | Q (kJ/h) | -30000,000 |
| Total | -983200000,000 | Total | -983200000,000 |

14. Compressor (K-202)

$$T_{in} = 32,00 \text{ Celcius} = 305,15 \text{ Kelvin}$$

$$T_{out} = 135,00 \text{ Celcius} = 408,15 \text{ Kelvin}$$

$$P_{in} = 12,000 \text{ bar}$$



$$\begin{aligned} P_{out} &= 35 \text{ bar} \\ C_p &= 2352,6328 \text{ kJ/kmol.K} \\ C_v &= 1897,3773 \text{ kJ/kmol.K} \end{aligned}$$



$$k = \frac{C_p}{C_v} \quad (\text{B.26})$$

$$k = 1,240$$

Asumsikan efisiensi sebesar 80%, sehingga:

$$\eta_s = 0,8$$

$$T_2 = T_1 \left[1 + \left(\frac{1}{\eta_s} \right) \left[\left(\frac{P_2}{P_1} \right)^{(k-1)/k} - 1 \right] \right] \quad (\text{B.22})$$

(Sumber: Walas, Hal 161)

$$T_2 = 119,79 \text{ Celcius} = 392,94 \text{ Kelvin}$$

Tabel B.24. Neraca Panas Compressor (K-202)

| Inlet | | Outlet | |
|------------------------|----------------|------------------------|----------------|
| Arus | 31 | Arus | 33 |
| m (kg/h) | 227200.000 | m (kg/h) | 227200.000 |
| H _m (kJ/kg) | -4197,183 | H _m (kJ/kg) | -3997,799 |
| H (kJ/h) | -953600000,000 | H (kJ/h) | -908300000,000 |
| Arus | QK-202 | | |
| Q (kJ/h) | 45300000,000 | | |
| Total | -908300000,000 | Total | -908300000,000 |

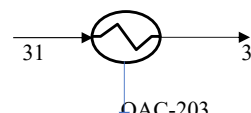
15. Air Cooler AC-203

Mendinginkan sales gas pada temperatur antara 32 - 45

Derajat celcius setelah melalui compressor (K-201)

$$T_{31} = 135,00 \text{ Celcius} = 408,15 \text{ Kelvin}$$

$$T_{32} = 32,00 \text{ Celcius} = 305,15 \text{ Kelvin}$$



$$P_{31} = 35,000 \text{ bar}$$

$$P_{32} = 34,00 \text{ bar}$$

Tabel B.25. Neraca Panas AC-203

| Arus | 31 | Arus | 32 |
|------------------------|----------------|------------------------|----------------|
| m (kg/h) | 227200.000 | m (kg/h) | 227200.000 |
| H _m (kJ/kg) | -3997,799 | H _m (kJ/kg) | -4226,673 |
| H (kJ/h) | -908300000,000 | H (kJ/h) | -960300000,000 |
| Total | -908300000,000 | Total | -960300000,000 |
| Arus | QAC-200 | | |
| | | H (kJ/h) | 52000000,000 |

16. Flash Separator (F-203)

$$T_{32} = 32,00 \text{ Celcius} = 305,15 \text{ Kelvin}$$

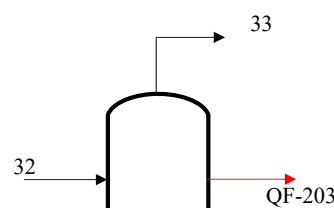
$$T_{33} = 32,00 \text{ Celcius} = 305,15 \text{ Kelvin}$$

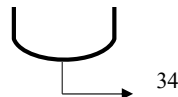
$$T_{34} = 32,00 \text{ Celcius} = 305,15 \text{ Kelvin}$$

$$P_{32} = 12,00 \text{ bar}$$

$$P_{33} = 12 \text{ bar}$$

$$P_{34} = 12 \text{ bar}$$



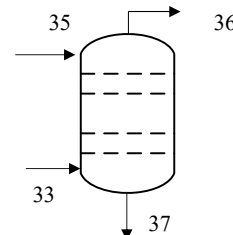


Tabel B.26 Flash Separator (F-203)

| Inlet | | Outlet | |
|------------------------|----------------|------------------------|----------------|
| Arus | 32 | Arus | 33 |
| m (kg/h) | 227200,000 | m (kg/h) | 226672,400 |
| H _m (kJ/kg) | -4226,673 | H _m (kJ/kg) | -5013,000 |
| H (kJ/h) | -960300000,000 | H (kJ/h) | -951900000,000 |
| Arus | 34 | Arus | QF-200 |
| m (kg/h) | 527,600 | m (kg/h) | -12030,000 |
| H _m (kJ/kg) | | H (kJ/h) | -8356000,000 |
| Arus | QF-200 | Q (kJ/h) | -44000,000 |
| Total | -960300000,000 | Total | -960300000,000 |

17. Absorpsi Amine (D-300)

T33 = 32,00 Celcius = 305,15 Kelvin
 T35 = 38,11 Celcius = 311,26 Kelvin
 T36 = 1,53 Celcius = 274,68 Kelvin
 T37 = 9,88 Celcius = 283,03 Kelvin
 P33 = 34,000 bar
 P35 = 33,000 bar
 P36 = 31,000 bar
 P37 = 32,000 bar

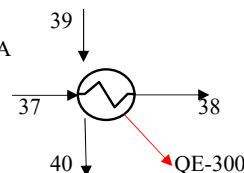


Tabel B.27. Neraca Panas Acid Gas Absorber (D-110)

| Inlet | | Outlet | |
|------------------------|-----------------|------------------------|----------------|
| Arus | 35 | Arus | 36 |
| m (kg/h) | 688000,000 | m (kg/h) | 190500,000 |
| H _m (kJ/kg) | -10130,814 | H _m (kJ/kg) | -3368,504 |
| H (kJ/h) | -6970000000,000 | H (kJ/h) | -641700000,000 |
| Arus | 33 | Arus | 37 |
| m (kg/h) | 226600,000 | m (kg/h) | 724000,000 |
| H _m (kJ/kg) | -4200,794 | H _m (kJ/kg) | -10055,525 |
| H (kJ/h) | -951900000,00 | H (kJ/h) | -7280200000,00 |
| Total | -7921900000,00 | Total | -7921900000,00 |

18. HE-300

Setelah Melalui Absorpsi produk bawah D-300 yang kaya CO₂ & MEA melalui Penukaran panas dengan BackUp Amine untuk dipanaskan Masuk ke D-301 untuk memisahkan CO₂ dan Amine



T37 = 45,85 Celcius = 319,00 Kelvin

T38 = 46,00 Celcius = 319,15 Kelvin
 T39 = 140,00 Celcius = 413,15 Kelvin
 T40 = 138,30 Celcius = 411,45 Kelvin

P37 = 32,000 bar P39 = 21,000 bar
 P38 = 32,40 bar P40 = 22,00 bar

Tabel B.28. Neraca Panas HE-300

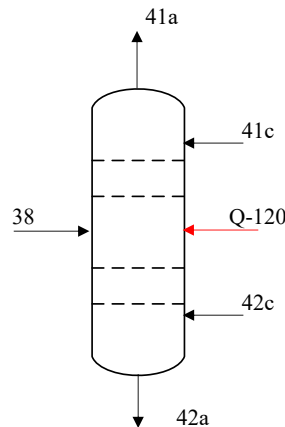
| Inlet | | Outlet | |
|------------------------|-------------------------|------------------------|-----------------------|
| Arus | 37 | Arus | 39 |
| m (kg/h) | 724000,000 | m (kg/h) | 74450,000 |
| H _m (kJ/kg) | -10055,525 | H _m (kJ/kg) | -4394,896 |
| H (kJ/h) | -7280200000,000 | H (kJ/h) | -3272000000,000 |
| Arus | 38 | Arus | 40 |
| m (kg/h) | 724000,000 | m (kg/h) | 74450,000 |
| H _m (kJ/kg) | -10053,867 | H _m (kJ/kg) | -4400,269 |
| H (kJ/h) | -7279000000,000 | H (kJ/h) | -3276000000,000 |
| Total | -14559200000,000 | Total | -654800000,000 |
| | | Arus | QE-300 |
| | | H (kJ/h) | -13904400000,000 |

19. CO₂ Stripper Unit (301)

19a. CO₂ Stripper Tower (D-301)

T₃₈ = 46,00 Celcius = 319,15 Kelvin
 T_{top} = 237,20 Celcius = 510,35 Kelvin
 T_{bot} = 294,40 Celcius = 567,55 Kelvin

P₃₈ = 32,40 bar
 P_{top} = 29 bar
 P_{bot} = 30 bar



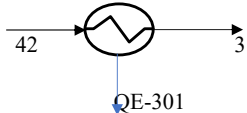
Tabel B.29. Neraca Panas CO₂ Stripper Tower (D-120)

| Inlet | | Outlet | |
|------------------------|-----------------|------------------------|-----------------|
| Arus | 34 | Arus | 41a |
| m (kg/h) | 724000,000 | m (kg/h) | 649600,000 |
| H _m (kJ/kg) | -10053,867 | H _m (kJ/kg) | -8706,897 |
| H (kJ/h) | -7279000000,000 | H (kJ/h) | -5656000000 |
| Arus | 42a | Arus | 42a |
| | | m (kg/h) | 74450,000 |
| | | H _m (kJ/kg) | -3775,688 |
| | | H (kJ/h) | -2811000000,000 |
| Arus | Q-120 | | |

| | | | |
|--------------|------------------------|--------------|--------------------|
| Q (kJ/h) | 1341900000,000 | | |
| Total | -5937100000,000 | Total | -5937100000 |

20. E-301

Mendinginkan produk bawah dari D-301 yang mengandung rich amine hingga sekitar 140 derajat celcius



$$T_{42} = 294,40 \text{ Celcius} = 567,55 \text{ Kelvin}$$

$$T_{39} = 140,00 \text{ Celcius} = 413,15 \text{ Kelvin}$$

$$P_{42} = 30,000 \text{ bar}$$

$$P_{39} = 21,00 \text{ bar}$$

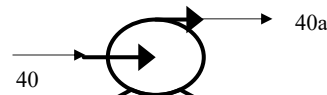
Tabel B.30. Neraca Panas E-301

| Arus | 42 | Arus | 39 |
|------------------------|-----------------------|------------------------|-----------------------|
| m (kg/h) | 74450,000 | m (kg/h) | 74450,000 |
| H _m (kJ/kg) | -3775,688 | H _m (kJ/kg) | -4394,896 |
| H (kJ/h) | -281100000,000 | H (kJ/h) | -327200000,000 |
| Total | -281100000,000 | Total | -327200000,000 |
| | | Arus | QAC-200 |
| | | H (kJ/h) | 46100000,000 |

21. Pump (L-300)

$$T_{40} = 31,00 \text{ Celcius} = 304,15 \text{ Kelvin}$$

$$T_{40a} = 31,00 \text{ Celcius} = 304,15 \text{ Kelvin}$$



$$P_{40} = 22$$

$$P_{40a} = 33$$

Tabel B.31. Neraca Panas L-300

| Arus | 40 | Arus | 40a |
|------------------------|-----------------------|------------------------|-----------------------|
| m (kg/h) | 74450,000 | m (kg/h) | 74450,000 |
| H _m (kJ/kg) | -4400,269 | H _m (kJ/kg) | -4398,925 |
| H (kJ/h) | -327600000,000 | H (kJ/h) | -327500000,000 |
| Total | -327600000,000 | Total | -327500000,000 |
| | | Arus | QL-300 |
| | | H (kJ/h) | 100000,000 |

22. Flash Separator (F-310)

$$T_{36} = -8,36 \text{ Celcius} = 264,80 \text{ Kelvin}$$

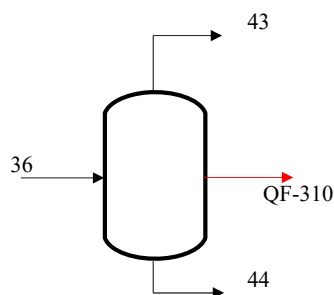
$$T_{43} = -8,36 \text{ Celcius} = 264,80 \text{ Kelvin}$$

$$T_{44} = -8,36 \text{ Celcius} = 264,80 \text{ Kelvin}$$

$$P_{36} = 31,00 \text{ bar}$$

$$P_{43} = 31 \text{ bar}$$

$$P_{44} = 31 \text{ bar}$$

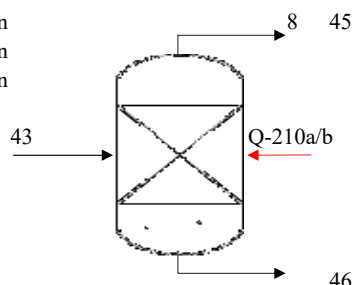


Tabel B.32 Flash Separator (F-310)

| Inlet | | Outlet | |
|------------------------|-----------------------|------------------------|-----------------------|
| Arus | 36 | Arus | 43 |
| m (kg/h) | 190500,000 | m (kg/h) | 190424,370 |
| H _m (kJ/kg) | -3392,126 | H _m (kJ/kg) | -3387,697 |
| H (kJ/h) | -646200000,000 | H (kJ/h) | -645100000,000 |
| | | Arus | 44 |
| | | m (kg/h) | 75,630 |
| | | H _m (kJ/kg) | -15020,495 |
| | | H (kJ/h) | -1136000,000 |
| | | Arus | QF-200 |
| | | Q (kJ/h) | 36000,000 |
| Total | -646200000,000 | Total | -646200000,000 |

23. Molecular Sieve Separator (D-311a/b)

T43 = -8,36 Celcius = 264,80 Kelvin
 T45 = 10,00 Celcius = 283,15 Kelvin
 T46 = -329,70 Celcius = -56,55 Kelvin
 P43 = 31 bar
 P45 = 30 bar
 P46 = 30,4 bar

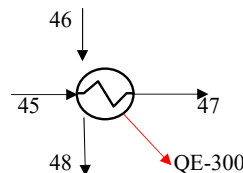


Tabel B.33. Molecular Sieve Separator (D-311a/b)

| Inlet | | Outlet | |
|------------------------|-----------------------|------------------------|-----------------------|
| Arus | 43 | Arus | 45 |
| m (kg/h) | 190500,000 | m (kg/h) | 179900,000 |
| H _m (kJ/kg) | -3386,352 | H _m (kJ/kg) | -3022,790 |
| H (kJ/h) | -645100000,000 | H (kJ/h) | -543800000,000 |
| Arus | Q-311a/b | Arus | 46 |
| Q (kJ/h) | 64354640,000 | m (kg/h) | 10580,000 |
| Total | -580745360,000 | H _m (kJ/kg) | -3492,000 |
| | | H (kJ/h) | -36945360,000 |
| | | Total | -580745360,000 |

24. HE-310

Setelah Melalui molecular sieve separator sales gas melalui Penukaran panas dengan produk bawah mol sieve separator yang kaya dengan CO₂ untuk didinginkan



T45 = 10,00 Celcius = 283,15 Kelvin
 T46 = -239,70 Celcius = 33,45 Kelvin
 T47 = -10,50 Celcius = 262,65 Kelvin
 T48 = -5,00 Celcius = 268,15 Kelvin

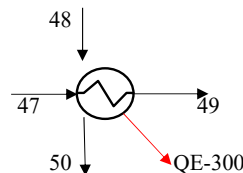
$$\begin{array}{lll} P45 = 30,000 \text{ bar} & P47 = 28,000 \text{ bar} \\ P46 = 30,40 \text{ bar} & P48 = 30,80 \text{ bar} \end{array}$$

Tabel B.34. Neraca Panas HE-310

| Inlet | | Outlet | |
|------------------------|-----------------|------------------------|----------------|
| Arus | 45 | Arus | 46 |
| m (kg/h) | 179900,000 | m (kg/h) | 10580,000 |
| H _m (kJ/kg) | -3022,790 | H _m (kJ/kg) | -9574,669 |
| H (kJ/h) | -543800000,000 | H (kJ/h) | -101300000,000 |
| Arus | 47 | Arus | 48 |
| m (kg/h) | 179900,000 | m (kg/h) | 10580,000 |
| H _m (kJ/kg) | -3067,260 | H _m (kJ/kg) | -9386,578 |
| H (kJ/h) | -551800000,000 | H (kJ/h) | -99310000,000 |
| Total | -1095600000,000 | Total | -200610000,000 |
| Arus | QE-310 | | |
| | | H (kJ/h) | 894990000,000 |

25. HE-311

Setelah Melalui molecular sieve separator sales gas melalui Penukaran panas dengan produk bawah mol sieve separator yang kaya dengan CO₂ untuk didinginkan



$$\begin{array}{lll} T47 = -10,50 \text{ Celcius} & T48 = 262,65 \text{ Kelvin} \\ T49 = -11,33 \text{ Celcius} & T48 = 261,82 \text{ Kelvin} \\ T48 = -5,00 \text{ Celcius} & T50 = 268,15 \text{ Kelvin} \\ T50 = -10,00 \text{ Celcius} & T50 = 263,15 \text{ Kelvin} \end{array}$$

$$\begin{array}{lll} P47 = 28,000 \text{ bar} & P48 = 30,800 \text{ bar} \\ P49 = 26,00 \text{ bar} & P50 = 31,20 \text{ bar} \end{array}$$

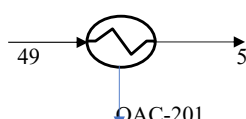
Tabel B.35. Neraca Panas HE-311

| Inlet | | Outlet | |
|------------------------|-----------------|------------------------|----------------|
| Arus | 47 | Arus | 48 |
| m (kg/h) | 179900,000 | m (kg/h) | 10580,000 |
| H _m (kJ/kg) | -3067,260 | H _m (kJ/kg) | -8819,471 |
| H (kJ/h) | -551800000,000 | H (kJ/h) | -93310000,000 |
| Arus | 49 | Arus | 50 |
| m (kg/h) | 179900,000 | m (kg/h) | 10580,000 |
| H _m (kJ/kg) | -3066,704 | H _m (kJ/kg) | -8827,032 |
| H (kJ/h) | -551700000,000 | H (kJ/h) | -93390000,000 |
| Total | -1103500000,000 | Total | -186700000,000 |
| Arus | QE-311 | | |
| | | H (kJ/h) | 916800000,000 |

26. Cooler E-312

Mendinginkan sales gas hingga temperatur cryogenic sehingga dapat dipisahkan

$$\begin{array}{lll} T49 = -11,30 \text{ Celcius} & T51 = 261,85 \text{ Kelvin} \\ T51 = -120,00 \text{ Celcius} & T51 = 153,15 \text{ Kelvin} \end{array}$$



$$\begin{aligned} P25 &= 26,000 \text{ bar} \\ P26 &= 25,00 \text{ bar} \end{aligned}$$

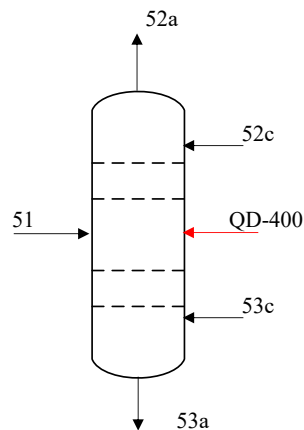
Tabel B.36. Neraca Panas E-312

| Arus | 49 | Arus | 51 |
|------------------------|-----------------------|------------------------|-----------------------|
| m (kg/h) | 179900,000 | m (kg/h) | 179900,000 |
| H _m (kJ/kg) | -3066,704 | H _m (kJ/kg) | -3708,727 |
| H (kJ/h) | -551700000,000 | H (kJ/h) | -667200000,000 |
| Total | -551700000,000 | Total | -667200000,000 |
| | | Arus | QE-312 |
| | | H (kJ/h) | 115500000,000 |

27. Demethanizer (D-400)

$$\begin{aligned} T51 &= -120,00 \text{ Celcius} = 153,15 \text{ Kelvin} \\ T_{\text{top}} &= -105,10 \text{ Celcius} = 168,05 \text{ Kelvin} \\ T_{\text{bot}} &= -18,70 \text{ Celcius} = 254,45 \text{ Kelvin} \end{aligned}$$

$$\begin{aligned} P51 &= 25,00 \text{ bar} \\ P_{\text{top}} &= 22 \text{ bar} \\ P_{\text{bot}} &= 24 \text{ bar} \end{aligned}$$

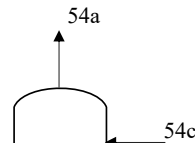


Tabel B.37. Neraca Panas Demethanizer Tower (D-400)

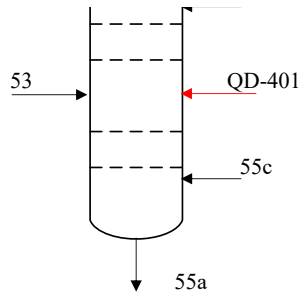
| Inlet | | Outlet | |
|------------------------|-----------------------|------------------------|-----------------------|
| Arus | 51 | Arus | 52a |
| m (kg/h) | 179900,000 | m (kg/h) | 148300,000 |
| H _m (kJ/kg) | -3708,727 | H _m (kJ/kg) | -5345,246 |
| H (kJ/h) | -667200000,000 | H (kJ/h) | -792700000,000 |
| Arus | Q-120 | Arus | 53a |
| Q (kJ/h) | 20500000,000 | m (kg/h) | 31590,000 |
| | | H _m (kJ/kg) | 4621,716 |
| | | H (kJ/h) | 146000000,000 |
| Total | -646700000,000 | Total | -646700000,000 |

28. Demethanizer (D-401)

$$\begin{aligned} T51 &= -18,07 \text{ Celcius} = 255,08 \text{ Kelvin} \\ T_{\text{top}} &= -25,29 \text{ Celcius} = 247,86 \text{ Kelvin} \\ T_{\text{bot}} &= 100,90 \text{ Celcius} = 374,05 \text{ Kelvin} \end{aligned}$$



$$\begin{aligned}
 P51 &= 24,00 \text{ bar} \\
 P_{\text{top}} &= 20 \text{ bar} \\
 P_{\text{bot}} &= 22 \text{ bar}
 \end{aligned}$$



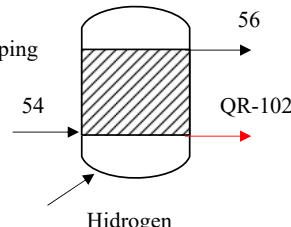
Tabel B.38. Neraca Panas Deethanizer Tower (D-401)

| Inlet | | Outlet | |
|------------------------|---------------|------------------------|---------------|
| Arus | 53 | Arus | 54a |
| m (kg/h) | 643,700 | m (kg/h) | 30590,000 |
| H _m (kJ/kg) | -2342,706 | H _m (kJ/kg) | 4802,223 |
| H (kJ/h) | -1508000,000 | H (kJ/h) | 146900000,000 |
| Arus | Q-120 | Arus | 55a |
| Q (kJ/h) | 146900000,000 | m (kg/h) | 643,700 |
| | | H _m (kJ/kg) | -2342,706 |
| | | H (kJ/h) | -1508000,000 |
| Total | 145392000,000 | Total | 145392000,000 |

29. Hydrogenation Reactor R-102

Setelah melalui Deethanizer Produk atas dialirkan ke hydrogenation Reactor dengan tujuan mereaksikan produk samping asetylen dengan hidrogen menjadi ethylene

$$\begin{aligned}
 T54 &= -25,29 \text{ Celcius} = 247,86 \text{ Kelvin} \\
 T56 &= 980,40 \text{ Celcius} = 1253,55 \text{ Kelvin} \\
 Thid &= 35,00 \text{ Celcius} = 308,15 \text{ Kelvin} \\
 P54 &= 20,000 \text{ bar} \quad P \text{ Hid} = 10,00 \text{ bar} \\
 P56 &= 10,00 \text{ bar}
 \end{aligned}$$

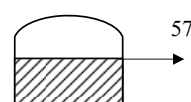


Tabel B.39. Neraca Panas Hydrogenation Reactor

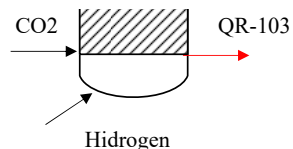
| Inlet | | Outlet | |
|------------------------|---------------|------------------------|---------------|
| Arus | 54 | Arus | 56 |
| m (kg/h) | 30950,000 | m (kg/h) | 32130,000 |
| H _m (kJ/kg) | 4746,365 | H _m (kJ/kg) | 4578,276 |
| H (kJ/h) | 146900000,000 | H (kJ/h) | 147100000,000 |
| Arus | Hidrogen | Arus | QR-102 |
| m (kg/h) | 1187,000 | Q (kJ/h) | -32700,000 |
| H _m (kJ/kg) | 140,944 | | |
| H (kJ/h) | 167300,000 | | |
| Total | 147067300,000 | Total | 147067300,000 |

30. Methanation Reactor R-103

Fungsi : Mereaksikan Produk samping CO₂ dengan Hidrogen
Untuk menghasilkan Methane yang akan digunakan kembali masuk ke OCM Reactor



TCO2 = 300,00 Celcius = 573,15 Kelvin
 THid = 35,00 Celcius = 308,15 Kelvin
 T 57 = 362,40 Celcius = 635,55 Kelvin
 PCO2 = 29,800 bar P Hid = 10,00 bar
 P57 = 10,00 bar



Tabel B.40. Neraca Panas Methanation Reactor

| Inlet | | Outlet | |
|--------------|------------------------|---------------|--------------------|
| Arus | CO2 | Arus | 56 |
| m (kg/h) | 650100,000 | m (kg/h) | 656600,000 |
| Hm (kJ/kg) | -8563,298 | Hm (kJ/kg) | -8477,003 |
| H (kJ/h) | -5567000000,000 | H (kJ/h) | -5566000000 |
| Arus | Hidrogen | Arus | QR-102 |
| m (kg/h) | 6527,000 | Q (kJ/h) | -80100,000 |
| Hm (kJ/kg) | 140,938 | | |
| H (kJ/h) | 919900,000 | | |
| Total | -5566080100,000 | Total | -5566080100 |

0

9 Pre-Compressor Air Cooler (E-210)

Fungsi : Mendinginkan udara sebelum masuk *Process Gas Compressor*
Type : *Induced draft* 5 fan

Hot Fluid

$$\begin{aligned} \text{Massa} &= 500890259,7 \text{ lb/hr} = 139136,2 \text{ lb/s} & 1101,2 \\ \text{T in} &= 1101 \text{ degF} \\ \text{T out} &= 89,6 \text{ degF} \\ \text{Cp} &= 0,45 \text{ Btu/lb.degF} \\ \text{Viscosity} &= 0,016 \text{ cP} \end{aligned}$$

Ambient Air

$$\begin{aligned} \text{T in} &= 86 \text{ degF} \\ \text{Cp} &= 0,24 \text{ Btu/lb.degF} \end{aligned}$$

Panas yang dipindahkan tiap fan

$$Q = 112400000 \text{ Btu/h}$$

Heat Exchanger Criteria Calculation:

1. Ux

$$U_x = 2,1 \text{ Btu/hr ft}^2 \text{ F}$$

2. Air Increase Approximation

$$\begin{aligned} DTA &= \frac{U_x + 1}{10} \times \frac{T_1 + T_2}{2} - t_1 \\ &= 157,914 \text{ degF} \\ t_2 &= 243,914 \text{ degF} \end{aligned}$$

3. Extended Area

$$\begin{aligned} A_x &= \frac{q}{U_x \times DTA} \\ A_x &= 338942,776 \text{ ft}^2 \end{aligned}$$

4. Menetukan jumlah tube row, tube OD, dan pitch

$$\begin{aligned} \text{Tube Row} &= 6 \text{ row} \\ \text{OD pipe} &= 1 \text{ inch} \\ \text{Pitch} &= 2 \text{ inch} \end{aligned}$$

5. Menghitung Face Area (Fa)

$$\begin{aligned} F_a &= \frac{A_x}{APFS} \\ APFS &= 169,6 \\ F_a &= 1998,483349 \end{aligned}$$

6. Menghitung W dan Nt

$$W = \frac{Fa}{L}$$

Dengan asumsi pemilihan
L = 40 ft

$$= 49,9620837 \text{ ft}$$

$$Nt = \frac{Ax}{APF \times L}$$

Dengan nilai APF = 28,4

$$= 298,525$$

7. Menghitung *Fan Area Per Fan* (FAPF)

$$FAPF = \frac{0,04 \times Fa}{\text{Number of Fan}}$$

Dengan jumlah fan = 5

$$FAPF = 15,9879 \text{ ft}^2$$

8. Menghitung diameter fan

$$D_{fan} = \sqrt{\frac{4 \times FAPF}{3,14}}$$

$$D_{fan} = 4,51295 \text{ ft}$$

9. Menghitung kebutuhan udara

$$Wa = \frac{q}{0,24 \times DTA}$$

$$= 2965749,29 \text{ lb/h}$$

10. Menghitung Actual Air Volumetric Flow (ACFM)

$$ACFM = \frac{Wa}{Dr \times 60 \times 0,08}$$

Dengan nilai Dr = 0,72

$$ACFM = 915354,719$$

11. Menghitung Air Cooler Face Area

$$Ga = \frac{Wa}{Fa}$$

$$= 1484 \text{ lb/h.ft}^2$$

12. Menghitung Air Side Static Pressure Lose (DPAT)

$$DPA = \exp(1,82 \times \log Ga - 16,58)$$

$$DPAT = \frac{DPA}{\text{jumlah row}}$$

$$DPA = 0,0000202 \text{ in H}_2\text{O}$$

$$DPAT = 0,0000034 \text{ in H}_2\text{O}$$

13. Menghitung Approximate Discharge Pressure (Pforce)²

$$P_{force} = DPAT + \left(\frac{ACFM}{\text{jumlah row}} \right)^2$$

$$\left(\frac{4009 \times 3,14 \times D f a n^2 / 4}{\rho} \right)$$

$$P_{force} = 2,03951 \text{ inH2O}$$

14. Menghitung Motor Horse Power (BHP)

$$BHP = \frac{ACFM \times P_{force}}{6387 \times \text{eff}} \quad \text{Dengan effisiensi} = 0,85$$

$$\begin{aligned} BHP &= 34,3875 \text{ HP} \\ &= 25,6427 \text{ kW} \end{aligned}$$

| Spesifikasi | Keterangan | | |
|---------------------|---|-------|--------------------|
| No. Kode | Pre-Compressor Air Cooler (E-210) | | |
| Fungsi | Menginkan udara sebelum masuk Process Gas Com | | |
| Tipe | Induced draft | | |
| N (number of row) | 6 | | |
| Nt (Number of Tube) | 299 | | |
| L (Length of Tube) | 40 | ft | |
| Diameter Fan | 5 | ft | |
| Power | 34 | HP | |
| Jumlah fan | 5 | | |
| Kapasitas | 500890259,7 | lb/hr | 227199814,67 kg/hr |
| Rate Udara | 14828746 | lb/hr | 6726201 kg/hr |
| Bahan Tube | Carbon Steel | | |
| Bahan Header | Carbon Steel | | |
| Fintube OD (inch) | 1 | | |
| Tube Pitch (inch) | 2 | | |

12 1st Stage Compressor Air Cooler (E-211)

Fungsi : Mendinginkan udara keluaran 1st Stage Compressor
 Type : *Induced draft* 3 Fan

Hot Fluid

$$\begin{aligned} \text{Massa} &= 510370137 \text{ lb/hr} = 141769,5 \text{ lb/s} \\ T_{in} &= 233 \text{ }^{\circ}\text{F} \\ T_{out} &= 113 \text{ }^{\circ}\text{F} \\ C_p &= 0,45 \text{ Btu/lb. }^{\circ}\text{F} \\ \text{Viscosity} &= 0,016 \text{ cP} \end{aligned}$$

Ambient Air

$$\begin{aligned} T_{in} &= 86 \text{ }^{\circ}\text{F} \\ C_p &= 0,24 \text{ Btu/lb.degF} \end{aligned}$$

Panas yang dipindahkan tiap fan

$$Q = 12500000 \text{ Btu/h}$$

Heat Exchanger Criteria Calculation:

1. U_x

$$U_x = 2,1 \text{ Btu/hr ft}^2 \text{ F}$$

2. Air Increase Approximation

$$\begin{aligned} DTA &= \frac{U_x + 1}{10} \times \frac{T_1 + T_2}{2} - t_1 \\ &= 26,97 \text{ }^{\circ}\text{F} \\ t_2 &= 112,97 \text{ }^{\circ}\text{F} \end{aligned}$$

3. Extended Area

$$\begin{aligned} A_x &= \frac{q}{U_x \times DTA} \\ A_x &= 220703,7802 \text{ ft}^2 \end{aligned}$$

4. Menetukan jumlah tube row, tube OD, dan pitch

$$\begin{aligned} \text{Tube Row} &= 6 \text{ row} \\ \text{OD pipe} &= 1 \text{ inch} \\ \text{Pitch} &= 2 \text{ inch} \end{aligned}$$

5. Menghitung Face Area (F_a)

$$\begin{aligned} F_a &= \frac{A_x}{APFS} \\ APFS &= 169,6 \\ F_a &= 1301,319459 \end{aligned}$$

6. Menghitung W dan Nt

$$\begin{aligned} W &= \frac{F_a}{L} && \text{Dengan asumsi pemilihan} \\ &= 32,5329865 \text{ ft} && L = 40 \text{ ft} \end{aligned}$$

$$\begin{aligned} N_t &= \frac{A_x}{APF \times L} && \text{Dengan nilai APF} = 28,4 \\ &= 194,386 \end{aligned}$$

7. Menghitung Fan Area Per Fan (FAPF)

$$FAPF = \frac{0,04 \times F_a}{\text{Number of Fan}} \quad \text{Dengan jumlah fan} = 3$$

$$FAPF = 17,3509 \text{ ft}^2$$

8. Menghitung diameter fan

$$D_{fan} = \sqrt{\frac{4 \times FAPF}{3,14}}$$

$$D_{fan} = 4,70139 \text{ ft}$$

9. Menghitung kebutuhan udara

$$W_a = \frac{q}{0,24 \times DTA}$$

$$= 1931158,077 \text{ lb/h}$$

10. Menghitung Actual Air Volumetric Flow (ACFM)

$$ACFM = \frac{W_a}{Dr \times 60 \times 0,08} \quad \text{Dengan nilai } Dr = 0,72$$

$$ACFM = 596036,4435$$

11. Menghitung Air Cooler Face Area

$$\begin{aligned} G_a &= \frac{W_a}{F_a} \\ &= 1484 \text{ lb/h.ft}^2 \end{aligned}$$

12. Menghitung Air Side Static Pressure Lose (DPAT)

$$DPA = \exp(1,82 \times \log G_a - 16,58)$$

$$DPAT = \frac{DPA}{\text{jumlah row}}$$

$$DPA = 0,0000202 \text{ in H}_2\text{O}$$

$$DPAT = 0,0000034 \text{ in H}_2\text{O}$$

13. Menghitung Approximate Discharge Pressure (Pforce)

$$P_{force} = DPAT + \left(\frac{ACFM}{4009 \times 3,14 \times D_{fan}^2 / 4} \right)^2$$

$$P_{force} = 0,73423 \text{ inH}_2\text{O}$$

14. Menghitung Motor Horse Power (BHP)

$$BHP = \frac{ACFM \times P_{force}}{6387 \times \text{eff}} \quad \text{Dengan effisiensi} = 0,85$$

$$BHP = 8,06097 \text{ HP}$$

$$= 6,01106 \text{ kW}$$

| Spesifikasi | Keterangan |
|---------------------|--|
| No. Kode | 1st Stage Compressor Air Cooler (E-211) |
| Fungsi | Mendinginkan udara keluaran 1st Stage Compressor |
| Tipe | Induced draft |
| N (number of row) | 6 |
| Nt (Number of Tube) | 194 |
| L (Length of Tube) | 40 ft |

| | | |
|-------------------|-----------|--------------|
| Diameter Fan | 5 | ft |
| Power | 8 | HP |
| Jumlah fan | 3 | |
| Kapasitas | 510370137 | lb/hr |
| Rate Udara | 5793474 | lb/hr |
| Bahan Tube | | Carbon Steel |
| Bahan Header | | Carbon Steel |
| Fintube OD (inch) | 1 | |
| Tube Pitch (inch) | 2 | |

13 2nd Stage Compressor Air Cooler (E-212)

Fungsi : Mendinginkan udara keluaran 2nd Stage Compressor
 Type : *Induced draft* 3 fan

Hot Fluid

$$\begin{aligned} \text{Massa} &= 504858580,4 \text{ lb/hr} = 140238,5 \text{ lb/s} \\ T_{\text{in}} &= 198,5 \text{ degF} \\ T_{\text{out}} &= 89,6 \text{ degF} \\ C_p &= 0,46 \text{ Btu/lb.degF} \\ \text{Viscosity} &= 0,016 \text{ cP} \end{aligned}$$

Ambient Air

$$\begin{aligned} T_{\text{in}} &= 86 \text{ degF} \\ C_p &= 0,24 \text{ Btu/lb.degF} \end{aligned}$$

Panas yang dipindahkan tiap fan

$$Q = 10833333 \text{ Btu/h}$$

Heat Exchanger Criteria Calculation:

1. U_x

$$U_x = 2,1 \text{ Btu/hr ft}^2 \text{ F}$$

2. Air Increase Approximation

$$\begin{aligned} DTA &= \frac{U_x + 1}{10} \times \frac{T_1 + T_2}{2} - t_1 \\ &= 17,9955 \text{ degF} \\ t_2 &= 103,996 \text{ degF} \end{aligned}$$

3. Extended Area

$$A_x = \frac{q}{U_x \times DTA}$$

$$A_x = 286667,7869 \text{ ft}^2$$

4. Menetukan jumlah tube row, tube OD, dan pitch

$$\text{Tube Row} = 6 \text{ row}$$

$$\text{OD pipe} = 1 \text{ inch}$$

$$\text{Pitch} = 2 \text{ inch}$$

5. Menghitung Face Area (Fa)

$$\begin{aligned} \text{Fa} &= \frac{\text{Ax}}{\text{APFS}} \\ \text{APFS} &= 169,6 \\ \text{Fa} &= 1690,258177 \end{aligned}$$

6. Menghitung W dan Nt

$$\begin{aligned} \text{W} &= \frac{\text{Fa}}{\text{L}} \\ &= 42,2564544 \text{ ft} \end{aligned}$$

Dengan asumsi pemilihan
L = 40 ft

$$\begin{aligned} \text{Nt} &= \frac{\text{Ax}}{\text{APF} \times \text{L}} \\ &= 252,484 \end{aligned}$$

Dengan nilai APF = 28,4

7. Menghitung Fan Area Per Fan (FAPF)

$$\text{FAPF} = \frac{0,04 \times \text{Fa}}{\text{Number of Fan}}$$

Dengan jumlah fan = 3

$$\text{FAPF} = 22,5368 \text{ ft}^2$$

8. Menghitung diameter fan

$$\text{Dfan} = \sqrt{\frac{4 \times \text{FAPF}}{3,14}}$$

$$\text{Dfan} = 5,3581 \text{ ft}$$

9. Menghitung kebutuhan udara

$$\text{Wa} = \frac{\text{q}}{0,24 \times \text{DTA}}$$

$$= 2508343,135 \text{ lb/h}$$

10. Menghitung Actual Air Volumetric Flow (ACFM)

$$\text{ACFM} = \frac{\text{Wa}}{\text{Dr} \times 60 \times 0,08}$$

Dengan nilai Dr = 0,72

$$\text{ACFM} = 774179,98$$

11. Menghitung Air Cooler Face Area

$$\begin{aligned} \text{Ga} &= \frac{\text{Wa}}{\text{Fa}} \\ &= 1484 \text{ lb/h.ft}^2 \end{aligned}$$

12. Menghitung Air Side Static Pressure Lose (DPAT)

$$DPA = \exp(1,82 \times \log Ga - 16,58)$$

$$DPAT = \frac{DPA}{jumlah\ row}$$

$$DPA = 0,0000202 \text{ in H}_2\text{O}$$

$$DPAT = 0,0000034 \text{ in H}_2\text{O}$$

13. Menghitung Approximate Discharge Pressure (Pforce)

$$Pforce = DPAT + \left(\frac{ACFM}{4009 \times 3,14 \times Dfan^2/4} \right)^2$$

$$Pforce = 0,73423 \text{ inH}_2\text{O}$$

14. Menghitung Motor Horse Power (BHP)

$$BHP = \frac{ACFM \times Pforce}{6387 \times eff} \quad \text{Dengan effisiensi} = 0,85$$

$$BHP = 10,4702 \text{ HP}$$

$$= 7,80765 \text{ kW}$$

| Spesifikasi | Keterangan | | |
|---------------------|---|-------|--------------------|
| No. Kode | 2nd Stage Compressor Air Cooler (E-212) | | |
| Fungsi | endinginkan udara keluaran 2nd Stage Compressor | | |
| Tipe | Induced draft | | |
| N (number of row) | 6 | | |
| Nt (Number of Tube) | 252 | | |
| L (Length of Tube) | 40 | ft | |
| Diameter Fan | 5 | ft | |
| Power | 10 | HP | |
| Jumlah fan | 3 | | |
| Kapasitas | 504858580,4 | lb/hr | 228999813,20 kg/hr |
| Rate Udara | 7525029 | lb/hr | 3413293 kg/hr |
| Bahan Tube | Carbon Steel | | |
| Bahan Header | Carbon Steel | | |
| Fintube OD (inch) | 1 | | |
| Tube Pitch (inch) | 2 | | |

14 3rd Stage Compressor Air Cooler (E-213)

Fungsi : Mendinginkan udara keluaran 3rd Stage Compressor

Type : Induced draft 3 fan

Hot Fluid

$$\text{Massa} = 500890259,7 \text{ lb/hr} = 139136,2 \text{ lb/s}$$

$$T_{in} = 275 \text{ degF}$$

$$T_{out} = 89,6 \text{ degF}$$

$$\begin{array}{lcl} C_p & = & 0,47 \text{ Btu/lb.degF} \\ \text{Viscosity} & = & 0,016 \text{ cP} \end{array}$$

Ambient Air

$$\begin{array}{lcl} T_{\text{in}} & = & 86 \text{ degF} \\ C_p & & 0,24 \text{ Btu/lb.degF} \end{array}$$

Panas yang dipindahkan tiap fan

$$Q = 17333333 \text{ Btu/h}$$

Heat Exchanger Criteria Calculation:

1. U_x

$$U_x = 2,1 \text{ Btu/hr ft}^2 \text{ F}$$

2. Air Increase Approximation

$$\begin{aligned} DTA &= \frac{U_x + 1}{10} \times \frac{T_1 + T_2}{2} - t_1 \\ &= 29,853 \text{ degF} \\ t_2 &= 115,853 \text{ degF} \end{aligned}$$

3. Extended Area

$$A_x = \frac{q}{U_x \times DTA}$$

$$A_x = 276487,0617 \text{ ft}^2$$

4. Menetukan jumlah tube row, tube OD, dan pitch

$$\text{Tube Row} = 6 \text{ row}$$

$$\text{OD pipe} = 1 \text{ inch}$$

$$\text{Pitch} = 2 \text{ inch}$$

5. Menghitung Face Area (Fa)

$$Fa = \frac{A_x}{APFS}$$

$$APFS = 169,6$$

$$Fa = 1630,230317$$

6. Menghitung W dan Nt

$$\begin{array}{ll} W & = \frac{Fa}{L} & \text{Dengan asumsi pemilihan} \\ & = 40,7557579 \text{ ft} & L = 40 \text{ ft} \end{array}$$

$$\begin{array}{ll} Nt & = \frac{A_x}{APF \times L} & \text{Dengan nilai APF} = 28,4 \\ & = 243,517 & \end{array}$$

7. Menghitung *Fan Area Per Fan* (FAPF)

$$\text{FAPF} = \frac{0,04 \times F_a}{\text{Number of Fan}}$$

Dengan jumlah fan= 3

$$\text{FAPF} = 21,7364 \text{ ft}^2$$

8. Menghitung diameter fan

$$D_{fan} = \sqrt{\frac{4 \times \text{FAPF}}{3,14}}$$

$$D_{fan} = 5,2621 \text{ ft}$$

9. Menghitung kebutuhan udara

$$W_a = \frac{q}{0,24 \times DTA}$$

$$= 2419261,79 \text{ lb/h}$$

10. Menghitung Actual Air Volumetric Flow (ACFM)

$$ACFM = \frac{W_a}{Dr \times 60 \times 0,08} \quad \text{Dengan nilai Dr} = 0,72$$

$$ACFM = 746685,7377$$

11. Menghitung Air Cooler Face Area

$$G_a = \frac{W_a}{F_a}$$
$$= 1484 \text{ lb/h.ft}^2$$

12. Menghitung Air Side Static Pressure Lose (DPAT)

$$DPA = \exp(1,82 \times \log G_a - 16,58)$$

$$DPAT = \frac{DPA}{\text{jumlah row}}$$

$$DPA = 0,0000202 \text{ in H}_2\text{O}$$

$$DPAT = 0,0000034 \text{ in H}_2\text{O}$$

13. Menghitung Approximate Discharge Pressure (Pforce)

$$P_{force} = DPAT + \left(\frac{ACFM}{4009 \times 3,14 \times D_{fan}^2 / 4} \right)^2$$

$$P_{force} = 0,73423 \text{ inH}_2\text{O}$$

14. Menghitung Motor Horse Power (BHP)

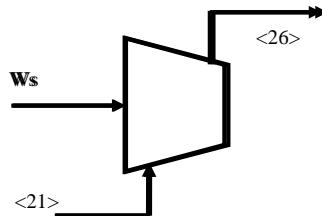
$$BHP = \frac{ACFM \times P_{force}}{6387 \times \text{eff}} \quad \text{Dengan effisiensi} = 0,85$$

$$\begin{aligned} \text{BHP} &= 10,0984 \text{ HP} \\ &= 7,53037 \text{ kW} \end{aligned}$$

| Spesifikasi | Keterangan | | |
|---------------------|---|-------|--------------|
| No. Kode | 3rd Stage Compressor Air Cooler (E-213) | | |
| Fungsi | endinginkan udara keluaran 3rd Stage Compress | | |
| Tipe | Induced draft | | |
| N (number of row) | 6 | | |
| Nt (Number of Tube) | 244 | | |
| L (Length of Tube) | 40 | ft | |
| Diameter Fan | 5 | ft | |
| Power | 10 | HP | |
| Jumlah fan | 3 | | |
| Kapasitas | 500890259,7 | lb/hr | 227199814,67 |
| Rate Udara | 7257785 | lb/hr | 3292073 |
| Bahan Tube | Carbon Steel | | |
| Bahan Header | Carbon Steel | | |
| Fintube OD (inch) | 1 | | |
| Tube Pitch (inch) | 2 | | |

11. Compressor (G-210 - G-212)

- Fungsi** : Menaikkan tekanan gas produk dari reaktor menuju proses pengolahan
Tipe : Centrifugal Compressor
Jumlah : 3 train



Kondisi Operasi

| | | | | |
|---------------------|---|--------------------|---|------------------|
| Suhu Masuk (Ts) | = | 45 °C | = | 318,2 °F |
| Suhu Keluar (Td) | = | 135 °C | = | 408,2 °F |
| Tekanan Masuk (Ps) | = | 380 kPa | = | 33,26 psia |
| Tekanan Keluar (Pd) | = | 3500 kPa | = | 507,6 psia |
| Rate Massa | = | 231500,00000 kg/hr | | |
| Rate Mol | = | 4546,65 kmol/hr | | |
| Massa Jenis | = | 2,977 kg/m3 | | |
| Rate Volume | = | 77762,84851 m3/hr | = | 21,60079125 m3/s |

Penentuan Jumlah Stage

Rasio Kompresi

$$r = \sqrt[n]{\frac{P_{out}}{P_{in}}} \quad \text{Robinsmith (pers B.47) pg. 275}$$

a. Overall Stages

$$\begin{aligned} N &= 1 \text{ stages} \\ r &= 15,263 \quad (\text{ratio kompresi terlalu besar}) \end{aligned}$$

a. 2 Stages

$$\begin{aligned} N &= 3 \text{ stages} \\ r &= 2,481 \quad (\text{ratio kompresi memenuhi}) \end{aligned}$$

Perhitungan Tekanan Tiap Stages

| | | | | | |
|-----------|-----------|----|---|-----------|-----|
| 1st stage | Suction | Ps | = | 55,143 | psi |
| | Discharge | Pd | = | 116,03000 | psi |
| | | r | = | 2,104 | |
| 2nd stage | Suction | Ps | = | 107,328 | psi |
| | Discharge | Pd | = | 179,847 | psi |
| | | r | = | 1,676 | |
| 3rd stage | Suction | Ps | = | 171,145 | psi |
| | Discharge | Pd | = | 507,632 | psi |
| | | r | = | 2,966 | |

Pressure drop compressor untuk gas sebesar = 2 psi

Perhitungan BHP

Dari aspen HYSIS 8.8 Peng-Robinson:

$$\gamma_{mix} = 1,294$$

$$\eta_p = 0,798$$

a. Polytropic Coefficient

$$n = \frac{\gamma \eta_p}{\gamma \eta_p - \gamma + 1} \quad Robinsmith \text{ (pers B.38)}$$

$$n = 1,3986$$

b. Brake horse Power (BHP) staged compressor

$$W = \frac{n}{n-1} x \frac{P_{in} F_{in} N}{\eta_p} x \left[1 - r^{\frac{n-1}{n}} \right] \quad Robinsmith \text{ (pers B.50)}$$

$$W = -127132768,575 \quad \text{watt}$$

$$= -127132,769 \quad \text{kW}$$

$$BHP = 170485,043 \quad \text{Hp}$$

$$\text{Total BHP 1 train} = 511455,128 \quad \text{Hp}$$

$$\text{Total BHP 3 train} = 1534365,384 \quad \text{Hp}$$

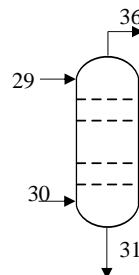
| Spesifikasi | Keterangan | | | | | |
|--------------------|--|------|-----|------------|-----|----|
| Kode | G-216 | | | | | |
| Type | Centrifugal Compressor | | | | | |
| Fungsi | Menaikkan tekanan gas produk dari reaktor menuju proses pengolahan | | | | | |
| Jumlah stage | 3 | | | | | |
| Bahan | Cast Iron | | | | | |
| Kondisi operasi : | Psuction | 380 | kPa | Tsuction | 45 | °C |
| | Pdischarge | 3500 | kPa | Tdischarge | 135 | °C |
| Kapasitas (Kg/jam) | 231500 | | | | | |
| r | 15,263 | | | | | |
| Efisiensi | 0,798 | | | | | |
| Power (Hp) | 1534365,384 | | | | | |



18. Absorber (D-300)

Diketahui :

$$\begin{aligned}\rho_L &= 61,83 \text{ lb/ft}^3 \\ \rho_v &= 1,712 \text{ lb/ft}^3 \\ \sigma &= 43,43 \text{ dyne/cm} \\ Q &= 1596000 \text{ lb/min} \\ &\quad 25812,712 \text{ ft}^3/\text{min} \\ &\quad 193079,09 \text{ gallon/min} \\ V &= 200200 \text{ lb/min} \\ &\quad 116939,25 \text{ ft}^3/\text{min} \\ &\quad 1949 \text{ cfs} \\ \text{Jumlah Plate} &= 18 \text{ buah}\end{aligned}$$



Merancang Diameter Kolom Tray

1. Menetapkan laju alir maksimum dan minimum ($\pm 30\%$)

$$\begin{aligned}Q_{maks} &= 1,3 \times Q \\ &= 2777,3 \text{ gpm} \\ V_{maks} &= 1,3 \times V \\ &= 213,55 \text{ cfs} \\ Q_{min} &= 0,7 \times Q \\ &= 1495,5 \text{ gpm} \\ V_{min} &= 0,7 \times V \\ &= 114,99 \text{ cfs}\end{aligned}$$

2. Menetapkan tray spacing (T), sehingga diperoleh harga V_c

$$T = 16 \text{ in}$$

$$\text{Entrainment} = 5\%$$

Didapat $V_c = 9,1 \text{ cfs}$ (Figure 8-121, Ludwig vol. 2)

3. Menghitung Diameter Kolom (D_t)

$$D_t = \sqrt{\frac{4}{\pi} \left(\frac{V_{maks}}{V_c} \right)}$$

$$D_t = \sqrt{\frac{4}{\pi} \left(\frac{1735,2}{9,2} \right)}$$

$$D_t = 14,469 \text{ ft (minimal)}$$

$$= 15 \text{ ft (yang diambil sesuai tabel 8.13 Ludwig)}$$

$$= 180 \text{ in}$$

$$A_t = \frac{1}{4} \pi D_t^2$$

$$A_t = \frac{1}{4} \pi (19)^2$$

$$A_t = 176,63 \text{ ft}^2$$

Layout Tray

1. Menetapkan tipe layout

Dari tabel 8-13 Ludwig, ditetapkan layout tray berupa Cascade Double Pass

2. Menghitung tinggi liquid di atas weir (how)

Ditetapkan $hw = 1,5$ in $lw = L$

$$how = 0,092 \times \left(\frac{Q}{lw} \right)^{\frac{2}{3}} \quad \text{untuk Double Pass } Q = Q/2$$

$$hl = hw + how$$

| Syarat | L/D | 0,6 | 0,65 | 0,7 |
|--------|----------|--------|--------|--------|
| | L,ft | 9 | 9,75 | 10,5 |
| | lw,ft | 9 | 9,75 | 10,5 |
| | how1, in | 2,6466 | 2,5091 | 2,3881 |
| | how2, in | 1,7517 | 1,6607 | 1,5806 |
| 4" > | hl 1,in | 4,1466 | 4,0091 | 3,8881 |
| 2" < | hl 2 ,in | 3,2517 | 3,1607 | 3,0806 |

3. Menetapkan ukuran daerah Down Comer

Ditetapkan $hw - hc = 0,25$ in

$$hc = hw - 0,25$$

$$= 1,5 - 0,25$$

$$= 1,25 \text{ in}$$

$$Adc = hc \times lw$$

$$Ac = At - (2 \times Ad) - Ad \text{ tengah}$$

Untuk Double Pass

Ditetapkan lebar tengah 8" - 12", diambil lebar tengah 8"

$$\text{Lebar tengah} = 8 \text{ in}$$

$$\text{Ad tengah} = \text{lebar tengah} \times Dt$$

$$hd = 0,03 \left(\frac{Q_{max}}{100 \times A_{dc}} \right)^2$$

| Syarat | L/D | 0,6 | 0,65 | 0,7 |
|--------|----------|--------|--------|--------|
| | Ad/At | 0,0288 | 0,0392 | 0,052 |
| | Ad, ft2 | 5,0868 | 6,9237 | 9,1845 |
| | Ac, ft2 | 156,45 | 152,78 | 148,26 |
| | Adc, ft2 | 0,9375 | 1,0156 | 1,0938 |
| 1" > | hd | 0,1155 | 0,1109 | 0,1069 |

4. Menghitung luasan daerah untuk uap (Ac) dan daerah aktif (Aa)

Ditetapkan : $Wdl = 6$ in $lt = 3$ in

$$We = 1,5 \text{ in}$$

$$A_a = 2 \left[x \sqrt{(r^2 - x^2)} + r^2 \arcsin \frac{x}{r} \right]$$

$$x = \frac{D}{2} - \frac{(H + W_{dl})}{12}$$

$$r = \frac{D}{2} - \frac{W_e}{12}$$

| Syarat | L/D | 0,6 | 0,65 | 0,7 |
|----------------|--------|--------|--------|-----|
| H/D | 0,1 | 0,122 | 0,143 | |
| H, ft | 1,5 | 1,8225 | 2,145 | |
| x, ft | 6,875 | 6,8481 | 6,8213 | |
| r, ft | 7,375 | 7,375 | 7,375 | |
| x (r2-x2)^0,5 | 18,351 | 18,747 | 19,125 | |
| r2 arc sin x/r | 65,293 | 64,753 | 64,225 | |
| Across, ft2 | 167,29 | 167 | 166,7 | |
| Bt, ft | 12 | 11,355 | 10,71 | |
| Abt, ft2 | 6 | 5,6775 | 5,355 | |
| Center, ft2 | 10 | 10 | 10 | |
| Aa, ft2 | 151,29 | 151,32 | 151,35 | |
| Aa/At, % | 85,656 | 85,674 | 85,688 | |

Dari hasil perhitungan di atas, maka dipilih L/I 0,7

5. Menghitung luasan daerah lubang (Ao), asumsi lubang disusun segitiga sama sisi.

$$\frac{A_o}{A_a} = \frac{0,9065}{n^2}$$

| n | 2,5 | 3 | 3,5 | 4 |
|---------|--------|--------|--------|--------|
| Ao, ft2 | 21,951 | 15,244 | 11,2 | 8,5747 |
| Ac, ft2 | 148,26 | 148,26 | 148,26 | 148,26 |

Satisfactory Design

1. Periksa Pressure Drop di Tray = ht

$$h_p = \left(12 \times \left(\frac{\rho_v}{\rho_L} \right) \times 1,14 \times \left(\frac{U_{o_1}^2}{2g_c} \right) \right) \times \left(\left(0,4 \times \left(1,25 - \frac{A_o}{A_c} \right) \right) + \left(1 - \frac{A_o}{A_c} \right)^{0,5} \right)$$

$$U_{o_1} = \frac{V_{max}}{A_o}$$

$$h_r = \frac{31,2}{\rho_L}$$

$$h_t = h_p + h_r + h_l$$

| Syarat | n | 2,5 | 3 | 3,5 | 4 |
|-----------------|--------|--------|--------|---------|---|
| Ao, ft2 | 21,951 | 15,244 | 11,2 | 8,57469 | |
| Ac, ft2 | 148,26 | 148,26 | 148,26 | 148,256 | |
| Uo1, fps | 9,7285 | 14,009 | 19,068 | 24,905 | |
| gc | 32,2 | 32,2 | 32,2 | 32,2 | |
| 12(rho-V/rho-L) | 0,6257 | 0,6257 | 0,6257 | 0,63 | |
| 1,14(Uo1^2/2gc) | 1,6754 | 3,4741 | 6,4361 | 10,9798 | |

| | | | | |
|------------------------|--------|--------|--------|---------|
| 0,4(1,25-Ao/Ac) | 0,4408 | 0,4589 | 0,4698 | 0,47687 |
| 1-(Ao/Ac) ² | 0,9781 | 0,9894 | 0,9943 | 0,99665 |
| hp, in | 1,4874 | 3,1483 | 5,8961 | 10,1234 |
| hr, in | 0,4776 | 0,4776 | 0,4776 | 0,47765 |
| ht, in | 5,8532 | 7,5141 | 10,262 | 14,4892 |

2. Periksa Down Comer back up

$$H_d = hl_1 + h_t + h_d$$

$$\frac{Hd}{T + h_w} \leq 0,5$$

$$\frac{0,8[\text{how max } x (T + h_w - H_d)^{0,5}]}{H} \leq 0,6$$

| Syarat | n | 2,5 | 3 | 3,5 | 4 |
|---------|-----------|--------|--------|--------|---------|
| | 0,5(T+hw) | 8,75 | 8,75 | 8,75 | 8,75 |
| 15,75 > | Hd | 10,115 | 11,776 | 14,524 | 18,7512 |
| | 0,6 H | 10,8 | 10,8 | 10,8 | 10,8 |
| 13,68 > | tw | 3,5367 | 3,1137 | 2,2452 | #NUM! |

3. Periksa Faktor Weeping (hpw)

$$h_{pm} = \left(12 \times \left(\frac{\rho_v}{\rho_L} \right) \times 1,14 \times \left(\frac{U_{o_2}}{2g_c} \right)^2 \right) \times \left(\left(0,4 \times \left(1,25 - \frac{A_o}{A_c} \right) \right) + \left(1 - \frac{A_o}{A_c} \right)^{0,5} \right)$$

$$Uo_2 = \frac{V_{min}}{A_o}$$

$$h_{pw} = 0,2 + 0,05 hl_{max}$$

| Syarat | n | 2,5 | 3 | 3,5 | 4 |
|-----------------------------|---------|--------|--------|---------|---------|
| Ao, ft2 | 21,951 | 15,244 | 11,2 | 8,57469 | |
| Ac, ft2 | 156,45 | 156,45 | 156,45 | 156,451 | |
| Uo2, fps | 5,2384 | 7,5433 | 10,267 | 13,4104 | |
| gc | 32,2 | 32,2 | 32,2 | 32,2 | |
| 12(rho-V/rho-L) | 0,6257 | 0,6257 | 0,6257 | 0,62572 | |
| 1,14(Uo2 ² /2gc) | 0,4858 | 1,0073 | 1,8661 | 3,18348 | |
| 0,4(1,25-Ao/Ac) | 0,4439 | 0,461 | 0,4714 | 0,47808 | |
| 1-(Ao/Ac) ² | 0,9803 | 0,9905 | 0,9949 | 0,997 | |
| hpm, in | 0,4329 | 0,9149 | 1,7121 | 2,93829 | |
| hpm > | hpw, in | 0,3944 | 0,3944 | 0,3944 | 0,39441 |

4. Periksa Flooding (Uvn) dan Entrainment (e)

$$e = 0,22 \left(\frac{73}{\sigma} \right) \left(\frac{\left(\frac{V_{max}}{A_c} \right)}{T_e} \right)^{3,2}$$

$$= 0,22 \left(\frac{73}{\sigma} \right) \left(\frac{\left(\frac{V_{max}}{A_c} \right)}{T - 2,5h_{lmax}} \right)^{3,2} \leq 0,1 \downarrow$$

$$e = 0,0047$$

$$\psi = \frac{e}{1-e}$$

$$= 0,0047$$

$$\frac{L}{V} \left(\frac{\rho_V}{\rho_L} \right)^{0,5} = 0,1269$$

Dari grafik 8-138 Ludwig, didapatkan :

%Flooding = 34 % (Untuk non foaming, flooding maksimum 85%)

Tinggi Kolom

Tinggi Kolom Bagian Atas $Z_1 = 3$ ft

Tinggi Kolom Plate $Z_2 = S$ (jumlah plate-1)
 $= 22,7$ ft

Tinggi Kolom Bawah $Z_3 = (Q/At)*\theta$ Asumsi $\theta = 10$ menit
 $= 16,2$ ft

Total Tinggi $Z = 41,8$ ft

Tebal Shell

Bahan konstruksi : SA 299

$f = 18750$ psi

$C = 0,125$

$E = 0,8$ Double Welded Butt Joint

$$P_{op} = 20 \text{ bar}$$

$$= 290 \text{ psia}$$

$$= 275,3 \text{ psig}$$

$$P_d = 1,1 \times P_{op}$$

$$= 302,83 \text{ psig}$$

$$t_s = \frac{P_d \times d_o}{2(fE + 0,6 P_d)} + C$$

$$= 1,9202 \text{ in}$$

$$= 2 \text{ in}$$

| Spesifikasi D-300 | |
|----------------------|------------------------------|
| Keterangan | Ukuran |
| Bahan | SA 299 |
| Diameter <i>Tray</i> | 15 ft 180 in |
| <i>Layout</i> | Double Pass |
| <i>Tray Spacing</i> | 1,3333 ft 16 in |
| Tinggi Kolom | 41,837 ft 42 ft 504 in |
| L/D | 0,7 |
| n | 2,5 |
| Tebal Shell | 2 in |

20. Amine Regenerator Column (D-301)

Diketahui :

$$\rho_L = 42,29 \text{ lb/ft}^3$$

$$\rho_V = 1,854 \text{ lb/ft}^3$$

$$\sigma = 37,1 \text{ dyne/cm}$$

$$Q = 7173000 \text{ lb/min}$$

$$169614,566 \text{ ft}^3/\text{min}$$

$$1268716,954 \text{ gallon/min}$$

$$V = 3147000 \text{ lb/min}$$

$$1697411 \text{ ft}^3/\text{min}$$

$$28290 \text{ cfs}$$

$$\text{Jumlah Plat} = 18 \text{ buah}$$

Merancang Diameter Kolom Tray

1. Menetapkan laju alir maksimum dan minimum ($\pm 30\%$)

$$\begin{aligned} Q_{maks} &= 1,3 \times Q \\ &= 2846,8 \text{ gpm} \end{aligned}$$

$$\begin{aligned} V_{maks} &= 1,3 \times V \\ &= 295,08 \text{ cfs} \end{aligned}$$

$$\begin{aligned} Q_{min} &= 0,7 \times Q \\ &= 1532,9 \text{ gpm} \end{aligned}$$

$$\begin{aligned} V_{min} &= 0,7 \times V \\ &= 158,89 \text{ cfs} \end{aligned}$$

2. Menetapkan tray spacing (T), sehingga diperoleh harga V_c

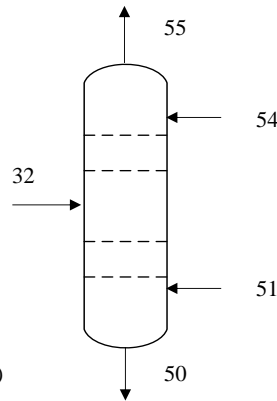
$$T = 16 \text{ in}$$

$$\text{Entrainment} = 10\%$$

Didapat $V_c = 10 \text{ cfs}$ (Figure 8-121, Ludwig vol. 2)

3. Menghitung Diameter Kolom (Dt)

$$Dt = \sqrt{\frac{4}{\pi} \left(\frac{V_{maks}}{V_c} \right)}$$



$$\sqrt{u \cdot v \cdot c} /$$

$$Dt = \sqrt{\frac{4(1735,2)}{\pi \cdot 9,2}}$$

$$\begin{aligned} Dt &= 13,974 \text{ ft (minimal)} \\ &= 20 \text{ ft (yang diambil sesuai tabel 8.13 Ludwig)} \\ &= 240 \text{ in} \\ A_t &= \frac{1}{4}\pi Dt^2 \\ A_t &= \frac{1}{4}\pi(19)^2 \\ At &= 314 \text{ ft}^2 \end{aligned}$$

Layout Tray

1. Menetapkan tipe layout

Dari tabel 8-13 Ludwig, ditetapkan layout tray berupa Cascade Double Pass

2. Menghitung tinggi liquid di atas weir (how)

Ditetapkan $hw = 1,5 \text{ in}$ $lw = L$

$$how = 0,092 \times \left(\frac{Q}{lw}\right)^{\frac{2}{3}} \quad \text{untuk Double Pass } Q = Q/2$$

$$hl = hw + how$$

| Syarat | L/D | 0,5 | 0,55 | 0,6 |
|--------|----------|--------|--------|--------|
| | L,ft | 7,5 | 8,25 | 9 |
| | lw,ft | 7,5 | 8,25 | 9 |
| | how1, in | 2,9886 | 2,8046 | 2,6466 |
| | how2, in | 1,9781 | 1,8563 | 1,7517 |
| 4" > | hl 1,in | 4,4886 | 4,3046 | 4,1466 |
| 2" < | hl 2,in | 3,4781 | 3,3563 | 3,2517 |

3. Menetapkan ukuran daerah Down Comer

Ditetapkan $hw - hc = 0,25 \text{ in}$

$$hc = hw - 0,25$$

$$= 1,5 - 0,25$$

$$= 1,25 \text{ in}$$

$$Adc = hc \times lw$$

$$Ac = At - (2 \times Ad) - Ad \text{ tengah}$$

Untuk Double Pass

Ditetapkan lebar tengah 8" - 12", diambil lebar tengah 8"

$$\text{Lebar tengah} = 8 \text{ in}$$

$$Ad \text{ tengah} = \text{lebar tengah} \times Dt$$

$$h_d = 0,03 \left(\frac{Q_{max}}{100 \times A_{dc}} \right)^2$$

| Syarat | L/D | 0,5 | 0,55 | 0,6 |
|--------|--------|--------|--------|--------|
| Ad/At | 0,0288 | 0,0392 | 0,052 | |
| | 5,0868 | 6,9237 | 9,1845 | |
| | 156,45 | 152,78 | 148,26 | |
| | 0,7813 | 0,8594 | 0,9375 | |
| 1" > | hd | 0,1265 | 0,1206 | 0,1155 |

4. Menghitung luasan daerah untuk uap (Ac) dan daerah aktif (Aa)

Ditetapkan : Wdl = 6 in lt = 3 in

We = 1,5 in

$$A_a = 2 \left[x\sqrt{(r^2 - x^2)} + r^2 \arcsin \frac{x}{r} \right]$$

$$x = \frac{D}{2} - \frac{(H + W_{dl})}{12}$$

$$r = \frac{D}{2} - \frac{W_e}{12}$$

| Syarat | L/D | 0,5 | 0,55 | 0,6 |
|----------------|--------|--------|--------|-----|
| H/D | 0,067 | 0,0825 | 0,1 | |
| H, ft | 1,005 | 1,2375 | 1,5 | |
| x, ft | 6,9163 | 6,8969 | 6,875 | |
| r, ft | 7,375 | 7,375 | 7,375 | |
| x (r2-x2)^0,5 | 17,709 | 18,016 | 18,351 | |
| r2 arc sin x/r | 66,151 | 65,744 | 65,293 | |
| Across, ft2 | 167,72 | 167,52 | 167,29 | |
| Bt, ft | 12,99 | 12,525 | 12 | |
| Abt, ft2 | 6,495 | 6,2625 | 6 | |
| Center, ft2 | 10 | 10 | 10 | |
| Aa, ft2 | 151,23 | 151,26 | 151,29 | |
| Aa/At, % | 85,62 | 85,638 | 85,656 | |

Dari hasil perhitungan di atas, maka dipilih L/I 0,55

5. Menghitung luasan daerah lubang (Ao), asumsi lubang disusun segitiga sama sisi.

$$\frac{A_o}{A_a} = \frac{0,9065}{n^2}$$

| n | 2,5 | 3 | 3,5 | 4 |
|---------|--------|--------|--------|--------|
| Ao, ft2 | 21,948 | 15,241 | 11,198 | 8,5733 |
| Ac, ft2 | 148,26 | 148,26 | 148,26 | 148,26 |

Satisfactory Design

1. Periksa Pressure Drop di Tray = ht

$$h_p = \left(12 \times \left(\frac{\rho_V}{\rho_a} \right) \times 1,14 \times \left(\frac{U_{o_1}}{2 \cdot g} \right)^2 \right) \times \left(\left(0,4 \times \left(1,25 - \frac{A_o}{A_a} \right) \right) + \left(1 - \frac{A_o}{A_a} \right)^{0,5} \right)$$

$$Uo_1 = \frac{V_{max}}{A_o}$$

$$h_r = \frac{31,2}{\rho_L}$$

$$h_t = h_p + h_r + hl_1$$

| Syarat | n | 2,5 | 3 | 3,5 | 4 |
|-----------------------------|--------|--------|--------|---------|---|
| Ao, ft2 | 21,948 | 15,244 | 11,2 | 8,57469 | |
| Ac, ft2 | 152,78 | 152,78 | 152,78 | 152,778 | |
| Uo1, fps | 9,7301 | 14,009 | 19,068 | 24,905 | |
| gc | 32,2 | 32,2 | 32,2 | 32,2 | |
| 12(rho-V/rho-L) | 0,6257 | 0,6257 | 0,6257 | 0,63 | |
| 1,14(Uo1 ² /2gc) | 1,6759 | 3,4741 | 6,4361 | 10,9798 | |
| 0,4(1,25-Ao/Ac) | 0,4425 | 0,4601 | 0,4707 | 0,47755 | |
| 1-(Ao/Ac) ² | 0,9794 | 0,99 | 0,9946 | 0,99685 | |
| hp, in | 1,4911 | 3,1523 | 5,9011 | 10,1295 | |
| hr, in | 0,4776 | 0,4776 | 0,4776 | 0,47765 | |
| ht, in | 5,9778 | 7,639 | 10,388 | 14,6162 | |

2. Periksa Down Comer back up

$$H_d = hl_1 + h_t + h_d$$

$$\frac{Hd}{T + h_w} \leq 0,5$$

$$\frac{0,8[\text{how max } x (T + h_w - H_d)^{0,5}]}{H} \leq 0,6$$

| Syarat | n | 2,5 | 3 | 3,5 | 4 |
|-----------|-------|--------|--------|--------|---------|
| 0,5(T+hw) | 8,75 | 8,75 | 8,75 | 8,75 | |
| 15,75 > | Hd | 10,098 | 11,759 | 14,508 | 18,7362 |
| | 0,6 H | 13,122 | 13,122 | 13,122 | 13,122 |
| 13,68 > | tw | 3,4477 | 3,1184 | 2,2513 | #NUM! |

3. Periksa Faktor Weeping (hpw)

$$h_{pm} = \left(12 \times \left(\frac{\rho_V}{\rho_L} \right) \times 1,14 \times \left(\frac{U_{o_2}^2}{2g_c} \right) \right) \times \left(\left(0,4 \times \left(1,25 - \frac{A_o}{A_c} \right) \right) + \left(1 - \frac{A_o}{A_c} \right)^{0,5} \right)$$

$$Uo_2 = \frac{V_{min}}{A_o}$$

$$h_{pw} = 0,2 + 0,05 hl_{max}$$

| Syarat | n | 2,5 | 3 | 3,5 | 4 |
|--------|---|-----|---|-----|---|
| | | | | | |

| | | | | | |
|-------|-----------------------------|--------|--------|--------|---------|
| | Ao, ft2 | 21,948 | 15,241 | 11,198 | 8,57329 |
| | Ac, ft2 | 152,78 | 152,78 | 152,78 | 152,778 |
| | Uo2, fps | 5,2393 | 7,5446 | 10,269 | 13,4126 |
| | gc | 32,2 | 32,2 | 32,2 | 32,2 |
| | 12(rho-V/rho-L) | 0,6257 | 0,6257 | 0,6257 | 0,62572 |
| | 1,14(Uo2 ² /2gc) | 0,4859 | 1,0076 | 1,8667 | 3,18452 |
| | 0,4(1,25-Ao/Ac) | 0,4425 | 0,4601 | 0,4707 | 0,47755 |
| | 1-(Ao/Ac) ² | 0,9794 | 0,99 | 0,9946 | 0,99685 |
| | hpm, in | 0,4323 | 0,9143 | 1,7115 | 2,93792 |
| hpm > | hpm, in | 0,4005 | 0,4005 | 0,4005 | 0,40045 |

4. Periksa Flooding (Uvn) dan Entrainment (e)

$$e = 0,22 \left(\frac{73}{\sigma}\right) \left(\frac{\left(\frac{V_{max}}{A_c}\right)}{T_e}\right)^{3,2}$$

$$= 0,22 \left(\frac{73}{\sigma}\right) \left(\frac{\left(\frac{V_{max}}{A_c}\right)}{T - 2,5h_{lmax}}\right)^{3,2} \leq 0,1 \downarrow$$

$$e = 0,0238$$

$$\psi = \frac{e}{1 - e}$$

$$= 0,0244$$

$$\frac{L}{V} \left(\frac{\rho_V}{\rho_L}\right)^{0,5} = 0,3995$$

Dari grafik 8-138 Ludwig, didapatkan :

%Flooding = 58 % (Untuk non foaming, flooding maksimum 85%)

Tinggi Kolom

Tinggi Kolom Bagian Atas $Z_1 = 3$ ft

Tinggi Kolom Plate $Z_2 = S$ (jumlah plate-1)
 $22,7$ ft

Tinggi Kolom Bawah $Z_3 = (Q/At)*\theta$ Asumsi $\theta = 10$ menit
 $= 9,32$ ft

Total Tinggi $Z = 35$ ft

Tebal Shell

Bahan konstruksi :SA 299

$$f = 18750 \text{ psi}$$

$$C = 0,125$$

E = 0,8 Double Welded Butt Joint

$$P_{op} = 20 \text{ bar}$$

$$= 290 \text{ psia}$$

$$= 275,3 \text{ psig}$$

$$P_d = 1,1 \times P_{op}$$

$$= 302,83 \text{ psig}$$

$$t_s = \frac{P_d \times d_o}{2(fE + 0,6 p_d)} + C$$

$$= 2,5186 \text{ in}$$

$$= 3 \text{ in}$$

| Spesifikasi D-301 | |
|-------------------|-----------------------------|
| Keterangan | Ukuran |
| Bahan | SA 299 |
| Diameter Tray | 20 ft 240 in |
| Layout | Double Pass |
| Tray Spacing | 1,3333 ft 16 in |
| Tinggi Kolom | 34,99 ft 35 ft 420 in |
| L/D | 0,55 |
| n | 2,5 |
| Tebal Shell | 3 in |

26. Demethanizer Tower (D-400)

Diketahui :

$$\rho_L = 24,04 \text{ lb/ft}^3$$

$$\rho_v = 2,311 \text{ lb/ft}^3$$

$$\sigma = 14,38 \text{ dyne/cm}$$

$$Q = 897000 \text{ lb/min}$$

$$776,042 \text{ ft}^3/\text{min}$$

$$5804,7951 \text{ gallon/min}$$

$$V = 719200 \text{ lb/min}$$

$$14526,39 \text{ ft}^3/\text{min}$$

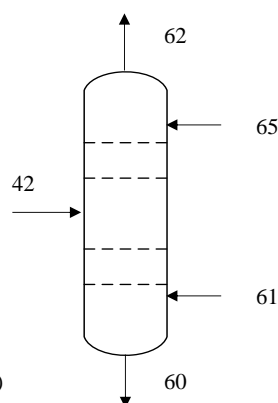
$$242,11 \text{ cfs}$$

$$\text{Jumlah Plat} = 25 \text{ buah}$$

Merancang Diameter Kolom Tray

1. Menetapkan laju alir maksimum dan minimum ($\pm 30\%$)

$$Q_{maks} = 1,3 \times Q$$



$$\begin{aligned}
 &= 2084,9 \text{ gpm} \\
 V_{\max} &= 1,3 \times V \\
 &= 258,95 \text{ cfs} \\
 Q_{\min} &= 0,7 \times Q \\
 &= 1122,6 \text{ gpm} \\
 V_{\min} &= 0,7 \times V \\
 &= 139,43 \text{ cfs}
 \end{aligned}$$

2. Menetapkan tray spacing (T), sehingga diperoleh harga Vc

$$T = 16 \text{ in}$$

$$\text{Entrainment} = 10\%$$

Didapat Vc = 7,7 cfs (Figure 8-121, Ludwig vol. 2)

3. Menghitung Diameter Kolom (Dt)

$$Dt = \sqrt{\frac{4}{n} \left(\frac{V_{\max}}{V_c} \right)}$$

$$Dt = \sqrt{\frac{4}{\pi} \left(\frac{1735,2}{9,2} \right)}$$

$$Dt = 13,628 \text{ ft (minimal)}$$

$$= 15 \text{ ft (yang diambil sesuai tabel 8.13 Ludwig)}$$

$$= 180 \text{ in}$$

$$A_t = \frac{1}{4} \pi Dt^2$$

$$A_t = \frac{1}{4} \pi (19)^2$$

$$At = 176,63 \text{ ft}^2$$

Layout Tray

1. Menetapkan tipe layout

Dari tabel 8-13 Ludwig, ditetapkan layout tray berupa Double Pass

2. Menghitung tinggi liquid di atas weir (how)

Ditetapkan hw = 1,5 in lw = L

$$how = 0,092 \times \left(\frac{Q}{lw} \right)^{\frac{2}{3}} \quad \text{untuk Double Pass } Q = Q/2$$

$$hl = hw + how$$

| Syarat | L/D | 0,5 | 0,55 | 0,6 |
|--------|----------|--------|--------|--------|
| | L,ft | 7,5 | 8,25 | 9 |
| | lw,ft | 7,5 | 8,25 | 9 |
| | how1, in | 2,9886 | 2,8046 | 2,6466 |
| | how2, in | 1,9781 | 1,8563 | 1,7517 |
| 4" > | hl 1,in | 4,4886 | 4,3046 | 4,1466 |
| 2" < | hl 2,in | 3,4781 | 3,3563 | 3,2517 |

3. Menetapkan ukuran daerah Down Comer

Ditetapkan $hw - hc = 0,25 \text{ in}$

$$hc = hw - 0,25$$

$$= 1,5 - 0,25$$

$$= 1,25 \text{ in}$$

$$Adc = hc \times lw$$

$$Ac = At - (2 \times Ad) - Ad \text{ tengah}$$

Untuk Double Pass

Ditetapkan lebar tengah 8" - 12", diambil lebar tengah 8"

Lebar tengah = 8 in

Ad tengah = lebar tengah \times Dt

$$h_d = 0,03 \left(\frac{Q_{max}}{100 \times A_{dc}} \right)^2$$

| Syarat | L/D | 0,5 | 0,55 | 0,6 |
|----------------------|--------|--------|--------|--------|
| Ad/At | 0,0288 | 0,0392 | 0,052 | |
| Ad, ft ² | 5,0868 | 6,9237 | 9,1845 | |
| Ac, ft ² | 156,45 | 152,78 | 148,26 | |
| Adc, ft ² | 0,7813 | 0,8594 | 0,9375 | |
| 1" > | hd | 0,1265 | 0,1206 | 0,1155 |

4. Menghitung luasan daerah untuk uap (Ac) dan daerah aktif (Aa)

Ditetapkan : Wdl = 6 in lt = 3 in

We = 1,5 in

$$A_a = 2 \left[x\sqrt{(r^2 - x^2)} + r^2 \arcsin \frac{x}{r} \right]$$

$$x = \frac{D}{2} - \frac{(H + W_{dl})}{12}$$

$$r = \frac{D}{2} - \frac{W_e}{12}$$

| Syarat | L/D | 0,5 | 0,55 | 0,6 |
|--|--------|--------|--------|-----|
| H/D | 0,067 | 0,0825 | 0,1 | |
| H, ft | 1,005 | 1,2375 | 1,5 | |
| x, ft | 6,9163 | 6,8969 | 6,875 | |
| r, ft | 7,375 | 7,375 | 7,375 | |
| x (r ² -x ²) ^{0,5} | 17,709 | 18,016 | 18,351 | |
| r ² arc sin x/r | 66,151 | 65,744 | 65,293 | |
| Across, ft ² | 167,72 | 167,52 | 167,29 | |
| Bt, ft | 12,99 | 12,525 | 12 | |
| Abt, ft ² | 6,495 | 6,2625 | 6 | |
| Center, ft ² | 10 | 10 | 10 | |
| Aa, ft ² | 151,23 | 151,26 | 151,29 | |
| Aa/At, % | 85,62 | 85,638 | 85,656 | |

Dari hasil perhitungan di atas, maka dipilih L/T = 0,5

5. Menghitung luasan daerah lubang (Ao), asumsi lubang disusun menurut segitiga sama sisi

$$\frac{A_o}{A_a} = \frac{0,9065}{n^2}$$

| n | 2,5 | 3 | 3,5 | 4 |
|---------------------|--------|--------|--------|--------|
| Ao, ft ² | 21,943 | 15,238 | 11,195 | 8,5715 |
| Ac, ft ² | 156,45 | 156,45 | 156,45 | 156,45 |

Satisfactory Design

1. Periksa Pressure Drop di Tray = ht

$$h_p = \left(12 \times \left(\frac{\rho_V}{\rho_L} \right) \times 1,14 \times \left(\frac{U_{o_1}^2}{2g_c} \right) \right) \times \left(\left(0,4 \times \left(1,25 - \frac{A_o}{A_c} \right) \right) + \left(1 - \frac{A_o}{A_c} \right)^{0,5} \right)$$

$$U_{o_1} = \frac{V_{max}}{A_o}$$

$$h_r = \frac{31,2}{\rho_L}$$

$$h_t = h_p + h_r + h l_1$$

| Syarat | n | 2,5 | 3 | 3,5 | 4 |
|-----------------------------|--------|--------|--------|---------|---|
| Ao, ft ² | 21,943 | 15,238 | 11,195 | 8,57148 | |
| Ac, ft ² | 156,45 | 156,45 | 156,45 | 156,451 | |
| Uo1, fps | 9,7322 | 14,014 | 19,075 | 24,9143 | |
| gc | 32,2 | 32,2 | 32,2 | 32,2 | |
| 12(rho-V/rho-L) | 0,6257 | 0,6257 | 0,6257 | 0,62572 | |
| 1,14(Uo1 ² /2gc) | 1,6766 | 3,4767 | 6,4409 | 10,988 | |
| 0,4(1,25-Ao/Ac) | 0,4439 | 0,461 | 0,4714 | 0,47809 | |
| 1-(Ao/Ac) ² | 0,9803 | 0,9905 | 0,9949 | 0,997 | |
| hp, in | 1,4942 | 3,1577 | 5,9093 | 10,1418 | |
| hr, in | 0,4776 | 0,4776 | 0,4776 | 0,47765 | |
| ht, in | 6,1184 | 7,782 | 10,534 | 14,766 | |

2. Periksa Down Comer back up

$$H_d = h l_1 + h_t + h_d$$

$$\frac{Hd}{T + h_w} \leq 0,5$$

$$\frac{0,8[\text{how max } x (T + h_w - H_d)^{0,5}]}{H} \leq 0,6$$

| Syarat | n | 2,5 | 3 | 3,5 | 4 |
|--------|---|-----|---|-----|---|
|--------|---|-----|---|-----|---|

| | | | | | |
|---------|-----------|--------|--------|--------|--------|
| | 0,5(T+hw) | 8,75 | 8,75 | 8,75 | 8,75 |
| 15,75 > | Hd | 10,38 | 12,044 | 14,796 | 19,028 |
| | 0,6 H | 10,8 | 10,8 | 10,8 | 10,8 |
| 13,68 > | tw | 3,4726 | 3,04 | 2,1403 | #NUM! |

3. Periksa Faktor Weeping (hpw)

$$h_{pm} = \left(12 \times \left(\frac{\rho_V}{\rho_L} \right) \times 1,14 \times \left(\frac{U_{o_2}^2}{2g_c} \right) \right) \times \left(\left(0,4 \times \left(1,25 - \frac{A_o}{A_c} \right) \right) + \left(1 - \frac{A_o}{A_c} \right)^{0,5} \right)$$

$$U_{o_2} = \frac{V_{min}}{A_o}$$

$$h_{pw} = 0,2 + 0,05 h_{lmax}$$

| Syarat | n | 2,5 | 3 | 3,5 | 4 |
|-----------------|---------|--------|--------|---------|---------|
| Ao, ft2 | 21,943 | 15,238 | 11,195 | 8,57148 | |
| Ac, ft2 | 156,45 | 156,45 | 156,45 | 156,451 | |
| Uo2, fps | 5,2404 | 7,5462 | 10,271 | 13,4154 | |
| gc | 32,2 | 32,2 | 32,2 | 32,2 | |
| 12(rho-V/rho-L) | 0,6257 | 0,6257 | 0,6257 | 0,62572 | |
| 1,14(Uo2^2/2gc) | 0,4861 | 1,008 | 1,8675 | 3,18586 | |
| 0,4(1,25-Ao/Ac) | 0,4439 | 0,461 | 0,4714 | 0,47809 | |
| 1-(Ao/Ac)^2 | 0,9803 | 0,9905 | 0,9949 | 0,997 | |
| hpm, in | 0,4332 | 0,9156 | 1,7134 | 2,94051 | |
| hpm > | hpw, in | 0,4073 | 0,4073 | 0,4073 | 0,40733 |

4. Periksa Flooding (Uvn) dan Entrainment (e)

$$e = 0,22 \left(\frac{73}{\sigma} \right) \left(\frac{\left(\frac{V_{max}}{A_c} \right)}{T_e} \right)^{3,2}$$

$$= 0,22 \left(\frac{73}{\sigma} \right) \left(\frac{\left(\frac{V_{max}}{A_c} \right)}{T - 2,5h_{lmax}} \right)^{3,2} \leq 0,1$$

$$e = 0,0375$$

$$\psi = \frac{e}{1-e}$$

$$= 0,039$$

$$\cdot \cdot \cdot ^{0,5}$$

$$\frac{L}{V} \left(\frac{\rho_V}{\rho_L} \right)^{\frac{1}{n}} = 0,087$$

Dari grafik 8-138 Ludwig, didapatkan :

%Flooding = 62 % (Untuk non foaming, flooding maksimum 85%)

Tinggi Kolom

Tinggi Kolom Bagian Atas $Z_1 = 3 \text{ ft}$

Tinggi Kolom Plate $Z_2 = S (\text{jumlah plate}-1)$
 $= 22,7 \text{ ft}$

Tinggi Kolom Bawah $Z_3 = (Q/At)*\theta$ Asumsi $\theta = 10 \text{ menit}$
 $= 12,1 \text{ ft}$

Total Tinggi $Z = 37,8 \text{ ft}$

Tebal Shell

Bahan konstruksi : SA 299

$f = 18750 \text{ psi}$

$C = 0,125$

$E = 0,8 \text{ Double Welded Butt Joint}$

$P_{op} = 20 \text{ bar}$
 $= 290 \text{ psia}$
 $= 275,3 \text{ psig}$

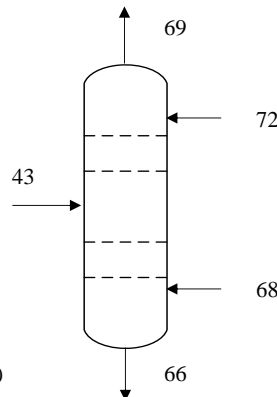
$P_d = 1,1 \times P_{op}$
 $= 302,83 \text{ psig}$
 $ts = \frac{P_d \times d_o}{2(fE + 0,6 p_d)} + C$
 $= 1,9202 \text{ in}$
 $= 2 \text{ in}$

| Spesifikasi D-400 | | |
|----------------------|-------------|----|
| Keterangan | Ukuran | |
| Bahan | SA 299 | |
| Diameter <i>Tray</i> | 15 | ft |
| | 180 | in |
| <i>Layout</i> | Double Pass | |
| <i>Tray Spacing</i> | 1,3333 | ft |
| | 16 | in |
| Tinggi Kolom | 37,806 | ft |
| | 48 | ft |
| | 576 | in |
| L/D | 0,5 | |
| n | 2,5 | |
| Tebal Shell | 2 in | |

27. Deethanizer Tower (D-401)

Diketahui :

$$\begin{aligned}\rho_L &= 27,79 \text{ lb/ft}^3 \\ \rho_v &= 2,175 \text{ lb/ft}^3 \\ \sigma &= 4,3811 \text{ dyne/cm} \\ Q &= 191900 \text{ lb/min} \\ &\quad 6905,362 \text{ ft}^3/\text{min} \\ &\quad 51652,105 \text{ gallon/min} \\ V &= 150100 \text{ lb/min} \\ &\quad 69011,494 \text{ ft}^3/\text{min} \\ &\quad 1150,2 \text{ cfs} \\ \text{Jumlah Plat} &= 16 \text{ buah}\end{aligned}$$



Merancang Diameter Kolom Tray

1. Menetapkan laju alir maksimum dan minimum ($\pm 30\%$)

$$\begin{aligned}Q_{maks} &= 1,3 \times Q \\ &= 1537,9 \text{ gpm} \\ V_{maks} &= 1,3 \times V \\ &= 85,166 \text{ cfs} \\ Q_{min} &= 0,7 \times Q \\ &= 828,09 \text{ gpm} \\ V_{min} &= 0,7 \times V \\ &= 45,858 \text{ cfs}\end{aligned}$$

2. Menetapkan tray spacing (T), sehingga diperoleh harga V_c

$$T = 16 \text{ in}$$

$$\text{Entrainment} = 10\%$$

Didapat $V_c = 7,5 \text{ cfs}$ (Figure 8-121, Ludwig vol. 2)

3. Menghitung Diameter Kolom (Dt)

$$Dt = \sqrt{\frac{4}{\pi} \left(\frac{V_{maks}}{V_c} \right)}$$

$$Dt = \sqrt{\frac{4}{\pi} \left(\frac{1735,2}{9,2} \right)}$$

$$Dt = 11,86 \text{ ft (minimal)}$$

= 12 ft (yang diambil sesuai tabel 8.13 Ludwig)

$$= 144 \text{ in}$$

$$A_t = \frac{1}{4} \pi Dt^2$$

$$A_t = \frac{1}{4} \pi (19)^2$$

$$At = 113,04 \text{ ft}^2$$

Layout Tray

1. Menetapkan tipe layout

Dari tabel 8-13 Ludwig, ditetapkan layout tray berupa Double Pass

2. Menghitung tinggi liquid di atas weir (how)

Ditetapkan $hw = 1,5$ in $lw = L$

$$how = 0,092 \times \left(\frac{Q}{lw} \right)^{\frac{2}{3}} \quad \text{untuk Double Pass } Q = Q/2$$

$$hl = hw + how$$

| Syarat | L/D | 0,5 | 0,55 | 0,6 |
|--------|----------|--------|--------|--------|
| | L,ft | 7,5 | 8,25 | 9 |
| | lw,ft | 7,5 | 8,25 | 9 |
| | how1, in | 2,9886 | 2,8046 | 2,6466 |
| | how2, in | 1,9781 | 1,8563 | 1,7517 |
| 4" > | hl 1,in | 4,4886 | 4,3046 | 4,1466 |
| 2" < | hl 2,in | 3,4781 | 3,3563 | 3,2517 |

3. Menetapkan ukuran daerah Down Comer

Ditetapkan $hw - hc = 0,25$ in

$$hc = hw - 0,25$$

$$= 1,5 - 0,25$$

$$= 1,25 \text{ in}$$

$$Adc = hc \times lw$$

$$Ac = At - (2 \times Ad) - Ad \text{ tengah}$$

Untuk Double Pass

Ditetapkan lebar tengah 8" - 12", diambil lebar tengah 8"

$$\text{Lebar tengah} = 8 \text{ in}$$

$$\text{Ad tengah} = \text{lebar tengah} \times Dt$$

$$hd = 0,03 \left(\frac{Q_{max}}{100 \times A_{dc}} \right)^2$$

| Syarat | L/D | 0,5 | 0,55 | 0,6 |
|--------|----------|--------|--------|--------|
| | Ad/At | 0,0288 | 0,0392 | 0,052 |
| | Ad, ft2 | 5,0868 | 6,9237 | 9,1845 |
| | Ac, ft2 | 156,45 | 152,78 | 148,26 |
| | Adc, ft2 | 0,7813 | 0,8594 | 0,9375 |
| 1" > | hd | 0,1265 | 0,1206 | 0,1155 |

4. Menghitung luasan daerah untuk uap (Ac) dan daerah aktif (Aa)

Ditetapkan : $Wdl = 6$ in $lt = 3$ in

$$We = 1,5 \text{ in}$$

$$A_a = 2 \left[x \sqrt{(r^2 - x^2)} + r^2 \arcsin \frac{x}{r} \right]$$

$$x = \frac{D}{2} - \frac{(H + W_{dl})}{12}$$

$$r = \frac{D}{2} - \frac{W_e}{12}$$

| Syarat | L/D | 0,5 | 0,55 | 0,6 |
|----------------|--------|--------|--------|-----|
| H/D | 0,067 | 0,0825 | 0,1 | |
| H, ft | 1,005 | 1,2375 | 1,5 | |
| x, ft | 6,9163 | 6,8969 | 6,875 | |
| r, ft | 7,375 | 7,375 | 7,375 | |
| x (r2-x2)^0,5 | 17,709 | 18,016 | 18,351 | |
| r2 arc sin x/r | 66,151 | 65,744 | 65,293 | |
| Across, ft2 | 167,72 | 167,52 | 167,29 | |
| Bt, ft | 12,99 | 12,525 | 12 | |
| Abt, ft2 | 6,495 | 6,2625 | 6 | |
| Center, ft2 | 10 | 10 | 10 | |
| Aa, ft2 | 151,23 | 151,26 | 151,29 | |
| Aa/At, % | 85,62 | 85,638 | 85,656 | |

Dari hasil perhitungan di atas, maka dipilih L/T 0,5

5. Menghitung luasan daerah lubang (Ao), asumsi lubang disusun segitiga sama sisi.

$$\frac{A_o}{A_a} = \frac{0,9065}{n^2}$$

| n | 2,5 | 3 | 3,5 | 4 |
|---------|--------|--------|--------|--------|
| Ao, ft2 | 21,943 | 15,238 | 11,195 | 8,5715 |
| Ac, ft2 | 156,45 | 156,45 | 156,45 | 156,45 |

Satisfactory Design

1. Periksa Pressure Drop di Tray = ht

$$h_p = \left(12 \times \left(\frac{\rho_v}{\rho_L} \right) \times 1,14 \times \left(\frac{U_{o_1}^2}{2g_c} \right) \right) \times \left(\left(0,4 \times \left(1,25 - \frac{A_o}{A_c} \right) \right) + \left(1 - \frac{A_o}{A_c} \right)^{0,5} \right)$$

$$U_{o_1} = \frac{V_{max}}{A_o}$$

$$h_r = \frac{31,2}{\rho_L}$$

$$h_t = h_p + h_r + h_{l_1}$$

| Syarat | n | 2,5 | 3 | 3,5 | 4 |
|-----------------|--------|--------|--------|---------|---|
| Ao, ft2 | 21,943 | 15,238 | 11,195 | 8,57148 | |
| Ac, ft2 | 156,45 | 156,45 | 156,45 | 156,451 | |
| Uo1, fps | 9,7322 | 14,014 | 19,075 | 24,9143 | |
| gc | 32,2 | 32,2 | 32,2 | 32,2 | |
| 12(rho-V/rho-L) | 0,6257 | 0,6257 | 0,6257 | 0,62572 | |
| 1,14(Uo1^2/2gc) | 1,6766 | 3,4767 | 6,4409 | 10,988 | |

| | | | | |
|------------------------|--------|--------|--------|---------|
| 0,4(1,25-Ao/Ac) | 0,4439 | 0,461 | 0,4714 | 0,47809 |
| 1-(Ao/Ac) ² | 0,9803 | 0,9905 | 0,9949 | 0,997 |
| hp, in | 1,4942 | 3,1577 | 5,9093 | 10,1418 |
| hr, in | 0,4776 | 0,4776 | 0,4776 | 0,47765 |
| ht, in | 6,1184 | 7,782 | 10,534 | 14,766 |

2. Periksa Down Comer back up

$$H_d = hl_1 + h_t + h_d$$

$$\frac{Hd}{T + h_w} \leq 0,5$$

$$\frac{0,8[\text{how max } x (T + h_w - H_d)^{0,5}]}{H} \leq 0,6$$

| Syarat | n | 2,5 | 3 | 3,5 | 4 |
|---------|-----------|--------|--------|--------|--------|
| | 0,5(T+hw) | 8,75 | 8,75 | 8,75 | 8,75 |
| 15,75 > | Hd | 10,38 | 12,044 | 14,796 | 19,028 |
| | 0,6 H | 10,8 | 10,8 | 10,8 | 10,8 |
| 13,68 > | tw | 3,4726 | 3,04 | 2,1403 | #NUM! |

3. Periksa Faktor Weeping (hpw)

$$h_{pm} = \left(12 \times \left(\frac{\rho_v}{\rho_L} \right) \times 1,14 \times \left(\frac{U_{o_2}^2}{2g_c} \right) \right) \times \left(\left(0,4 \times \left(1,25 - \frac{A_o}{A_c} \right) \right) + \left(1 - \frac{A_o}{A_c} \right)^{0,5} \right)$$

$$Uo_2 = \frac{V_{min}}{A_o}$$

$$h_{pw} = 0,2 + 0,05 hl_{max}$$

| Syarat | n | 2,5 | 3 | 3,5 | 4 |
|-----------------------------|---------|--------|--------|---------|---------|
| Ao, ft2 | 21,943 | 15,238 | 11,195 | 8,57148 | |
| Ac, ft2 | 156,45 | 156,45 | 156,45 | 156,451 | |
| Uo2, fps | 5,2404 | 7,5462 | 10,271 | 13,4154 | |
| gc | 32,2 | 32,2 | 32,2 | 32,2 | |
| 12(rho-V/rho-L) | 0,6257 | 0,6257 | 0,6257 | 0,62572 | |
| 1,14(Uo2 ² /2gc) | 0,4861 | 1,008 | 1,8675 | 3,18586 | |
| 0,4(1,25-Ao/Ac) | 0,4439 | 0,461 | 0,4714 | 0,47809 | |
| 1-(Ao/Ac) ² | 0,9803 | 0,9905 | 0,9949 | 0,997 | |
| hpm, in | 0,4332 | 0,9156 | 1,7134 | 2,94051 | |
| hpm > | hpw, in | 0,4073 | 0,4073 | 0,4073 | 0,40733 |

4. Periksa Flooding (Uvn) dan Entrainment (e)

$$e = 0,22 \left(\frac{73}{\sigma} \right) \left(\frac{\left(\frac{V_{max}}{A_c} \right)}{T_e} \right)^{3,2}$$

$$= 0,22 \left(\frac{73}{\sigma} \right) \left(\frac{\left(\frac{V_{max}}{A_c} \right)}{T - 2,5h_{lmax}} \right)^{3,2} \leq 0,1 \downarrow$$

$$e = 0,0011$$

$$\psi = \frac{e}{1-e}$$

$$= 0,0011$$

$$\frac{L}{V} \left(\frac{\rho_V}{\rho_L} \right)^{0,5} = 0,1656$$

Dari grafik 8-138 Ludwig, didapatkan :

%Flooding = 69 % (Untuk non foaming, flooding maksimum 85%)

Tinggi Kolom

Tinggi Kolom Bagian Atas $Z_1 = 3$ ft

Tinggi Kolom Plate $Z_2 = S$ (jumlah plate-1)
 $= 22,7$ ft

Tinggi Kolom Bawah $Z_3 = (Q/At)*\theta$ Asumsi $\theta = 10$ menit
 $= 14$ ft

Total Tinggi $Z = 39,7$ ft

Tebal Shell

Bahan konstruksi : SA 299

$f = 18750$ psi

$C = 0,125$

$E = 0,8$ Double Welded Butt Joint

$$P_{op} = 20 \text{ bar}$$

$$= 290 \text{ psia}$$

$$= 275,3 \text{ psig}$$

$$P_d = 1,1 \times P_{op}$$

$$= 302,83 \text{ psig}$$

$$ts = \frac{P_d \times d_o}{2(fE + 0,6 P_d)} + C$$

$$= 1,5612 \text{ in}$$

$$= 2 \text{ in}$$

| Spesifikasi D-401 | |
|----------------------|------------------------------|
| Keterangan | Ukuran |
| Bahan | SA 299 |
| Diameter <i>Tray</i> | 12 ft 144 in |
| <i>Layout</i> | Double Pass |
| <i>Tray Spacing</i> | 1,3333 ft 16 in |
| Tinggi Kolom | 39,658 ft 37 ft 444 in |
| L/D | 0,5 |
| n | 2,5 |
| Tebal Shell | 2 in |

absorber asli

$\rho_L = 65,32 \text{ lb/ft}^3$

$\rho_V = 3,406 \text{ lb/ft}^3$

$\sigma = 43,43 \text{ dyne/cm}$

$Q = 18656,05274 \text{ lb/min}$

285,610 ft³/min

2136,4 gallon/min

$V = 33570,48625 \text{ lb/min}$

9856,279 ft³/min

164,27 cfs

Jumlah Plat= 18 buah

Amine Regenerator asli

ρ_L = # lb/ft³

ρ_V = 0 lb/ft³

σ = 37,1 dyne/cm

Q = 18411,93416 lb/min

292,764 ft³/min

2189,9 gallon/min

V = 2480,022476 lb/min

13619,014 ft³/min

226,98 cfs

Jumlah Plat= 18 buah

Demethanizer asli

$\rho_L = 35,22 \text{ lb/ft}^3$

$\rho_V = 1,497 \text{ lb/ft}^3$

$\sigma = 14,38 \text{ dyne/cm}$

$Q = 7551,47745 \text{ lb/min}$

214,409 ft³/min

1603,8 gallon/min

$V = 17891,35099 \text{ lb/min}$

11951,47 ft³/min

199,19 cfs

Jumlah Plat = 25 buah

Deethanizer asli

ρ_L = 36,34 lb/ft³

ρ_V = 2,144 lb/ft³

σ = 13,76 dyne/cm

Q = 5747,269358 lb/min
158,153 ft³/min

1183 gallon/min

V = 8427,454852 lb/min
3930,7159 ft³/min

65,512 cfs

Jumlah Plate = 16 buah

10. Pre Compressor Flash Separator (F-210)

16

Fungsi: Untuk memisahkan fase gas dan liquid dari Process gas

Keterangan aliran:

Arus 14: *Process Gas*

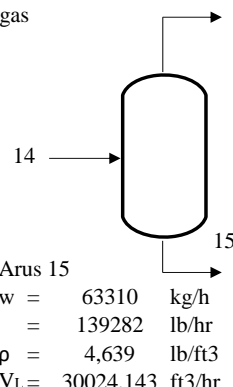
Arus 16: Fase gas dari arus 14

Arus 15: Fase liquid dari arus 14

Kondisi Operasi:

Suhu: 45 Celcius = 113 Fahrenheit

Tekanan: 4 bar = 58,0151 psia



Arus 14

$$w = 294800 \text{ kg/h}$$

$$= 648560 \text{ lb/hr}$$

$$\rho = 2,792 \text{ lb/ft}^3$$

$$V_f = 232292,264 \text{ ft}^3/\text{hr}$$

Arus 16

$$w = 231490 \text{ kg/h}$$

$$= 509278 \text{ lb/hr}$$

$$\rho = 0,2327 \text{ lb/ft}^3$$

$$V_v = 2188560,38 \text{ ft}^3/\text{hr}$$

Arus 15

$$w = 63310 \text{ kg/h}$$

$$= 139282 \text{ lb/hr}$$

$$\rho = 4,639 \text{ lb/ft}^3$$

$$V_L = 30024,143 \text{ ft}^3/\text{hr}$$

Menentukan Dimensi Tangki

Dengan menggunakan mist eliminator, maka $K_v = 0,35 \text{ ft/s}$

$$v_v = k_v \left(\frac{\rho_L' - \rho_v'}{\rho_v'} \right)^{1/2} \quad (\text{Silla, 2003})$$

$$v = 1,5230245 \text{ ft/s}$$

$$V = A \times v$$

$$A = 399,16196 \text{ ft}^2$$

$$A = \pi D^2 / 4$$

$$\text{Diameter Tangki} = D = 22,549647 \text{ ft}$$

$$= 270,59576 \text{ in} = 6,87 \text{ m}$$

$$L/D = 2 \quad (\text{Silla, 2003})$$

$$\text{Tinggi Tangki} = L = 541,19153 \text{ in} = 13,7 \text{ m}$$

Menentukan Tekanan Desain (P_d)

Tekanan design tangki sama dengan tekanan operasi ditambah dengan tekanan hidrostatic bahan

$$P_{\text{Operasi}} = 58,0151 \text{ psia}$$

$$P_{\text{Hydro}} = \rho_L \times g \times L_L$$

$$= \frac{614,762}{144}$$

$$= 4,26918 \text{ psia}$$

$$P_{\text{Total}} = 62,2843 \text{ psia} = 47,5843 \text{ psig}$$

$$P_{\text{Desain}} = 1,10 \times P_{\text{Total}} \quad (\text{Coulson & Richardson, p.810})$$

$$= 52,343 \text{ psig}$$

Menentukan Ketebalan Silinder

Dipergunakan bahan yang terbuat dari carbon steel SA 299 dengan spesifikasi :

(Tabel 13.1, Brownell & Young hal : 251)

$$f = 18750 \text{ psi}$$

$$E = 0,8 \text{ double welded butt joint} \quad (\text{Tabel 2.1, Kusnarjo, hal 14})$$

$$C = 0,0625 \text{ in} \quad (\text{Kusnarjo, hal 14})$$

$$ts = \frac{Pd \times ri}{(f E - 0,6 Pd)} + C \quad (\text{Brownell & Young, Pers. 13.1, p 254})$$

dimana :

ts = Tebal minimum silinder, in

Pd = Tekanan Design, psi

f = Allowable stress maksimum, psi

ri = Radius dalam silinder, in

E = Effisiensi sambungan las

C = Tebal korosi, in

$$\begin{aligned} ts &= \frac{Pd \times ri}{(f E - 0,6 Pd)} + C \\ &= 0,473 + 0,0625 \\ &= 0,536 \text{ in} = 1/2 \text{ in} \\ &= 5/8 \text{ in (standarisasi)} \quad (\text{Brownell, Table 5.7, p 90}) \\ &= 0,0159 \text{ meter} \end{aligned}$$

$$OD = ID + 2 t_{\text{silinder}}$$

$$OD = 270,596 + 2 \times 0,536$$

$$OD = 271,667 \text{ in}$$

$$= 276 \text{ in (standarisasi)} \quad (\text{Brownell, Table 5.7, p 91})$$

$$= 7,0104 \text{ meter}$$

Karena tidak ada standar OD diatas 240 in maka flash separator di paralel 2 buah

Sehingga :

Arus 31

| | Arus 31 | Arus 32 | Arus 33 |
|------------------|--------------------------------|---|--|
| w = | 147400 kg/h | w = 115745 kg/h | w = 31655 kg/h |
| = | 324280 lb/hr | = 254639 lb/hr | = 69641 lb/hr |
| p = | 2,792 lb/ft ³ | p = 0,2327 lb/ft ³ | p = 4,639 lb/ft ³ |
| V _f = | 116146,132 ft ³ /hr | V _v = 1094280,19 ft ³ /hr | V _L = 15012,072 ft ³ /hr |

Menentukan Dimensi Tangki

Dengan menggunakan mist eliminator, maka Kv = 0,35 ft/s

$$v_v = k_v \left| \frac{\rho_L' - \rho_v'}{\rho_v'} \right|^{1/2} \quad (\text{Silla, 2003})$$

$$v = 1,5230245 \text{ ft/s}$$

$$V = A \times v$$

| | | | |
|-------------------|-----|---|---------------------------|
| | A | = | 199,58098 ft ² |
| | A | = | $\pi D^2/4$ |
| Diameter Tangki = | D | = | 15,945008 ft |
| | | = | 191,3401 in = 4,86 m |
| | L/D | = | 2 (Silla, 2003) |
| Tinggi Tangki = | L | = | 382,6802 in = 9,72 m |

Menentukan Tekanan Desain (P_d)

Tekanan design tangki sama dengan tekanan operasi ditambah dengan tekanan hidrostatic bahan

$$\begin{aligned}
 P \text{ Operasi} &= 58,0151 \text{ psia} \\
 P \text{ Hydro} &= \rho_L \times g \times L_L \\
 &= \frac{434,702}{144} \\
 &= 3,01876 \text{ psia} \\
 P \text{ Total} &= 61,0339 \text{ psia} = 46,3339 \text{ psig} \\
 P \text{ Desain} &= 1,10 \times P \text{ Total} \quad (\text{Coulson \& Richardson, p.810}) \\
 &= 50,967 \text{ psig}
 \end{aligned}$$

Menentukan Ketebalan Silinder

Dipergunakan bahan yang terbuat dari carbon steel SA 299 dengan spesifikasi :

(Tabel 13.1, Brownell & Young hal : 251)

$$\begin{aligned}
 f &= 18750 \text{ psi} \\
 E &= 0,8 \quad \text{double welded butt joint} \quad (\text{Tabel 2.1, Kusnarjo, hal 14}) \\
 C &= 0,0625 \text{ in} \quad (\text{Kusnarjo, hal 14})
 \end{aligned}$$

$$ts = \frac{Pd \times ri}{(fE - 0,6Pd)} + C \quad (\text{Brownell \& Young, Pers. 13.1, p254})$$

dimana :

- ts = Tebal minimum silinder, in
- Pd = Tekanan Design, psi
- f = Allowable stress maksimum, psi
- ri = Radius dalam silinder, in
- E = Effisiensi sambungan las
- C = Tebal korosi, in

$$\begin{aligned}
 ts &= \frac{Pd \times ri}{(fE - 0,6Pd)} + C \\
 &= \frac{0,326}{0,388} + 0,0625 \\
 &= 0,388 \text{ in} = \frac{2}{5} \text{ in} \\
 &= \frac{5}{8} \text{ in} \quad (\text{standarisasi}) \quad (\text{Brownell, Table 5.7, p 90}) \\
 &= 0,0159 \text{ meter}
 \end{aligned}$$

$$\begin{aligned}
 OD &= ID + 2t_{\text{silinder}} \\
 OD &= 191,34 + 2 \times 0,388 \\
 OD &= 192,117 \text{ in}
 \end{aligned}$$

$$= 204 \text{ in} \quad (\text{standarisasi}) \quad (\text{Brownell, Table 5.7, p 91})$$

$$= 5,182 \text{ meter}$$

Menentukan Dimensi Tutup (dished head)

$$\begin{aligned} \text{OD} &= 204 \text{ in} \\ \text{rc} &= 170 \text{ in} \quad (\text{Brownell, Tabel 5.7, p 91}) \quad \text{sesuai ts = 3} \\ \text{icr} &= 11 \text{ in} \quad (\text{Brownell, Table 5.7, p 91}) \end{aligned}$$

$$\begin{aligned} t_{\text{head}} &= \frac{0,885 \times Pd \times rc}{(fE - 0,1 Pd)} + C \\ t_{\text{head}} &= 0,51 + 1/16 \\ t_{\text{head}} &= 0,574 \text{ in} \\ t_{\text{head}} &= 5/8 \text{ in} \quad (\text{standarisasi}) \quad (\text{Brownell, Table 5.7, p 90}) \\ t_{\text{head}} &= 0,016 \text{ m} \end{aligned}$$

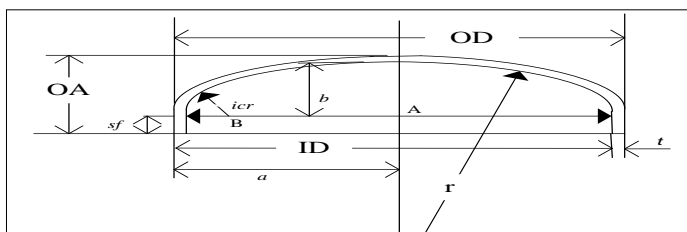
$$\text{Tinggi Total} = (2 \times \text{Tinggi tutup}) + \text{Tinggi silinder}$$

$$\begin{aligned} L_T &= (2 \times Lh) + L_s \\ Lh &= b + sf + th \\ b &= r - (BC^2 - AB^2)^{0,5} \end{aligned}$$

$$\begin{aligned} \text{untuk, OD} &= 204 \text{ in} \\ th &= 5/8 \text{ in} \\ sf &= 1 1/2 \text{ in} \quad (\text{Brownell, Table 5.6, p 88}) \end{aligned}$$

$$\begin{aligned} BC &= r - icr = 159,000 \text{ in} \\ AB &= Di/2 - icr = 90,375 \text{ in} \\ b &= 170 - 130,818 \\ &= 39,182 \text{ in} \\ Lh &= b + sf + th \\ &= 39,182 + 1 1/2 + 0,625 \\ &= 41,307 \text{ in} \end{aligned}$$

$$\begin{aligned} L_T &= 2 \times Lh + L_s \\ &= 82,614 + 382,680 \\ &= 465,294 \text{ in} \\ &= 11,818 \text{ m} \end{aligned}$$





Gambar 2. Dimensi dari dished head

| | | |
|---------------------|---|-------------------------------------|
| Keliling ID | = | 15,26 m |
| Keliling OD | = | 16,27 m |
| Volume bahan tabung | = | 2,511 m ³ (Kell OD*L*ts) |
| ρ carbon steel | = | 7850 kg/m ³ |
| Mass shell | = | 19708 kg |
| | = | 43448,6645 pound |

| Spesifikasi | Keterangan | |
|---------------------------|---|-------|
| No. kode | F-210 | |
| Fungsi | Untuk memisahkan fase gas dan liquid dari Process gas | |
| Tipe | Vertikal Separator | |
| Tekanan desain | 50,967 | psia |
| Outside Diameter standart | 204 | in |
| Tebal silinder | 0,63 | in |
| Tebal tutup atas/ bawah | 0,63 | in |
| Panjang bejana | 2 | in |
| Panjang Tutup Atas | 41 | in |
| Panjang Tutup Bawah | 41 | in |
| Bahan Konstruksi | ASME SA-167 Grade 3 Tipe 304 | |
| Jumlah | 1 | |
| Kapasitas | 294.800 | kg/hr |

15. 1st Stage Flash Separator (F-211)

20

Fungsi: Untuk memisahkan fase gas dan liquid dari 1st Stage Compressor

Keterangan aliran:

Arus 18: Process gas

Arus 20: Fase gas dari arus 18

Arus 19: Fase liquid dari arus 18

Kondisi Operasi:

Suhu: 45 Celcius = 113 Fahrenheit

Tekanan: 7,6 bar = 110,229 psia

Arus 35b

$$w = 231500 \text{ kg/h}$$

$$= 509300 \text{ lb/hr}$$

$$\rho = 0,368 \text{ lb/ft}^3$$

$$V_f = 1383967,39 \text{ ft}^3/\text{hr}$$

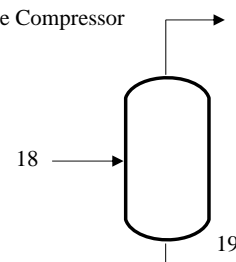
Arus 35

$$w = 229155 \text{ kg/h}$$

$$= 504141 \text{ lb/hr}$$

$$\rho = 0,2131 \text{ lb/ft}^3$$

$$V_v = 2365748,47 \text{ ft}^3/\text{hr}$$



Arus 35c

$$w = 170000 \text{ kg/h}$$

$$= 374000 \text{ lb/hr}$$

$$\rho = 18,7 \text{ lb/ft}^3$$

$$VI = 20000 \text{ ft}^3/\text{hr}$$

Menentukan Dimensi Tangki

Dengan menggunakan mist eliminator, maka $K_v = 0,35 \text{ ft/s}$

$$v_v = k_v \left| \frac{\rho_{L'} - \rho_{V'}}{\rho_{V'}} \right|^{1/2} \quad (\text{Silla, 2003})$$

| | | |
|-------------------|-------|---------------------------|
| v | = | 3,2599307 ft/s |
| V | = | $A \times v$ |
| A | = | 201,58476 ft ² |
| A | = | $\pi D^2 / 4$ |
| Diameter Tangki = | D | = 16,024852 ft |
| | | = 192,29822 in = 4,88 m |
| | L/D | = 2 |
| Tinggi Tangki = | L | = 384,59644 in = 9,77 m |

(Silla, 2003)

Menentukan Tekanan Desain (Pd)

Tekanan design tangki sama dengan tekanan operasi ditambah dengan tekanan hidrostatic bahan

| | | |
|-----------|---|---|
| P Operasi | = | 110,229 psia |
| P Hydro | = | $\rho L \times g \times LL$ |
| | = | <u>57,583</u> |
| | | 144 |
| | = | 0,39988 psia |
| P Total | = | 110,629 psia |
| P Desain | = | $1,10 \times P_{\text{Total}}$ (Coulson & Richardson, p.810) |
| | = | 105,521 psig |

Menentukan Ketebalan Silinder

Dipergunakan bahan yang terbuat dari carbon steel SA 299 dengan spesifikasi :

(Tabel 13.1, Brownell & Young hal : 251)

| | |
|--|-------------------------------|
| $f = 18750 \text{ psi}$ | |
| $E = 0,8 \text{ double welded butt joint}$ | (Tabel 2.1, Kusnarjo, hal 14) |
| $C = 0,0625 \text{ in}$ | (Kusnarjo, hal 14) |

$$ts = \frac{P_d \times ri}{(f E - 0,6 P_d)} + C \quad (\text{Brownell} \& \text{Young}, \text{Pers.13.1,p254})$$

dimana :

- ts = Tebal minimum silinder, in
- Pd = Tekanan Design, psi
- f = Allowable stress maksimum, psi
- ri = Radius dalam silinder, in
- E = Effisiensi sambungan las
- C = Tebal korosi, in

$$ts = \frac{P_d \times ri}{(f E - 0,6 P_d)} + C$$

$$\begin{aligned}
 & (f E - 0,6 Pd) \\
 & = 0,679 + 0,0625 \\
 & = 0,742 \text{ in} = \frac{3}{4} \text{ in} \\
 & = \frac{3}{8} \text{ in (standarisasi)} \quad (\text{Brownell,Table 5.7,p 90}) \\
 & = 0,0095 \text{ meter}
 \end{aligned}$$

$$\begin{aligned}
 OD & = ID + 2t \text{ silinder} \\
 OD & = 192,298 + 2 \times 0,742 \\
 OD & = 193,782 \text{ in} \\
 & = 204 \text{ in (standarisasi)} \quad (\text{Brownell,Table 5.7,p 91}) \\
 & = 5,182 \text{ meter}
 \end{aligned}$$

Menentukan Dimensi Tutup (dished head)

$$\begin{aligned}
 OD & = 204 \text{ in} \\
 rc & = 108 \text{ in} \quad (\text{Brownell, Tabel 5.7,p 91}) \quad \text{sesuai ts} = 3 \\
 icr & = 6 \frac{7}{8} \text{ in} \quad (\text{Brownell,Table 5.7,p 91})
 \end{aligned}$$

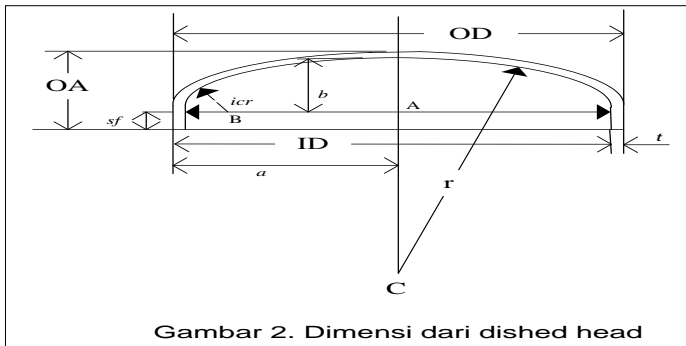
$$\begin{aligned}
 t \text{ head} & = \frac{0,885 \times Pd \times rc}{(f E - 0,1 Pd)} + C \\
 t \text{ head} & = 0,67 + 1/16 \\
 t \text{ head} & = 0,735 \text{ in} \\
 t \text{ head} & = \frac{3}{8} \text{ in (standarisasi)} \quad (\text{Brownell,Table 5.7,p 90}) \\
 t \text{ head} & = 0,010 \text{ m}
 \end{aligned}$$

$$\begin{aligned}
 \text{Tinggi Total} & = (2 \times \text{Tinggi tutup}) + \text{Tinggi silinder} \\
 LT & = (2 \times Lh) + Ls \\
 Lh & = b + sf + th \\
 b & = r - (BC^2 - AB^2)0,5
 \end{aligned}$$

$$\begin{aligned}
 \text{untuk, OD} & = 204 \text{ in} \\
 th & = \frac{3}{8} \text{ in} \\
 sf & = 1 \frac{1}{2} \text{ in} \quad (\text{Brownell,Table 5.6,p 88})
 \end{aligned}$$

$$\begin{aligned}
 BC & = r - icr = 101,125 \text{ in} \\
 AB & = Di/2 - icr = 94,750 \text{ in} \\
 b & = 108 - 35,337 \\
 & = 72,663 \text{ in} \\
 Lh & = b + sf + th \\
 & = 72,663 + 1,5 + 0,375 \\
 & = 74,538 \text{ in}
 \end{aligned}$$

$$\begin{aligned}
 LT & = 2 \times Lh + Ls \\
 & = 149,076 + 384,596 \\
 & = 533,672 \text{ in} \\
 & = 13,555 \text{ m}
 \end{aligned}$$



Gambar 2. Dimensi dari dished head

| | | |
|---------------------|---|-------------------------------------|
| Keliling ID | = | 15,34 m |
| Keliling OD | = | 16,27 m |
| Volume bahan tabung | = | 1,514 m ³ (Kell OD*L*ts) |
| ρ carbon steel | = | 7850 kg/m ³ |
| Mass shell | = | 11884 kg |
| | = | 26199,7386 pound |

| Spesifikasi | Keterangan | |
|---------------------------|--|-------|
| No. kode | F-211 | |
| Fungsi | Untuk memisahkan fase gas dan liquid dari 1st Stage Compressor | |
| Tipe | Vertikal Separator | |
| Tekanan desain | 105,521 | psia |
| Outside Diameter standart | 204 | in |
| Tebal silinder | 0,38 | in |
| Tebal tutup atas/ bawah | 0,38 | in |
| Panjang bejana | 385 | in |
| Panjang Tutup Atas | 75 | in |
| Panjang Tutup Bawah | 75 | in |
| Bahan Konstruksi | ASME SA-167 Grade 3 Tipe 304 | |
| Jumlah | 1 | |
| Kapasitas | 231.500 | kg/hr |

16. 2nd Stage Flash Separator

Fungsi: Untuk memisahkan fase gas dan liquid dari 2nd Stage Compressor

Keterangan aliran:

Arus 22: Process Gas

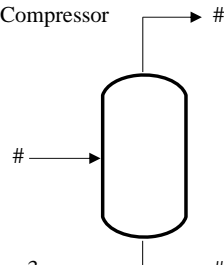
Arus 24: Fase gas dari arus 22

Arus 23: Fase liquid dari arus 22

Kondisi Operasi:

Suhu: 32 Celcius = 89,6 Fahrenheit

Tekanan: 12 bar = 174,045 psia



Arus 1

$$w = 229000 \text{ kg/h}$$

$$= 503800 \text{ lb/hr}$$

$$\rho = 3,2830 \text{ lb/ft}^3$$

$$V_f = 153457,204 \text{ ft}^3/\text{hr}$$

Arus 2

$$w = 227134 \text{ kg/h}$$

$$= 499694,8 \text{ lb/hr}$$

$$\rho = 3,2360 \text{ lb/ft}^3$$

$$V_v = 154417,429 \text{ ft}^3/\text{hr}$$

Arus 3

$$w = 1866 \text{ kg/h}$$

$$= 4105,2 \text{ lb/hr}$$

$$\rho = 35,78 \text{ lb/ft}^3$$

$$V_l = 114,73449 \text{ ft}^3/\text{hr}$$

Menentukan Dimensi Tangki

Dengan menggunakan mist eliminator, maka $K_v = 0,35 \text{ ft/s}$

$$v_v = k_v \left(\frac{\rho_L' - \rho_v'}{\rho_v'} \right)^{1/2} \quad (\text{Silla, 2003})$$

$$v = 1,1099394 \text{ ft/s}$$

$$V = A \times v$$

$$A = 38,645111 \text{ ft}^2$$

$$A = \pi D^2 / 4$$

$$\text{Diameter Tangki} = D = 7,0163695 \text{ ft}$$

$$= 84,196434 \text{ in} = 2,14 \text{ m}$$

$$L/D = 2 \quad (\text{Silla, 2003})$$

$$\text{Tinggi Tangki} = L = 168,39287 \text{ in} = 4,28 \text{ m}$$

Menentukan Tekanan Desain (Pd)

Tekanan design tangki sama dengan tekanan operasi ditambah dengan tekanan hidrostatic bahan

$$P_{\text{Operasi}} = 174,045 \text{ psia}$$

$$P_{\text{Hydro}} = \rho L \times g \times LL$$

$$= \frac{224,924}{144}$$

$$= 1,56197 \text{ psia}$$

$$P_{\text{Total}} = 175,607 \text{ psia} = 160,907 \text{ psig}$$

$$P_{\text{Desain}} = 1,10 \times P_{\text{Total}} \quad (\text{Coulson & Richardson, p.810})$$

$$= 176,998 \text{ psig}$$

Menentukan Ketebalan Silinder

Dipergunakan bahan yang terbuat dari stainless steel SA 336, Grade F25, Type 310 dengan spesifikasi :

$$\begin{aligned} f &= 23750 \text{ psi } (\text{Tabel 13.1, Brownell \& Young hal : 342}) \\ E &= 0,8 \quad \text{double welded butt joint} \quad (\text{Tabel 2.1, Kusnarjo, hal 14}) \\ C &= 0,0625 \text{ in} \quad (\text{Kusnarjo, hal 14}) \end{aligned}$$

$$ts = \frac{Pd \times ri}{(fE - 0,6 Pd)} + C \quad (\text{Brownell \& Young, Pers. 13.1, p 254})$$

dimana :

- ts = Tebal minimum silinder, in
- Pd = Tekanan Design, psi
- f = Allowable stress maksimum, psi
- ri = Radius dalam silinder, in
- E = Effisiensi sambungan las
- C = Tebal korosi, in

$$\begin{aligned} ts &= \frac{Pd \times ri}{(fE - 0,6 Pd)} + C \\ &= \frac{0,394}{0,394} + 0,0625 \\ &= 0,457 \text{ in} = 1/2 \text{ in} \\ &= 1/2 \text{ in (standarisasi)} \quad (\text{Brownell, Table 5.7, p 90}) \\ &= 0,0116 \text{ meter} \end{aligned}$$

$$\begin{aligned} OD &= ID + 2t \text{ silinder} \\ OD &= 84,1964 + 2 \times 0,457 \\ OD &= 85,110 \text{ in} \\ &= 90 \text{ in (standarisasi)} \quad (\text{Brownell, Table 5.7, p 91}) \\ &= 2,286 \text{ meter} \end{aligned}$$

Menentukan Dimensi Tutup (dished head)

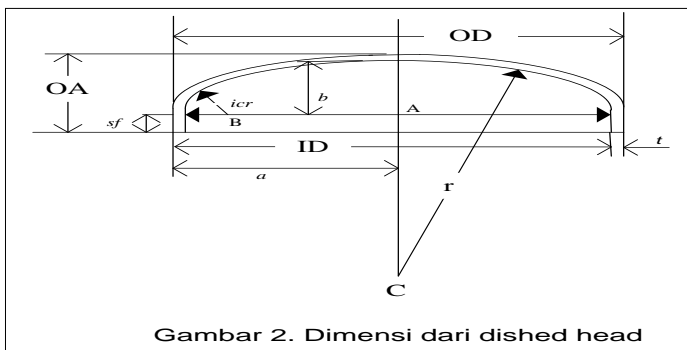
$$\begin{aligned} OD &= 90 \text{ in} \\ rc &= 144 \text{ in } (\text{Brownell, Tabel 5.7, p 91}) \quad \text{sesuai } ts = 3 \\ icr &= 9 \frac{3}{8} \text{ in } (\text{Brownell, Table 5.7, p 91}) \end{aligned}$$

$$\begin{aligned} t \text{ head} &= \frac{0,885 \times Pd \times rc}{(fE - 0,1 Pd)} + C \\ t \text{ head} &= 1,19 + 1/16 \\ t \text{ head} &= 1,251 \text{ in} \\ t \text{ head} &= 1 \frac{3}{8} \text{ in (standarisasi)} \quad (\text{Brownell, Table 5.7, p 90}) \\ t \text{ head} &= 0,032 \text{ m} \end{aligned}$$

$$\begin{aligned} \text{Tinggi Total} &= (2 \times \text{Tinggi tutup}) + \text{Tinggi silinder} \\ LT &= (2 \times Lh) + Ls \\ Lh &= b + sf + th \\ b &= r - (BC2 - AB2)0,5 \end{aligned}$$

untuk, OD = 90 in
 th = 1 in
 sf = 1 1/2 in (*Brownell, Table 5.6, p 88*)

$$\begin{aligned}
 BC &= r - icr = 134,625 \text{ in} \\
 AB &= Di/2 - icr = 32,723 \text{ in} \\
 b &= 144 - 130,587 \\
 &= 13,413 \text{ in} \\
 Lh &= b + sf + th \\
 &= 13,413 + 1,5 + 1,251 \\
 &= 16,163 \text{ in} \\
 LT &= 2 \times Lh + Ls \\
 &= 32,327 + 168,393 \\
 &= 200,720 \text{ in} \\
 &= 5,098 \text{ m}
 \end{aligned}$$



Gambar 2. Dimensi dari dished head

$$\begin{aligned}
 \text{Keliling ID} &= 6,72 \text{ m} \\
 \text{Keliling OD} &= 7,18 \text{ m} \\
 \text{Volume bahan tabung} &= 0,356 \text{ m}^3 \quad (\text{Kell OD} \times \text{L} \times ts) \\
 \rho_{\text{carbon steel}} &= 7850 \text{ kg/m}^3 \\
 \text{Mass shell} &= 2796,8 \text{ kg} \\
 &= 6165,90366 \text{ pound}
 \end{aligned}$$

| Spesifikasi | Keterangan | |
|---------------------------|--|-------|
| No. kode | F-212 | |
| Fungsi | Untuk memisahkan fase gas dan liquid dari 2nd Stage Compressor | |
| Tipe | Vertikal Separator | |
| Tekanan desain | 176,998 | psia |
| Outside Diameter standart | 90 | in |
| Tebal silinder | 0,50 | in |
| Tebal tutup atas/ bawah | 1,38 | in |
| Panjang bejana | 168 | in |
| Panjang Tutup Atas | 16 | in |
| Panjang Tutup Bawah | 16 | in |
| Bahan Konstruksi | ASME SA-167 Grade 3 Tipe 304 | |
| Jumlah | 1 | |
| Kapasitas | 229.000 | kg/hr |

17. 3rd Stage Flash Separator

Fungsi: Untuk memisahkan fase gas dan liquid dari 2nd Stage Compressor

Keterangan aliran:

Arus 26: Process Gas

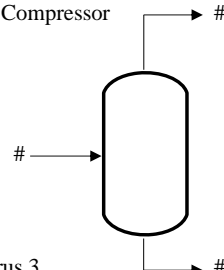
Arus 28: Fase gas dari arus 26

Arus 27: Fase liquid dari arus 26

Kondisi Operasi:

Suhu: 32 Celcius = 89,6 Fahrenheit

Tekanan: 35 bar = 507,632 psia



| Arus 1 | Arus 2 | Arus 3 |
|------------------------------------|-------------------------------------|-----------------------------------|
| w = 227200 kg/h | w = 226672,4 kg/h | w = 527,6 kg/h |
| = 499840 lb/hr | = 498679,28 lb/hr | = 1160,72 lb/hr |
| ρ = 3,2830 lb/ft ³ | ρ = 3,2360 lb/ft ³ | ρ = 35,78 lb/ft ³ |
| Vf = 152250,99 ft ³ /hr | Vv = 154103,609 ft ³ /hr | VI = 32,44047 ft ³ /hr |

Menentukan Dimensi Tangki

Dengan menggunakan mist eliminator, maka Kv = 0,35 ft/s

$$V_v = k_v \left(\frac{\rho_L' - \rho_v'}{\rho_v'} \right)^{1/2} \quad (\text{Silla, 2003})$$

$$V = A \times v$$

$$A = 38,566574 \text{ ft}^2$$

$$A = \pi D^2 / 4$$

$$\begin{aligned} \text{Diameter Tangki} &= D \\ &= 7,0092363 \text{ ft} \\ &= 84,110835 \text{ in} = 2,14 \text{ m} \end{aligned}$$

$$\begin{array}{lcl} \text{Tinggi Tangki} & = & \frac{\text{L/D}}{\text{L}} = \frac{2}{168,22167 \text{ in}} = 4,27 \text{ m} \end{array} \quad (\text{Silla, 2003})$$

Menentukan Tekanan Desain (Pd)

Tekanan design tangki sama dengan tekanan operasi ditambah dengan tekanan hidrostatic bahan

$$\begin{array}{lcl} \text{P Operasi} & = & 507,632 \text{ psia} \\ \text{P Hydro} & = & \rho L \times g \times LL \\ & = & \frac{224,695}{144} \\ & = & 1,56038 \text{ psia} \\ \text{P Total} & = & 509,193 \text{ psia} = 494,493 \text{ psig} \\ \text{P Desain} & = & 1,10 \times \text{P Total} \quad (\text{Coulson \& Richardson, p.810}) \\ & = & 543,942 \text{ psig} \end{array}$$

Menentukan Ketebalan Silinder

Dipergunakan bahan yang terbuat dari stainless steel SA 336, Grade F25, Type 310 dengan spesifikasi :

$$\begin{array}{ll} f & = 23750 \text{ psi } (\text{Tabel 13.1, Brownell \& Young hal : 342}) \\ E & = 0,8 \text{ double welded butt joint } (\text{Tabel 2.1, Kusnarjo, hal 14}) \\ C & = 0,0625 \text{ in } (\text{Kusnarjo, hal14}) \end{array}$$

$$ts = \frac{Pd \times ri}{(fE - 0,6 Pd)} + C \quad (\text{Brownell\&Young,Pers.13.1,p254})$$

dimana :

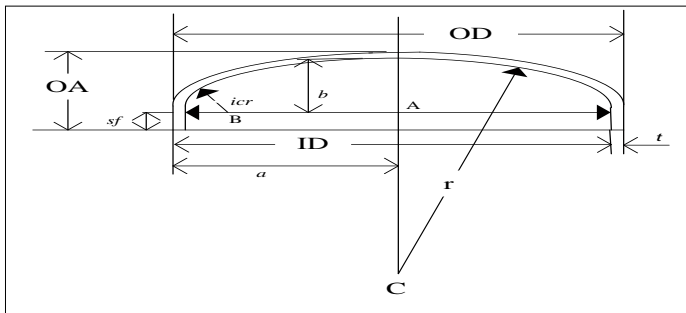
- ts = Tebal minimum silinder, in
- Pd = Tekanan Design, psi
- f = Allowable stress maksimum, psi
- ri = Radius dalam silinder, in
- E = Effisiensi sambungan las
- C = Tebal korosi, in

$$\begin{array}{lcl} ts & = & \frac{Pd \times ri}{(fE - 0,6 Pd)} + C \\ & = & 1,225 + 0,0625 \\ & = & 1,288 \text{ in} = 1 \frac{2}{7} \text{ in} \\ & = & 1 \frac{3}{8} \text{ in } (\text{standarisasi}) \quad (\text{Brownell,Table 5.7,p 90}) \\ & = & 0,0327 \text{ meter} \end{array}$$

$$\begin{array}{lcl} \text{OD} & = & \text{ID} + 2t \text{ silinder} \\ \text{OD} & = & 84,1108 + 2 \times 1,288 \\ \text{OD} & = & 86,686 \text{ in} \\ & = & 90 \text{ in } (\text{standarisasi}) \quad (\text{Brownell,Table 5.7,p 91}) \\ & = & 2,286 \text{ meter} \end{array}$$

Menentukan Dimensi Tutup (dished head)

| | | | | |
|--------------|---|---|---|---------------|
| OD | = | 90 | in | |
| rc | = | 84 | in (Brownell, Tabel 5.7,p 91) | sesuai ts = 3 |
| icr | = | 5 1/2 | in (Brownell,Table 5.7,p 91) | |
| t head | = | $\frac{0,885 \times Pd \times rc}{(fE - 0,1 Pd)} + C$ | | |
| t head | = | 2,13 | + 1/16 | |
| t head | = | 2,197 | in | |
| t head | = | 2 1/4 | in (standarisasi) (Brownell,Table 5.7,p 90) | |
| t head | = | 0,056 | m | |
| Tinggi Total | = | (2 x Tinggi tutup) | + Tinggi silinder | |
| LT | = | (2 x Lh) | + Ls | |
| Lh | = | b + sf + th | | |
| b | = | r - (BC2 - AB2)0,5 | | |
| untuk, OD | = | 90 | in | |
| th | = | 2 | in | |
| sf | = | 1 1/2 | in (Brownell,Table 5.6,p 88) | |
| BC | = | r - icr | = 78,500 | in |
| AB | = | Di/2 - icr | = 36,555 | in |
| b | = | 84 | - 69,469 | |
| | = | 14,531 | in | |
| Lh | = | b + sf + th | | |
| | = | 14,531 + 1,5 | + 2,197 | |
| | = | 18,228 | in | |
| LT | = | 2 x Lh | + Ls | |
| | = | 36,456 | + 168,222 | |
| | = | 204,677 | in | |
| | = | 5,199 | m | |



Gambar 2. Dimensi dari dished head

| | | |
|---------------------|---|-------------------------------------|
| Keliling ID | = | 6,71 m |
| Keliling OD | = | 7,18 m |
| Volume bahan tabung | = | 1,003 m ³ (Kell OD*L*ts) |
| ρ carbon steel | = | 7850 kg/m ³ |
| Mass shell | = | 7873,7 kg |
| | = | 17358,4478 pound |

| Spesifikasi | Keterangan | |
|---------------------------|--|-------|
| No. kode | F-213 | |
| Fungsi | Untuk memisahkan fase gas dan liquid dari 2nd Stage Compressor | |
| Tipe | Vertikal Separator | |
| Tekanan desain | 543,942 | psia |
| Outside Diameter standart | 90 | in |
| Tebal silinder | 1,38 | in |
| Tebal tutup atas/ bawah | 2,25 | in |
| Panjang bejana | 168 | in |
| Panjang Tutup Atas | 18 | in |
| Panjang Tutup Bawah | 18 | in |
| Bahan Konstruksi | ASME SA-167 Grade 3 Tipe 304 | |
| Jumlah | 1 | |
| Kapasitas | 227.200 | kg/hr |

22. Flash Separator (F-300)

Fungsi: Untuk memisahkan fase gas dan liquid

Keterangan aliran:

Arus 36: Feed gas

Arus 37: Fase gas dari arus 36

Arus 56: Fase liquid dari arus 36

Kondisi Operasi:

Suhu: -8,36 Celcius = 16,952 Fahrenheit

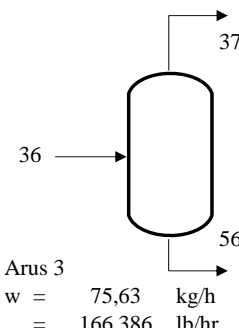
Tekanan: 31 bar = 449,617 psia

Arus 1

$$\begin{aligned} w &= 190500 \text{ kg/h} \\ &= 419100 \text{ lb/hr} \end{aligned}$$

Arus 2

$$\begin{aligned} w &= 190424,37 \text{ kg/h} \\ &= 418933,614 \text{ lb/hr} \end{aligned}$$



Arus 3

$$\begin{aligned} w &= 75,63 \text{ kg/h} \\ &= 166,386 \text{ lb/hr} \end{aligned}$$

$$\rho = 3,8240 \text{ lb/ft}^3 \quad \rho = 2,1920 \text{ lb/ft}^3 \quad \rho = 27,35 \text{ lb/ft}^3 \\ Vf = 109597,28 \text{ ft}^3/\text{hr} \quad Vv = 191119,349 \text{ ft}^3/\text{hr} \quad VL = 6,0835832 \text{ ft}^3/\text{hr}$$

Menentukan Dimensi Tangki

Dengan menggunakan mist eliminator, maka $K_v = 0,35 \text{ ft/s}$

$$V_v = k_v \left| \frac{\rho_L' - \rho_v'}{\rho_v'} \right|^{1/2} \quad (\text{Silla, 2003})$$

$$\begin{aligned} v &= 1,18573 \text{ ft/s} \\ V &= A \times v \\ A &= 44,773014 \text{ ft}^2 \\ A &= \pi D^2 / 4 \\ \text{Diameter Tangki} &= D = 7,5521975 \text{ ft} \\ &= 90,62637 \text{ in} = 2,3 \text{ m} \\ L/D &= 2 \quad (\text{Silla, 2003}) \\ \text{Tinggi Tangki} &= L = 181,25274 \text{ in} = 4,6 \text{ m} \end{aligned}$$

Menentukan Tekanan Desain (Pd)

Tekanan design tangki sama dengan tekanan operasi ditambah dengan tekanan hidrostatic bahan

$$\begin{aligned} P_{\text{Operasi}} &= 449,617 \text{ psia} \\ P_{\text{Hydro}} &= \rho L \times g \times LL \\ &= \frac{281,996}{144} \\ &= 1,95831 \text{ psia} \\ P_{\text{Total}} &= 451,575 \text{ psia} = 436,875 \text{ psig} \\ P_{\text{Desain}} &= 1,10 \times P_{\text{Total}} \quad (\text{Coulson \& Richardson, p.810}) \\ &= 480,563 \text{ psig} \end{aligned}$$

Menentukan Ketebalan Silinder

Dipergunakan bahan yang terbuat dari carbon steel SA 299 dengan spesifikasi :

(Tabel 13.1, Brownell & Young hal : 251)

$$\begin{aligned} f &= 18750 \text{ psi} \\ E &= 0,8 \quad \text{double welded butt joint} \quad (\text{Tabel 2.1, Kusnarjo, hal 14}) \\ C &= 0,0625 \text{ in} \quad (\text{Kusnarjo, hal 14}) \end{aligned}$$

$$ts = \frac{Pd \times ri}{(fE - 0,6Pd)} + C \quad (\text{Brownell \& Young, Pers. 13.1, p254})$$

dimana :

ts = Tebal minimum silinder, in

Pd = Tekanan Design, psi

f = Allowable stress maksimum, psi

ri = Radius dalam silinder, in

E = Effisiensi sambungan las

C = Tebal korosi, in

$$\begin{aligned} ts &= \frac{Pd \times ri}{(fE - 0,6 Pd)} + C \\ &= \frac{1,480}{1,480} + 0,0625 \\ &= 1,543 \text{ in} = 1\frac{1}{2} \text{ in} \\ &= 1\frac{5}{8} \text{ in (standarisasi) (Brownell, Table 5.7, p 90)} \\ &= 0,0413 \text{ meter} \end{aligned}$$

$$OD = ID + 2t \text{ silinder}$$

$$OD = 90,6264 + 2 \times 1,543$$

$$OD = 93,712 \text{ in}$$

$$= 96 \text{ in (standarisasi) (Brownell, Table 5.7, p 91)}$$

$$= 2,438 \text{ meter}$$

Menentukan Dimensi Tutup (dished head)

$$OD = 96 \text{ in}$$

$$rc = 84 \text{ in (Brownell, Tabel 5.7, p 91)} \text{ sesuai } ts = 1\frac{5}{8}$$

$$icr = 5\frac{7}{8} \text{ in (Brownell, Table 5.7, p 91)}$$

$$t \text{ head} = \frac{0,885 \times Pd \times rc}{(fE - 0,1 Pd)} + C$$

$$t \text{ head} = 2,39 + 1/16$$

$$t \text{ head} = 2,452 \text{ in}$$

$$t \text{ head} = 2\frac{1}{2} \text{ in (standarisasi) (Brownell, Table 5.7, p 90)}$$

$$t \text{ head} = 0,064 \text{ m}$$

$$\text{Tinggi Total} = (2 \times \text{Tinggi tutup}) + \text{Tinggi silinder}$$

$$LT = (2 \times Lh) + Ls$$

$$Lh = b + sf + th$$

$$b = r - (BC^2 - AB^2)0,5$$

$$\text{untuk, OD} = 96 \text{ in}$$

$$th = 2 \text{ in}$$

$$sf = 1\frac{1}{2} \text{ in (Brownell, Table 5.6, p 88)}$$

$$BC = r - icr = 78,125 \text{ in}$$

$$AB = Di/2 - icr = 39,438 \text{ in}$$

$$b = 84 - 67,440$$

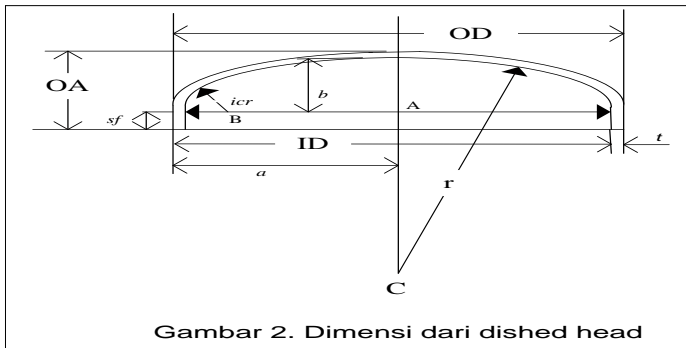
$$= 16,560 \text{ in}$$

$$Lh = b + sf + th$$

$$= 16,560 + 1,5 + 2,452$$

$$= 20,512 \text{ in}$$

$$\begin{aligned}
 LT &= 2 \times Lh + Ls \\
 &= 41,024 + 181,253 \\
 &= 222,277 \text{ in} \\
 &= 5,646 \text{ m}
 \end{aligned}$$



Gambar 2. Dimensi dari dished head

| | | |
|---------------------|---|-------------------------------------|
| Keliling ID | = | 7,23 m |
| Keliling OD | = | 7,66 m |
| Volume bahan tabung | = | 1,455 m ³ (Kell OD*L*ts) |
| ρ carbon steel | = | 7850 kg/m ³ |
| Mass shell | = | 11421 kg |
| | = | 25179,0555 pound |

| Spesifikasi | Keterangan | |
|---------------------------|--------------------------------------|------|
| No. kode | F-300 | |
| Fungsi | Untuk memisahkan fase gas dan liquid | |
| Tipe | Vertikal Separator | |
| Tekanan desain | 480,563 | psia |
| Outside Diameter standart | 96 | in |
| Tebal silinder | 1,63 | in |
| Tebal tutup atas/ bawah | 2,50 | in |
| Panjang bejana | 181 | in |
| Panjang Tutup Atas | 21 | in |
| Panjang Tutup Bawah | 21 | in |
| Bahan Konstruksi | ASME SA-167 Grade 3 Tipe 304 | |

| | |
|-----------|---------------|
| Jumlah | 1 |
| Kapasitas | 190.500 kg/hr |

18. Flash Separator (F-310)

Fungsi: Untuk memisahkan fase gas dan liquid dari Arus 12b

Keterangan aliran:

Arus 12b: Feed

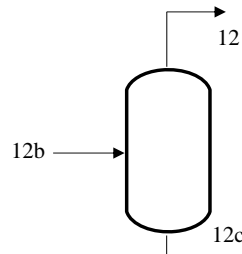
Arus 12: Fase gas dari arus 12b

Arus 12c: Fase liquid dari arus 12b

Kondisi Operasi:

Suhu: -8,36 Celcius = 16,952 Fahrenheit

Tekanan: 31 bar = 449,617 psia



Arus 12b

$$w = 190500 \text{ kg/h}$$

$$= 419100 \text{ lb/hr}$$

$$\rho = 22,1200 \text{ lb/ft}^3$$

$$V_f = 18946,6546 \text{ ft}^3/\text{hr}$$

Arus 12

$$w = 190424,37 \text{ kg/h}$$

$$= 418933,614 \text{ lb/hr}$$

$$\rho = 22,1100 \text{ lb/ft}^3$$

$$V_v = 18947,6985 \text{ ft}^3/\text{hr}$$

Arus 12c

$$w = 75,63 \text{ kg/h}$$

$$= 166,386 \text{ lb/hr}$$

$$\rho = 22,26 \text{ lb/ft}^3$$

$$V_l = 7,4746631 \text{ ft}^3/\text{hr}$$

Menentukan Dimensi Tangki

Dengan menggunakan mist eliminator, maka $K_v = 0,35 \text{ ft/s}$

$$v_v = k_v \left(\frac{\rho_L' - \rho_v'}{\rho_v'} \right)^{1/2} \quad (\text{Silla, 2003})$$

$$v = 0,0288283 \text{ ft/s}$$

$$V = A \times v$$

$$A = 182,57221 \text{ ft}^2$$

$$A = \pi D^2 / 4$$

$$\text{Diameter Tangki} = D = 15,250445 \text{ ft}$$

$$= 183,00533 \text{ in} = 4,65 \text{ m}$$

$$L/D = 2 \quad (\text{Silla, 2003})$$

$$\text{Tinggi Tangki} = L = 366,01067 \text{ in} = 9,3 \text{ m}$$

Menentukan Tekanan Desain (Pd)

Tekanan design tangki sama dengan tekanan operasi ditambah dengan tekanan hidrostatik bahan

$$P_{\text{Operasi}} = 449,617 \text{ psia}$$

$$P_{\text{Hydro}} = \rho L \times g \times LL$$

$$= \frac{3293,967}{144}$$

$$= 22,8748 \text{ psia}$$

$$P_{\text{Total}} = 472,492 \text{ psia} = 457,792 \text{ psig}$$

$$P_{\text{Desain}} = 1,10 \times P_{\text{Total}} \quad (\text{Coulson & Richardson, p.810})$$

$$= 503,571 \text{ psig}$$

Menentukan Ketebalan Silinder

Dipergunakan bahan yang terbuat dari stainless steel 410 grade F6 dengan spesifikasi : type 410, grade F6 (SA-182) (Appendiks D, Brownell & Young hal : 342)

$f = 21250 \text{ psi}$ (Appendiks D, Brownell & Young hal : 342)

$E = 0,8$ double welded butt joint (Tabel 2.1, Kusnarjo, hal 14)

$C = 0,0625 \text{ in}$ (Kusnarjo, hal14)

$$ts = \frac{Pd \times ri}{(f E - 0,6 Pd)} + C \quad (\text{Brownell} \& \text{Young}, \text{Pers.13.1,p254})$$

dimana :

ts = Tebal minimum silinder, in

Pd = Tekanan Design, psi

f = Allowable stress maksimum, psi

ri = Radius dalam silinder, in

E = Effisiensi sambungan las

C = Tebal korosi, in

$$\begin{aligned} ts &= \frac{Pd \times ri}{(f E - 0,6 Pd)} + C \\ &= \frac{2,760}{2,822} + 0,0625 \\ &= 2,822 \text{ in} = 2\frac{5}{6} \text{ in} \\ &= 3 \text{ in} \text{ (standarisasi)} \quad (\text{Brownell}, \text{Table 5.7,p 90}) \\ &= 0,0762 \text{ meter} \end{aligned}$$

$$OD = ID + 2t \text{ silinder}$$

$$OD = 183,005 + 2 \times 2,822$$

$$OD = 188,649 \text{ in}$$

$$\begin{aligned} &= 192 \text{ in} \text{ (standarisasi)} \quad (\text{Brownell}, \text{Table 5.7,p 91}) \\ &= 4,877 \text{ meter} \end{aligned}$$

Karena tidak ada standar OD diatas 240 in maka flash separator di paralel 2 buah

Sehingga :

Arus 12b

$w = 95250 \text{ kg/h}$

$= 209550 \text{ lb/hr}$

$\rho = 22,12 \text{ lb/ft}^3$

$V_f = 9473,32731 \text{ ft}^3/\text{hr}$

Arus 12

$w = 95212,185 \text{ kg/h}$

$= 209466,807 \text{ lb/hr}$

$\rho = 22,11 \text{ lb/ft}^3$

$V_f = 9473,84925 \text{ ft}^3/\text{hr}$

Arus 12c

$w = 37,815 \text{ kg/h}$

$= 83,193 \text{ lb/hr}$

$\rho = 22,26 \text{ lb/ft}^3$

$V_f = 3,7373315 \text{ ft}^3/\text{hr}$

Menentukan Dimensi Tangki

Dengan menggunakan mist eliminator, maka $K_v = 0,35 \text{ ft/s}$

$$v_v = k_v \left| \frac{\rho_{L'} - \rho_{V'}}{\rho_{V'}} \right|^{1/2} \quad (\text{Silla}, 2003)$$

| | | | |
|-------------------|-----|---|---------------------------|
| | v | = | 0,0288283 ft/s |
| | V | = | A x v |
| | A | = | 91,286103 ft ² |
| | A | = | $\pi D^2/4$ |
| Diameter Tangki = | D | = | 10,783693 ft |
| | | = | 129,40431 in = 3,29 m |
| | L/D | = | 2 (Silla, 2003) |
| Tinggi Tangki = | L | = | 258,80863 in = 6,57 m |

Menentukan Tekanan Desain (Pd)

Tekanan design tangki sama dengan tekanan operasi ditambah dengan tekanan hidrostatic bahan

$$\begin{aligned}
 P \text{ Operasi} &= 449,617 \text{ psia} \\
 P \text{ Hydro} &= \rho L \times g \times LL \\
 &= \frac{2329,186}{144} \\
 &= 16,1749 \text{ psia} \\
 P \text{ Total} &= 465,792 \text{ psia} = 451,092 \text{ psig} \\
 P \text{ Desain} &= 1,10 \times P \text{ Total} \quad (\text{Coulson \& Richardson, p.810}) \\
 &= 496,201 \text{ psig}
 \end{aligned}$$

Menentukan Ketebalan Silinder

Dipergunakan bahan yang terbuat dari carbon steel SA 299 dengan spesifikasi :

(Tabel 13.1, Brownell & Young hal : 251)

$$\begin{aligned}
 f &= 18750 \text{ psi} \\
 E &= 0,8 \quad \text{double welded butt joint} \quad (\text{Tabel 2.1, Kusnarjo, hal 14}) \\
 C &= 0,0625 \text{ in} \quad (\text{Kusnarjo, hal14})
 \end{aligned}$$

$$ts = \frac{Pd \times ri}{(fE - 0,6Pd)} + C \quad (\text{Brownell\&Young,Pers.13.1,p254})$$

dimana :

- ts = Tebal minimum silinder, in
- Pd = Tekanan Design, psi
- f = Allowable stress maksimum, psi
- ri = Radius dalam silinder, in
- E = Effisiensi sambungan las
- C = Tebal korosi, in

$$\begin{aligned}
 ts &= \frac{Pd \times ri}{(fE - 0,6Pd)} + C \\
 &= \frac{2,184}{2,246} + 0,0625 \\
 &= 2,246 \text{ in} = 2 \frac{1}{4} \text{ in} \\
 &= 2 \frac{1}{4} \text{ in} \quad (\text{standarisasi}) \quad (\text{Brownell,Table 5.7,p 90}) \\
 &= 0,0572 \text{ meter}
 \end{aligned}$$

$$\begin{aligned}
 OD &= ID + 2t \text{ silinder} \\
 OD &= 129,404 + 2 \times 2,246 \\
 OD &= 133,897 \text{ in} \\
 &= 138 \text{ in (standarisasi)} \quad (\text{Brownell, Table 5.7, p 91}) \\
 &= 3,505 \text{ meter}
 \end{aligned}$$

Menentukan Dimensi Tutup (dished head)

$$\begin{aligned}
 OD &= 138 \text{ in} \\
 rc &= 170 \text{ in } (\text{Brownell, Tabel 5.7, p 91}) \text{ sesuai ts = 3} \\
 icr &= 12 \frac{1}{4} \text{ in } (\text{Brownell, Table 5.7, p 91})
 \end{aligned}$$

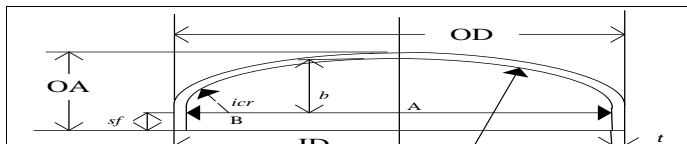
$$\begin{aligned}
 t \text{ head} &= \frac{0,885 \times Pd \times rc}{(fE - 0,1 Pd)} + C \\
 t \text{ head} &= 4,99 + 1/16 \\
 t \text{ head} &= 5,056 \text{ in} \\
 t \text{ head} &= - \text{ in (standarisasi)} \quad (\text{Brownell, Table 5.7, p 90}) \\
 t \text{ head} &= 0,128 \text{ m}
 \end{aligned}$$

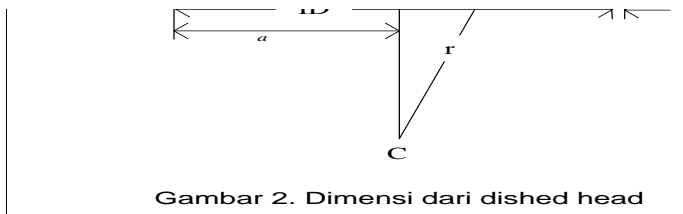
$$\begin{aligned}
 \text{Tinggi Total} &= (2 \times \text{Tinggi tutup}) + \text{Tinggi silinder} \\
 LT &= (2 \times Lh) + Ls \\
 Lh &= b + sf + th \\
 b &= r - (BC^2 - AB^2)0,5
 \end{aligned}$$

$$\begin{aligned}
 \text{untuk, OD} &= 138 \text{ in} \\
 th &= 2 \frac{1}{4} \text{ in} \\
 sf &= 1 \frac{1}{2} \text{ in } (\text{Brownell, Table 5.6, p 88})
 \end{aligned}$$

$$\begin{aligned}
 BC &= r - icr = 157,750 \text{ in} \\
 AB &= Di/2 - icr = 54,500 \text{ in} \\
 b &= 170 - 148,037 \\
 &= 21,963 \text{ in} \\
 Lh &= b + sf + th \\
 &= 21,963 + 1 \frac{1}{2} + 2,250 \\
 &= 25,713 \text{ in}
 \end{aligned}$$

$$\begin{aligned}
 LT &= 2 \times Lh + Ls \\
 &= 51,427 + 258,809 \\
 &= 310,236 \text{ in} \\
 &= 7,880 \text{ m}
 \end{aligned}$$





Gambar 2. Dimensi dari dished head

| | | |
|---------------------|---|-------------------------------------|
| Keliling ID | = | 10,32 m |
| Keliling OD | = | 11,01 m |
| Volume bahan tabung | = | 4,135 m ³ (Kell OD*L*ts) |
| ρ carbon steel | = | 7850 kg/m ³ |
| Mass shell | = | 32459 kg |
| | = | 71560,0457 pound |

28. Flash Separator (F-330)

Fungsi: Untuk memisahkan fase gas dan liquid

Keterangan aliran:

Arus 27b: Feed gas

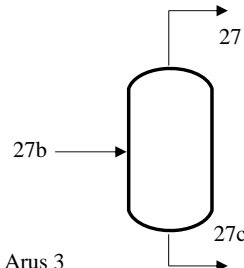
Arus 27: Fase gas dari arus 27b

Arus 27c: Fase liquid dari arus 27b

Kondisi Operasi:

Suhu: -35,3 Celcius = -31,54 Fahrenheit

Tekanan: 17,878 bar = 259,298 psia



Arus 1

$$w = 392157,063 \text{ kg/h} \\ = 862745,539 \text{ lb/hr}$$

$$\rho = 28,1100 \text{ lb/ft}^3$$

$$V_f = 30691,7659 \text{ ft}^3/\text{hr}$$

Arus 2

$$w = 89457,5772 \text{ kg/h} \\ = 196806,67 \text{ lb/hr}$$

$$\rho = 17,0800 \text{ lb/ft}^3$$

$$V_f = 11522,6387 \text{ ft}^3/\text{hr}$$

Arus 3

$$w = 302699,49 \text{ kg/h} \\ = 665938,87 \text{ lb/hr}$$

$$\rho = 28,18 \text{ lb/ft}^3$$

$$V_f = 23631,614 \text{ ft}^3/\text{hr}$$

Menentukan Dimensi Tangki

Dengan menggunakan mist eliminator, maka $K_v = 0,35 \text{ ft/s}$

$$v_f = k_v \sqrt{\frac{(\rho_L' - \rho_v')}{\rho_v'}}^{1/2} \quad (\text{Silla, 2003})$$

$$v = 0,2821536 \text{ ft/s}$$

$$V = A \times v$$

$$A = 11,343938 \text{ ft}^2$$

$$A = \pi D^2 / 4$$

$$\text{Diameter Tangki} = D = 3,8014308 \text{ ft}$$

$$= 45,61717 \text{ in} = 1,16 \text{ m}$$

$$L/D = 2 \quad (\text{Silla, 2003})$$

$$\text{Tinggi Tangki} = \text{L} = 91,23434 \text{ in} = 2,32 \text{ m}$$

Menentukan Tekanan Desain (Pd)

Tekanan design tangki sama dengan tekanan operasi ditambah dengan tekanan hidrostatic bahan

$$\begin{aligned}
 P_{\text{Operasi}} &= 259,298 \text{ psia} \\
 P_{\text{Hydro}} &= \rho L g x LL \\
 &= \frac{1043,421}{144} \\
 &= 7,24598 \text{ psia} \\
 P_{\text{Total}} &= 266,544 \text{ psia} = 251,844 \text{ psig} \\
 P_{\text{Desain}} &= 1,10 \times P_{\text{Total}} \quad (\text{Coulson \& Richardson, p.810}) \\
 &= 277,029 \text{ psig}
 \end{aligned}$$

Menentukan Ketebalan Silinder

Dipergunakan bahan yang terbuat dari carbon steel SA 299 dengan spesifikasi :

(Tabel 13.1, Brownell & Young hal : 251)

$$\begin{aligned}
 f &= 18750 \text{ psi} \\
 E &= 0,8 \quad \text{double welded butt joint} \quad (\text{Tabel 2.1, Kusnarjo, hal 14}) \\
 C &= 0,0625 \text{ in} \quad (\text{Kusnarjo, hal 14})
 \end{aligned}$$

$$ts = \frac{Pd \times ri}{(fE - 0,6Pd)} + C \quad (\text{Brownell \& Young, Pers. 13.1, p 254})$$

dimana :

- ts = Tebal minimum silinder, in
- Pd = Tekanan Design, psi
- f = Allowable stress maksimum, psi
- ri = Radius dalam silinder, in
- E = Effisiensi sambungan las
- C = Tebal korosi, in

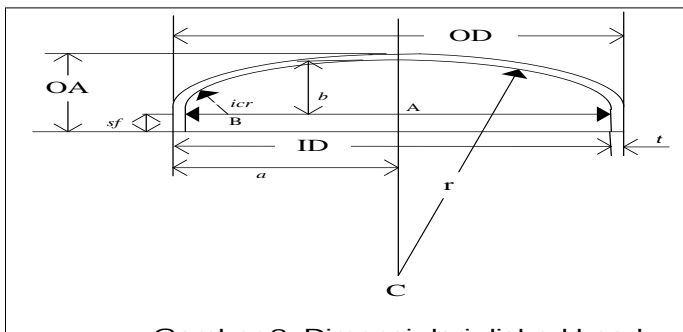
$$\begin{aligned}
 ts &= \frac{Pd \times ri}{(fE - 0,6Pd)} + C \\
 &= \frac{0,426}{0,426} + 0,0625 \\
 &= 0,488 \text{ in} = 1/2 \text{ in} \\
 &= 1/2 \text{ in} \quad (\text{standarisasi}) \quad (\text{Brownell, Table 5.7, p 90}) \\
 &= 0,0127 \text{ meter}
 \end{aligned}$$

$$\begin{aligned}
 OD &= ID + 2t \text{ silinder} \\
 OD &= 45,6172 + 2 \times 0,488 \\
 OD &= 46,594 \text{ in} \\
 &= 48 \text{ in} \quad (\text{standarisasi}) \quad (\text{Brownell, Table 5.7, p 91}) \\
 &= 1,219 \text{ meter}
 \end{aligned}$$

Menentukan Dimensi Tutup (dished head)

$$OD = 48 \text{ in}$$

| | | | | |
|--------------|---|---|---|---------------|
| rc | = | 42 | in (Brownell, Tabel 5.7,p 91) | sesuai ts = 3 |
| icr | = | 3 | in (Brownell,Table 5.7,p 91) | |
| t head | = | $\frac{0,885 \times Pd \times rc}{(fE - 0,1 Pd)} + C$ | | |
| t head | = | 0,69 | + 1/16 | |
| t head | = | 0,750 | in | |
| t head | = | 7/8 | in (standarisasi) (Brownell,Table 5.7,p 90) | |
| t head | = | 0,022 | m | |
| Tinggi Total | = | (2 x Tinggi tutup) | + Tinggi silinder | |
| LT | = | (2 x Lh) | + Ls | |
| Lh | = | b + sf + th | | |
| b | = | r - (BC2 - AB2)0,5 | | |
| untuk, OD | = | 48 | in | |
| th | = | 1 | in | |
| sf | = | 1 1/2 | in (Brownell,Table 5.6,p 88) | |
| BC | = | r - icr | = 39,000 in | |
| AB | = | Di/2 - icr | = 19,809 in | |
| b | = | 42 | - 33,595 | |
| | = | 8,405 | in | |
| Lh | = | b + sf + th | | |
| | = | 8,405 + 1,5 + 0,750 | | |
| | = | 10,655 | in | |
| LT | = | 2 x Lh + Ls | | |
| | = | 21,311 + 91,234 | | |
| | = | 112,545 | in | |
| | = | 2,859 | m | |



Gambar 2. Dimensi dari dished head

| | | | |
|---------------------|---|------------|-------------------------------|
| Keliling ID | = | 3,64 | m |
| Keliling OD | = | 3,83 | m |
| Volume bahan tabung | = | 0,113 | m ³ (Kell OD*L*ts) |
| ρ carbon steel | = | 7850 | kg/m ³ |
| Mass shell | = | 884,44 | kg |
| | = | 1949,84386 | pound |

38. Flash Separator (F-510)

Fungsi: Untuk memisahkan fase gas dan liquid

Keterangan aliran:

Arus 22: Feed gas

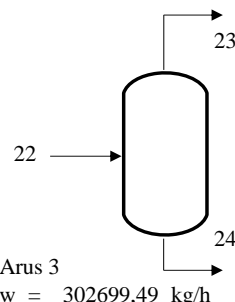
Arus 23: Fase gas dari arus 22

Arus 24: Fase liquid dari arus 22

Kondisi Operasi:

Suhu: 40 Celcius = 104 Fahrenheit

Tekanan: 56,8 bar = 823,814 psia



Arus 1 Arus 2 Arus 3

$w = 392157,063 \text{ kg/h}$ $w = 89457,5772 \text{ kg/h}$ $w = 302699,49 \text{ kg/h}$
 $= 862745,539 \text{ lb/hr}$ $= 196806,67 \text{ lb/hr}$ $= 665938,87 \text{ lb/hr}$

$\rho = 2,5780 \text{ lb/ft}^3$ $\rho = 1,4610 \text{ lb/ft}^3$ $\rho = 4,85 \text{ lb/ft}^3$

$V_f = 334656,92 \text{ ft}^3/\text{hr}$ $V_v = 134706,824 \text{ ft}^3/\text{hr}$ $V_l = 137306,98 \text{ ft}^3/\text{hr}$

Menentukan Dimensi Tangki

Dengan menggunakan mist eliminator, maka $K_v = 0,35 \text{ ft/s}$

$$v_v = k_v \left| \frac{\left(\rho_L' - \rho_v' \right)^{1/2}}{\rho_v'} \right| \quad (\text{Silla, 2003})$$

$$v = 0,5330632 \text{ ft/s}$$

$$V = A \times v$$

$$A = 70,195355 \text{ ft}^2$$

$$A = \pi D^2 / 4$$

$$\text{Diameter Tangki} = D = 9,456259 \text{ ft} \\ = 113,47511 \text{ in} = 2,88 \text{ m}$$

$$L/D = 2 \quad (\text{Silla, 2003})$$

$$\text{Tinggi Tangki} = L = 226,95022 \text{ in} = 5,76 \text{ m}$$

Menentukan Tekanan Desain (Pd)

Tekanan design tangki sama dengan tekanan operasi ditambah dengan tekanan hidrostatic bahan

$$P_{\text{Operasi}} = 823,814 \text{ psia}$$

$$P_{\text{Hydro}} = \rho L \times g \times LL$$

$$\begin{aligned}
 &= \frac{238,042}{144} \\
 &= 1,65307 \text{ psia} \\
 \text{P Total} &= 825,467 \text{ psia} = 810,767 \text{ psig} \\
 \text{P Desain} &= 1,10 \times \text{P Total} \quad (\text{Coulson \& Richardson, p.810}) \\
 &= 891,844 \text{ psig}
 \end{aligned}$$

Menentukan Ketebalan Silinder

Dipergunakan bahan yang terbuat dari Low Alloy Steel SA-353 dengan spesifikasi : grade CA15 (SA-353) (*Appendiks D, Brownell & Young hal : 251*)

$$\begin{aligned}
 f &= 22500 \text{ psi} \\
 E &= 0,8 \quad \text{double welded butt joint} \quad (\text{Tabel 2.1, Kusnarjo, hal 14}) \\
 C &= 0,0625 \text{ in} \quad (\text{Kusnarjo, hal14})
 \end{aligned}$$

$$ts = \frac{Pd \times ri}{(fE - 0,6 Pd)} + C \quad (\text{Brownell\&Young,Pers.13.1,p254})$$

dimana :

- ts = Tebal minimum silinder, in
- Pd = Tekanan Design, psi
- f = Allowable stress maksimum, psi
- ri = Radius dalam silinder, in
- E = Effisiensi sambungan las
- C = Tebal korosi, in

$$\begin{aligned}
 ts &= \frac{Pd \times ri}{(fE - 0,6 Pd)} + C \\
 &= \frac{2,897}{2,960} + 0,0625 \\
 &= 3 \text{ in} = 3 \text{ in} \\
 &= 3 \text{ in} \quad (\text{standarisasi}) \quad (\text{Brownell,Table 5.7,p 90}) \\
 &= 0,0762 \text{ meter}
 \end{aligned}$$

$$\begin{aligned}
 \text{OD} &= \text{ID} + 2t \text{ silinder} \\
 \text{OD} &= 113,475 + 2 \times 2,960 \\
 \text{OD} &= 119,395 \text{ in} \\
 &= 120 \text{ in} \quad (\text{standarisasi}) \quad (\text{Brownell,Table 5.7,p 91}) \\
 &= 3,048 \text{ meter}
 \end{aligned}$$

Menentukan Dimensi Tutup (dished head)

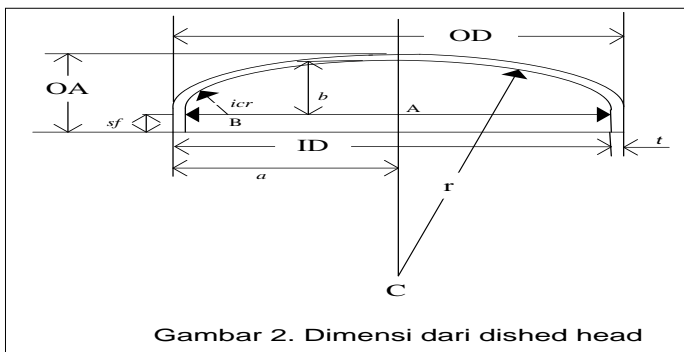
$$\begin{aligned}
 \text{OD} &= 120 \text{ in} \\
 \text{rc} &= 108 \text{ in} \quad (\text{Brownell, Tabel 5.7,p 91}) \quad \text{sesuai } ts = 3 \\
 \text{icr} &= 9 \text{ in} \quad (\text{Brownell,Table 5.7,p 91})
 \end{aligned}$$

$$t \text{ head} = \frac{0,885 \times Pd \times rc}{(fE - 0,1 Pd)} + C$$

$$t \text{ head} = 4,76 + 1/16$$

$$t \text{ head} = 4,822 \text{ in}$$

$$\begin{aligned}
t_{\text{head}} &= - \quad \text{in (standarisasi)} \quad (\text{Brownell,Table 5.7,p 90}) \\
t_{\text{head}} &= 0,122 \quad \text{m} \\
\\
\text{Tinggi Total} &= (2 \times \text{Tinggi tutup}) + \text{Tinggi silinder} \\
\text{LT} &= (2 \times \text{Lh}) + \text{Ls} \\
\text{Lh} &= b + sf + th \\
b &= r - (BC^2 - AB^2)0,5 \\
\\
\text{untuk, OD} &= 120 \quad \text{in} \\
\text{th} &= 5 \quad \text{in} \\
\text{sf} &= 1 \frac{1}{2} \quad \text{in} \quad (\text{Brownell,Table 5.6,p 88}) \\
\\
\text{BC} &= r - icr = 99,000 \quad \text{in} \\
\text{AB} &= Di/2 - icr = 47,738 \quad \text{in} \\
b &= 108 \quad - \quad 86,730 \\
&= 21,270 \quad \text{in} \\
\text{Lh} &= b + sf + th \\
&= 21,270 + 1,5 + 4,822 \\
&= 27,592 \quad \text{in} \\
\\
\text{LT} &= 2 \times \text{Lh} + \text{Ls} \\
&= 55,183 + 226,950 \\
&= 282,133 \quad \text{in} \\
&= 7,166 \quad \text{m}
\end{aligned}$$



$$\begin{aligned}
\text{Keliling ID} &= 9,05 \quad \text{m} \\
\text{Keliling OD} &= 9,57 \quad \text{m} \\
\text{Volume bahan tabung} &= 4,204 \quad \text{m}^3 \quad (\text{Kell OD} \times \text{L} \times ts) \\
\rho_{\text{stainless steel}} &= 7870 \quad \text{kg/m}^3 \\
\text{Mass shell} &= 33086 \quad \text{kg} \\
&= 72940,4494 \quad \text{pound}
\end{aligned}$$

5. Methanator (R-102)

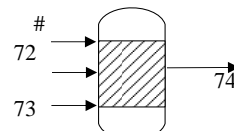
Fungsi: Mengkonversikan karbon (karbon dioksida dan karbon monoksida) dai

Arus 72: Feed CO₂ recycle

Arus 71: Feed CH₄ Recycle

Arus 73: hidrogen

Arus 74: metana



Arus 72

w= 123302,4091 kg/h

Arus 71

w= 115455 kg/h

Arus 73

w= 5020,6 kg/h

Arus 74

w= 243777,0958 kg/h

Bahan = Stainless steel 304

Type = Fix bed reactor berbentuk silinder tegak

Jumlah = 1 unit

Sesuai Ulrich, hal 400:

1. Temperatur desain = (28 + Top) Celcius
= 390,4

2. Tekanan desain = 10 x 1,1
= 11 bar = 159,54 psia

3. Ditetapkan waktu tinggal = 120 sekon

Menentukan kapasitas

Rate gas = 123302,409 kg/h Rate udara = 115455 kg/h

Waktu tinggal = 0,03333333 jam Waktu tinggal = 0,03333333 jam

Kapasitas = 4110,0803 kg Kapasitas = 3848,4835 kg

Densitas = 18,65 kg/m³ Densitas = 0,78 kg/m³

Volume = 220,379641 m³ Volume = 4933,9533 m³

Rate udara = 5020,6 kg/h

Waktu tinggal = 0,03333333 jam

Kapasitas = 167,351799 kg

Densitas = 2,711 kg/m³

Volume = 61,7306525 m³

Perhitungan Diameter Vessel

VL = 0,8 VT

Vtotal = 6520,07944 m³

L/D = 4,002 (Silla, 2003)

D3 = 108,715101

D = 4,773 m = 187,901209 in

L = 19,1 m = 751,968504 in

Menentukan Ketebalan Silinder

Digunakan SA 182 (21Cr-11Ni-N)

(ASME Boiler and Pressure Vessel Tabel IA hal. 169)

$$f = 87000 \text{ psi (ASME Boiler and Pressure Vessel Tabel IA hal. 169)}$$

$$E = 1,0 \text{ double welded butt joint (Tabel 2.1, Kusnarjo, hal 14)}$$

$$C = 0,125 \text{ in (Kusnarjo, hal 14)}$$

$$ts = \frac{Pd \times ri}{(f E - 0,6 Pd)} + C \quad (\text{Brownell} \& \text{Young}, \text{Pers.13.1,p254})$$

dimana :

$$ts = \text{Tebal minimum silinder, in}$$

$$Pd = \text{Tekanan Design, psi}$$

$$f = \text{Allowable stress maksimum, psi}$$

$$ri = \text{Radius dalam silinder, in}$$

$$E = \text{Effisiensi sambungan las}$$

$$C = \text{Tebal korosi, in}$$

$$\begin{aligned} ts &= \frac{Pd \times ri}{(f E - 0,6 Pd)} + C \\ &= \frac{0,17247739}{0,17247739} + 0,125 \\ &= 0,29748 \text{ in} = 0,29748 \text{ in} \\ &= 1 \text{ in (standarisasi) (Brownell,Table 5.7,p 90)} \\ &= 0,0076 \text{ meter} \end{aligned}$$

$$OD = ID + 2t \text{ silinder}$$

$$OD = 187,901 + 2 \times 0,29748$$

$$OD = 188,496164 \text{ in}$$

$$\begin{aligned} &= 192 \text{ in (standarisasi) (Brownell,Table 5.7,p 91)} \\ &= 4,8768 \text{ meter} \end{aligned}$$

Menentukan Dimensi Tutup (dished head)

$$OD = 188,496 \text{ in}$$

$$rc = 170 \text{ in (Brownell, Tabel 5.7,p 91) sesuai } ts = 1$$

$$icr = 11,5 \text{ in (Brownell,Table 5.7,p 91)}$$

$$t \text{ head} = \frac{1}{(f E - 0,1 Pd)} + C$$

$$t \text{ head} = 0,27595 + 0,13$$

$$t \text{ head} = 0,40095 \text{ in}$$

$$t \text{ head} = \frac{4}{9} \text{ in (standarisasi) (Brownell,Table 5.7,p 90)}$$

$$t \text{ head} = 0,01111 \text{ m}$$

$$\text{Tinggi Total} = (2 \times \text{Tinggi tutup}) + \text{Tinggi silinder}$$

$$LT = (2 \times Lh) + Ls$$

$$Lh = b + sf + th$$

$$b = r - (BC2 - AB2)0,5$$

untuk, OD = 188,496 in
 th = 0,40095 in
 sf = 6 in (Brownell,Table 5.6,p 88)

$$BC = r - icr = 158,5 \text{ in}$$

$$AB = Di/2 - icr = 82,4506044 \text{ in}$$

$$b = 170 \text{ -}$$

$$= 170 \text{ in}$$

$$\begin{aligned} Lh &= b + sf + th \\ &= 170 + 6 + 0 \\ &= 176,401 \text{ in} \end{aligned}$$

$$\begin{aligned} LT &= 2 \times Lh + Ls \\ &= 352,802 + 751,968504 \\ &= 1104,7704 \text{ in} \\ &= 28,0611681 \text{ m} \end{aligned}$$

$$\text{Keliling ID} = 14,986 \text{ m}$$

$$\text{Keliling OD} = 15,313152 \text{ m}$$

$$\text{Luas permukaan tabung} =$$

$$\text{Volume bahan tabung} = 2,20996625 \text{ m}^3 \quad (\text{Kell OD} \times L \times ts)$$

$$\rho_{\text{carbon steel}} = 7870 \text{ kg/m}^3$$

$$\text{Mass shell} = 17392,4344 \text{ kg}$$

$$= 38343,3609 \text{ pound}$$

| Spesifikasi | Keterangan | | | |
|---------------------------|--|------|-------------|---|
| No. kode | R-102 | | | |
| Fungsi | Mengkonversikan karbon (karbon dioksida dan karbon monokida) dan hidrogen moni di metana | | | |
| Tipe | Fix bed reactor berbentuk silinder tegak | | | |
| Tekanan desain | 159,5 psia | | | |
| Outside Diameter standart | 192 | inch | 4,8768 | m |
| Tebal silinder | 1 | inch | 0,0254 | m |
| Tinggi tutup atas/bawah | 176,4009 | inch | 4,480584064 | m |
| Tebal tutup atas/bawah | 0,4375 | inch | 0,0111125 | m |
| Tinggi bejana | 752 | inch | 19,1 | m |
| Bahan Konstruksi | SA 182 (21Cr-11Ni-N) | | | |
| Kapasitas(kg/hr) | 243777,5 | | | |
| Jumlah | 1 | | | |

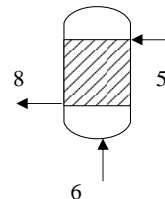
3. OCM Reaktor (R-100)

Fungsi: Mereaksikan gas metana menjadi gas ethylene

Arus 6: Feed gas alam

Arus 5: Feed O2

Arus 8: Produk ethylene



Arus 6

$$w = 435812,2044 \text{ kg/h} \quad \text{Arus 5}$$

$$w = 275112,5843 \text{ kg/h}$$

Arus 8

$$w = 6462364,223 \text{ kg/h}$$

Bahan = Stainless steel 304

Type = Fix bed reactor berbentuk silinder tegak

Jumlah = 1 unit

Sesuai Ulrich, hal 400:

$$1. \text{ Temperatur desain} = (28 + \text{Top}) \text{ Celcius}$$

$$= 1168$$

$$2. \text{ Tekanan desain} = 7 \times 1$$

$$= 7,7 \text{ bar} = 111,68 \text{ psia}$$

$$3. \text{ Ditetapkan waktu tinggal} = 30 \text{ sekon}$$

Menentukan kapasitas

$$\text{Rate gas} = 435812,204 \text{ kg/h} \quad \text{Rate udara} = 275112,58 \text{ kg/h}$$

$$\text{Waktu tinggal} = 0,0083333 \text{ jam} \quad \text{Waktu tinggal} = 0,0083333 \text{ jam}$$

$$\text{Kapasitas} = 3631,76837 \text{ kg} \quad \text{Kapasitas} = 2292,6049 \text{ kg}$$

$$\text{Densitas} = 0,8 \text{ kg/m}^3 \quad \text{Densitas} = 1,43 \text{ kg/m}^3$$

$$\text{Volume} = 4539,71046 \text{ m}^3 \quad \text{Volume} = 1604,3421 \text{ m}^3$$

Perhitungan Diameter Vessel

$$\begin{aligned} VL &= 0,8 \text{ VT} \\ V_{\text{total}} &= 7680,06571 \text{ m}^3 \\ L/D &= 4,002 \\ D_3 &= 122,908583 \\ D &= 4,972 \text{ m} = 195,746357 \text{ in} \\ L &= 19,9 \text{ m} = 783,464567 \text{ in} \end{aligned} \quad (\text{Silla, 2003})$$

Menentukan Ketebalan Silinder

Digunakan SA 182 (21Cr-11Ni-N)

(ASME Boiler and Pressure Vessel Tabel IA hal. 169)

$$\begin{aligned} f &= 87000 \text{ psi (ASME Boiler and Pressure Vessel Tabel IA hal. 169)} \\ E &= 1,0 \text{ double welded butt joint (Tabel 2.1, Kusnarjo, hal 14)} \\ C &= 0,125 \text{ in (Kusnarjo, hal 14)} \end{aligned}$$

$$ts = \frac{Pd \times ri}{(fE - 0,6Pd)} + C \quad (\text{Brownell&Young,Pers.13.1,p254})$$

dimana :

$$\begin{aligned} ts &= \text{Tebal minimum silinder, in} \\ Pd &= \text{Tekanan Design, psi} \\ f &= \text{Allowable stress maksimum, psi} \\ ri &= \text{Radius dalam silinder, in} \\ E &= \text{Effisiensi sambungan las} \\ C &= \text{Tebal korosi, in} \end{aligned}$$

$$\begin{aligned} ts &= \frac{Pd \times ri}{(fE - 0,6Pd)} + C \\ &= \frac{12573345}{(fE - 0,6Pd)} + 0,125 \\ &= 0,25073 \text{ in} = 0,25073 \text{ in} \\ &= 1 \frac{1}{8} \text{ in (standarisasi) (Brownell,Table 5.7,p 90)} \\ &= 0,0064 \text{ meter} \end{aligned}$$

$$\begin{aligned} OD &= ID + 2t \text{ silinder} \\ OD &= 195,746 + 2 \times 0,25073 \\ OD &= 196,247823 \text{ in} \\ &= 204 \text{ in (standarisasi) (Brownell,Table 5.7,p 91)} \\ &= 5,1816 \text{ meter} \end{aligned}$$

Menentukan Dimensi Tutup (dished head)

$$\begin{aligned} OD &= 196,248 \text{ in} \\ rc &= 170 \text{ in (Brownell, Tabel 5.7,p 91) sesuai } ts = 1 \frac{1}{8} \\ icr &= 12,5 \text{ in (Brownell,Table 5.7,p 91)} \end{aligned}$$

$$t \text{ head} = \frac{1}{4} \times \frac{Pd \times rc}{(fE - 0,1Pd)} + C$$

$$t \text{ head} = \frac{0,19315}{(fE - 0,1Pd)} + 0,13$$

$$t \text{ head} = 0,31815 \text{ in}$$

| | | | |
|-----------------------|---|--|---------------------------|
| t head | = | 3/8 in (standarisasi) | (Brownell,Table 5.7,p 90) |
| t head | = | 0,00953 m | |
| Tinggi Total | = | (2 x Tinggi tutup) + Tinggi silinder | |
| LT | = | (2 x Lh) + Ls | |
| Lh | = | b + sf + th | |
| b | = | r - (BC2 - AB2)0,5 | |
| untuk, OD | = | 196,248 in | |
| th | = | 0,31815 in | |
| sf | = | 6 in | (Brownell,Table 5.6,p 88) |
| BC | = | r - icr = 157,5 in | |
| AB | = | Di/2 - icr = 85,37317826 in | |
| b | = | 170 - | |
| | = | 170 in | |
| Lh | = | b + sf + th | |
| | = | 170 + 6 + 0 | |
| | = | 176,318 in | |
| LT | = | 2 x Lh + Ls | |
| | = | 352,636 + 0 | |
| | = | 352,636 in | |
| | = | 9 m | |
| Keliling ID | = | 15,612 m | |
| Keliling OD | = | 16,270224 m | |
| Luas permukaan tabung | = | | |
| Volume bahan tabung | = | 2,06201873 m ³ (Kell OD*L*ts) | |
| ρ carbon steel | = | 7870 kg/m ³ | |
| Mass shell | = | 16228,0874 kg | |
| | = | 35776,4415 pound | |

| Spesifikasi | Keterangan | | | |
|---------------------------|---|------|-------------|---|
| No. kode | R-100 | | | |
| Fungsi | Mereaksikan gas metana menjadi gas ethylene | | | |
| Tipe | SA 182 (21Cr-11Ni-N) | | | |
| Tekanan desain | 111,7 psia | | | |
| Outside Diameter standart | 204 | inch | 5,1816 | m |
| Tebal silinder | 1,125 | inch | 0,028575 | m |
| Tinggi tutup atas/bawah | 176,3182 | inch | 4,478481075 | m |
| Tebal tutup atas/bawah | 0,3750 | inch | 0,009525 | m |
| Tinggi bejana | 783,5 | inch | 19,9 | m |
| Bahan Konstruksi | SA 182 (21Cr-11Ni-N) | | | |

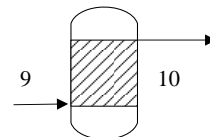
| | |
|------------------|---------|
| Kapasitas(kg/hr) | 710.925 |
| Jumlah | 1 |

4. Dehidrogenation Reactor (R-101)

Fungsi: Mendehidrogenasi gas etana menjadi gas ethylene

Arus 9: Arus keluar OCM Reaktor

Arus 10: Arus keluar dehidrogenasi reaktor



Arus 9

$$w = 6462364,223 \text{ kg/h}$$

Arus 10

$$w = 7413828,532 \text{ kg/h}$$

Bahan = Stainless steel 304

Type = Fix bed reactor berbentuk silinder tegak

Jumlah = 1 unit

Sesuai Ulrich, hal 400:

$$\begin{aligned} 1. \text{ Temperatur desain} &= (28 + \text{Top}) \text{ Celcius} \\ &= 928 \end{aligned}$$

$$\begin{aligned} 2. \text{ Tekanan desain} &= 6,6 \times 1,1 \\ &= 7,26 \text{ bar} = 105,3 \text{ psia} \end{aligned}$$

$$3. \text{ Ditetapkan waktu tinggal} = 3 \text{ sekon}$$

Menentukan kapasitas

$$\text{Rate gas} = 6462364,22 \text{ kg/h}$$

$$\text{Waktu tinggal} = 0,00083333 \text{ jam}$$

$$\text{Kapasitas} = 5385,30352 \text{ kg}$$

$$\text{Densitas} = 1,289 \text{ kg/m}^3$$

$$\text{Volume} = 4177,89257 \text{ m}^3$$

Perhitungan Diameter Vessel

$$VL = 0,8 \text{ VT}$$

$$V_{\text{total}} = 4177,89257 \text{ m}^3$$

$$L/D = 4 \quad (\text{Silla, 2003})$$

$$D_3 = 77,8912911$$

$$D = 4,271 \text{ m} = 168,136725 \text{ in}$$

$$L = 17,082 \text{ m} = 672,519685 \text{ in}$$

Menentukan Ketebalan Silinder

Digunakan SA 182 (21Cr-11Ni-N)

(ASME Boiler and Pressure Vessel Tabel IA hal. 169)

$$f = 87000 \text{ psi (ASME Boiler and Pressure Vessel Tabel IA hal. 169)}$$

$$E = 1,0 \quad \text{double welded butt joint} \quad (\text{Tabel 2.1, Kusnarjo, hal 14})$$

$$C = 0,125 \quad \text{in} \quad (\text{Kusnarjo, hal 14})$$

$$ts = \frac{Pd \times ri}{(fE - 0,6 Pd)} + C \quad (\text{Brownell&Young,Pers.13.1,p254})$$

dimana :

ts = Tebal minimum silinder, in

Pd = Tekanan Design, psi

f = Allowable stress maksimum, psi

ri = Radius dalam silinder, in

E = Effisiensi sambungan las

C = Tebal korosi, in

$$ts = \frac{Pd \times ri}{(fE - 0,6 Pd)} + C$$

$$= \frac{0,10182314}{0,22682} + 0,125$$

$$= 0,22682 \text{ in} = 0,22682 \text{ in}$$

$$= 1 \text{ in} \quad (\text{standarisasi}) \quad (\text{Brownell,Table 5.7,p 90})$$

$$= 0,0058 \text{ meter}$$

$$OD = ID + 2t \text{ silinder}$$

$$OD = 168,137 + 2 \times 0,22682$$

$$OD = 168,590371 \text{ in}$$

$$= 180 \text{ in} \quad (\text{standarisasi}) \quad (\text{Brownell,Table 5.7,p 91})$$

$$= 4,572 \text{ meter}$$

Menentukan Dimensi Tutup (dished head)

$$OD = 168,59 \text{ in}$$

$$rc = 170 \text{ in} \quad (\text{Brownell, Tabel 5.7,p 91}) \quad \text{sesuai } ts = 1$$

$$icr = 11 \text{ in} \quad (\text{Brownell,Table 5.7,p 91})$$

$$t \text{ head} = \frac{1}{3} \times \frac{Pd \times rc}{(fE - 0,1 Pd)} + C$$

$$t \text{ head} = 0,18211 + 0,13$$

$$t \text{ head} = 0,30711 \text{ in}$$

$$t \text{ head} = \frac{1}{3} \text{ in} \quad (\text{standarisasi}) \quad (\text{Brownell,Table 5.7,p 90})$$

$$t \text{ head} = 0,00794 \text{ m}$$

$$\text{Tinggi Total} = (2 \times \text{Tinggi tutup}) + \text{Tinggi silinder}$$

$$LT = (2 \times Lh) + Ls$$

$$Lh = b + sf + th$$

$$b = r - (BC^2 - AB^2)0,5$$

$$\text{untuk, OD} = 168,59 \text{ in}$$

$$th = 0,30711 \text{ in}$$

$$sf = 6 \text{ in} \quad (\text{Brownell,Table 5.6,p 88})$$

$$\begin{aligned}
 BC &= r - icr = 159 \text{ in} \\
 AB &= Di/2 - icr = 73,06836256 \text{ in} \\
 b &= 170 \text{ -} \\
 &= 170 \text{ in} \\
 Lh &= b + sf + th \\
 &= 170 + 6 + 0 \\
 &= 176,307 \text{ in}
 \end{aligned}$$

$$\begin{aligned}
 LT &= 2 \times Lh + Ls \\
 &= 352,614 + 0 \\
 &= 352,614 \text{ in} \\
 &= 9 \text{ m}
 \end{aligned}$$

$$\begin{aligned}
 \text{Kelinging ID} &= 13,41 \text{ m} \\
 \text{Kelinging OD} &= 14,35608 \text{ m} \\
 \text{Luas permukaan tabung} &= \\
 \text{Volume bahan tabung} &= 1,41284875 \text{ m}^3 \text{ (Kell OD*L*ts)} \\
 \rho_{\text{carbon steel}} &= 7870 \text{ kg/m}^3 \\
 \text{Mass shell} &= 11119,1196 \text{ kg} \\
 &= 24513,2112 \text{ pound}
 \end{aligned}$$

| Spesifikasi | Keterangan | | | |
|---------------------------|---|------|-------------|---|
| No. kode | R-101 | | | |
| Fungsi | Mendehidrogenasi gas etana menjadi gas ethylene | | | |
| Tipe | Fix bed reactor berbentuk silinder tegak | | | |
| Tekanan desain | 105,3 psia | | | |
| Outside Diameter standart | 180 | inch | 4,572 | m |
| Tebal silinder | 1,000 | inch | 0,0254 | m |
| Tinggi tutup atas/bawah | 176,3 | inch | 4,478200694 | m |
| Tebal tutup atas/bawah | 0,3125 | inch | 0,0079375 | m |
| Tinggi bejana | 672,5 | inch | 17,082 | m |
| Bahan Konstruksi | SA 182 (21Cr-11Ni-N) | | | |
| Kapasitas(kg/hr) | 6.462.364 | | | |
| Jumlah | 1 | | | |

28 Hydrogenation Reactor (R-103)

Fungsi: Mereaksikan acetylene dengan hidrogen menjadi ethylene

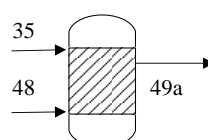
Arus 35: Hidrogen

Arus 48: Arus ethylene dan acetylene

Arus 49a: Arus produk ethylene

Arus 48

Arus 3



$$w = 1119660,55 \text{ kg/h} \quad w = 1187 \text{ kg/h}$$

Arus 49a

$$w = 1122317,98 \text{ kg/h}$$

Bahan = Stainless steel 304

Type = Fix bed reactor berbentuk silinder tegak

Jumlah = 1 unit

Sesuai Ulrich, hal 400:

1. Temperatur desain = (28 + Top) Celcius
= 980
2. Tekanan desain = 10 x 1,1
= 11 bar = 159,54 psia
3. Ditetapkan waktu tinggal = 120 sekon

Menentukan kapasitas

| | | | | | |
|---------------|---|---------------------------|---------------|---|--------------------------|
| Rate gas | = | 1119660,55 kg/h | Rate udara | = | 1187 kg/h |
| Waktu tinggal | = | 0,03333333 jam | Waktu tinggal | = | 0,03333333 jam |
| Kapasitas | = | 37322,0183 kg | Kapasitas | = | 39,566667 kg |
| Densitas | = | 389 kg/m ³ | Densitas | = | 0,75 kg/m ³ |
| Volume | = | 95,9434919 m ³ | Volume | = | 52,896613 m ³ |

Perhitungan Diameter Vessel

| | | | |
|--------|---|---------------------------|---------------|
| VL | = | 0,8 VT | |
| Vtotal | = | 186,050131 m ³ | |
| L/D | = | 1,616 | (Silla, 2003) |
| D3 | = | 14,8985754 | |
| D | = | 2,461 m = 96,875628 in | |
| L | = | 3,977 m = 156,574803 in | |

Menentukan Ketebalan Silinder

Digunakan SA 182 (21Cr-11Ni-N)

(ASME Boiler and Pressure Vessel Tabel IA hal. 169)

f = 87000 psi (ASME Boiler and Pressure Vessel Tabel IA hal. 169)

E = 1,0 double welded butt joint (Tabel 2.1, Kusnarjo, hal 14)

C = 0,125 in (Kusnarjo, hal 14)

$$ts = Pd \times ri + C \quad (\text{Brownell\&Young,Pers.13.1,p254})$$

(f E - 0,6 Pd)

dimana :

ts = Tebal minimum silinder, in

Pd = Tekanan Design, psi

f = Allowable stress maksimum, psi

ri = Radius dalam silinder, in

E = Effisiensi sambungan las

C = Tebal korosi, in

$$\begin{aligned} ts &= \frac{Pd \times ri}{(f E - 0,6 Pd)} + C \\ &= 0,08892362 + 0,125 \\ &= 0,21392 \text{ in} = 0,21392 \text{ in} \\ &= \frac{3}{8} \text{ in} \text{ (standarisasi)} \quad (\text{Brownell,Table 5.7,p 90}) \\ &= 0,0054 \text{ meter} \end{aligned}$$

$$OD = ID + 2t \text{ silinder}$$

$$OD = 96,8756 + 2 \times 0,21392$$

$$\begin{aligned} OD &= 97,3034752 \text{ in} \\ &= 102 \text{ in} \text{ (standarisasi)} \quad (\text{Brownell,Table 5.7,p 91}) \\ &= 2,5908 \text{ meter} \end{aligned}$$

Menentukan Dimensi Tutup (dished head)

$$OD = 97,3035 \text{ in}$$

$$rc = 90 \text{ in} \text{ (Brownell, Tabel 5.7,p 91)} \text{ sesuai } ts = 3/8$$

$$icr = 5,5 \text{ in} \text{ (Brownell,Table 5.7,p 91)}$$

$$t \text{ head} = \frac{1}{16} \times Pd \times rc + C$$

$$(f E - 0,1 Pd)$$

$$t \text{ head} = 0,14609 + 0,13$$

$$t \text{ head} = 0,27109 \text{ in}$$

$$t \text{ head} = \frac{1}{3} \text{ in} \text{ (standarisasi)} \quad (\text{Brownell,Table 5.7,p 90})$$

$$t \text{ head} = 0,00794 \text{ m}$$

$$\text{Tinggi Total} = (2 \times \text{Tinggi tutup}) + \text{Tinggi silinder}$$

$$LT = (2 \times Lh) + Ls$$

$$Lh = b + sf + th$$

$$b = r - (BC^2 - AB^2)/2$$

$$\text{untuk, OD} = 97,3035 \text{ in}$$

$$th = 0,27109 \text{ in}$$

$$sf = 6 \text{ in} \quad (\text{Brownell,Table 5.6,p 88})$$

$$BC = r - icr = 84,5 \text{ in}$$

$$AB = Di/2 - icr = 42,93781398 \text{ in}$$

$$b = 90 \text{ -}$$

$$= 90 \text{ in}$$

$$Lh = b + sf + th$$

$$= 90 + 6 + 0$$

$$= 96,2711 \text{ in}$$

$$LT = 2 \times Lh + Ls$$

$$= 192,542 + 0$$

$$= 192,542 \text{ in}$$

$$= 5 \text{ m}$$

| | | | |
|-----------------------|---|---------------------------|-------------------|
| Keliling ID | = | 7,7264 | m |
| Keliling OD | = | 8,135112 | m |
| Luas permukaan tabung | = | | |
| Volume bahan tabung | = | 0,17579705 m ³ | (Kell OD*L*ts) |
| ρ carbon steel | = | 7870 | kg/m ³ |
| Mass shell | = | 1383,52278 kg | |
| | = | 3050,11433 | pound |

| Spesifikasi | Keterangan | | | |
|---------------------------|--|------|-------------|---|
| No. kode | R-103 | | | |
| Fungsi | Mereaksikan acetylene dengan hidrogen menjadi ethylene | | | |
| Tipe | Fix bed reactor berbentuk silinder tegak | | | |
| Tekanan desain | 159,5 psia | | | |
| Outside Diameter standart | 102 | inch | 2,5908 | m |
| Tebal silinder | 0,375 | inch | 0,009525 | m |
| Tinggi tutup atas/bawah | 96,3 | inch | 2,445285681 | m |
| Tebal tutup atas/bawah | 0,3125 | inch | 0,0079375 | m |
| Tinggi bejana | 156,6 | inch | 3,977 | m |
| Bahan Konstruksi | SA 182 (21Cr-11Ni-N) | | | |
| Kapasitas(kg/hr) | 1.120.848 | | | |
| Jumlah | 1 | | | |

APPENDIKS D
PERHITUNGAN ANALISA EKONOMI

D.1. Harga Peralatan

Harga Peralatan setiap saat akan berubah tergantung pada perubahan ekonomi. Apabila harga alat pada beberapa tahun yang lalu diketahui, maka harga alat pada masa sekarang dapat ditaksir dengan menggunakan *Chemical Engineering Plant Cost index*

Besarnya harga alat dapat dinyatakan sebagai berikut :

$$\text{Harga alat sekarang} = \frac{\text{Index harga tahun sekarang}}{\text{Index harga tahun X}} \times \text{Harga tahun X}$$

Harga alat berdasarkan kapasitas :

$$\text{Harga alat cap. E} = \left(\frac{\text{capac. Equip B}}{\text{capac. Equip A}} \right)^{0.6} \times \text{Harga alat capac. A}$$

Perhitungan pada analisa ekonomi ini berdasarkan :

- Tahun pendirian pabrik (awal konstruksi) : 2024
- Tahun pabrik selesai didirikan : 2027

Tabel 1. Chemical Engineering Plant Cost Index (CEPCI)

| Tahun | Annual Index |
|-------|--------------|
| 2005 | 394.3 |
| 2006 | 395.6 |
| 2007 | 402 |
| 2008 | 444.2 |
| 2009 | 468.2 |
| 2010 | 499.6 |
| 2011 | 525.4 |
| 2012 | 575.4 |
| 2013 | 521.9 |
| 2014 | 550.8 |
| 2015 | 585.7 |
| 2016 | 584.6 |
| 2017 | 567.3 |
| 2018 | 576.1 |
| 2019 | 556.8 |

Sumber : *Chemical Engineering Magazine*

Dengan metode Least Square (Petters & Timmerhaus, hal.760), dapat dilakukan penaksiran index harga rata-rata pada akhir tahun 2024. Penyelesaian dengan Least

$$y = a + b(x - \bar{x})$$

Keterangan :

$$\begin{aligned} a &= \bar{y}, \text{ nilai rata-rata } y \\ b &= \frac{\sum (x - \bar{x})(\bar{y} - y)}{\sum (x - \bar{x})^2}, \text{ slope garis least square} \end{aligned}$$

Penaksiran indeks harga dengan *Least Square*

| Data | x | y | x^2 | y^2 | xy |
|-------|-------|--------|----------|---------|----------|
| 1 | 2005 | 394.3 | 4020025 | 155472 | 790572 |
| 2 | 2006 | 395.6 | 4024036 | 156499 | 793574 |
| 3 | 2007 | 402 | 4028049 | 161604 | 806814 |
| 4 | 2008 | 444.2 | 4032064 | 197314 | 891954 |
| 5 | 2009 | 468.2 | 4036081 | 219211 | 940614 |
| 6 | 2010 | 499.6 | 4040100 | 249600 | 1004196 |
| 7 | 2011 | 525.4 | 4044121 | 276045 | 1056579 |
| 8 | 2012 | 575.4 | 4048144 | 331085 | 1157705 |
| 9 | 2013 | 521.9 | 4052169 | 272380 | 1050585 |
| 10 | 2014 | 550.8 | 4056196 | 303381 | 1109311 |
| 11 | 2015 | 585.7 | 4060225 | 343044 | 1180186 |
| 12 | 2016 | 584.6 | 4064256 | 341757 | 1178554 |
| 13 | 2017 | 567.3 | 4068289 | 321829 | 1144244 |
| 14 | 2020 | 576.1 | 4080400 | 331891 | 1163722 |
| 15 | 2021 | 556.8 | 4084441 | 310026 | 1125293 |
| 16 | 2022 | 0 | 4088484 | 0 | 0 |
| 17 | 2023 | 0 | 4092529 | 0 | 0 |
| 18 | 2024 | 0 | 4096576 | 0 | 0 |
| Total | 30184 | 7647.9 | 60738596 | 3971140 | 15393901 |

$$\Sigma x = 30184$$

$$n = 15$$

$$x' = \frac{\Sigma x}{n} = \frac{30184}{15} = 2012$$

Persamaan 17.21, Timmerhaus 4th ed. :

$$\begin{aligned} \Sigma x^2 &= 60738596 \\ \Sigma (x' - x)^2 &= \Sigma x^2 - \frac{(\Sigma x)^2}{n} \\ &= 60738596 - \left(\frac{30184}{15}\right)^2 = 339 \end{aligned}$$

$$\begin{aligned} \Sigma y &= 7647.9 \\ y' &= \frac{\Sigma y}{n} = \frac{7647.9}{15} = 510 \end{aligned}$$

$$\begin{aligned} \Sigma y^2 &= 3971139.9 \\ \Sigma (y' - y)^2 &= \Sigma y^2 - \frac{(\Sigma y)^2}{n} \\ &= 3971139.9 - \left(\frac{7647.9}{15}\right)^2 = 71781.56 \end{aligned}$$

Persamaan 17.20, Timmerhaus 4th ed. :

$$\Sigma xy = 15393901$$

$$\begin{aligned}
 \Sigma (x' - x)(y' - y) &= \Sigma xy - \frac{\Sigma x \Sigma y}{n} \\
 &= 15393900.6 - \frac{30184 \times 7647.9}{15} \\
 &= 4286.4 \\
 \text{Nilai : } a &= \frac{y' - 510}{4286.4} = 12.6 \\
 b &= \frac{\Sigma (x' - x)(y' - y)}{-\Sigma (x' - x)^2} \\
 &= \frac{4286.4}{339} = 12.6
 \end{aligned}$$

Berdasarkan nilai a dan b tersebut, diperoleh persamaan :

$$\begin{aligned}
 y &= a + b(x - x) \\
 y &= 510 + 12.6(x - 2012) \\
 \text{Untuk } x &= 2022, \text{ maka } y = 632.95 \\
 \text{Untuk } x &= 2025, \text{ maka } y = 670.89
 \end{aligned}$$

dimana x adalah tahun dan y adalah index harga

Jadi, cost index pada tahun 2022 = 632.95

Pada tahun 2014, cost index = 576.10

Harga USD terhadap Rupiah (diakses : 23 Desember) 1 US\$ = Rp 15200.00

D.1.1 Perhitungan Harga Peralatan Proses

Harga peralatan proses pada perhitungan analisa ekonomi ini merupakan harga yang didapatkan dari <http://www.matche.com> yang memberikan harga dari Gulf Coast USA,

data yang diperoleh dari <http://www.matche.com> merupakan data tahun 2014

contoh perhitungan :

1. Gas/Liquid Separator

Tipe = Vane Type

Bahan = Stainless steel

Jumlah = 1 buah

Harga tahun 2014 = \$ 5,300.00 (Mache)

$$\begin{aligned}
 \text{Harga tahun 2022} &= \frac{\text{index tahun 2022}}{\text{index tahun 2014}} \times \text{Harga tahun 2014} \\
 &= \frac{633.0}{576} \times \$ 5,300.00 \\
 &= \$ 5,823.04
 \end{aligned}$$

Cost Total (2022) = \$ 5,823.04 x Jumlah alat

= \$ 5,823.04

Semua harga peralatan didapat dari sumber www.matche.com (Tahun 2014) yang memberikan harga FOB dari Gulf Coast USA

Untuk harga alat secara lengkap, tertera pada tabel 2.

Tabel 2. Harga Peralatan pada Pabrik DEC

| No | Kode | Nama Alat | Jumlah | Harga (U\$/unit) | |
|----|-------|-------------------|--------|------------------|-----------------|
| | | | | 2014 | (U\$, thn 2022) |
| 1 | E-100 | Oxygen Pre-Heater | 4 | 810,800 | 3,563,262.56 |

| | | | | | |
|----|-----------|---------------------------------|---|-----------|--------------|
| 2 | E-101 | Natural gas Pre-Heater | 7 | 600,300 | 4,616,793.78 |
| 3 | R-100 | OCM Reactor | 1 | 2,933,200 | 3,222,669.51 |
| 4 | R-101 | Dehydrogenation Reactor | 1 | 2,130,200 | 2,340,423.63 |
| 5 | R-102 | Methanation Reactor | 1 | 2,695,900 | 2,961,951.0 |
| 6 | E-200 | Dehydrogenation & Condensate HE | 4 | 810,300 | 3,561,065.18 |
| 7 | E-201 | Dehydrogenation & Methane HE | 4 | 720,300 | 3,165,537.77 |
| 8 | E-202 | Dehydrogenation & CO2 HE | 1 | 600,300 | 659,541.97 |
| 9 | E-210 | Pre Compressor Air Cooler | 1 | 230,500 | 253,247.42 |
| 10 | F-210 | Pre Compressor Air Separator | 1 | 161,700 | 177,658 |
| 11 | E-211 | 1 st Stage Air Cooler | 1 | 230,500 | 253,247 |
| 12 | F-211 | 1 st Stage Air Separator | 1 | 172,300 | 189,304 |
| 13 | G-210 | 1 st Stage compressor | 1 | 699,833 | 768,898 |
| 14 | E-212 | 2nd Stage Air Cooler | 1 | 240,400 | 264,124 |
| 15 | F-212 | 2 nd Stage Air Separator | 1 | 186,150 | 204,521 |
| 16 | G-211 | 2 nd Stage compressor | 1 | 699,833 | 768,898 |
| 17 | E-213 | 3 rd Stage Air Cooler | 1 | 230,100 | 252,808 |
| 18 | F-213 | 3 rd Stage Air Separator | 1 | 192,400 | 211,387 |
| 19 | G-212 | 3 rd Stage compressor | 1 | 699,833 | 768,898 |
| 20 | D-300 | Absorber | 1 | 3,545,000 | 3,894,846 |
| 21 | E-300 | Lean/Rich Amine Exchanger | 2 | 500,800 | 1,100,445 |
| 22 | L-300 | Amine Regeneration Pump | 1 | 20,834 | 22,890 |
| 23 | D-301 | Regenerator Column | 1 | 1,837,600 | 2,018,948 |
| 24 | E-301 | Amine Regeneration Reboiler | 1 | 600,800 | 660,091 |
| 25 | E-302 | Amine Regeneration Condenser | 1 | 400,700 | 440,244 |
| 26 | F-301 | Amine Regeneration Reflux Drum | 1 | 870,300 | 956,188 |
| 27 | L-301 | Amine Regeneration Reflux Pump | 1 | 20,730 | 22,776 |
| 28 | F-300 | Flash Separator | 1 | 161,700 | 177,658 |
| 29 | D-302 A/B | Molecular Sieve | 2 | 1,019,800 | 2,240,883 |
| 30 | E-302 | Regeneration Air Furnace | 1 | 800,500 | 879,499 |
| 31 | E-310 | 1 st Spent Gas Heat Exchanger | 1 | 600,300 | 659,542 |
| 32 | E-311 | 2nd Spent Gas Heat Exchanger | 1 | 500,800 | 550,223 |
| 33 | E-312 | Pre Separation Heat Exchanger | 1 | 2,301,500 | 2,528,629 |
| 34 | D-400 | Demethanizer Column | 1 | 5,539,600 | 6,086,288 |
| 35 | E-400 | Demethanizer Reboiler | 1 | 200,400 | 220,177 |
| 36 | L-400 | Demethanizer Reboiler Pump | 1 | 20,814 | 22,868 |
| 37 | L-410 | Demethanizer Reflux Pump | 1 | 20,730 | 22,776 |
| 38 | F-400 | Demethanizer Separator | 1 | 539,500 | 592,742 |
| 39 | E-400 | Demethanizer Condenser | 1 | 600,100 | 659,322 |
| 40 | D-401 | Deethanizer Column | 1 | 6,839,600 | 7,514,581 |
| 41 | E-401 | Deethanizer Reboiler | 1 | 300,600 | 330,265 |
| 42 | L-401 | Deethanizer Reboiler Pump | 1 | 20,860 | 22,919 |
| 43 | I-420 | Deethanizer Reflux Pump | 1 | 20,860 | 22,919 |
| 44 | F-401 | Deethanizer Separator | 1 | 519,000 | 570,219 |
| 45 | E-401 | Deethanizer Condenser | 1 | 700,600 | 769,740 |
| 46 | R-103 | Hydrogenation Reactor | 1 | 2,130,200 | 2,340,424 |
| 47 | D-402 | Condensate splitter | 1 | 4,723,900 | 5,190,089 |
| 48 | T-402 | Condensate Storage | 1 | 2,167,300 | 2,381,185 |

| | | | | | |
|--------------|-------|-----------------------|-----------|-------------------|--------------------|
| 49 | T-401 | C3/C4 Storage | 1 | 1,924,500 | 2,114,424 |
| 50 | T-400 | Ethylene Storage Tank | 1 | 2,301,500 | 2,528,629 |
| 51 | ASU | Air Separation Unit | 1 | 61,200,000 | 67,239,661 |
| Total | | | 68 | 56,796,278 | 142,986,324 |

Harga Peralatan Utilitas

Peralatan Utilitas meliputi :

1. Steam
2. Listrik
3. Bahan Bakar

Harga peralatan utilitas diperkirakan 55% dari Harga peralatan

(Tabel 6.1 Coulson & Richardson)

Harga peralatan utilitas pada tahun 2022 = \$ 78,642,477.96

Harga Peralatan pada tahun 2022 = \$ 142,986,323.56

| | |
|---|-----------------------------|
| Total harga peralatan pada tahun 2022 : | \$ 221,628,802 |
| (\$ 1 = Rp 15200.00) | Rp 3,368,757,783,041 |

D.2. GAJI KARYAWAN

Biaya untuk keperluan gaji karyawan selama satu bulan, dapat diperkirakan

Tabel 3. Daftar Gaji Karyawan Perusahaan

| No. | Jabatan | Gaji / bulan | Jumlah | Jumlah |
|--------------|---------------------|--------------|----------|----------------------|
| | | (USD) | karyawan | (USD) |
| 1. | Direktur Utama | 40,000.0 | 1 | \$ 40,000.00 |
| 2. | Komisaris | 35,000.0 | 2 | \$ 70,000.00 |
| 3 | Dewan direksi | 5,000.0 | 6 | \$ 30,000.00 |
| 4 | Sekretaris Direktur | 1,300.0 | 6 | \$ 7,800.00 |
| 5 | Manager | 1,800.0 | 8 | \$ 14,400.00 |
| 6 | Supervisor | 900.0 | 8 | \$ 7,200.00 |
| 7 | Karyawan | | | |
| | a.Lulusan S-1 | 750.0 | 20 | \$ 15,000.00 |
| | b.Lulusan D-3 | 600.0 | 30 | \$ 18,000.00 |
| | c.Lulusan SMK | 500.0 | 48 | \$ 24,000.00 |
| 8 | Dokter | 1,100.0 | 5 | \$ 5,500.00 |
| 9 | Perawat | 400.0 | 10 | \$ 4,000.00 |
| 10 | Sekuriti | 200.0 | 15 | \$ 3,000.00 |
| 11 | Office Boy | 200.0 | 20 | \$ 4,000.00 |
| Total | | 179 | | \$ 242,900.00 |

Biaya untuk gaji karyawan selama sebulan = \$ 242,900.00

Biaya untuk keperluan gaji selama setahun = \$ 2,914,800.00

Rp 44,304,960,000.0

D.3. HARGA BAHAN DAN PENJUALAN PRODUK

D.3.1 Perhitungan biaya bahan baku

Tabel 4. Biaya Bahan Baku

| No. | Bahan baku | Kebutuhan/Tahun | Harga | Total /Tahun |
|--------------|------------|-----------------|-----------|----------------------|
| | | | USD | USD |
| 1 | Sales Gas | 31043494 MMBtu | 7 /MMBtu | 217,304,458.0 |
| 2 | Hydrogen | 4302000 kg | 0.010 /kg | 43,020.0 |
| Total | | | | 217,347,478.0 |

Biaya penyediaan bahan baku = \$ 217,347,478.00
= Rp3,303,681,665,655

D.3.2 Perhitungan hasil penjualan produk

Pabrik ini memproduksi dua jenis produk, yaitu Ethylene dan Condensate. Berikut Perhitungan hasil penjualan kelima produk tersebut.

Tabel 5. Hasil Penjualan Produk

| No. | Produk | Produksi/Tahun | Harga/Tahun | Total harga/Tahun |
|--------------|------------|----------------|-------------|----------------------|
| | | | USD | USD |
| 1 | Ethylene | 600000000 kg | 3 /kg | 1,800,000,000 |
| 2 | C3/C4 | 5526 kg | 1 /liter | 5,526 |
| 3 | Condensate | 11680 bbl | 35 /bbl | 408,800 |
| Total | | | | 1,800,414,326 |

Total pendapatan kotor/thn = 27,366,297,755,200.00
= \$ 1,800,414,326

D.4 ANALISA EKONOMI

Analisa ekonomi dimaksudkan untuk mengetahui apakah pabrik yang telah direncanakan layak untuk didirikan atau tidak. Untuk itu, perlu dilakukan evaluasi atau penilaian investasi, dengan mempertimbangkan hal-hal berikut ini :

1. Laju pengembalian modal (*Internal Rate of Return*, IRR)
2. Waktu pengembalian modal minimum (*Minimum Pay Out Period*, MPP)
3. Titik impas (*Break Event Point*, BEP)

Sebelum dilakukan analisa terhadap ketiga faktor diatas perlu dilakukan peninjauan terhadap beberapa hal sebagai berikut :

1. Penaksiran modal (*Total Capital Investment*, TCI) yang meliputi :
 - a. Modal tetap (*Fixed Capital Investment*, FCI)
 - b. Modal kerja (*Working Capital Investment*, WCI)
2. Penentuan biaya produksi (*Total Production Cost*, TPC) yang terdiri :
 - a. Biaya pembuatan (*Manufacturing Cost*)
 - b. Biaya Plant Overhead (*Plant overhead cost*)
 - c. Biaya pengeluaran umum (*General Expenses*)
3. Biaya Total

Untuk mengetahui besarnya titik impas (BEP) perlu dilakukan penaksiran terhadap

- a. Biaya tetap
- b. Biaya semi variabel
- c. Biaya variabel

D.4.1 Penentuan Investasi Total (Total Capital Investment, TCI)

D.4.1.1 Modal Tetap

| No | Deskripsi | % E | Biaya (USD) |
|--------------------------------|-------------------------------------|--------------------------|---------------|
| 1 | <i>Engineering and Supervision</i> | 35% | \$77,570,081 |
| 2 | Purchased Equipment | 100% | \$221,628,802 |
| 3 | Instalasi dan pengecatan | 45% | \$99,732,961 |
| 4 | Instrumentasi dan kontrol | 40% | \$88,651,521 |
| 5 | Perpipaan dan isolasi | 70% | \$155,140,161 |
| 6 | Sistem kelistrikan | 12% | \$26,595,456 |
| 7 | Fasilitas pelayanan dan <i>Yard</i> | 80% | \$177,303,041 |
| 8 | Bangunan | 20% | \$44,325,760 |
| 9 | Tanah | 10% | \$22,162,880 |
| 10 | Biaya konstruksi | 35% | \$77,570,081 |
| 13 | Kontraktor | 20% | \$44,325,760 |
| 11 | Biaya tak terduga | 48% | \$106,381,825 |
| Fixed Capital Invesment | | USD 1,141,388,328 | |

D.4.1.2 Modal Kerja (Working Capital Investment, WCI)

$$WCI = 89\% E$$

$$TCI = FCI + WCI$$

$$TCI = \$1,141,388,327.81 + 89\% E$$

$$FCI = \$1,141,388,327.81$$

$$E = \$221,628,801.52$$

$$WCI = \$197,249,633.35$$

$$= IDR 3,368,757,783,041$$

$$= IDR 2,998,194,426,907$$

Jadi :

$$\text{Modal tetap (FCI)} \quad \$1,141,388,327.81$$

$$\text{Modal kerja (WCI)} \quad \$197,249,633.35 +$$

$$\text{Total investasi (TCI)} \quad \$1,338,637,961.16$$

Modal investasi terbagi atas :

| | | | |
|---|----------------------------|-----|---------------------------|
| 1 | Modal sendiri (equity) | 15% | TCI = \$ 200,795,694.17 |
| 2 | Modal Pinjaman Bank (loan) | 85% | TCI = \$ 1,137,842,266.98 |

D.4.2 Penentuan Biaya Produksi

A. Biaya produksi langsung (Direct Production Cost, DPC)

| | | | |
|--|-------------------------|-----|---------------------------------|
| 1 | Bahan Baku | | \$217,347,478 |
| 2 | Tenaga kerja | | \$2,914,800 |
| 3 | Biaya supervisi | 15% | L \$437,220 |
| 4 | Utilitas | 40% | TPC 0.4 TPC |
| 5 | Perawatan dan perbaikan | 7% | FCI \$79,897,183 |
| 6 | Operating supplies | 15% | M \$11,984,577 |
| 7 | Laboratorium | 15% | L \$437,220 |
| 8 | Paten dan royalti | 4% | TPC .01 TPC |
| Total biaya produksi langsung (DPC) | | | \$313,018,478 + 0.41 TPC |

B. Biaya tetap (Fixed Charges, FC)

| | | | |
|------------------------------------|------|--------|-----------------------|
| 1 Depresiasi (peralatan,bangunan)* | 10% | FCI \$ | 114,138,832.78 |
| 2 Pajak | 2% | FCI \$ | 22,827,766.56 |
| 3 Asuransi | 0.6% | FCI \$ | 6,848,329.97 + |
| Total biaya tetap (FC) | | \$ | 143,814,929.30 |

C. Biaya plant overhead (Plant Overhead cost)

$$\begin{aligned} \text{Plant Overhead Cost (POC)} &= 10\% \quad \text{TPC} \\ \text{Manufacturing Cost (MC)} &= \underline{\text{DPC} + \text{FC} + \text{POC}} \\ &= \underline{\text{USD } 456,833,408} + \underline{0.51 \text{ TPC}} \end{aligned}$$

D. Biaya pengeluaran umum (General Expenses)

| | | | |
|------------------------------------|------------|------------|---|
| 1 Biaya administrasi | 3% | TPC | |
| 2 Biaya distribusi dan penjualan | 5% | TPC | |
| 3 Biaya R & D | 5% | TPC | + |
| Total pengeluaran umum (GE) | 13% | TPC | + |

*Depresiasi dihitung berdasar straight line method dengan menganggap salvage value peralatan 10 % dari harga awal menghitung TPC

$$\begin{aligned} \text{DPC} &= \$ 313,018,478.4 + 0.41 \quad \text{TPC} \\ \text{FC} &= \$ 143,814,929.30 \\ \text{POC} &= \quad \quad \quad 0.1 \quad \text{TPC} \\ \text{GE} &= \quad \quad \quad 0.13 \quad \text{TPC} + \\ \text{TPC} &= \$ 456,833,407.7 + 0.64 \quad \text{TPC} \\ \text{TPC}(1-0.34) &= \$ 456,833,407.7 \\ \text{TPC} &= \underline{\$ 456,833,407.7} \\ &\quad 0.36 \\ \text{TPC} &= \$ \underline{\underline{1,171,367,712.0}} = \text{Rp } 17,804,789,223,012 \end{aligned}$$

Jadi, rincian secara lengkap biaya produksi di atas menjadi :

A. Biaya produksi langsung (Direct Production Cost, DPC)

| | | | |
|--|-----|--------|-----------------------|
| 1 Bahan Baku | | \$ | 217,347,478.00 |
| 2 Tenaga kerja | | \$ | 2,914,800.00 |
| 3 Biaya supervisi | 15% | L \$ | 437,220.00 |
| 4 Utilitas | 40% | TPC \$ | 468,547,084.82 |
| 5 Perawatan dan perbaikan | 7% | FCI \$ | 79,897,182.95 |
| 6 Operating supplies | 15% | M \$ | 11,984,577.44 |
| 7 Laboratorium | 15% | L \$ | 437,220.00 |
| 8 Paten dan Royalti | 4% | TPC \$ | 46,854,708.48 |
| Total biaya produksi langsung (DPC) | | \$ | 828,420,271.69 |

B. Biaya tetap (Fixed Charges, FC)

| | | | |
|------------------------------------|------|--------|-----------------------|
| 1 Depresiasi (peralatan,bangunan)* | 10% | FCI \$ | 114,138,832.78 |
| 2 Pajak | 2% | FCI \$ | 22,827,766.56 |
| 3 Asuransi | 0.6% | FCI \$ | 6,848,329.97 + |
| Total biaya tetap (FC) | | \$ | 143,814,929.30 |

C. Biaya plant overhead (Plant Overhead cost)

| | | |
|------------------------------|------------------|-------------------------|
| Plant Overhead Cost (POC) | 10% | TPC |
| POC | = \$ | 117,136,771.20 |
| Total biaya pembuatan (MC) | = DPC + FC + POC | |
| MC | = \$ | 1,089,371,972.20 |

D. Biaya pengeluaran umum (General Expenses)

| | | | | |
|----------------------------------|----|-----|----|----------------------|
| 1 Biaya administrasi | 3% | TPC | \$ | 35,141,031.36 |
| 2 Biaya distribusi dan penjualan | 5% | TPC | \$ | 58,568,385.60 |
| 3 Biaya R & D | 5% | TPC | \$ | <u>58,568,385.60</u> |
| General Expenses | | | | 152277802.6 |

D.4.3 Analisa Ekonomi

Analisa ekonomi dilakukan dengan metode discounted cash flow yaitu cash flow yang nilainya diproyeksikan pada masa sekarang. Adapun anggapan yang dipakai sebagai

1 Modal

Modal sendiri = 15%

Modal pinjaman = 85%

2 Suku bunga bank = 12% per tahun

3 Laju inflasi = 4% per tahun

4 Masa konstruksi 2 tahun

Tahun pertama menggunakan 10% modal pinjaman dan 90% modal sendiri

Tahun kedua menggunakan sisa modal pinjaman dan modal sendiri

5 Pembayaran modal pinjaman selama konstruksi dilakukan secara diskrit dengan cara sebagai berikut :

- Pada awal masa konstruksi (tahun pertama (1)) dilakukan pembayaran sebesar
- Pada akhir tahun kedua masa konstruksi (tahun kedua (2)) dibayarkan sisa modal pinjaman

6 Pengembalian pinjaman dalam waktu 5 tahun, sebesar = 20% pertahun

7 Umur peralatan pabrik diperkirakan selama 10 tahun dg depresiasi sebesar 10%
= 10% per tahun

8 Pajak pendapata = 30%

*Pajak pendapatan (UU. 36, tahun 2008)***D.4.3.1 Perhitungan biaya total produksi**

| | | | | |
|---------------------------------|---|-----|---|--------------------|
| Biaya produksi tanpa depresiasi | = | TPC | - | depresiasi |
| | = | \$ | | 1,057,228,879.26 |
| | = | Rp | | 16,069,878,964,746 |

D.4.3.2 Investasi

Investasi total pabrik tergantung pada masa konstruksi. Investasi yang berasal dari modal sendiri akan habis pada tahun pertama konstruksi. Nilai modal sendiri tidak akan oleh inflasi dan bunga bank. Sehingga modal sendiri pada masa akhir masa konstruksi Untuk modal pinjaman dari bank total pinjaman pada akhir masa konstruksi adalah :

Tabel 6. Modal Pinjaman Selama Masa Konstruksi

| Masa Konstruksi | % | Modal pinjaman | | | |
|--------------------------------------|-----|-----------------|-------|---------------|---------------|
| | | Jumlah (\$) | Bunga | = | 12% |
| -2 | 10% | 113,784,226.7 | | 0 | 113,784,227 |
| -1 | 90% | 1,024,058,040.3 | | 13,654,107.2 | 1,037,712,147 |
| 0 | | | | 138,179,564.9 | 138,179,565 |
| Modal pinjaman akhir masa konstruksi | | | | | 1,289,675,939 |

Tabel 7. Modal Sendiri Selama Masa Konstruksi

| Masa Konstruksi | % | Modal sendiri | | | Jumlah (\$) |
|-------------------------------------|-----|----------------|---------|-----------|-------------|
| | | Jumlah (\$) | Inflasi | 4% | |
| -2 | 50% | 100,397,847.09 | | 0 | 100,397,847 |
| -1 | 50% | 100,397,847.09 | | 4,015,914 | 104,413,761 |
| 0 | | | | 8,192,464 | 8,192,464 |
| Modal sendiri akhir masa konstruksi | | | | | 213,004,072 |

$$\begin{aligned}
 \text{Total investasi pada akhir masa konstruksi} &= \text{modal sendiri + modal pinjaman} \\
 &= \$ 1,502,680,011.47 \\
 &= \text{Rp} 22,840,736,174,311
 \end{aligned}$$

Perhitungan harga penjualan

Dari appendiks D, maka untuk kapasitas 100% didapatkan harga penjualan :
hasil penjualan produk = \$ 1,800,414,326.00 per tahun

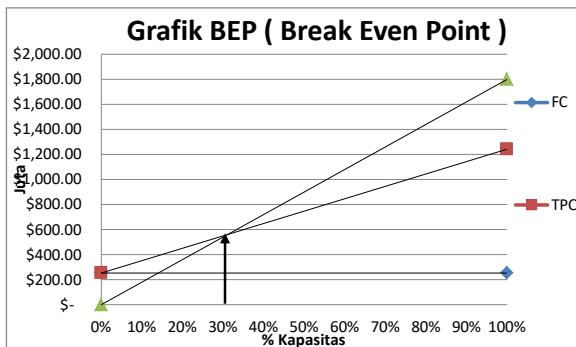
D.5 Analisa Titik Impas (Break Even Point BEP)

Analisa titik impas digunakan untuk mengetahui jumlah kapasitas produksi dimana harga produksi sama dengan harga produksi

Tabel 8. Biaya FC, VC, SVC dan S

| No | Keterangan | Jumlah |
|----|----------------------------|---------------------|
| 1. | Biaya Tetap (FC) | \$ 143,814,929.30 |
| 2. | Biaya Variabel (VC) | |
| | Royalti | \$ 46,854,708.48 |
| | Bahan baku | \$ 217,347,478.00 |
| | Utilitas | \$ 468,547,084.82 + |
| | | \$ 732,749,271.30 |
| 3. | Biaya semivariabel, SVC | |
| | - Gaji karyawan | \$ 2,914,800.00 |
| | - Biaya Supervisi | \$ 437,220.00 |
| | - Pemeliharaan & perbaikan | \$ 79,897,182.95 |
| | - Operating supplies | \$ 11,984,577.44 |
| | - Laboratorium | \$ 437,220.00 |
| | - Pengeluaran umum | \$ 152,277,802.57 |
| | - Plant Overhead cost | \$ 117,136,771.20 |
| | | \$ 365,085,574.16 |
| 4. | Total Penjualan (S) | \$ 1,800,414,326.00 |

| Kapasitas | 0% | 100% |
|-------------------|-------------------|---------------------|
| Biaya tetap | \$ 253,340,601.55 | \$ 253,340,601.55 |
| Pengeluaran total | \$ 253,340,601.55 | \$ 1,241,649,774.76 |
| Penjualan Total | \$ - | \$ 1,800,414,326.00 |



Terlihat Pada Grafik di atas bahwa BEP = 31.196 % kapasitas produk

$$\begin{aligned}
 \text{Laba Bersih} &= \text{Net Cash Flow saat pinjaman lunas} \\
 &= 558764551.237 \\
 \text{BEP} &= \frac{\text{FC} + (0,3 \times \text{SVC})}{\text{S} - (0,7 \times \text{SVC}) - \text{VC}} \times 100\% \\
 &= 31.196 \%
 \end{aligned}$$

D.6 Waktu Pengembalian Modal (Pay Out Time, POT)

Untuk menghitung waktu pengembalian modal, maka dihitung akumulasi modal sebagai berikut :

Tabel 9. Cummulative Cash Flow

| Tahun ke n | Cummulative Cash Flow (USD) |
|---------------|--------------------------------|
| 0 | |
| 1 | -1111540432 |
| 2 | -858353664 |
| 3 | -578330665.8 |
| 4 | -270691804.4 |
| 5 | 65376623.55 |
| 6 | 430723880.4 |
| 7 | 826236341.3 |
| 8 | 1252839116 |
| 9 | 1711497741 |
| 10 | 2203219947 |

Berdasarkan tabel di atas, untuk investasi = \$ 221,628,801.52

Dengan cara interpolasi linier antara tahun ke = 3 dan 4

Maka diperoleh waktu pengembalian modal = 5.8 tahun

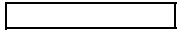
D.6 Perhitungan *Internal Rate of Return (IRR)*

$$\sum \frac{CF}{(1+i)^n} = \text{total modal akhir masa konstruksi}$$

Dimana n = tahun

CF = cash flow pada tahun ke-n

Dari perhitungan diperoleh nilai I sebesar 19.47%



D-15

